

PLOUDANIEL (Finistère)



Finistère
Penn-ar-Bed
LE DÉPARTEMENT

Diagnostic archéologique - RD-770

Rapport de diagnostic archéologique
arrêté de prescription n°2019-080



Anne KERGOURLAY

avec la collaboration de :

Bertrand GRALL
Caroline LANDART
Rémy MARTINEZ

Conseil Départemental du Finistère
Service départemental de l'Archéologie
16 route de Térénez
29590 Le Faou

DRAC de BRETAGNE
Service régional
de l'archéologie



Kergourlay A. (dir.), Grall B, Landart C. et Martinez R., 2020, *Ploudaniel(Finistère Bretagne), RD-770, Rapport de diagnostic archéologique*, Le Faou - Quimper : Conseil départemental du Finistère, Service Archéologie, Service Régional de l'Archéologie de Bretagne.

Avis au lecteur

Le présent rapport comporte les résultats d'une opération de diagnostic archéologique.

Les rapports constituent des documents administratifs communicables au public, après remise au Service régional de l'archéologie, suivant les dispositions de la loi modifiée n°78-753 du 17 juillet 1978.

Aux termes de la circulaire de mars 1996, prise pour application, ils pourront donc être consultés en respect des droits de propriété littéraire et artistique possédés par les auteurs et des contraintes qui en résultent.

La prise de notes et les photocopies sont autorisées pour un usage exclusivement privé et non destinées à une utilisation collective (article L122-5 du code de la propriété intellectuelle).

Toute reproduction de texte, accompagnée ou non de photographies, cartes ou schémas, n'est possible que dans le cadre de la courte citation, avec les références exactes et complètes de l'auteur et de l'ouvrage.

Par ailleurs, l'exercice du droit de la communication, exclut, pour ses bénéficiaires ou pour les tiers, la possibilité de reproduite, de diffuser ou d'utiliser à des fins commerciales les documents communiqués (loi n°78-753 du 17 juillet 1978, art.10).



Conditions d'utilisation des documents

Les rapports d'opération archéologique (diagnostic, fouille, document final de synthèse, sondage, sauvetage...) sont des documents administratifs communicables au public, en application de la loi n° 78-753 du 17 juillet 1978 modifiée et portant diverses mesures d'amélioration des relations entre l'administration et le public. L'accès à ces documents administratifs s'exerce auprès des administrations qui les ont élaborés ou qui les détiennent, au choix du demandeur et dans la limite de leurs conditions d'accueil. La mise en ligne des rapports **par le SRA Bretagne** a pour objectif de faciliter cette consultation.

La consultation et l'utilisation de ces rapports s'effectuent dans le respect des dispositions du code de la propriété intellectuelle relatives aux droits des auteurs. Notamment en application de l'article L.122-5 du code de la propriété intellectuelle, cela implique que :

- 1) les prises de notes et les copies ou autres formes de reproduction sont autorisées dans la mesure où elles sont strictement réservées à l'usage privé du copiste et non destinées à une utilisation collective;
- 2) toute reproduction du texte, accompagnée ou non de photographies, cartes ou schémas, n'est possible que dans le cadre de courtes citations qui doivent être justifiées, par exemple par le caractère scientifique de l'œuvre à laquelle elles sont incorporées, et sous réserve de l'indication claire du nom de l'auteur et de la source (références exactes et complètes de l'auteur, de son organisme d'appartenance et du rapport);
- 3) la représentation ou la reproduction d'extraits est possible à des fins exclusives d'illustration dans le cadre de l'enseignement et de la recherche, dès lors que le public auquel elle est destinée est majoritairement composé d'élèves, d'étudiants, d'enseignants ou de chercheurs directement concernés, et que son utilisation ne donne lieu à aucune exploitation commerciale.

Le non-respect de ces règles constitue le délit de contrefaçon prévu et sanctionné par les articles L.335-2, L.335-3 et suivants du code de la propriété intellectuelle.

Renseignement :

DRAC Bretagne : <http://www.culture.gouv.fr/Regions/Drac-Bretagne>

Service Régional de l'Archéologie - Centre de documentation archéologique

Campus universitaire de Beaulieu - Avenue Charles Foulon - 35700 Rennes

PLOUDANIEL (Finistère)

Diagnostic archéologique - RD-770

Rapport de diagnostic archéologique
arrêté de prescription n°2019-080

Anne KERGOURLAY

avec la collaboration de :

Bertrand GRALL

Caroline LANDART

Rémy MARTINEZ

Sommaire

CADRE ADMINISTRATIF, TECHNIQUE ET SCIENTIFIQUE	11
Fiche signalétique de l'opération	13
Intervenants	15
Notice	17
Thésaurus	18
Localisation de l'opération	19
Situation de l'opération sur plan cadastral	19
Documents administratifs	22
PRÉSENTATION DE L'OPÉRATION	29
RÉSULTATS ARCHÉOLOGIQUES	29
1. Présentation générale de l'opération	31
1.1. Circonstances de l'intervention	31
1.2. Contraintes et mode d'intervention	31
1.3. Méthodologie	31
1.4. Traitement des archives du sol	37
1.5. Contexte géologique et archéologique	39
1.5.1. Contexte géologique et hydrographique (fig. 15 et 16)	39
1.5.2. Contexte archéologique (fig. 18 à 21)	41
2. Résultats archéologiques	46
2.1. Secteur 1 : Le Vizoc	46
2.1.1. Présentation générale	46
2.1.2. Structures apparaissant sur le cadastre napoléonien et moderne (fig.23)	47
2.1.2.1. Cadastre napoléonien	47
2.1.2.2. Fossés d'époque Moderne ?	47
2.1.3. Structures apparaissant sur la photographie aérienne du milieu du XX ^{ème} siècle (fig.24)	47
2.1.4. Autres structures du XX ^{ème} siècle (fig. 24)	47

2.1.4.1. Fosse F 56.11	47
2.1.4.2. Fossés F 59.01 et F 59.02	47
2.1.5. Structures d'époque indéterminée (fig. 25)	47
2.1.5.1. Un chablis	47
2.1.5.2. Trous de poteaux et fosses	47
2.2. Secteur 2 : Kerfelgar Bihan	53
2.2.1. Présentation générale	53
2.2.3. Parcelles ZR 50-51, Tranchées 53 à 55	54
2.2.3.1. Limites parcellaires présentes sur le cadastre napoléonien et la photographie aérienne du milieu du XX ^{ème} siècle (fig. 29)	54
2.2.3.2. Des limites parcellaires anciennes ? (fig. 29)	55
2.2.3.3. Fossés parallèles F 54.02, F 54.03 et F 54.04 (fig. 29)	55
2.2.4. Parcelle YA 33, tranchées 51 et 52	55
2.2.4.1. Limites parcellaires présentes sur le cadastre napoléonien et la photographie aérienne du milieu du XX ^{ème} siècle (fig. 30)	55
2.2.4.2. Logs de la tranchée 52, accumulation résultant de la destruction d'une ou plusieurs structures médiévales ?	55
2.2.4.3. Structures d'époque médiévale (fig. 30)	56
2.2.4.5. Structures d'époque indéterminée	59
2.2.4.6. Parcelle YA 33 : bilan	62
2.2.5.1. Limites parcellaires présentes sur le cadastre napoléonien et la photographie aérienne du milieu du XX ^{ème} siècle (fig. 34)	62
2.2.5.2. Epandage d'époques médiévale et moderne	62
2.2.5.2. Fossés antiques (fig. 35 et 36)	62
2.2.5.3. Structures Protohistoriques	66
2.2.5.4. Structures d'époque indéterminée (fig. 42)	69
2.2.6.1. Parcelles ZR 50 et 51	69
2.2.6.2. Parcelle YA 33	69
2.2.6.3. Parcelle YA 88	75

2.3. Secteur 3 : Pont-Neuf	86
2.3.1. Présentation générale	86
2.4. Secteur 4 : Valy Goz	89
2.4.1. <i>Présentation générale</i>	89
2.4.2. <i>Structures apparaissant sur le cadastre napoléonien (fig. 66)</i>	90
2.4.3. <i>Structures apparaissant sur la photographie aérienne du milieu du XX^{ème} siècle (fig. 66)</i>	90
2.4.4. <i>Structures d'époques Protohistoriques (fig.)</i>	90
2.4.4.1. <i>Fosse F 10.07 de l'âge du Bronze (fig. 67)</i>	90
2.4.4.2. <i>Un fossé (d'enclos ?) protohistorique</i>	95
2.4.4.3. <i>Fosse F 08.03</i>	99
2.4.6. <i>Secteur 4 : conclusion</i>	100
2.5. Secteur 5 : Valy Goz-Auberge Neuve	101
2.5.1. Présentation générale	101
2.5.2. Structures apparaissant sur le cadastre napoléonien et la photographie aérienne du milieu du XX ^{ème} siècle (fig. 77)	101
2.5.3. Une fosse d'époque préhistorique ? (fig. 77 et 78)	101
2.5.4. Structures d'époques indéterminées (fig. 79)	102
2.5.5. Secteur 5 : conclusion	102
2.6. Secteur 6 : Auberge Neuve	105
2.6.1. Présentation générale	105
2.6.2. Structures apparaissant sur le cadastre napoléonien et la photographie aérienne du milieu du XX ^{ème} siècle (fig. 82)	105
2.6.3. Structures du XX ^{ème} et/ou XXI ^{ème} siècles (fig. 82)	106
2.6.4. Structure médiévale ou moderne (fig. 83)	106
2.6.4.1. <i>Description</i>	106
2.6.4.2. <i>Mobilier céramique</i>	106
2.6.4.3. <i>Le fragment de tuile (fig.)</i>	109
2.6.4.5. <i>Conclusion</i>	109
2.6.5. Structures Protohistoriques (fig. 85)	109

2.6.5.1. Une fosse de l'âge du Fer ?	109
2.6.5.2. Fossé protohistorique: postérieur à la fosse F 02.03	114
2.6.6. Structures d'époques indéterminées (fig. 89)	114
2.6.6.1. Des structures protohistoriques ?	114
2.6.6.2. Une fosse médiévale ? (fig.89 et 90)	116
2.6.6.3. Trous de poteaux et fosses non datés (fig. 89)	116
2.6.6.4. Chablis	116
2.6.7. Secteur 6 : conclusion	116
2.7. Secteur 7 : Auberge Neuve - Kerafanc	117
2.7.1. Présentation générale	117
2.7.3.1. Déplacement du parcellaire ? (fig. 94)	120
2.7.3.2. Fossés encore en utilisation durant la deuxième moitié du XX ^{ème} siècle (fig. 94)	120
2.7.4.1. Structures avec du mobilier de plusieurs périodes (fig. 95)	120
2.7.4.2. Structures fossoyées	120
2.7.4.3. Fosses et trous de poteaux (fig. 94)	121
2.8. Secteur 8 : Lestréonec	122
2.8.1. Présentation générale	122
2.8.2. Structures apparaissant sur le cadastre napoléonien et la photographie aérienne du milieu du XX ^{ème} siècle (fig. 98)	122
2.8.3.1. Fossé F 27.01 (fig. 99)	122
2.8.3.2. Structure de combustion F 27.02 (fig. 99 et 100)	125
2.8.3.3. Fosses et Trous de poteaux non testés (fig. 99)	127
2.9. Secteur 9 : Penfrat - Mescoden	128
2.9.1. Présentation générale	128
2.9.2. Structures apparaissant sur le cadastre napoléonien et présentes sur la photographie aérienne du milieu du XX ^{ème} siècle (fig. 104)	129
2.9.3.1. Grande fosse F 44.02 (fig. 104)	129
2.9.4. Structures d'époque indéterminée (fig. 105)	132

2.9.4.1. Fossés comblés d'argile	132
2.9.4.2. Poteaux et fosses	132
2.9.4.3. Fossés à fonction et datation incertaines	132
2.9.4.4. Chablis	132
2.9.5. Secteur 9 : conclusion	132
2.10. Secteur 10 : Saint-Eloi	133
2.10.1. Présentation générale	133
2.10.2. Les contraintes de cette zone	133
2.10.4.1. Fossés du XX ^{ème} ou XXI ^{ème} siècles (fig. 107)	134
2.10.4.2. Fossés lié à un parcellaire antique ? (fig. 107)	134
2.10.5. Anomalie semi-circulaire du parcellaire et fossés F 30.02, F 32.17, F 36.02 et F 28.04.	134
2.10.5.1. Description (fig. 109)	134
2.10.5.2. Mobilier céramique	134
2.10.5.3. Comparaisons	136
2.10.5.4. Structures associées ? (fig. 109)	136
2.10.5.5. Bilan	136
2.10.8. Deux bâtiments sur poteaux	141
2.10.8.1. bâtiment 1 F 30.05-6	141
2.10.8.2. bâtiment 2 F 37.06 (fig. 113)	141
2.10.8.3. interprétation des bâtiments	141
2.10.9.1. fosses indéterminées	143
2.10.9.2. Trous de poteaux (fig. 114)	143
2.10.10. Secteur 10 : conclusion	144
3 . Conclusion	145
4 . Bibliographie	146

INVENTAIRES TECHNIQUES	149
Liste des figures	151
Liste des photographies	154
Liste des tranchées	194
Liste des faits et unités stratigraphiques	196
Inventaire du mobilier	213

Première section :

Cadre administratif, technique et scientifique

Fiche signalétique de l'opération

Identité du site

N° du site :	
Département :	Finistère
Commune :	Ploudaniel
Code Insee de la commune	29 179
Adresse :	Route départementale 770
Données cadastrales :	Section ZP : 29-33 ; section ZR : 50-51 ; section YA : 33-63-65-88-90 ; section YB : 18-71-79-81-84-107-118-198 ; section YD : 157-230-232 ; section YE : 29-30-31-32-45-559-561 ; section YH : 146-147-166
Coordonnées Lambert (III étendu - NGF) :	voir page 10
Propriétaires du terrain :	voir page 10

Opération

Nom de l'opération:	diagnostic archéologique avant aménagement de sécurité de la RD 770
Arrêté de prescription :	2019-080 du 26 février 2019
Arrêté de désignation du responsable :	2019-346 du 18 septembre 2019
Titulaire :	Anne Kergourlay
Organisme de rattachement :	Conseil Départemental du Finistère - DCPS / CDPM / Mission Archéologie - Centre Départemental de l'Archéologie
Type d'opération :	Diagnostic archéologique
Raison de l'opération : :	aménagement de sécurité de la RD 770
Aménageur :	Conseil départemental du Finistère, Direction des routes et infrastructures de déplacement
Emprise totale :	65 739 m ²
Surface totale sondée :	5390,30 (8,20 %)
Dates d'intervention :	Du 16 septembre au 24 octobre 2019

Lieu de dépôt temporaire du mobilier archéologique :

Centre Départemental d'Archéologie du Finistère - 16, route de Térénez 29590 Le Faou.
Tél. 02 98 81 07 20 - archeologie@finistere.fr

Propriétaires des terrains par secteurs et coordonnées Lambert III étendues

Secteur 1 : X = 48.525217° et Y = -4.310288°

- ZP 27, ZR 25, ZP 29 et ZR 50: Loaec Patrice (Propriétaire)
- ZR 252 et 253 : Moal Jean-Luc (Propriétaire)

Secteur 2 : X = 48.520385° et Y = -4.309001°

- YA 88 et YA 26 : Kervran André (Locataire et propriétaire)
- ZR 51 : Yann Kermarrec (Locataire)

Secteur 3 : X = 48.512880° et Y = -4.304752°

- YB 71 et YB 118 : Non renseigné

Secteur 4 : X = 48.506284° et Y = -4.303722°

- YB 107 : CD 29 (Propriétaire)
- YB 84 : Chopin Jean-François (Propriétaire)
- YB 18 et YB 81 : Caër Alain (Locataire)

Secteur 5 : X = 48.503810° et Y = -4.302778°

- YC 24 et YC 26 : Abiven Auguste (Propriétaire)

Secteur 6 : X = 48.502360° et Y = -4.302177°

- YD 183, YD 230 et YD 232 : Siou Jean-Michel (Propriétaire et locataire)

Secteur 7 : X = 48.499858° et Y = -4.299989°

- YD 157 : Rolland (Propriétaire)

Secteur 8 : X = 48.495592° et Y = -4.296641°

- YE 45 : Simon Alain (Locataire)

Secteur 9 : X = 48.491810° et Y = -4.294667°

- YE 559 et 561 : Simon Alain (Propriétaire)
- YE 31 et 32 : Le Goff (Propriétaire)
- YE 30 : Morvan Gildas (Propriétaire)
- YE 29 : Lunven Bernard (Propriétaire)

Secteur 10 : X = 48.480233° et Y = -4.289088°

- YH 166, 146 et 147 : Salaun Jacques (Locataire)

Intervenants

Direction scientifique

Anne Kergourlay, archéologue

Centre Départemental de l'Archéologie - 16 route de Térénez, 29590 Le Faou

Ronan Bourgaut, responsable du Centre départemental de l'Archéologie

Centre Départemental de l'Archéologie - 16 route de Térénez, 29590 Le Faou

Jean-Charles Arramond

Chargé de Mission, Service Régional de l'Archéologie de Bretagne

Intervenants administratifs

Nathalie Sarrabezolles, présidente du Conseil Départemental du Finistère

32 boulevard Duplex - 29000 Quimper

Yves Menez, conservateur régional de l'archéologie

Service Régional de l'Archéologie - Avenue Charles Foulon - 35700 Rennes

Ronan Bourgaut, responsable du Centre départemental de l'Archéologie

Centre Départemental de l'Archéologie - 16 route de Térénez, 29590 Le Faou

Bruno Le Men, Direction des routes

Direction des routes - Conseil départemental du Finistère - 32 Boulevard Duplex - 29 000 Quimper

Jean-Charles Arramond, chargé de mission

Service Régional de l'Archéologie - Avenue Charles Foulon - 35700 Rennes

Intervenants scientifiques et techniques

Préparation du chantier :

- Ronan Bourgaut (CDA 29)
- Anne Kergourlay (CDA 29)

Fouille , relevés de terrain et prises de vues :

- Anne Kergourlay (CDA 29) - 19 jours
- Caroline Landart (CDA 29) - 17 jours
- Rémy Martinez (CDA 29) - 19 jours

Renforts ponctuels sur terrain (fouille, relevés et prises de vues) :

- Jules Coulin (CDA 29) - 2 jours
- Elodie Guezennec (CDA 29) - 7 jours
- Margaux Lainé (CDA 29) - 2 jours

Topographe :

Bertrand Grall (CDA 29)

Infographie :

- Bertrand Grall (CDA 29) (traitement cartographique)
- Anne Kergourlay (CDA 29) (DAO, traitement cartographique)
- Caroline Landart (CDA 29) (DAO)

Traitement des données

- Bertrand Grall (CDA 29) (Dessins de céramique)
- Anne Kergourlay (CDA 29) (Inventaire, étude du mobilier et dessins)
- Caroline Landart (CDA 29) (inventaire)
- Rémy Martinez (CDA 29) (Inventaire)

Rédaction du rapport :

- Anne Kergourlay (CDA 29)

Terrassement :

COLAS, Agence de Brest
1 rue du Général Leclerc, 29470 Plougastel Daoulas
Chauffeur : Thierry Guilloux

Notice

Ce diagnostic est consécutif à une saisine anticipée du Conseil départemental du Finistère, Direction des routes, dans le cadre de son projet de sécurisation de la RD 770 sur la commune de Ploudaniel, entre Saint-Eloi au sud et le bourg au nord. Le Service régional a donc prescrit cette opération le long des 5,5 km de tracé impacté, distinguant dix secteurs d'exploration archéologique, définis en fonction de critères variés (emprise spatiale des travaux routiers et distances de sécurité principalement), sur une surface cumulée de 6,5 ha. L'opération, menée par le Service départemental de l'archéologie du Finistère, a permis de mettre en évidence plusieurs occupations principalement sur quatre des secteurs.

Tout au nord du tracé, à Kerfelgar Bihan, le diagnostic a permis la découverte d'occupations de l'âge du Bronze, de l'Antiquité et du Haut Moyen Âge. Pour l'âge du Bronze, plusieurs fossés et fosses peuvent appartenir à cette période. Un grand fossé qui forme un angle, permet d'émettre l'hypothèse d'un enclos de cette période. La céramique récoltée dans les sondages réalisés dans celui-ci nous oriente vers une occupation du même type que celle fouillée à eslouc'h (Plouedern) et Rest-Kerolland (Ploudaniel). L'occupation Antique est ténue. Un fossé a pu être daté entre le I^{er} et III^{ème} siècles de notre ère, grâce à la présence d'une cruche quasi complète. La présence probable d'un enclos quadrangulaire de type habitat est l'hypothèse retenue à ce jour. Sur une autre parcelle, une occupation du Haut Moyen Âge a été découverte. Elle se définit principalement par un niveau de destruction, un parcellaire et une probable structure de chauffe.

Vers les lieux dit Auberge-Neuve et Valy Goz, deux secteurs ont permis la découverte de vestiges protohistoriques et médiévaux. L'un (secteur 4) se définit par une fosse qui contenait un vase silo attribuable à l'âge Bronze moyen. Cette fosse était associée à un fossé dont nous supposons qu'il pourrait appartenir à un système plus vaste, comme sur les sites proches de Plouedern Leslouc'h et Ploudaniel route de Kerno, Le Parcou. Le second secteur (secteur 6), se caractérisait par la présence d'un parcellaire médiéval, et par une fosse profonde (plus de 2 m) de l'âge du Fer. Un fossé la recoupait et la découverte de mobilier céramique protohistorique, nous permet de l'attribuer à une période proche

de cette grande fosse. Nous serions face à un petit enclos de la fin de l'âge du Fer.

Enfin, à proximité de la chapelle St-Eloi, plusieurs indices différents d'une ou plusieurs occupations ont été découverts. Un probable enclos trouve des correspondances avec ceux découverts sur le site de Plouedern Rest-Kerolland datés du Haut Moyen Âge, et celui de Ploudaniel route du Kerno daté de l'âge du Bronze. D'autres structures, au nord du secteur, peuvent être comparées à un système de palissade, du même type que ceux découverts sur différents sites de l'âge du Bronze, bien qu'une datation plus récente n'est pas exclue. Enfin, deux bâtiments sur poteaux sont apparus. Ils ne présentent pas la même orientation, mais tous deux se caractérisent par un fossé circulaire dans lequel viennent s'implanter des poteaux. En périphérie d'autres poteaux pourraient participer à la structure. La fonction de ces bâtiments reste indéterminée. S'agit-il de structures funéraires comparables aux enclos circulaires du Haut Moyen Âge de Plouedern Leslouc'h ou de bâtiments d'habitat de l'âge du Bronze ? En l'absence de mobilier, de relation stratigraphique et de résultats de datation radiocarbone, il reste très difficile de déterminer le ou les types d'occupations, ainsi qu'une datation des structures dans ce secteur.

Thésaurus

Chronologie

Préhistoire

Paléolithique

Inferieur

Moyen

Supérieur

Mesolithique et épipaléolithique

Néolithique

Ancien

Moyen

Récent

Chacolithique

Protohistoire

Âge du Bronze

Ancien

Moyen

Final

Âge du Fer

Hallstatt (premier Âge du Fer)

La Tène (second Âge du Fer)

Antiquité romaine (gallo-romain)

République romaine

Empire romain

Haut-Empire (jusqu'en 284)

Bas-Empire (de 285 à 476)

Epoque médiévale

haut Moyen Age

Moyen Age central

bas Moyen Age

Temps modernes

Epoque contemporaine

Ere industrielle

Sujets et thèmes

Edifice public

Edifice religieux

Edifice militaire

Bâtiment

Structure funéraire

Voirie

Hydraulique

Habitat rural

Villa

Bâtiment agricole

Structure agraire

Urbanisme

Maison

Structure urbaine

Foyer

Fosse

Sepulture

Fossé

Grotte

Abri

Megalithe

Artisanat

Argile : atelier

Atelier

Autre

Mobilier

Industrie lithique

Industrie osseuse

Céramique

Restes Végétaux

Faune

Flore

Objet métallique

Arme

Outil

Parure

Habillement

Trésor

Monnaie

Verre

Mosaïque

Peinture

Sculpture

Inscription

Autre (TCA)

Etudes annexes

Géologie

Datation

Anthropologie

Paléontologie

Zoologie

Botanique

Palynologie

Macrorestes

An. de céramique

An. de métaux

Aca. des données

Numismatique

Conservation

Restauration

Localisation de l'opération

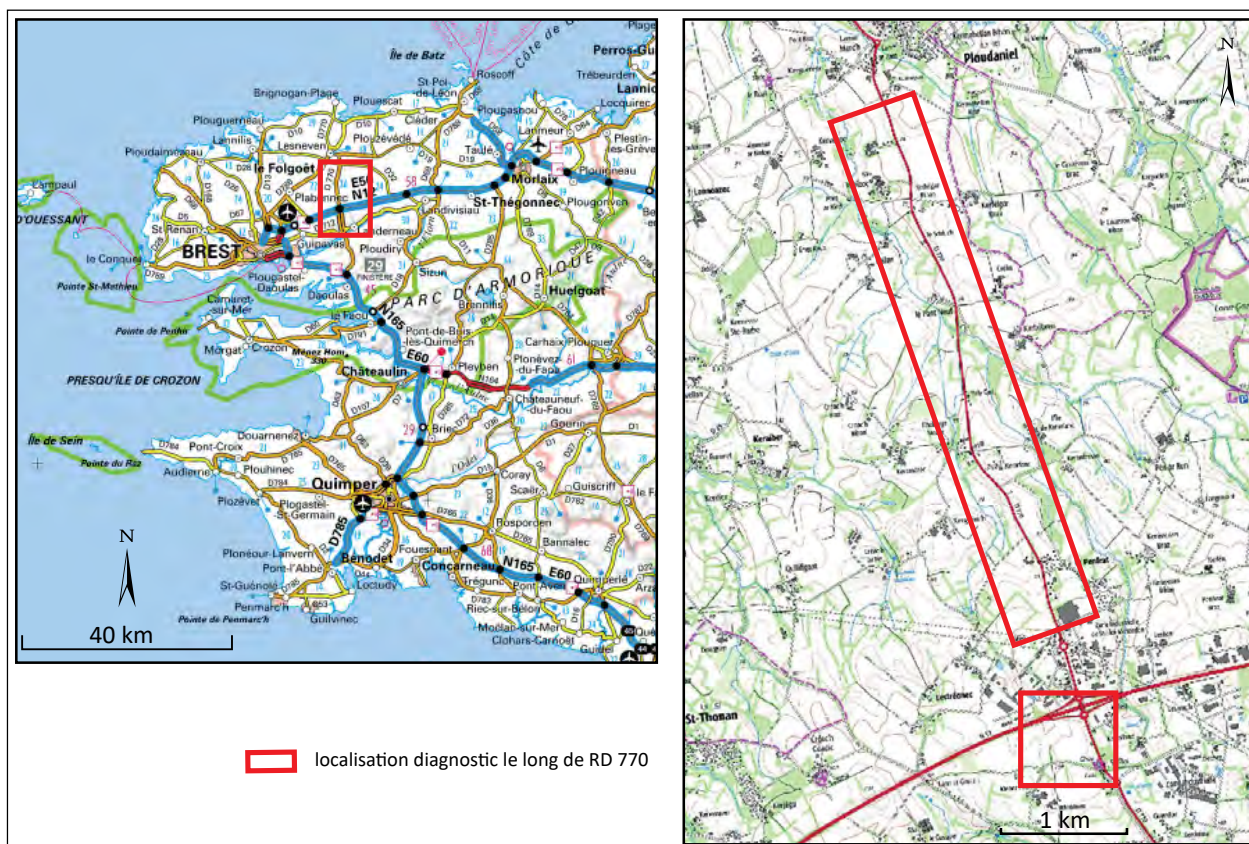


Figure 1 : Plan de localisation du diagnostic (A. Kergourlay sur carte IGN)

Situation de l'opération sur plan cadastral

La commune de Ploudaniel se situe au nord dans le département du Finistère, en région Bretagne et est desservie par l'axe routier RD-770. Le diagnostic archéologique s'est déroulé le long de cet axe entre la chapelle St-Eloi et la bourg de Ploudaniel, au nord de Landerneau (fig. 1, 2 et 3).

Dans le cadre de la sécurisation de l'axe routier RD-770, le Service Régional de l'Archéologie de Bretagne a émis la prescription d'un diagnostic archéologique (arrêté n°2019-080 en date du 26 février 2019). Sur le plan cadastral cadastre 2017, l'opération se situe dans les sections ZP (parcelles

29-33) ; section ZR (parcelles 50-51) ; section YA (parcelles 33-63-65-88-90) ; section YB (parcelles 18-71-79-81-84-107-118-198) ; section YD (parcelles 157-230-232) ; section YE (parcelles 29-30-31-32-45-559-561) ; section YH (parcelles 146-147-166) (cadastre 2017).



Figure 2 : Situation de l'emprise du diagnostic sur plan cadastral : secteur 1 à 5 (DAO A. Kergourlay, sur cadastre 2017)

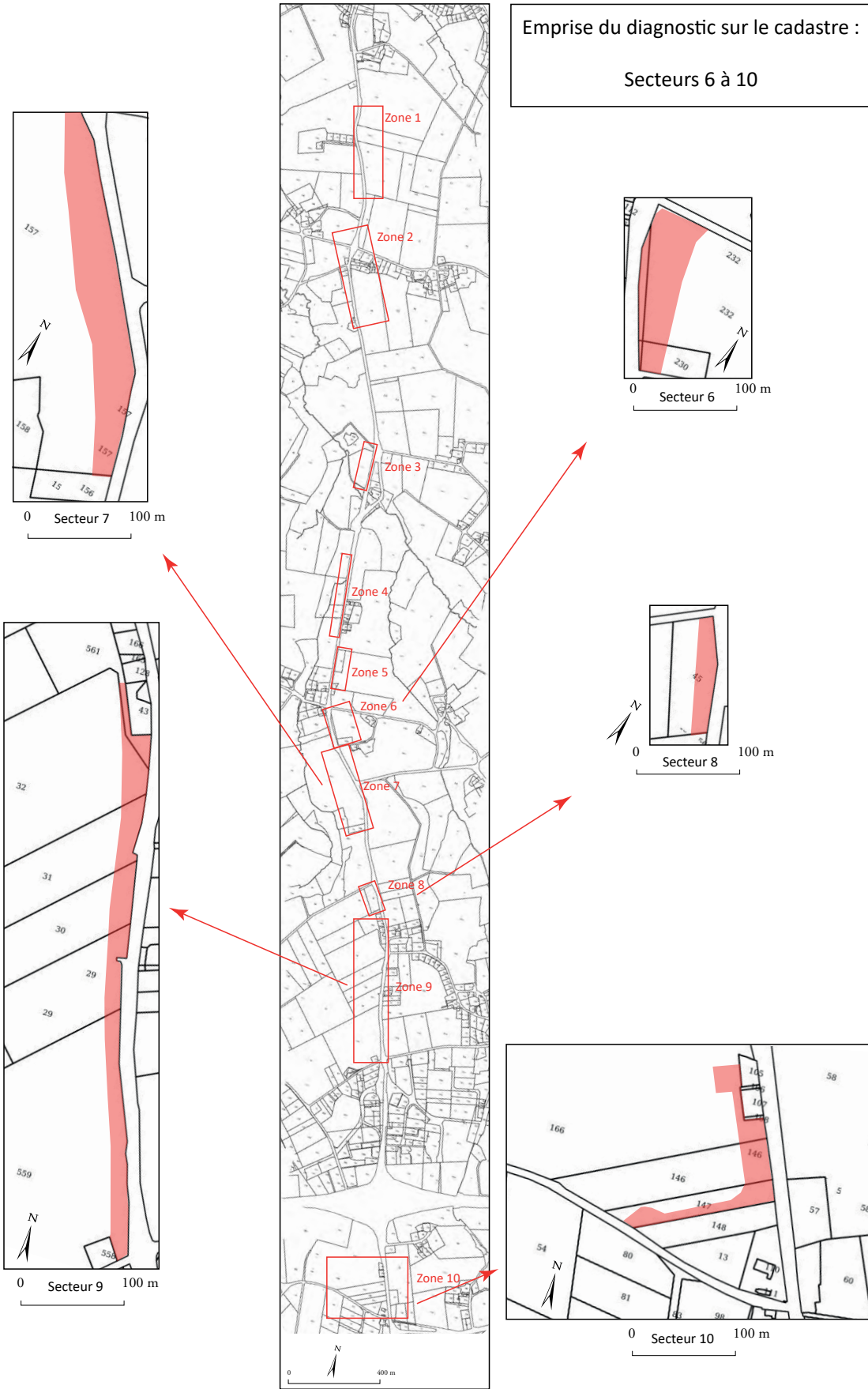


Figure 3 : Situation de l'emprise du diagnostic sur plan cadastral : secteur 6 à 10 (DAO A. Kergourlay, sur cadastre 2017)

Documents administratifs



04 MARS 2019

PRÉFET DE LA RÉGION BRETAGNE

Direction régionale
des affaires culturelles
de Bretagne

Service régional
de l'archéologie

Affaire suivie par
Jean-Charles ARRAMOND
Poste : 02 99 84.59.00
jean-charles.aramond@culture.gouv.fr
Réf. : 2019/JCA/VC/103

Rennes, le 26 février 2019

Le Conservateur régional de l'archéologie

à

Département du Finistère
Conservation départementale du patrimoine
Centre départemental d'archéologie
16 route de Térénez
29590 LE FAOU

Objet : prescription de diagnostic archéologique

Réf : PLOUDANIEL et PLOUEDERN (29)

RD 770

PJ : arrêté n° 2019-080

Je vous prie de trouver ci-joint l'arrêté portant prescription de diagnostic archéologique relatif à l'opération rappelée ci-dessus en référence.

Conformément à l'article R.523-26 du code du patrimoine, vous disposez de quatorze jours à compter de la réception du présent arrêté pour faire connaître votre décision de réaliser le diagnostic. A défaut de notification de votre décision avant l'expiration de ce délai, vous serez réputé avoir renoncé à le réaliser.

Pour la Préfète de la région Bretagne
et par subdélégation,
l'adjoint du Conservateur régional de l'archéologie



Olivier KAYSER



04 MARS 2019

PRÉFET DE LA RÉGION BRETAGNE

Direction régionale
des affaires culturelles

Arrêté n° 2019-080 du 26 février 2019

Service régional de
l'archéologie

ARRÊTÉ n° 2019-080 portant prescription de diagnostic archéologique

**La Préfète de la région Bretagne
Préfète d'Ille-et-Vilaine**

VU le code du patrimoine, notamment son livre V ;

VU l'arrêté du 16 septembre 2004 portant définition des normes d'identification, d'inventaire, de classement et de conditionnement de la documentation scientifique et du mobilier issu des diagnostics et des fouilles archéologiques ;

VU l'arrêté du 27 septembre 2004 portant définition des normes de contenu et de présentation des rapports d'opérations archéologiques ;

VU le décret du 30 octobre 2018 portant nomination de Mme Michèle KIRRY, préfète de la région Bretagne, préfète de la zone défense et de sécurité Ouest, préfète d'Ille-et-Vilaine ;

VU l'arrêté préfectoral n° 2018 DRAC/DSG en date du 19 novembre 2018 portant délégation de signature à M. Michel ROUSSEL, Directeur régional des affaires culturelles de Bretagne ;

VU l'arrêté préfectoral en date du 21 novembre 2018 portant subdélégation de signature ;

VU, la saisine par courrier en date du 18 janvier 2019 par le Département du Finistère, représenté par M. Jean-Claude Huet, Chef de Service Infrastructures de Déplacement au Conseil départemental du Finistère, demandant en vertu des articles R.523-12 et R.523-14 du Code du patrimoine, la réalisation d'un diagnostic archéologique relatif au projet de réaménagement de la RD 770 pour des parcelles situées à Ploudaniel et Plouedern (29) reçue le 22 janvier 2019 par la Direction régionale des affaires culturelles de Bretagne, Service régional de l'archéologie ;

CONSIDÉRANT que, en raison de leur localisation, les travaux envisagés sont susceptibles d'affecter des éléments du patrimoine archéologique. En effet, les terrains concernés par le futur aménagement sont inscrits dans le périmètre où de nombreux vestiges archéologiques sont identifiés, dont certains ont fait l'objet de fouilles préventives ;

CONSIDÉRANT qu'il est nécessaire de mettre en évidence et de caractériser la nature, l'étendue et le degré de conservation des vestiges archéologiques éventuellement présents afin de déterminer le type de mesures dont ils doivent faire l'objet ;

ARRÊTE

Article 1^{er} : un diagnostic archéologique sera réalisé sur le terrain faisant l'objet des aménagements, ouvrage ou travaux susvisés, sis en :

Région : Bretagne

Département : Finistère

Communes : PLOUDANIEL et PLOUEDERN

Lieu-dit : RD.770

Cadastre : section : ZP parcelles : 29-33
section : ZR parcelles : 50-51
section : YA parcelles : 33-63-65-90-88
section : YB parcelles : 118-198-71-79-18-81-107-84
section : YC parcelles : 26-24
section : YD parcelles : 232-230-157
section : YE parcelles : 45-561-32-31-30-29-559
section : YH parcelles : 166-146-147

04 MARS 2019

L'emprise soumise au diagnostic, d'une superficie de 65 739 m², est figurée sur le document annexé au présent arrêté.

Le diagnostic archéologique comprend, outre une phase d'exploration du terrain, une phase d'étude qui s'achève par la remise du rapport sur les résultats obtenus.

Article 2 : Le diagnostic sera réalisé sous la maîtrise d'ouvrage de l'opérateur d'archéologie préventive retenu. Les conditions de sa réalisation seront fixées contractuellement en application des articles R. 523-30 à R. 523-38 du Code du patrimoine susvisé.

Il sera exécuté conformément au projet d'opération élaboré par cet opérateur sur la base des prescriptions annexées au présent arrêté.

Article 3 : Le mobilier archéologique recueilli au cours de l'opération de diagnostic est conservé par l'opérateur d'archéologie préventive retenu le temps nécessaire à son étude qui, en tout état de cause, ne peut excéder cinq ans à compter de la date de fin de la phase terrain du diagnostic.

Article 4 : Le Directeur régional des affaires culturelles est chargé de l'exécution du présent arrêté, qui sera notifié au Département du Finistère - Service Infrastructures de Déplacement - 32 boulevard Duplex, 29000 QUIMPER, à la Mission archéologique du département du Finistère et à l'Institut national de recherches archéologiques préventives.

Fait à Rennes, le 26 février 2019

Pour la Préfète de la région Bretagne
et par subdélégation,
l'adjoint du Conservateur régional de l'archéologie

Olivier KAYSER

Destinataires :
Département du Finistère - Service Infrastructures de Déplacement
Mission archéologique du département du Finistère
INRAP

Copie :
Communes de Ploudaniel et Plouedern



RÉPUBLIQUE FRANÇAISE
PRÉFET DE LA RÉGION BRETAGNE

04 MARS 2019

Cahier des charges
annexé à l'arrêté n° 2019-080
portant prescription de diagnostic archéologique

La Préfète de la région Bretagne
Préfète d'Ille-et-Vilaine

région : Bretagne		
département : Finistère		
commune : PLOUDANIEL et PLOUEDERN		
lieu-dit : RD.770		
Cadastre :	section : ZP	parcelles : 29-33
	section : ZR	parcelles : 50-51
	section : YA	parcelles : 33-63-65-90-88
	section : YB	parcelles : 118-198-71-79-18-81-107-84
	section : YC	parcelles : 26-24
	section : YD	parcelles : 232-230-157
	section : YE	parcelles : 45-561-32-31-30-29-559
	section : YH	parcelles : 166-146-147
pétitionnaire: Département du Finistère		

Emprise du diagnostic archéologique : 65 739 m²

Principes méthodologiques :

L'intervention mécanique, réalisée sous la forme de tranchées linéaires de trois mètres de large permettra de visualiser, après enlèvement de la terre végétale, les zones d'aménagements humains, et de caractériser ces derniers.

Le rapport de diagnostic comportera une version en format pdf destinée à un versement dans la bibliothèque numérique de la D.R.A.C. Bretagne et consultable en ligne, ainsi qu'un plan d'emprise de l'opération de diagnostic figurant les zones ouvertes (sondages, fenêtres, zones éventuellement décapées) et les structures mises au jour, en format shape.

Objectifs :

Le diagnostic a pour objectif de mettre en évidence, de dater et de caractériser l'ensemble des vestiges conservés dans l'emprise du projet d'aménagement. Le rapport de diagnostic devra donc s'attacher à apporter tous les éléments (descriptions précises, diagrammes, plans, planches de mobilier, photographies...) permettant d'apprécier la nature et l'intérêt des vestiges mis au jour afin que leur préservation ou leur sauvegarde par l'étude puisse être envisagée préalablement à la réalisation des travaux.

Une attention particulière devra être portée au niveau d'apparition des vestiges, afin d'évaluer précisément l'impact du futur projet d'aménagement sur le patrimoine archéologique enfouis.

04 MARS 2019

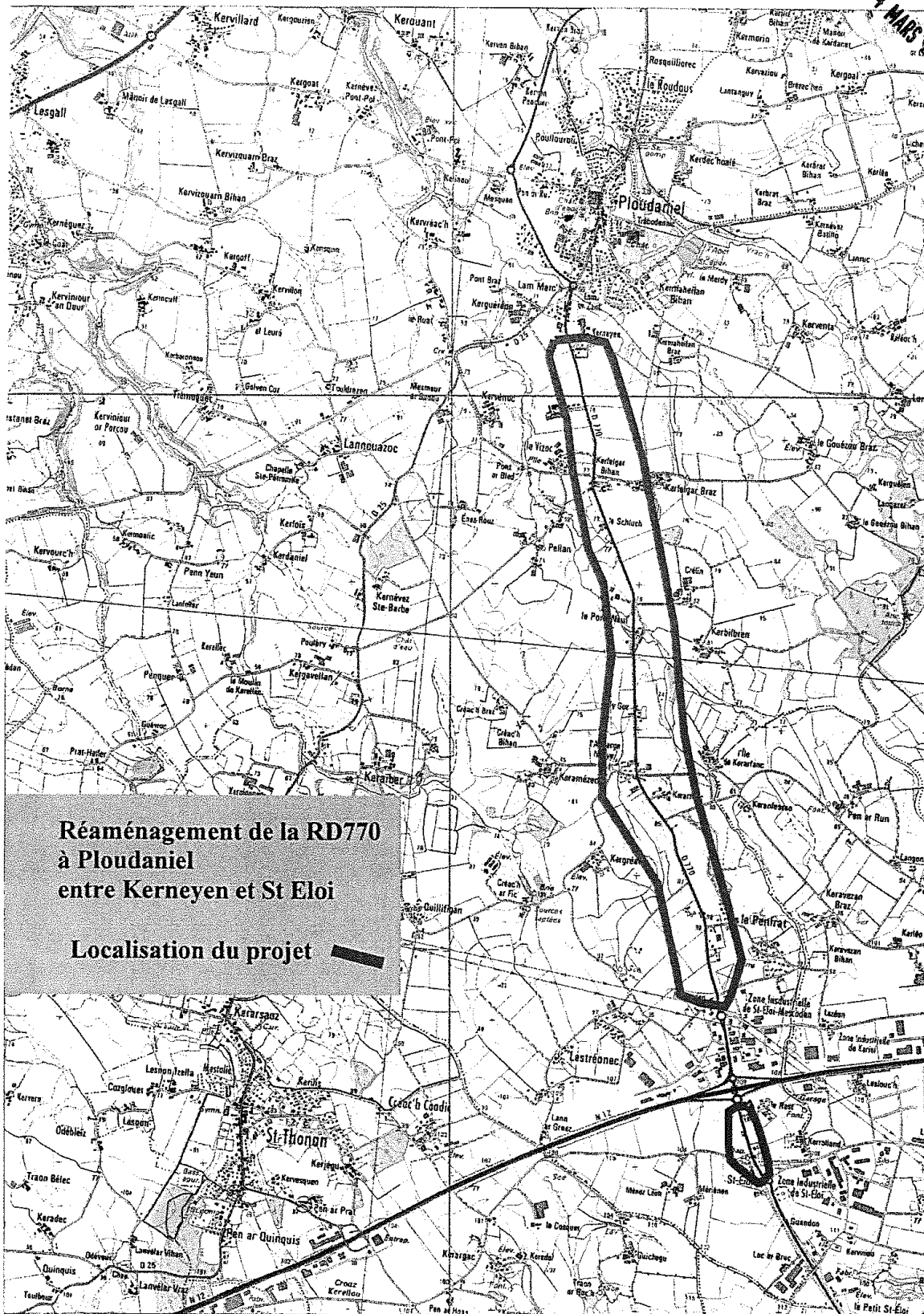
Fait à Rennes, le 26 février 2019

Pour la Préfète de la région Bretagne
et par subdélégation,
l'adjoint du Conservateur régional de l'archéologie



Olivier KAYSER

04 MARS 2019





Liberté • Égalité • Fraternité
RÉPUBLIQUE FRANÇAISE

PRÉFET DE LA RÉGION BRETAGNE

Direction régionale
des affaires culturelles

Arrêté n° 2019-346 du 18 septembre 2019

Service régional de l'archéologie

**Arrêté n° 2019-346 portant désignation du responsable scientifique
de l'opération d'archéologie préventive prescrite par arrêté n° 2019-052**

La Préfète de la région Bretagne
Préfète d'Ille-et-Vilaine

VU le code du patrimoine, notamment son livre V - articles R 522-1 et R 523-22 ;

VU le décret du 30 octobre 2018 portant nomination de Mme Michèle KIRRY, préfète de la région Bretagne, préfète de la zone défense et de sécurité Ouest, préfète d'Ille-et-Vilaine ;

VU l'arrêté préfectoral n° 2018 DRAC/DSG en date du 19 novembre 2018 portant délégation de signature à M. Michel ROUSSEL, Directeur régional des affaires culturelles de Bretagne ;

VU l'arrêté préfectoral en date du 21 novembre 2018 portant subdélégation de signature ;

VU l'arrêté n° 2019-080 du 26 février 2019 portant prescription d'un diagnostic archéologique à réaliser à PLOUDANIEL et PLOUEDERN, RD 770 (29) ;

CONSIDÉRANT que le responsable d'opération n'a pas été désigné par l'arrêté susvisé ;

ARRÊTE

Article 1^{er} : Mme Anne KERGOURLAY - Mission archéologie du département du Finistère, 16 route de Térénez, 29590 Le Faou - est désignée responsable scientifique du diagnostic prescrit par l'arrêté n° 2019-080.

Article 2 : Le Directeur régional des affaires culturelles est chargé de l'exécution du présent arrêté, qui sera notifié à Mme Anne KERGOURLAY.

Fait à Rennes, le 18 septembre 2019

Pour la Préfète de la région Bretagne
et par subdélégation,
le Conservateur régional de l'archéologie

Yves MENEZ

Destinataire :
Mme Anne KERGOURLAY

Copie :
Département du Finistère
Commune de Ploudaniel
Commune de Plouedern

Deuxième section :

**Présentation de l'opération
Résultats archéologiques**

1. Présentation générale de l'opération

1.1. Circonstances de l'intervention

Dans le cadre de la sécurisation de l'axe routier RD-770, le Service Régional de l'Archéologie de Bretagne a émis la prescription d'un diagnostic archéologique (arrêté n°2019-080 en date du 26 février 2019). Celui-ci ne concerne pas l'ensemble des 5,5 km du parcours, mais un zonage a été effectué sur les secteurs accessibles et suffisamment larges pour mener à bien une opération de diagnostic. Cette prescription sur l'axe routier entre Saint-Eloi et Ploudaniel est commandée par la présence de nombreux vestiges archéologiques, dont plusieurs interventions réalisées dans le cadre de l'archéologie préventive ont permis la découverte et la fouille d'occupations anciennes de l'âge du Bronze jusqu'à la période médiévale (Blanchet S., 2013; Mentele S, 2015a et 2015b, Sévin-Allouet C., 2016). Celui-ci ne concerne pas l'ensemble des 5,5 km du parcours, mais un zonage a été effectué sur les secteurs accessibles et suffisamment larges pour mener à bien une opération de diagnostic.

1.2. Contraintes et mode d'intervention

L'emprise du diagnostic est d'une superficie de 65 739 m² sur une distance de 5,5 km entre Saint-Eloi au sud et le bourg de Ploudaniel au nord. Il a été décomposé en dix secteurs de dimensions variables selon les aménagements à venir.

Chaque secteur a été traité indépendamment des autres, au vu de la distance entre chaque zone. Afin de limiter la circulation sur la RD 770 au maximum, le choix a été fait de consacrer en moyenne deux jours par secteur. Ce temps comprenait l'ouverture, l'enregistrement et la fouille des structures, l'enregistrement topographique et la fermeture (fig.4). Quand les conditions de sécurité le permettaient, deux secteurs étaient traités dans un même temps. Ce fut le cas des secteurs 1 et 2 dont l'accès entre les deux zones ne nécessitait pas le passage sur la route.

Dans l'ensemble du diagnostic plusieurs zones n'étaient pas accessibles. L'impossibilité d'accès pouvait résulter de distances de sécurité induites par la présence de réseaux électriques aériens, ou de canalisations (secteurs 6, 7 et 9) (fig. 10, 11 et 13). Il y avait aussi des contraintes dues à l'environnement, comme une zone humide (secteur 3)(fig. 7) ou des

zones boisées (secteur 2) (fig. 6), et d'un accès non possible due à la présence d'une clôture électrique non amovible (secteur 1) (fig. 5). Enfin, il y a eu un accès non autorisé par son propriétaire à une parcelle (secteur 2) (fig.6). Sur la surface totale prescrite, 17.85 % n'était pas accessible.

1.3. Méthodologie

60 tranchées (TR 01 à TR 60) ont été réalisées, sur dix secteurs distincts le long de la RD-770. Les tranchées s'implantent en fonction de la forme des secteurs et des contraintes dues aux terrains, à l'environnement immédiat (présence de canalisations, lignes électriques aériennes, arbres et arbustes, zones humides) et de l'accès aux parcelles. La longueur des tranchées et l'espacement entre celles-ci sont également dictés par ce même ensemble (fig. 5 à 14).

Des fenêtres complémentaires ont été réalisées lorsque cela a été jugé nécessaire à la compréhension des vestiges apparus lors du décapage des tranchées initiales. De même, plusieurs sondages mécaniques ont été mis en œuvre au niveau de fossés et de fosses de grandes dimensions.

Le décapage des tranchées a été réalisé en mode rétro à l'aide d'une pelle mécanique de 18 tonnes à godet lisse de curage large de 2 m, sur pneu, jusqu'à apparition des vestiges.

secteurs	date d'ouverture	date de fermeture	transfert pelle mécanique	nombre de jours effectif de terrain (avec fermeture)
6	16-sept-19	17-sept-19	matin: 18/09/2019	2
4	18-sept-19	19-sept-19	après-midi : 19/09/2019	2
7	20-sept-19	24-sept-19	après-midi : 24/09/2019	2,5
8	24-sept-19	25-sept-19	après-midi : 25/09/2019	1
10	25-sept-19	02-oct-19	pas de transfert	5,5
arrêt du chantier à partir du mercredi 02 octobre après-midi				
reprise du chantier le mercredi 16 octobre au matin				
5 et 3	16-oct-19	16-oct-19	matin : 17/10/2019	1
9	17-oct-19	18-oct-19	après-midi : 18/10/2019	1,5
2 et 1	18-oct-19	24-oct-19	-	4,5
TOTAL JOURS				20

Figure 4 : Tableau récapitulatif de l'intervention sur le terrain (A. Kergourlay)

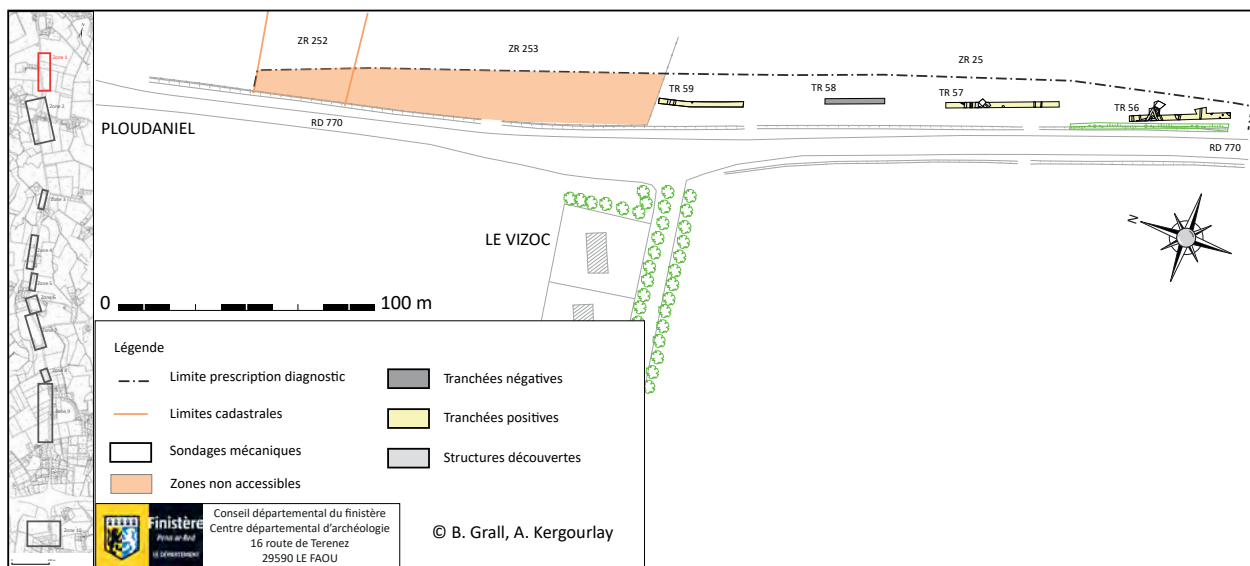


Figure 5 : Implantation des tranchées positives et négatives du secteur 1, Le Vizoc, avec zone non accessible (B. Grall, DAO A. Kergourlay)

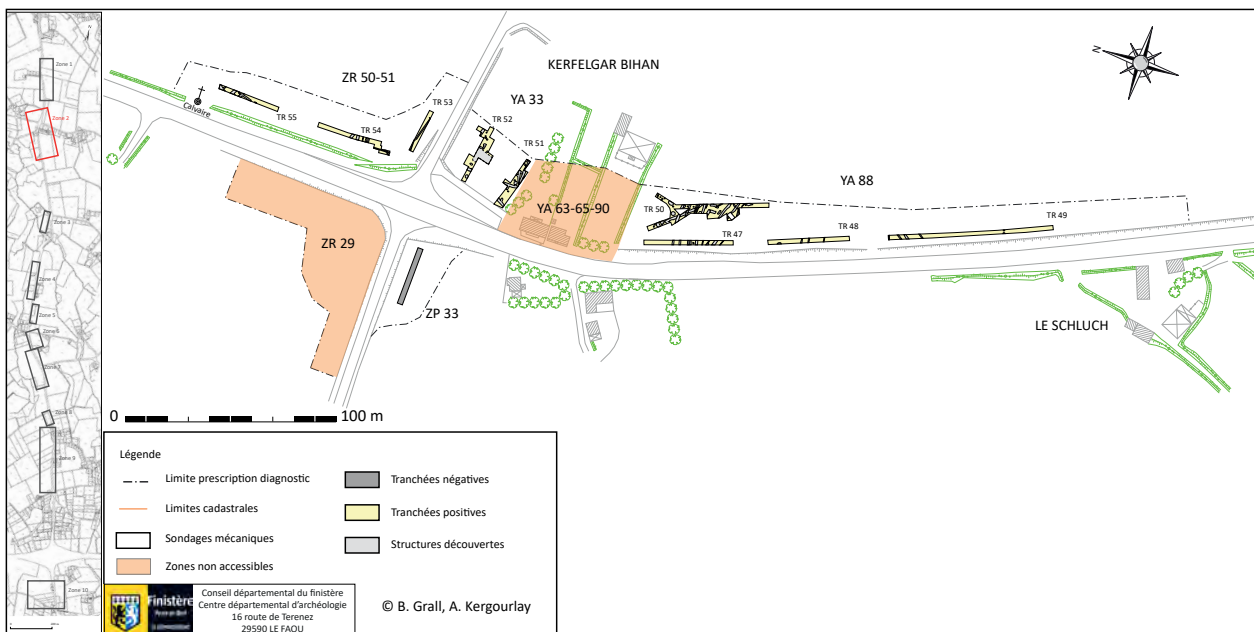


Figure 6 : Implantation des tranchées positives et négatives du secteur 2, Kerfelgar Bihan, avec zones non accessibles (B. Grall, DAO A. Kergourlay)

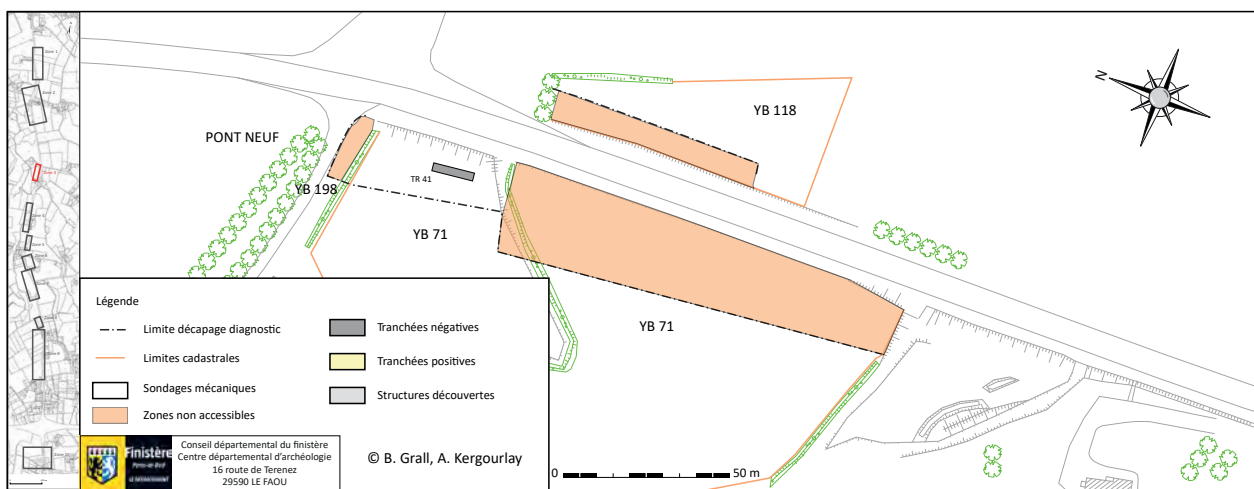


Figure 7 : Implantation des tranchées positives et négatives du secteur 3, Pont-Neuf, avec zones non accessibles (B. Grall, DAO A. Kergourlay)

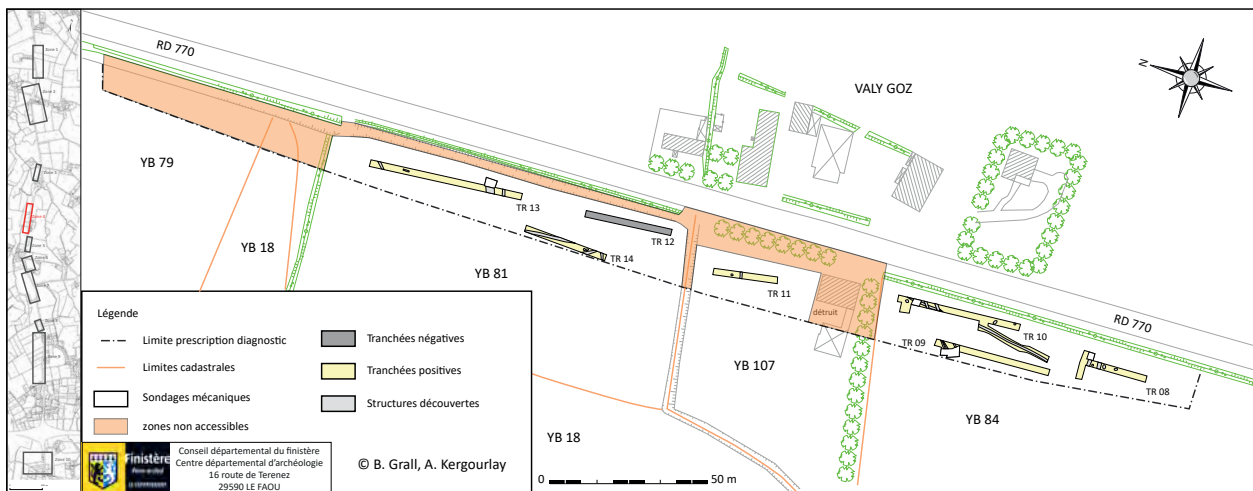


Figure 8 : Implantation des tranchées positives et négatives du secteur 4, Valy Goz, avec zones non accessibles (B. Grall, DAO A. Kergourlay)

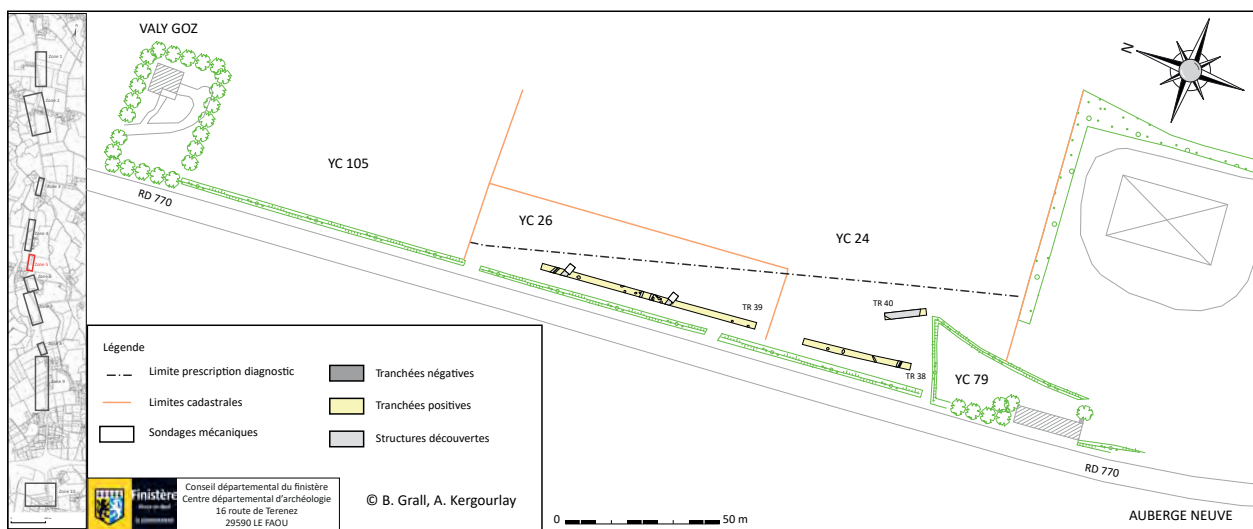


Figure 9 : Implantation des tranchées positives et négatives du secteur 5, Valy Goz- Auberge Neuve (B. Grall, DAO A. Kergourlay)

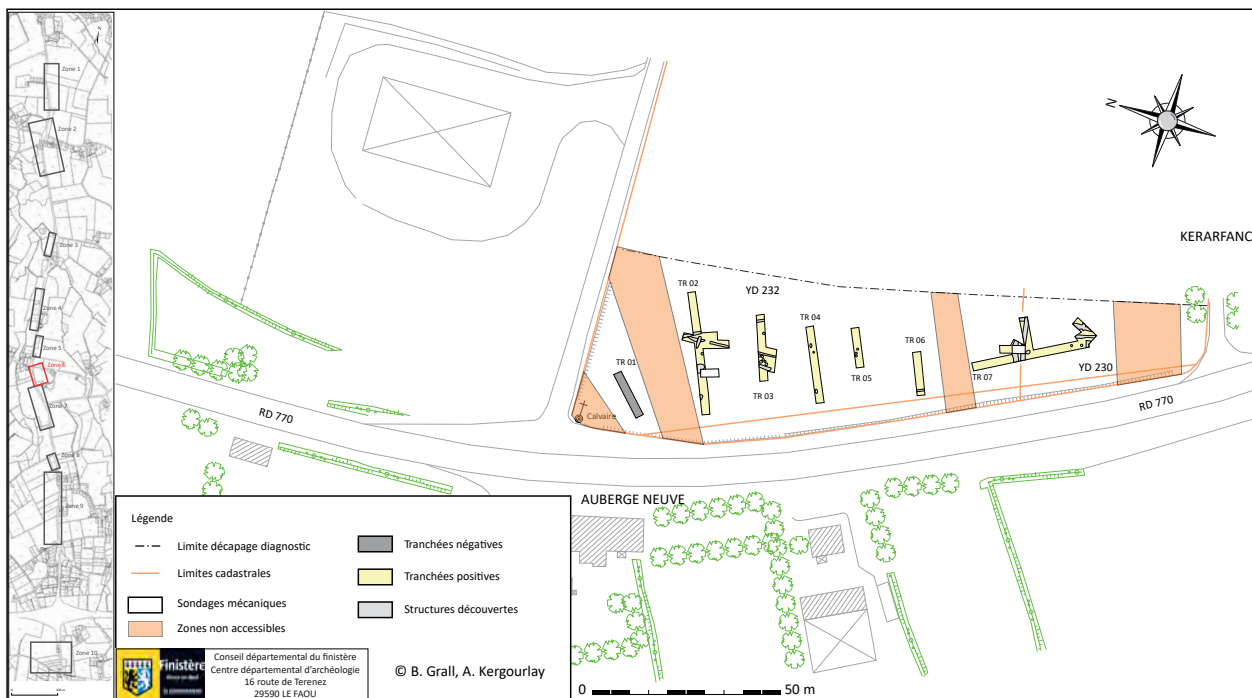


Figure 10 : Implantation des tranchées positives et négatives du secteur 6, Auberge Neuve, avec zones non accessibles (B. Grall, DAO A. Kergourlay)

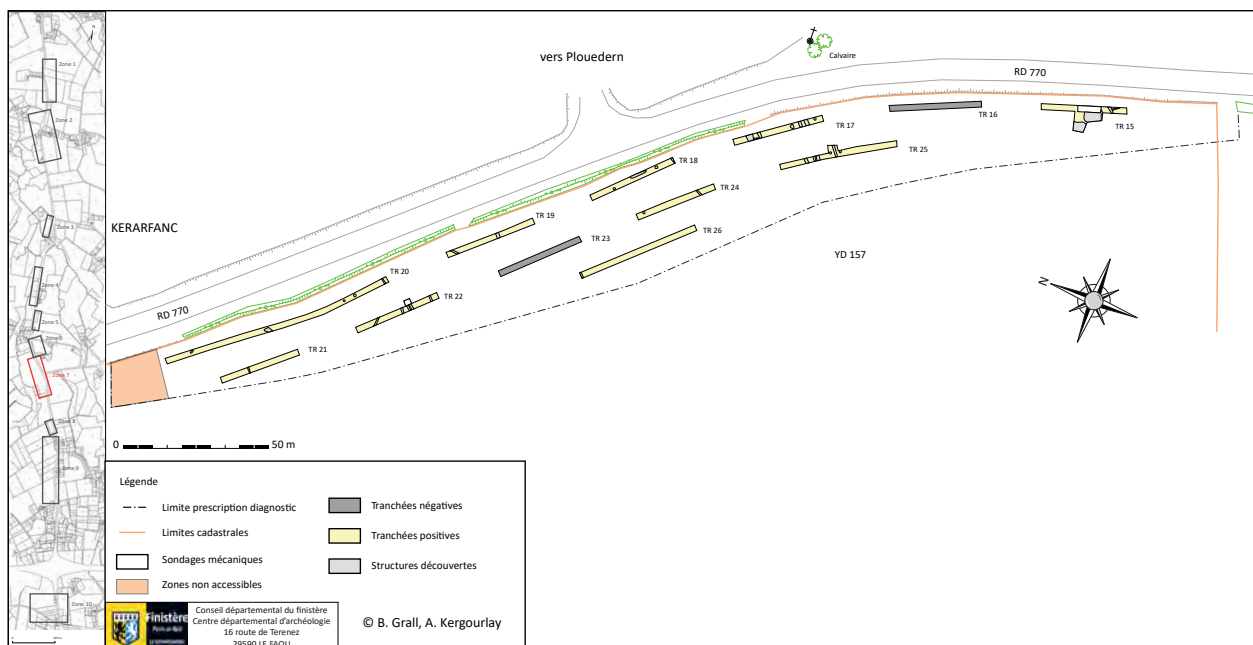


Figure 11 : Implantation des tranchées positives et négatives du secteur 7, Auberge Neuve- Kerarfanc, avec zones non accessibles (B. Grall, DAO A. Kergourlay)

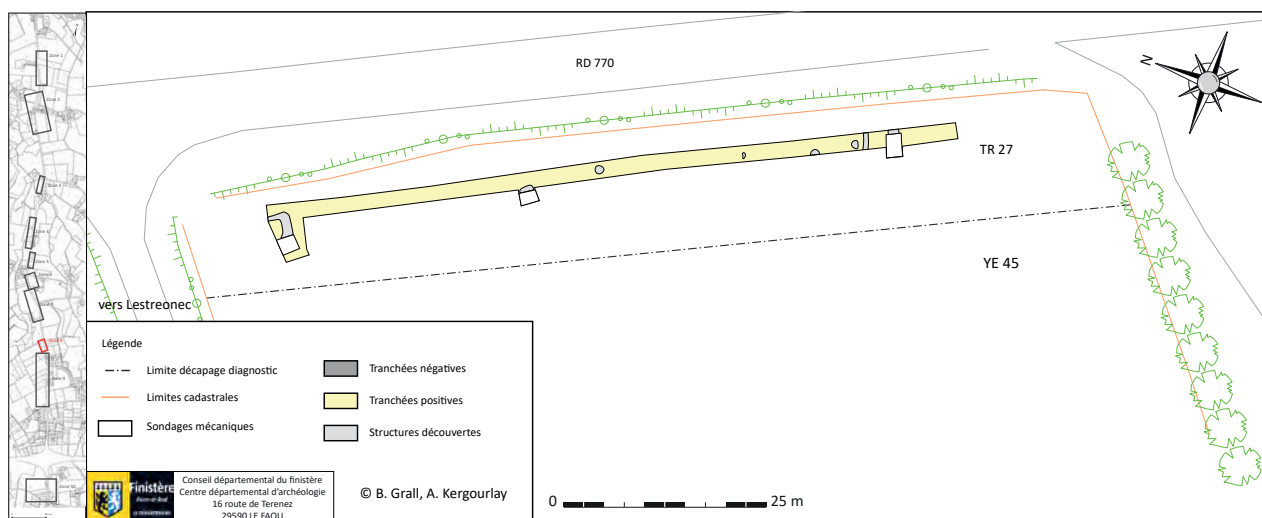


Figure 12 : Implantation des tranchées positives et négatives du secteur 8, Lestreonec (B. Grall, DAO A. Kergourlay)

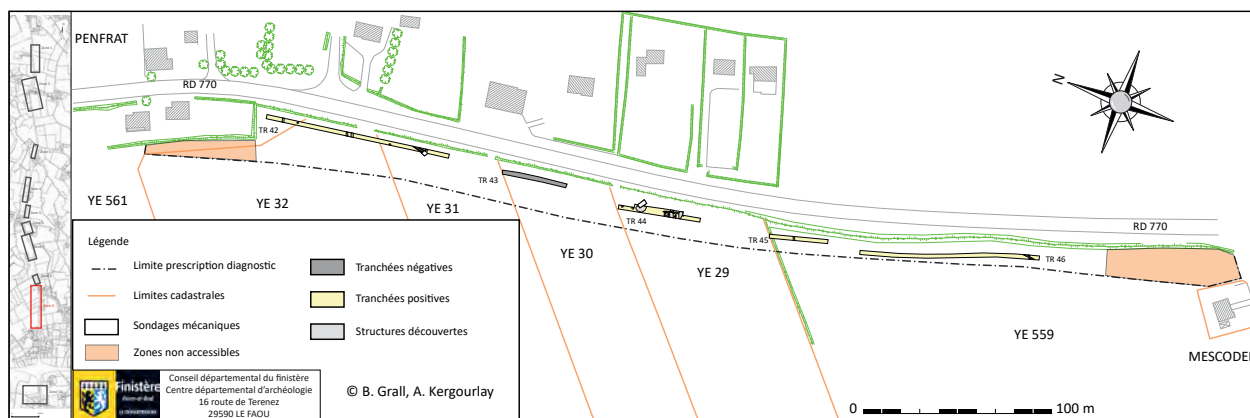


Figure 13 : Implantation des tranchées positives et négatives du secteur 9, Penfrat- Mescoden, avec zones non accessibles (B. Grall, DAO A. Kergourlay)

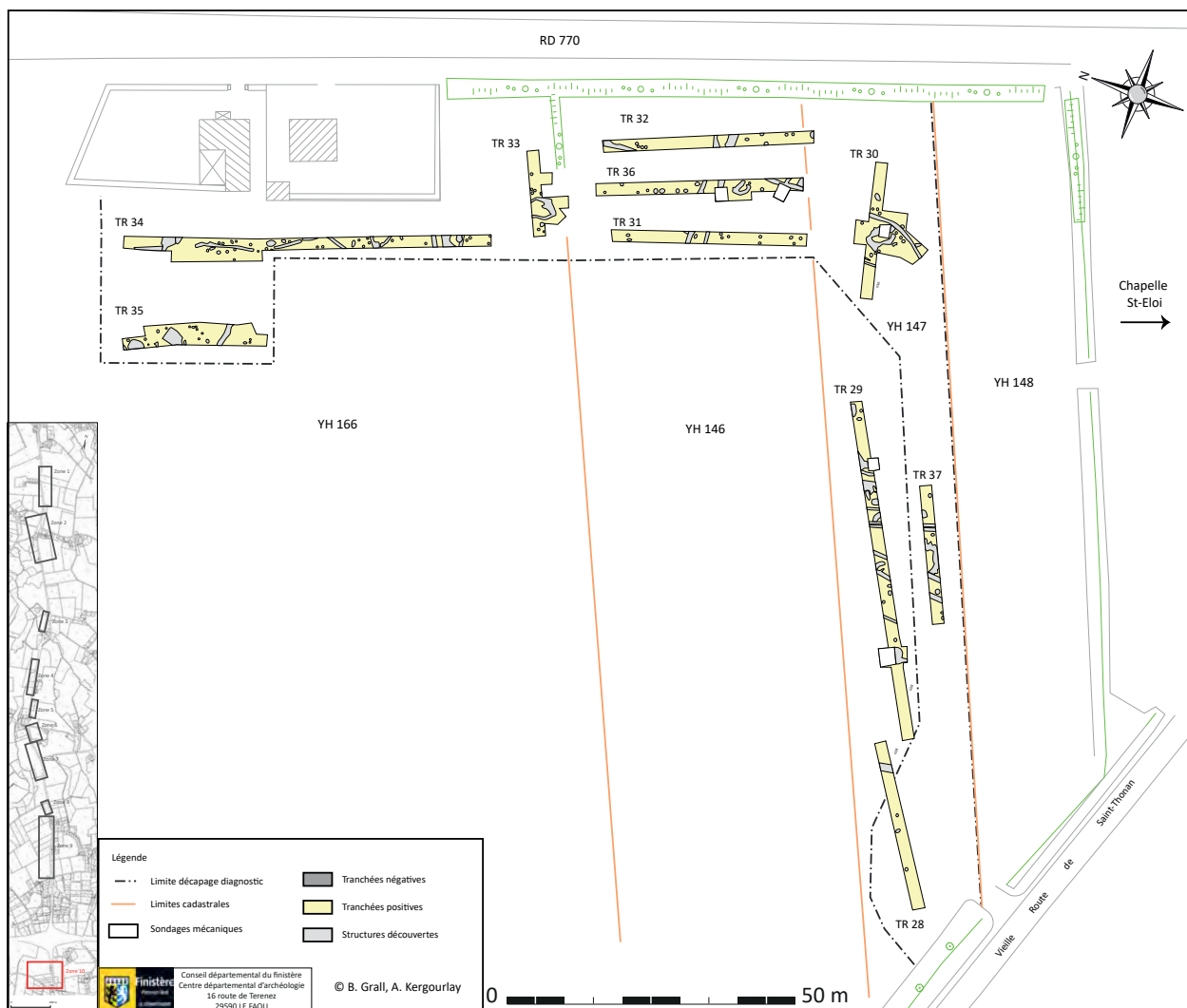


Figure 14 : Implantation des tranchées positives et négatives du secteur 10, Saint-Eloi, avec zones non accessibles (B. Grall, DAO A. Kergourlay)

1.4. Traitement des archives du sol

Les données stratigraphiques et indices archéologiques ont été enregistrés sur le terrain par le biais d'observations, de prises de mesures ainsi que d'une couverture photographique quotidienne. Les indices archéologiques découverts ont été enregistrés sur le terrain et relevés par le topographe. Les sondages manuels ont fait l'objet d'un relevé au 1/20^e ou 1/10^e selon le jugement du fouilleur. L'enregistrement de terrain a été suivi par la conception de plans topographiques du secteur diagnostiqués, à l'aide des logiciels Autocad© et Adobe Illustrator©.

Pendant la période d'étude, la documentation produite et le mobilier archéologique ont été conservés au sein du Centre départemental de l'archéologie.

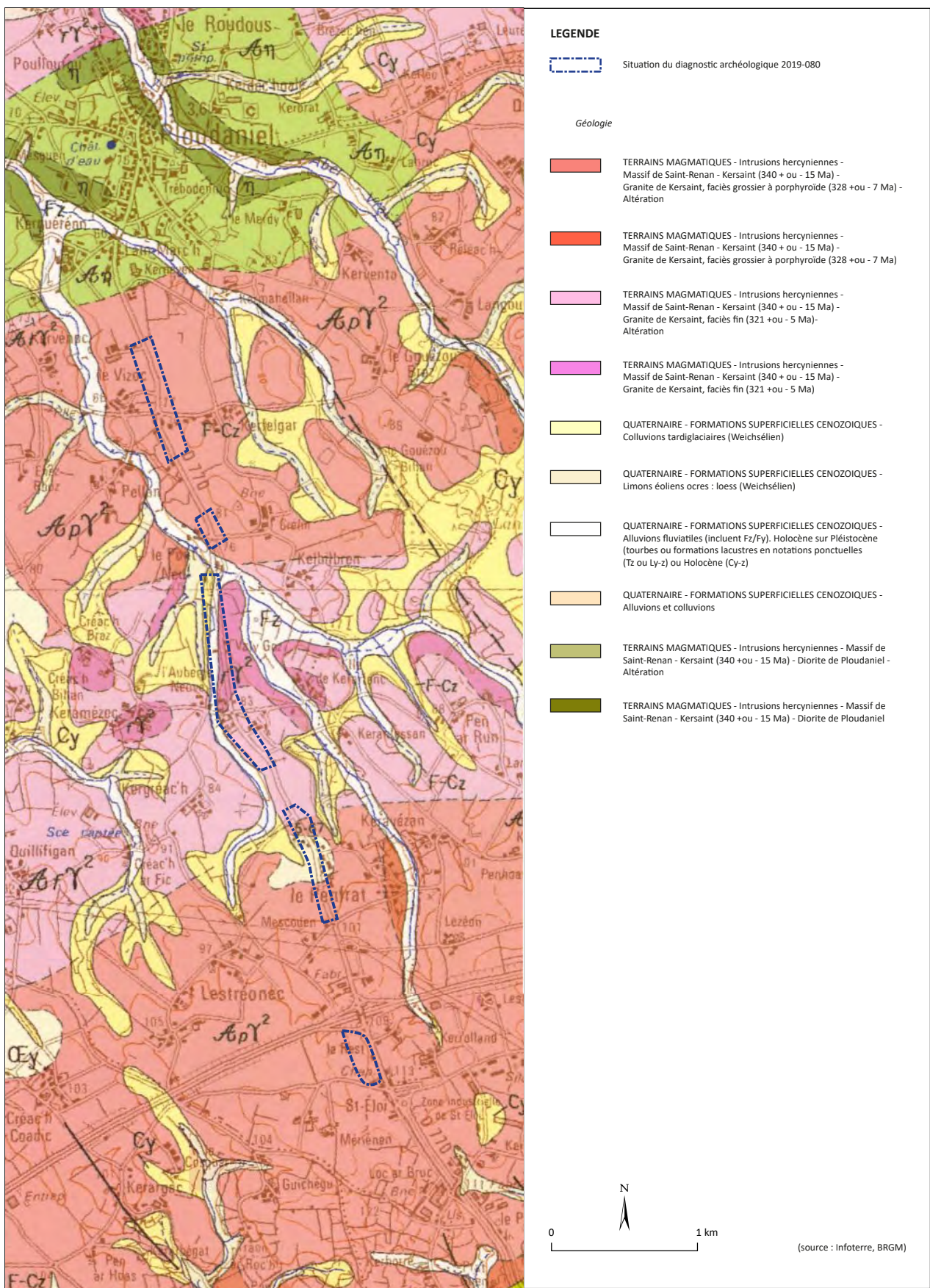


Figure 15 : Implantation du diagnostic sur la carte géologique (A. Kergourlay sur carte BRGM)

1.5. Contexte géologique et archéologique

1.5.1. Contexte géologique et hydrographique (fig. 15 et 16)

Le diagnostic archéologique est localisé sur le plateau du Léon entre l'Elorn au sud et l'Aber Wrac'h au nord, il est situé à une altitude comprise entre 75 et 110 m NGF. L'emprise de la prescription se trouve sur des terrains magmatiques (Darboux J.R. et *alii.*, 2010). Le substrat rocheux est celui du massif de Saint-Renan-Kersaint. Au nord et au sud de la zone ce sont les granites de Kersaint à faciès grossier à porphyroïde qui dominent. Ils ont une teinte claire avec des cristaux de feldspaths potassiques pouvant atteindre 5 cm. Un faciès plus fin, à deux micas, se distingue au sein de ce premier faciès. Il s'agit du granite de Saint-Renan, avec une teinte plus claire due à une plus grande richesse en muscovite. On le retrouve dans la zone centrale de la prescription, autour d'Auberge Neuve. La carte signale également la présence de formations superficielles d'âge cénozoïques : des colluvions tardiglaciaires et une poche loessique autour de Penfrat. De même des alluvions fluviales holocène sont visibles en particulier entre Auberge Neuve et Pont-Neuf.

Plusieurs logs ont été réalisés le long du parcours. Pour un soucis de clarté ils ont été intégrés à la partie suivante «Résultats archéologiques».

Il est aussi important de souligner le réseau hydrographique dense sur lequel s'implante le diagnostic. En effet, l'opération a lieu sur des terrains appartenant à deux bassins versants, celui de l'Aber Wrac'h et celui de l'Elorn. L'implantation du diagnostic se situe le long de ruisseaux participant au flux de l'Aber Wrac'h. Ce dernier permet un accès à la Manche. L'Elorn, au sud, permet un accès à la Rade de Brest. Cette situation géographique et hydrographique a pu favoriser l'installation humaine, du moins dès l'âge du Bronze (P. Poilpré *in* Blanchet S., 2013). La carte de Cassini de 1783 (fig. 17) illustre l'importance des hameaux le long des différents affluents de l'Elorn et l'Aber Wrac'h, avec un réseau assez dense de moulins à eau.

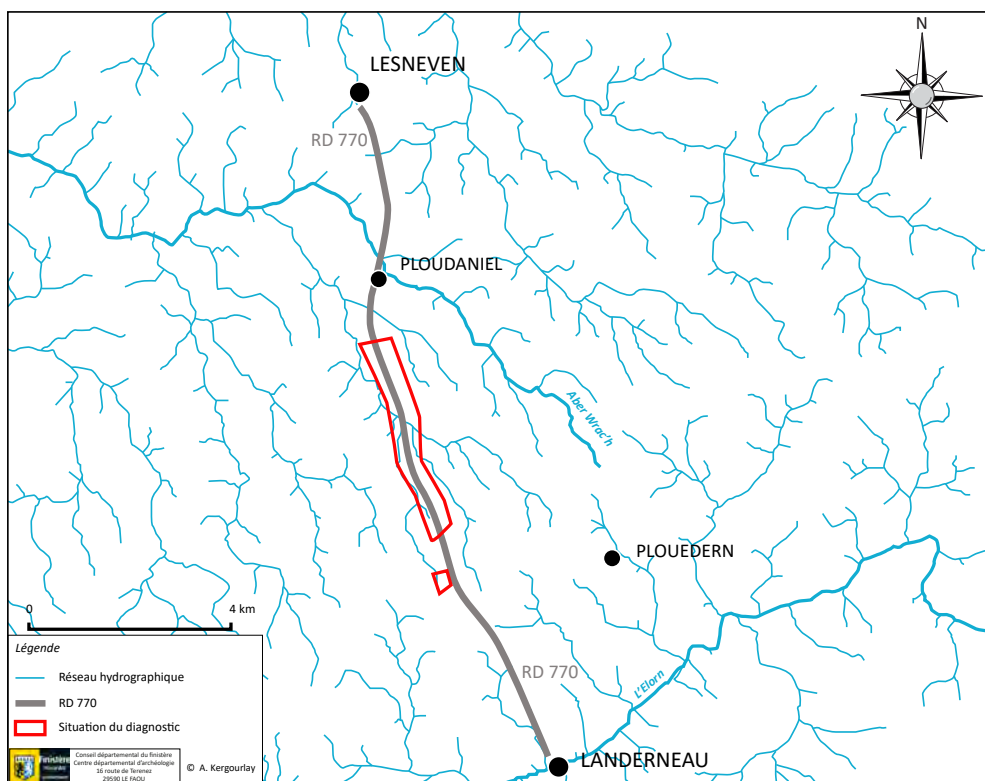


Figure 16 : Implantation du diagnostic par rapport au réseau hydrographique (source Agrocampus Ouest, INRA, GéoBretagne)



Figure 17 : Implantation du diagnostic sur la carte de Cassini de 1783 (DAO A. Kergourlay)

1.5.2. Contexte archéologique (fig. 18 à 21)

Cette prescription est commandée par la densité assez importante de sites toutes périodes confondues sur le secteur entre Saint-Eloi et Ploudaniel.

Le diagnostic prend d'ailleurs place immédiatement à l'ouest de la ZAC de Plouedern Leslouc'h et Rest-Kerrollant, dont des opérations préventives ont permis la découverte de vestiges importants de l'âge du Bronze jusqu'à l'époque médiévale (Mentele S., 2006 ; Mentele S., 2015a ; Mentele S. 2015b ; Blanchet S., 2013). Au nord de Ploudaniel, la ZAC de Kerno, route du Parcou a révélé des vestiges archéologiques principalement datés de la protohistoire (âges du Bronze et du Fer) et quelques indices de l'Antiquité (Mentele S., 2014; Sévin-Allouet C., 2016).

En dehors de ces deux zones qui ont fait l'objet d'une fouille préventive récente plusieurs autres indices d'occupation sont présents dans le secteur géographique du diagnostic RD 770 (fig. 18, 19, 20 et 21)

La Préhistoire est représenté par trois sites. Deux ensembles du Mésolithique (EA 29 179 0031 ; EA 29 295 0001) qui ont été identifiés autour de l'ancienne tourbière de Lann Gazel et un site du Néolithique (EA 29 181 0010) est connu au sud de Plouedern Leslouc'h.

La Protohistoire est surtout illustrée par l'importance des vestiges datés de l'âge du Bronze. Cette période est marquée par des occupations funéraires (EA 29 179 0001 ; EA 29 179 0038 ; EA 29 181 0002 ; EA 29 255 0001 ; EA 29 288 0001 ; EA 29 288 0003) et d'habitat (EA 29 181 0007 ; EA 29 181 0023 ; EA 29 181 0026 ; EA 29 181 0039 ; EA 29 179 0038), ainsi qu'un dépôt métallique (EA 29 179 0027). Quant à l'âge du Fer, plusieurs stèles sont à signaler sur le secteur (EA 29 179 0024 ; EA 29 179 0034 ; EA 29 179 0035 ; EA 29 179 0036), ainsi que de nombreux souterrains (EA 29 179 0017 ; EA 29 179 0043 ; EA 29 181 0001 ; EA 29 181 0014 ; EA 29 181 0020 ; EA 29 181 0009 ; EA 29 181 0012). Une enceinte est également signalée sur Penfrat (EA 29 181 0002).

Pour l'Antiquité, la détermination du type d'occupation n'a pu être réalisée pour un nombre important d'indices. Autour du bourg de Ploudaniel,

une *villa* ainsi que des éléments de défense sont indiqués (EA 29 179 0028 ; EA 29 179 0009). Les autres indices d'occupation de cette période sont définis comme des enclos et/ou réseaux fossoyés (EA 29 179 0040 ; EA 29 181 0008 ; EA 29 181 0015).

Les indices du Moyen Âge sont localisés principalement à l'est de l'actuelle route départementale (RD 770). Une concentration est à noter au niveau de St-Eloi, résultat probable des différentes opérations de diagnostics et de fouilles préventives sur cet espace. Elle regroupe une motte castrale, des bâtiments divers et une zone d'habitat, avec un système d'enclos et de fossés (EA 29 179 0041 ; EA 29 179 0042 ; EA 29 181 0009 ; EA 29 181 0021 ; EA 29 181 0024). Immédiatement au nord de cette zone, deux enceintes sont signalées (EA 29 179 0003 ; EA 29 181 0019), ainsi qu'une motte castrale ou maison forte (EA 29 181 0013).

Au nord de la zone géographique, une troisième motte castrale est indiquée (EA 29 255 0003), ainsi qu'une maison forte (EA 29 288 0005). Une enceinte est signalée à Coz Castel (EA 29 255 0011). L'ensemble de ces indices illustrent une occupation dense du territoire à cette période. La carte de Cassini de 1783 indique une densité importante de hameaux et/ou fermes, ainsi que de moulins à eaux, le long des divers ruisseaux qui coulent dans le secteur (fig. 17). Une implantation d'une partie d'entre eux dès l'époque médiévale est probable.

Il faut également signaler quelques indices d'occupations dont une datation n'a pu être proposée. C'est le cas d'enclos et d'enceintes principalement.

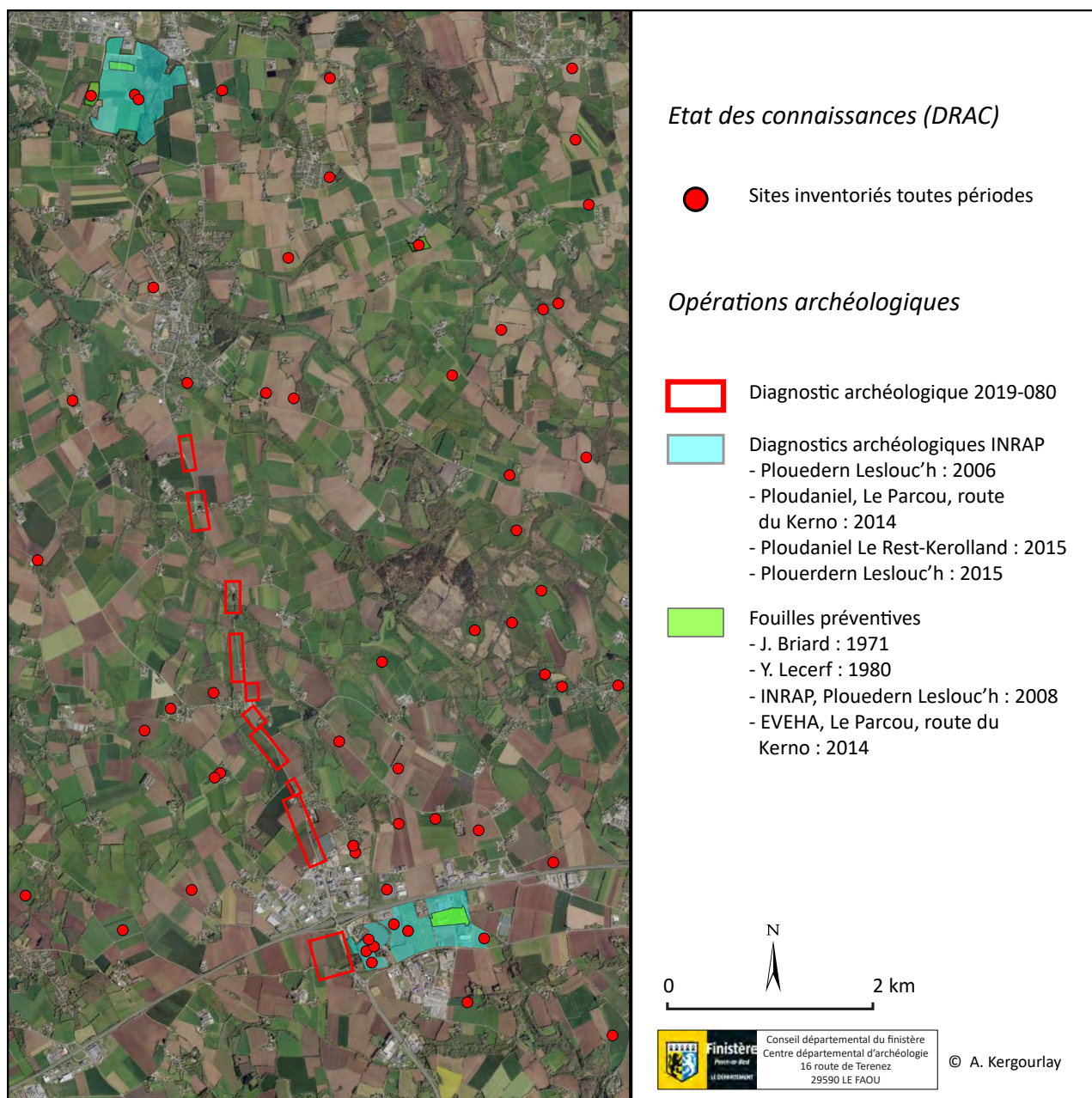


Figure 18 : Entités archéologiques proches du secteur diagnostiqué et implantations des diagnostics et fouilles précédentes (A. Kergourlay sur carte GéoBretagne-DRAC)

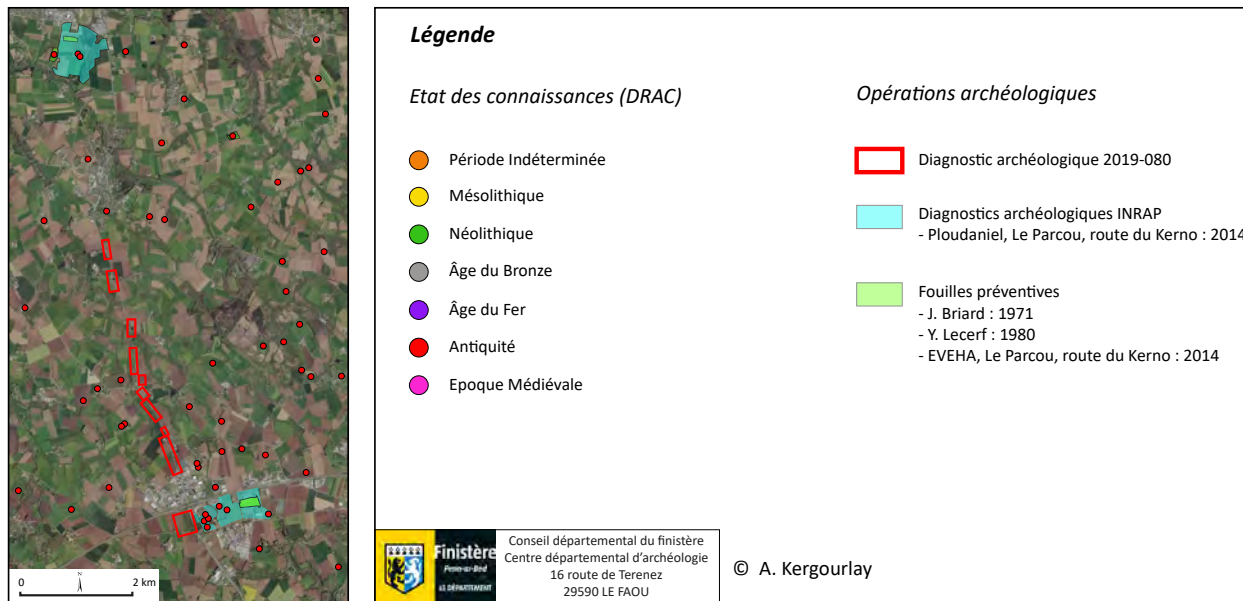


Figure 19 : Entités archéologiques proches du secteur diagnostiqué et implantations des diagnostics et fouilles précédentes, zoom nord (A. Kergourlay sur carte GéoBretagne-DRAC)

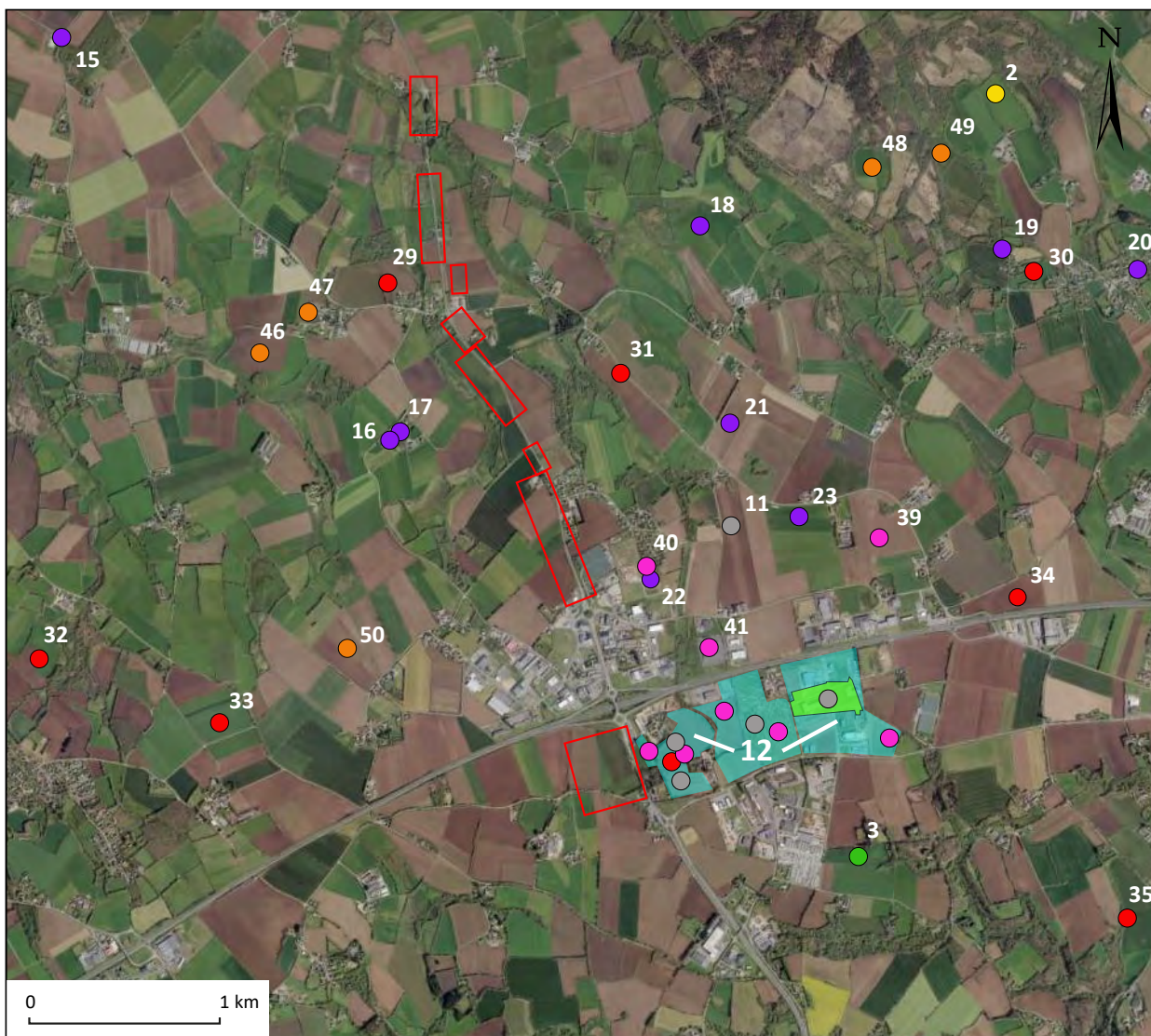
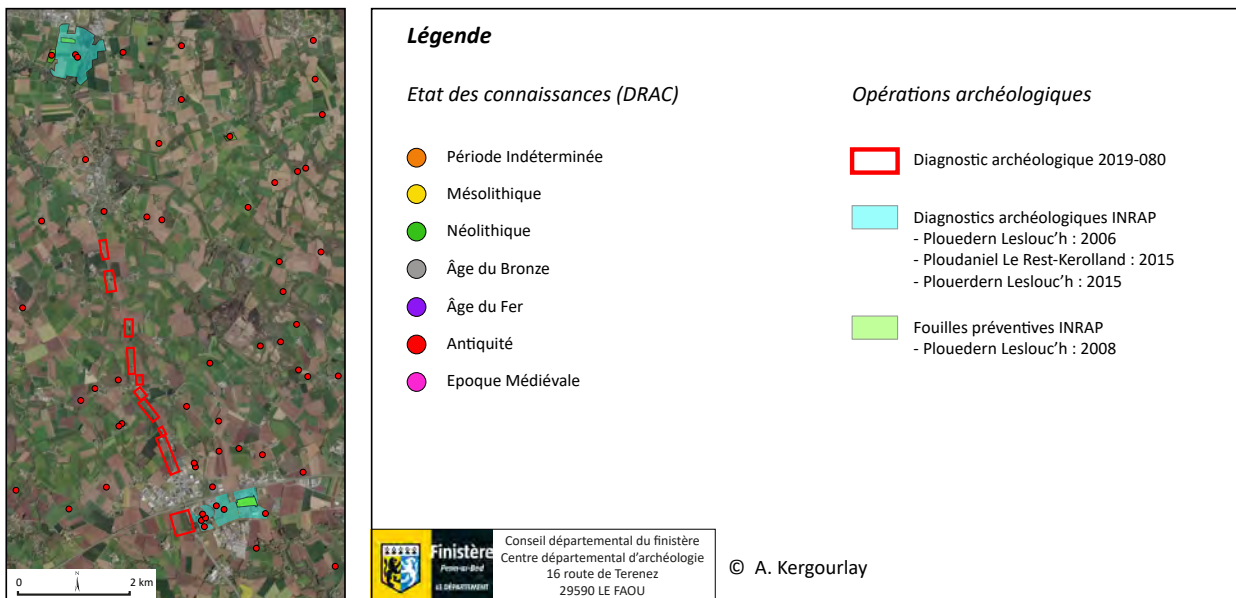


Figure 20 : Entités archéologiques proches du secteur diagnostiqué et implantations des diagnostics et fouilles précédentes, zoom sud (A. Kergourlay sur carte GéoBretagne-DRAC)

N° sur carte	Périodes chronologiques	communes	lieux-dits	N° EA	description	
1	Mésolithique	PLOUDANIEL	Île Berthou	29 179 0031		
2		TREMAOUZAN	Kergongar	29 295 0001		
3	Néolithique	PLOUEDERN	Kerecun	29 181 0010		
4	Âge du Bronze	PLOUDANIEL	Kernevez Kerno	29 179 0001	coffre funéraire	
6			Kerannou	29 179 0027	dépôt métallique	
5			Kernevez Kerno	29 179 0038	habitat, enclos funéraire	
10			Kermahellan Bihan	29 179 0044	occupation indéterminée	
11		PLOUEDERN	Keravezan Bihan	29 181 0002	tumulus	
12					29 181 0007	habitat, enclos
			Leslouc'h et Rest-Kerolland	29 181 0023	chemin	
				29 181 0026	fossés	
9		ST-MEEN	Parc-dossen	29 255 0001	tumulus	
8		TREGARANTEC	Leurre	29 288 0001	caveau	
7			Kergoal	29 288 0003	tumulus	
22	Âge du Fer	PLOUDANIEL	Penfrat	29 181 0002	enceinte	
14			Runhuel	29 179 0017	souterrain	
15		PLOUDANIEL	Lec'h du calvaire de Mezki	29 179 0024	stèle	
16			Kergrac'h	29 179 0034	stèle	
17			Kergrac'h	29 179 0035	stèle	
13			Le Ruat	29 179 0036	stèle	
5		PLOUEDERN	Kernevez Kerno	29 179 0043	souterrain, fosse	
18			Pen ar run	29 181 0001	dépôt, souterrain, exploitation agricole	
23			Kerleo	29 181 0014	souterrain, exploitation agricole	
21			Keravzevan	29 181 0020	souterrain, exploitation agricole	
20			Bourg	29 295 0009	souterrain, exploitation agricole	
19	Hellez		29 295 0012	souterrain, exploitation agricole		
25	Antiquité	PLOUDANIEL	Ar Kastellig	29 179 0009	défense	
24			Pen ar Ru	29 179 0028	villa, mur, sol, occupation	
29			Keramezec	29 179 0032	occupation	
12			Leslouc'h et Rest-Kerolland	29 179 0040	réseau de fossés, enclos	
27		Kergongar	29 179 0045	occupation		
35		Runhuel	29 181 0008	enclos, exploitation agricole		
34		Keriel	29 181 0015	enclos		
31		Keranfessan	29 181 0025	occupation		
26		Boucheozen	29 255 0004	occupation, mur		
33		ST-THONAN	Creac'h Coadic	29 268 0001	occupation	
32		Kerarsaoz	29 268 0002	occupation		
30	TREMAOUZAN	Kervalguez	29 295 0004	occupation		
28		Ar c'habis	29 295 0006	occupation		
40	Epoque Médiévale	PLOUDANIEL	Kastellic	29 179 0003	enceinte	
12			Leslouc'h et Rest-Kerolland	29 179 0041	enclos	
12			Leslouc'h et Rest-Kerolland	29 179 0042	enclos, fossés	
12		PLOUEDERN	Leslouc'h et Rest-Kerolland	29 181 0009	motte castrale, chemin, bâtiment enclos	
39			Penhoat Braz	29 181 0013	motte castrale, maison forte	
41			Parc ar C'hastel	29 181 0019	enceinte	
12			Leslouc'h et Rest-Kerolland	29 181 0021	habitat, enclos	
12		Leslouc'h et Rest-Kerolland	29 181 0024	habitat		
38		ST-MEEN	Quillimarec	29 255 0003	motte castrale	
37			Coz Castel	29 255 0011	enceinte	
36		TREGARANTEC	Le Rhû	29 288 0005	maison forte	
47	Indéterminé	PLOUDANIEL	Keramezec	29 179 0013	enclos	
45			sud Kervillien	29 179 0014	enclos	
46			Keramezec	29 179 0016	enceinte	
50			Lestreonec	29 179 0019	enclos	
44			Kerventa	29 179 0020	enclos	
42		ST-MEEN	Pouloupry	29 255 0002		
43		TREGARANTEC	sud de Lantarguy	29 288 0002	enclos	
48		TREMAOUZAN	Lann Gazel 1	29 295 0002	enceinte	
49			Lann Gazel 2	29 295 0005	enceinte	

Figure 21 : Numérotation des entités archéologiques sur les figures 18 et 19 (A. Kergourlay d'après carte GéoBretagne-DRAC)

2. Résultats archéologiques

2.1. Secteur 1 : Le Vizoc

2.1.1. Présentation générale

Dans ce secteur, quatre tranchées ont été réalisées. Une seule était négative (tranchée 58). Les structures apparues se présentent principalement sous la forme de fossés, quelques fosses et/ou trous de poteaux sont aussi à noter, de même qu'un chablis (F 57.05). Le mobilier était rare (4 fragments de céramique) et trouvé en surface des structures.

La dynamique sédimentaire du secteur est représentée par quatre logs relevés sur les bernes est-nord-est des tranchées 56, 57 et 59 (fig. 22). L'épaisseur de la terre végétale est comprise entre 0,25 et 0,30 m. Une interface sédimentaire entre

la terre végétale et le substrat se compose quant à elle de limon et un peu d'argile brun moyen à clair, elle est hétérogène et mélangée à sa base avec le limon jaune du substrat. Elle est nettement visible au niveau du log 43 et 37. Son épaisseur variant de 0,20 à 0,40 m. Une couche limoneuse et un peu plus argileuse, brun foncé et assez compacte apparaît au niveau des logs 37, 36 et 35. Elle est particulièrement bien visible sur le log 36 avec une épaisseur de 0,45 m. Elle semble correspondre à la présence de structures sous jacentes remaniées (déplacement léger de fossés ou comblement de ceux-ci). Enfin, le substrat apparaît à une profondeur comprise entre 0,50 et 0,70 m par rapport au niveau actuel, et se compose de limon jaune un peu brun.

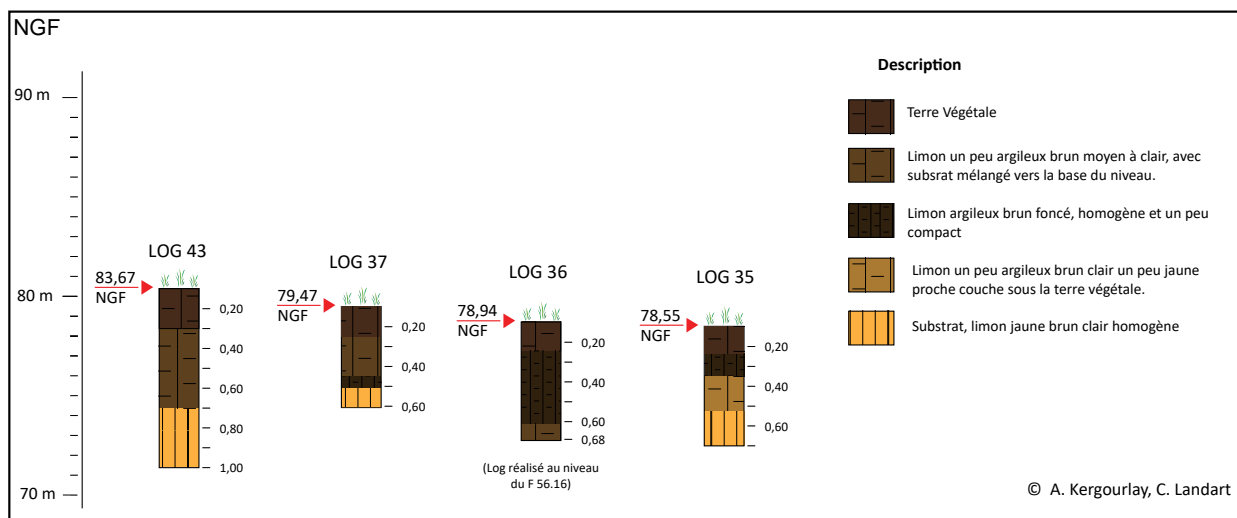
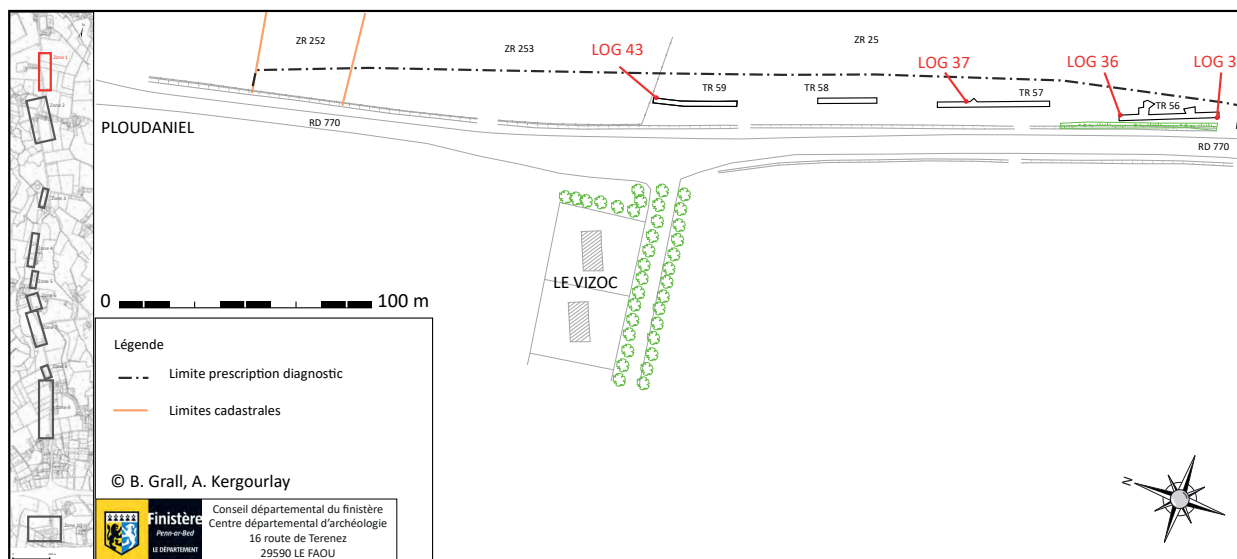


Figure 22 : Implantation et description des logs du secteur 1 (B. Grall, DAO A. Kergourlay et C. Landart)

2.1.2. Structures apparaissant sur le cadastre napoléonien et moderne (fig.23)

2.1.2.1. Cadastre napoléonien

En superposant le plan topographique du diagnostic avec le cadastre napoléonien de 1819, quatre fossés parallèles deux à deux, peuvent correspondre à des limites présentes sur l'ancien cadastre. Il s'agit des fossés F 57.10 et F 57.09 de la tranchée 57, et des fossés F 56.16 et F 56.15 de la tranchée 56. Aucun mobilier associé n'a été trouvé, ne permettant pas de dater plus précisément l'apparition de ces fossés dans le temps.

2.1.2.2. Fossés d'époque Moderne ?

Les fossés parallèles F 57.01 et F 57.02 sont absents du cadastre napoléonien et des photographies aériennes du XX^{ème} siècle. Leur orientation est identique aux fossés attribués aux XIX^{ème} et XX^{ème} siècles. De plus, ils se situent en face d'une entrée actuelle, mais déjà présente sur les photographies aériennes du milieu du XX^{ème} siècle.

Un tesson de céramique a été trouvé dans le fossé F 57.01. Il s'agit d'un fragment de panse à pâte plutôt grossière, orange sur l'intérieur et l'extérieur à coeur gris, avec des inclusions de quartz de 0,5 à 1 mm principalement. Ce type de pâte se rapproche des céramiques de la fin de l'époque médiévale voire plutôt moderne.

Il reste très difficile d'attribuer ces structures à une période chronologique précise, mais une appartenance à une période comprise entre le début de l'époque moderne et le XIX^{ème} siècle reste probable.

2.1.3. Structures apparaissant sur la photographie aérienne du milieu du XX^{ème} siècle (fig.24)

Plusieurs fossés présents à cette époque ont été mis en évidence lors du diagnostic dans les tranchées 56 et 57, il s'agit des fossés F 57. 08, F 57.07, F 56.10 et F 56.06. Il est intéressant de noter que les fossés de la tranchées 57 sont parfaitement parallèles à ceux visibles sur le cadastre napoléonien, indiquant une persistance dans la limite des parcelles. Ceux de la tranchée 56 et en particulier le fossé F 56.10 peuvent aussi correspondre à un déplacement de quelques mètres vers le sud de cette même limite.

2.1.4. Autres structures du XX^{ème} siècle (fig. 24)

2.1.4.1. Fosse F 56.11

Cette fosse est apparue nettement lors du décapage de la tranchée 56. Elle recoupe l'ensemble des structures de proximité, dont le fossé F 56.10, attribué au XX^{ème} siècle. Dans son comblement, du plastique ainsi que des ossements d'animaux ont été vus en surface. La datation de ce comblement à une période récente est donc certaine.

2.1.4.2. Fossés F 59.01 et F 59.02

Ces deux fossés parallèles n'apparaissent pas sur les photographies aériennes, mais leur proximité immédiate avec le talus séparant les deux parcelles actuelles nous permet de considérer qu'ils correspondent à cette même limite, qui dans le temps, s'est légèrement déplacée vers le nord.

2.1.5. Structures d'époque indéterminée (fig. 25)

2.1.5.1. Un chablis

La fosse F 57.05 à proximité immédiate de la fosse F 57.04 a été testée mécaniquement. Son comblement était de couleur jaune à brun-jaune avec de nombreuses poches brunes (racinaires), très hétérogène et meuble. Son rapprochement avec un chablis est possible.

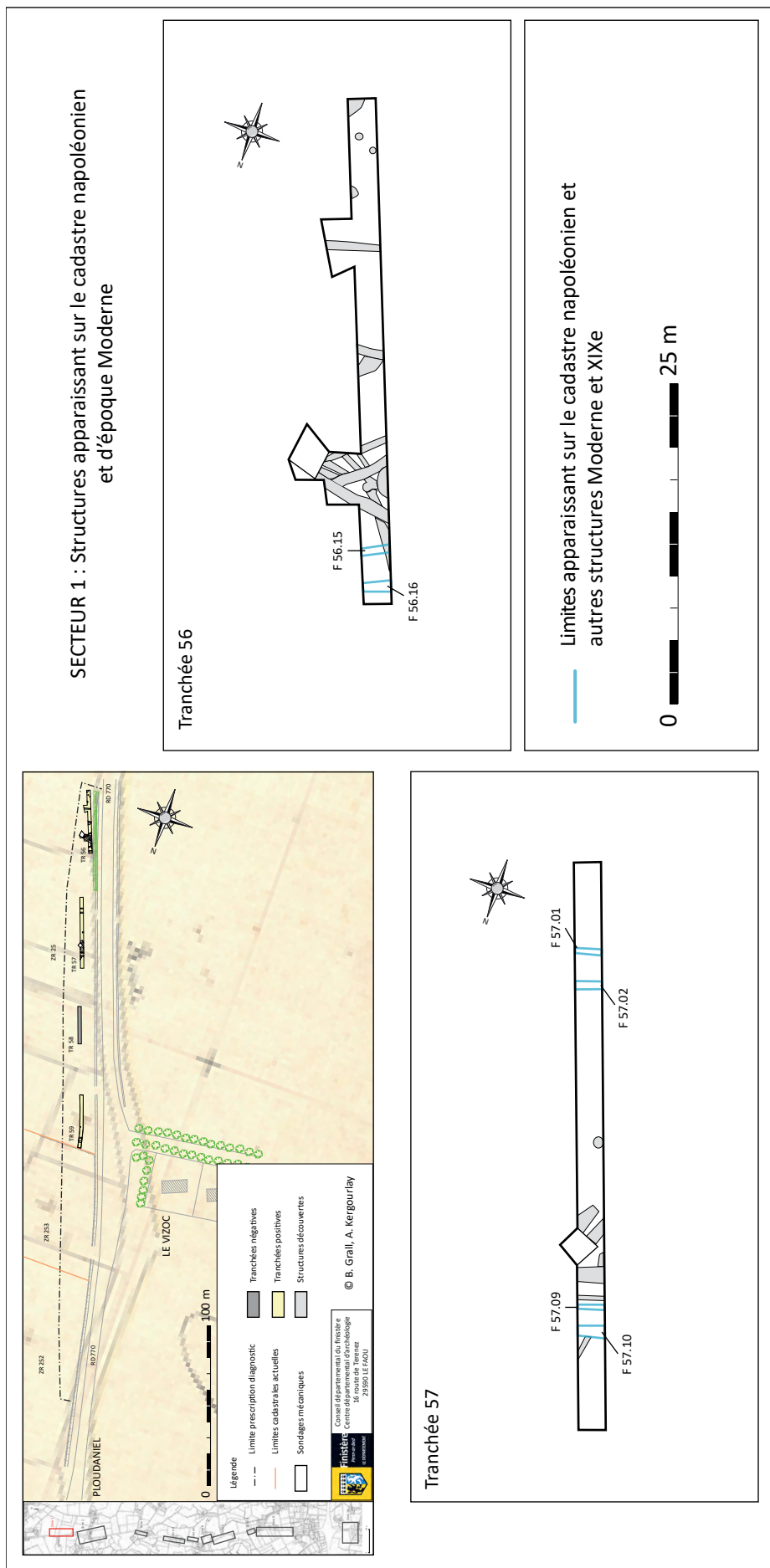
2.1.5.2. Trous de poteaux et fosses

- Trous de poteaux isolés

Les structures F 59.03 et F 57.03 sont des trous de poteaux au comblement limoneux brun moyen à clair. Aucun mobilier associé n'a été trouvé, leur datation reste donc impossible.

- Trous de poteaux et fosses de la tranchée 56

Au sud de la tranchée, les trous de poteaux F 56.02 et F 56.03 sont à proximité l'un de l'autre et du fossé ou fosse F 56.01 et F 56.04. Il reste difficile de considérer ces structures comme appartenant à un même ensemble, d'autant qu'aucune organisation particulière ne peut être dégagée. Hormis deux tessons découverts en surface de F 56.01, aucun autre élément de mobilier n'a été trouvé.



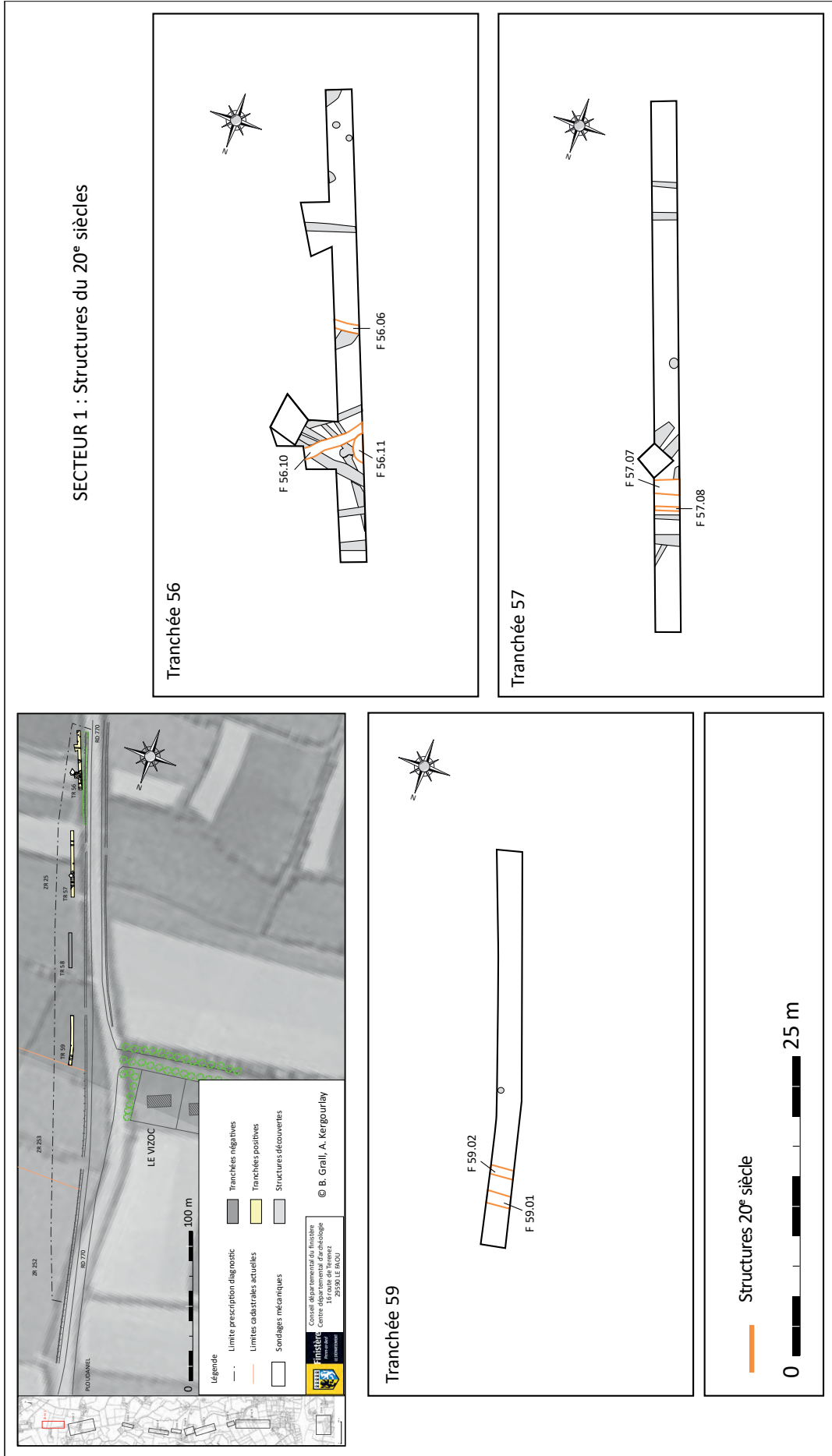


Figure 24 : Structure d'époque contemporaine XX^{ème} siècle (B. Grall, DAO A. Kergourlay)

Les tessons appartiennent à un même type de céramique. Leur pâte est identique, de couleur beige orangée sur l'extérieur avec des inclusions de quartz de 0,5 à 1 mm et paillettes de mica bien visibles. L'intérieur est gris foncé avec inclusion de paillettes de mica, et la tranche est gris à noir.

Une appartenance à la période médiévale peut être proposée par comparaison avec le mobilier de cette époque découvert dans le secteur 2. Cette datation reste par contre hypothétique.

- Fosse F 57.04 (fig.)

A proximité du chablis F 57.05, cette fosse a été partiellement sondée mécaniquement, permettant de visualiser deux coupes. De plan allongé et d'orientation globale nord-sud, elle était profonde d'environ 45 cm. Les bords du creusement sont relativement verticaux et le fond adopte une forme en «U». Un comblement plus brun foncé est visible sur le centre de la fosse, et plus clair sur les bords. Une couche plus argileuse orangée est visible dans le fond au contact avec le substrat. Aucun mobilier n'a été trouvé. Toute datation reste impossible.

2.1.5.3. F 57.06 et F 57.11 un même fossé ?

Les structures F 57.06 et F 57.11, toutes deux recoupées par les fossés parcellaires connus pour le XIX^{ème} et XX^{ème} siècles adoptent une même orientation. Elles ne semblent par apparaître entre les fossés plus récents mais une absence de nettoyage fin, ne permet pas de confirmer cela. De comblement proche, l'hypothèse d'un fossé ancien légèrement curviligne d'orientation nord-sud reste probable. Une datation précise reste impossible en l'absence de fouille et de mobilier associé, ce fossé est antérieur au XIX^{ème} siècle.

2.1.5.4. Les fossés de la tranchée 56

- Fossé F 56.05

D'orientation globale nord-est/sud-ouest, ce fossé était peu large (0,43 m) avec un comblement brun moyen à clair. N'apparaissant pas sur la documentation du XIX^{ème} et XX^{ème} siècle, et en l'absence de mobilier associé, une attribution chronologique reste difficile.

- Fossé (ou fosse ?) F 56.07

Cette structure est recoupée par le fossé du XX^{ème} siècle, F 56.06. F 56.07 a une orientation globale nord-sud. De comblement brun moyen et sans mobilier associé. Seule une datation relative par rapport au fossé F 56.06 est possible, soit antérieure à celui-ci.

- Ensemble des fossés antérieurs aux structures F 56.10 et F 56.11 du XX^{ème} siècle

Dans la zone nord de la tranchée, une accumulation de fossés avec des largeurs et des orientations différentes ont été inventoriés. Hormis les fossés F 56.10, F 56.15 et F 56.16 attribués aux XIX^{ème} et XX^{ème} siècles, d'orientation globale nord-est/sud-ouest, l'attribution chronologique des autres fossés reste difficile.

Un fossé (F 56.08) parallèle à F 56.10, daté du XX^{ème} siècle, ne peut fonctionner avec ce dernier. En effet F 56.10 recoupe clairement l'ensemble des fossés en présence, à l'inverse F 56.08 était recoupé par certains d'entre eux comme F 56.18 (fig.26). Hormis ces éléments, une datation n'est pas permise en l'absence de mobilier archéologique datable.

Le fossé F 56.13, antérieur à F 56.10, s'amincit vers l'est. Il est parallèle aux petits fossés de largeur identique F 56.19 et F 56.18 (fig.25 et 26), postérieurs à F 56.08. Le seul élément mobilier trouvé est un tesson centimétrique de pâte interne et externe gris brun, à coeur gris, avec des inclusions de quartz de 0,5 à 2 mm, paillettes de mica et une inclusion d'environ 1 mm rougeâtre (indéterminée). Le fragment est trop petit pour permettre une attribution chronologique.

Enfin, les fossés les plus anciens, par rapport à la chronologie relative, sont les fossés F 56.14, F 56.17, F 56.09 et F 56.12 (fig. 26). Après un nettoyage rapide, la relation entre des portions de fossé a été possible, ainsi F 56.14 et F 56.17 sont une même structure, de même pour F 56.12 et F 56.09. Parallèles entre eux, et d'orientation globale nord-ouest/sud-est, ils ont une largeur comprise entre 35 et 70 cm environ. Antérieurs aux fossés apparaissant sur le cadastre napoléonien, aucun élément supplémentaire ne permet une datation plus précise.

2.1.6. Secteur 1 : conclusion

Hormis les structures pouvant correspondre à des limites parcellaires du XIX^{ème} et XX^{ème} siècles, l'attribution chronologique des autres éléments reste compliquée. Une datation des fossés nord de la tranchée 56 reste possible par rapport aux fossés plus récents, soit antérieur au XIX^{ème} siècle, mais aucune précision ne peut être proposée en l'absence de fouille et d'élément mobilier attribuable à une période.

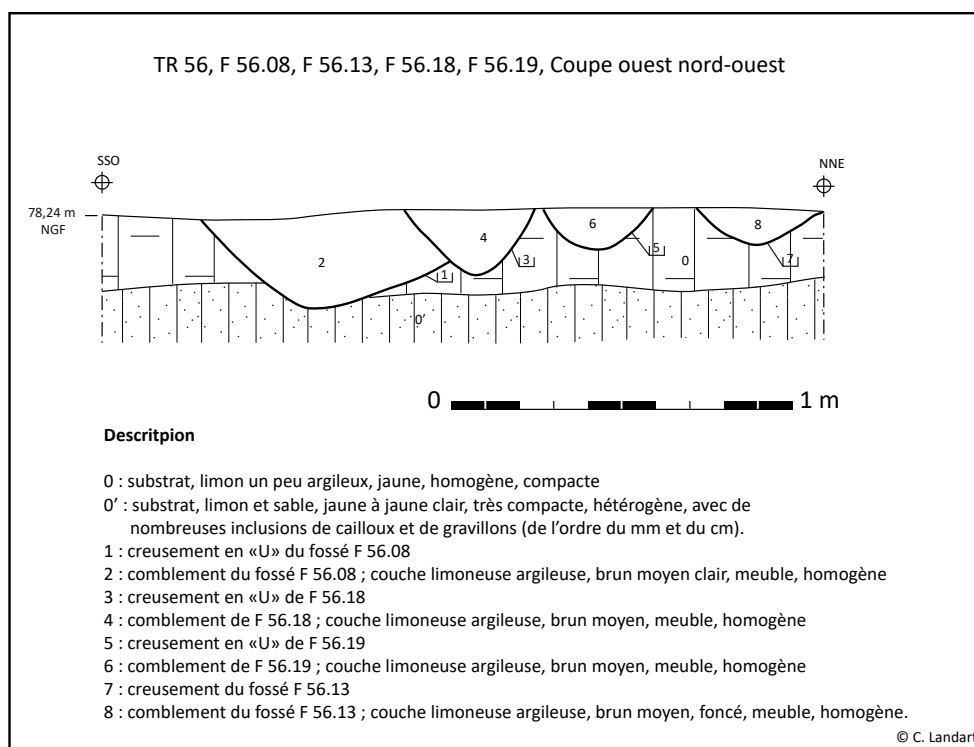


Figure 26 : Coupe ouest nord-ouest des fossés F 56.08, F 56.18, F 56.19 et F 56.13 (DAO C. Landart)

2.2. Secteur 2 : Kerfelgar Bihan

2.2.1. Présentation générale

Dans ce secteur, deux grandes zones n'étaient pas accessibles. La première se situe sur la parcelle ZP 29, où l'accès n'était pas autorisé au moment de l'opération. La seconde se situe entre deux parcelles (YA 33 et YA 88), il s'agit des parcelles YA 63, YA 65 à YA 90, qui se composent de jardins, talus, haies et zones arbusives.

Un total de dix tranchées a été réalisé, une seule était négative (parcelle ZP 33, tranchée 60). Nous

avons fait le choix de diviser le secteur à l'est de la RD 770 en trois zones. La première au nord qui regroupe les parcelles ZR 50 et 51, séparée par une route secondaire menant au hameau de Kerfelgar Bihan et Kerfelgar Braz. La seconde zone correspond à la parcelle YA 33, et la troisième à la parcelle YA 88.

Plusieurs logs ont été relevés afin d'enregistrer la puissance stratigraphique de la zone à l'est de la RD 770 et d'enregistrer les accumulations sédimentaires de la tranchée 52, où du mobilier, principalement médiéval, a été prélevé (voir *infra*).

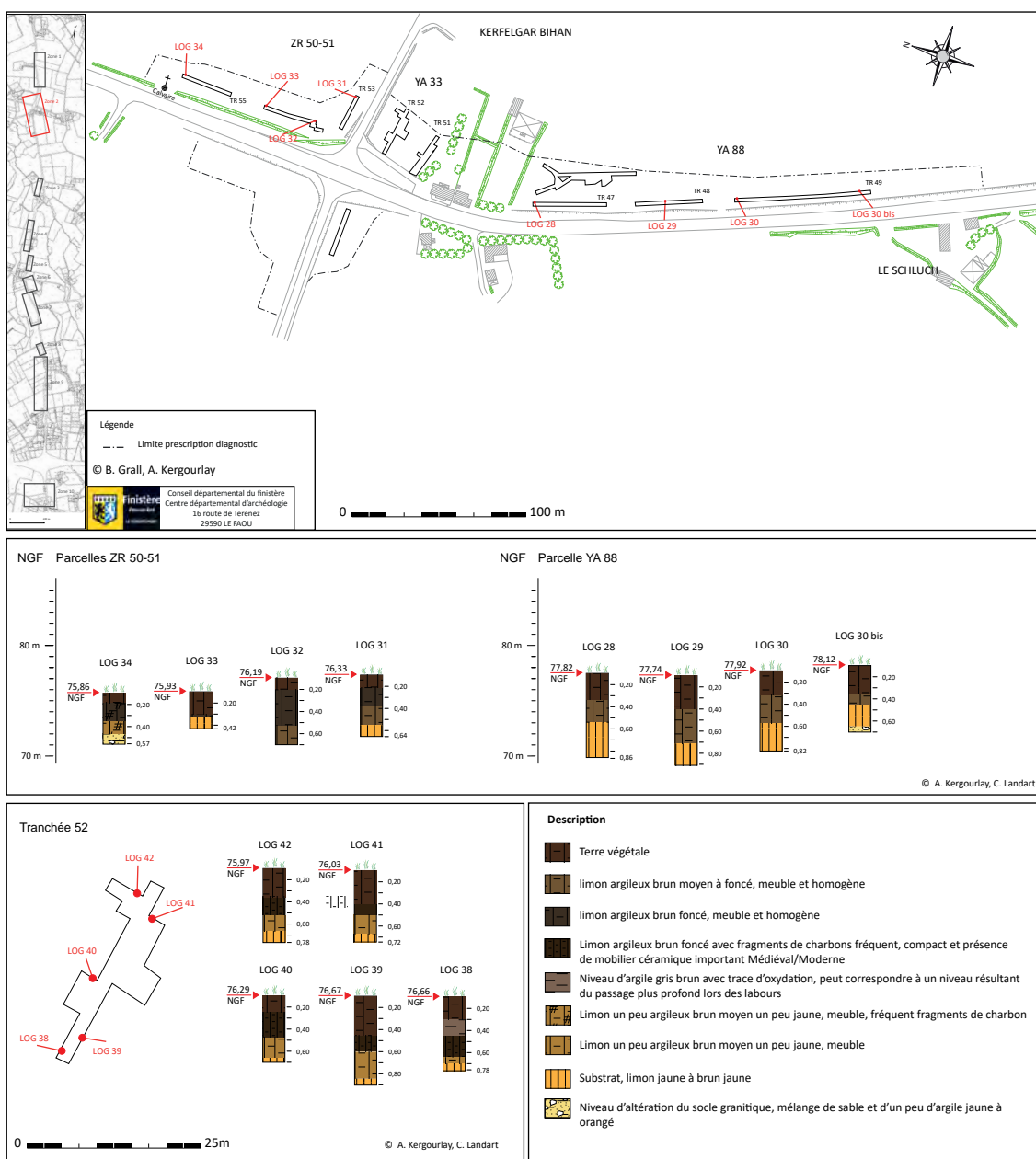


Figure 27: Implantation et description des logs du secteur 2 (B. Grall, DAO A. Kergourlay et C. Landart)

Les logs 28 à 30 bis, de la parcelle YA 88, révèlent une épaisseur de terre végétale assez importante, comprise entre 0,30 et 0,40 m, les niveaux de pédogénéisation de sol étant épais de 0,20 à 0,40 m. Le substrat apparaît à une profondeur variant de 0,45 à 0,70 m, une légère dépression est visible au niveau de la tranchée 48.

Les logs 31 à 34 des parcelles ZR 50 et 51 montrent une faible épaisseur végétale comprise entre 0,20 et 0,30 m. Les niveaux qui se situent directement sous la terre végétale montrent une perturbation plus importante que dans la parcelle YA 88, avec des différences nettes de couleur et inclusions pouvant être le résultat d'une action plus importante des labours. Enfin, le substrat apparaît à une profondeur moindre, entre 0,30 et 0,55 m.

2.2.2. Parcelles YA 63-65-90 non accessibles (fig. 28)

Ces parcelles, bien que non accessibles lors du diagnostic, apportent une information intéressante après examen du cadastre ancien de 1819. En effet, il semble que les limites (talus et/ou haies) représentées sur le cadastre napoléonien soient pratiquement les mêmes que celles visibles aujourd'hui. Cela nous permet de constater une fossilisation du parcellaire dans le temps. Au vu des

vestiges archéologiques présents au sud et au nord de cette zone, il est fort probable qu'elle conserve des vestiges des mêmes époques. Pour la période médiévale on peut espérer une conservation du parcellaire, voire de vestiges liés à un habitat. Pour l'âge du Bronze les limites du site de la parcelle YA 88 pourraient être conservées.

2.2.3. Parcelles ZR 50-51, Tranchées 53 à 55

2.2.3.1. Limites parcellaires présentes sur le cadastre napoléonien et la photographie aérienne du milieu du XX^{ème} siècle (fig. 29)

Dans les tranchées 54 et 55 des fossés correspondent aux limites visibles sur le cadastre de 1819. Tout d'abord, les structures F 55.05 et F 55.06 correspondent à la limite sud d'un chemin qui a disparu au cours de la seconde moitié du XX^{ème} siècle. Le calvaire qui se situe aujourd'hui le long de la RD 770 et séparé de la parcelle par un talus toujours en place, marque encore la présence ancienne de ce chemin. La structure F 55.07 ressemble à un fossé, mais se situe à l'emplacement du chemin et recoupe F 55.06. Elle pourrait correspondre à une accumulation ayant servi de comblement à l'ancienne voie lors de la seconde moitié du XX^{ème} siècle.

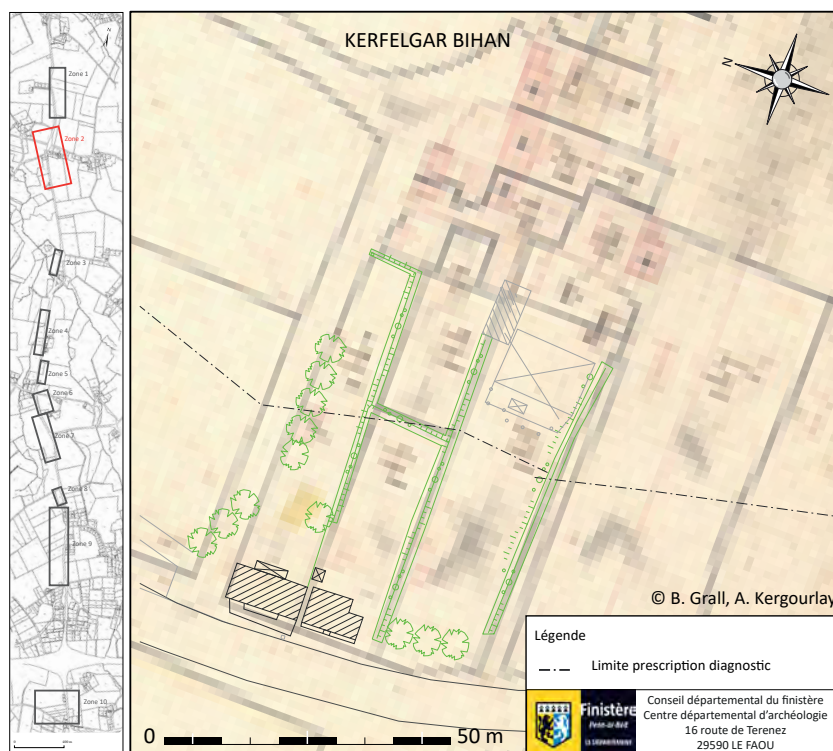


Figure 28 : Cadastre napoléonien des parcelles YA 63-65-90 Kerfelgar Bihan (B. Grall, A. Kergourlay)

Une fondation ancienne du chemin est probable au vu de la céramique (fragment de fond) découvert au nettoyage de F 55.05, dont la pâte peut se rapprocher de productions médiévales.

Le fossé F 55.03, bien que parallèle à F 55.05 ne peut être attribué avec certitude à un déplacement du talus ou limite fossoyée dans le temps, connue au XIX^{ème} siècle. Par ailleurs sa relation avec la structure fossoyée F 55.02 n'a pas pu être déterminée clairement. Sa fonction et sa datation restent, à ce jour, indéterminée.

2.2.3.2. Des limites parcellaires anciennes ? (fig. 29)

Le Fossé F 55.02 a une faible largeur et une courbe nettement visible côté nord nord-est, le long de la berme. Sa largeur semble correspondre à celles des fossés F 54.07, F 54.08, F 53.03 et F 53.02 des tranchées 54 et 53. Comme pour ces structures, des interruptions peuvent être considérées. Ainsi, la structure F 55.01 peut correspondre à la continuité de F 55.02, de même que F 53.01, F 53.02 et F 53.03 peuvent être des structures participant à un même ensemble. Sont-ils les témoins d'un parcellaire plus ancien ? ou d'un petit enclos ? La faible fenêtre d'ouverture ne permet pas, à ce jour, de trancher. De même, l'absence de mobilier rend la datation impossible.

2.2.3.3. Fossés parallèles F 54.02, F 54.03 et F 54.04 (fig. 29)

Ces trois fossés sont parallèles aux fossés F 54.05 et F 54.06 qui correspondent à une limite parcellaire connue aux les XIX^{ème} et XX^{ème} siècles. Les fossés F 54.02 et F 54.03 sont rapprochés et de dimensions équivalentes. De même, le comblement quasi identique permet de considérer un fonctionnement contemporain. S'agit-il de la même limite que celle définie par les fossés F 54.05 et F 54.06 ? celle-ci peut avoir été déplacée dans le temps. Par contre, le fossé F 54.04 est plus fin et de comblement plus foncé. Par son parallélisme, il pourrait aussi appartenir à cette limite parcellaire changeante.

Aucun élément mobilier ne permet à ce jour de dater ces trois fossés. La fenêtre d'ouverture ne permet pas non plus une vision suffisante pour connaître l'interaction possible de ces fossés entre eux.

2.2.4. Parcelle YA 33, tranchées 51 et 52

2.2.4.1. Limites parcellaires présentes sur le cadastre napoléonien et la photographie aérienne du milieu du XX^{ème} siècle (fig. 30)

Seul le fossé F 51.01 peut appartenir à un aménagement de voie visible sur le cadastre napoléonien et la photographie aérienne du milieu du XX^{ème} siècle. Elle disparaît avant 1978 (photographie aérienne de 1978). Ce fossé était comblé d'un sédiment brun foncé avec des fragments nombreux de charbon. Du mobilier céramique et ferreux a été ramassé à sa surface. Accolé à celui-ci, côté sud (côté chemin), des fragments de terre cuite orangée ont été enregistrés.

F 51.01 recoupait la plupart des structures environnantes. Une relation stratigraphique avec le fossé F 51.05 n'a pu être effectuée à cause de la proximité du talus côté sud.

Le mobilier ramassé en surface se compose d'un crochet en métal ferreux d'époque indéterminée, il pourrait appartenir à une période récente. Deux fragments de céramique, dont un fond, ont été trouvés (voir *infra*). L'appartenance à l'époque médiévale de ceux-ci pourrait indiquer une fondation ancienne de la voie, mais aussi le comblement du fossé avec des sédiments issus de la destruction d'un site de cette époque à proximité immédiate.

2.2.4.2. Logs de la tranchée 52, accumulation résultant de la destruction d'une ou plusieurs structures médiévales ?

• Description de l'accumulation (fig. 27)

Cinq logs répartis dans la tranchée 52 ont permis d'enregistrer une accumulation (F52.07) de limon argileux brun foncé meuble et homogène, sous les niveaux de terre végétale. Une partie a été laissée en place dans la zone centrale de la tranchée à cause de la présence probable de structures. A l'intérieur de celle-ci, du mobilier, principalement de la céramique et de la terre cuite, a été récolté. Cette accumulation semblait recouvrir par endroit des structures, certaines étaient place avec certitude. pour d'autres, comme F 52.05 et F 52.06, il n'a pas été possible de déterminer si elles étaient en place ou résultaient d'un rejet lié à l'accumulation.

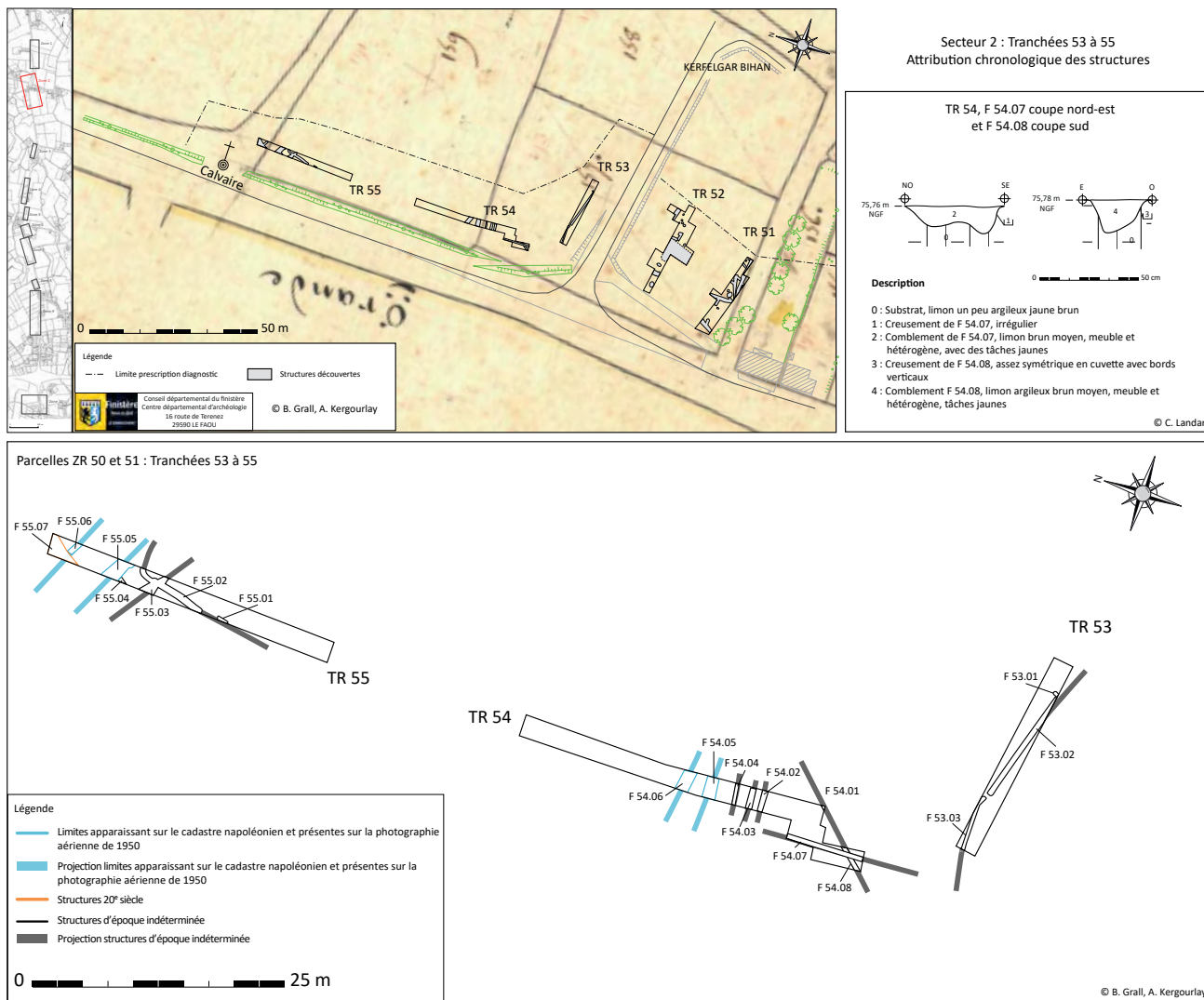


Figure 29: Tranchées TR 53 à 55, cadastre napoléonien et attribution chronologique (B. Grall, DAO A. Kergourlay) ; Coupes fossés F 54.06 et F 54.07 (C. Landart)

• Datation et interprétation de l'accumulation

Comme pour le fossé F 51.01, le mobilier est caractéristique de l'époque médiévale (voir *infra*). Le fait qu'aucune structure bien définie ne soit apparue nous oriente vers l'hypothèse d'un rejet de niveaux de destruction liés à une occupation à proximité. Une investigation plus large à cet endroit, complétée avec le secteur non accessible au sud de cette parcelle, nous permettra vraisemblablement de mieux comprendre l'origine de cette accumulation.

2.2.4.3. Structures d'époque médiévale (fig. 30)

• Fossés

Plusieurs fossés ont révélés des fragments de céramiques de l'époque médiévale (voir *infra*). Dans la tranchée 51, il s'agit des fossés F 51.01

(qui apparaît sur le cadastre napoléonien), F 51.05 recoupé par F 51.01, du fossé F 51.10 et de F 51.12. Dans la tranchée 52, seul un fossé peut être attribué à la période médiévale : F 52.08. Ce dernier pourrait correspondre à la continuité de F 51.10.

Le mobilier céramique se compose de plusieurs bords, dont l'un est décoré (voir *infra*). La forme et le décor de ce dernier trouvent des éléments de comparaison sur le site de Plouedern Leslouc'h, fouillé en 2008 (Blanchet S., 2013), et le site de Créac'h-Gwen à Quimper (Le Bihan J.-P. et Villard J.-F., 2005a). Une datation entre le IX^{ème} et XI^{ème} siècles pour ce type de forme et décor est proposée. Il est donc probable que le fragment issu de F 52.08 soit dans une période chronologique identique. Les autres fragments de céramiques ne sont pas incompatibles avec la datation proposée.

Secteur 2 : Tranchées 51 et 52
Attribution chronologique des structures

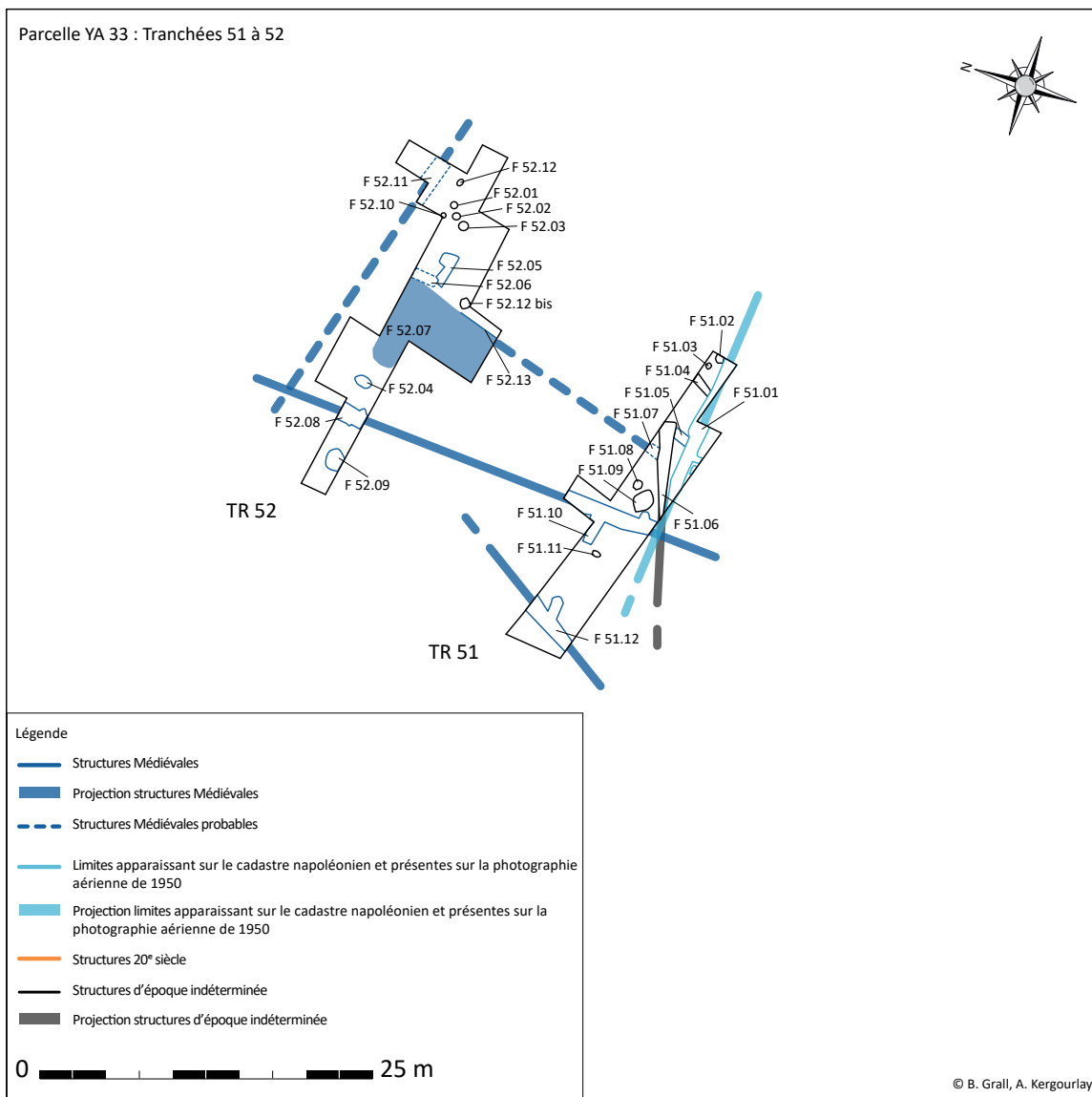
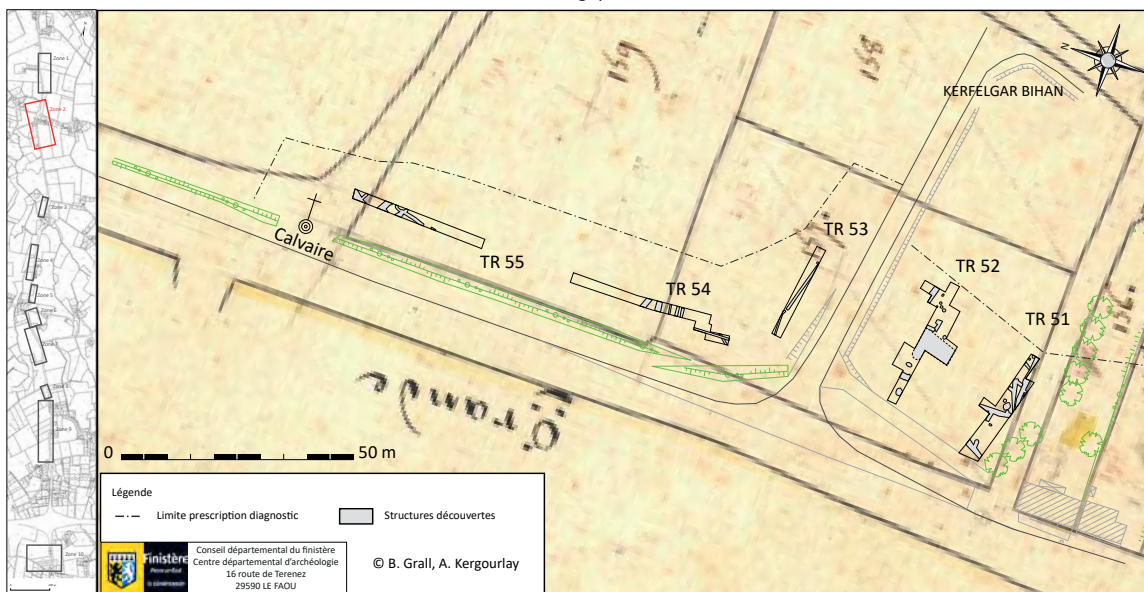


Figure 30: Cadastre napoléonien et attribution chronologique des structures(B. Grall, DAO A. Kergourlay)

- Fosses

Une première fosse peut être attribuée à la période médiévale. Il s'agit de F 52.04. Au nettoyage, des fragments de céramique, dont un bord et un fragment d'onctueuse, nous permettent de l'attribuer à cette période. La pâte de couleur claire et semblable aux fragments des fossés F 52.08 et F 51.10 permet d'émettre l'hypothèse d'une datation similaire.

La seconde fosse, F 52.09, a également fourni un petit tesson de céramique à pâte claire proche des éléments des fossés et structures vus précédemment. On restera prudent sur sa datation, le fragment étant de petite taille.

- F 52.13, structure indéterminée

Sous l'accumulation, dans la fenêtre sud, un probable bord de fossé ou fosse s'est dessiné. A sa surface, des fragments de céramiques regroupés ont été prélevés. Il s'agit d'éléments de panses et d'un bord de différents types de pot (voir *infra*). Une attribution à la période médiévale est envisageable, si l'on s'appuie sur l'examen des pâtes ou l'observation du bord. Ce dernier présente un profil proche d'un bord découvert dans le fait 720 du site de Plouedern Leslouc'h (Blanchet S., 2013), et attribué aux X^{ème} - XI^{ème} siècles. Les autres fragments découverts ne sont pas incompatibles avec cette attribution chronologique

- Eléments indiquant la présence d'une structure de chauffe (fig. 30)

Les structures F 52.05 et F 52.06, ainsi que le mobilier découvert à proximité immédiate de celles-

ci pourraient indiquer la présence d'une structure de chauffe.

La fosse F 52.05 a été dégagée en partie, la zone ouest se trouvant encore sous l'accumulation F 52.07. Son comblement était composé de limon brun un peu jaune avec quelques fragments de charbon et tâches grises à blanches. Du mobilier, céramique et terre cuite architecturale, affleuraient en surface, quelques éléments ont été prélevés (fig. 31 et 33).

Ce mobilier se compose fragments de briques et d'éléments en terre cuite plus fins qui pourraient être des fragments de sole (fig. 34). Certaines pièces témoignent d'une chauffe importante. De la céramique, dont un bord de céramique onctueuse, a été récolté. Elle permet une attribution chronologique de cette structure au Haut Moyen Âge (voir *infra*).

A proximité de F 52.05, lors du nettoyage de la structure et de son environnement, une petite scorie a été prélevée (fig. 32). Elle pourrait être le témoin d'une activité artisanale ou domestique sur le site ou à proximité.

F 52.06 semble venir s'installer sur ou contre F 52.05. Elle avait dans son comblement des fragments de briques et des blocs de pierre de 20 à 30 cm en moyenne. Il n'a pas été possible de déterminer si cette structure était en place ou bien résultait de la destruction d'un talus ou d'un petit bâtiment à proximité, voire d'une structure de chauffe. F 52.06 pourrait appartenir au niveau F 56.07, qui correspond à un niveau de rejet dont il reste à déterminer l'origine.

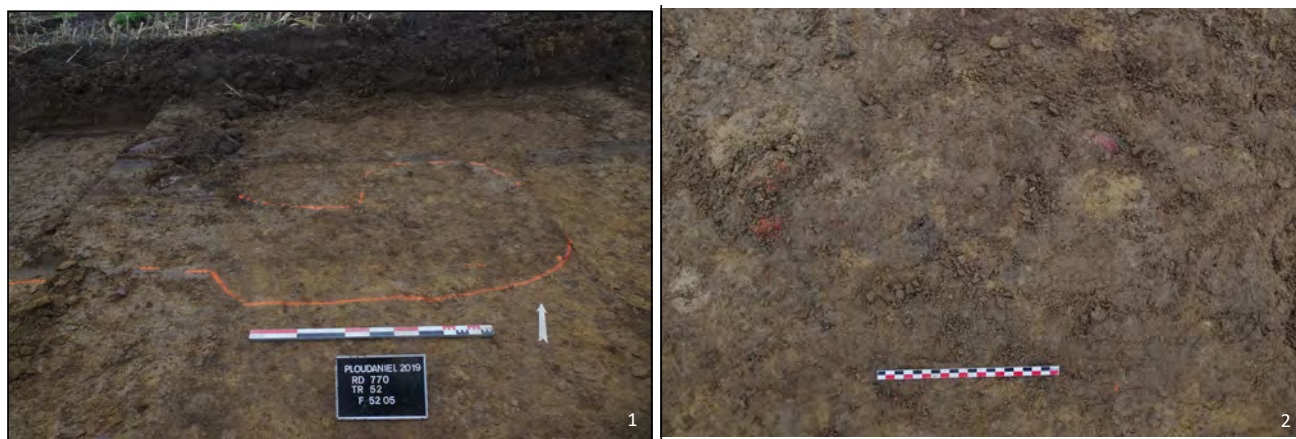


Figure 31 : F 52.05, fosse ou structure de chauffe (1 : photographie générale ; 2 : détail) (E. Guezennec)

Un décapage plus large et la fouille de ces structures pourraient permettre de déterminer avec certitude la présence d'une structure de chauffe à cette emplacement, ou si nous sommes en présence d'une fosse de rejet liée à une activité de type artisanal. Une attribution au Haut Moyen Âge de l'ensemble de la zone reste à ce jour hypothétique.

2.2.4.4. Structures d'époque incertaine

Ces structures sont au nombre de trois. Il s'agit du fossé F 51.04, du trou de poteau ou fosse F 51.08 et du trou de poteau F 52.12. En surface, lors du nettoyage, ces structures ont révélé de petits fragments de céramique. Les pâtes, par comparaison avec le mobilier céramique issu de l'ensemble du secteur 2, peuvent être attribuées soit à la période protohistorique, soit à la période médiévale.

2.2.4.5. Structures d'époque indéterminée

Plusieurs structures n'ont pas fourni de mobilier. Il s'agit des fossés F 51.06, F 51.07 et F 52.11. De la fosse F 51.09 et des trous de poteaux F 51.02, F 51.03, F 51.11, F 52.01 à F 52.03, F 52.10, F 52.12 et F 52.12

bis. Hormis F 52.11, dont la projection quasiment perpendiculaire à F 52.08, nous oriente à penser à un fonctionnement contemporain, soit autour du X^{ème} et XI^{ème} siècles. Les autres, sans test manuel et relation nette avec les structures environnantes, ne peuvent être attribuées chronologiquement.



Figure 32 : Scorie trouvée à proximité de F 52.05 (A. Kergourlay)

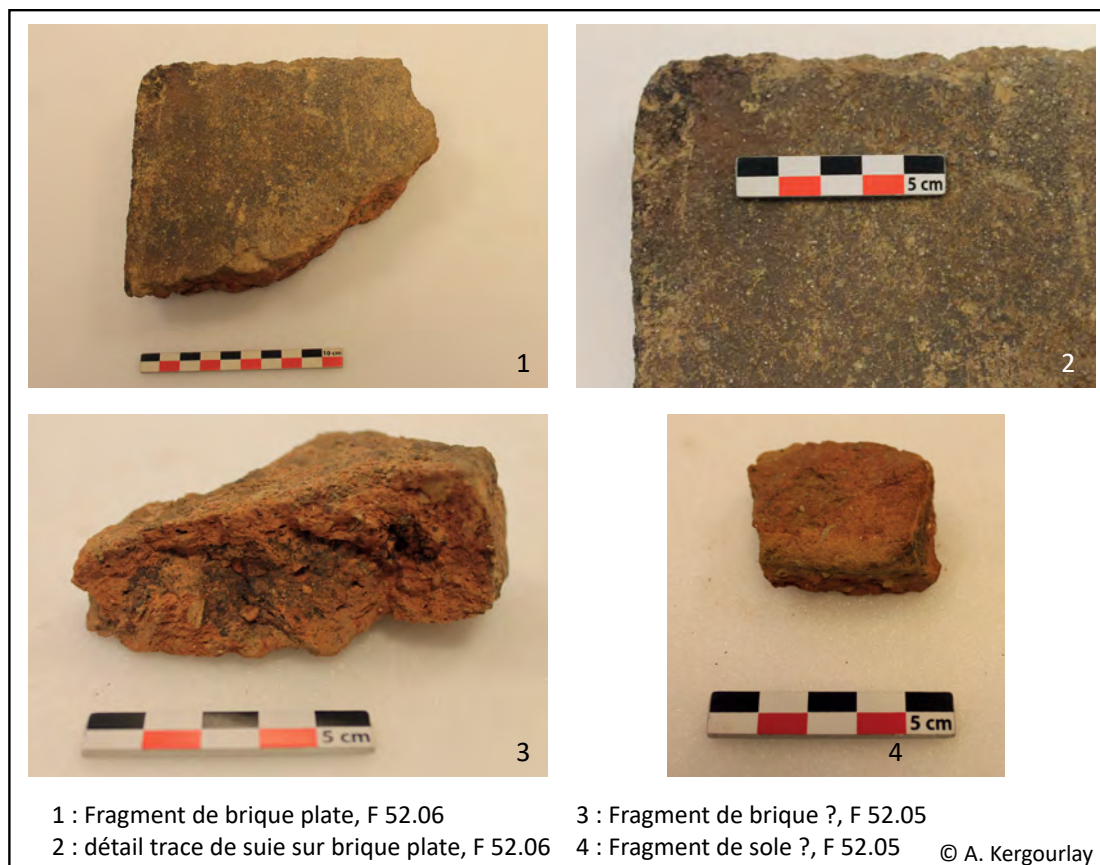
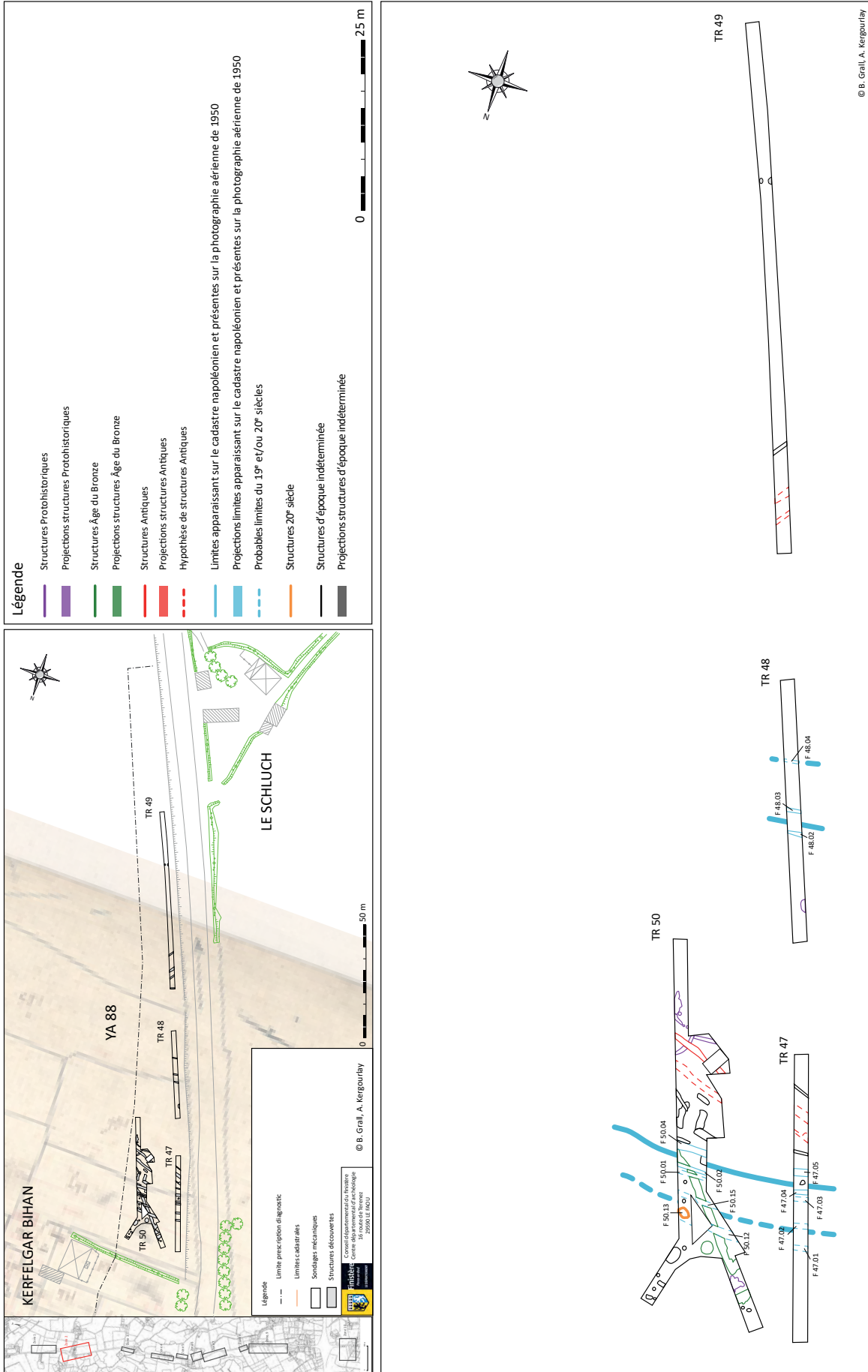


Figure 33 : Fragments de terre cuite architecturale de F 52.05 et F 52.06 (A. Kergourlay)



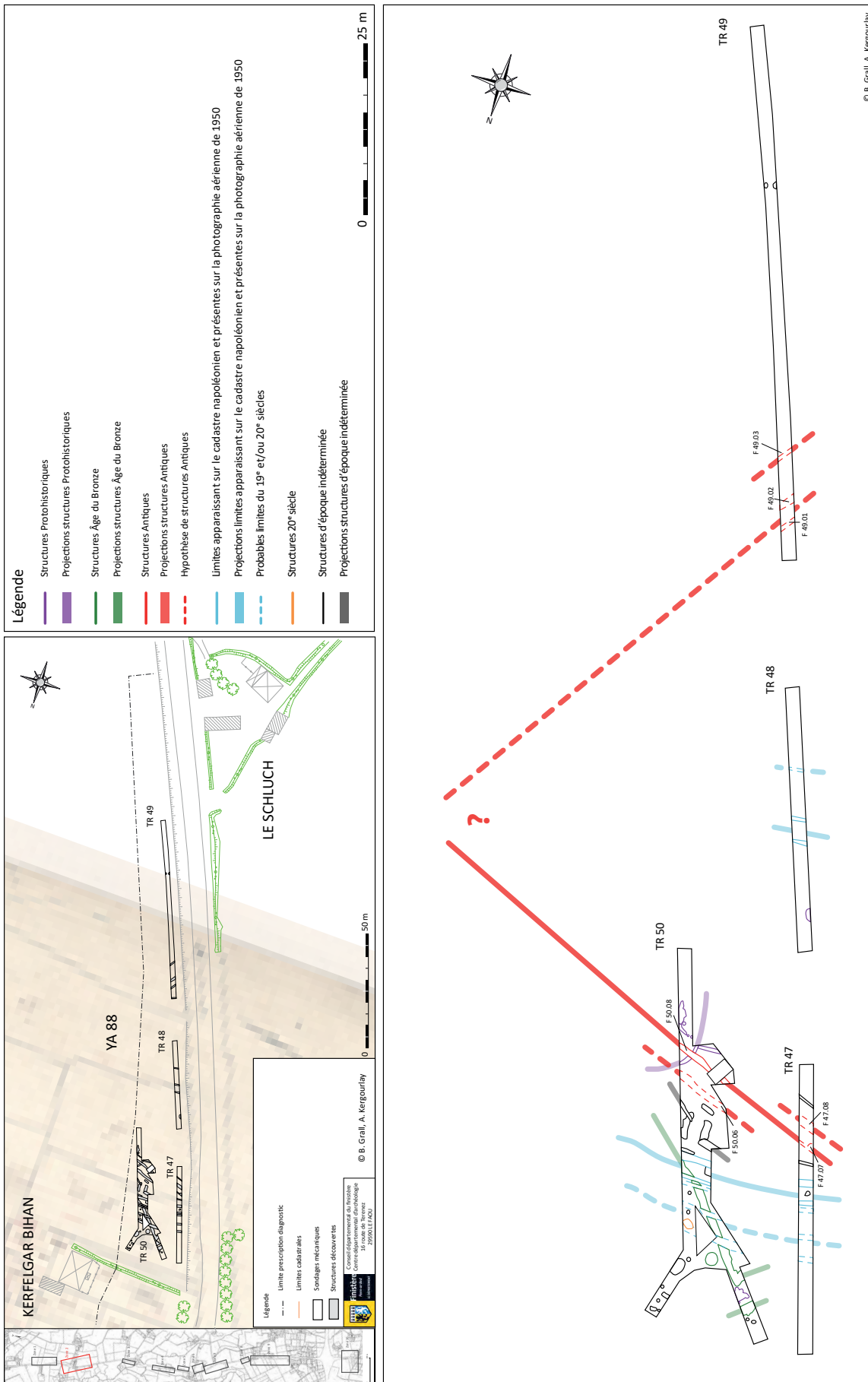


Figure 35: Structures attribuées à la période Antique et probablement Antique (B. Grall, DAO A. Kergourlay)

2.2.4.6. Parcelle YA 33 : bilan

Sur cette parcelle, on note tout d'abord la présence dans la tranchée 52 d'un niveau sédimentaire dans lequel du mobilier assez abondant, en particulier autour des structures F 52.05 et F 52.06, a été récolté. L'hypothèse principale retenue pour cette accumulation est celle de rejets liés à la destruction de structures médiévales à proximité ou sur place. A ce jour, il n'est pas possible de déterminer si ce niveau concerne une structure présente dans la parcelle ou sur la parcelle voisine. Un hameau est indiqué à Kerfelgar Bihan sur la carte de Cassini, la fondation de celui-ci pourrait remonter à la période médiévale.

Les structures bien définies (fossés, fosses et trous de poteaux) ont fourni pour certaines du mobilier céramique attribuable du IX^{ème} au XII^{ème} siècle, bien que la période du X^{ème} au XI^{ème} siècle soit favorisée par comparaison avec le site proche de Plouedern Leslouc'h (Blanchet S., 2013).

Actuellement il n'est pas possible de définir précisément le type d'occupation de la parcelle. En effet, il existe des indices d'une occupation de type habitat, à travers la céramique. La probable structure de chauffe et la scorie retrouvée à proximité ne sont pas incompatible avec une activité artisanal qui pourrait être réalisée dans un contexte domestique. On pourrait également se trouver dans une zone périphérique à ces deux types d'occupations et être dans un secteur de rejets lié à ceux-ci. Seul un décapage plus large et une fouille de l'ensemble pourraient permettre de définir l'occupation du site et son étendu.

2.2.5. Parcelles YA 88 tranchées 47 à 50

2.2.5.1. Limites parcellaires présentes sur le cadastre napoléonien et la photographie aérienne du milieu du XX^{ème} siècle (fig. 34)

Plusieurs fossés adoptent une orientation globale est-ouest et la superposition du cadastre ancien et des photographies aériennes du milieu du XX^{ème} siècle permet d'attester leur présence au moins dès le XIX^{ème} siècle. La multiplication des fossés peut s'expliquer par une limite parcellaire qui se déplace au fil du temps. Une fouille de ces fossés pourrait permettre une chronologie plus fine entre eux, et l'origine de la fondation de ce parcellaire. La parcelle YA 33, au nord, ayant révélé une occupation du Haut

Moyen Âge.

2.2.5.2. Epandage d'époques médiévale et moderne

Lors du décapage des tranchées dans cette parcelle, de la céramique de la fin de l'époque médiévale et moderne a été récoltée. Contrairement à la tranchée 52, aucune accumulation n'a été observée. Nous serions donc en présence d'éléments issus d'un épandage erratique.

2.2.5.2. Fossés antiques (fig. 35 et 36)

• F 50.08

Ce fossé d'orientation globale nord-ouest/sud-est a permis la découverte dans son comblement d'une cruche antique. Le creusement est légèrement asymétrique. Ce phénomène peut être le résultat d'un curage de fossé. En effet, le profil laisse envisager un creusement initial en «V», puis dans un second temps un curage de celui-ci. Les tessons de la cruche et le fragment métallique provenaient du comblement supérieur du fossé (fig.36). Des différences dans le creusement et la profondeur du fossé (fig.36), entre le sondage manuel et le sondage mécanique, laissent supposer soit une interruption, soit une zone moins profonde et large, pouvant permettre un passage.

• Autres fossés Antiques ?

En prolongeant virtuellement ce fossé, on peut supposer sa continuité dans la tranchée 47 (F 47.08).

En le prolongeant vers le sud-est, on peut émettre l'hypothèse d'une intersection quasi perpendiculaire avec le fossé F 49.01 et/ou F 49.02, ainsi qu'avec F 49.03 (fig. 35). Seule une investigation plus poussée nous permettra de conforter cette hypothèse ou de la rejeter. Ces fossés restent pour le moment non attribuables à une autre période, leurs orientations étant totalement différentes des fossés protohistoriques et de ceux de l'époque contemporaine.

D'autres portions de fossés ou fosses allongées pourraient être contemporaines du fossé F 50.08. Cette hypothèse est avancée du fait de leur parallélisme avec ce dernier et de leur proximité. Comme pour les fossés de la tranchée 49, une investigation plus poussée permettra d'y répondre.

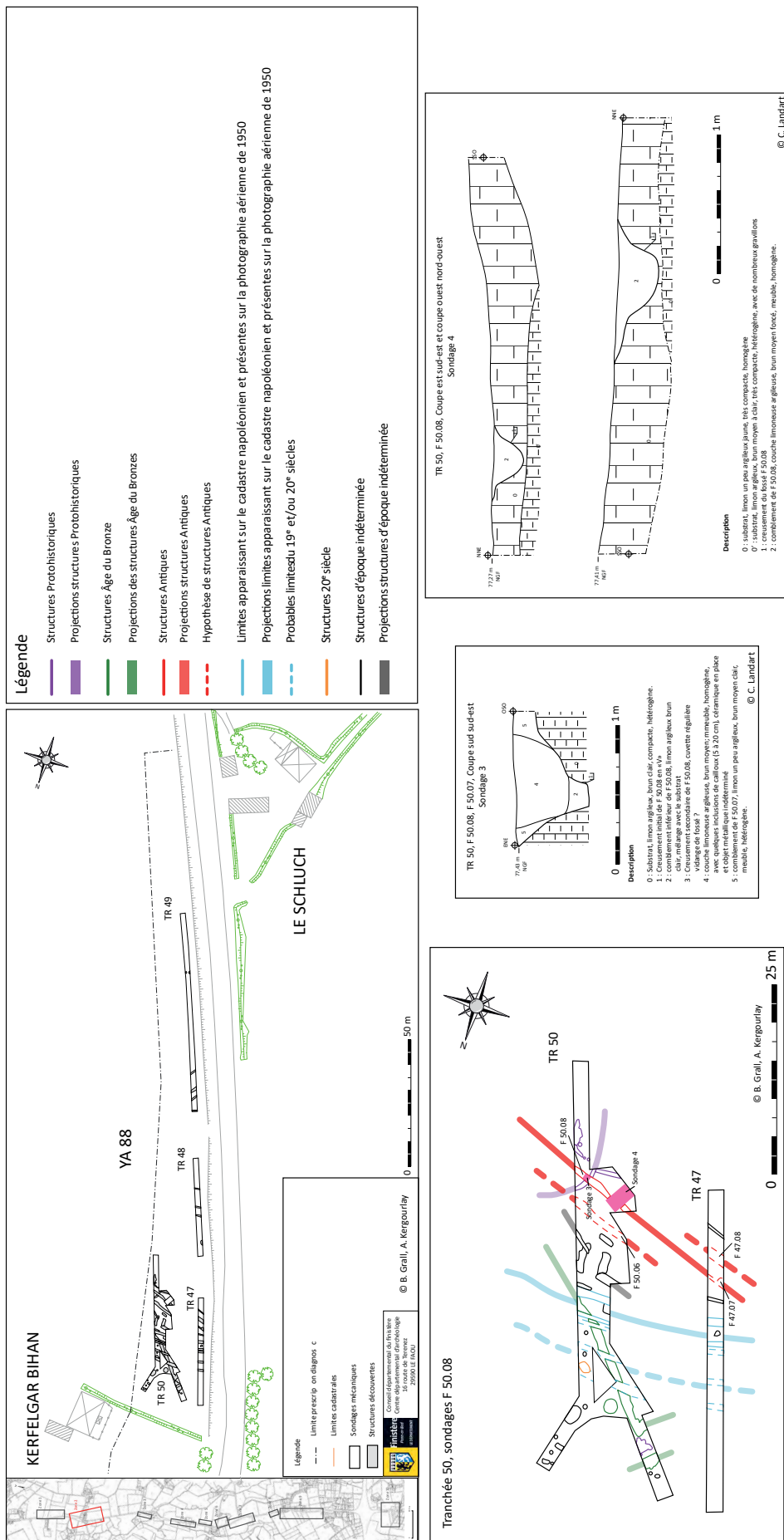


Figure 36 : Fossé F 50.08 coupes des sondages 3 et 4 (B. Grall, A. Kergourlay et C. Landart)

La physionomie de ces fossés peut se retrouver aussi bien en contexte d'habitat, que funéraire. Si les fossés de la tranchée 49 sont bel et bien antiques, nous pourrions être en présence d'un enclos, dont la fonction reste à déterminer. Il peut être lié à une zone funéraire, mais aussi à un habitat, comme pour le site du Moustoir (Le Bihan J.-P. et Villard J.-F., 2005b) proche de l'agglomération antique de Locmaria, à Quimper. Sur ce site, l'enclos qui ceinture l'habitat au sein d'une exploitation agricole, était quasi rectangulaire (fig.37). On

constate un enclos de même type pour l'habitat et exploitation agricole du Braden à Quimper (Le Bihan J.-P. et Villard J.-F., 2005b). D'autres fossés parallèles peuvent venir doubler l'ensemble, ou être le résultat de modifications réalisées au fil du temps de l'enclos primaire. Plus proche de nous, à Landerneau (Leroy B. et Le Faou N., 2013), une occupation du I^{er} au II^{ème} siècle avec enclos et habitat a également été fouillée en 2011.

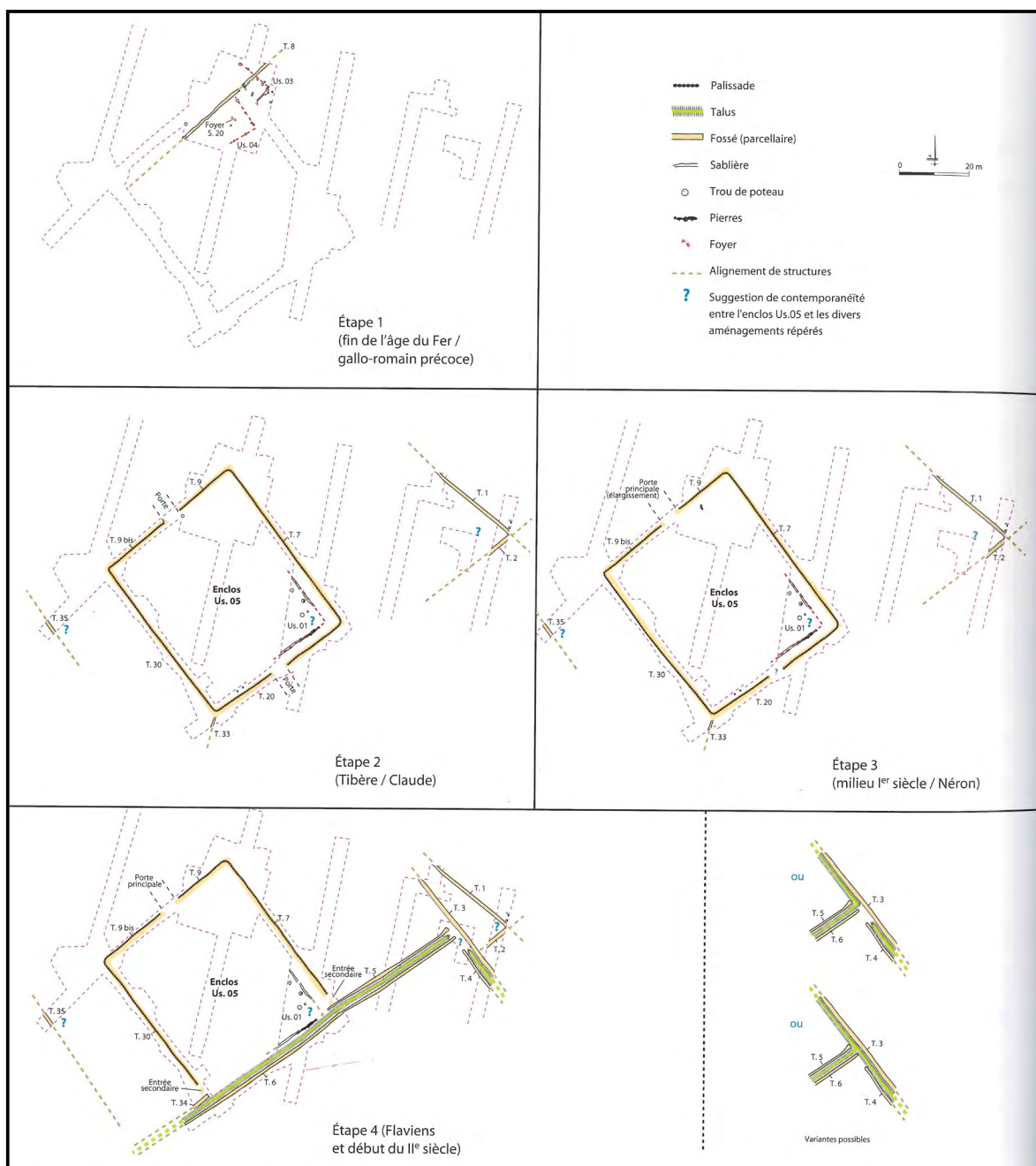


Figure 37 : Enclos d'habitat du site du Moustoir et son évolution dans le temps (in Le Bihan J.-P. et Villard J.-F., 2005b, p.434)

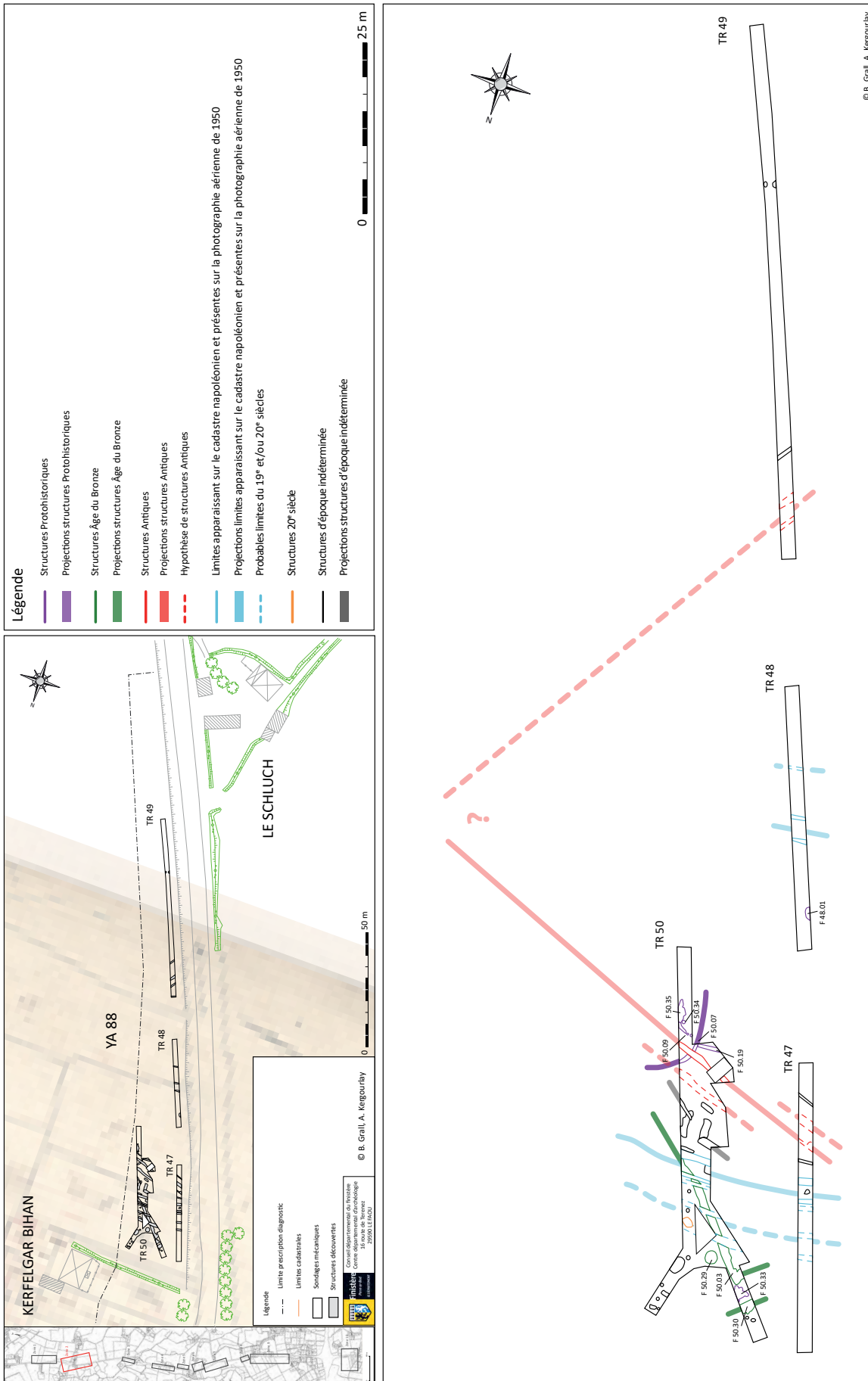


Figure 38: Structures d'époques protohistoriques probables et structures de l'âge du Bronze (B. Grall, DAO A. Kergourlay)

2.2.5.3. Structures Protohistoriques

- Fossés d'enclos de l'âge du Bronze (fig. 38 et 39)

Un premier fossé (F 50.03) d'orientation nord-ouest/sud-est a été suivi sur environ 20 m. Deux sondages ont été réalisés. Ceux-ci révèlent une forte érosion des sols, en effet la profondeur conservée ne dépasse pas les 16 cm par rapport au fond de la tranchée. La largeur du fossé est comprise entre 1,40 et 1,50 m. La faible profondeur ne permet pas de déterminer la forme du creusement, par contre les dimensions observées nous permettent d'imaginer une structure très large et profonde. Son comblement se compose de limon brun moyen assez homogène. A son extrémité nord-ouest, une anomalie liée au fossé, conserve des blocs de pierre dans son comblement. Son orientation nord-est/sud-ouest est quasi perpendiculaire au fossé initial. Elle peut être une bifurcation du fossé avec aménagement de l'angle. La céramique, qui tapissait le fond du fossé au niveau des sondages, peut être attribuée à l'âge du Bronze moyen, bien que certaines formes présentent des similitudes avec des récipients de l'âge du Bronze ancien et d'autres du début de l'âge du Bronze final (voir *infra*)

Un second fossé (F 50.30) d'orientation nord-est/sud-ouest, de comblement proche à celui de F 50.03, a révélé des fragments de céramique attribuables à l'âge du Bronze (voir *infra*). Il semble parallèle à la bifurcation nord-ouest de F 50.03.

Entre ces deux fossés, une fosse très irrégulière a été enregistrée. F 50.33 présente un comblement de surface composé de limon brun clair orangé. Aucun mobilier n'a été trouvé lors du nettoyage. Un fonctionnement avec F 50.03 et F 50.30 est envisagé.

L'association de plusieurs fossés, due à des remaniements ou à une volonté d'aménagement spécifique à l'âge du Bronze, a été constatée sur plusieurs sites de cette époque en Bretagne. C'est le cas par exemple sur le site de Ploudaniel, Le Parcou, route de Kernu (Sévin-Allouet C., 2016). L'orientation de F 50.03 et F 50.30 n'est pas incompatible avec les orientations des enclos de Ploudaniel et Plouedern. Pour le premier, l'orientation de l'enclos est nord nord-est/sud sud-ouest (Sévin-Allouet C., 2016). Celle de l'enclos 1 de Plouedern Leslouc'h est ouest nord-ouest/est sud-est, plus au sud de celui-ci, un système fossoyé adopte une orientation nord-est/

sud-ouest (Mentele S., 2006 ; Blanchet S., 2013).

Un décapage plus important de la zone n'a pas été possible. Il reste donc difficile de déterminer avec certitude l'orientation de l'ensemble des fossés de la tranchée 50 et leurs parcours dans l'espace.

- Grande fosse de l'âge du Bronze

Une grande fosse circulaire, F 50.29, se place le long de F 50.03 côté nord-est. Elle était composée de limon brun moyen à foncé avec de nombreux charbons, des fragments rubéfiés d'argile ou limon et un petit bord de céramique attribuable à l'âge de Bronze (voir *infra*). Au vu de sa forme et de ses dimensions (environ 2 m de diamètre) la grande fosse peut correspondre à un petit silo.

- Autres structures Protohistoriques?

- F 50.07 (fig. 38 et 40)

Ce fossé, courbe et d'orientation globale nord/sud, est recoupé par le fossé antique. Son creusement en «V» était très vertical à sa base et plus évasé en surface. Il suggère un possible système d'installation de piquets. Par comparaison avec le site de Quimper Kersaliou (Bourne S., 2018) et la chronologie relative, nous supposons que ces structures sont datées de l'époque protohistorique. Il peut s'agir d'un système de palissade plus ou moins courbe, lié à un habitat ou à des activités annexes de celui-ci.

- F 50.09 (fig. 38 et 41)

Au moment du décapage cette structure est apparue sous la forme d'un fossé peu large et qui semblait continuer au niveau de F 50.19. Le nettoyage et la fouille ont révélé deux trous de poteaux et une extrémité de fossé. L'association d'un petit fossé et de poteaux fait penser aux fondations de petits bâtiments circulaires connu pour l'âge du Bronze. Cela est nettement visible au niveau du bâtiment sur poteaux et tranchée de fondation du site de Guidel Pen Mane (Le Gall V., 2015). La faible fenêtre d'ouverture ne permet pas d'avoir de certitude sur ce petit ensemble F 50.09. Celui-ci, s'il est associé à F 50.19, participerait alors plutôt à un ensemble plus vaste de type palissade.

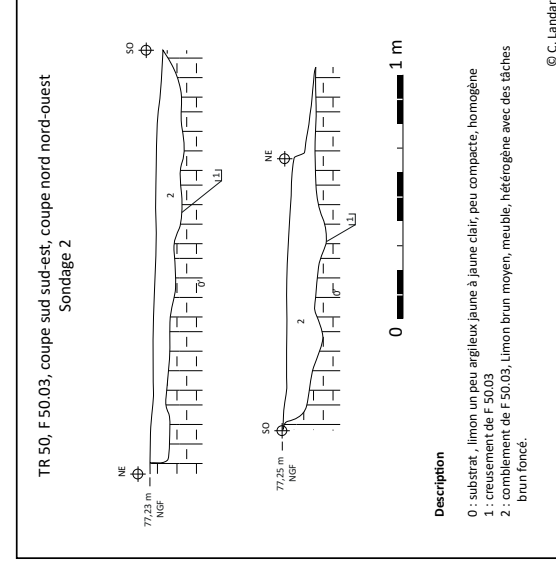
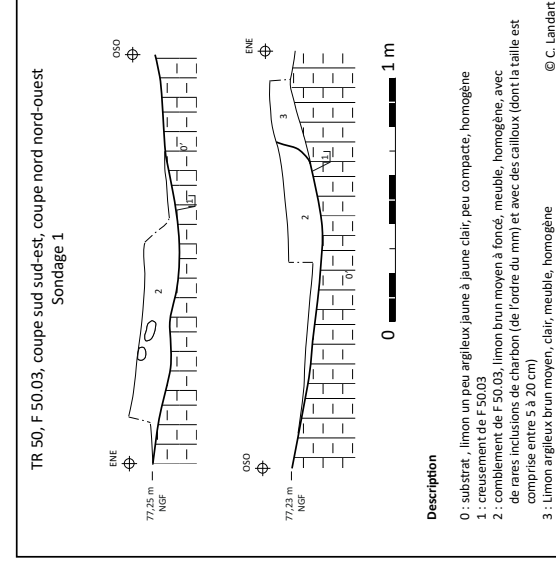
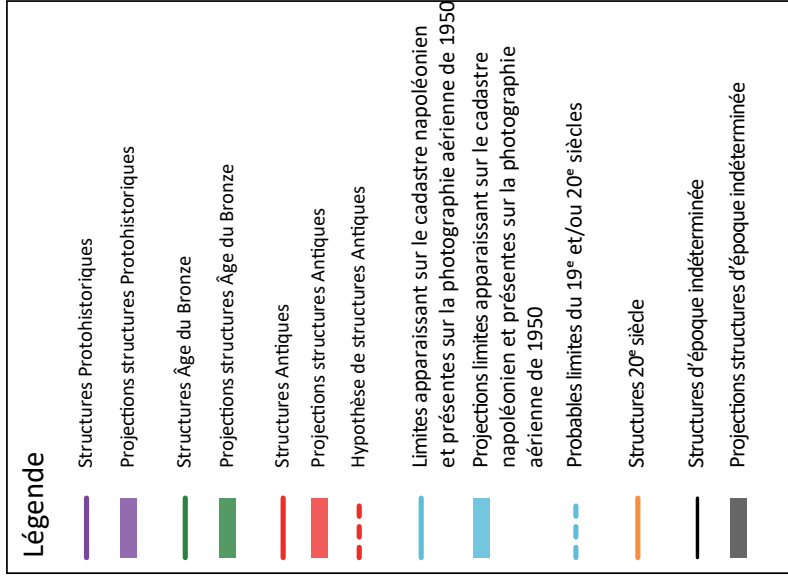
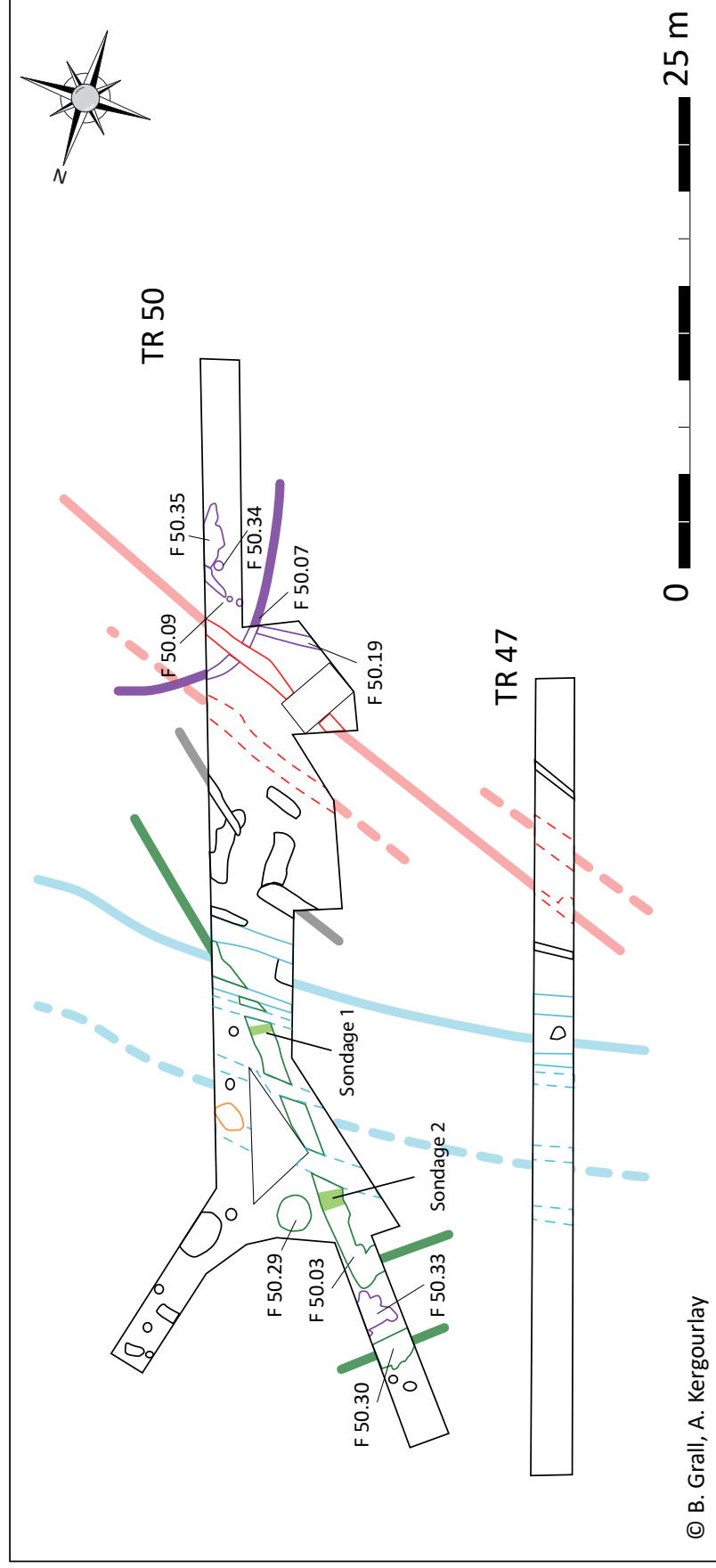


Figure 39 : Fossés attribués à l'âge du Bronze, et coupes des sondages 1 et 2 du F 50.03 (B. Grall, DAO A. Kergourlay et C. Landart)

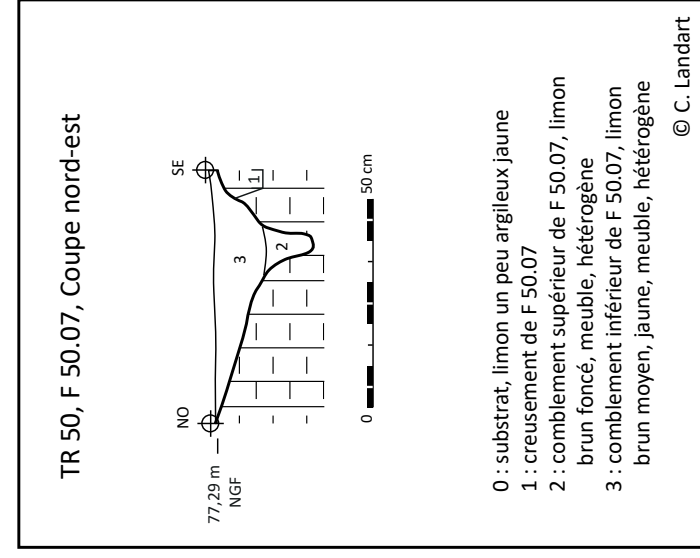


Figure 40 : Coupe du fossé protohistorique F 50.07 (DAO C. Landart)

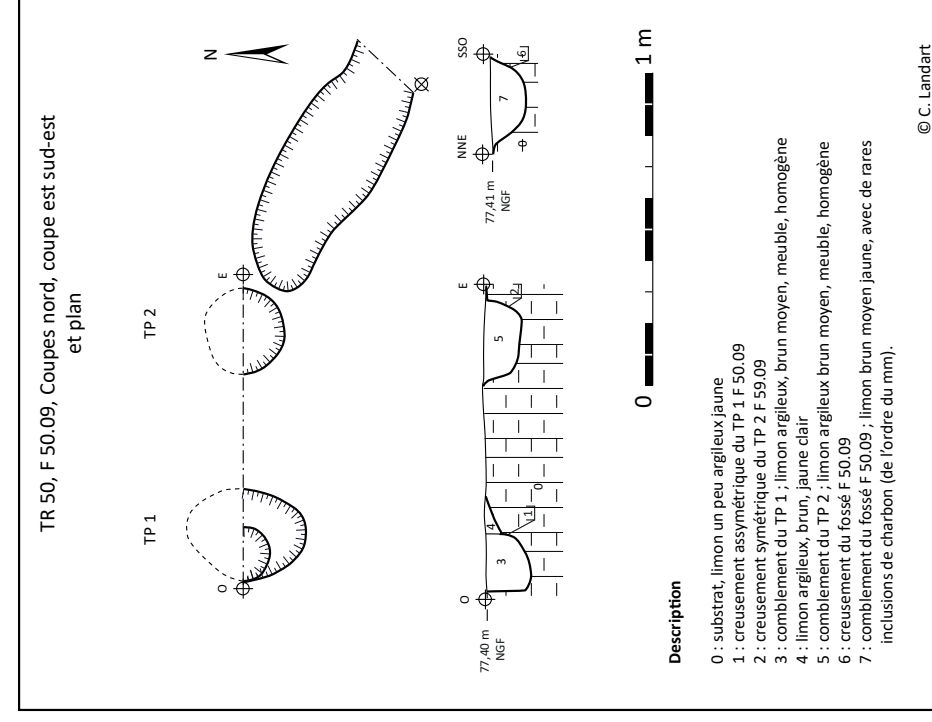


Figure 41 : Coupes et plan des structures composant F 50.09 (DAO C. Landart)

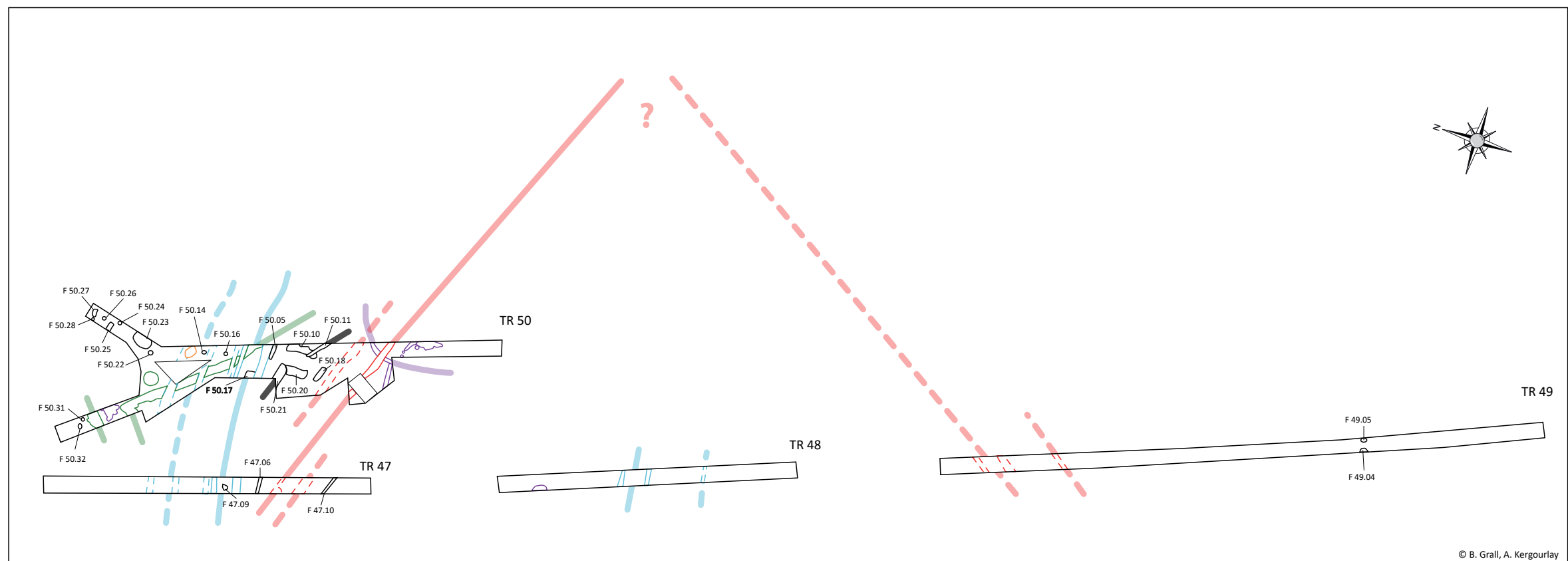
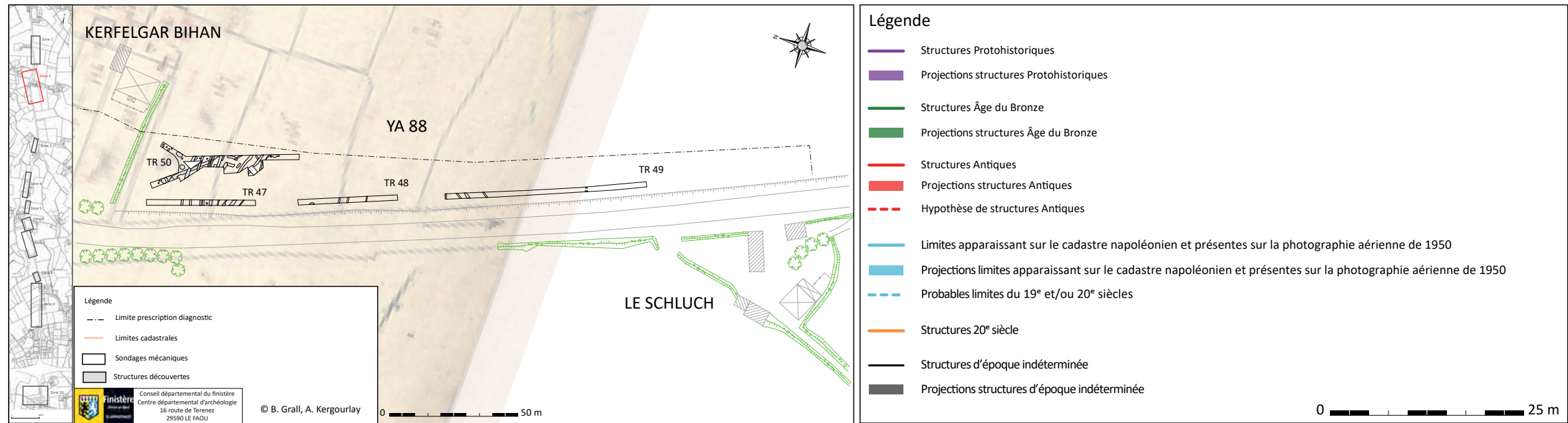


Figure 42: Structures de datation indéterminée (B. Grall, DAO A. Kergourlay)

– F 50.19

Petit fossé peu large pouvant correspondre à la continuité de F 50.09. Il participerait alors à un système de palissade ou clôture.

– F 50.34 et F 50.35

Ces deux structures sont associées, le trou de poteau F 50.34 se détache légèrement de F 50.35. Ce dernier adopte une forme très irrégulière dont le nettoyage fin a permis de constater que F 50.09 recoupe partiellement F 50.35. Ces deux structures sont-elles associées à F 50.09 ? Seule une investigation plus poussée pourra permettre de répondre à cette question.

2.2.5.4. Structures d'époque indéterminée (fig. 42)

Plusieurs structures n'ont pas pu faire l'objet d'une datation et les hypothèses d'attribution chronologique restent trop incertaines à ce jour sans recherches complémentaires.

Des fosses et trous de poteaux ont été inventoriés (fig. 42). Certaines structures, par leur proximité immédiate avec les fossés et fosses de l'âge du Bronze et leur comblement très proche pourraient être de la même époque. C'est le cas des structures des extensions nord nord-ouest de la tranchée 50 qui semblent s'installer autour des structures protohistoriques.

La fosse F 50.18 a été testée. Elle est de forme allongée et rectangle aux angles arrondis. Aucun mobilier n'a été découvert. Son profil ne permet pas non plus de lui attribuer une fonction particulière. Son parallélisme avec le fossé F 50.06 (antique) et sa promiscuité avec celui-ci permettent d'émettre l'hypothèse d'une contemporanéité. F 50.06 est considéré comme potentiellement antique.

Pour les autres structures, ni relation stratigraphique, ni mobilier n'ont permis une datation malgré leur proximité avec des structures dont la datation a été possible.

D'autres éléments sont totalement isolés. C'est le cas, par exemple, des fosses ou trous de poteaux de la tranchée 49.

Pour toutes ces structures dont la fonction et l'attribution chronologique n'ont pas été possible, seul un décapage complet de la zone et une fouille systématique pourraient permettre de comprendre le fonctionnement de celles-ci avec les éléments protohistoriques et antiques découverts à proximité.

2.2.6. Mobilier céramique du secteur 2

2.2.6.1. Parcelles ZR 50 et 51

• Tranchée 54

Petit fragment de 2,6 x 2,1 x 1,2 cm. La pâte est de couleur brun à rougeâtre avec une couleur gris foncé à cœur. Les inclusions mesurent de 0,5 à 5 mm, bien visibles en surface et riches en quartz et mica. Il s'agit d'un fragment de pâte onctueuse. Une attribution à la période médiévale est possible.

• Tranchée 55

– F 55.05

Un fragment de fond de 3,6 x 4,7 cm, avec une épaisseur du fond de 1 cm, et une épaisseur du départ de panse de 0,8 cm. La pâte est de couleur claire, beige à brun clair sur l'extérieur, gris à l'intérieur avec des traces d'un dépôt noir, et gris foncé à noir à cœur. Quelques inclusions de quartz de 0,5 à 5 mm sont présentes, la pâte est un micacée. Ce fragment, par la facture de sa pâte, peut être rattaché à l'époque médiévale. Une comparaison avec les céramiques découvertes dans les tranchées 51 et 52 permet ce rapprochement.

2.2.6.2. Parcelle YA 33

• Tranchée 51

– Epars

Deux fragments d'environ deux centimètres. L'un à une pâte de couleur gris à noir sur ses faces et orangée à cœur. Le second, la pâte est gris à beige sur les faces et beige un peu orangé à cœur. Tous les deux ont des inclusions de quartz fréquentes de 1 à 2 mm, et nombreuses paillettes de mica. Une attribution probable au Moyen Âge est envisagée.

– F 51.01

Un petit fragment de 3,5 x 2,5 x 1,2 cm à pâte très claire, plutôt blanche sur l'intérieur, gris clair à blanc sur l'extérieur et légèrement rosée à cœur. Les inclusions de quartz sont d'environ 0,5 à 1 mm et la pâte est fortement micacée. Un second fragment, un fond, a une pâte fortement micacée, de couleur brun clair à beige sur l'extérieur avec des traces de suie, gris à l'intérieur avec des traces noirâtres dans la partie du fond et orangé à rose à cœur. Ces deux fragments peuvent être attribués à la période médiévale.

– F 51.04

Petit tesson de 2,9 x 1,5 x 1,2 cm, à pâte de couleur brun à noir sur l'extérieur, gris foncé à l'intérieur et brun à gris foncé à cœur. Des inclusions de quartz de 0,5 à 3 mm sont bien visibles, ainsi que de nombreuses paillettes de mica. Une attribution à la protohistoire ou à la période médiévale est envisageable.

– F 51.05

Un premier tesson de 5,1 x 4,5 x 0,8 cm à une pâte claire. L'extérieur est gris clair et entièrement recouvert de suie, l'intérieur et le cœur sont blancs, légèrement rosés. La pâte est fortement micacée et contient des inclusions de quartz de 0,5 à 2 mm. Le second tesson mesure 5,3 x 4,1 mm avec une épaisseur de 0,85 à 1,1 cm. La pâte est de couleur brun à l'extérieur avec des traces de suie, beige un peu orangé à l'intérieur et orangé à cœur. La pâte est fortement micacée avec des inclusions de quartz de 0,5 à 1 mm. Une attribution à la période médiévale est fortement probable.

– F 51.08

Tesson de 2,5 x 1,9 x 0,6 cm à pâte de couleur brun noir sur l'extérieur avec un dépôt important de suie, brun foncé à l'intérieur et noir à cœur. Elle est fortement micacée et des inclusions de quartz de 0,5 à 1 mm sont visibles. Une attribution à la protohistoire ou à la période médiévale est possible.

– F 51.10

Cinq tessons, dont quatre qui recollent deux à deux. Un fragment de bord de dimension totale (deux fragments) de 5,4 x 2,5 x 1,4 cm, la lèvre étant

épaisse de 1,1 cm. La pâte est de couleur claire et micacée. Une face est de couleur brun avec dépôt de suie, une autre est beige. Le cœur est de couleur blanc à beige. Quelques inclusions de quartz de 0,5 à 2 mm sont visibles. Deux autres tessons qui recollent forment une courbe qui indique qu'ils proviennent d'un rebord de céramique. La pâte est gris beige à l'intérieur avec des traces de suie. Elle est beige orangée sur l'extérieur et orangée pâle à cœur. La pâte est micacée et des inclusions de quartz de 0,5 à 3 mm sont visibles. Le dernier tesson mesure 2,6 x 1,9 x 0,85 cm. Une face est de couleur gris, l'autre est orangée comme au cœur. La pâte est micacée et des inclusions de quartz de 0,5 à 2 mm sont visibles. L'attribution de ces fragments à la période médiévale est fortement probable.

– F 51.12

Petit tesson de 1,5 x 1,5 x 0,9 cm de couleur brun sur une face et orangé à beige sur l'autre face et à cœur. La pâte est micacée où des inclusions de quartz de 0,5 à 1 mm sont visibles. Par comparaison avec les autres pâtes de la parcelle, il est possible de l'attribuer à la période médiévale.

• Tranchée 52

– Epars

Fragment de terre cuite orangée avec une face à l'aspect plus « sableux » et légèrement beige. Il mesure 8,7 x 5,6 x 1,8 cm. Sa pâte contient des inclusions de roches concassées, des paillettes de mica fréquentes et des inclusions de 0,5 à 1 mm rouge.

– F 52.04 (fig. 43)

Un fragment de 3,1 x 2,3 x 0,8 cm d'onctueuse. Un second fragment correspond à une lèvre à pâte claire, beige à blanc fortement micacée, et à cœur gris. De la suie est visible sur la face interne et externe. Il s'agit d'une lèvre aplatie à section rectangulaire et arrondie sur l'extérieur. Ce fragment recolle avec le fragment de lèvre de F 52.05. Par le type de pâte, et la forme de la lèvre, ces éléments peuvent être attribués à la période médiévale.

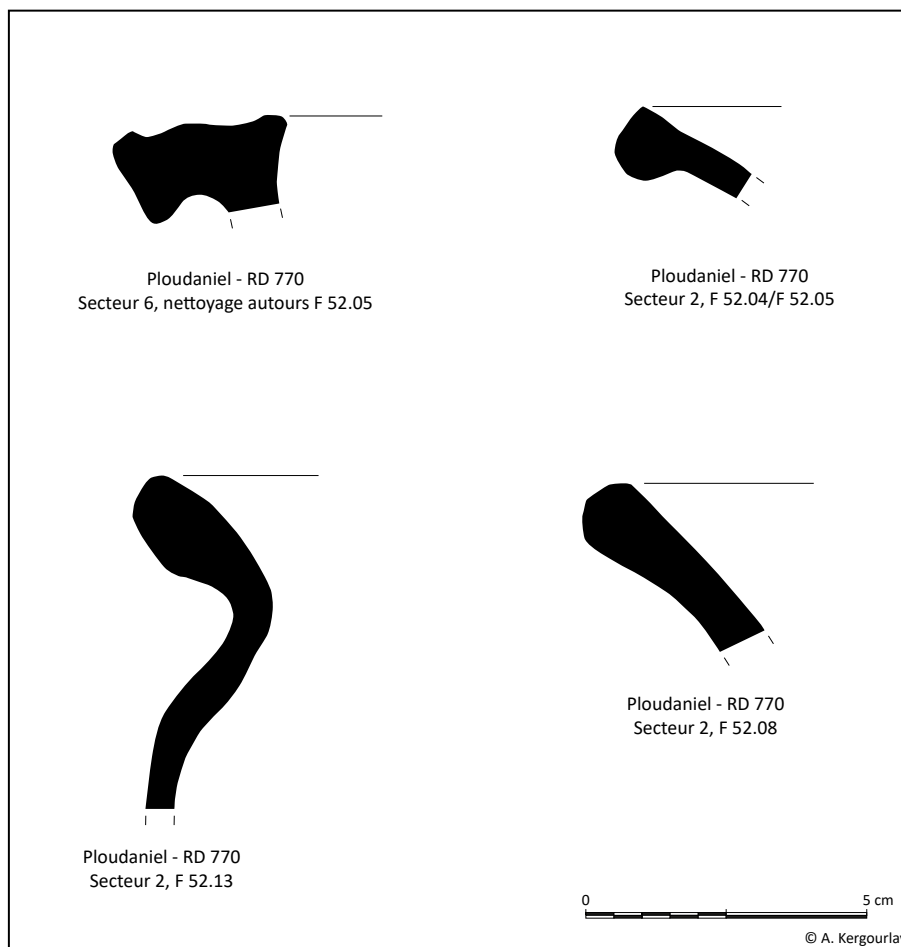


Figure 43 : Profil des bords de céramiques d'époque médiévale du secteur 2, tranchée 52 (A. Kergourlay)

– F 52.09

Le fragment mesure environ 2 cm², il est à pâte claire, de couleur gris beige à gris foncé, avec des inclusions de quartz de 0,5 à 1 mm et fréquentes paillettes de mica. Par sa pâte, il peut être rattaché aux exemplaires de la parcelle, dont une datation à l'époque médiévale est proposée..

– F 52.07

Tesson de 4,2 x 3,6 x 0,9 cm. La pâte est de couleur gris moyen avec des traces de suie sur l'extérieur, et beige sur la face interne et à cœur. Elle est fortement micacée avec des inclusions de quartz de 0,5 à 1 mm. Ce fragment est attribuable à la période médiévale.

– F 52.08 (fig. 43 et 45 et 46)

Fragment de bord éversé à lèvre arrondie de 5 x 3,7 x 0,9 cm et 1,3 cm (zone épaisse de la lèvre). Pâte de couleur gris brun avec traces de suie sur l'intérieur et l'extérieur, cœur beige. Pâte micacée à inclusions

de quartz de 0,5 à 2 mm. Décor réalisé à la molette sur le méplat interne de la lèvre, avant cuisson. Il consiste en une quadruple ligne de dépressions rectangulaires, disposées en lignes superposées vraisemblablement de l'extrémité de la lèvre vers l'intérieur, aucun chevauchement des lignes n'a été constaté. Il est difficile au vu du fragment de définir la forme du vase, mais il est vraisemblable qu'il se rapproche par son méplat assez important et son décor à la jatte découverte dans le Fait 720 (sondage 2381) (fig. 45) de Plouedern Leslouc'h (Blanchet S., 2013). Une autre comparaison est possible avec les décors et les formes de poteries découvertes sur le site de Créac'h-Gwen en Quimper (Le Bihan J.-P et Villard J.-F., 2005a) (fig. 46). Ces céramiques sont attribuées à une période s'étalant du IX^{ème} au XI^{ème} siècles. Cette attribution reste à ce jour hypothétique, seule une investigation plus large du site de Kerfelgar Bihan et une étude plus complète de la céramique nous permettront une datation plus certaine.

– F 52.12

Petit tesson d'environ 1 cm épais de 0,6 cm. La pâte est de couleur noir avec inclusions de quartz d'environ 1 mm et paillettes de mica. Une attribution chronologique large est proposée, entre la protohistorique ou l'époque médiévale.

– F 52.13 (fig. 43)

30 fragments de céramiques ont été récoltés dans cette structure. Après recollage, le nombre se réduit à 20 fragments.

Douze fragments ont une pâte identique, elle est de couleur gris foncé à l'extérieur, brun à noir avec un dépôt noirâtre à l'intérieur et la tranche est beige à cœur noir. La pâte est micacée et moyennement grossière, à inclusions de quartz fréquentes de 0,5 à 2 mm. La pâte est de facture médiévale.

Un fragment (recollage de 7 tessons) a une pâte moyennement grossière micacée, à inclusions de quartz fréquentes de 0,5 à 1 mm. Elle est de couleur brun noir à l'extérieur, brun gris à l'intérieur et noir à cœur. La pâte est de facture médiévale.

Un tesson (2 fragments) a une pâte micacée à inclusions de quartz de 1 à 3 mm, de couleur beige rosé sur les faces externe et interne et rosé à cœur. L'attribution chronologique est indéterminée.

Trois fragments de petites tailles d'épaisseur d'environ 0,6 cm, ont une pâte légèrement micacée, à inclusions de quartz de 0,5 à 1 mm. La couleur externe est brun gris foncé, interne est orangé et beige orangé à cœur. L'attribution chronologique est indéterminée.

Un tesson d'environ 1 cm² a une pâte claire, couleur blanc à blanc-rosé. Pâte micacée avec de rares inclusions de quartz de 1 mm environ. La pâte est de facture médiévale.

Un fragment d'environ 1 cm² a une pâte peu micacée à inclusions de quartz de 0,5 à 4 mm. La couleur est orangé à l'intérieur, gris moyen à l'extérieur et le cœur est beige. L'attribution chronologique est indéterminée.

Un fragment (2 tessons) de bord avec départ de panse à lèvre en amande éversée vers l'extérieur. Le départ de panse permet de supposer un vase de

forme plus ou moins globulaire. La pâte est claire et micacée, avec des inclusions de quartz de 0,5 à 3 mm. Elle est de couleur brun clair avec des traces de suie sur l'extérieur, beige jaune à l'intérieur et beige clair à cœur. Ce fragment peut être comparé à celui découvert dans le fait 720 (sondage 2381) du site de Plouedern Leslouc'h et appartenant au type « pot 22 » défini par Françoise Labaune-Jean, lors de la réalisation d'un classement des formes issues des fouilles de Leslouc'h de 2008 et de 1966 (fig. 47, Blanchet S., 2013). Ce fragment appartiendrait à une même période chronologique que le bord décoré de F 52.08, soit une période comprise entre le IX^{ème} et XI^{ème} siècles.

– F 52.05 (fig. 43)

Tesson de 3,3 x 3,2 x 0,7 cm et 1,2 cm (extrémité de la lèvre). Ce fragment de lèvre a une pâte claire beige à blanc fortement micacée, et à cœur gris. De la suie est présente sur la face interne et externe. Il s'agit d'une lèvre aplatie à section rectangulaire et arrondie sur l'extérieur. ce tesson recolle avec le fragment de lèvre de F 52.04. Un tesson de pâte identique de 2,5 x 2,4 x 0,8 cm a également été trouvé.

Un fragment d'environ 2 x 2 x 0,8 cm a une pâte orangée, micacée et inclusion de quartz de 0,5 à 2 mm. Une face est légèrement plus beige. une attribution probable à la période médiévale est envisagée.

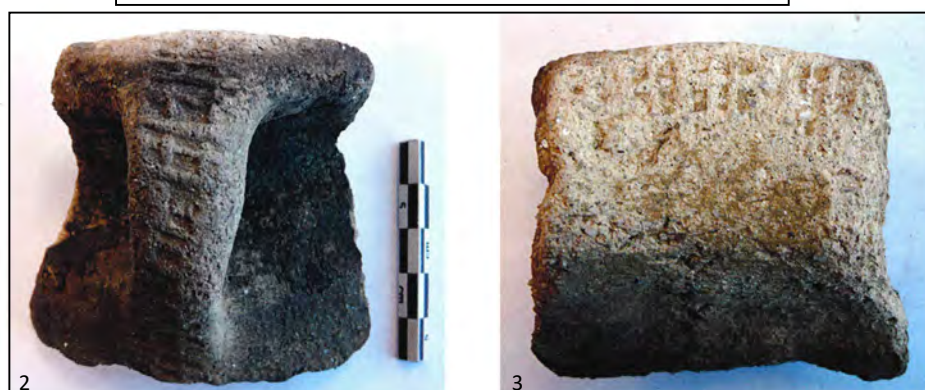
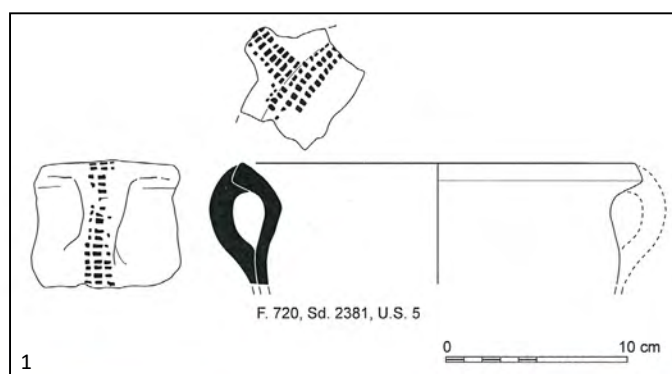
– Mobilier à proximité immédiate de F 52.05 et F 52.06

Trente et un tessons ont été récoltés lors du nettoyage autour des structures F 52.05 et F 52.06. On compte vingt-six fragments issus de panses, un fond et quatre bords dont trois trop fragmentés pour définir le type.

Le fond mesure 3,9 x 2,4 cm pour une épaisseur de 0,9 cm. Sa pâte est de couleur brun gris sur l'extérieur, beige avec dépôts noirs à l'intérieur et beige orangé à cœur. La pâte est micacée et comporte des inclusions de quartz de 0,5 à 2 mm. La facture de la pâte permet une attribution à la période médiévale.



Figure 44 : Cliché bord de céramique avec décor sur le pourtour interne du bord de la structure F 52.08 (A. Kergourlay)



- 1 : Relevé de la jatte, F. 720, Sd. 2381, US 5 (F. Labaune-Jean, S. Jean)
- 2 : Vue de l'anse, décorée à la molette, de la jatte de F. 720 (F. Labaune-Jean)
- 3 : Détail de la molette ornant la lèvre interne de la jatte de F. 720 (F. Labaune-Jean)

Figure 45 : Cliché et dessin du fragment de jatte décoré de F 720, Sd 2381, US 5, fouille de Plouedern Leslouc'h (Blanchet S., 2013)

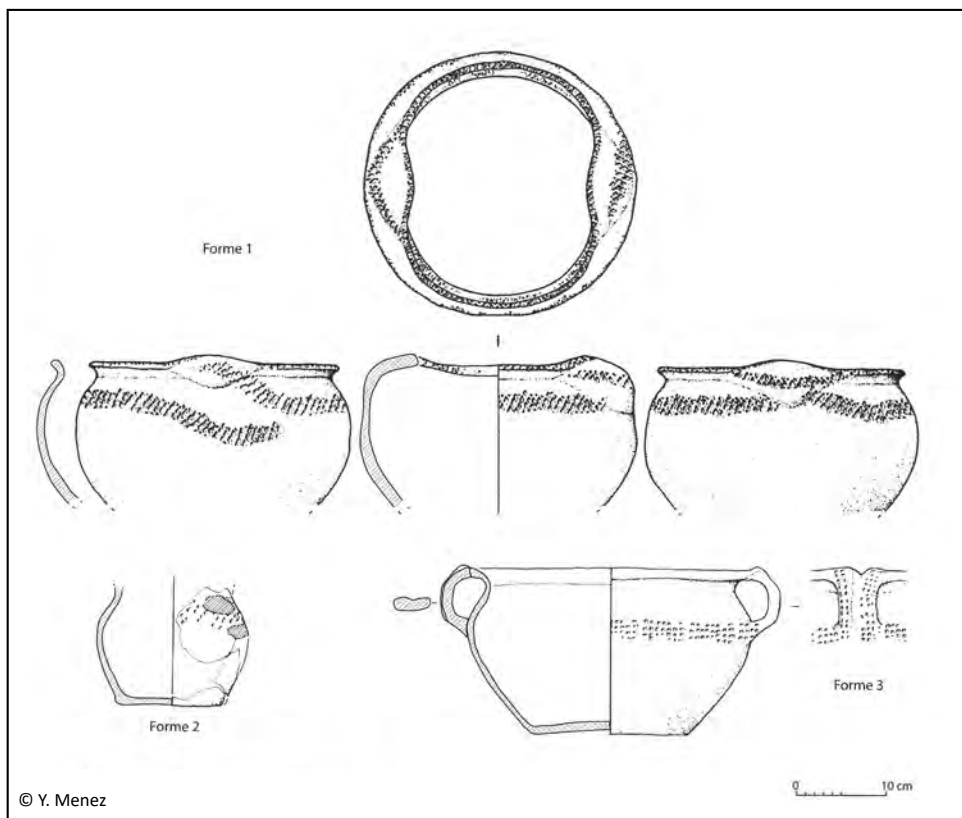


Figure 46 : Céramiques décorées à la molette (forme 1 et 2) du site de Créac’h Gwen à Quimper (Y. Menez in Le Bihan J.-P. et Villard J.-F., 2005a)

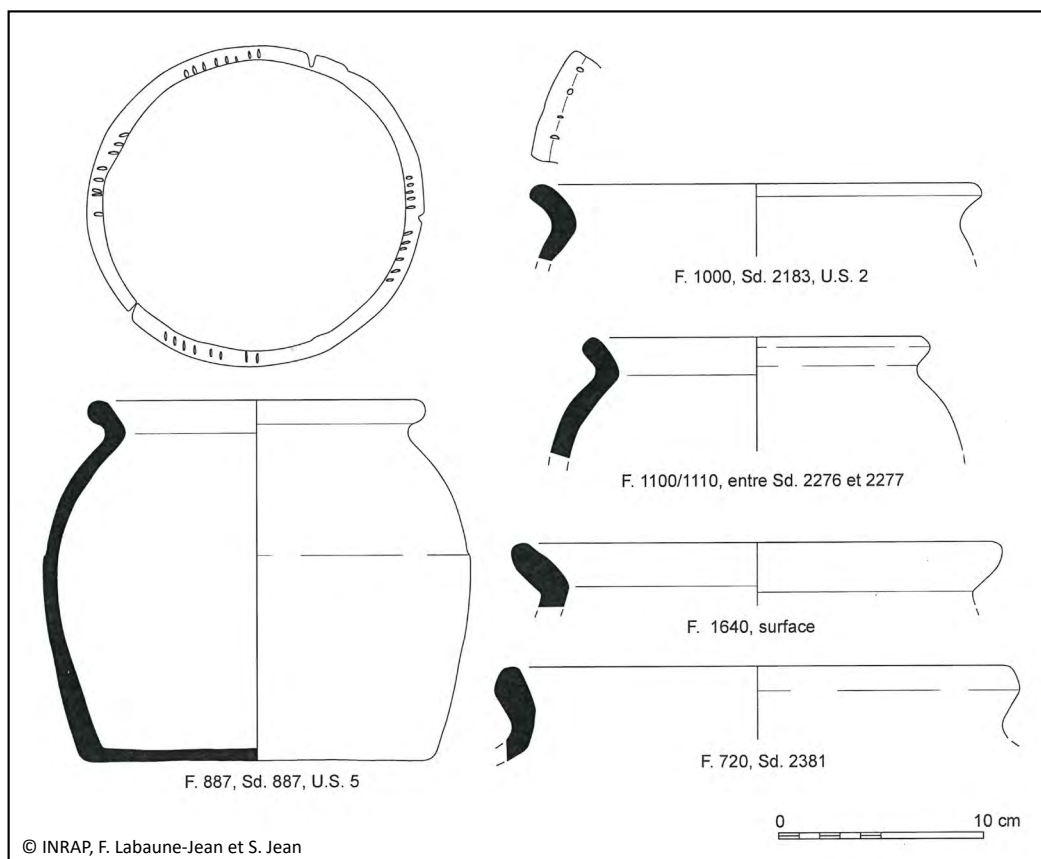


Figure 47 : Exemples de poteries appartenant au type «pot 22» défini par F Labaune-Jean pour le site de Plouedern Leslouc’h (Blanchet S., 2013)

Un premier bord se caractérise par une lèvre trapézoïdale éversée issue d'une céramique onctueuse (fig. 43). Par comparaison avec les lots étudiés sur le site de Leslouc'h en Plouedern (Blanchet S., 2013), il est possible d'émettre une datation entre les X^{ème} et XII^{ème} siècles.

Un second bord se caractérise par une pâte orange rosé à l'intérieur et à cœur, noir sur l'extérieur. La pâte est micacée et comporte des inclusions de quartz de 0,5 à 1 mm. Le troisième bord se compose d'une pâte fortement micacée avec inclusions de quartz de 0,5 à 2 mm. Elle est de couleur gris clair à l'intérieur, beige clair à l'extérieur et gris à noir à cœur. Le dernier fragment de bord se compose d'une pâte assez grossière avec une faible densité de mica et des inclusions de quartz de 1 à 5 mm. La couleur de la pâte est gris brun sur les faces interne et externe et gris à beige à cœur. Une attribution à l'époque médiévale est probable pour ces trois éléments.

Parmi les autres fragments de céramique, on peut caractériser six catégories de pâte :

Lot 1 (10 fragments) : la pâte est de couleur noir sur l'extérieur avec un dépôt de suie important, beige très légèrement rosé à l'intérieur et orange à brun à cœur. La pâte est très micacée, avec des paillettes de mica de 0,5 à 2 mm, et des inclusions de quartz d'environ 1 mm. Ce fragments a une épaisseur d'environ 0,9 cm.

Lot 2 (7 fragments) : proche du lot 1, il a une pâte très micacée, la couleur interne est gris foncé et à cœur noir. Ce fragments a une épaisseur d'environ 0,7 cm

Lot 3 (2 fragments) : la pâte est peu micacée avec des inclusions de quartz d'environ 1 mm. Epaisse de 0,9 cm, la couleur est noir sur la face externe, beige sur la face interne et noir à cœur.

Lot 4 (5 fragments) : la pâte est micacée à inclusions de quartz comprises entre 0,5 et 2 mm. La couleur est brun clair à foncé un peu rosé sur l'extérieur, beige rosé à l'intérieur et beige rosé à cœur.

Lot 5 (1 fragment) : la pâte est fine avec des inclusions inférieures à 0,5 mm et peu micacée. Elle est de couleur générale orange rosé, des traces noires sont visibles sur la face externe.

Lot 6 (1 fragment) : la pâte est grossière à paillettes de mica fréquentes et inclusions de quartz de 0,5 à 3 mm. La couleur de la face externe est noir, elle est orange un peu brun à l'intérieur et noir à cœur.

Pour l'ensemble de ces lots il est possible de suggérer une datation large de l'époque médiévale au début de l'époque moderne.

- Céramique parcelle YA 33 : bilan

La céramique issue des tranchées 51 et 52 témoigne d'une occupation de l'époque médiévale. Certains éléments assez caractéristiques peuvent être attribués au Haut Moyen Âge, par comparaison avec les sites de Créac'h-Gwen à Quimper (Le Bihan J.-P et Villard J.-F., 2005a) et Leslouc'h à Plouedern (Blanchet S., 2013). Il est possible de restreindre l'attribution entre les IX^{ème} et XI^{ème} siècles.

Certains éléments céramiques n'ont pas pu faire l'objet d'une datation précise. Leur pâte, en effet, pourrait tout autant être de facture protohistorique (F 51.04, F 51.08 et F 51.12). Il n'est pas à écarter une résidualité de mobilier plus ancien. La présence de structures de cette période n'est pas totalement impossible, ce secteur ayant révélé sur la parcelle YA 88 un site de l'âge du Bronze.

Une étude plus approfondie du mobilier de ces tranchées, permettrait sans doute une meilleure datation des structures en place.

2.2.6.3. Parcelle YA 88

- Tranchée 48

- Décapage

Lors du décapage, des fragments de céramique avec une glaçure verte ont été trouvés. Ces éléments sont datables de la fin de l'époque médiévale et de l'époque moderne. Quelques tessons, dont la pâte permet une attribution à l'époque médiévales, sont également à signaler.

Un fragment de fond (5,1 x 2,7 x 1,5 cm) sort du lot, il présente une pâte grossière à inclusions de quartz de 1 à 3 mm et quelques paillettes de mica. Sa couleur est brun orangé sur l'extérieur, orangé à l'intérieur et gris brun à cœur. Il se rapproche, par sa pâte, des céramiques protohistoriques de la parcelle.

– F 48.01

Petit fragment de 3,6 x 2,9 x 0,5 cm à pâte plutôt fine avec inclusion de quartz d'environ 1 mm et paillettes de mica fréquentes. La pâte est de couleur beige orangé sur l'extérieur, gris noir à l'intérieur et gris à coeur. Des traces de lissage sont visibles sur les faces interne et externe. La pâte peut se rapprocher de production de l'âge du Fer voire de l'Antiquité.

• Tranchée 49

Deux fragments ont été récoltés lors du décapage. L'un est un fond à pâte claire et glaçure blanche de type industriel (19^{ème}, début 20^{ème} siècles). L'autre est un bord à pâte claire et glaçure verte qu'on peut rattacher à la fin de l'époque médiévale et début de l'Époque moderne.

• Tranchée 50

– Décapage

Deux fragments, qui recollent, ont une pâte rose micacée, fine. Une face a un léger revêtement rougeâtre et des traces de coulures de glaçures verdâtres. Une appartenance à l'époque médiévale ou moderne est probable.

– F 50.04

Petit tesson de 2,4 x 2,0 x 1,1 cm. Pâte grossière avec des inclusions de quartz et roches concassées de 0,5 à 5 mm, avec fréquentes paillettes de mica. La couleur est beige orangé à l'extérieur, gris foncé à l'intérieur et gris à noir à coeur. Aspect protohistorique de la pâte.

– F 50.08 (fig.48 et 49)

Ce fossé a révélé une cruche au profil archéologiquement complet, et attribuable à la période Antique (fig.48). Un total de 78 fragments ont été récoltés. Un recollage de 67 tessons a permis d'obtenir une forme archéologiquement complète.

La pâte est claire et fine, avec des inclusions inférieures 1 mm, et de très rares paillettes de mica. La couleur varie du beige orangé clair avec des zones plus blanchâtres côté extérieur. A l'intérieur, la couleur est beige orangé clair avec des traces de tournage nettes. La pâte est légèrement plus orangé

à coeur. L'épaisseur de la panse varie de 3 à 4 mm, pour une épaisseur du col variant de 6 à 9 mm.

La cruche présente un goulot étroit qui s'évase à l'ouverture, avec une lèvre éversée. Elle présente trois cannelures sur sa partie supérieure. Une anse vient s'installer sous cette zone à cannelures pour venir s'accrocher sur l'épaule de la panse. Celle-ci adopte une forme légèrement globulaire. Le fond n'a pas été découvert, mais un ressaut entre lui et la panse est aménagé.

Dans le catalogue de formes de céramiques gallo-romaines réalisé pour Quimper (Le Bihan J.-P. et Villard J.-F., 2005b), la cruche de F 50.08 peut être rapprochée des exemplaires de type 329 (fig.50). Ce dernier regroupe des cruches à pâte claire, avec embouchure en manchon cannelé évasé. Il s'agit d'une forme courante dont les contextes de découvertes de Quimper, se situent entre la fin du I^{er} et le III^{ème} siècle.

A l'intérieur de la panse, un dépôt noir horizontal est visible sur une portion (fig. 52). Il semble indiquer le niveau d'un liquide dont une analyse chimique serait intéressante. Sur l'extérieur de la panse, une dépression de la taille d'une empreinte de doigt est nettement visible vers la base de la cruche (fig. 52). Elle a été réalisée avant cuisson. Il n'a pas été possible de déterminer sa fonction.

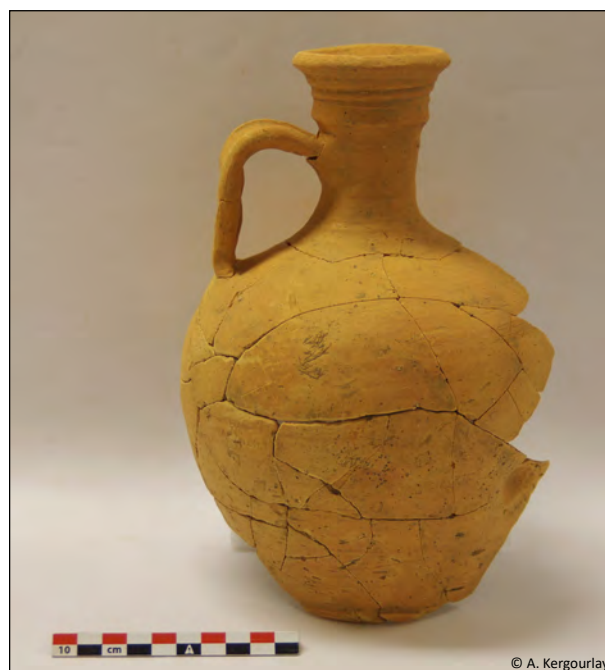


Figure 48 : Cliché de la cruche du fossé F 50.08 après recollage (A. Kergourlay)

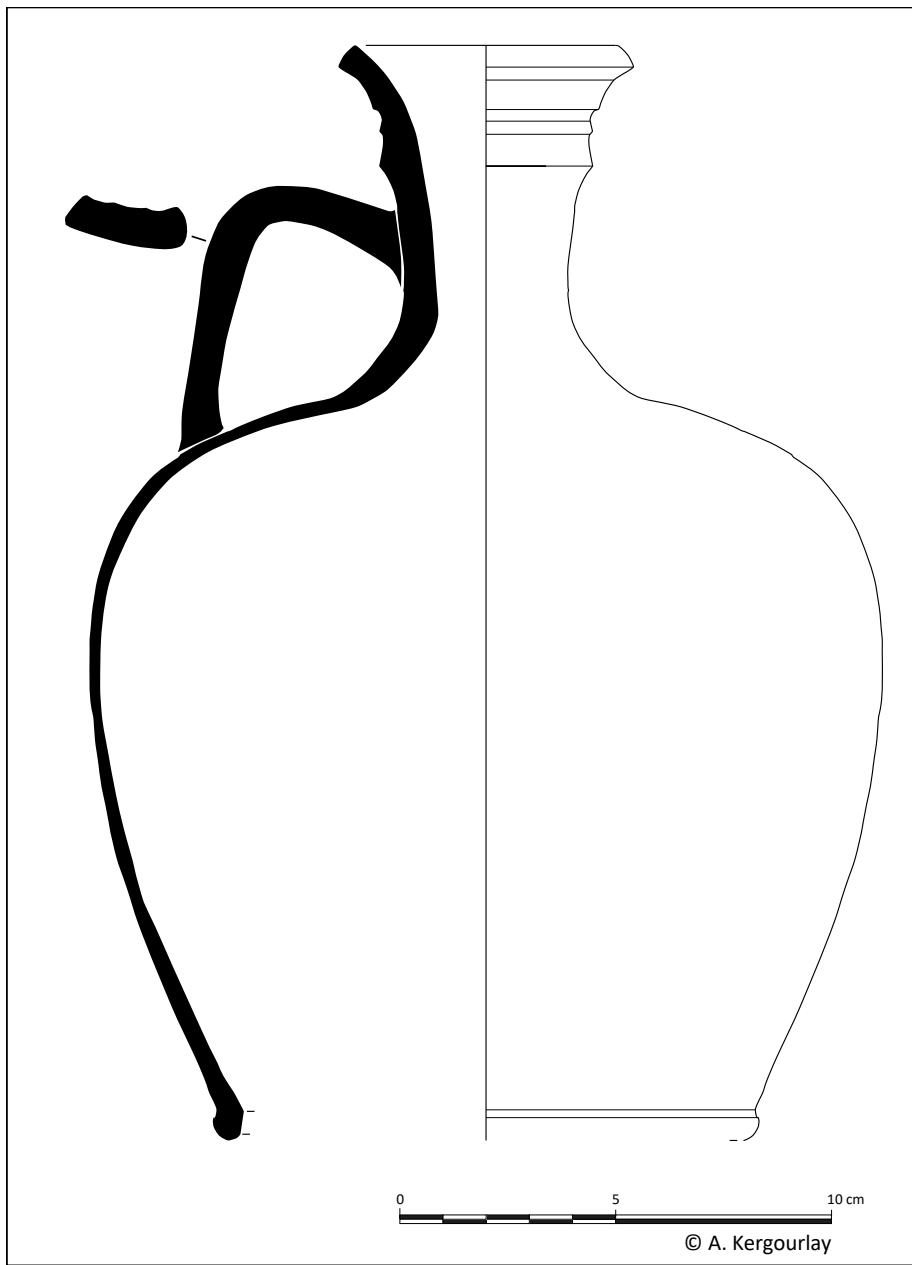


Figure 49 : Profil de la cruche du fossé F 50.08 après recollage (A. Kergourlay)

CHRONOLOGIE :

CATÉGORIE TYPOLOGIQUE : CRUCHE

Type de production : POTERIE À PÂTE CLAIRE

Description morphologique : cruche à embouchure en manchon cannelé évasé

Contexte de découverte à Quimper :
 contextes flaviens - I^{er} siècle ap. J.-C. (prieuré de Locmaria) ;
 contexte fin I^{er} - début II^e siècle ap. J.-C. (Parc-ar-Groas) ;
 contexte seconde moitié I^{er} siècle ap. J.-C. (Le Moustoir) ;
 contexte I^{er} - II^e siècle ap. J.-C. (Roz-Maria) ;
 contexte indéterminé (Le Banellou, La Vallée et Kerveguen)

Comparaison et/ou typologie : contextes armoricains, milieu I^{er} à milieu II^e siècle ap. J.-C. (Le Meur, 1990)

REMARQUES : forme courante

329

Figure 50 : Fiche de la forme n° 329 du catalogue de formes de céramiques gallo-romaines réalisé pour Quimper (Le Bihan J.-P. et Villard J.-F., 2005b, p.809)

Plus proche du site, un fragment de goulot cannelé de même type a été découvert à Landerneau sur le site de la ZAE de Kergonidec (fig. 51). Ce site se caractérise par une occupation de type habitat, composés d'enclos et de bâtiments sur poteaux. L'occupation Antique est datée entre le I^{er} et II^{ème} siècles (Leroy B. et Le Faou N., 2013).

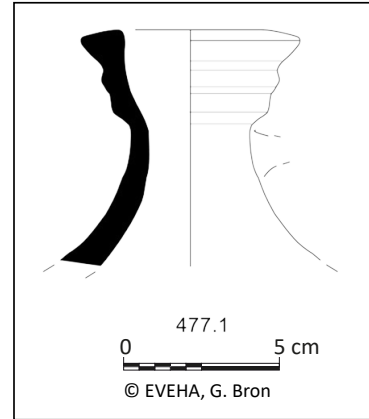
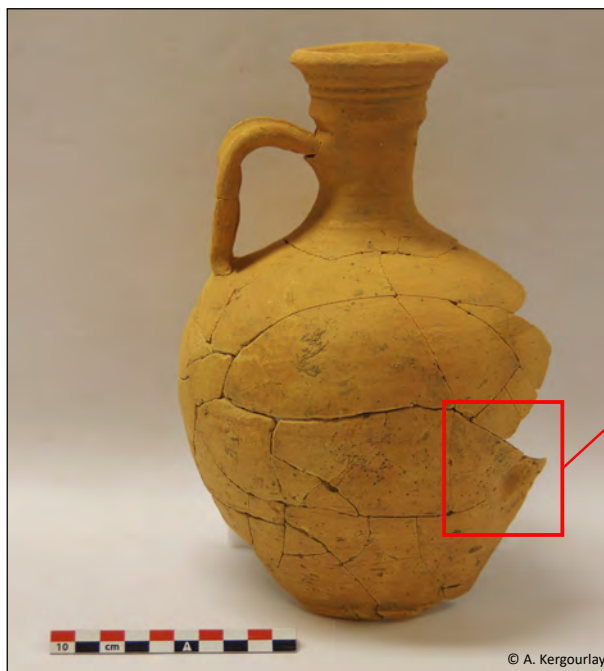
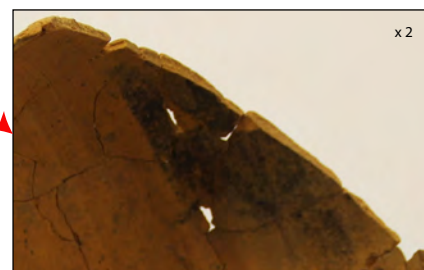


Figure 51 : Profil du manchon de cruche du site de la ZAE de Kergonidec à Landerneau (Leroy B. et Le Faou N., 2013)



Détail impression sur la panse



Détail tâche noire interne

Figure 52 : Cruche du fossé F 50.08, détail de la marque digitée (en haut) et niveau conservé d'un liquide à l'intérieur (en bas) (A. Kergourlay)

– F 50.29 (fig. 53)

Petit fragment de bord de 2,4 x 2,2 x 0,9 cm. Cet objet est un bord éversé caractérisé par une lèvre aplatie et épaissie. Sa pâte est de couleur noir à gris sur les faces interne et externe, noir à coeur. Des inclusions de quartz de 1 à 4 mm sont visibles ainsi que de fréquentes paillettes de mica. Un dépôt de suie est perceptible sur la face externe du tesson.

Ces éléments de pâte et de forme se retrouvent sur les poteries de l'âge du Bronze moyen-final de Leslouc'h en Ploudaniel (Blanchet S., 2013). Ce type de bord se retrouvent principalement sur la catégorie des céramiques moyennes (7-9 mm) à épaisses (> 10 mm).

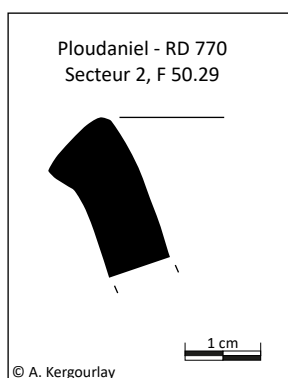


Figure 53 : Profil du petit bord de céramique de la fosse F 50.29 (A. Kergourlay)

– F 50.30

Quatre fragments, dont un fond, ont été récoltés lors du nettoyage de cette structure.

Le fond est très partiel (absence face interne), il a une pâte grossière avec des inclusions de quartz de 1 à 5 mm et de fréquentes paillettes de mica. La couleur est beige orangé à l'extérieur et noir à coeur.

Un fragment mesure 4,7 x 4,6 x 1,3 cm. La pâte micacée est grossière avec des inclusions visibles de quartz de 0,5 à 4 mm, ainsi que des inclusions de roches concassées du même ordre de grandeur. La couleur à l'extérieur est beige orangé, brun orangé à l'intérieur et gris à coeur.

Un fragment qui mesure 4,1 x 3,2 x 1,2 cm. La pâte est moyennement grossière avec des inclusions de quartz et roches concassées de 1 à 2 mm et avec de fréquentes paillettes de mica. La couleur à l'extérieur est beige orangé, noir à l'intérieur et noir à coeur.

Un tesson de 3,5 x 2,9 x 0,9 cm. La pâte est plutôt fine avec des inclusions de quartz d'environ 1 mm et fréquentes paillettes de mica. La couleur de la pâte est beige orangé à brun orangé sur l'extérieur et l'intérieur avec des traces de lissage, et gris à noir à coeur.

Ces quatre fragments peuvent se rattacher par la facture de la pâte, à la Protohistoire. Au vu du contexte proche (F 50.03) et de la ressemblance avec le mobilier de l'âge du Bronze, il est possible d'émettre l'hypothèse d'une datation identique pour ces tessons.

– Fossé F 50.03

Lors du nettoyage de ce fossé, au niveau de sa disparition sous la berme est de la tranchée, plusieurs fragments d'un bord (dont six recollent entre eux) ont été récoltés. La pâte est moyennement grossière avec des inclusions de quartz et roches concassées de 0,5 à 2 mm, avec de fréquentes paillettes de mica. La couleur varie de beige orangé à brun clair sur l'extérieur, de beige orangé à gris foncé à l'intérieur et de gris à noir à coeur. Les dimensions de l'objet recollé sont : 5,2 x 5,6 x 0,5/0,6 mm. Le diamètre estimé de l'objet est de 10 cm à l'ouverture. Il se rapproche des gobelets identifiés sur le site de Plouedern Leslouc'h (Blanchet S., 2013) et datés du Bronze moyen-final.

Dans ce fossé, deux sondages ont été réalisés. Chacun d'eux a permis la découverte de fragments de céramiques dont les bords et les fragments, qui permettent de déterminer la forme des vases, après recollage.

Sondage 1 (fig. 39)

Dix fragments de céramique ont été mis au jour lors de la fouille.

Parmi eux, deux petits tessons à pâte micacée à inclusions de quartz d'environ 1 mm. La couleur est gris à noir sur les faces et noir à coeur.

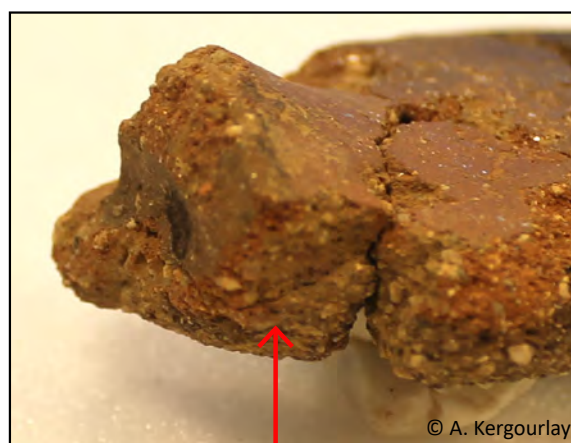
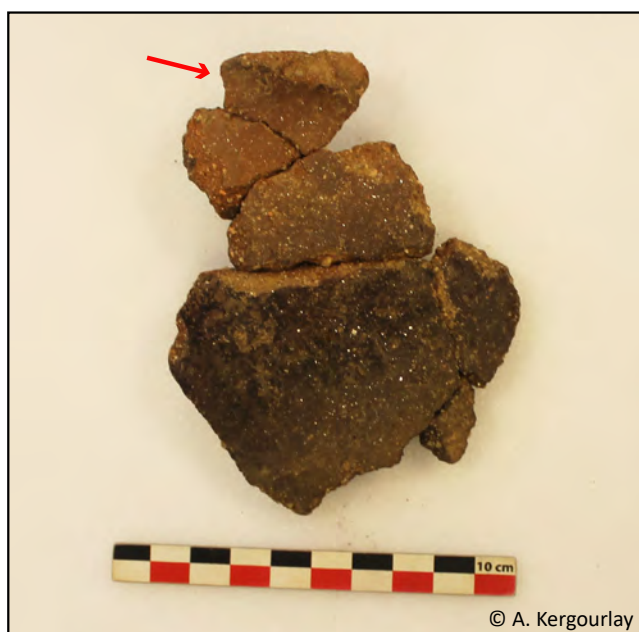
Un tesson isolé de 3,2 x 3,2 x 0,7 cm, à pâte plutôt fine, micacée et à inclusions de quartz inférieures à 1 mm. La couleur externe est brun clair orangé, gris foncé à l'intérieur et gris à noir à coeur. La pâte se rapproche des productions connues pour la Protohistoire. Au vu des autres éléments présents dans le sondage, une attribution à l'âge du Bronze est envisageable.

Six fragments, après recollage, correspondent à une portion de panse avec bouton plat. Une fissure permet de constater que celui-ci a été placé après coup sur la panse (fig. 54), et qu'il n'a pas été formé, dans un même temps, par pincement de la pâte, comme c'est le cas pour l'autre fragment du sondage (voir *infra*). La pâte est moyennement grossière avec des inclusions de 0,5 à 2 mm, principalement composées de quartz et nombreuses paillettes de mica. La couleur externe varie du gris foncé au beige orangé voire rougeâtre, avec des traces plus noires par endroit (suie ?), cette face est lissée. La face

interne est gris foncé, et la tranche est brun rouge à noir. Ce fragment de poterie peut être rapproché des vases de l'âge du Bronze moyen-final du site de Leslouc'h en Plouedern (Blanchet S., 2013) (fig. 57).

Un dernier fragment (fig. 55 et 56, de grande taille a également été ramassé. Il mesure environ 15,2 x 14,5 cm, pour une épaisseur de la lèvre de 1,7 cm et de la panse de 1,2 cm. Le bord est déversé et se caractérise par une lèvre aplatie et épaissie. Le diamètre à l'ouverture est estimé à 32 cm. Son profil peut être rapproché des formes hautes à col concave du site de Plouedern Leslouc'h (fig. 57) (Blanchet S., 2013). En effet, le profil est sinueux mais semble peu marqué, avec un départ de panse indiquant un léger renflement de celle-ci. Ce fragment du sondage 1 se caractérise aussi par un col conique, une légère carène venant marquer la séparation de celui-ci avec la panse. Sur cette jonction, un bouton est également présent, réalisé par pincement de la pâte. Un lissage des parois externe et interne a été réalisé. La pâte est grossière avec des inclusions de 0,5 à 5 mm principalement composée de quartz et roches concacées, des paillettes de mica sont également visibles mais moyennement fréquentes.

Par comparaison avec le site de Plouedern Leslouc'h, on peut attribuer ce fragment à la période du Bronze moyen-final.



Fissure indiquant le positionnement sur la panse du bouton

Figure 54 : Clichés, après recollage, du fragment de panse avec bouton ajouté, fossé F 50.03 sondage 1 (A. Kergourlay)

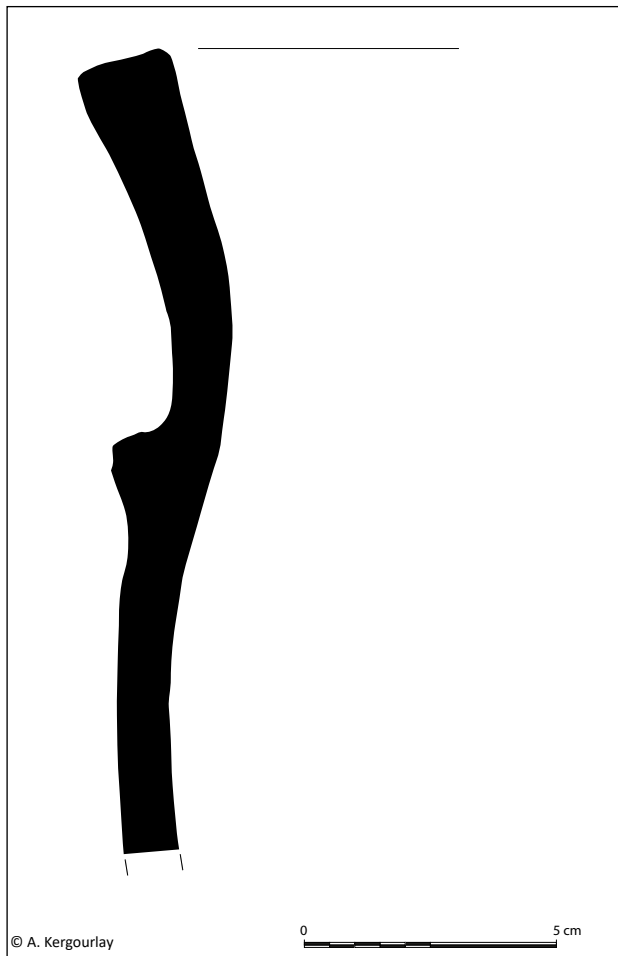
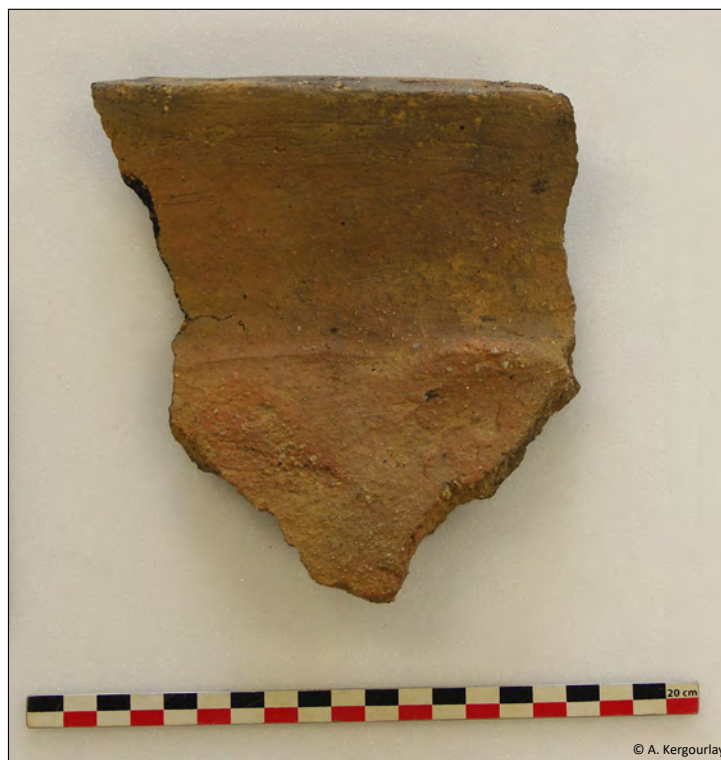
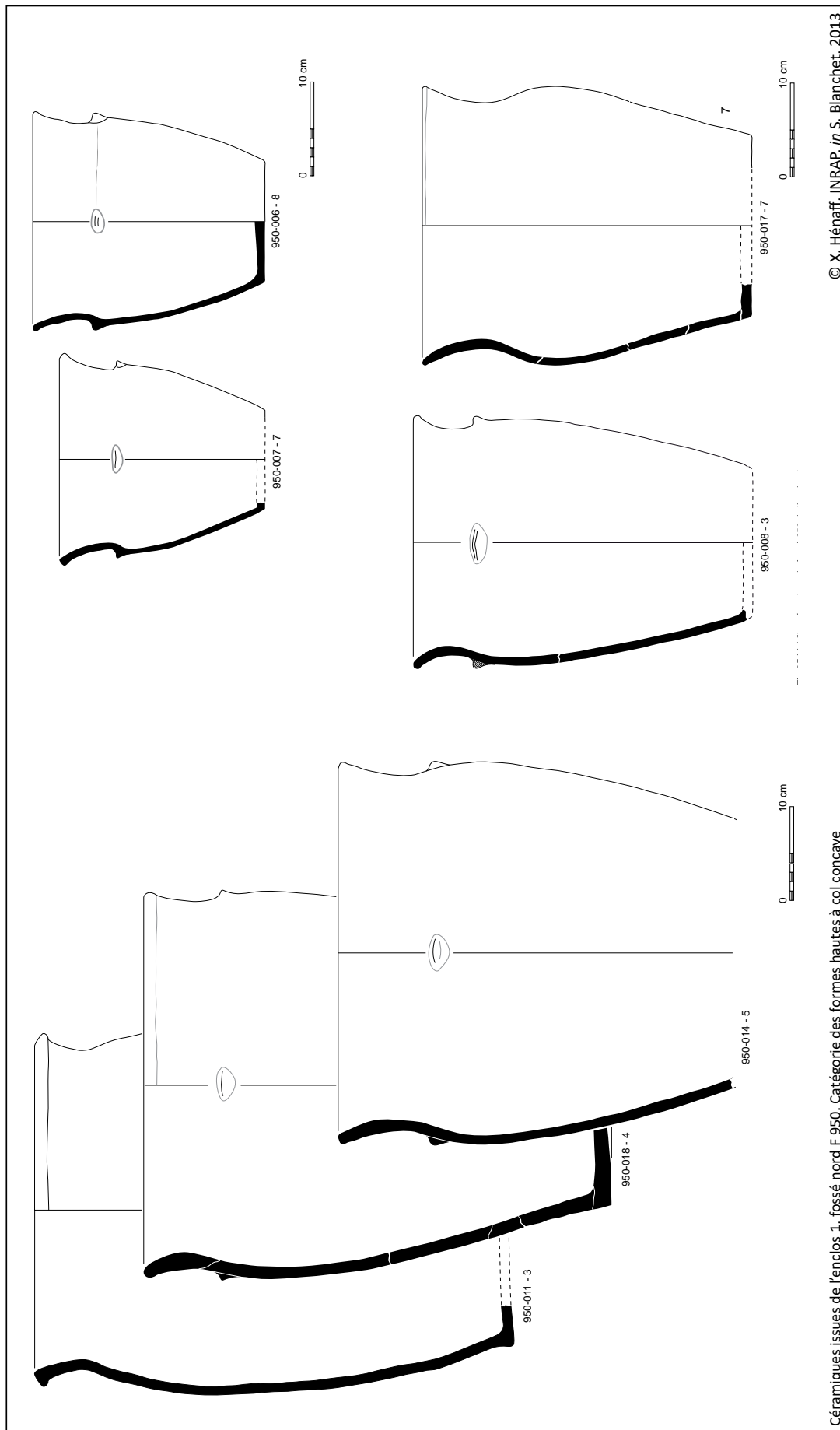


Figure 55 : Profil du bord avec départ de panse et carène légèrement marquée avec bouton plat, sondage 1 de F 50.08 (A. Kergourlay)

Figure 56 : Cliche du bord avec départ de panse et carène légèrement marquée avec bouton plat, sondage 1 de F 50.08 (A. Kergourlay)





Céramiques issues de l'enclos 1, fossé nord F.950. Catégorie des formes hautes à col concave

© X. Hénaff, INRAP, in S. Blanchet, 2013

Figure 57 Exemples de vases à forme haute et col concave du site de Plouedern Leslouc'h (Blanchet S., 2013)

Sondage 2

Un second sondage a été réalisé dans une portion plus à l'ouest de la première, peu avant la bifurcation du fossé vers le sud (fig. 39). Dans ce sondage, soixante dix sept fragments de céramique ont été prélevés. Certains recollent entre eux : un bord avec départ de panse et indice d'une anse (quatre fragments), permettent d'avoir un profil caractéristique (voir *infra*) et un fond (six fragments). Quatre bords font partie du lot également. Il faut ajouter à ceux-ci soixante cinq tessons.

Quatre grands fragments qui recollent ont une pâte assez grossière avec des inclusions de quartz de 0,5 à 4 mm et nombreuses paillettes de mica. La couleur des faces interne et externe est noir et gris foncé à coeur. Des dépôts de suie ont été constatés sur le pourtour externe. Le diamètre à l'ouverture est d'environ 22 cm. (fig. 58)

Le vase adopte une forme fermée relativement biconique à carène marquée, avec un départ de panse légèrement renflé. Le col est concave à bord éversé et se termine par une lèvre plate et ourlée de section quadrangulaire. La poterie possédait au moins une anse dont le départ se situe au milieu du col et vient se terminer au dessus de la jonction avec la panse.

Cette forme ne trouve pas d'éléments de comparaison sur les sites proches de Plouedern Leslouc'h et Rest-Kerolland ni sur le site de Ouessant Mez-Notariou. Il adopte une forme proche de certains exemplaires des sites de Bedée, ZAC du pont aux chèvre (fig. 59) (Leroux G., 2013), et de Lannion Bel Air (fig. 59) (Escat Y., 2013).

Les récipients de la ZAC du pont aux chèvre à Bedée ont été datés du Bronze moyen (Leroux G., 2013), alors que les récipients de Lannion Bel-Air sont attribués à une phase ancienne de l'âge du Bronze, soit du Bronze ancien I au début du Bronze ancien II (Escats Y., 2013). Cette dernière comparaison est issue à la fois d'une similitude avec du mobilier céramique issu de contextes funéraires de la civilisation des Tumulus et complétée par des datations radiocarbone sur des caramels de cuisson.

Au vu des autres éléments céramique du fossé F 50.03, ce fragment de poterie appartiendrait à une phase peut-être ancienne du Bronze moyen. En l'absence de comparaisons plus proches et plus solides, l'attribution peut être soumise à modification.

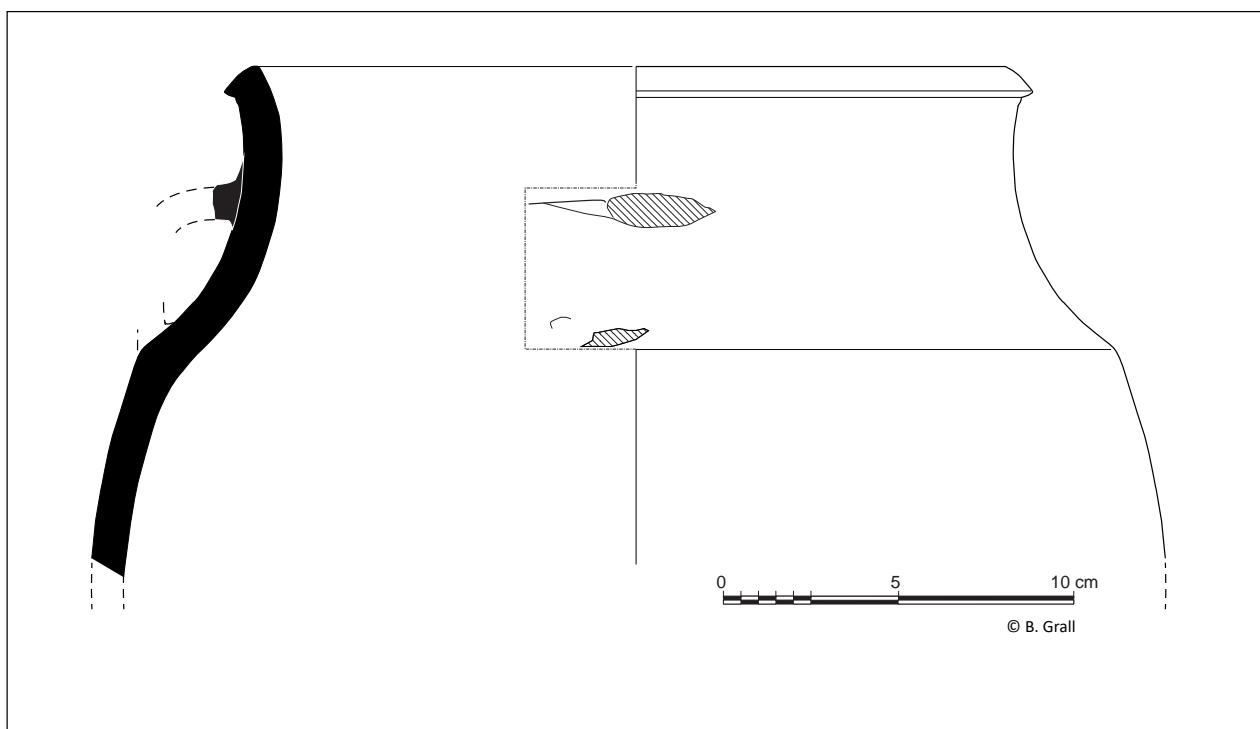


Figure 58 : Bord et départ de panse d'une céramique biconique à carène marquée du sondage 2 de F 50.08 (B. Grall,)

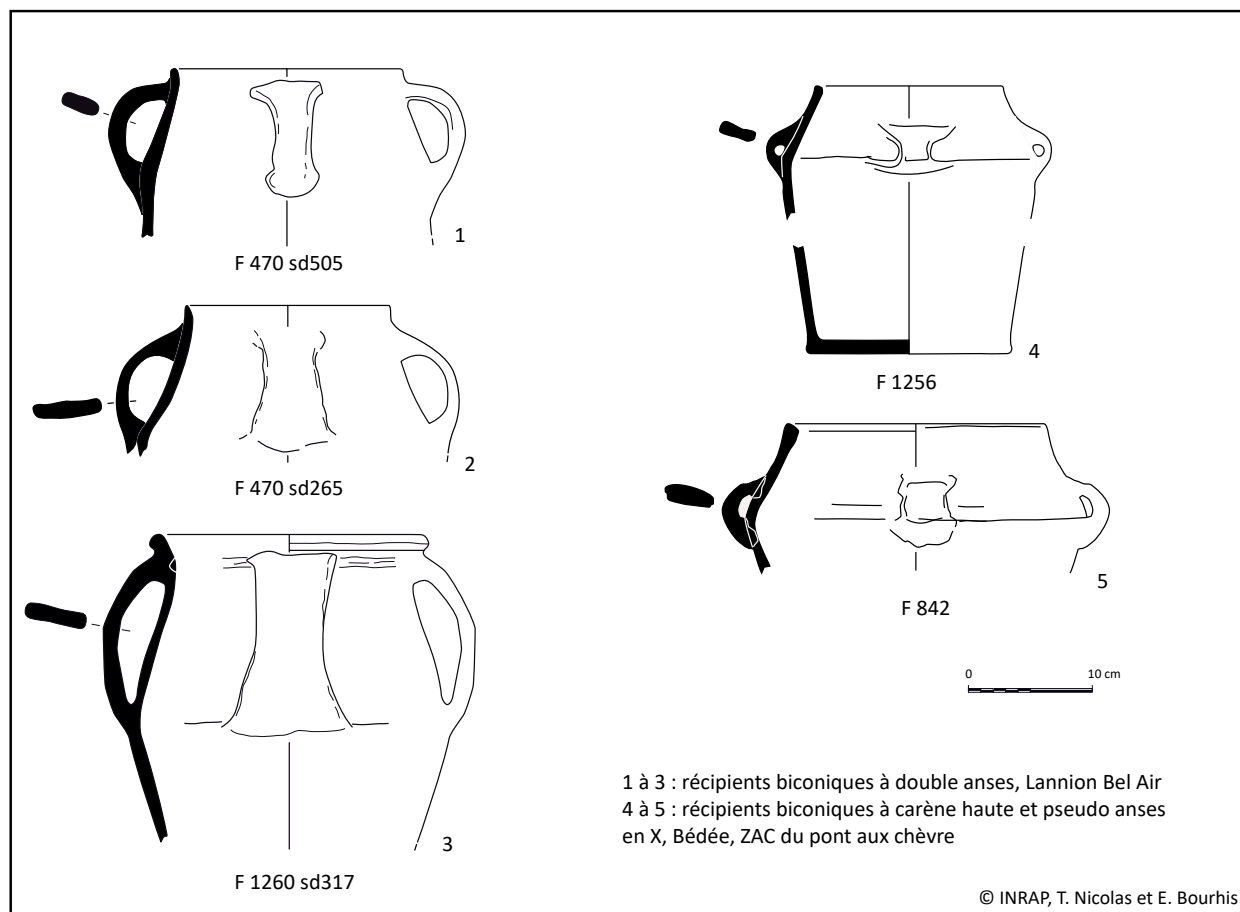


Figure 59 : Exemples de vases biconiques à carène plus ou moins marquées avec une ou deux anses (Escats Y., 2013 ; Leroux G., 2013)

Quatre bords isolés adoptent diverses formes. L'un est la partie supérieure d'un bord à lèvre aplatie et épaissie, à pâte grossière et comparable à celui du vase à col concave du sondage 1.

Le second bord (3,4 x 2,5 x 1,3/0,9 cm) se termine par une lèvre légèrement amincie et effilée. Sa pâte est moyennement grossière avec des inclusions de quartz visibles de 0,5 à 2 mm et paillettes de mica. Sa couleur est beige orangé sur l'extérieur, gris foncé à l'intérieur et noir à coeur.

Le troisième bord (5,5 x 4,7 x 1/0,6 cm) montre un profil relativement droit et terminé par une lèvre amincie et ourlée. Sa pâte est moyennement grossière avec des inclusions de quartz de 0,5 à 2 mm et paillettes de mica. La couleur externe est brun gris, gris foncé à l'intérieur et noir à coeur. Le diamètre estimé à l'ouverture est de 14 cm environ. Son profil et sa lèvre ourlée trouvent une comparaison avec un bol caréné de Mez-Notariou de diamètre équivalent (Le Bihan J.-P. et Villard J.-F., 2010). Bien que notre fragment ne présente pas de carène, nous pouvons supposer une forme proche. Sur le site de Plouedern

Leslouc'h, une comparaison avec les formes de type godet est possible également (Blanchet S., 2013).

Le dernier bord montre un profil assez plat et éversé, il se termine par une lèvre épaissie et plate de forme quadangulaire. Un départ d'anse est perceptible côté extérieur de la lèvre. Une légère courbe à la base du bord pourrait indiquer une jonction très marquée entre celui-ci et la panse. Ce tesson peut être comparé à certains vases biconiques trouvés à Plouedern Leslouc'h (Blanchet S., 2013).

La taille des fragments de bords étant réduites les propositions restent sujettes à modification.

Le fond est incomplet et mesure au total 18,8 x 18,5 cm, pour une épaisseur allant de 1,3 à 1,45 cm. Son diamètre peut être estimé à 26 cm, grâce à la conservation par endroit de la jonction entre le fond et la panse. Sa pâte est grossière à inclusions principales de quartz de 0,5 à 4 mm, de roches concassées de 2 à 6 mm avec de rares paillettes de mica.

Sa couleur est beige orangé à l'intérieur, brun rouge à gris à l'extérieur et gris à coeur. De part ses dimensions, il doit appartenir à un vase de dimensions importantes, probablement du même type que les vases de stockage découvert sur le site de Plouedern Leslouc'h. Sur le site de Kerfelgar, on peut envisager une comparaison avec le fragment de vase à col haut et forme concave du sondage 1 de F 50.03, ou encore, sur le secteur 4 du diagnostic, le vase de la fosse F 10.07. Son appartenance à l'âge du Bronze est envisageable.

Soixante et un tessons d'épaisseur variant de 0,7 à 1,1 cm ont été récoltés. Sans être en mesure de les attribuer à un même pot, ils présentent des caractéristiques proches. La pâte est moyennement grossière avec des inclusions visibles composées principalement de quartz de 0,5 à 2 mm et paillettes de mica inférieures à 1 mm et quelques-unes de plus de 1 mm. La pâte est de couleur brun orangé à beige orangé sur l'extérieur, gris beige à noir à l'intérieur avec des dépôts noirâtres sur la plupart des tessons, et gris à noir à coeur.

Quatre tessons montrent des caractéristiques de pâte proches du fragment recollé de forme biconique de ce sondage. La pâte est assez grossière avec des inclusions de quartz de 0,5 à 4 mm et nombreuses paillettes de mica. Les faces interne et externe sont de couleur noir, et gris foncé à coeur. L'épaisseur des tessons varie de 0,8 à 1,2 cm.

Deux tessons à pâte moyennement grossière sont également différents des autres ensembles. Leur épaisseur varie de 1,2 à 1,4 cm. La pâte est de couleur brun rougeâtre à l'extérieur, gris noir à l'intérieur et beige à gris à coeur. Des traces de lissage sont nettement visibles sur les deux faces. Les inclusions se composent principalement de quartz de 0,5 à 1 mm et rares paillettes de mica.

L'ensemble de ces fragments de formes indéterminés peut être attribué à la Protohistoire. Une datation au Bronze moyen est possible grâce aux éléments de formes issus de ce même sondage et du sondage 1.

- Le mobilier céramique protohistorique : conclusion

Les éléments céramiques découverts dans les structures F 50.03, F 50.29 et F 50.30 sont les témoins d'une occupation de l'âge du Bronze, l'hypothèse

étant celle d'une datation autour du Bronze moyen au vu des différents ensembles permettant une comparaison. Une activité de type domestique est également favorisée. En effet, un fragment épais, de profil identique aux vases de stockage de Plouedern Leslouc'h (Blanchet S., 2013) et Guidel Pen Mane (Le Gall V., 2015), nous oriente plutôt vers ce type d'occupation.

2.2.7. Secteur 2 : conclusion

Le diagnostic sur ce secteur a permis la découverte de plusieurs occupations s'étalant de l'âge du Bronze moyen au Haut Moyen Âge.

L'âge du Bronze est illustré par un système fossoyé correspondant sans doute à une portion d'enclos. La grande largeur du fossé F 50.03 nous oriente vers une structure relativement imposante. D'autres indices, comme la fosse F 50.29 (silo ?) et les petits fossés et trous de poteaux au sud de la tranchée (F 50.07, 50.09), nous permettent d'avancer l'hypothèse d'une occupation de même type que Ploudaniel Leslouc'h (Blanchet S., 2013) ou encore Guidel Pen Mane (Le Gall V., 2015).

Un fossé attribué à l'antiquité (I^{er}-III^{ème} siècles), associé à d'autres fossés parallèles et perpendiculaires, pourrait indiquer la présence d'un enclos quadrangulaire de même type que celui de l'habitat du Moustoir sur Quimper (Le Bihan J.-P. et Villard J.-F., 2005b), ou plus proche, celui de la ZAE de Kergonidec à Landerneau (Leroy B. et Le Faou N., 2013). Ces deux sites ont une période d'occupation comprise entre la Tène finale et le II^{ème} siècle.

Enfin, une occupation du Haut Moyen Âge est clairement perceptible sur la parcelle YA 33. Il n'a pas été possible de déterminer avec certitude l'origine d'une partie des vestiges. En effet, une accumulation importante dans le tranchée 52 nous oriente vers un rejet lors de la destruction d'un site à proximité (parcelles YA 63, 65, 90 ?) ou sur place. Des indices d'occupations de type habitat et artisanal (artisanat domestique ?) ont été trouvés. L'activité domestique est principalement illustrée par la céramique alors que l'activité artisanale est caractérisée par une structure de chauffe (associée à une scorie) qui semble en partie en place dans la tranchée 52, sous l'accumulation.

2.3. Secteur 3 : Pont-Neuf

cadastre ancien (fig. 62).

2.3.1. Présentation générale

Ce secteur se situe dans une zone avec plusieurs cours d'eau et la présence d'un étang à l'est de la RD 770, aujourd'hui disparu. Ceux-ci sont particulièrement bien visibles sur le cadastre napoléonien (fig. 61) et sur la carte de Cassini (fig. 60) sur laquelle est également signalée la présence d'un moulin à eau.

Sur le cadastre et la photographie aérienne du milieu du XX^{ème} siècle, on note une différence dans le tracé actuel de la RD 770, qui passait un peu plus à l'est, longeant alors l'étang représenté sur le

Au vu du contexte particulier, il a été décidé de tester la parcelle la plus au nord, afin d'éviter celle se trouvant entre les deux ruisseaux. Une tranchée de 10 mètres de longueur environ a été réalisée jusqu'à atteindre une profondeur maximale de 1,23 m. Aucune structure n'est apparue. De plus, le sondage a été rapidement infiltré par les eaux environnantes, par capillarité et par les eaux de pluie (fig. 63). La hauteur d'eau maximale constatée au sud de la tranchée était de 40 cm. Au vu de ces éléments, des sondages complémentaires n'ont pas été effectués sur la parcelle voisine.



Figure 60 : Carte de Cassini de 1783

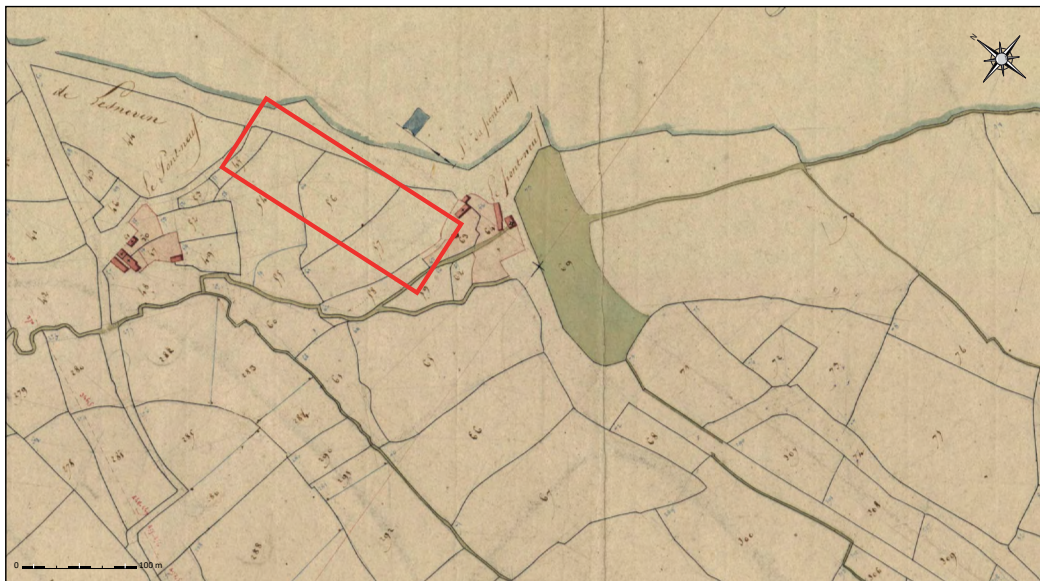


Figure 61 : Extrait du cadastre napoléonien de 1819

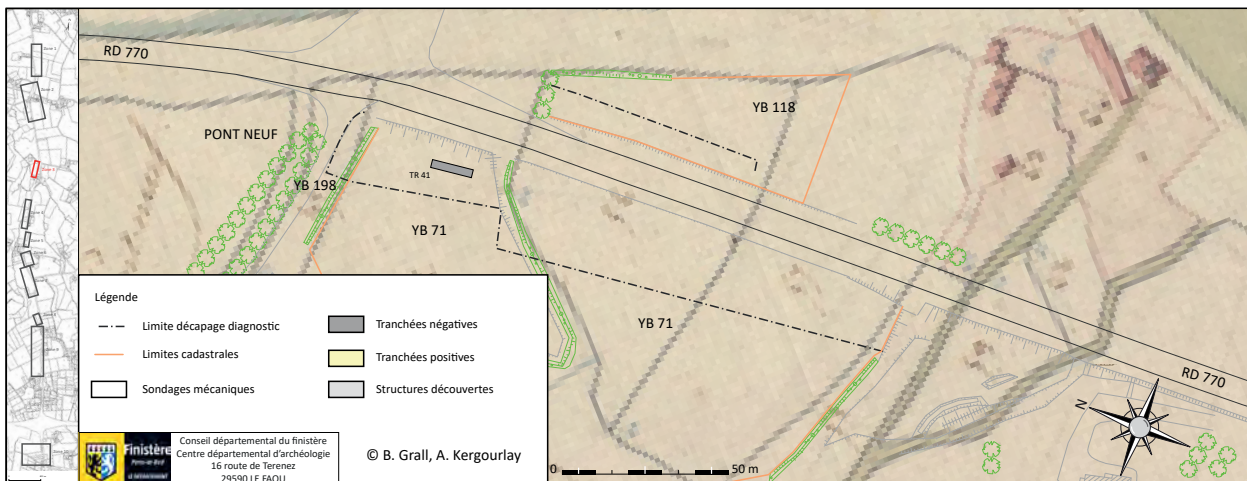


Figure 62 : Localisation du secteur 3 sur le cadastre napoléonien (B. Grall, DAO A. Kergourlay)



Figure 63 : Photographie de la tranchée réalisée dans le secteur 3 juste après son ouverture (A. Kergourlay)

Un log a été réalisé afin d’enregistrer la puissance stratigraphique à proximité du cours d’eau et de pouvoir comparer celui-ci à ceux réalisés dans le secteur 4, plus au sud, où un ruisseau était également présent (fig. 64). L’épaisseur de la terre végétale est d’environ 0,25 m. Sous celle-ci, on retrouve un niveau limoneux épais de 0,35 m. Niveau hétérogène avec des poches plus argileuses grises et blanches, ainsi que des traces d’oxydation. Ce niveau meuble semble être un import sédimentaire volontaire pour l’exploitation des prairies environnantes. Sous celui-ci, à environ 0,70 m de profondeur, on retrouve plusieurs niveaux distincts de limons parfois mélangés à des argiles. Ils correspondent à l’ancien niveau de sol avant l’apport sédimentaire. Entre 0,70 et 0,80 m, un premier niveau de limon gris homogène a été constaté. En dessous, la couche limoneuse principalement grise au départ est devenue plus orangée, résultat de l’oxydation de celle-ci. Elle était épaisse d’environ 0,10 m. Apparaît ensuite, à 0,90 m de profondeur, un niveau de limon un peu argileux brun jaune. Une forte oxydation à l’interface avec la couche inférieure a été notée. Le niveau compris

entre 1 m et 1,05 m était un niveau fin de limon argileux gris dans lequel de petites couches fines de limon très noir zébraient la couche. Ces éléments caractérisant la présence d’eaux stagnantes. Enfin, le dernier niveau se compose de limon et d’argile blanche un peu jaunâtre et très homogène. Pour des raisons de sécurité nous ne sommes pas allés plus en profondeur.

2.3.1. Bilan

La situation de Pont-Neuf en zone humide permettrait sans doute d’apporter, par une étude géomorphologique, des informations complémentaires sur les variations climatiques locales et les perturbations liées aux activités humaines, en particulier à proximité d’un cours d’eau sur lequel un moulin est attesté en amont.

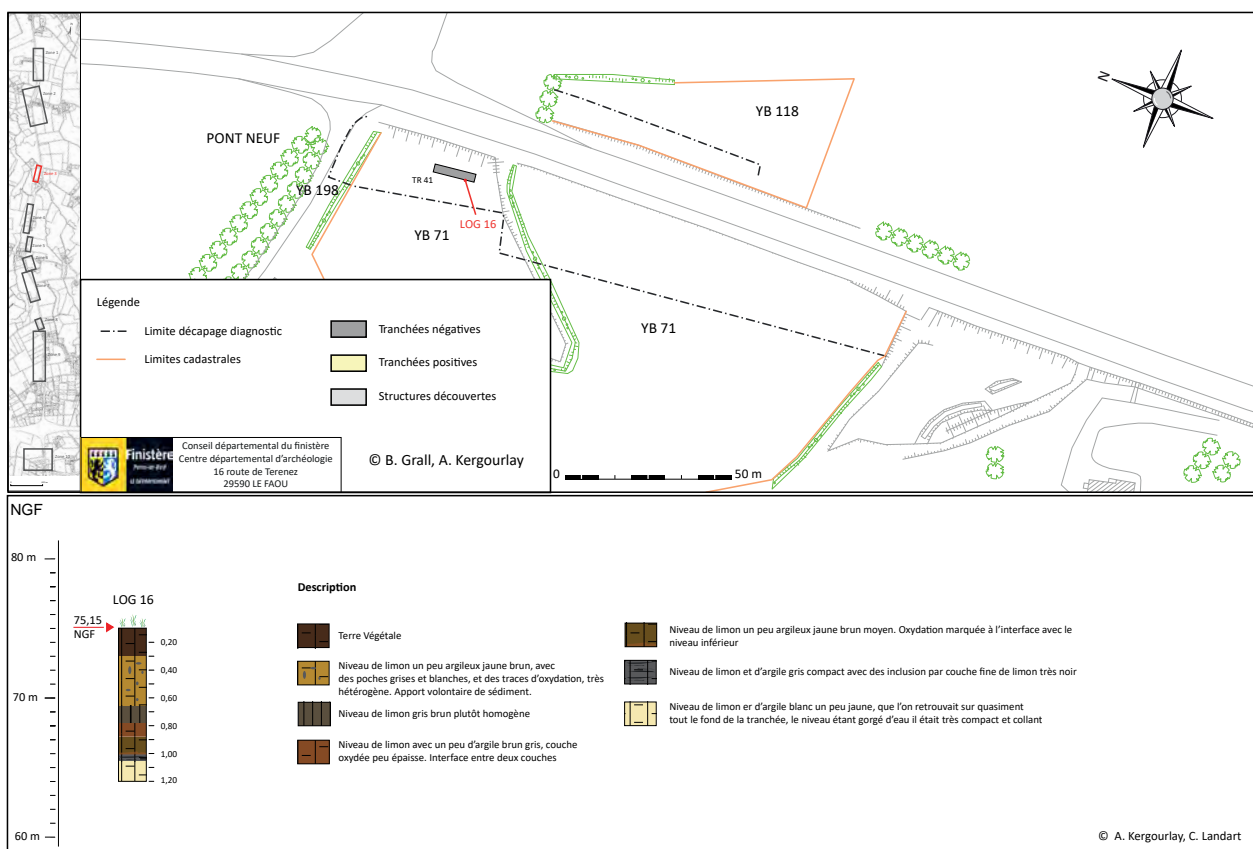


Figure 64 : Implantation et description du log du secteur 3 (B. Grall, DAO A. Kergourlay et C. Landart)

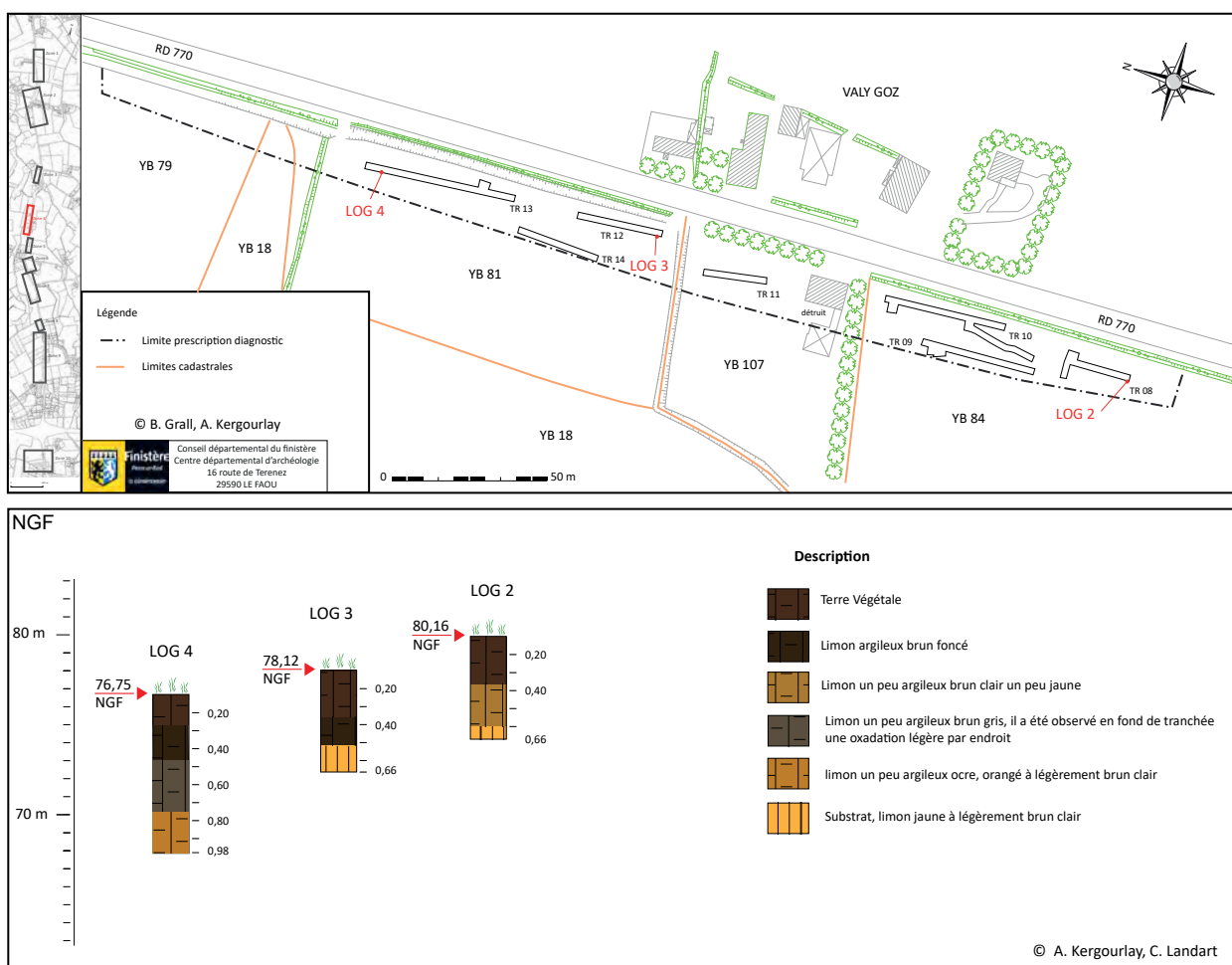
2.4. Secteur 4 : Valy Goz

2.4.1. Présentation générale

Sur ce secteur, sept tranchées ont été creusées, dans trois parcelles différentes. (fig. 65) La parcelle la plus au nord (YB 81) était une prairie, la parcelle centrale (YB 107) présentait des aménagements du 20^{ème} siècle (mur de séparation, zone goudronnée, pavage et bâtiment détruit). La dernière parcelle (YB 84), venait d'être travaillée et semée. Sur les sept tranchées, une seule a été réalisée dans la parcelle centrale. (TR 11) De même, une seule tranchée s'est révélée négative (TR 12).

Trois logs ont été enregistrés, l'un dans la parcelle en culture (TR 08), et deux dans la prairie (TR 12 et 13). L'épaisseur de la terre végétale

est comprise entre 0,35 m (logs 2 et 3) et 0,25 m (log 3). Sous ce niveau végétal, on retrouve sur une épaisseur de 0,10 à 0,20 un limon un peu argileux, il est brun clair un peu jaune dans les champs en culture et brun foncé dans la prairie. La différence d'exploitation des parcelles peut expliquer des niveaux plus organiques dans la prairie. Le log 4, proche d'un petit ruisseau, comporte une couche limoneuse grisâtre à brun (proche des limons gris du secteur 3), dans lequel quelques structures sont apparues. Une oxydation a été constatée dans le fond de la tranchée où ce niveau était à l'air libre. Enfin le substrat limoneux jaune à brun clair apparaît autour de 0,50 et 0,60 m de profondeur.



2.4.2. Structures apparaissant sur le cadastre napoléonien (fig. 66)

En superposant le plan topographique du diagnostic avec le cadastre napoléonien de 1819, seuls les fossés présents dans les tranchées 13 et 14 correspondent à des limites indiquées sur le document. Dans la tranchée 13, il s'agit des fossés parallèles F 13.01 et F 13.02 d'orientation globale est-ouest. Dans la tranchée 14, les fossés F 14.01 et F 14.02 correspondent à l'intersection de plusieurs limites, et le fossé F 14.05 d'orientation nord-sud devait fonctionner avec le fossé F 14.02 de manière plus ou moins parallèle.

2.4.3. Structures apparaissant sur la photographie aérienne du milieu du XX^{ème} siècle (fig. 66)

En superposant le cadastre napoléonien et la photographie aérienne, les talus présents sur cette dernière se superposent parfaitement avec les limites visibles sur l'ancien cadastre. Cela indique une fossilisation du parcellaire sur plus d'un siècle. Ainsi les fossés F 13.01, F 13.02, F 14.01, F 14.02 et F 14.05 ont été vraisemblablement entretenus jusqu'à leur disparition dans la seconde moitié du XX^{ème} siècle.

2.4.4. Structures d'époques Protohistoriques (fig.)

Plusieurs structures (fosse et fossé) peuvent être attribuées à la Protohistoire par le mobilier découvert lors du nettoyage et de la fouille de celles-ci. Tout d'abord, une fosse attribuable de manière certaine à l'âge du Bronze (F 10.07). Ensuite, un fossé d'orientation globale nord-sud passant à proximité de la fosse F 10.07, et dont plusieurs éléments céramiques pourraient être attribués à l'âge du Bronze.

2.4.4.1. Fosse F 10.07 de l'âge du Bronze (fig. 67)

- Fouille de la fosse et prélèvement de la céramique

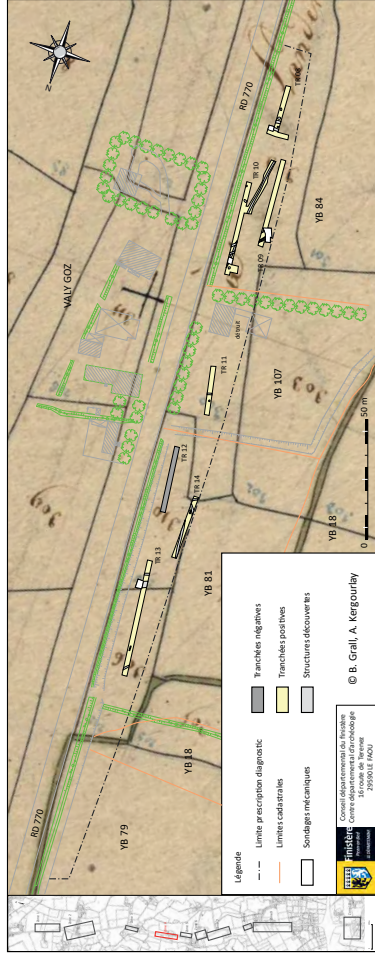
Afin de connaître la direction exacte du grand fossé F 10.05/F 10.06, un agrandissement vers le nord dans la continuité de la tranchée 10 a été réalisé. Lors du décapage, à la limite inférieure de la terre végétale, des fragments de céramiques de

tailles importantes sont apparus. Le choix a été fait de finir le nettoyage de cette zone manuellement afin de laisser les objets en place. Une fenêtre complémentaire à l'est de la céramique en place a été ouverte, mais aucune autre céramique ou structure n'est apparue.

Un nettoyage manuel important a été nécessaire sur environ 10 cm d'épaisseur dans la zone dégagée entre le fossé F 10.05 et la céramique F 10.07. Après ce travail minutieux, une fosse ovale est apparue. Son comblement était proche du substrat environnant (limon argileux brun-jaune clair).

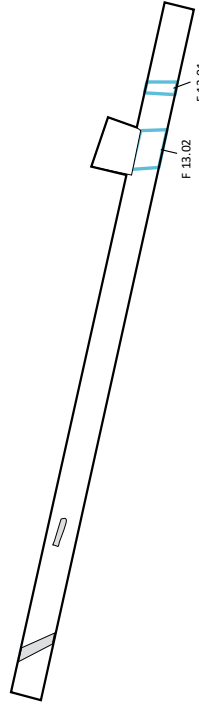
En surface, la céramique était entourée de blocs de pierre. Hormis un quartzite blanc, l'ensemble des blocs sont en granite local (fig. 68, n°2). Ces blocs se trouvaient en surface du comblement, pris parmi les différents tessons. Il est donc difficile d'y voir des blocs de calage. Ils pourraient avoir servi à empêcher le soulèvement d'un plateau ou couvercle au dessus de la fosse et/ou de la céramique, interprétée comme vase silo (voir *infra*).

La position de la céramique dans la fosse était particulière. En effet, elle reposait sur sa panse, les fragments de fond retrouvés majoritairement dans le surcreusement sud (fig. 68), laissent supposer un basculement de la poterie dans un espace vide au niveau du surcreusement nord de la fosse. Cette position de la céramique à l'intérieur de la fosse interroge : au moment de l'abandon de la fosse et du mobilier interne à celle-ci, un des emplacement était-il vide ou bien un objet en matière organique (panier, sac ?) était-il présent? Sa disparition laissant un espace vide. Rien dans le comblement ne permet de trancher clairement sur la présence ou non d'un autre objet, aucune différence dans le comblement (zone plus organique) n'a pu être identifiée.

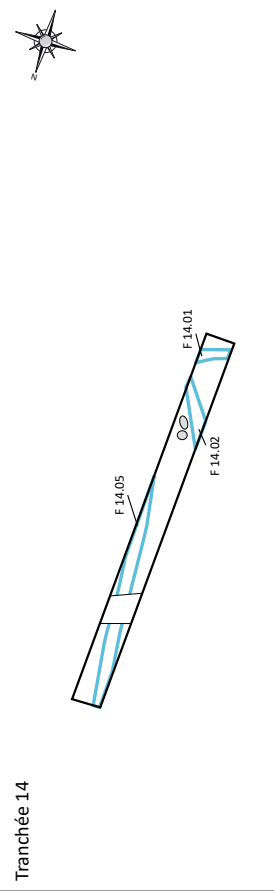


SECTEUR 4 : Structures apparaissant sur le cadastre napoléonien et la photographie aérienne de 1950

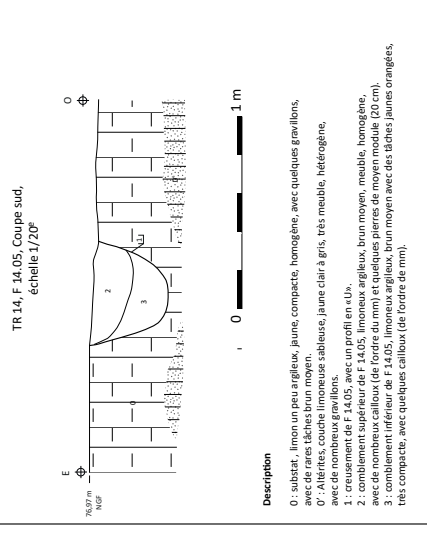
Tranchée 13



Tranchée 14



Limites apparaissant sur le cadastre napoléonien et sur la photographie aérienne de 1950

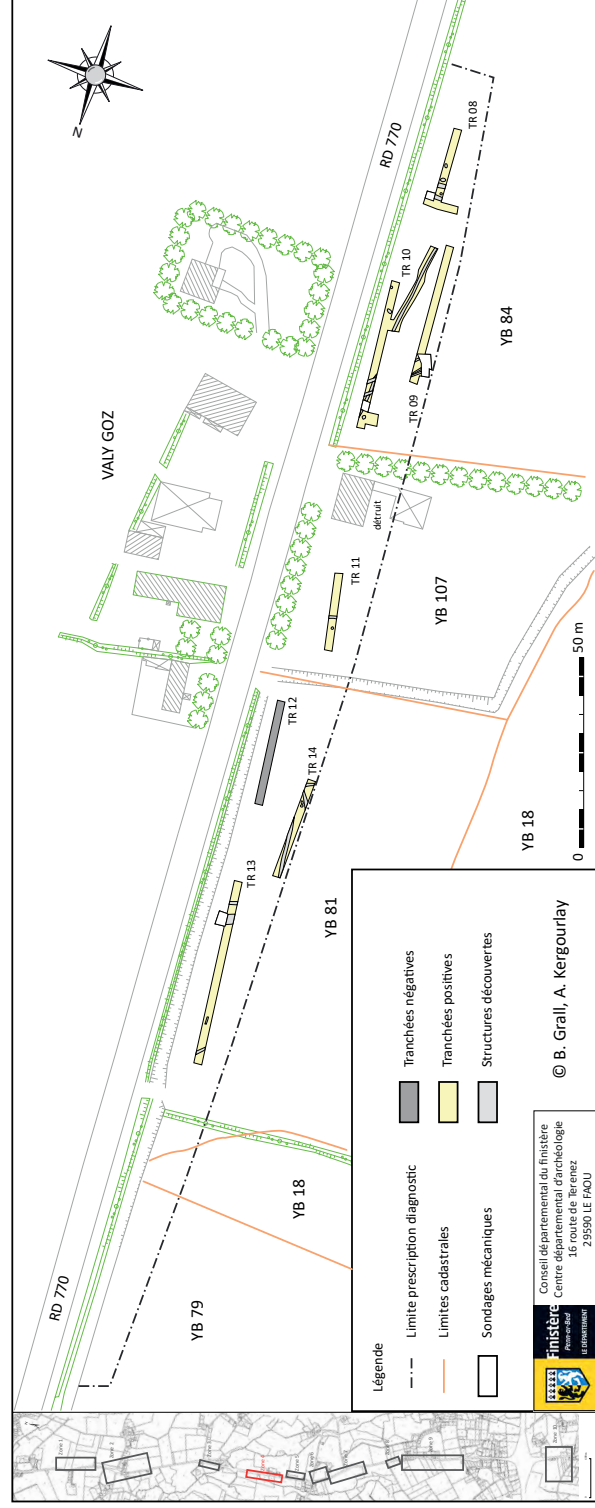


Description

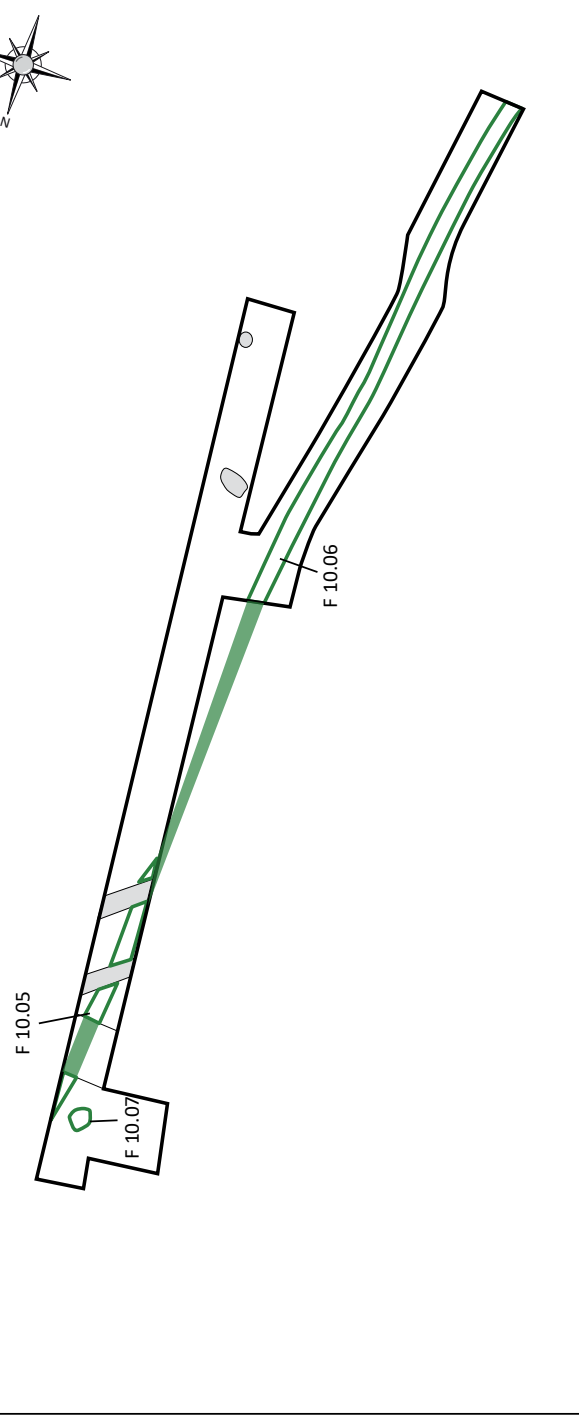
0: substrat, limon un peu argileux, jaune, compacte, homogène, avec quelques gravillons, avec de rares tâches brun moyen.
 1: remblai de sable fin, très meuble, hétérogène, avec de nombreux gravillons.
 2: revêtement de F 14.05, avec un profil en «U».
 3: comblement supérieur de F 14.05, limon argileux, brun moyen, meuble, homogène, avec de nombreux cailloux (de forme du mm) et quelques pierres de moyen module (20 cm).
 Les sondages mécaniques ont été effectués sur un moyen avec des sabres jaunes orangés, très compacts, avec quelques cailloux (de forme de mm).

Figure 66 : Cadastre napoléonien et structures des XIX^{ème} et XX^{ème} siècles (B. Grall, DAO A. Kergourlay), coupe du fossé F 14.05 (DAO C. Landart)

SECTEUR 4 : Structures attribuables à l'âge du Bronze



Tranchée 10



Structures de l'âge du Bronze
 Projection des structures de l'âge du Bronze



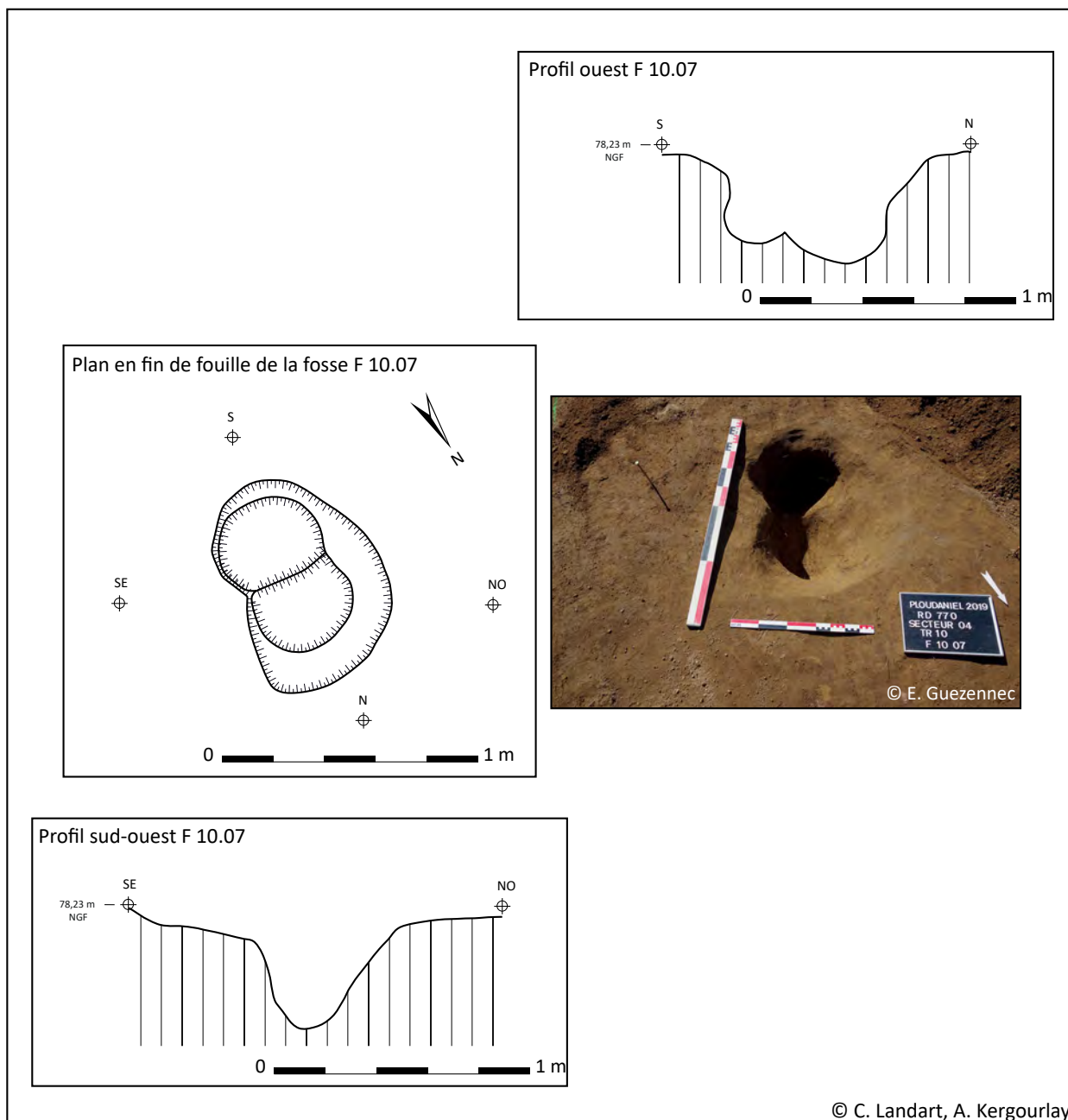
Figure 67 : Structures attribuées à l'âge du Bronze (B. Grall, DAO A. Kergourlay)



Légende :

- 1 : Photographie après un premier nettoyage (E. Guezennec)
- 2 : Photographie après nettoyage large et profond (E. Guezennec)
- 3 : Photographie de détail des tessons en place (A. Kergourlay)
- 4 : Photographie de détail des tessons en place (A. Kergourlay)
- 5 : Photographie après nettoyage et démontage au laboratoire (A. Kergourlay)
- 6 : Photographie de la céramique en cour de recollage (A. Kergourlay)

Figure 68 : Photographies de la fouille au recollage du vase de stockage de la fosse F 10.07 (E. Guezennec et A. Kergourlay)



© C. Landart, A. Kergourlay

Figure 69 : Coupes et plan de la fosse F 10.07 (C. Landart) et cliché après fouille (E. Guezennec)

- Nettoyage du mobilier céramique et recollage

Une fois en laboratoire, l'ensemble du mobilier a été séparé et nettoyé à sec, au vu de la fragilité de certains fragments. Ils ont été regroupés par couches, afin de faciliter le recollage de l'ensemble. En tout, 499 fragments ont été ramassés pour un poids total d'environ 9,55 kg. Le recollage d'une partie de ceux-ci permet d'obtenir un profil relativement complet (fig. 68, 5 et 6). Ce travail a également aidé à la compréhension du fonctionnement de l'ensemble.

En effet, à la fouille, la superposition de fragments laissait supposer la présence de deux vases l'un dans l'autre. Le nettoyage et le recollage ont permis d'écarter cette hypothèse : les fragments de panse qui étaient empilés recollent entre eux. Toutefois, le recollage n'a été possible que pour une partie des tessons, la présence d'un second vase n'est pas totalement écartée.

- Description du mobilier céramique (fig. 70)

Parmi les 499 fragments, plusieurs recollaient entre eux, ce qui nous a permis de reconstituer un profil quasi complet. Le diamètre à l'ouverture est estimé à 32 cm et la hauteur varie entre 46 et 50 cm. Un recollage entre la partie basse et haute n'a pas été possible. La pâte est relativement grossière avec des inclusions principalement composées de quartz de l'ordre de 0,5 à 3 mm. La couleur externe et interne varie du beige orangé au brun foncé, la pâte est beige à brun gris à coeur. La paroi est épaisse, variant de 1,5 à 1,8 cm. Le profil est sinueux avec un bord éversé, et une lèvre aplatie et quadrangulaire. A la jonction entre le col et la panse, un cordon large et lisse marque l'épaule. Celui-ci porte des boutons pincés (3 ont été identifiés), leur donnant une forme proche d'une anse simulée, que l'on retrouve sur certains vases de Mez-Notariou (voir *infra*).

- Comparaison et datation du mobilier céramique

Ce vase peut être comparé aux ensembles céramiques de Plouedern Leslouc'h (fig. 57), en particulier à la catégorie des formes hautes à col concave issues pour beaucoup du fossé F 950 de l'enclos 1. Cette catégorie regroupe des vases de « *morphologie sensiblement identique sous forme de modules de différentes tailles affichant des diamètres à l'ouverture compris entre 14 et 40 cm pour des hauteurs comprises entre 18 et 50 cm.* » (X., Hénaff p. 140, in Blanchet S., 2013). Ces vases pouvaient avoir des contenances comprises entre 2,5 et plus de 40 litres. Les formes sont hautes et fermées avec un profil sinueux peu marqué. Le col est principalement conique avec une lèvre aplatie dans la plupart des cas. Une légère carène marque de temps en temps la séparation entre le col et la panse. Certains possèdent des boutons de type allongé à cet emplacement, dont le nombre varie de deux à six selon la taille de la poterie. Ces vases et le fossé sont datés du Bronze moyen au début du Bronze final.

La fouille du Parcou, route de Kerno, à Ploudaniel, a également permis la découverte d'un fragment incomplet de vase comparable (Sévin-Allouet C., 2016) (fig. 71). Il s'agit d'un morceau de la partie supérieure d'un vase de forme haute et paroi épaisse. La jonction entre le col et la panse est marquée par un large cordon lisse avec un bouton de forme allongé. Une attribution au Bronze moyen-

final a été proposée.

Enfin, le site de Mez-Notariou, à Ouessant, présente un ensemble céramique se rapprochant des caractères évoqués. La céramique de F 10.07 peut être rapprochée des jarres segmentées à forme haute avec corps supérieur concave. Un exemplaire (59-2551-103) présente un large cordon au niveau de la jonction col/panse, qui se réduit au niveau d'une anse en X simulée. Cet exemplaire provient de l'Horizon B du site. Deux autres exemplaires incomplets (59-09 et 71-2637-112), illustrent ce même type céramique à cordon et anse en X simulée. Les dimensions de celles-ci sont légèrement inférieures au premier vase. Ces fragments proviennent des Horizons B et D du site (fig. 71). Ces derniers sont attribuables à une période allant du Bronze moyen au Bronze final 1 (Le Bihan J.-P. et Villard J.-F., 2010).

- Fosse F 10.07 : conclusion

La céramique de la fosse F 10.07 est vraisemblablement un vase de stockage, lié à une activité domestique, par comparaison avec les sites de Plouedern Leslouc'h, Ouessant Mez-Notariou, ou encore le site de Ploudaniel le Parcou route du Kerno.

Au vu de ces différents éléments, il est fort probable que la fosse F 10.07 et son mobilier soient liés à une occupation de type habitat de l'âge du Bronze moyen-final.

2.4.4.2. Un fossé (d'enclos ?) protohistorique

- Description du fossé (fig.67)

Le fossé est apparu à l'extrémité nord de la tranchée 10 (F 10.05). Afin de suivre son orientation, une première fenêtre a été ouverte à l'ouest (F 10.06). Ensuite, le choix a été fait de le suivre en direction du sud-ouest, pour connaître son étendue et de savoir si un changement de direction pouvait être visualisé. Reconnu sur une longueur d'environ 50 m, il avait une largeur comprise entre 70 et 80 cm au niveau des sondages réalisés. Son comblement était homogène et composé de limon un peu argileux brun moyen en surface et plus clair au fond du fossé, à l'interface avec le substrat. Quelques inclusions de charbons de tailles millimétriques ont été vus. De rares blocs (10 à 15 cm), en granite local et quartzite, ont été notés en surface du comblement.



Figure 70: Profil et cliché de la partie haute du vase de stockage de la fosse F 10.07 (B. Grall)

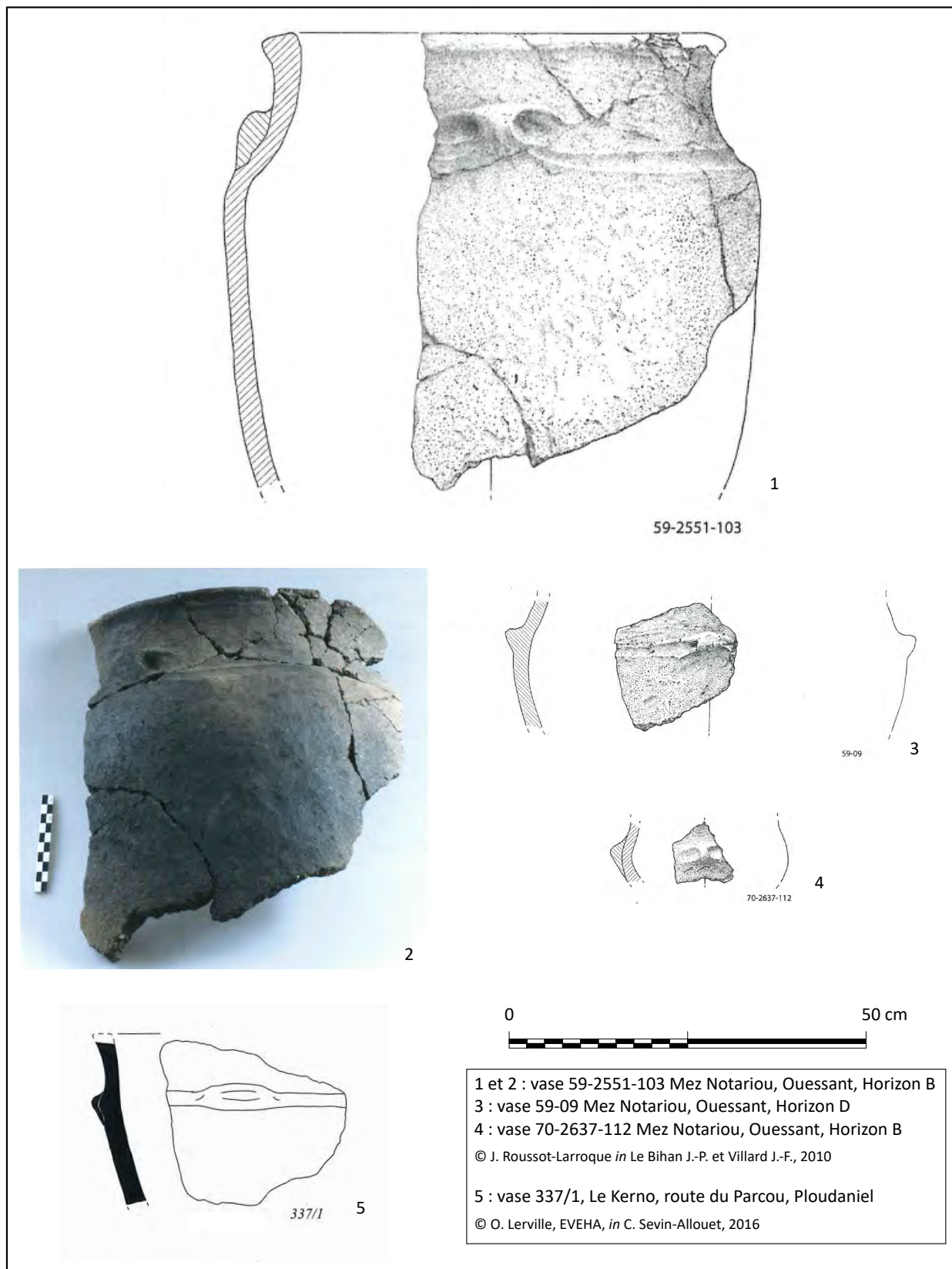


Figure 71: Exemple de céramiques de l'âge du Bronze comparables à l'exemplaire de F 10.07

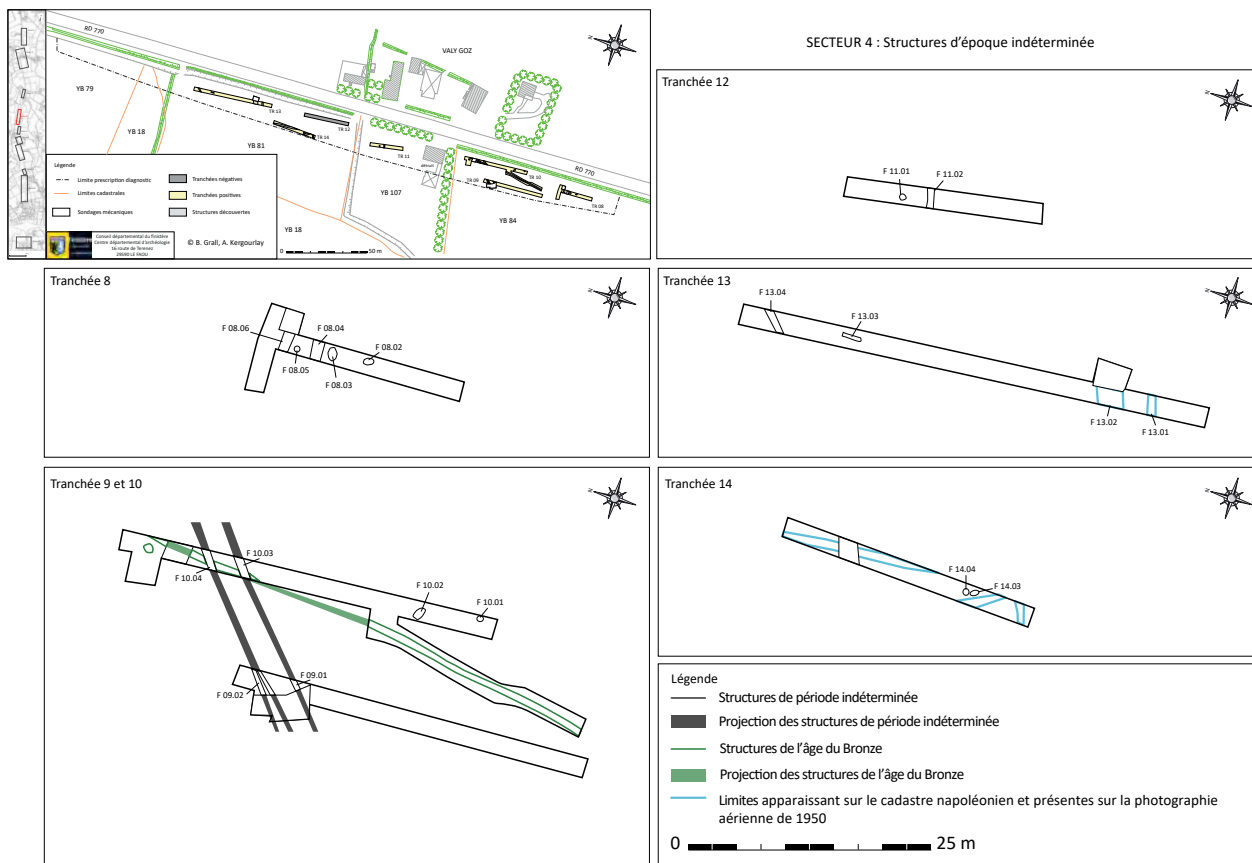


Figure 72 : Structures d’époques indéterminées du secteur 4 (B. Grall, A. Kergourlay)

Quelques tessons ont également été prélevés en surface du fossé et lors des sondages.

- Mobilier céramique (fig.)

Lors de la réalisation du sondage mécanique du fossé F 10.05, un fragment de fond a été trouvé. Sa pâte est comparable à celle du mobilier céramique de la fosse F 10.07, la seule différence étant l’épaisseur moindre du départ de panse conservé, épais de 1,1 mm, laissant supposer un vase de taille plus réduite. Son attribution au Bronze moyen est donc probable.

La céramique issue de l’extension sud-ouest de la tranchée 10, trouvée en surface du fossé F 10.06, se compose de huit tessons de 1 à 4,5 cm pour des épaisseurs comprise entre 0,66 et 0,95 cm. L’ensemble des tessons présente une pâte grise à noire au cœur avec des inclusions de 1 à 3 mm de quartz et une pâte fortement micacée. La face interne est de couleur gris clair à gris foncé. La face externe de couleur gris beige à orangé. Sur le plus grand des tessons, un lissage des faces est nettement visible. La pâte se rapproche de productions protohistoriques, et une attribution à

l’âge du Bronze est proposée.

Un fragment de bord (fig. 73) a été découvert, lors du décapage nord de la tranchée 10. Il s’agit d’un tesson de 3,4 x 3,1 x 1,2 cm, à bord éversé et lèvres effilées. La pâte est de couleur gris sur l’extérieur, gris-noir au cœur et gris-beige avec dépôt noir à l’intérieur. La pâte contient des inclusions de 0,5 à 2 mm de quartz et mica. Ce fragment se rapproche de productions protohistoriques, et il peut être comparé aux productions de l’âge du Bronze du site de Plouedern (Blanchet S., 2013)



Figure 73 : fragment de bord de la tranchée 10 (Cliché A. Kergourlay)

- Le fossé F 10.05 : conclusion

L'attribution de ce fossé à l'âge du bronze est probable. Son fonctionnement avec la fosse F 10.07 reste hypothétique, aucun lien direct n'a été constaté.

Il n'a pas été possible de connaître l'étendue du fossé. Il est difficile, au vu de la surface ouverte, de connaître sa direction et plus spécifiquement de savoir si nous sommes face à un simple fossé plus ou moins rectiligne ou à une portion d'enclos. Seule une investigation sur une surface plus large pourrait permettre de répondre à cette question.

2.2.4.3. Fosse F 08.03

Lors du nettoyage de surface de cette fosse afin d'en délimiter les contours, deux tessons de céramique d'environ un centimètre ont été découverts. La pâte est de couleur gris noir sur l'extérieur, noir au coeur et gris beige foncé à l'intérieur. Les inclusions qu'elle contient mesurent de 0,5 à 1 mm, et se composent de quartz et paillettes de micas. Son rapprochement avec les céramiques de la tranchée 10 permet de supposer une datation protohistorique de cette fosse.

2.4.5. Structures d'époque indéterminée

- Fossés parallèles F 10.03, F 10.04 et F 09.01, F 09.02

Deux fossés parallèles (F 09.01 et F 09.02) ont été enregistrés dans la tranchée 9. L'ouverture de la tranchée 10 permet de les mettre en relation avec les fossés F 10.03 et F 10.04. L'orientation de ces fossés est nord-est/sud-ouest. Un sondage mécanique a été réalisé dans la tranchée 9. Celui-ci révèle une division du fossé F 09.02/F 10.04 (fig. 72 et 74). Alors que l'embranchement sud reste parallèle au fossé F 09.01/F 10.03, l'embranchement nord, moins large et profond, adopte une orientation ouest sud-ouest.

Ces fossés ne figurent ni sur le cadastre napoléonien de 1819, ni sur la photographie aérienne du milieu du XX^{ème} siècle. Le plan cadastral actuel et les photographies aériennes, plus récentes, ne témoignent pas non plus de la présence d'un talus, chemin ou haie à cette emplacement. Son orientation diffère également des limites cadastrales et de parcelles connues pour la période allant du début du XIX^{ème} à nos jours. Il est donc raisonnable de supposer que ces structures fossoyées sont plus anciennes, probablement antérieure au XIX^{ème} siècle (Epoque moderne ? médiévale ?).

- Fossés parallèles F08.04 et F 08.06

Tout comme pour les fossés des tranchées 9 et 10, ceux de la tranchée 8 ne correspondent à aucune limite connue sur le cadastre napoléonien de 1819 ou sur les photographies aériennes du XX^{ème} siècle. Ils pourraient donc être antérieurs au XIX^{ème} siècle. Aucun élément de datation n'a été mis en évidence lors de la fouille.

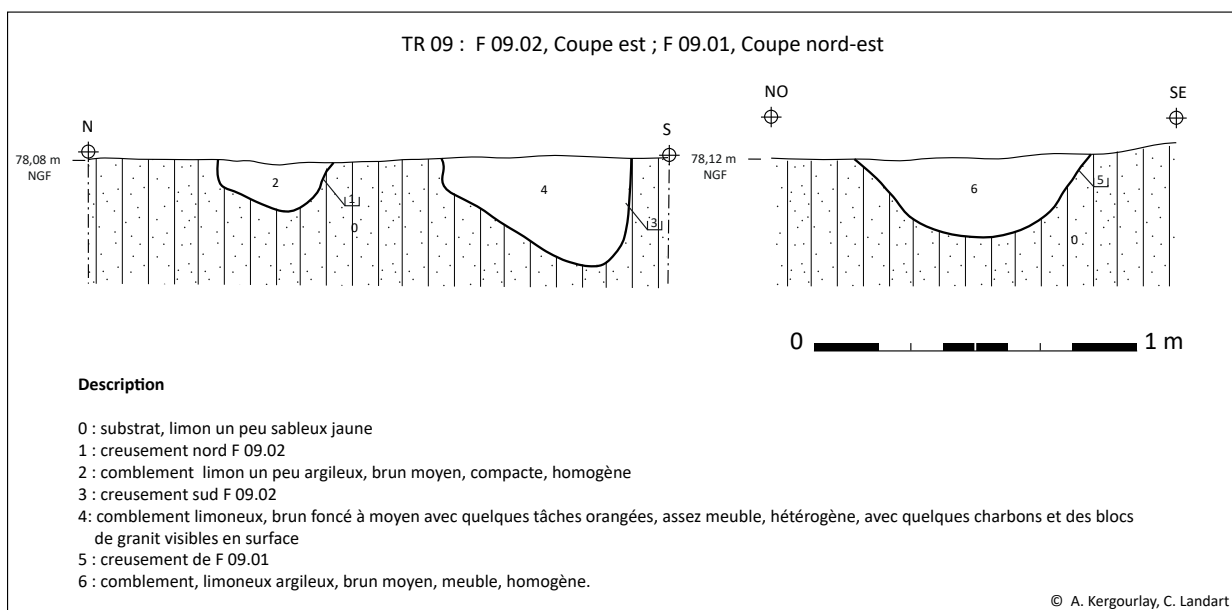


Figure 74 : coupes des fossés F 09.01 et F 09.02 (C. Landart)

- Fosse F 08.02

Les limites de cette structure étaient diffuses car le comblement était proche du substrat environnant. Elle présente des dimensions équivalentes et un comblement proches à ceux de la fosse F 08.03. Cependant, ces éléments ne permettent pas de la rapprocher chronologiquement de cette dernière, en l'absence de mobilier.

- TP F 08.05 (fig. 75)

Un trou de poteau, entre les deux fossés F 08.04 et F 08.06, à bord droit et fond plat, de 42 cm de diamètre a été testé. Très arasé, il n'a donné aucun élément permettant de le dater.

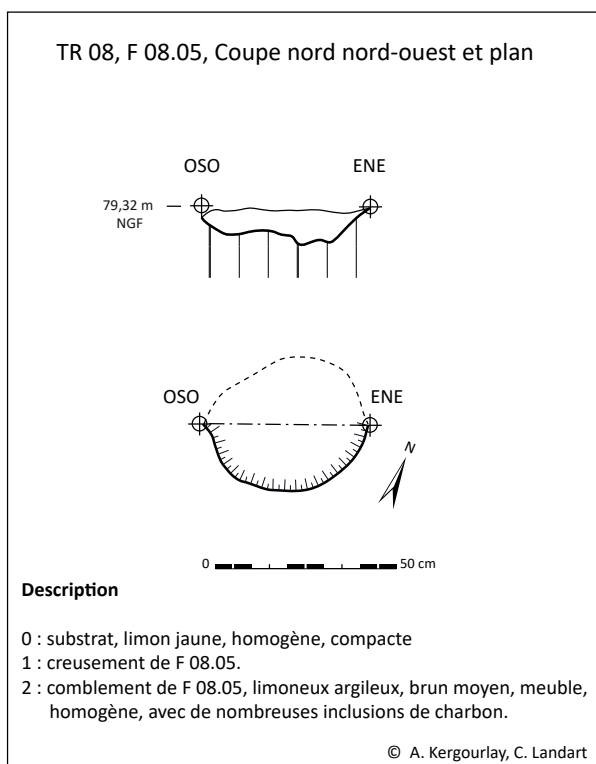


Figure 75 : Coupe et plan du trou de poteau F 08.05 (C. Landart)

- Fossé F 11.02 et TP F 11.01

Ces deux structures, de comblement proche, se situaient dans la parcelle aménagée durant le 20^{ème} siècle. Le fossé adopte une orientation est nord-est/ouest sud-ouest proche du parcellaire actuel. Isolées, il pourrait aussi correspondre à un fossé pour une conduite. De même que pour le trou de poteau, aucun mobilier associé n'a été trouvé. Une datation reste donc impossible.

- Fosse F 13.03 et Fossé F 13.04

Ces deux structures ont été aménagées dans le limon brun-gris dont le sommet se situe à environ 50 cm de profondeur. Le comblement de ces structures était proche : limon argileux brun foncé, avec des poches jaunâtres, des traces d'oxydation avec des inclusions de cailloux centimétriques et de rares fragments de charbon millimétriques. Aucun mobilier associé n'a été trouvé.

- TP F 14.03 et F 14.04

Ces structures sont de dimensions différentes, le TP 14.03 était très peu visible. La présence d'un bloc d'environ 15-20 cm pourrait le rapprocher d'un trou de poteau arasé. Le TP ou petite fosse F 14.04 avait un comblement brun foncé plus net que le précédent. Aucun élément ne permet une attribution chronologique pour ces deux structures.

2.4.6. Secteur 4 : conclusion

Sur ce secteur, le sondage de la parcelle YB 84 (tranchées 8 à 10) a permis la découverte d'un fossé et d'une fosse attribuable au Bronze moyen-final. D'autres fosses et trous de poteaux pourraient être liés à cette occupation, mais il n'a pas été possible de les relier avec certitude. Le fossé F 10.05/06, dégagé sur environ 50 m, ne peut être caractérisé plus précisément au vu de la largeur réduite de la zone de prescription. En effet, il n'est pas possible de déterminer s'il appartient à un enclos ou non. La fosse F 10.07 contenait au moins un vase silo de grandes dimensions qui nous oriente vers une occupation de type habitat dans ce secteur.

Une plus grande investigation autour de la zone, si des aménagements futurs venaient à être programmés, permettrait de déterminer l'occupation avec certitude et de renseigner ses limites.

2.5. Secteur 5 : Valy Goz-Auberge Neuve

2.5.1. Présentation générale

Sur ce secteur, trois tranchées ont été creusées. Un log a été enregistré dans la tranchée 38 (fig. 76). L'épaisseur de la terre végétale est de 0,30 m, aucune interface marquée avec le substrat n'a été vue et ce dernier apparaît à une profondeur de 0,30 m par rapport au niveau actuel. Celui-ci se compose principalement de limon jaune un peu brun et homogène.

2.5.2. Structures apparaissant sur le cadastre napoléonien et la photographie aérienne du milieu du XX^{ème} siècle (fig. 77)

La superposition des plans du diagnostic avec le cadastre napoléonien de 1819 et la photographie aérienne permet de constater que certains fossés de la tranchée 39 (F 39.09, F 39.10, F 39.16, F 39.17 et F 39.18) correspondent à des limites parcellaires. La structure de la tranchée 40 (F 40.01), à un chemin (F 40.01). Ces fossés et chemin existent au moins depuis la création du cadastre de Ploudaniel (1819) et sont toujours présents lors de la prise de vue photographique du milieu du 20^{ème} siècle. La photographie aérienne de 1978 renseigne sur la disparition de ces limites cadastrales entre les années cinquantes et soixante-dix.

2.5.3. Une fosse d'époque préhistorique ? (fig. 77 et 78)

La structure F 39.15 est une fosse de forme ovale de dimensions 108 x 65 cm et de 20 cm de profondeur. Deux creusements se distinguent dans le fond, dont un présente un diamètre réduit et circulaire. Il pourrait correspondre à l'emplacement d'un petit poteau. Le comblement de celui-ci était un mélange de limon jaune du substrat et de limon brun. En surface de la zone sud de la fosse, une poche épaisse d'environ 10 cm se composait de limon-brun rouge homogène et meuble. Dans ce comblement, un objet en silex gris beige a été trouvé. Il s'agit d'un fragment distal de lame outrepassée à deux versants dont les bords et la partie proximale sont aménagés. Le bord droit est aménagé par retouches directes abruptes, alors que le gauche montre un aménagement différent. Les retouches sont directes et semi-abruptes, complétées par des retouches inverses rases. La partie proximale est également aménagée par retouches directes abruptes. Il s'agit vraisemblablement d'un petit racloir sur lame dont le front se trouve sur le bord gauche. Une attribution à la préhistoire est certaine, une datation plus précise reste par contre impossible.

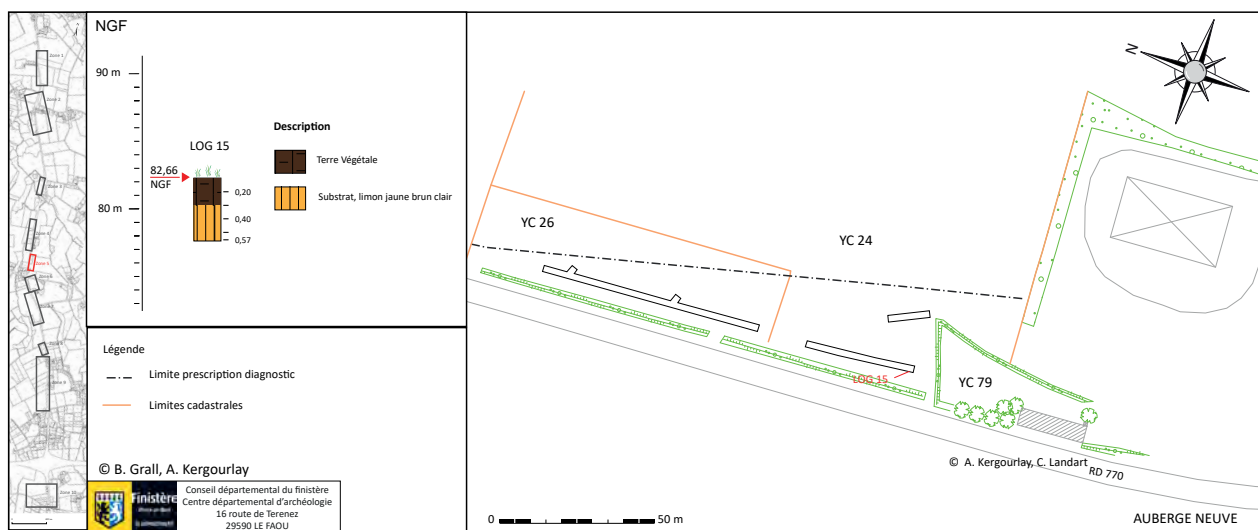


Figure 76 : Implantation et description du log du secteur 5 (B. Grall, DAO A. Kergourlay et C. Landart)

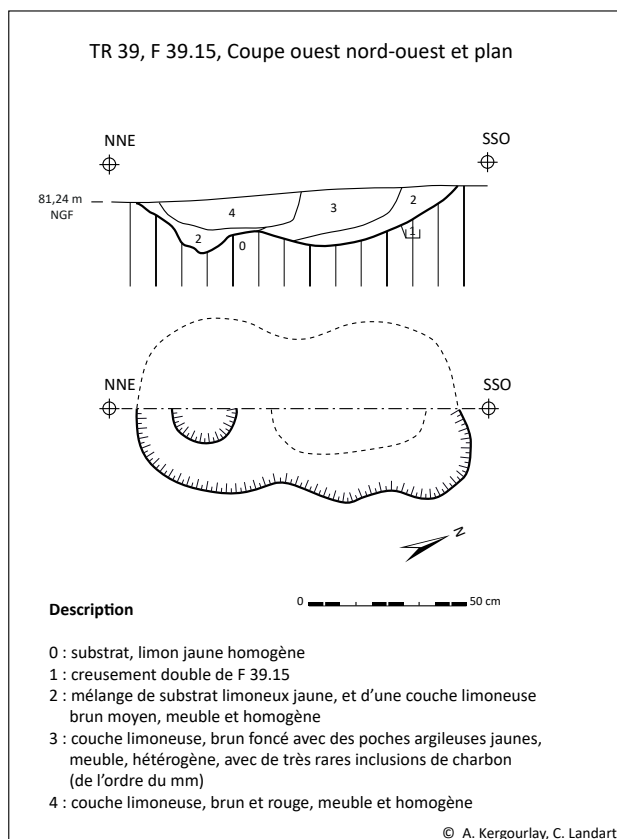


Figure 78 : Coupe et plan de la fosse F 39.15 (DAO A. Kergourlay et C. Landart)

2.5.4. Structures d'époques indéterminées (fig. 79)

L'ensemble des autres structures découvertes dans les tranchées 38 et 39 n'a pas pu être daté, malgré le test effectué sur deux trous de poteaux (F 39.05 et F 39.13), et le sondage mécanique dans le fossé F 39.03).

Les trous de poteaux étaient arasés et de forme asymétrique. Leur comblement brun-clair à brun-moyen comportait de rares inclusions de charbon. Aucun élément mobilier n'a été découvert. De même, aucun lien et schéma particulier n'a pu être observés avec les structures voisines.

Le fossé F 39.03, large de plus d'un mètre et profond d'environ 50 cm, avait un comblement principal composé de limon argileux brun-moyen avec des poches jaunes et de rares fragments de charbon. Ce comblement supérieur semble témoigner d'un rebouchage du fossé en une seule fois. En comparaison une couche, épaisse d'environ 10 cm, se trouvait dans le fond du fossé. Elle se composait d'argile et limon gris peu compact et homogène, avec de nombreux cailloux millimétriques. Une ligne d'oxydation marquant le creusement du fossé dans le substrat. Ces éléments tendent à montrer une utilisation du fossé ouvert, avant rebouchage. Il pourrait donc correspondre à

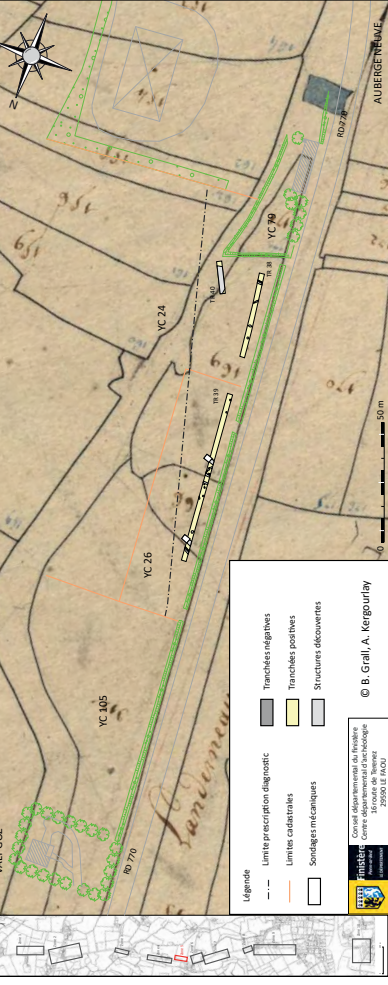
un fossé de drainage des eaux de pluie ou bien au déplacement dans le temps de la limite parcellaire que forme les fossés F 39.09 et F 39.10, F 39.03.

En l'absence d'élément supplémentaire aucune attribution chronologique ne peut être avancée pour les structures sondées et non testées.

2.5.5. Secteur 5 : conclusion

Les structures apparues dans le secteur 5 témoignent principalement d'un parcellaire du début de l'époque contemporaine. Aucun élément complémentaire ne permet, à ce jour, de le rattacher à une époque antérieure. Ces éléments illustrent aussi la modification importante du paysage à partir du milieu du 20^{ème} siècle, avec la disparition de chemin (F 40.01) et l'agrandissement des parcelles. Ces constats vont de pair avec les modifications profondes des modes d'exploitations des sols agricoles durant cette période (plus grande mécanisation, diminution du nombre des exploitations...).

Hormis une petite fosse témoignant d'une présence à la préhistoire (F 39.15), les structures apparues n'ont pu faire l'objet d'une attribution chronologique.



SECTEUR 5 : Structures datées

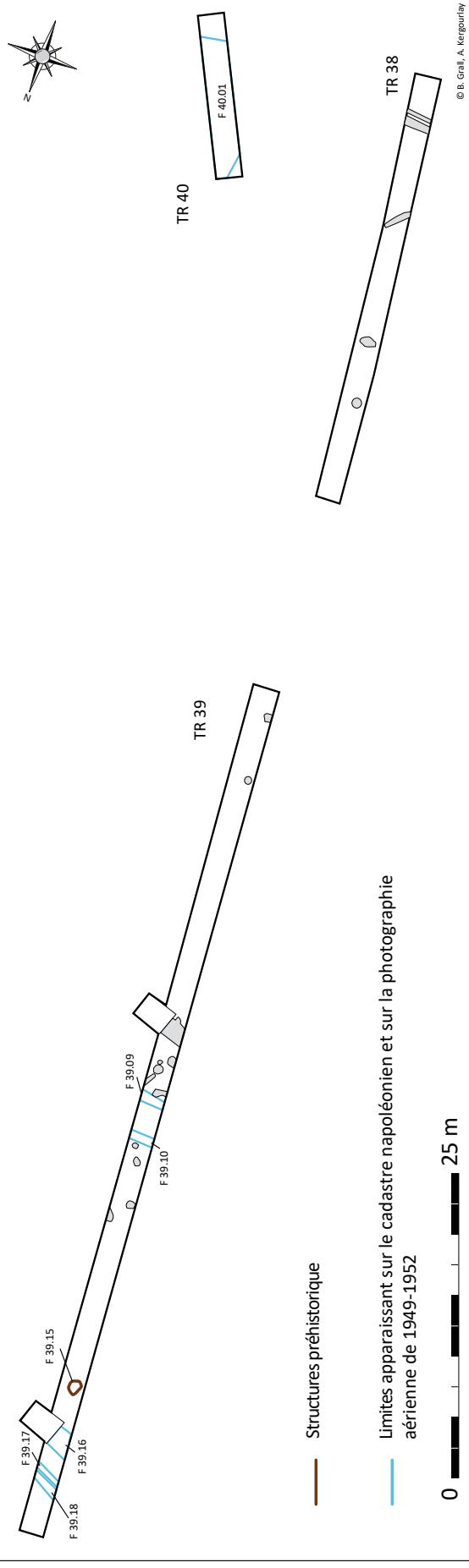
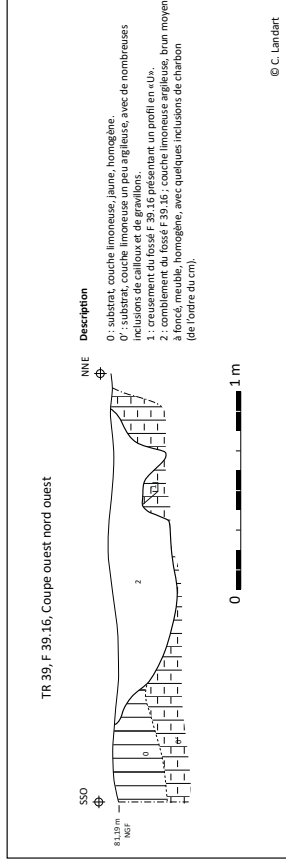
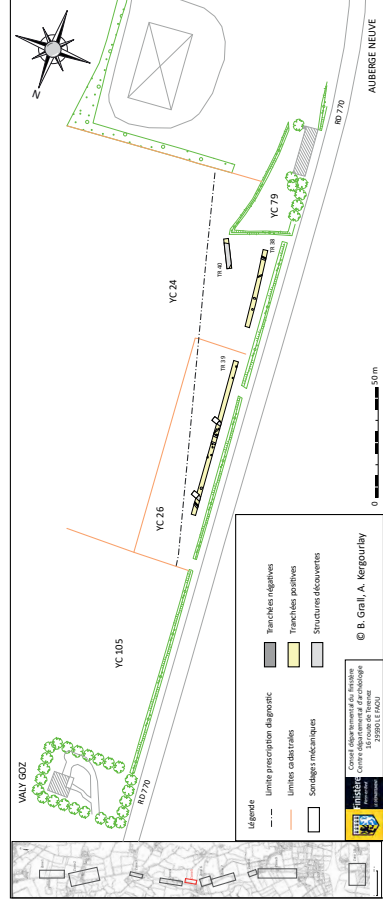


Figure 77 : Localisation des structures apparaissant sur le cadastre napoléonien et photographies aérienne du milieu du 20^{ème} siècle (B. Grall, DAO A. Kergourlay)



SECTEUR 5 : Structures d'époque indéterminée et coupes et plans des structures testées

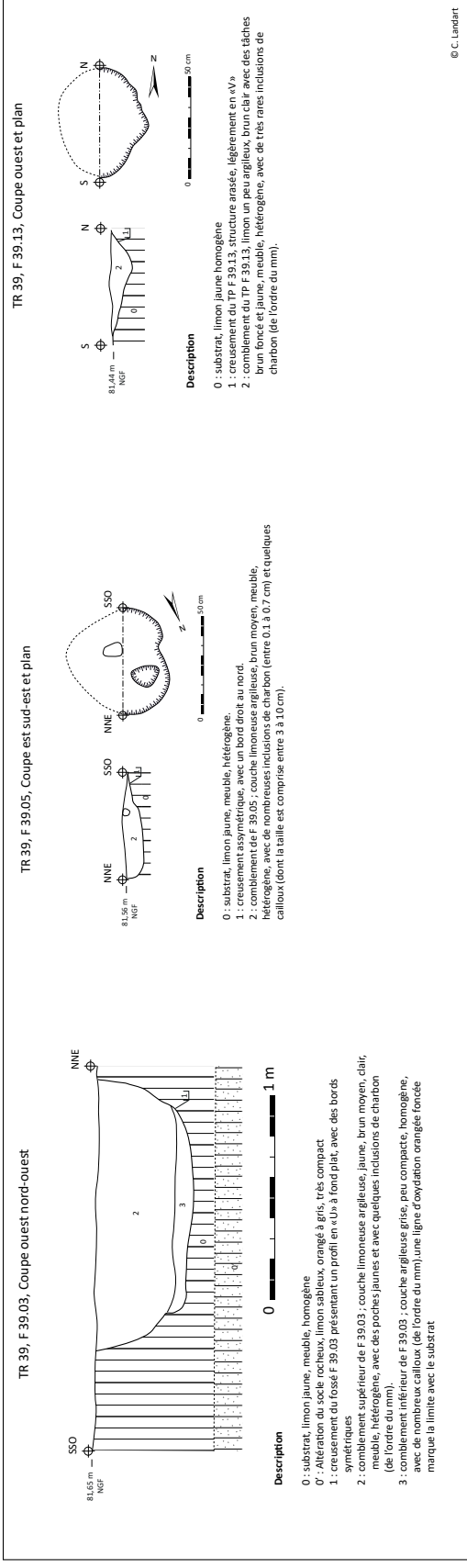
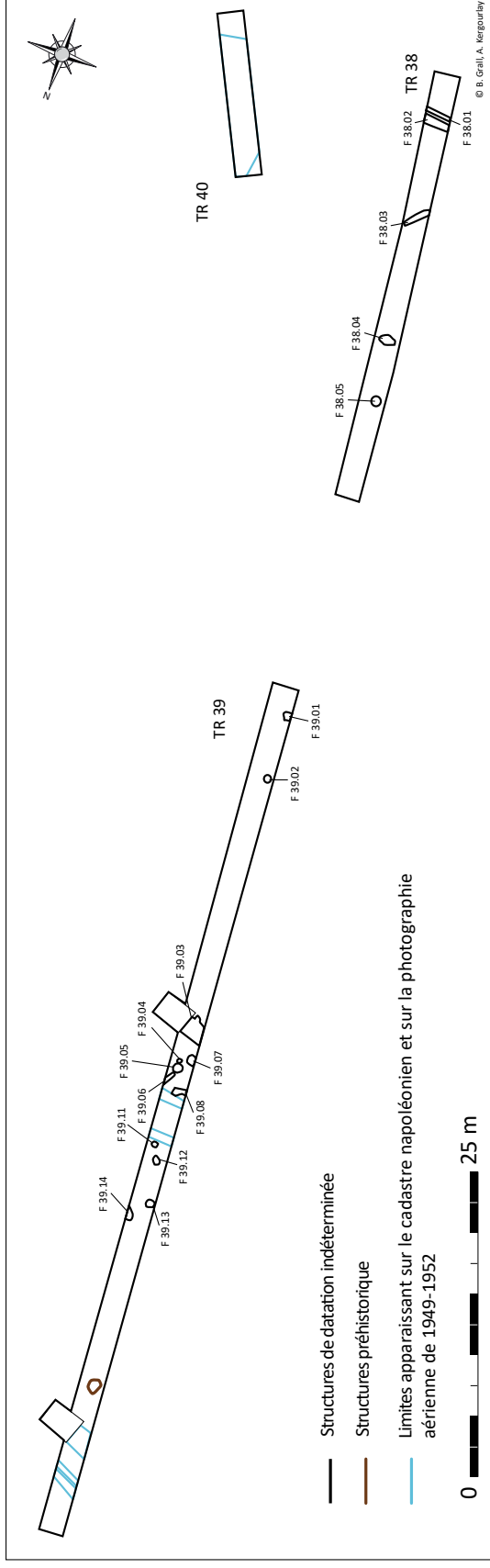


Figure 79 : Localisation des structures d'époques indéterminées dans le secteur 5 (B. Grall, DAO A. Kergourlay) et coupe des structures F 39.03 F 39.05 et F 39.13 (C. Landart)

2.6. Secteur 6 : Auberge Neuve

2.6.1. Présentation générale

Sur ce secteur, sept tranchées ont été réalisées. Un log a été enregistré dans la tranchée 01 (fig. 80). L'épaisseur de la terre végétale est d'environ 0,30 m. Sous celle-ci, un niveau de limon un peu argileux brun moyen de 0,40 m mélangé à sa base avec le substrat, a été visualisé. Il correspond au niveau de terre végétale en cours de pédogénéisation, niveau plus important dans cette tranchée que dans le reste de la parcelle. La topographie de celle-ci indique un emplacement en bas de pente pour la tranchée 1. Le substrat apparaît à environ 0,70 m de profondeur et se compose de limon un peu argileux jaune brun clair, homogène et plutôt meuble.

2.6.2. Structures apparaissant sur le cadastre napoléonien et la photographie aérienne du milieu du XX^{ème} siècle (fig. 82)

La superposition du plan topographique du diagnostic avec le cadastre de Ploudaniel de 1819 et la photographie aérienne du milieu du XX^{ème} siècle, permet de reconnaître dans certaines structures des limites cadastrales ou de parcelles présentes durant la période contemporaine. Il s'agit des fossés F 01.05, F 03.10, F 06.01, F 07.06, F 07.07/F 07.08, F 07.02/F 07.09, F 07.10 et F 07.12.

Les fossés de la tranchée 7 disparaissent entre la réalisation du cadastre napoléonien et la photographie aérienne du milieu du XX^{ème} siècle.

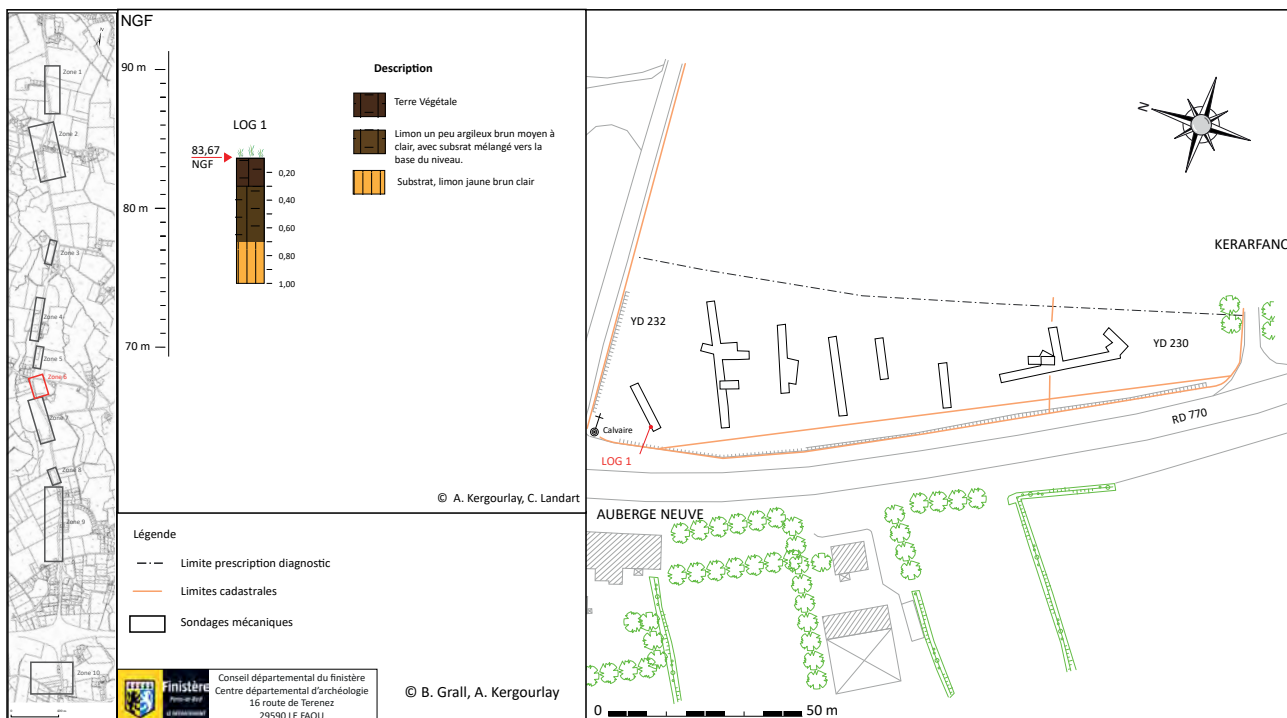


Figure 80 : Implantation et description du log du secteur 6 (B. Grall, DAO A. Kergourlay et C. Landart)

Il faut aussi indiquer que les fossés de cette tranchée sont parallèles, trois par trois. Cette association peut indiquer un déplacement dans le temps d'un fossé, d'un talus ou la présence d'une zone de passage. Le sondage mécanique réalisé dans les fossés F 07.06 à F 07.08 illustre cette dernière hypothèse (fig.83). En effet, ceux-ci sont peu larges et profonds, très irréguliers et la coupe permet de visualiser de probables ornières. Quant au fossé F 07.06, le creusement est symétrique et en cuvette large et profond. Le mobilier retrouvé dans son comblement indique une fondation plus ancienne (voir *infra*).

2.6.3. Structures du XX^{ème} et/ou XXI^{ème} siècles (fig. 82)

Dans l'extrémité sud de la tranchée 7, une fosse a été découverte. Un angle droit était visible. Des fragments de bois étaient visibles dans son comblement. Ceux-ci étaient encore en bon état, et suggèrent donc un enfouissement relativement récent.

2.6.4. Structure médiévale ou moderne (fig. 83)

2.6.4.1. Description

Le fossé F 07.06, bien que parallèle aux fossés F 07.07 et F 07.08 était de forme et de comblement différent. F 07.06 a un premier creusement symétrique avec un comblement inférieur de limon et argile brun moyen était visible. Sa base était oxydée, suggérant un fonctionnement ouvert. Une vidange de ce fossé a dû être réalisée, le second creusement étant légèrement asymétrique. Son comblement est proche de la couche inférieure, mais mélangé avec des apports extérieurs : charbon, blocs, fragments de céramique, terre cuite architecturale (fig. 81) , pouvant être des rejets liés à un habitat à proximité.

2.6.4.2. Mobilier céramique

Un grand fragment de fond avec départ de panse a été récupéré. Il mesure 9,2 x 10,3 cm, l'épaisseur variant de 0,9 (vers le centre) à 1,3 cm (avant départ de panse). L'épaisseur du départ de panse est de 1,16 cm. Le diamètre du fond est estimé à 26 cm. La pâte est de couleur blanc un peu rosé sur l'extérieur, gris et blanc à l'intérieur avec dépôt de suie et gris-brun au coeur. Sa pâte est relativement grossière, avec des inclusions visibles sur l'extérieur et la tranche de 0,5 à 3 mm de quartz, et fréquentes paillettes de

mica. A l'intérieur du fond la pâte est lissée et les paillettes de mica sont les seuls éléments de visible en surface.



1 : vue supérieure
2 : vue inférieure

© A. Kergourlay

Figure 81 : Photographies du fragment de tuile du fossé F 07.06 (cliché A. Kergourlay)



Figure 82 : Localisation des structures fossoyées apparaissant sur le cadastre napoléonien et les photographies aériennes du milieu du XX^{ème} siècle. Fosse récente XX^{ème} ou XXI^{ème} siècle (B. Grall, DAO A. Kergourlay)

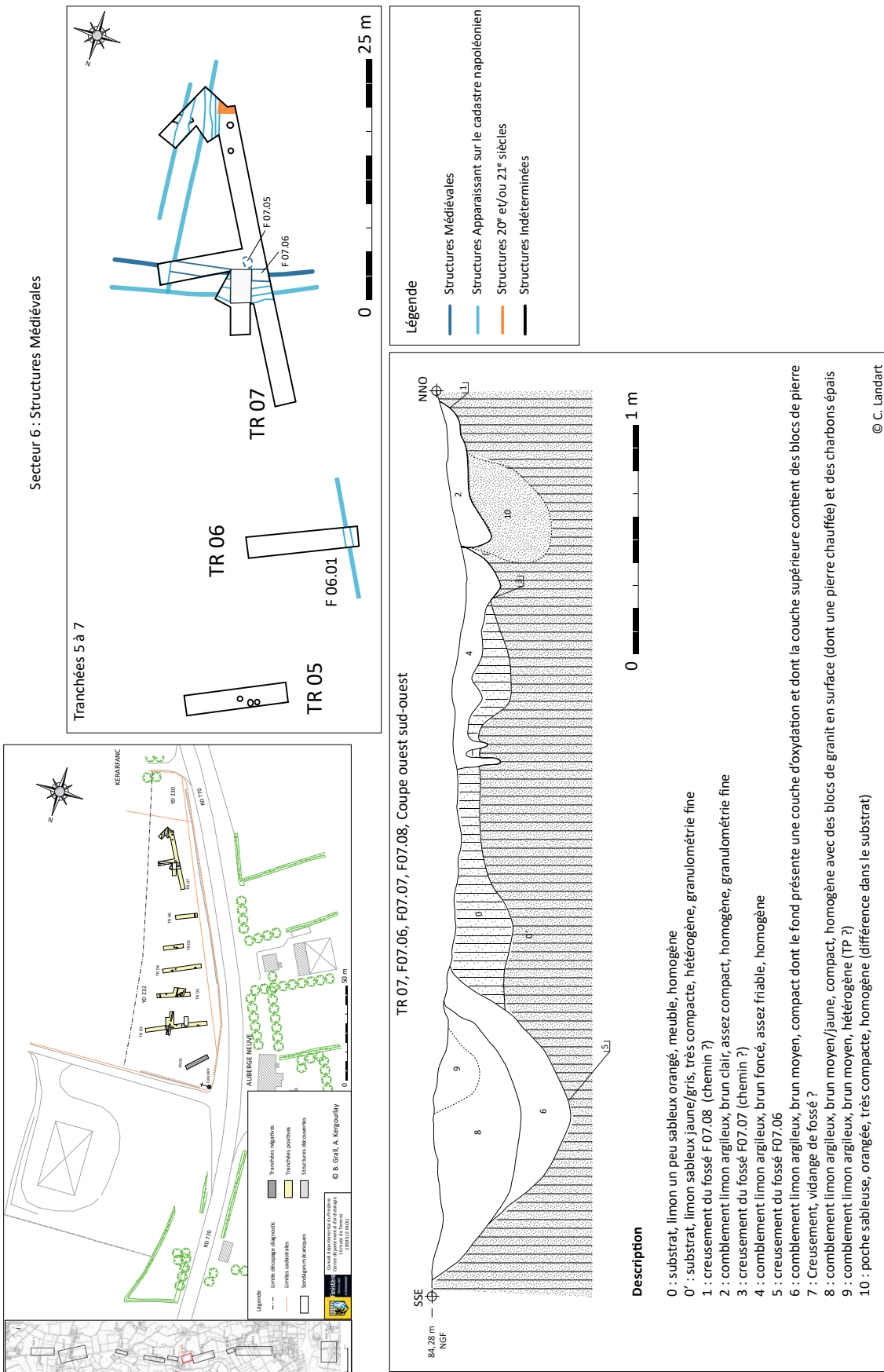


Figure 83 : Structure d'époque médiévale, et coupes F 07.06, F 07.07 et F 07.08 (B. Grall, DAO A. Kergourlay et C. Landart)

Il est difficile de déterminer une forme, bien que le départ de panse soit relativement droit. La pâte se rapproche des productions d'époque médiévale, voire du début de l'Epoque moderne, sans plus de précision.

2.6.4.3. Le fragment de tuile (fig.)

Deux fragments, qui recollent, d'une tuile ont été découverts dans le même comblement que le fond de céramique. La pâte est grossière, de couleur orangé à beige, et orange vif à coeur. Les inclusions se composent de quartz et fragments indéterminés (roches concassées ?) de 1 à 5 mm; quelques inclusions rougeâtres d'environ 1 à 2 mm sont aussi à signaler. Une datation probable à l'Antiquité est proposée.

2.6.4.5. Conclusion

Les différents éléments à notre disposition (orientation du fossé, comblement et mobilier) nous orientent à considérer ce fossé comme un élément d'un parcellaire d'époque probablement médiévale qui persisterait au moins jusqu'au XIX^{ème} siècle. Le mobilier présent : les blocs lithiques, dont certains rubéfiés, et les charbons de bois peuvent permettre de supposer le rejet de foyer et/ou déchet d'un habitat non loin, ou de niveaux hétérogènes avec mobilier résiduel.

2.6.5. Structures Protohistoriques (fig. 85)

2.6.5.1. Une fosse de l'âge du Fer ?

- Description (fig. 84 et 86)

Les dimensions de surface de cette fosse sont d'environ 3,0 x 0,4/0,7 m. Elle se trouvait au niveau du fossé F 02.04. Afin de déterminer la chronologie entre ces deux structures et leurs fonctions, un sondage manuel a été réalisé. Le fossé s'avèrait peu profond par rapport à la fosse. La coupe ouest permettant de visualiser la relation entre les deux structures, il a été décidé d'agrandir le sondage manuel en préservant cette coupe. Cela a permis d'englober la largeur totale de la fosse et de déterminer son contour est.

Une fouille manuelle a été engagée sur environ 1,10 m de profondeur, elle a été stoppée pour des raisons de sécurité. Après relevé, un sondage

mécanique a été réalisé afin d'appréhender la profondeur totale de la structure (fig. 84).



Figure 84 : Photographie après décapage mécanique de la fosse F 02.03, coupe ouest (Cliché A. Kergourlay)

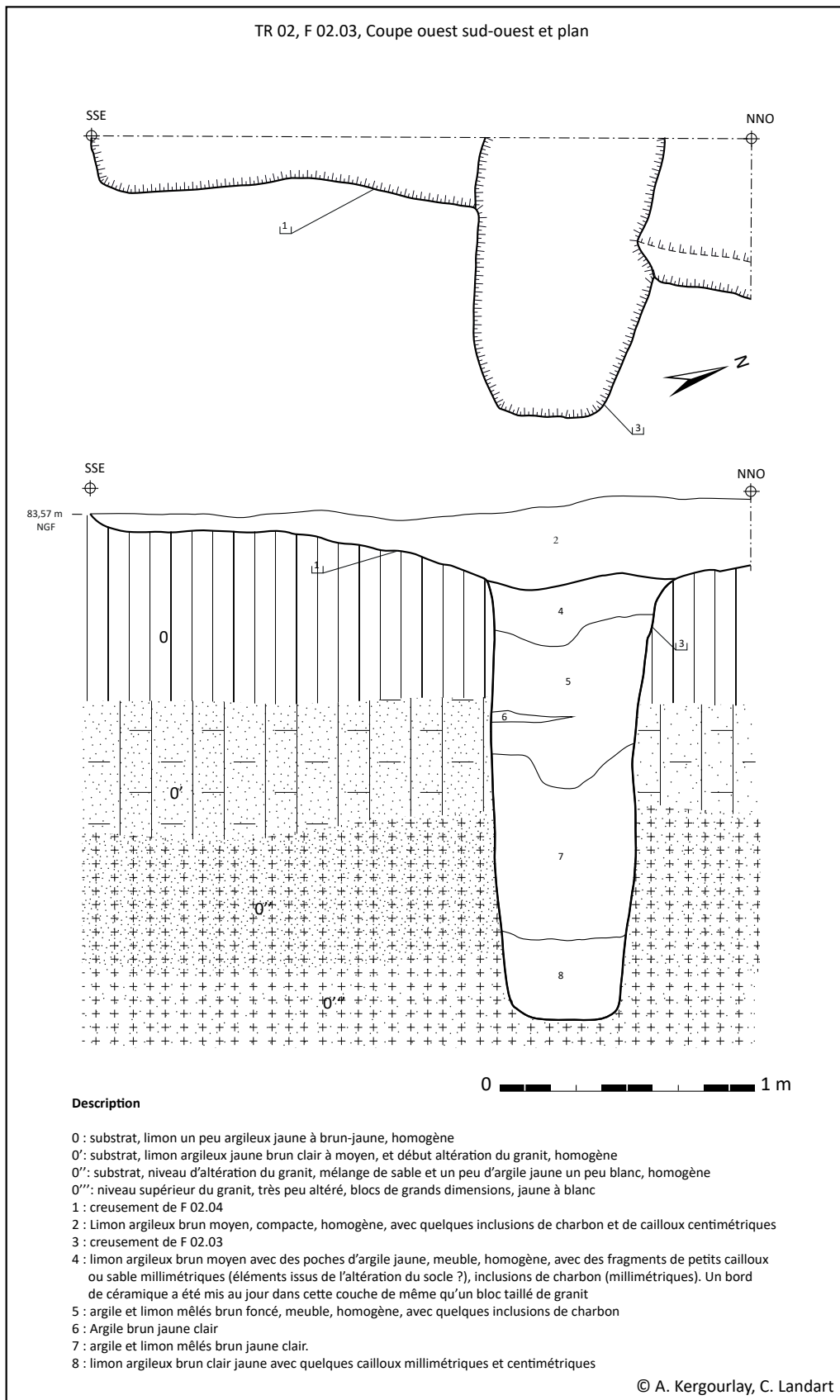


Figure 86 : Coupe ouest et plan de l'intersection entre la fosse F 02.03 et le fossé F 02.04 (DAO A. Kergourlay et C. Landart)

Cette fosse au creusement en «V», à fond plat, avait des parois très verticales. La largeur en haut de la fosse était d'environ 70 cm et au fond d'environ 40 cm. Son sommet n'a pas été appréhendé car le fossé F 02.04, plus récent, venait s'installer au dessus de celle-ci. Il semble malgré tout qu'un léger évasement soit perceptible. La profondeur totale de la structure était de 2,15 m par rapport au niveau de décapage de la tranchée et de 1,74 m par rapport au fond du fossé F 02.05. Du mobilier a été trouvé dans le comblement supérieur de la fosse (US 4, fig. 86), le long de la paroi est.

- Mobilier céramique

Trois tessons de céramique, dont 1 bord, ont été ramassés. Un tesson mesure 2,7 x 2,4 x 0,9 cm, de couleur orangé en extérieur, gris à orangé à l'intérieur et cœur gris. Des inclusion de quartz de 0,5 à 2 mm et fréquentes paillettes de mica sont visibles en surface de la pâte.

Un second tesson de 4,2 x 2,9 x 0,7 cm, de couleur orange vif à l'extérieur, gris foncé à l'intérieur et cœur gris a été trouvé. Il porte des trace de tournage visible face interne. La pâte était moyennement grossière à inclusions de quartz de 0,5 à 2 mm et paillettes de mica.

Enfin, un fragment de bord sort du lot. Il mesure 4,7 x 3,2 x 1,2/1,0 cm. Le diamètre d'ouverture est estimé à environ 25-26 cm. De couleur externe gris-brun à orangé, de couleur interne beige avec zones

grise à noire (suie ?), et cœur gris-beige. La pâte est assez fine avec des inclusions de quartz inférieur à 1 mm et paillettes de mica. Dans la pâte sont visibles, en surface, des spicules marines. Celles-ci indiquent une origine marine de l'argile. Les traces de tournage sont bien visible sur les faces interne et externe, marquées par la présence de ces spicules. Le bord est éversé avec une lèvre à double canelure qui lui donne un aspect à trois lobes (fig. 87). La cassure au niveau du départ de panse suggère une forme assez globulaire.

Ce fragment de bord peut être comparé à des productions de céramique de type proto-onctueuse, de la fin de l'âge du Fer du site de Châteaulin, Pen ar Roz (Nicolas E. , 2013). Dans le catégorie des formes moyennes à hautes (H) ou le bord est terminé par une lèvre éversée à canelure unique ou multiple, lui donnant l'aspect polylobé que l'on retrouve sur le fragment de F 02.03. Cette céramique de Châteaulin est daté de la Tène finale. Sur le site de Quimper Kergolvez ce type de céramique se retrouve à la fois dans l'horizon 1 attribué à la Tène moyenne, mais aussi dans l'horizon 2 attribué à la transition entre la Tène moyenne et finale (Le Goff E., 2014).



Figure 87 : Profil et cliché du bord à lèvre à cannelures doubles de la fosse F 02.03 (A. Kergourlay)

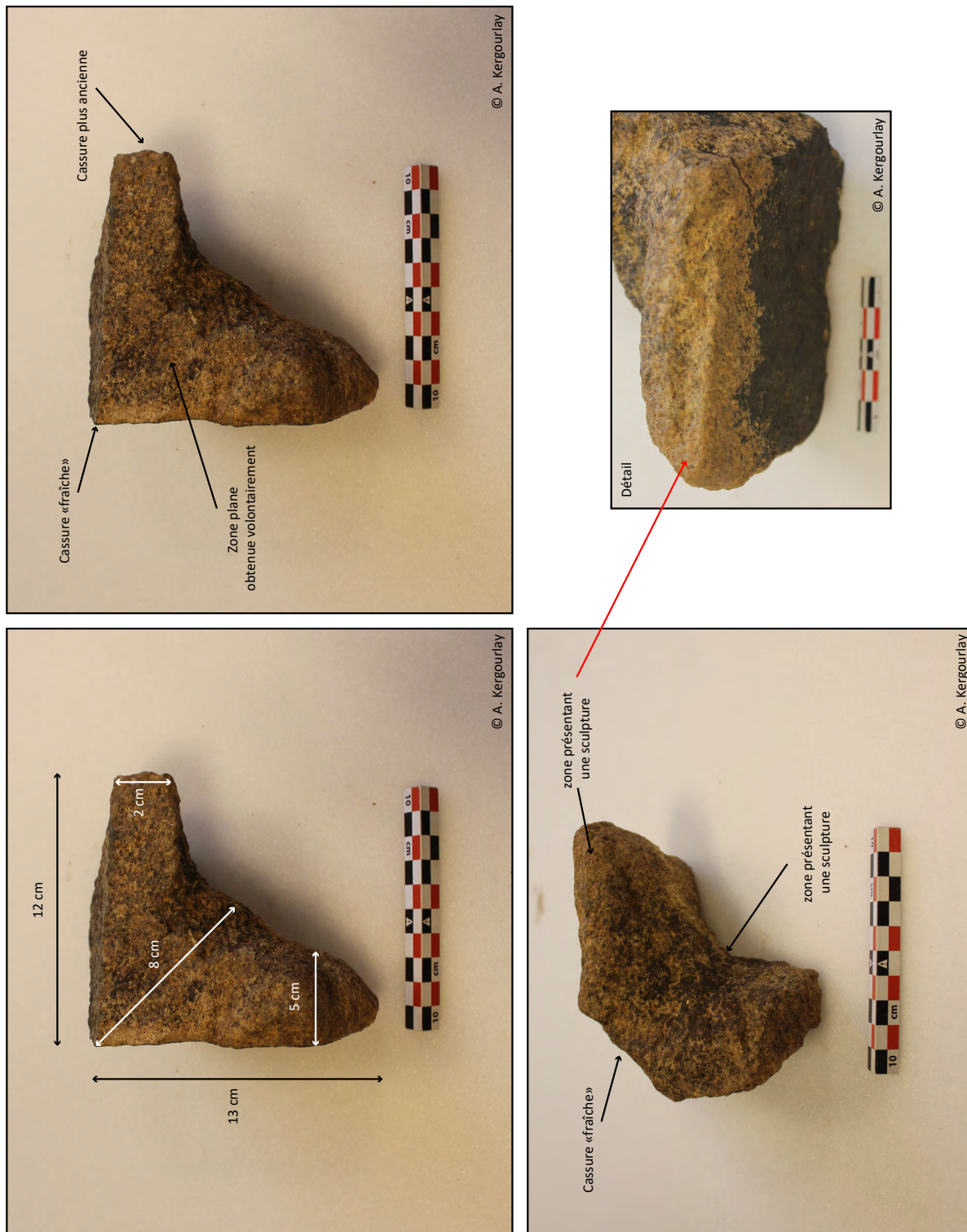


Figure 88 : Photographies du fragment de granit taillé trouvé dans la fosse F 02.03 (A. Kergourlay)

- Bloc de granite taillé

Présent dans le même niveau archéologique que le bord de céramique attribué à l'âge du fer (voir *supra*), ses dimensions sont de 13 x 10 cm pour les côtés formant un angle (cassé) qui devait être quasi droit. L'épaisseur varie de 1,2 à 5 cm, la zone centrale de l'angle mesure environ 8 cm (fig. 88). Des zones taillées volontairement sont perceptibles, dont une rainure (fig. 88). Une face plane, obtenue volontairement, indique également que l'objet ne devait pas fonctionner seul (superposition de plusieurs blocs ? face permettant un positionnement stable ?). Une étude plus approfondie permettra sans doute de déterminer le ou les motifs que le sculpteur a souhaité réaliser.

La présence de traces noires au niveau de l'angle sculpté, constitueraient un dépôt dû à l'action du feu (suie ?). Il reste, par contre, difficile de dire si ce dépôt résulte de l'emplacement de l'objet (proche d'un foyer) ou d'une action après l'abandon de l'objet.

- La fosse F02.03 : conclusion

Sur le site de Plouedern Leslouc'h, des fosses de forme ovales avec un creusement plus ou moins en «V» et pouvant atteindre 2,50 m de profondeur ont été fouillées (Blanchet S., 2013). Certaines étaient accolées ou coupées par des structures, comme la fosse 750. La datation radiocarbone obtenue sur cette dernière fournit une date calibrée de 3100 à 2950 av. n.-è. soit le Néolithique récent. D'autres comparaisons sont possible avec la fosse (F 313) de même type découverte sur le site de Lannion Bel Air (Escats Y., 2013). Une datation radiocarbone permet une attribution au Néolithique récent/final. A l'est de Paris, le long de la Seine, plusieurs structures de ce type ont été fouillées (Issenmann R. et Peake R., in Achard-Corompt N. et Riquier V., 2013), une attribution chronologique plus large est proposée. En effet, il semble qu'elles existent du Néolithique à l'âge du Fer.

La découverte d'un fragment de céramique pouvant être attribué au second âge du Fer n'est donc pas incohérent. Une datation de F 02.03 à la Tène moyenne-finale est donc proposée. Sa fonction reste encore énigmatique au vu de son positionnement avec le fossé F 02.04, dont une datation à la protohistoire et attribution l'âge du Fer est envisagée (voir *infra*)

2.6.5.2. Fossé protohistorique: postérieur à la fosse F 02.03

- Description

Ce fossé recoupe la fosse F 02.03 et s'interrompt juste après. L'interruption mesure environ un mètre, puis le fossé repart vers le sud (F02.06). On le retrouve également dans la tranchée suivante (Tranchée 3), il s'agit de la structure F 03.08, qui doit soit s'arrêter peu après, ou bifurquer. En effet, elle n'apparaît pas dans les tranchées suivantes (tranchées 4 et 5). Dans la tranchée 2, F 02.04 adoptait une courbe qui se dirigeait vers le nord-est. Cette bifurcation et l'absence du fossé dans la tranchée 4 nous oriente vers la présence d'un enclos.

- Mobilier

Peu de mobilier a été ramassé. Il s'agit pour l'essentiel de tessons de céramique à pâte moyennement grossière, de couleur brun à brun gris, avec des inclusions de 0,5 à 2 mm de quartz et rares paillettes de mica. La pâte peut être comparée aux productions protohistoriques, sans plus de précision.

- Hypothèse

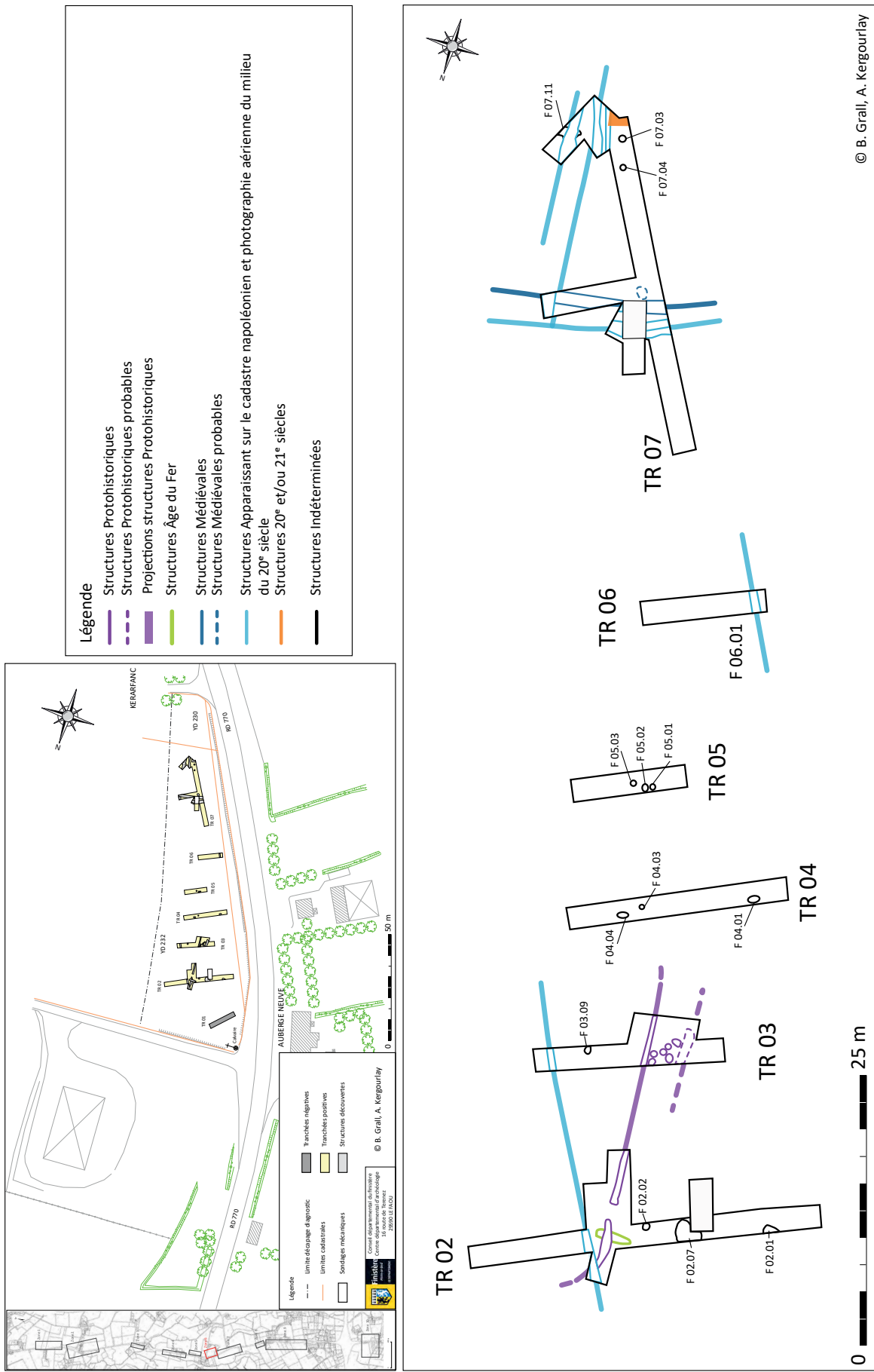
Ce fossé, parcellaire ou enclos, qui recoupe une structure de la fin du second âge du Fer est peut être d'une époque légèrement postérieure. Au vu du mobilier et de l'aspect du fossé, sans doute, de l'extrême fin de la même période. Il ne serait pas improbable d'avoir une contemporanéité des deux structures. Le fossé d'enclos peut avoir fonctionné plus longtemps que la fosse, ce qui peut expliquer le recoupement de celle-ci par le fossé.

2.6.6. Structures d'époques indéterminées (fig. 89)

2.6.6.1. Des structures protohistoriques ?

- Tranchée 3

Le fossé F 03.01 présente un comblement identique à F 03.08 et est parallèle à ce dernier. Entre les deux, se trouvent plusieurs trous de poteaux de diamètres proches et de comblement identiques aux fossés qui les encadrent. Une investigation plus large n'a pas été possible. Bien qu'aucune datation ne puisse être avancée avec certitude, ces structures



© B. Grall, A. Kergourlay

Figure 89: Structures d'époques indéterminées (B. Grall, DAO A. Kergourlay)

peuvent appartenir à une phase chronologique proche du fossé d'enclos défini par les structures F 02.04, F 02.06 et F 03.08.

2.6.6.2. Une fosse médiévale ? (fig.89 et 90)

A proximité du fossé F 07.06 attribué à la période médiévale, une fosse (F 07.05) pourrait être datée d'une période chronologique identique.

2.6.6.3. Trous de poteaux et fosses non datés (fig. 89)

Ces structures n'ont pas été testés, et aucune relation stratigraphique n'a pu être établie. Aucun mobilier n'est apparu lors du nettoyage de surface. Il reste donc impossible, à ce jour, de définir avec certitude leurs fonction et datation.

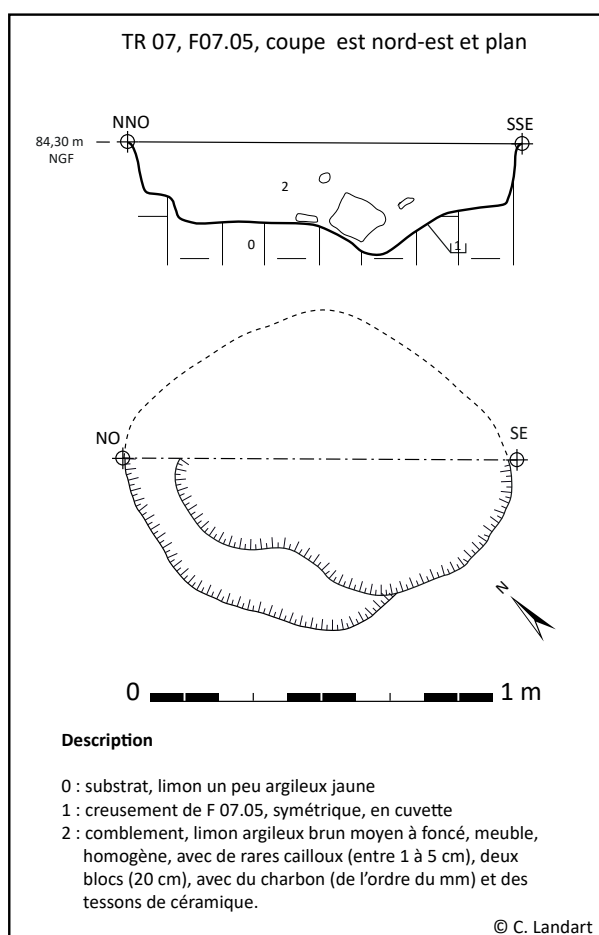


Figure 90 : Coupe et plan de la fosse F 07.05 (C. Landart)

2.6.6.4. Chablis

Dans la tranchée 2, une différence dans le substrat nous a amené à réaliser un sondage mécanique afin de déterminer l'origine de la perturbation. Après nettoyage et observation de la coupe, des éléments racinaires sont apparus. Il s'agit vraisemblablement de l'emplacement d'un ancien chablis.

2.6.7. Secteur 6 : conclusion

Deux occupations distinctes ont pu être étudiées sur ce secteur. Tout d'abord, une occupation de la fin du second âge du Fer (Tène moyenne - finale ?), qui se caractérise principalement par une fosse ovale peu large et très profonde. Sa fonction reste énigmatique. L'autre élément principal est le fossé d'enclos ou de parcellaire, dont une datation à l'âge du Fer a été proposée. D'autres structures (fossé et trous de poteaux) pourraient fonctionner avec cette occupation de l'âge du Fer.

La seconde occupation se caractérise par des fossés de parcellaires sans doute déjà présents à l'époque médiévale. L'étude de certaines pâtes de céramiques permet d'indiquer une occupation qui débiterait durant cette période et resterait en place au moins jusqu'au début du XIX^{ème} siècle. La proximité d'un hameau, signalé sur la carte de Cassini de 1783, nous permet une comparaison avec le secteur 2, où un hameau serait implanté dès le Haut Moyen Âge.

A ce jour, il reste difficile de définir plus précisément le type d'occupation du sol pour les deux périodes : simple parcellaire ou habitat ?

2.7. Secteur 7 : Auberge Neuve - Kerarfanc

2.7.1. Présentation générale

Sur ce secteur, douze tranchées ont été réalisées. Deux se sont révélées négatives (tranchées 16 et 23). Cinq logs ont été enregistrés, dans les tranchées 15, 18, 20 et 24 (fig. 91). Les logs 5, 9 et 8 nous renseignent sur la topographie générale du secteur du sud au nord. Ainsi, on remarque nettement une dépression centrale dans la parcelle au niveau de la tranchée 24 (log 9), avec un substrat qui apparaît à environ 0,85 m de profondeur contre 0,45 m dans la tranchée 20, au nord de la parcelle. La faible épaisseur des niveaux a été confirmée lors du décapage des tranchées 19 et 20, avec l'apparition des niveaux d'altération du socle granitique (0,43 m), composés de sable et limon mêlés et de blocs décimétriques de granite (fig. 92). Cette dépression correspond à un talweg dont la volonté de comblement est marquée par l'apport de sédiments limoneux jaune (proche du substrat). Sous celui-ci, les niveaux de sol sont piégés. Cet apport sédimentaire anthropique est également visible dans la tranchée 18 (log 7).

Le log 6, réalisé dans la tranchée 15, se situe au niveau d'une grande fosse attribuée à une période récente (voir *infra*).

2.7.2. Structures apparaissant sur le cadastre napoléonien et la photographie aérienne du milieu du XX^{ème} siècle (fig. 93 et 94)

Plusieurs fossés ou portions de fossés sont présents sur le cadastre napoléonien. La comparaison avec une photographie aérienne du milieu du 20^{ème} siècle indique également une persistance de ces mêmes limites parcellaires.

Ces fossés sont, en règle générale, parallèles deux à deux. C'est le cas des fossés de la tranchée 17 (F 17.02, F 17.03, F 17.05 et F 17.06).

Pour les tranchées 19 et 20, cela n'a pas été visualisé, dans un premier temps. La structure F 20.05, apparue le long de la tranchée, a été assimilée à une portion de fosse à cause de son orientation. Pourtant, l'examen du cadastre napoléonien indique à cet endroit une limite (fossoyée ?) le long de la route. Elle peut donc finalement correspondre à une limite fossoyée ancienne.

Le fossé F 20.04 est également isolé. Du mobilier céramique médiéval, voire du début de l'époque moderne, a été trouvé en surface lors de son nettoyage. Son isolement pourrait s'expliquer par un parcellaire délimité par des fossés plutôt que des talus. On peut faire la même remarque pour le fossé F 19.02. Une datation reste difficile au vu de la faible quantité de mobilier.

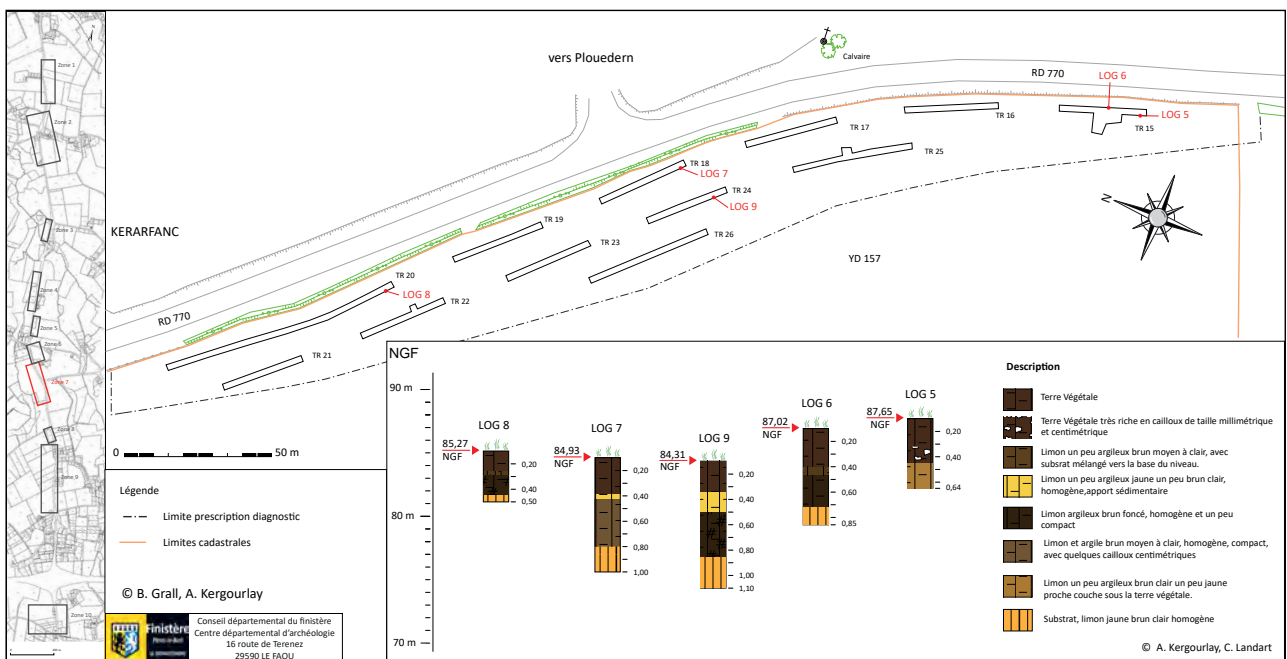


Figure 91 : Implantation et description des logs du secteur 7 (B. Grall, DAO A. Kergourlay et C. Landart)



Figure 92 : Photographie de la tranchée 19, vue des niveaux d'altérations (cliché C. Landart)

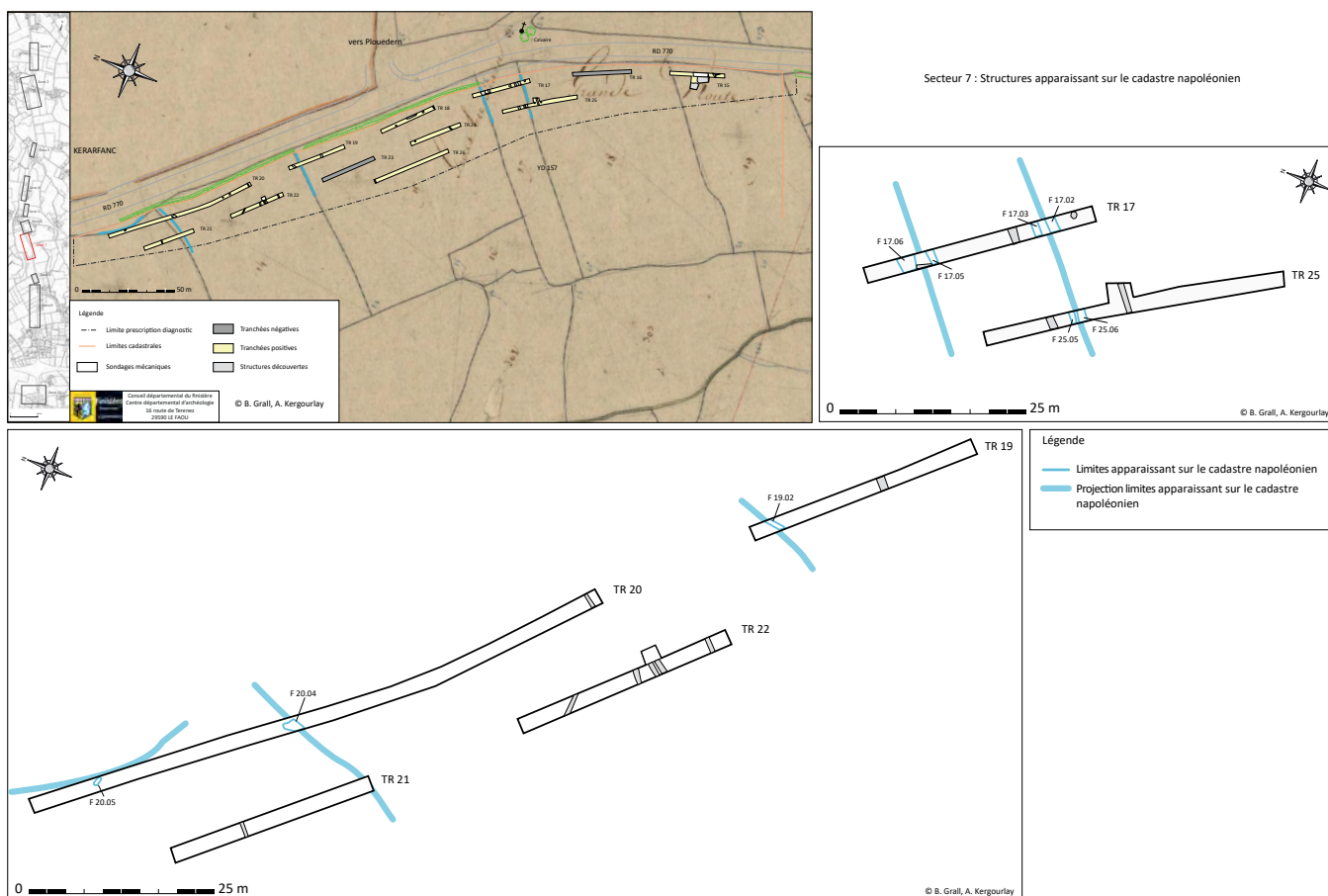


Figure 93 : Localisation des structures fossoyées apparaissant sur le cadastre napoléonien et les photographies aériennes du milieu du XX^{ème} siècle (B. Grall, DAO A. Kergourlay)

2.7.3. Structures d'époque Contemporaine

2.7.3.1. Déplacement du parcellaire ? (fig. 94)

Dans la tranchée 17, le fossé F 17.04, parallèle aux fossés F 17.02 et F 17.03, pourrait illustrer un déplacement de la limite parcellaire au court du temps lors de l'entretien d'un talus. Il peut donc correspondre à la limite parcellaire présente sur le cadastre napoléonien et la photographie aérienne du milieu du XX^{ème} siècle.

2.7.3.2. Fossés encore en utilisation durant la deuxième moitié du XX^{ème} siècle (fig. 94)

Dans la tranchée 17, les fossés parallèles F 17.05 et F 17.06 sont toujours présents sur la photographie aérienne de 1978 et absent des clichés de 2015. Leurs comblements et la suppression du talus est datée entre ces deux moments.

2.7.4. Structures d'époques indéterminées (fig. 94)

2.7.4.1. Structures avec du mobilier de plusieurs périodes (fig. 95)

Dans la tranchée 15, deux grandes fosses accolées d'environ 6 m de diamètre ont été mises en évidences. La fosse F 15.03 a été testée mécaniquement. Son comblement était très hétérogène (fig.95). A l'intérieur du mobilier varié a été trouvé (fer à cheval, clous, fragments de métal

récent). En surface de la fosse F 15.04, un nettoyage a permis la découverte de céramique à glaçure verte. Ce type de céramique a été récolté en surface lors du décapage dans ce secteur. Ce fragment peut donc très bien être inclus dans le comblement par accident, lors du rebouchage des structures. La fonction et la datation restent à déterminer.

2.7.4.2. Structures fossoyées

Plusieurs fossés n'ont pas pu être attribués à une période chronologique précise. Certains semblent fonctionner ensemble. Il s'agit des fossés de la tranchée 22. En effet, trois fossés parallèles (F 22.02, F 22.03 et F 22.04) ont été relevés. Les fossés F 22.03 et F 22.04 sont très rapprochés mais de profils différents (fig. 96). Enfin, le fossé F 22.02 se retrouve dans la tranchée 20 (F 20.01). Aucun mobilier associé ne permet une datation de ceux-ci.

Les autres fossés de la tranchée 22, F 22.01 et F 22.05, adoptent des orientations différentes. En l'absence de recoupement entre structures et de mobilier, une datation reste impossible.

Le fossé F 25.07 est parallèle aux fossés F 25.04, F 25.05 et F 25.06, à une distance assez importante. Il est difficile de le considérer comme appartenant à une même limite qui aurait glissé dans le temps.

Les fossés F 15.01, F 15.02 et F 18.01/24.02, n'apparaissent sur aucun des documents consultés. En l'absence de données, ces fossés ne peuvent pas être attribués à une période chronologique.

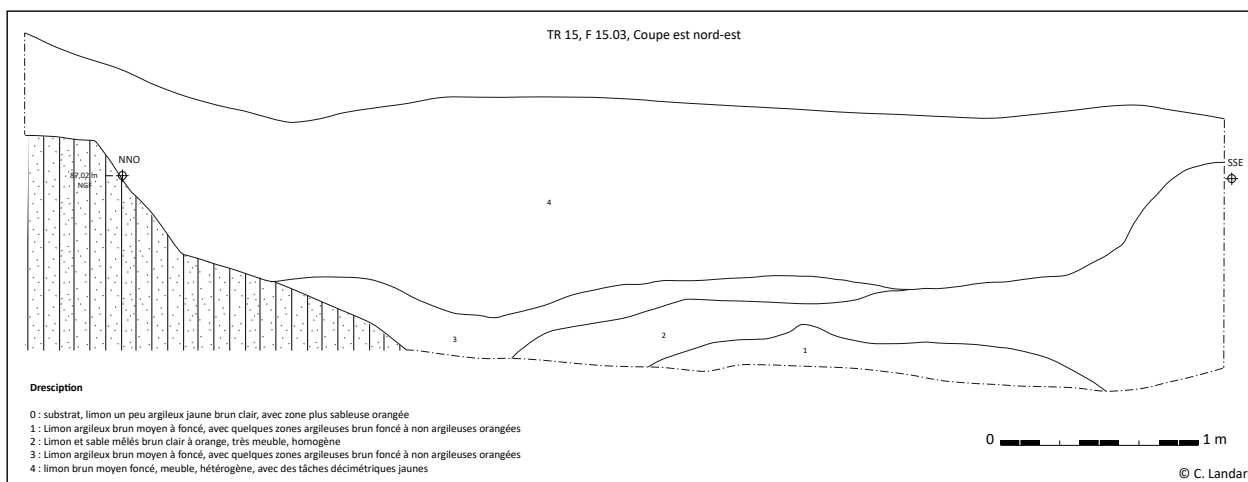


Figure 95 : Coupe de la grande fosse F 15.03 (C. Landart)

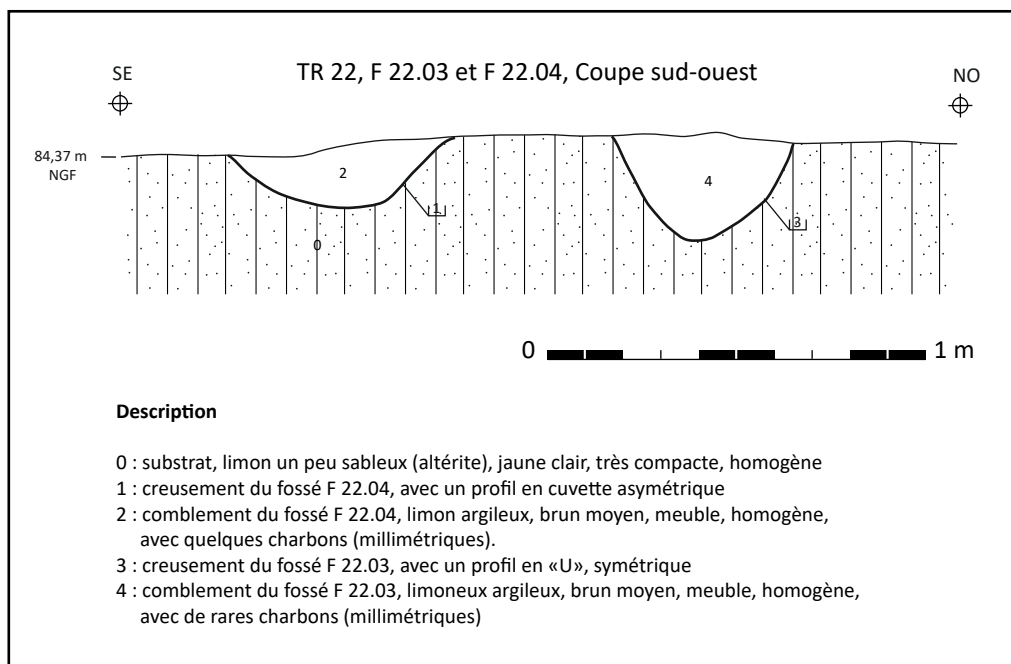


Figure 96 : Coupe des fossés F 22.03 et F 22.04 (C. Landart)

2.7.4.3. Fosses et trous de poteaux (fig. 94)

Trois structures isolées ont été repérées lors du décapage : les fosses F 18.02 et F 18.03, et les trous de poteaux F 24.01, F 17.01. Aucune donnée pouvant permettre une attribution chronologique n'a été recueillie.

2.7.5. Secteur 7 : conclusion

Hormis les fossés pouvant correspondre à des limites parcellaires visibles sur le cadastre napoléonien et les photographies aériennes du 20^{ème} siècle, aucune autre structure n'a pu être datée. L'absence d'organisation précise ne permet pas non plus de déterminer le type d'occupation du sol sur cette parcelle.

2.8. Secteur 8 : Lestréonec

2.8.1. Présentation générale

Sur ce secteur, une seule tranchée a été réalisée. Un log a été relevé au nord de celle-ci, dans un sondage profond (fig. 97). L'épaisseur de la terre végétale est d'environ 0,45 m, sous celle-ci un niveau brun-jaune de 0,25 m d'épaisseur apparaît. Il s'agit du niveau de pédogénéisation de la terre végétale. Sous celui-ci, le substrat apparaît à 0,72 m de profondeur. On a un premier niveau de substrat qui se compose de limon un peu argileux jaune, dans lequel les structures apparaissent lors du décapage. Sous celui-ci, à 1,45 m, un niveau qui correspondant à l'altération du socle, se compose de sable et d'argile de couleur jaune à jaune très pâle, parfois orangé.

2.8.2. Structures apparaissant sur le cadastre napoléonien et la photographie aérienne du milieu du XX^{ème} siècle (fig. 98)

La superposition des plans napoléoniens et des photographies aériennes anciennes permet de constater que les fossés parallèles F 27.06 et F 27.07 correspondent à une limite cadastrale et parcellaire (de type talus) visibles sur ces documents (fig. 98). Aucun mobilier associé n'a été trouvé.

2.8.3. Structures d'époques indéterminées (fig. 99)

2.8.3.1. Fossé F 27.01 (fig. 99)

• Description

Lors du décapage de la tranchée, un fossé large d'environ 0,40 m est apparu le long de la berme ouest. Une fenêtre complémentaire de ce côté a été réalisée et il s'interrompait sur un segment long d'environ 3,50 m et large d'environ 1,50 m en surface. Un sondage mécanique a été entrepris, permettant la mise en évidence d'un creusement en «U» légèrement asymétrique et d'un comblement brun orangé assez homogène (fig. 99).

• Mobilier

Trois fragments de céramique, dont deux qui recollent, ont été trouvés. L'un est un fragment de dimension 3,1 x 2,2 x 0,7 cm, de pâte de couleur gris à orangé sur l'extérieur, orange à gris foncé à l'intérieur et à coeur gris-noir. Les inclusions de quartz sont inférieures à 1 mm, et de nombreuses paillettes de mica sont visibles. Des traces de lissage sont présentes sur la face interne.

L'autre fragment mesure environ 2,0 x 1,0 pour une épaisseur de 1,1 cm. La pâte est de couleur orange à rosée avec des inclusions de quartz de 0,5 à 2 mm et paillettes de mica assez rares.

Ces fragments ne sont pas datés précisément. Ils permettent néanmoins d'envisager une période postérieure à l'âge du bronze et antérieure à l'Époque moderne. Aucune précision chronologique supplémentaire ne peut être apportée.

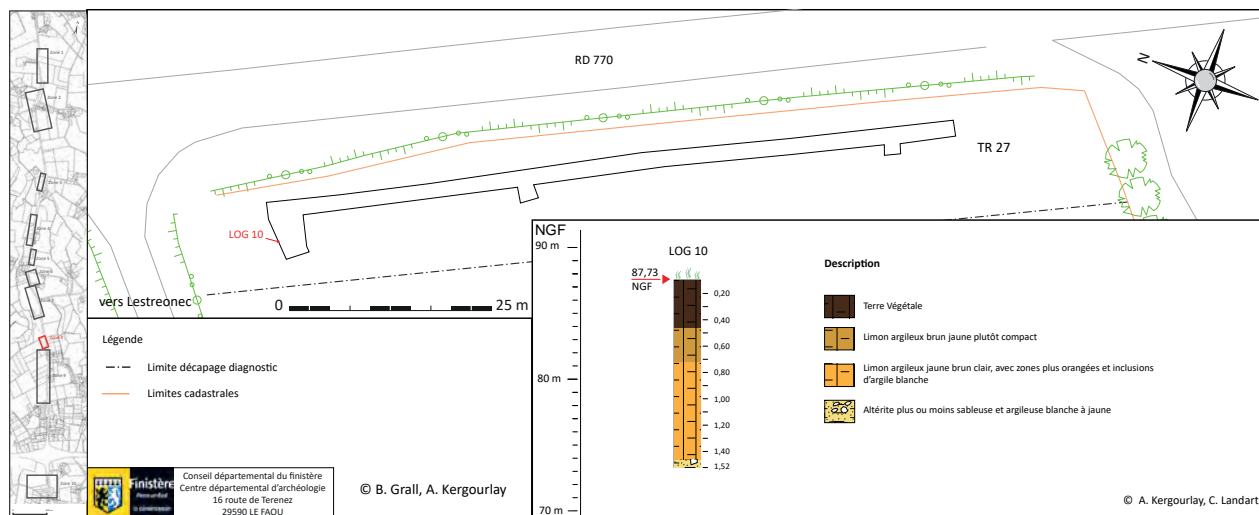


Figure 97 : Implantation et description du log du secteur 8 (B. Grall, DAO A. Kergourlay et C. Landart)

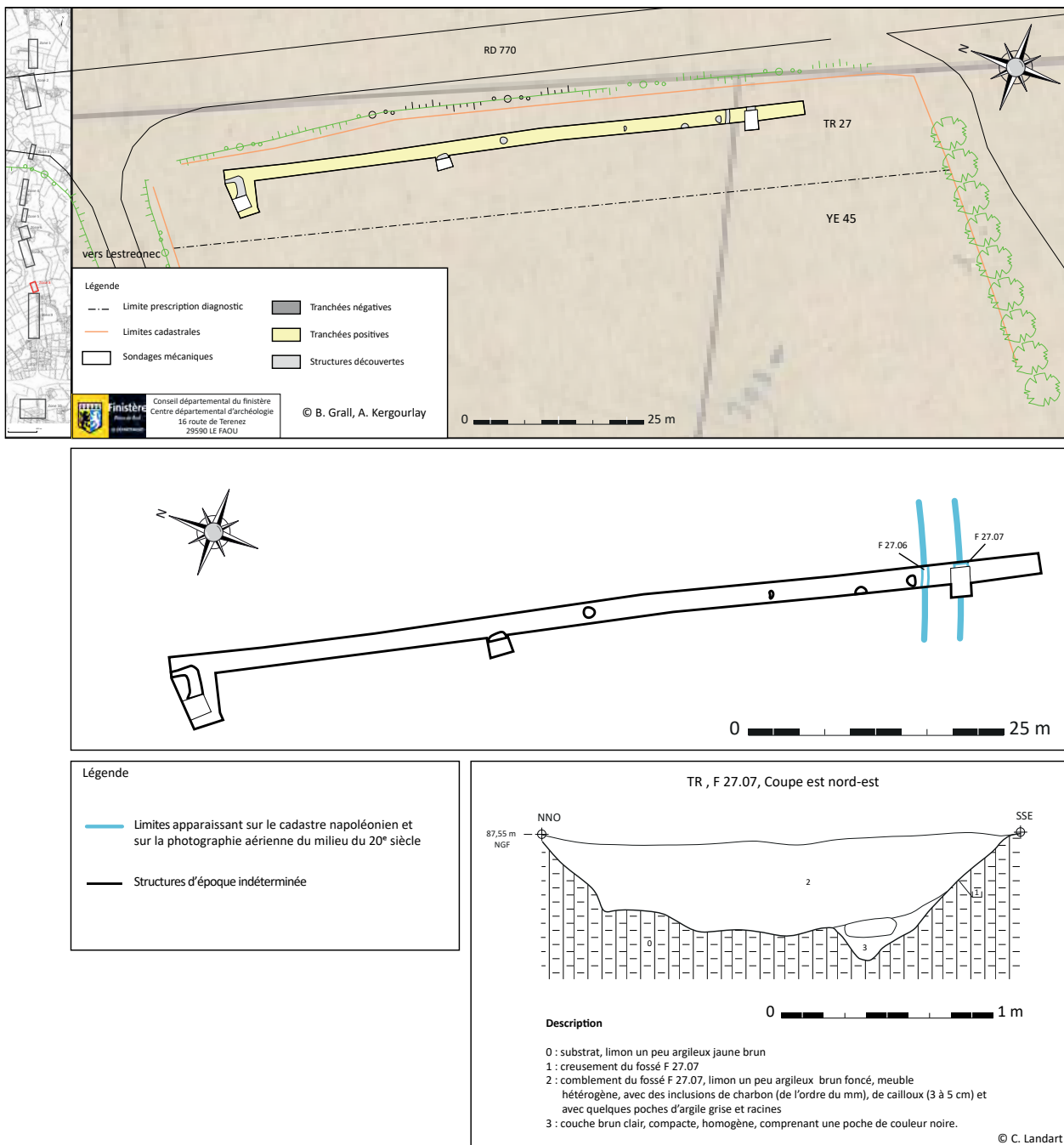


Figure 98 : Localisation des structures fossoyées apparaissant sur le cadastre napoléonien et les photographies aériennes du milieu du XX^{ème} siècle (B. Grall, DAO A. Kergourlay) et coupe fossé F 27.07 (C. Landart)

• Fossé F 27.01 : conclusion

Ce fossé s'interrompt côté ouest. La zone prescrite étant étroite sur ce secteur, et pour ne pas gêner l'accès, une ouverture complémentaire n'a pas été possible. Ce fossé, de forme particulière, n'apparaît pas sur les documents cadastraux anciens ni sur les photographies aériennes. Les fragments de céramique ne permettent pas non plus une

attribution chronologique précise. On pourrait être en présence d'une portion d'enclos, ou d'une interruption dans un parcellaire ancien, comme pour les fossés (F51.10 et 51.12), de la tranchée 51, dans le secteur 2.

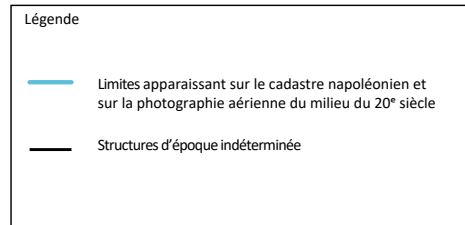
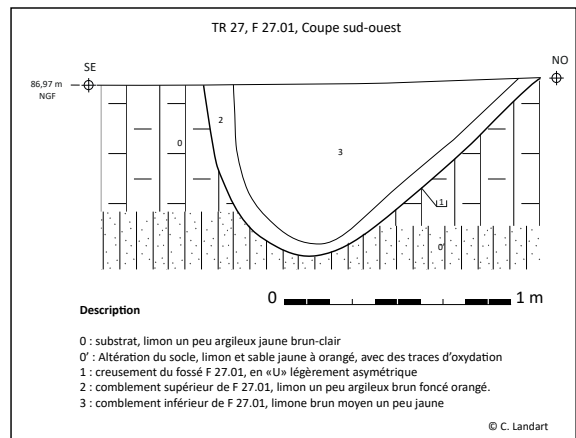
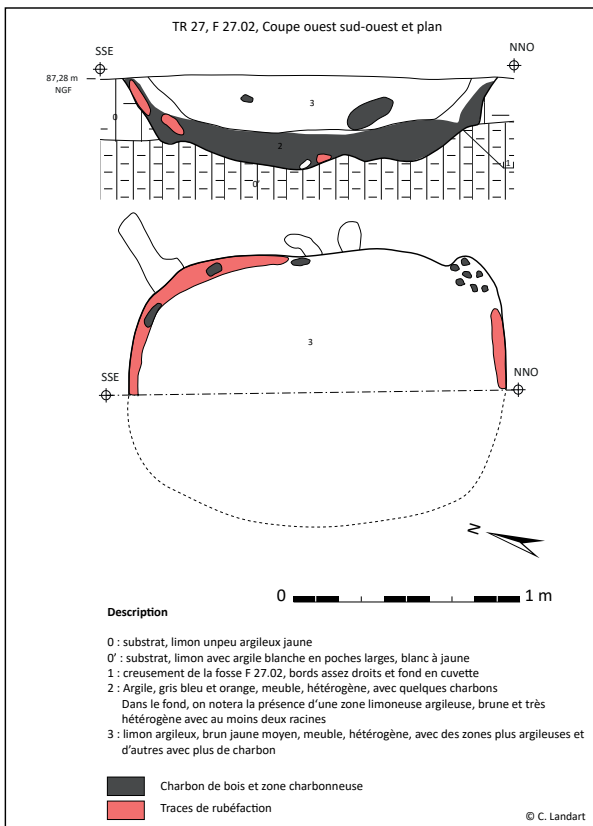
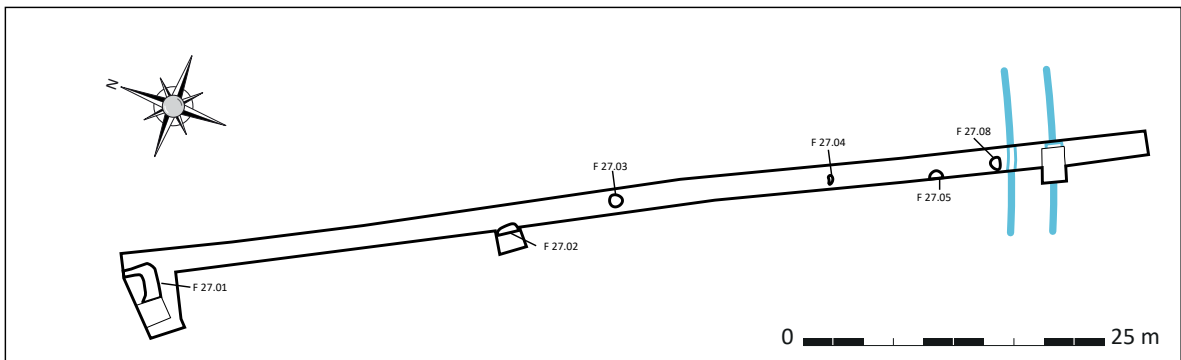
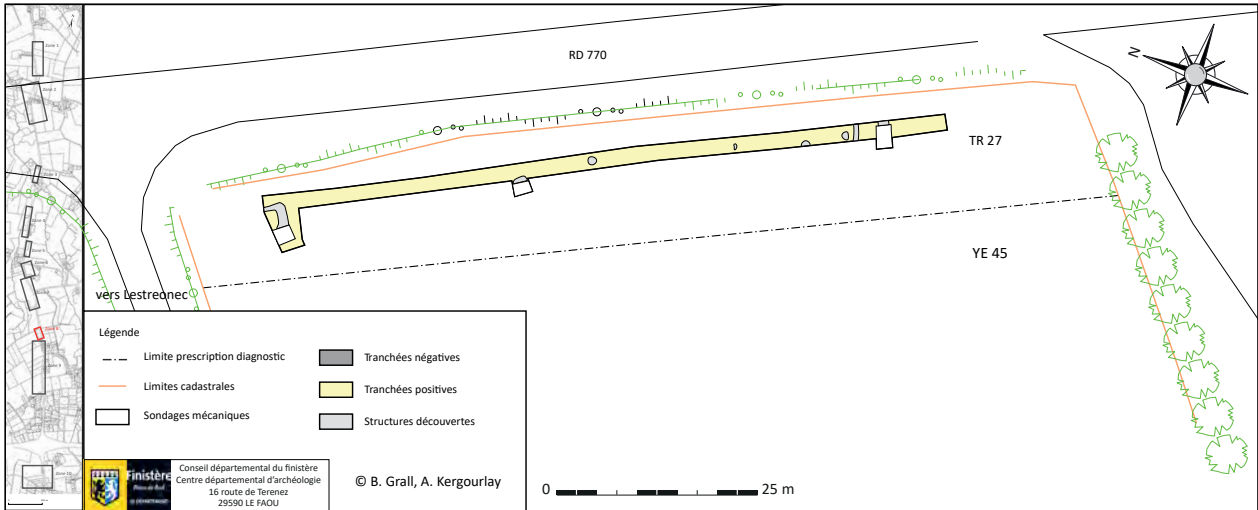


Figure 99 : Localisation des structures d'époques indéterminées (B. Grall et A. Kergourlay), coupe et plan de la charbonnière F 27.02 et coupe du fossé F 27.01 (C. Landart).

2.8.3.2. Structure de combustion F 27.02 (fig. 99 et 100)

• Description

De forme quadrangulaire à angles arrondis, avec des bords relativement droits et un fond en légère cuvette, cette structure mesurait 162 x 95 cm pour une profondeur d'environ 45 cm. Elle présentait deux types de comblements bien distinct. Un premier comblement que l'on retrouve dans le fond et sur les parois du creusement, était composé d'une argile gris bleu et orange, meuble, hétérogène, avec quelques charbons et des zones rubéfiées. Une accumulation importante de fragments de charbon mêlés à du limon brun tapissait le fond de la structures et remontait légèrement. Au centre de la fosse, le comblement final se composait de limon argileux, brun jaune moyen, meuble, hétérogène, avec des zones plus argileuses et d'autres avec une concentration plus importante de charbon.

• Interprétation

Des structures semblables ont été découvertes sur le site finistérien de Penn ar Roz à Châteaulin fouillé par E. Nicolas (Nicolas E., 2013). Plus proche de nous, deux autres sites ont permis la fouille de ce type de structures de combustion : celui de Leslouc'h à Plouedern fouillé par S. Blanchet (Blanchet S., 2013) et du Parcou, route de Kerno à Ploudaniel fouillé par C. Sévin-Allouet (Sévin-Alouette C., 2016). Sur ces sites, ces fosses sont interprétées comme liées à une activité de charbonnage.

Pour le site de Ploudaniel, un total de 47 fosses ont été fouillées partiellement ou entièrement. Trois catégories ont été définies : quadrangulaire, circulaire et rectangulaire à angles arrondis. Toutes livraient un comblement initial composé de limon brun-noir très charbonneux ou niveau quasi exclusivement composé de fragments de charbon. Des traces de rubéfaction étaient visibles dans le fond et sur les parois de la structure. Le comblement final était composé de limon brun jaune, parfois proche du substrat, avec la présence de quelques charbons et nodules rubéfiés d'argile ou limon. Une étude anthracologique a souligné une sélection précise des essences de bois (Paradis-Grenouillet *in* Sévin-Alouette C., 2016).

Pour le site de Châteaulin, cinq fosses ont été interprétées comme liées à une activité de charbonnage. La forte combustion constatée et l'accumulation de charbon de bois pur dans le fond ont orienté vers cette hypothèse. Une étude anthracologique a mis en évidence les stigmates spécifiques au charbon de bois (Seignac H., *in* Nicolas E., 2013). Il est également souligné que ce type de combustible devait sans doute être utilisé pour des activités liées à la métallurgie, car il permet d'atteindre des températures plus élevées contrairement au bois sec, utilisé plutôt pour les foyers domestiques (Nicolas E., 2013)

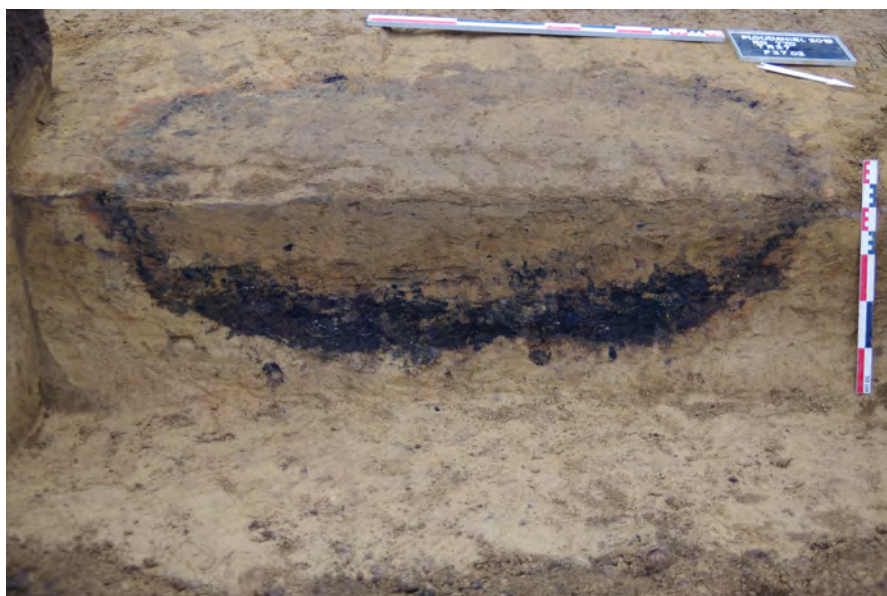


Figure 100 : Structure de chauffe F 27.02, coupe nord nord-est (A. Kergourlay)

Pour le site de Leslouc'h en Plouedern, les fosses étaient presque exclusivement de forme quadrangulaire (fig. 101). Tout comme pour les deux sites précédents, le comblement inférieur était exclusivement composé de charbon pur ou de limon très charbonneux. Le comblement supérieur était proche du substrat. Contrairement aux autres sites, l'archéologue souligne l'importance des chablis identifiés et/ou fouillés à proximité. L'activité de charbonnage se situant donc sur le lieu probable d'abattage (Blanchet S., 2013).

• Datation

La datation de ces structures sur les autres sites a été possible par la présence de quelques éléments céramique, et surtout par datation radiocarbone.

Pour le site du Parc, route de Kerno en Ploudaniel, hormis une fosse attribuée à l'âge du Bronze final (Mentele S., 2014), l'activité de charbonnage semble s'étaler entre le premier âge du Fer et le début de l'époque romaine (Sévin-

Alouette C., 2016).

Pour Plouedern, une datation radiocarbone situe cette activité entre le second âge du Fer et la période Antique (Blanchet S., 2013).

Enfin, pour le site de Châteaulin, deux fosses ont été datées par radiocarbone. Une première est datée à la transition entre le premier et second âge du Fer. Une seconde, dont la datation radiocarbone est complétée par un fragment d'amphore à engobe blanc, daterait plutôt du 1^{er} siècle de notre ère (Nicolas E., 2013).

Ces trois sites fournissent donc une fourchette chronologique assez homogène. En particulier les sites qui se trouvent à proximité du diagnostic de la RD 770. Il est donc envisageable que la fosse F 27.02 soit liée à une activité de charbonnage qu'on placerait dans une même fourchette chronologique, soit à la jonction entre l'âge du Fer et l'antiquité.

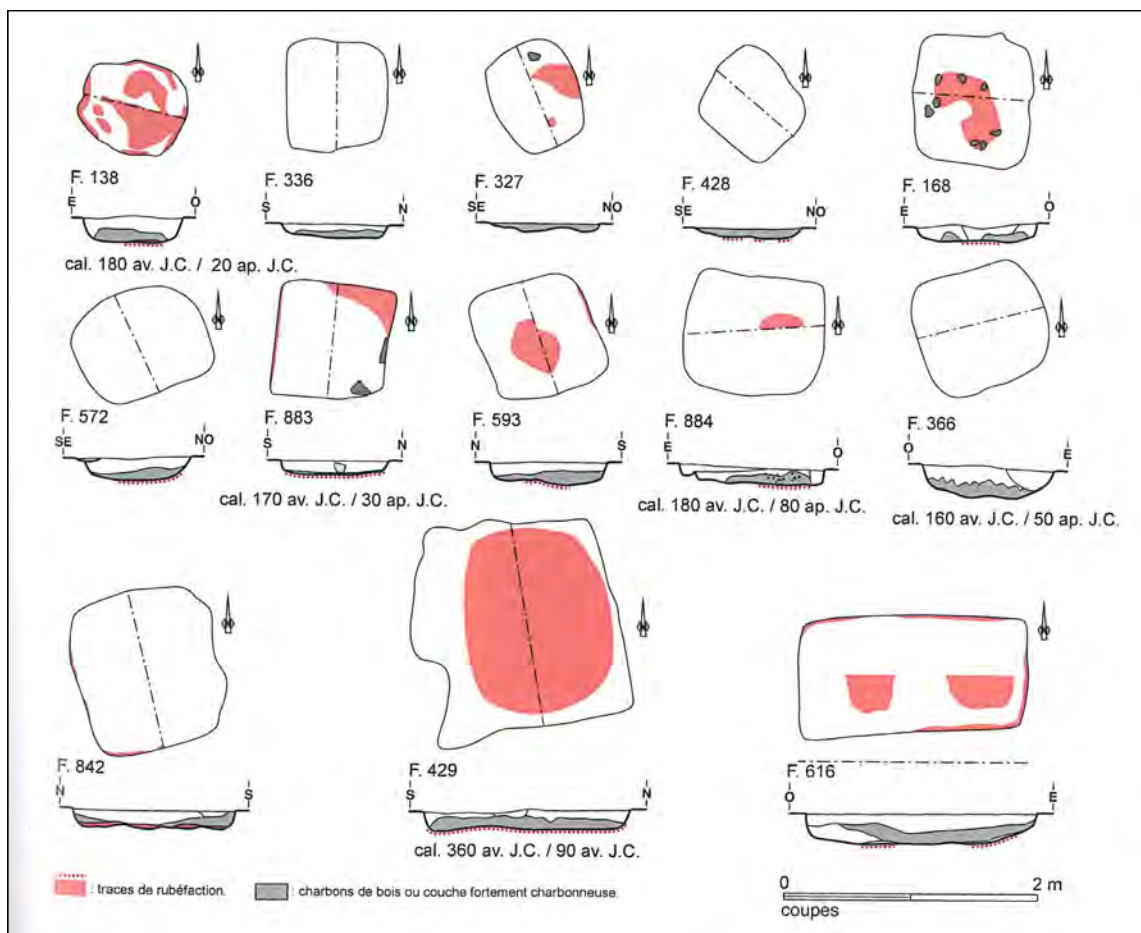


Figure 101 : Plan et coupes de charbonnières (INRAP, S. Jean, *in* Blanchet S., 2013)

2.8.3.3. Fosses et Trous de poteaux non testés (fig. 99)

- Fosse F 27.03

La fosse est plus ou moins circulaire et de diamètre égal à environ 1 m. Elle se composait en surface de limon argileux brun-jaune avec de nombreux petits charbons et des zones de rubéfaction. Aucun mobilier associé n'a été trouvé. Cette fosse ressemble au foyer F 27.02. Il pourrait s'agir d'une structure ayant la même fonction et de datation identique.

- Fosse F 27.04

La petite fosse est irrégulière et composée de limon argileux avec des poches argileuses blanches. Ce comblement ressemble au niveau de substrat argileux visible sous le foyer F 27.02. Dans son comblement quelques petits charbons ont été observés. Aucun mobilier associé ne permet une datation.

- Fosse F 27.05

La fosse se situe en partie sous la berme ouest à proximité de la fosse F 27.08 et des fossés apparaissant sur le cadastre napoléonien. Son comblement de surface se composait de limon argileux brun clair à jaune avec des poches limoneuses ou cendreuses de couleur blanc à gris. Comme pour la fosse F 27.03, on pourrait être en présence d'une structure de combustion identique à F 27.02 et de datation proche. Aucun élément mobilier ne permet une attribution chronologique précise.

- Fosse F 27.08

La fosse a un diamètre égal à 96 cm en surface. Son comblement présentait une couche de limon jaune brun et d'argile blanche. Elle peut être comparée, par son comblement, à la fosse F 27.04. Sa fonction reste indéterminée. Aucune mobilier associé ne permet une datation.

2.8.4. Secteur 8 : conclusion

La faible surface d'ouverture ne permet pas de conclure sur un type d'occupation. Hormis les fossés F 27.06 et F 27.07, qui peuvent être rattachés à des

limites parcellaires présentes au moins depuis le XIX^{ème} siècle, l'ensemble des autres structures ne peut faire l'objet d'une datation précise. Les deux tessons de céramique trouvés dans le fossé F 27.01 évoquent une période chronologique comprise entre le début de l'âge du Fer et la fin de la période antique.

Une même comparaison peut être mentionnée pour les fosses liées à une activité de charbonnage. Celle-ci permet d'émettre l'hypothèse d'une zone boisée à proximité et/ou d'artisanat de type métallurgique pour une même fourchette chronologique.

Si des aménagements sont prévus, le long de la nouvelle route RD 770, dans l'avenir, de nouvelles données seront vraisemblablement disponibles et permettront de compléter et de définir l'occupation aperçue dans ce secteur.

2.9. Secteur 9 : Penfrat - Mescoden

2.9.1. Présentation générale

Sur ce secteur, cinq tranchées ont été réalisées, et onze logs ont été relevés (fig. 102). En fonction de l'emplacement des logs, des différences ont été observées. Pour plus de compréhension, les logs sont décrits par tranchée.

Dans la tranchée 42, l'épaisseur de la terre végétale est d'environ 0,20 m. Sous celle-ci un niveau d'environ 20 cm composé de limon un peu argileux brun foncé apparaît. Il correspond au niveau de pédogénéisation de la terre végétale. Quelques charbons de tailles millimétriques ont été observés. Au niveau du log 18, une accumulation plus claire

vient s'intercaler entre les deux couches décrites au-dessus. Enfin, le substrat limoneux jaune à jaune brun apparaît entre 0,35 et 0,50 m de profondeur, en fonction de la topographie du site.

La tranchée 43, négative, a permis de visualiser des accumulations sédimentaires différentes du reste de la zone. Un sondage plus profond a donc été réalisé au niveau des logs 21 et 22. Sous la terre végétale et le niveau de pédogénéisation de celle-ci, le substrat limoneux jaune-brun apparaît à environ 0,60 m de profondeur. Sur le log 21, un niveau supérieur d'altération du socle granitique est apparu à 0,82 m de profondeur. Au niveau du log 22, une couche limoneuse brune a été relevée sous le substrat limoneux, épais de 0,25 m. Epaisse de 0,15 cm, elle n'a pas révélé de mobilier.

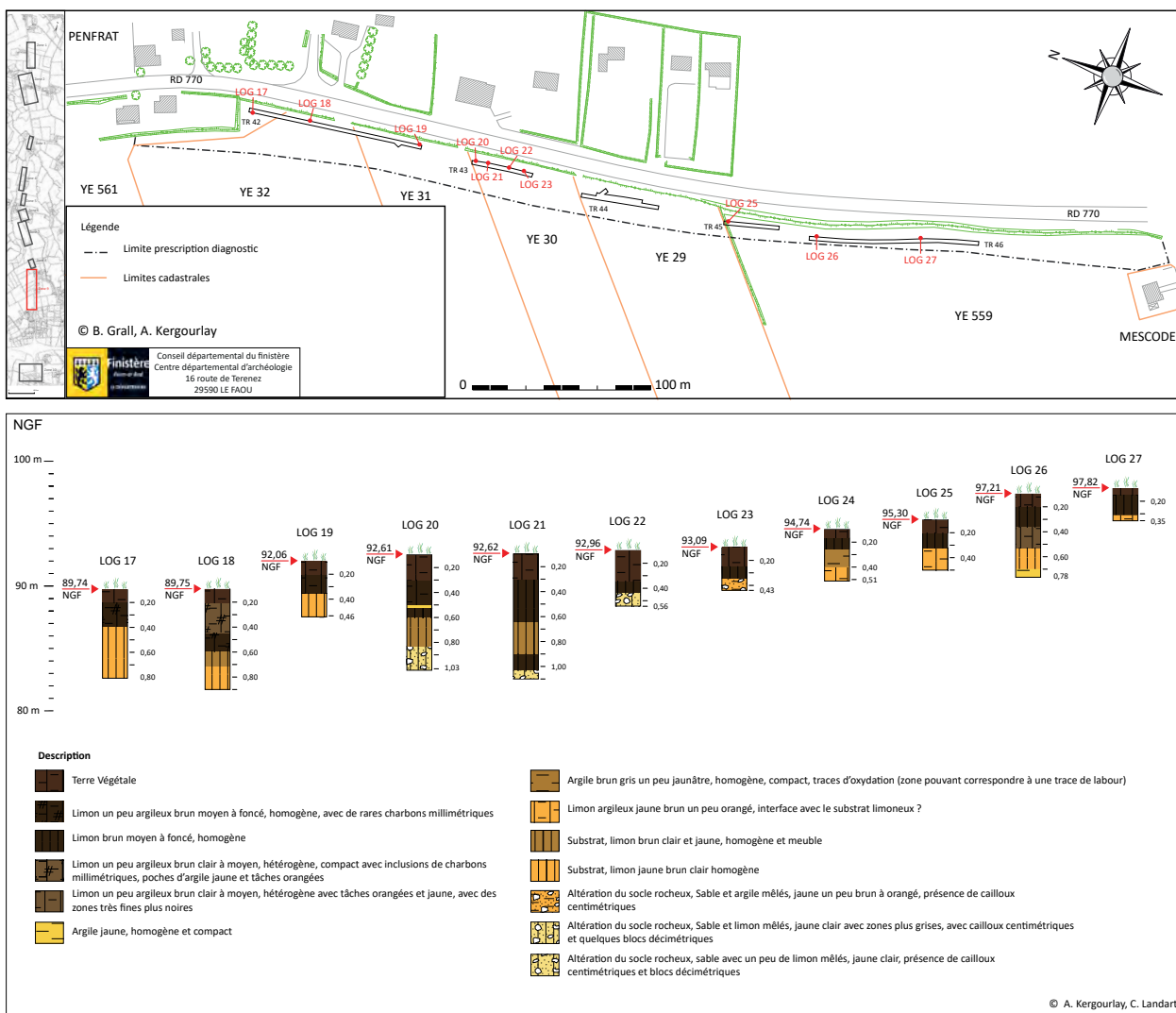


Figure 102 : Implantation et description des logs du secteur 9 (B. Grall, DAO A. Kergourlay et C. Landart)

Un nodule, de faible poids, brun rouge a été prélevé au décapage de cette couche. Après un léger nettoyage, il ressemblait à un morceau de bois oxydé (fig. 103). Celui-ci a été ramassé pendant la phase de décapage à environ un mètre de profondeur. On ne peut pas l'attribuer avec certitude à ce niveau à ce jour, une fouille manuelle n'ayant pas été mise en oeuvre. Sur ce log, le niveau d'altération du sol géologique apparaît à 1,05 m de profondeur. Sur les logs 23 et 24, de cette tranchée, celui-ci apparaît entre 0,35 et 0,45 m de profondeur. Ainsi, une légère dépression est visible sur cette parcelle au niveau des log 21 et 22. Celle-ci a pu permettre de piéger un hypothétique niveau de sol ancien (log 22). Cela reste à déterminer car le diagnostic n'a pas permis une analyse plus approfondie de ce niveau de limon brun.

Dans les tranchées 45 et 46, les logs permettent de visualiser une épaisseur de terre végétale d'environ 0,20 m. Sous celle-ci un niveau de limon brun foncé épais d'environ 0,15 à 0,20 m a été relevé. Le substrat apparaissait entre 0,30 et 0,50 m. Des niveaux argileux ont été observés sur les logs 24 et 26. Par comparaison avec les éléments vus lors du décapage des tranchées, ils correspondent à des traces de labour ponctuellement plus profondes.

2.9.2. Structures apparaissant sur le cadastre napoléonien et présentes sur la photographie aérienne du milieu du XX^{ème} siècle (fig. 104)

En superposant le cadastre napoléonien de 1819, la photographie aérienne prise au milieu du XX^{ème} siècle et le plan topographique du diagnostic, plusieurs fossés correspondent à des limites parcellaires présentes dès le XIX^{ème} siècle et toujours visibles au XX^{ème} siècle. Il s'agit des fossés F 42.03, F 42.04, F 42.06, F 42.07, dans la tranchée 42, ainsi que des fossés de la tranchée 44, F 44.11 et 44.07. Ces limites disparaissent durant la seconde moitié du XX^{ème} siècle.

2.9.3. Structures du XX^{ème} siècle

2.9.3.1. Grande fosse F 44.02 (fig. 104)

Une grande fosse, dont le diamètre était d'environ 4 m, a été découverte dans la tranchée 44. La visualisation des photographies aériennes de 2012 et 2015 montre clairement la présence d'un poteau électrique ou de télécommunication à cet emplacement.

2.9.3.2. Traces de labours F 44.06 et F 44.08

Des fossés étroits et recoupant les fossés de parcellaire du XIX^{ème} et XX^{ème} siècles ont été relevés. Aucun test n'a été fait au vu de la présence, dans leur comblement, d'un sédiment violacé à rose. L'irrégularité de leur creusement et leur largeur réduite nous amènent à penser qu'il s'agit vraisemblablement de traces de labours.



Figure 103 : Photographie des deux fragments probables de bois oxydé (A. Kergourlay)

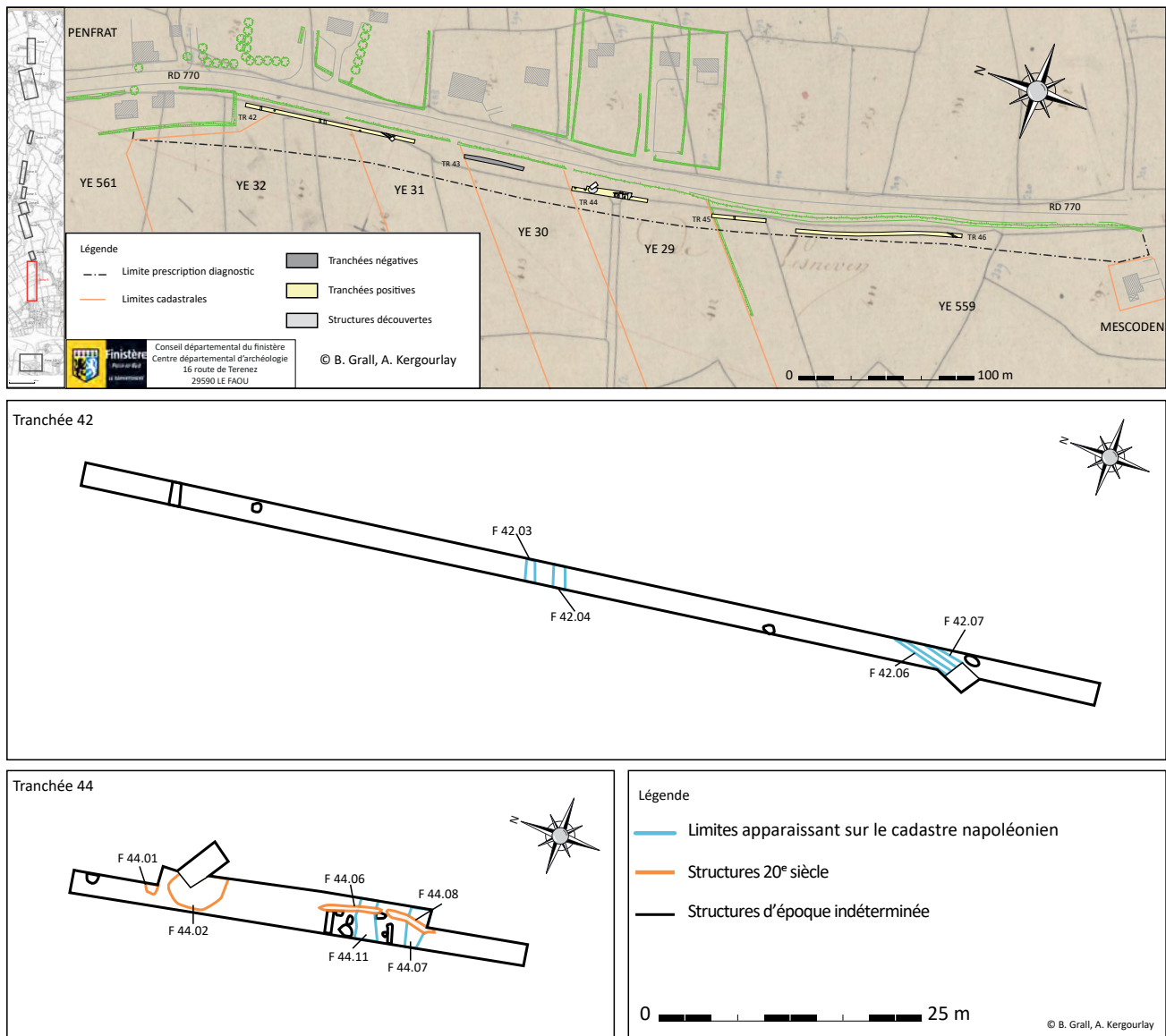


Figure 104 : Localisation des structures fossoyées apparaissant sur le cadastre napoléonien et les photographies aériennes du milieu du XX^{ème} siècle (B. Grall, DAO A. Kergourlay)

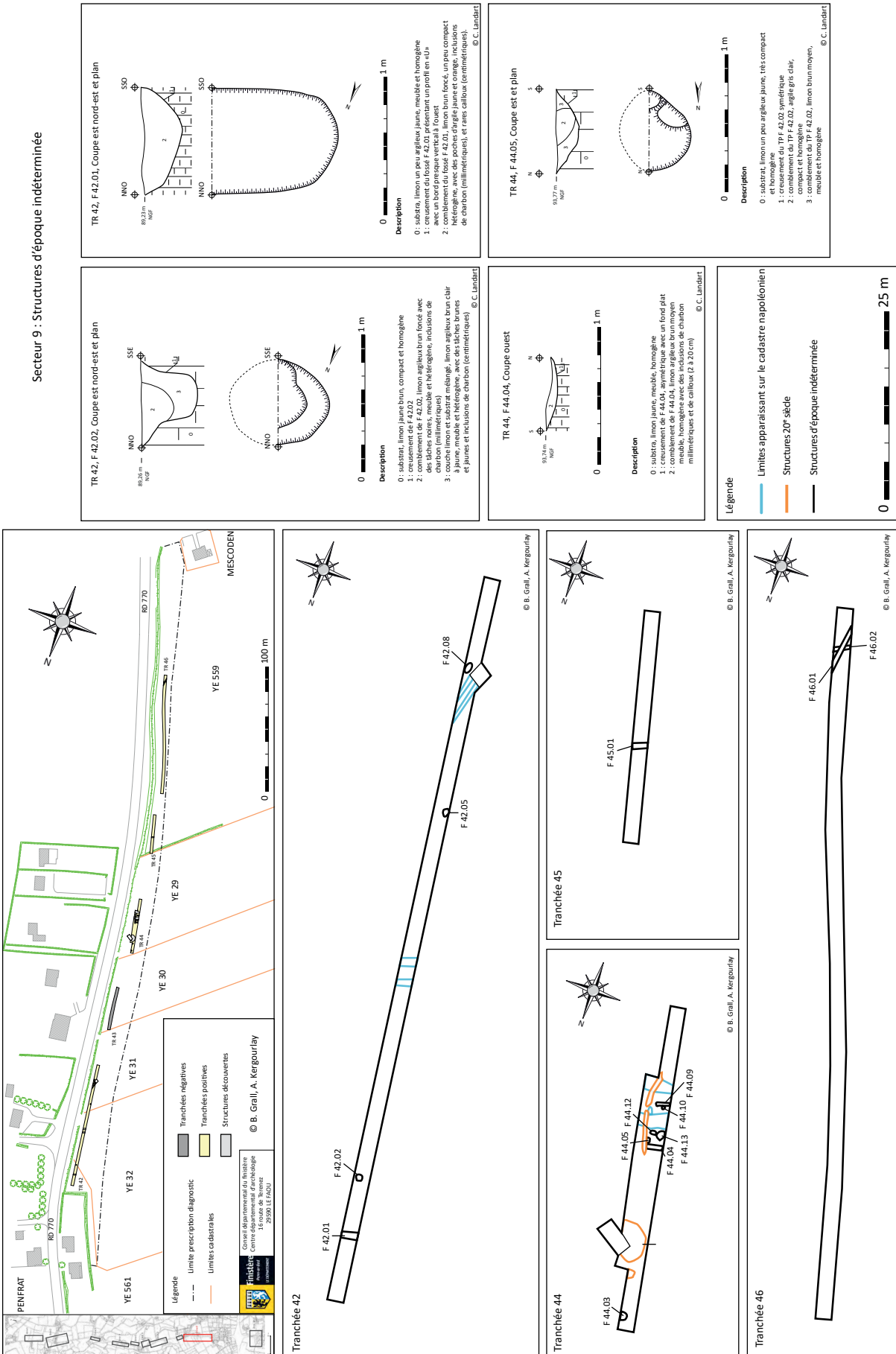


Figure 105 : Localisation des structures d'époques indéterminées (B. Grall et A. Kergourlay), coupes et plan des structures F 42.01, F 42.02, F 44.04 et F 44.05 (C. Landart)

2.9.4. Structures d'époque indéterminée (fig. 105)

2.9.4.1. Fossés comblés d'argile

Trois fossés comblés d'argile, quasiment pure, blanche à jaune pâle ont été inventoriés. Il s'agit du fossé F 42.03 (ancien fossé de parcellaire), et des fossés F 46.01 et F 46.02. Aucun test n'a été effectué, ce type de comblement est vraisemblablement récent (en particulier pour F 42.03). Cela nous oriente peut être vers la présence de réseaux du XX^{ème} siècle.

2.9.4.2. Poteaux et fosses

Plusieurs fosses et trous de poteaux ont été inventoriés. Hormis les trous de poteaux F 42.02 et F 44.05, les autres structures de même type n'ont pas fait l'objet d'une fouille manuelle. En l'absence de mobilier en surface ou de recoupement avec d'autres structures, il reste impossible de déterminer leurs fonction et datation.

Le trou de poteau F 42.02 avait un diamètre de 0,68 m pour une profondeur conservée de 0,42 m (fig. 105). Il avait un creusement relativement symétrique avec des parois verticales. Deux comblements bien distincts ont été relevés. Dans le fond, il y avait un limon brun mêlé au substrat avec des fragments de charbon centimétriques assez rares. Le second comblement était limoneux brun foncé avec de nombreux fragments de charbon de tailles millimétriques. Ce dernier peut correspondre à l'emplacement d'un ancien poteau. Aucun mobilier n'a été collecté. Isolé et sans mobilier, la fonction exacte de ce poteau et sa datation restent indéterminées.

Le trou de poteau F 44.05 était recoupé par les structures F 44.06 et F 44.08 (labours ?). Son creusement en cuvette régulière avait un comblement composé en surface d'une argile gris blanc homogène et compact et dans le fond et sur les bords d'un limon brun moyen (fig. 105). Aucun mobilier n'a été trouvé, il reste donc difficile de la dater.

2.9.4.3. Fossés à fonction et datation incertaines

Les fossés F 44.04 et F 44.09 sont parallèles aux fossés F 44.11 et F 44.07, qui apparaissent

sur le cadastre napoléonien. Très arasés (fig. 105), ils pourraient correspondre également à cette même limite, qui se serait déplacée dans le temps. L'absence de mobilier ne permet pas une attribution chronologique.

Le fossé F 42.01, large d'environ 0,80 m a été testé. Il s'agit d'une interruption de fossé peu profonde (0,30 m) et d'orientation globale est-ouest, proche des fossés F 42.03 et F 42.04. Il pourrait correspondre à une limite parcellaire aujourd'hui disparue. Ce fossé n'apparaît sur aucun document du XIX^{ème} et XX^{ème} siècles. Sa fonction et sa datation restent indéterminées.

Le fossé F 45.01, isolé dans la tranchée 45, était étroit et de comblement composé de limon brun clair. Sa fonction (limite de parcelle ? fossé de drainage ?) et sa datation restent indéterminées.

2.9.4.4. Chablis

Après nettoyage, les structures F 44.12 et F 44.13 se sont révélées être une seule entité. La forme et le type de comblement orientent vers l'hypothèse d'un chablis.

2.9.5. Secteur 9 : conclusion

Hormis les fossés appartenant à un parcellaire et la fosse de l'ancien poteaux électrique, aucunes des autres structures présentes dans ce secteur ne peut être attribuées à une période chronologique, même large. La fonction exacte, dans un ensemble, n'a pas été possible non plus.

2.10. Secteur 10 : Saint-Eloi

2.10.1. Présentation générale

Sur ce secteur, dix tranchées ont été réalisées, ainsi que trois logs (fig. 106). L'épaisseur de la terre végétale est comprise entre 0,25 et 0,50 m. Elle est plus épaisse au niveau du log 2 (tranchée 29) qui se situe en bas de pente. Sous celle-ci un niveau de pédogénisation de la terre végétale de couleur brun-moyen jaune épais de 0,15 à 0,25 m a été constaté dans tous les logs. Enfin le substrat, composé de limon jaune à jaune-brun a été visualisé entre 0,50 et 0,60 m de profondeur. L'ensemble des structures du secteur 10 apparaissent au décapage dans ces niveaux.

2.10.2. Les contraintes de cette zone

Une absence quasi totale de mobilier archéologique a rendu la datation des ensembles difficile. Celle-ci s'appuie donc essentiellement sur la chronologie relative entre les structures, lorsqu'elle existe, et sur la comparaison avec les sites proches du secteur, à l'est de Saint-Eloi : Rest-Keroland et Leslouc'h (Plouedern) pour lesquels plusieurs opérations de diagnostics et de fouilles préventives ont été réalisées depuis 2006 (Mentele S., 2006; Blanchet S., 2013 ; Mentele S., 2015 a et b).

Une autre contrainte est l'étroitesse de certaines portions de l'emprise, surtout celles au niveau des tranchées 37 et 34. Une ouverture complémentaire n'a pas toujours été possible.

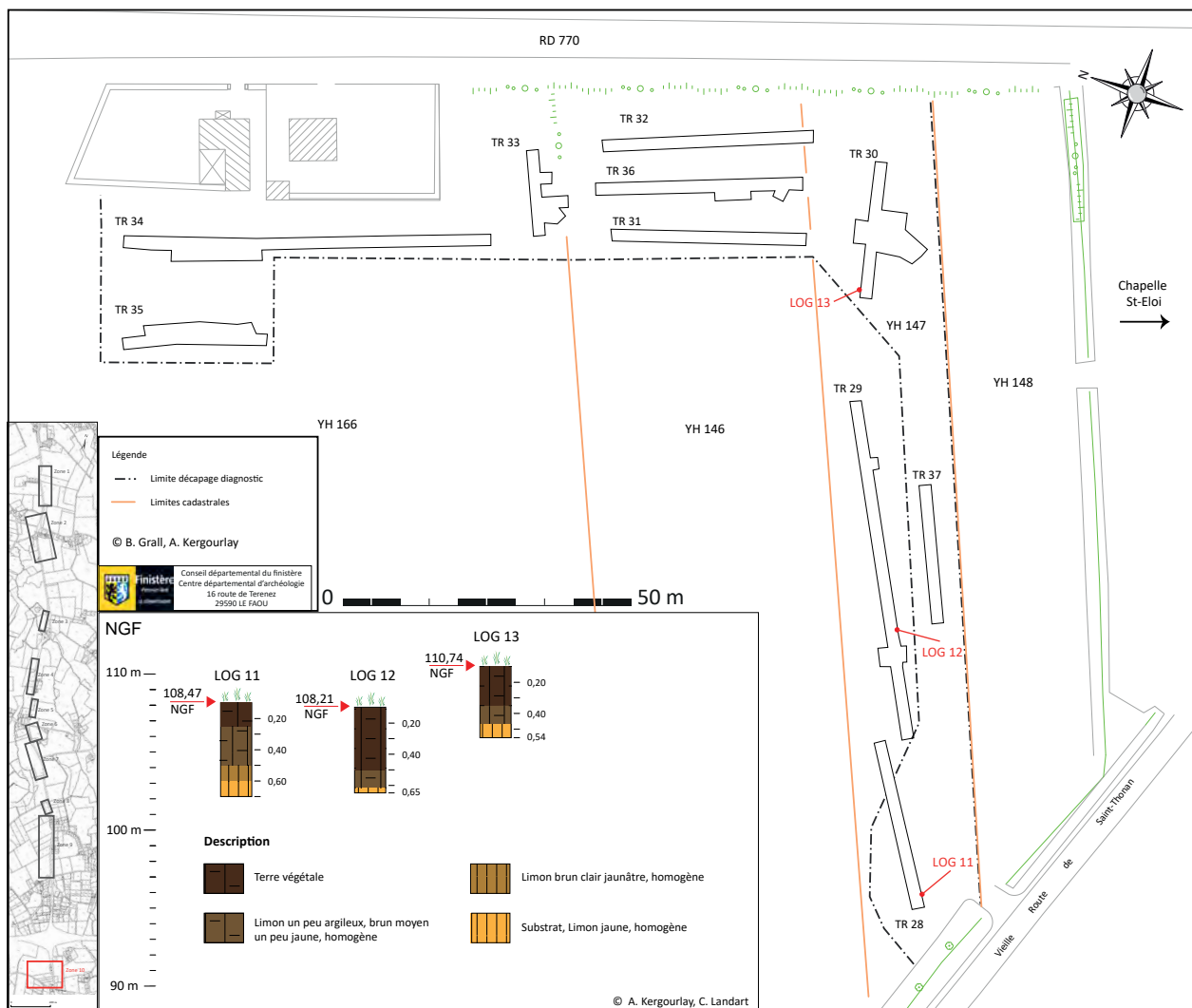


Figure 106 : Implantation et description des logs du secteur 10 (B. Grall, DAO A. Kergourlay et C. Landart)

2.10.3. Structures apparaissant sur le cadastre napoléonien et présentes sur la photographie aérienne du milieu du XX^{ème} siècle (fig. 107)

Une seule limite, visible sur le cadastre napoléonien et la photographie aérienne du milieu du XX^{ème} siècle, apparaît dans la zone de prescription, il s'agit des fossés F 29.18 et F 29.20. Ils sont parallèles et devaient encadrer un talus. Ces fossés sont les seuls que l'on peut dater. Leur présence est attestée dès 1819, date de réalisation du cadastre napoléonien de Ploudaniel.

D'autres fossés sont parallèles à ceux-ci. Il s'agit des fossés F 29.13, et des fossés rapprochés (chemin ?) F 29.10 et F 29.11. Ces deux derniers se retrouvent dans la tranchée 37 : F 37.07 et F 37.08. Il reste difficile de les attribuer avec certitude avec cette même limite parcellaire, mais ils ne semblent pas fonctionner avec d'autres structures environnantes. Il est donc probable qu'ils correspondent à un léger mouvement dans le temps de cette limite du cadastre ancien.

2.10.4. Fossés liés à un parcellaire plus ancien et récent (fig. 107)

2.10.4.1. Fossés du XX^{ème} ou XXI^{ème} siècles (fig. 107)

Deux fossés parallèles dans la tranchée 34, F 34.08 et F 34.09, ont une orientation identique aux limites parcellaires du cadastre de Ploudaniel de 2017. De plus, ils sont dans l'alignement de la limite sud de la zone d'habitation présente sur le secteur. Il est donc fort probable que ces fossés soient du XX^{ème} ou XXI^{ème} siècle.

2.10.4.2. Fossés lié à un parcellaire antique ? (fig. 107)

Deux fossés parallèles ont été repérés dans les tranchées 31, 32 et 36 : F32.09/36.10/31.20 et F 32.08/36.09/31.18. Leurs orientations ne correspondent pas à un des limites parcellaires connus pour le XIX^{ème} ou le XX^{ème} siècle. Une projection et un comparaiso n avec des structures fossoyées de Rest-Kerolland (fig. 108) (Mentele S., 2015a), nous permet d'émettre l'hypothèse que les fossés du secteur de Saint-Eloi appartiennent à un ensemble plus vaste de l'Antiquité. En effet, les fossés datés de cette période présentent une orientation identique qui semble continuer vers la

RD 770 et peut-être au-delà, soit dans le secteur 10. Cela reste une hypothèse, seule une fouille plus complète et une datation des fossés de Saint-Eloi permettra de la confirmer ou non.

D'autres fossés semblent quasi perpendiculaires aux fossés des tranchées 31, 32 et 36 (fig.107). Il s'agit des fossés des tranchées 29 et 37 : F 29.08/F 37.03 et F 29.09/F 37.04. Nous ne pouvons à ce jour avancer une datation pour ceux-ci. Fonctionnent-ils avec les fossés potentiellement Antique des tranchées 31, 32 et 36 ? Seule une fouille et une datation de ceux-ci nous permettront de comprendre les interactions possibles entre eux.

2.10.5. Anomalie semi-circulaire du parcellaire et fossés F 30.02, F 32.17, F 36.02 et F 28.04.

2.10.5.1. Description (fig. 109)

Le cadastre et la photographie aérienne du milieu du XX^{ème} siècle montrent une limite parcellaire en arc de cercle. Elle ne correspond ni à la présence d'une anomalie géologique, ni à l'écoulement d'un cours d'eau. Elle peut donc illustrer la fossilisation, dans le paysage, d'un parcellaire ancien, voire d'un enclos.

En étudiant ses relations possible avec les structures découvertes lors du décapage, cette anomalie pourrait être en lien avec le fossé qui apparaît dans les tranchées 30, 32 et 36 (F 30.09, F 32.17 et F 36.02). En extrapolant, le fossé F 28.04 pourrait aussi participer à cet ensemble.

2.10.5.2. Mobilier céramique

Dans la tranchée 30, lors du nettoyage de surface de F 30.09, un fragment de céramique a été découvert. Il s'agit d'un petit tesson (3,1 x 2,4 x 0,9 cm) à pâte brun gris sur l'extérieur, beige avec zone noire à l'intérieur et gris foncé à noir à coeur. La pâte est moyennement grossière avec des inclusions visibles de quartz de 0,5 à 2 mm et fréquentes paillettes de mica. Ce fragment n'est pas suffisant pour déterminer une période chronologique bien définie. Ce type de pâte semble plus caractéristique de la protohistoire, mais il n'est pas exclu qu'il appartient à une poterie commune d'époques postérieures (Antiquité ? Moyen Âge ?).

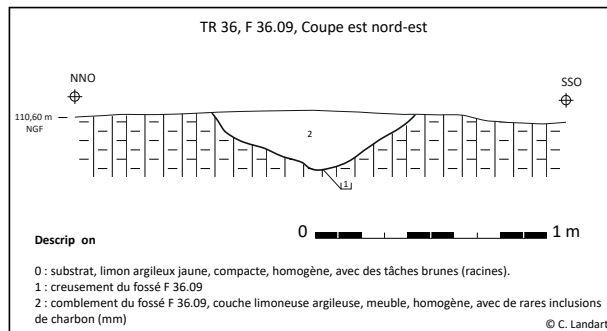
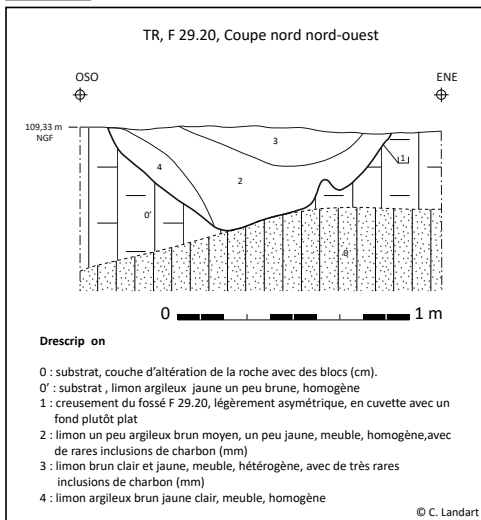
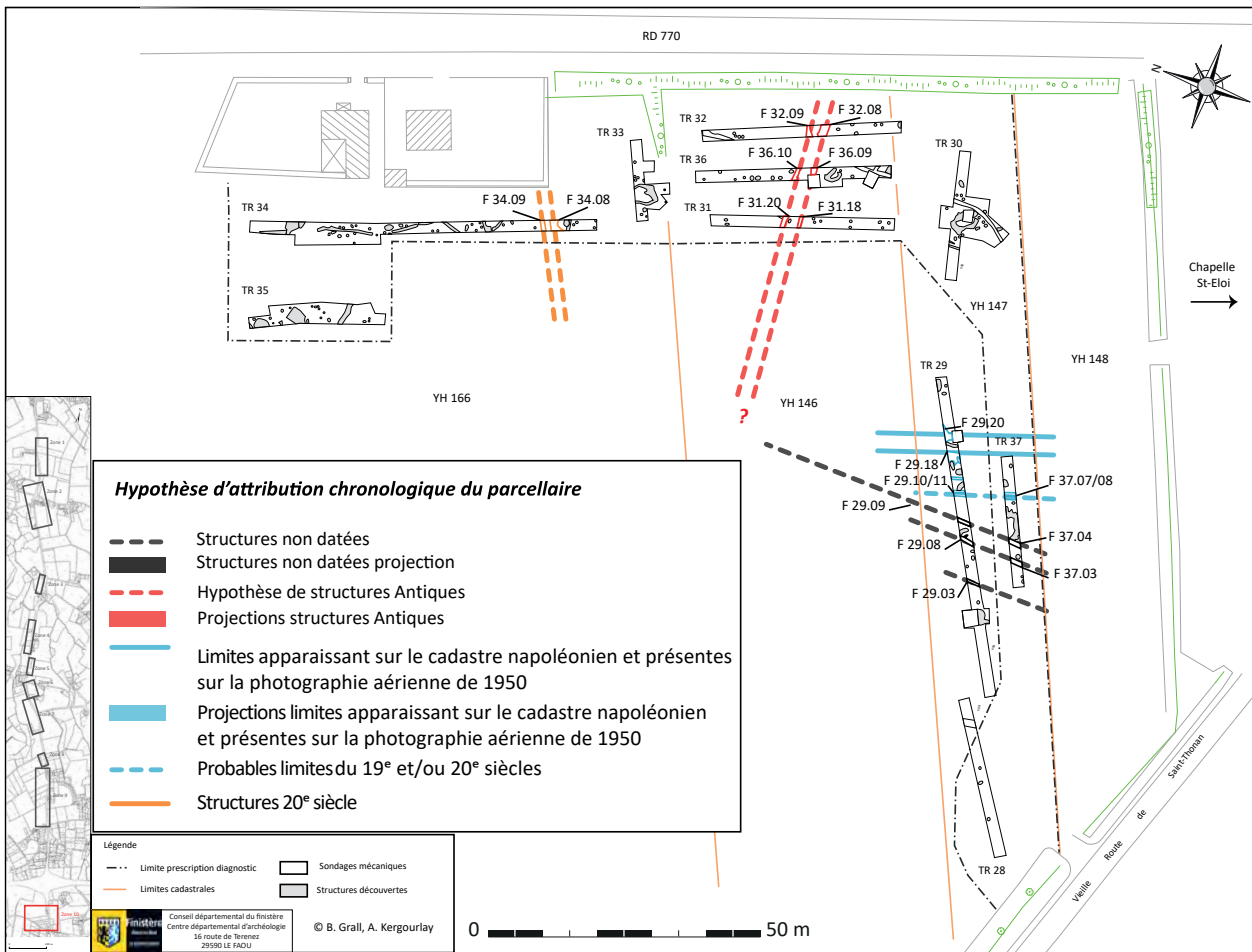
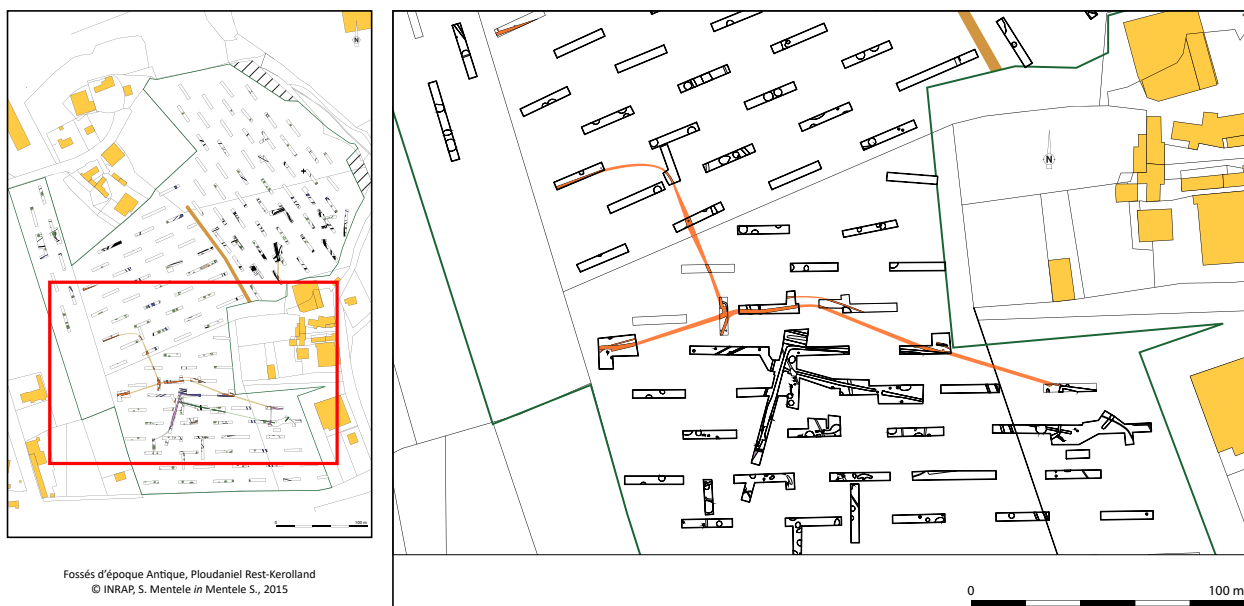


Figure 107 : Fossés de parcellaires anciens et récents (B. Grall, A. Kergourlay et C. Landart)



Fossés d'époque Antique, Ploudaniel Rest-Kerolland
© INRAP, S. Mentele in Mentele S., 2015

Figure 108 : Fossés datés de l'Antiquité du diagnostic de Rest-Kerolland (*in* Mentele S., 2015a)

2.10.5.3. Comparaisons

L'hypothèse d'un enclos sur ce secteur n'est pas impossible au vu des découvertes faites sur Plouedern Leslouc'h (Blanchet S., 2013), mais surtout, immédiatement de l'autre côté de la RD-770, du site de Plouedern Rest-Kerolland (Mentele S., 2015a). Il a une orientation globale nord-sud, qui peut correspondre aux orientations de certains systèmes fossoyés protohistoriques, comme le système fossoyé 3 de Plouedern Leslouc'h, ou encore celui de Ploudaniel route du Kernou, Le Parcou (Sévin-Allouet C., 2016), qui ont des orientations quasi nord/sud. Cela reste à vérifier plus largement, ces fossés correspondent seulement à des portions d'ensembles vraisemblablement plus vaste. L'orientation n'est pas, non plus, incompatible avec celles de systèmes fossoyés et enclos de l'époque médiévale. Cela est particulièrement flagrant avec l'enclos du Haut Moyen Âge du secteur 2 du site de Plouedern Rest-Kerolland (Mentele S., 2015a) qui a une orientation globale nord/sud. En effet, il adopte une forme plus courbe, que les enclos de l'âge du Bronze de Ploudaniel Leslouc'h, et plus proche de l'enclos qui semble se dessiner sur le secteur de Saint-Eloi du diagnostic de la RD-770.

2.10.5.4. Structures associées ? (fig. 109)

Le grand fossé défini par les structures F 30.09, F 32.17 et F 36.02, avait une intersection avec le fossé (ou fosse) F 36.03. Il n'a pas été vu à la fouille de

recoupement entre les deux, l'hypothèse est celle de fossés fonctionnant ensemble. Un décapage plus large permettrait de mieux déterminer le rôle de F 36.03 par rapport au fossé d'enclos.

Enfin un trou de poteau (F30.18), testé en même temps que le fossé F 30.09, présentait un comblement proche du fossé. Un fonctionnement contemporain est supposé (fig. 109).

2.10.5.5. Bilan

Cette anomalie visible dans le parcellaire du XIX^{ème} et XX^{ème} siècles semble trouver des correspondances avec des structures découvertes lors du diagnostic. Cela nous permet d'émettre l'hypothèse de la présence d'un enclos. La datation de celui-ci reste indéterminée, nous pouvons simplement avancer qu'il est antérieur au XIX^{ème} siècle. Hormis un fossé qui vient se placer perpendiculairement à F 36.02, et un trou de poteau, il n'a pas été possible de trouver d'autres structures pouvant être contemporaine à cet enclos. En l'absence de relations stratigraphiques et de datation il n'a pas été possible de déterminer le type d'occupation liée à l'enclos.

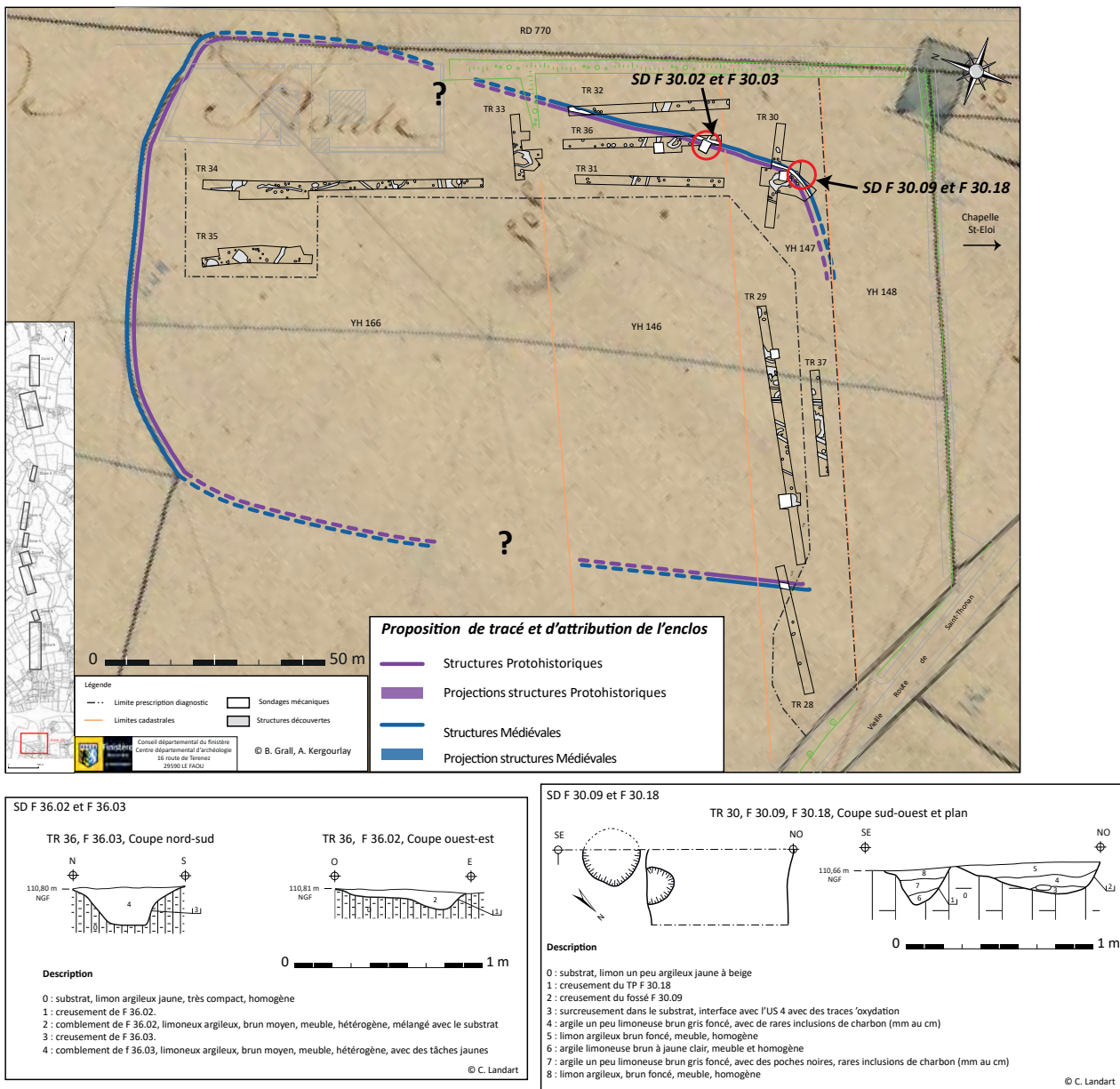


Figure 109 : Anomalie dans le parcellaire et association possible avec des portions de fossés découvertes lors du diagnostic. Un enclos protohistorique ou médiéval ? (B. Grall, A. Kergourlay et C. Landart)

2.10.6. Un système de palissade de l'âge du Bronze ?

Dans la tranchée 34, un ensemble de fossés étroits, parfois terminés par des trous de poteaux, a été découvert. Dans la zone sud de la tranchée ces fossés adoptaient une orientation est-ouest et semblaient se connecter deux à deux (ex : F 34.21, fig. 111). Dans la zone nord, un long fossé qui s'interrompait à plusieurs reprises (F34.32) et caractérisé par un trou de poteau, à chaque extrémité, a été testé au niveau de deux interruptions. Ce fossé était composé plusieurs petits creusements circulaires, probable empreintes de poteaux. Ces structures

sont les témoins de l'aménagement d'une palissade, peut-être doublé par d'autres piquets ou poteaux (fig. 111). En effet plusieurs empreintes s'installent le long de F 34.32.

Les interruptions peuvent être des passages aménagés dans la clôture ou palissade. La forme plus ou moins circulaire des structures, côté sud, n'est pas incompatible avec la présence d'une palissade. En effet, il peut s'agir d'aménagements particuliers pour des activités liées à l'élevage (faciliter le comptage ou le parquage des bêtes pour diverses raisons).

Il est très difficile de dater ce type d'aménagement. Des exemples sont bien connus pour la période de l'âge du Bronze dans la région. Comme ceux de Caudan Pen Lec'h dans le Morbihan (Levan M., 2016), ou encore celui de Quimper Penencreac'h (Le Bihan J.-P., 1993). Ce dernier présente d'ailleurs des alignements de poteaux avec des aménagements en arc de cercle. Il n'est pas exclu que ces structures, témoins d'une palissade ou clôture, soient plus récentes dans le temps, au vu des découvertes à proximité immédiate de Ploudaniel Rest-Kerolland et Leslouc'h. En effet, en plus d'une importante occupation de l'âge du Bronze, des vestiges denses de la période médiévale ont été découverts (Blanchet S., 2013 ; Mentele S., 2015a).

2.10.7. Occupation liée à l'activité de charbonnage ? (fig. 110)

Dans la tranchée 34, une structure de chauffe très arasée a été testée. Elle a les mêmes caractéristiques que la fosse liée au charbonnage du secteur 8 (voir *supra*). En effet, son comblement était quasiment constitué de limon très charbonneux et des nodules rubéfiés de limon. Fond et parois étaient rubéfiés aussi. Sur le site de Plouedern Leslouc'h ce type de structure étaient également très arasés. La fosse F 34.28 s'insère parfaitement dans l'ensemble des structures de chauffe liées au charbonnage dans le secteur. Une datation reste tout de même hasardeuse en l'absence d'éléments datant et de son isolement.

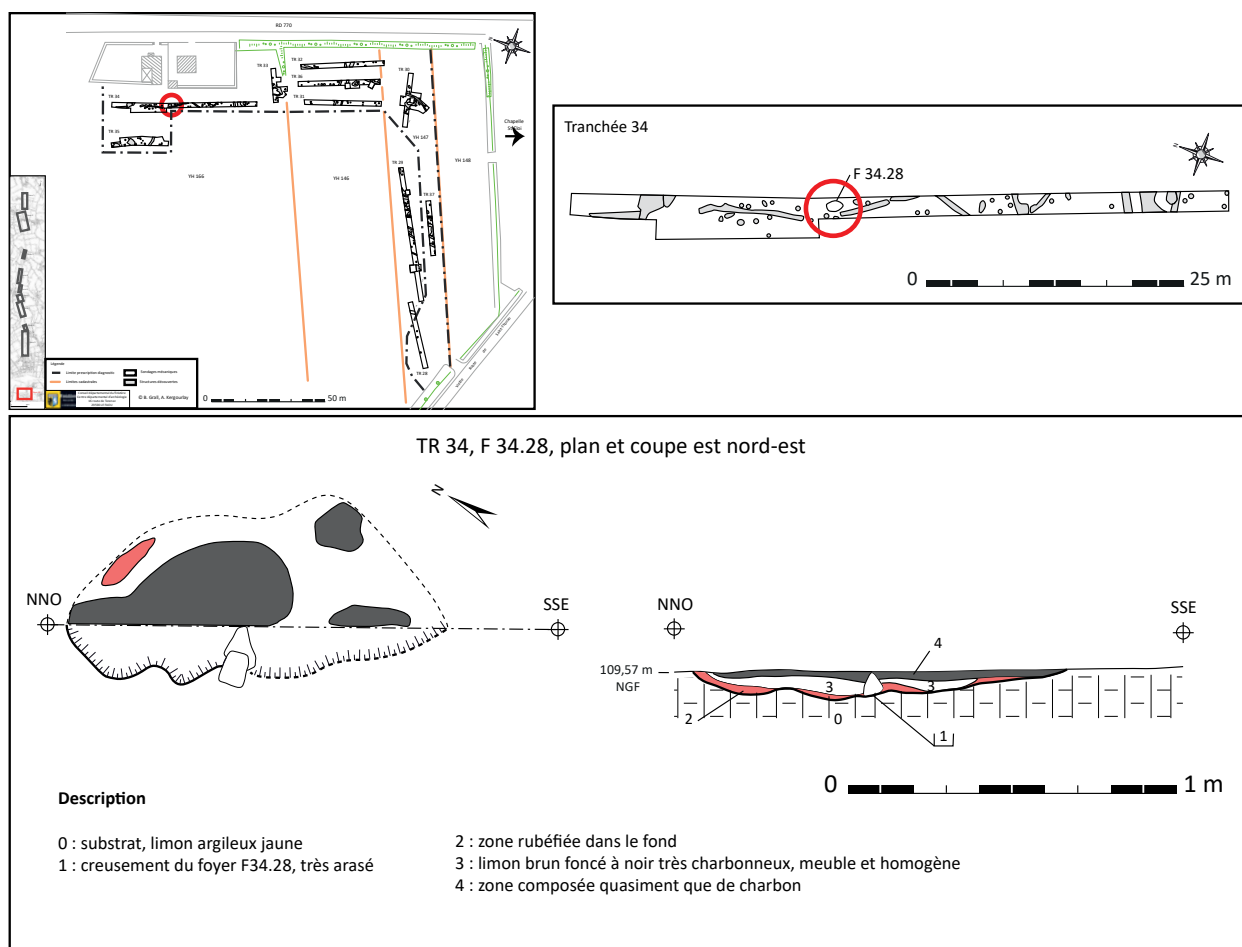


Figure 110 : Charbonnière F 34.28

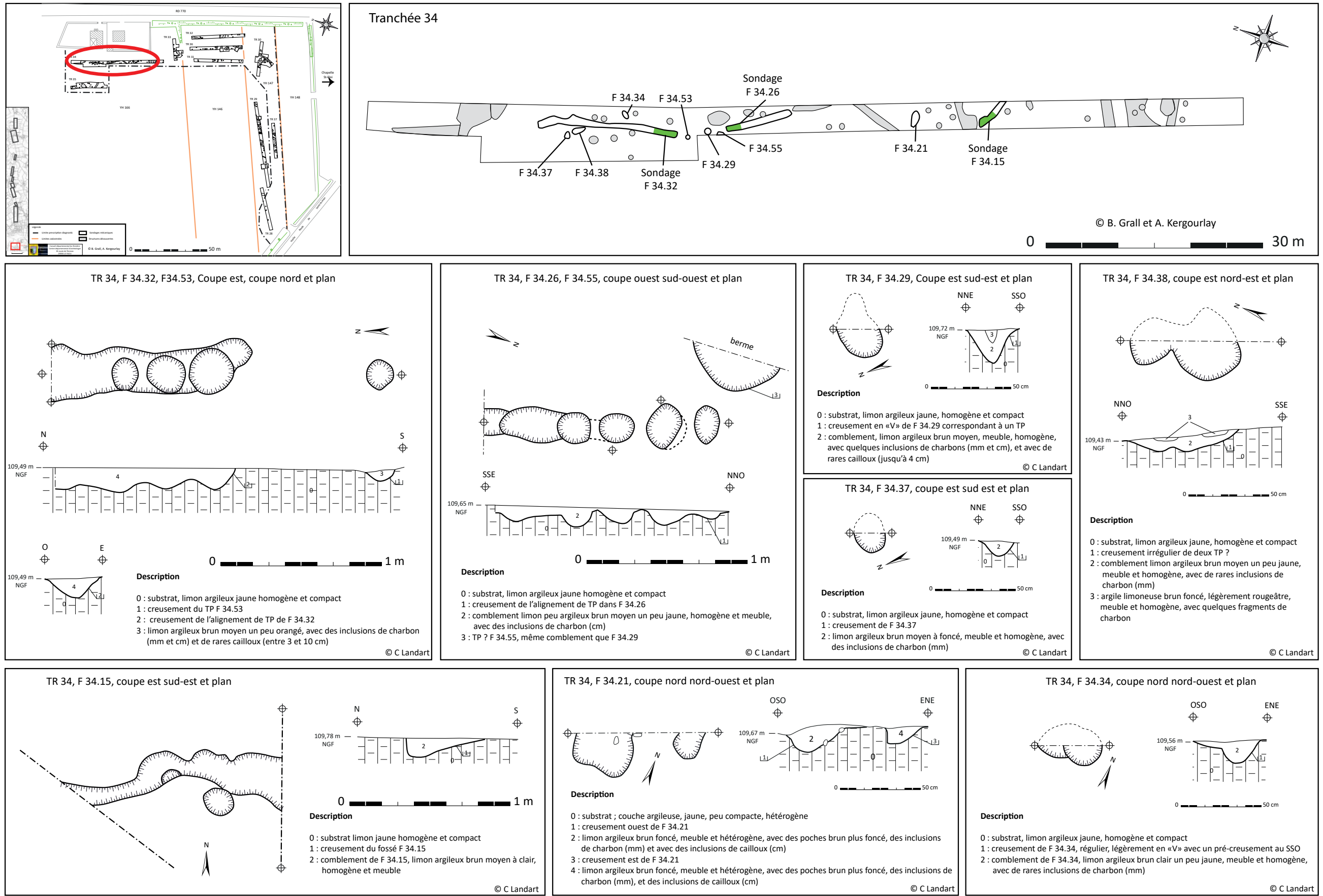


Figure 111 : Structures attribuées à une palissade de la tranchée 34 (B. Grall, A. Kergourlay et C. Landart)

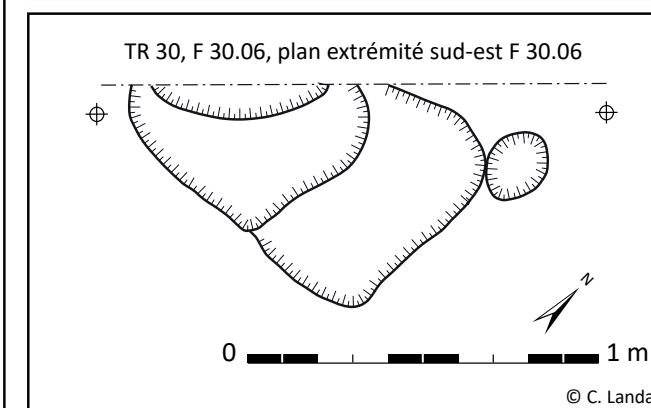
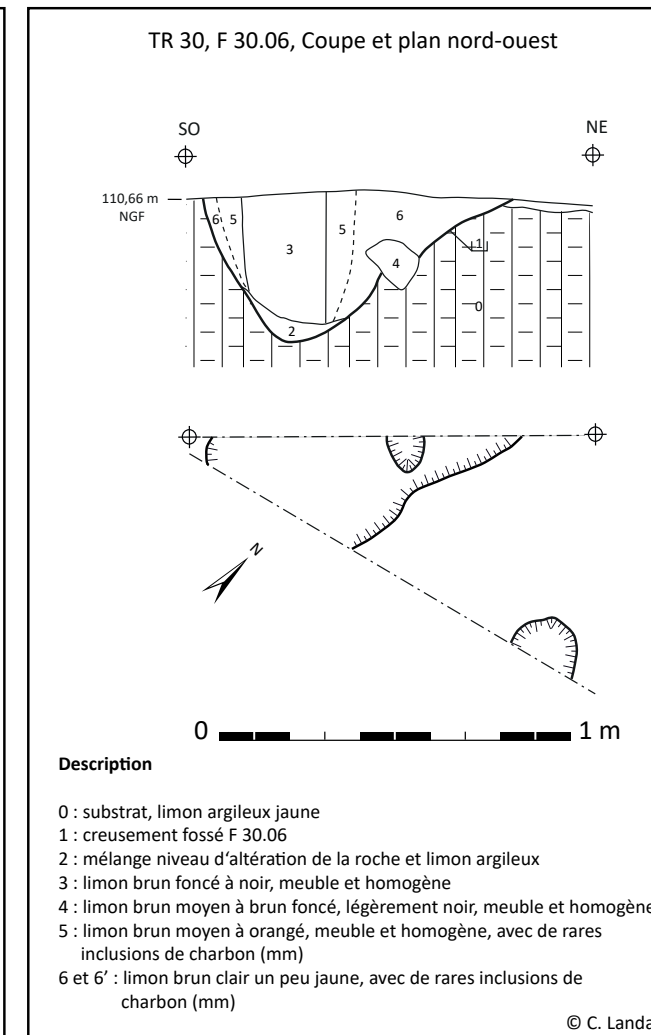
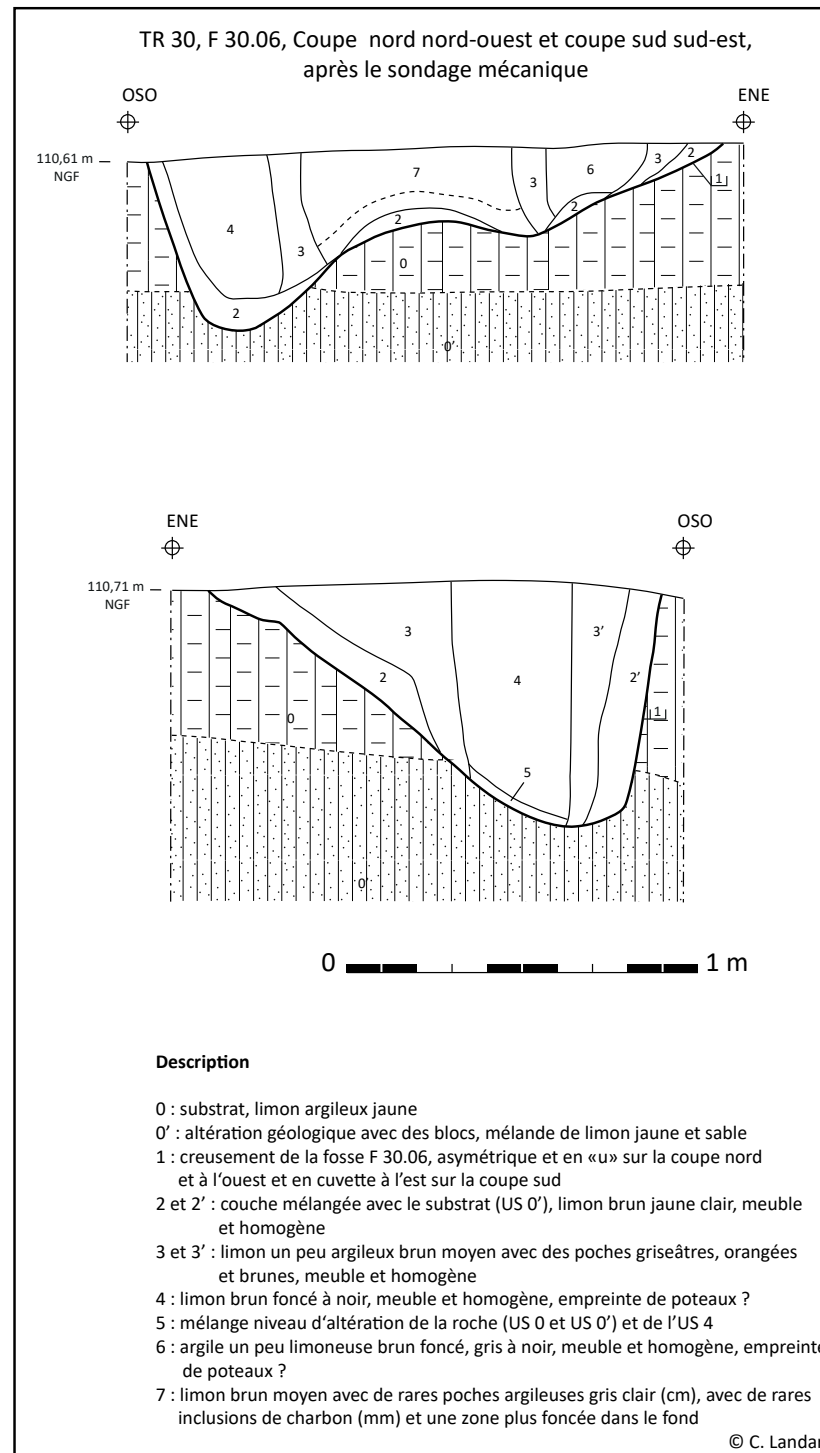
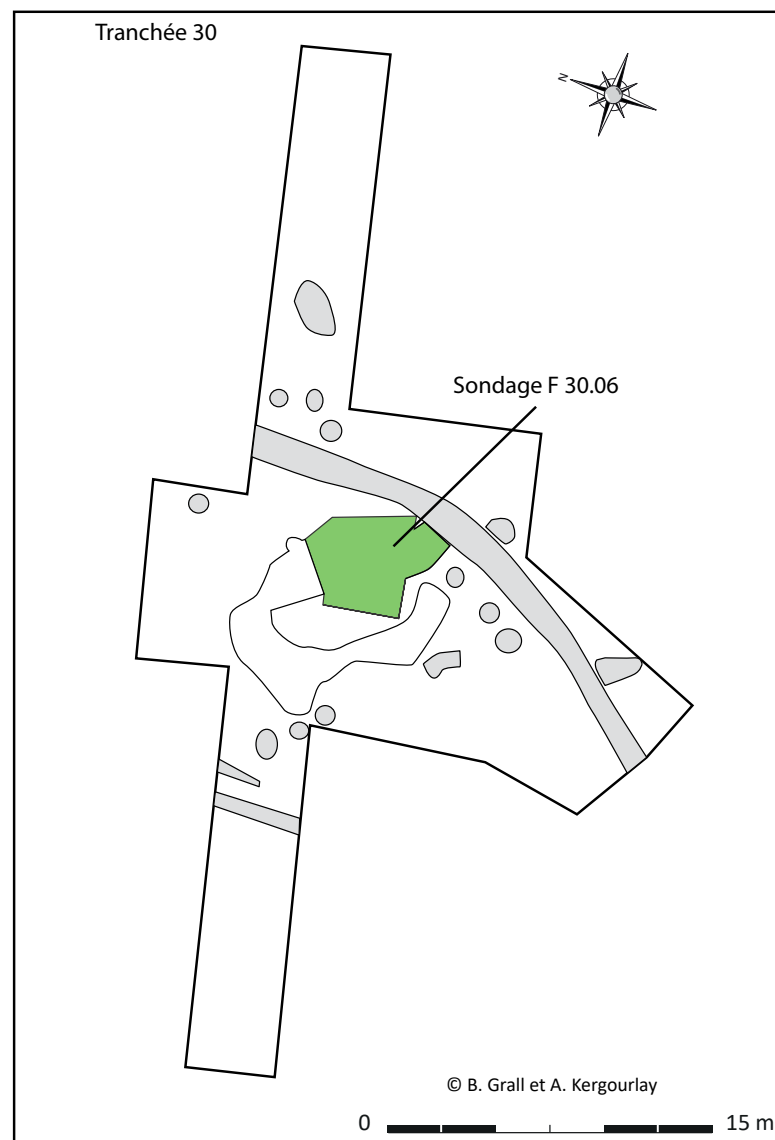
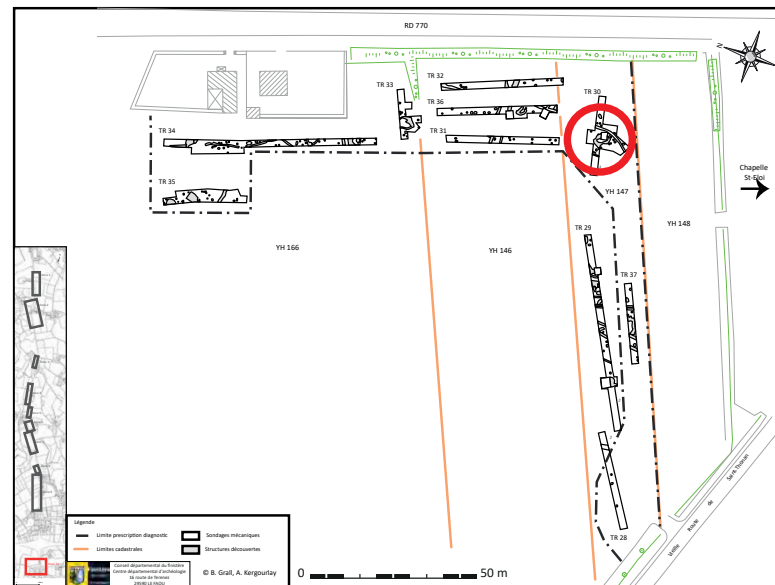


Figure 112 : bâtiment 1 tranchée 30 (B. Grall, A. Kergourlay et C. Landart)

2.10.8. Deux bâtiments sur poteaux

Dans les deux tranchées les plus au sud du secteur (Tranchées 30 et 37), deux bâtiments de plan plus ou moins circulaire ont été découverts. Le premier bâtiment F 30.06, des ouvertures complémentaires ont permis d'obtenir un plan complet. Pour le second l'ouverture de la tranchée permet de supposer un plan identique, mais il reste impossible de connaître son orientation avec certitude.

2.10.8.1. bâtiment 1 F 30.05-6

Le bâtiment apparaît sous la forme d'un fossé large qui rappelle un fer à cheval, avec une interruption côté sud-est (fig. 112). Ses dimensions externes sont de 5 x 3 m environ, et des dimensions internes de 3 x 1,5 m environ. Le fossé de fondation est large de 0,90 m et profond de 0,4 à 0,7 m. La profondeur diminue au niveau de l'interruption sud-est, pour atteindre une profondeur de 0,15 cm environ.

La fouille a permis la découverte, côté externe du fossé, d'empreintes de poteaux moins profondes. Une distance d'environ 0,8 à 1 m a été enregistrée entre l'empreinte du poteau interne et l'empreinte externe.

2.10.8.2. bâtiment 2 F 37.06 (fig. 113)

Le bâtiment n'a pas été décapé entièrement, mais nous pouvons tout de même supposer un plan circulaire. Aucune interruption n'est visible côté sud. Le fossé de fondation continue sous la berme nord. A la périphérie de celui-ci, des empreintes de poteaux sont visibles.

Le sondage manuel, réalisé sur la portion nord-est du fossé, a permis la découverte de plusieurs empreintes de poteaux au fond du creusement, et les poteaux périphériques ont vraisemblablement été creusés en même temps que ce dernier, aucune démarcation nette n'a été visualisée. Un espacement d'environ 0,4 à 0,8 m entre les empreintes internes et externes a été mesuré.

2.10.8.3. interprétation des bâtiments

Les bâtiments présentent un fossé de fondation dans lequel des poteaux principaux de diamètres supérieurs aux poteaux périphériques, nous permettent de supposer qu'ils s'agit des poteaux

porteurs des bâtiments. A la périphérie une autre installation sur poteaux, vraisemblablement plus légère, vient s'installer. La fonction des poteaux périphériques peut être multiple. Ils peuvent servir à porter l'avancé d'un toit et/ou être la base à un mur en clayonnage. L'espace vide entre ce mur externe et les poteaux internes pouvant correspondre à un espace de stockage, par exemple.

Les dimensions internes et externes des deux bâtiments sont différentes. Le bâtiment F 30.06 est plus petit et laisse plus d'espace interne par rapport au bâtiment F 37.06. Pour ce dernier aucune interruption de fossé n'a été visualisée au sud-est. Est-elle dans une autre portion ? Si cela est le cas, nous sommes donc en présence d'une orientation différente par rapport aux bâtiments F 30.05-6. Ces deux bâtiments présentent, par contre, une bonne conservation des fossés de fondations et aménagements périphériques qui nous laissent penser à une datation proche.

Un seul élément de comparaison a été trouvé sur le site de Plouedern Leslouc'h (Blanchet S., 2013). Il s'agit de trois enclos circulaires de diamètre externe compris entre 4 et 5,5 m. Ils présentent une profondeur conservée faible comprise entre 0,15 et 0,25 m. Ni interruption ni aménagement périphérique n'ont été constatés. De même, l'arasement important ne laisse pas entrevoir la présence d'empreintes de poteaux dans le fossé. Sommes-nous face à un même type de structures mais avec une meilleure conservation ? Ces enclos circulaires sont datés du Haut Moyen Âge, par datation de charbons prélevés sur deux des structures. Ces enclos sont interprétés comme des structures funéraires, qui pourraient se placer dans la continuité des enclos funéraires quadrangulaires de l'Antiquité tardive, comme ceux de châteauneuf-du-Faou (Roy E., 2009).

Le plan des bâtiments F 30.05-6 peut aussi se rapprocher de constructions de l'âge du Bronze, comme ceux de Caudan (Levan M., 2016) ou Guidel (Le Gall V., 2015), mais ces derniers sont généralement construits sur poteau avec très rarement des tranchées de fondations, souvent peu profondes (arasement important ou construction plus légère ?).

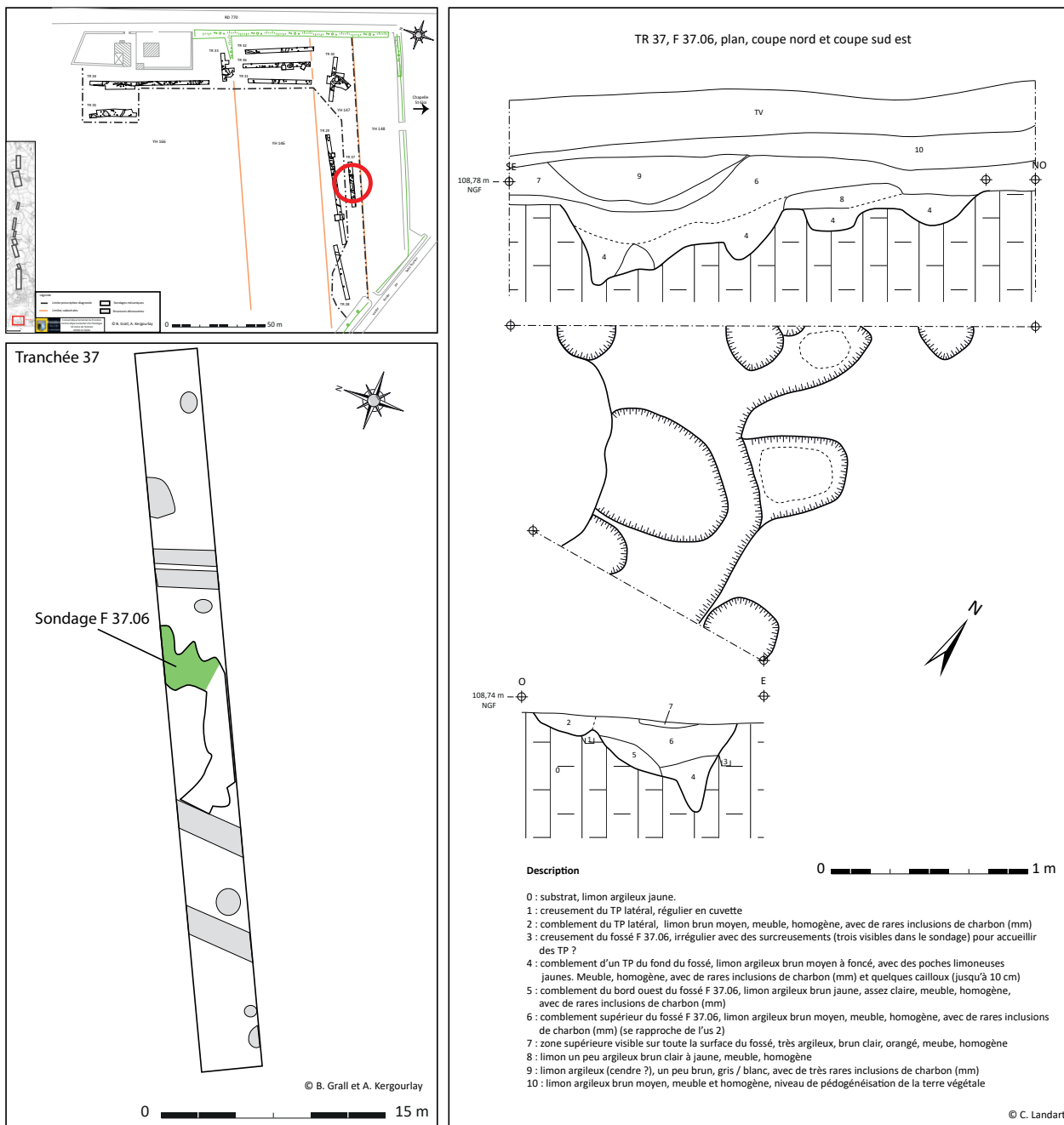


Figure 113 : Bâtiment 2, tranchée 36 (B. Grall, A. Kergourlay et C. Landart)

A ce jour, il reste difficile d'avoir des éléments de comparaisons plus importants. Une fouille plus complète des deux structures couplée à une datation radiocarbone, au vu de l'absence manifeste de mobilier, nous permettra de mieux comprendre ces bâtiments dans leur environnement immédiat et de les rattacher à une période chronologique.

2.10.9. Autres structures

2.10.9.1. fosses indéterminées

Plusieurs fosses, ayant fait l'objet d'un test manuel, mécanique ou non, n'ont pu être rattachées à aucun ensemble et restent donc non datées. Certaines de ces fosses sont associées à une remontée du substrat, qui nous permet de supposer qu'il s'agit peut-être de chablis. C'est le cas, par exemple, des structures F 35.11 et 35.03, F 36.08, F 33.05/07 ou encore F 29.23. Hormis celles-ci, il reste

difficile d'attribuer une fonction et une attribution chronologique aux différentes fosses observées sur ce secteur.

2.10.9.2. Trous de poteaux (fig. 114)

Le constat est le même que pour les différentes fosses à fonction et datation indéterminées. Certains semblent néanmoins ne pas être des structures anthropiques, la présence importante de racines dans certaines tranchées, nous oriente à penser que nous serions face à des anomalies dues à ces dernières. C'est en particulier le cas dans les tranchées 31, 32 et 36. Seul un test manuel systématique permettrait de faire correctement la différence entre une structure anthropique et une anomalie due à la végétation ou la faune environnante, voire résultant d'une particularité du substrat.

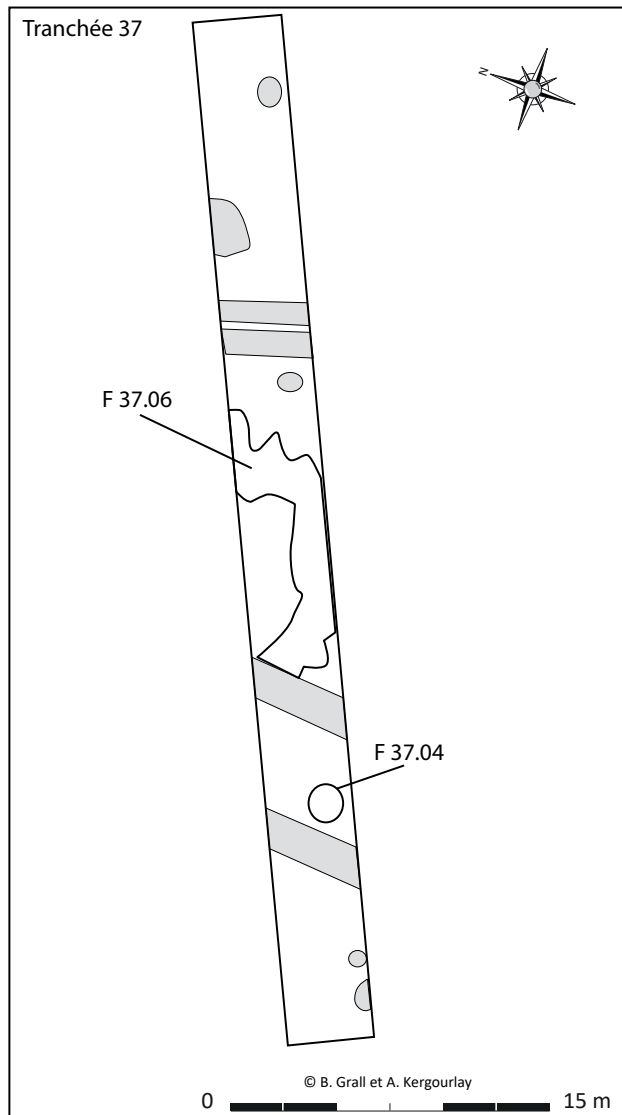
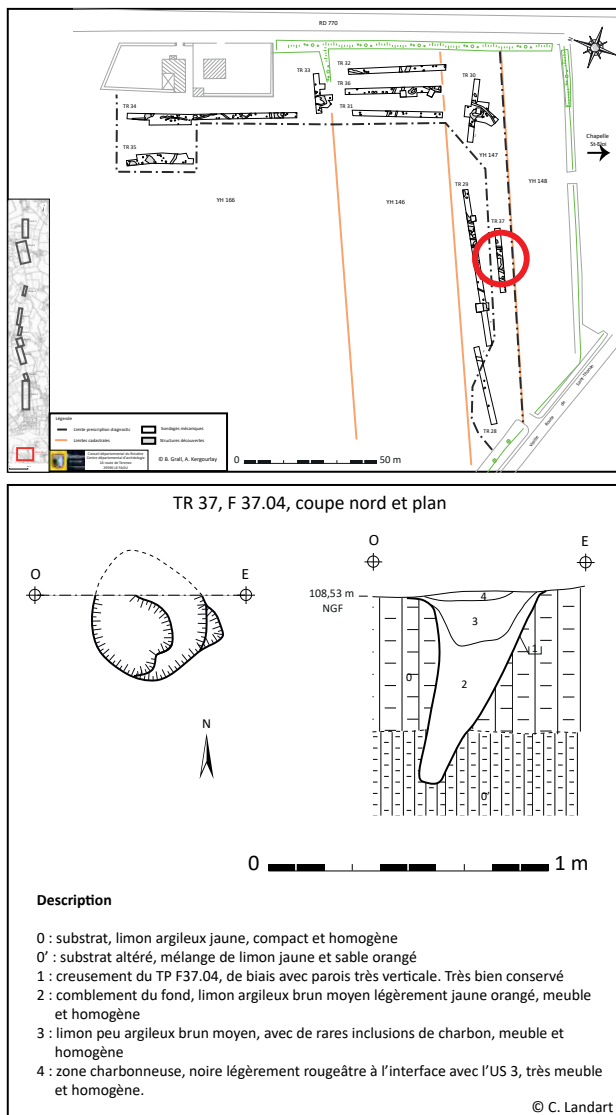


Figure 114 : Trou de poteau 37.04 (B. Grall, A. Kergourlay et C. Landart)

Hormis les trous de poteaux de la tranchée 34, que nous pouvons rapprocher de la palissade ou clôture, une structure sort du lot. Dans la tranchée 37, l'empreinte de poteau F 37.04 avait un diamètre de 0,45 m, pour une profondeur de 0,70 m environ (fig. 114). Elle présentait à sa surface une zone charbonneuse large de 0,30 m environ, qui peut correspondre à l'ancien poteau qui aurait brûlé sur place. Sa proximité avec le bâtiment F 37.06 et sa bonne conservation laisse penser qu'elle pourrait appartenir à une période chronologique identique.

La structure F 30.15, n'a pas été testée, mais présentait les mêmes caractéristique en surface, avec une zone plus ou moins circulaire et très charbonneuse d'environ 0,50 m. De plus, elle se situe à proximité du bâtiment F 30.5-6. Il peut donc s'agir d'un trou de poteau de la même époque que ce dernier et du trou de poteau F 37.04.

2.10.10. Secteur 10 : conclusion

Ce secteur est riche en structures diverses. Il a permis l'observation de différents parcellaires, dont une datation est proposée. Tout d'abord, Une anomalie parcellaire peut être reliée à des fossés découverts lors du décapage des tranchées, laissant supposer la présence d'un enclos. En comparant son orientation avec ceux découverts sur les sites de Ploudaniel Rest-Kerolland et Plouedern Leslouc'h, il peut être attribué aussi bien à la Protohistoire qu'à la période Médiévale. Ensuite, plusieurs fossés parallèles sont présents au moins depuis le XIX^{ème} siècle, par comparaison avec le cadastre napoléonien. La plupart perdurent jusqu'au milieu du XX^{ème} siècle. Par la suite, ils disparaissent totalement et laissent places à des limites parcellaires d'orientations différentes, visibles à la fois sur le cadastre de 2017, et sur le terrain entre les parcelles YH 146 et YH 166. D'autres fossés parallèles ont des l'orientations différentes à celles observées pour les limites des XIX^{ème}, XX^{ème} et XXI^{ème} siècles. Par ailleurs, ils semblent, pour deux d'entre eux (fig. 107 et 108), qu'ils correspondent à des orientations proches des fossés de l'époque Antique du site de Ploudaniel Rest-Kerolland.

En dehors du parcellaire, la tranchée 34 a permis la découverte d'une multitudes de petits fossés, fosses et trous de poteaux qui suggèrent la présence d'une palissade ou clôture, qui pourrait être datée de l'âge

du Bronze, mais seule une datation radiocarbone ou la découverte de mobilier caractéristique permettra l'attribution ou non de ces structures à cette période de la Protohistoire.

Enfin, les tranchées 30 et 37 ont révélé deux bâtiments sur poteaux. Leur conservation est bonne, avec des profondeurs comprises entre 0,40 et 0,80 m. Il n'a pas été possible de leur attribuer une fonction et une datation en l'absence de mobilier et de datation radiocarbone. S'agit-il de structures funéraires de l'époque Médiévale, comme les enclos circulaire de Plouedern Leslouc'h ? ou bien de bâtiments d'habitat protohistorique ? Là encore, ces questions trouveront une réponse dans le cadre d'une investigation plus complète du secteur.

3. Conclusion

Le diagnostic réalisé sur 6,5 ha, dans dix secteurs distincts, a permis de mettre en évidence plusieurs traces d'occupation dont les plus anciennes datent de l'âge du Bronze moyen. Quatre secteurs se distinguent : le secteur 2 (Kerfelgar Bihan), le secteur 4 (Valy Goz), le secteur 6 (Auberge Neuve) et le secteur 10 (Saint-Eloi).

Deux secteurs ont permis la découverte d'occupations de l'âge du Bronze. Tout d'abord, à Kerfelgar Bihan, un enclos de l'âge du Bronze moyen, associé à d'autres structures fossoyées et fosses, se développe dans la parcelle la plus au sud. Il reste difficile de caractériser le type d'occupation. Quelques indices (vase de stockage, fragment de gobelet ou godet) nous orientent vers un habitat. Ensuite, à Valy Goz, une fosse datée de l'âge du Bronze moyen et un fossé attribué à la même période caractériseraient un même type d'occupation que sur Kerfelgar Bihan. Une comparaison de ces deux occupations est possible avec les découvertes réalisées à Plouedern Leslouc'h (Blanchet S., 2013) et Ploudaniel le Parcou, route du Kerno (Sévin-Allouet C., 2016). Les occupations de Kerfelgar Bihan et Valy Goz pourraient s'incréter dans une occupation plus large, au Bronze moyen-final, du plateau du Léon entre l'Aber Wrac'h et l'Elorn (Poilpré P. *in* Blanchet S., 2013).

Le secteur d'Auberge Neuve fournit aussi des indices d'une occupation de la Protohistoire. Une fosse (F 02.03) probablement de la Tène moyenne ou finale, est recoupée par un fossé, qui semble associé à un second fossé et trous de poteaux. Ces structures pourraient dater de la même période chronologique que le fosse F 02.03.

Les indices d'une occupation de l'Antiquité sont minces. Dans la même parcelle que l'occupation de l'âge du Bronze, à Kerfelgar Bihan, un fossé est daté entre le I^{er} et III^{ème} siècles de notre ère. Son association probable avec d'autres fossés, à la fois parallèles et perpendiculaires, nous permet de supposer la présence d'un enclos, dont il reste à définir les limites et sa fonction (habitat ? funéraire ?).

Une occupation du Haut Moyen Âge est perceptible sur le secteur nord de Kerfelgar Bihan. Elle se caractérise par un parcellaire, une probable structure de chauffe ainsi que par une accumulation sédimentaire qui illustrerait la destruction de niveaux d'habitat sur la parcelle même ou à proximité

immédiate de celle-ci. Seule une investigation plus large du secteur de Kerfelgar Bihan, en incorporant les zones non accessibles, nous permettra de comprendre l'origine de ce niveau de destruction. Elle nous permettra aussi de connaître l'étendue des différentes occupations découvertes sur ce secteur et de déterminer plus précisément leur datation et leur fonction. Sur le secteur d'Auberge-Neuve, au sud de la parcelle, des fossés illustrent un parcellaire dont une fondation à la période médiévale est probable.

Enfin, le secteur de Saint-Eloi (secteur 10), a mis en évidence un enclos, une évolution du parcellaire dans le temps, deux bâtiments sur poteaux et un système de palissade. Les datations proposées restent très incertaines et reposent essentiellement sur des comparaisons avec les sites proches de Ploudaniel et Plouedern. L'enclos pourrait être lié soit à une occupation de l'âge du Bronze soit au Haut Moyen Âge. Un parcellaire principalement des XIX^{ème}, XX^{ème} et XXI^{ème} siècles a été découvert. Il semble néanmoins que des fossés pourraient dater d'une période plus ancienne, peut être de l'Antiquité, par comparaison avec le site de Ploudaniel Rest-Kerollant, qui se trouve juste de l'autre côté de la RD-770. Le système de palissade trouve principalement des comparaisons avec des sites de l'âge du Bronze, mais il n'est pas exclu qu'il appartient à une période plus récente de la protohistoire, voire daté d'une période historique. Deux bâtiments sur poteaux ont été découverts dans les tranchées 30 et 37. Ils se caractérisent par un fossé de fondation dans lequel viennent s'installer des poteaux, doublé par une rangée de poteaux périphériques. Aucune comparaison pertinente n'a été trouvée. S'agit-il de structures funéraires pouvant être comparées aux enclos circulaires du Haut Moyen Âge de Plouedern Leslouc'h, ou de bâtiments plus anciens comme les structures d'habitats circulaires connus pour l'âge de Bronze ? L'absence de mobilier et de datation radiocarbone ne nous permet pas de trancher.

Un décapage plus important et une fouille, en particulier à Kerfelgar Bihan et Saint-Eloi, nous apporteront les informations nécessaires à la compréhension des occupations de ces deux secteurs, qui ont permis la découverte d'occupations s'étalant de l'âge du Bronze à la période médiévale. Cela permettra aussi de mieux comprendre leurs relations possibles avec les sites fouillés et/ou détectés sur cette zone géographique.

4 . Bibliographie

- Blanchet S. (dir.), 2013, *Plouedern (Finistère), Leslouc'h, une longue occupation de la protohistoire au Moyen Âge*, Rapport final d'opération, INRAP Grand Ouest, Service Régional de l'Archéologie de Bretagne
- Bourne S. (dir.), 2018, *Quimper, Kersaliou (Finistère), un habitat groupé du Bronze moyen/final*, Rapport d'opération de fouille archéologique, INRAP Grand Ouest, Service Régional de l'Archéologie de Bretagne
- Darboux J.-R., Marcoux E., Hallégouët B., Lebreton P., Tomas E., Margerel J.-P., Blanchet S. et Carn A., 2010, *Carte géologique de la France, notice explicative de la feuille Landerneau, 1/50000*, éd. BRGM, Service géologique national
- Le Gall V. (dir.), 2015, *Guidel, Pen Mane (Morbihan), Des habitats de l'âge du Bronze*, Rapport d'opération de fouille archéologique, INRAP Grand Ouest, Service Régional de l'Archéologie de Bretagne.
- Escat Y. (dir.), 2013, *Lannion, Côte-d'Armor, Z.A. de Bel Air, une vaste enceinte et deux tumulus de l'âge du Bronze*, INRAP Grand Ouest, Service Régional de l'Archéologie de Bretagne
- Issenmann R. et Peake R., 2013, Les fosses en «V, Y et W» dans le secteur de confluence Seine-Yonne et dans la Marne : quelques exemples en milieu alluvial, *in* Achard-Corompt N. et Riquier V. (dir.), 2013, *chasse, culte ou artisanat ? Les fosses «à profil en Y-V-W», structures énigmatiques et récurrentes du Néolithique aux pâges des Métaux en France et alentours*, Actes de la table ronde de Châlons-en-Champagne, 15-16 novembre 2010, Revue archéologique de l'est, supplément 33, p. 109 à 117
- Le Bihan J.-P. (dir.), 1993, *Quimper «Penancreac'h» (29232048 AH) (Finistère), un habitat de transition Néolithique - âge du Bronze*, D.F.S. de sauvetage d'urgence, Service Régional de l'Archéologie de Bretagne
- Le Bihan J.-P. et Villard J.-F. (dir.), 2005a, *Archéologie de Quimper, matériaux pour servir l'Histoire, tome 1 : De la chute de l'empire romain à la fin du Moyen Âge*, Centre de recherche archéologique du Finistère, éd. Cloître
- Le Bihan J.-P. et Villard J.-F. (dir.), 2010, *Archéologie d'une île à la pointe de l'Europe : Ouessant, tome 2 : L'habitat de Mez Notariou, des origines à l'âge du Bronze*, Centre de recherche archéologique du Finistère, éd. Cloître
- Le Bihan J.-P. et Villard J.-F. (dir.), 2005b, *Archéologie de Quimper, matériaux pour servir l'Histoire, tome 2 : au temps de l'empire romain*, Centre de recherche archéologique du Finistère, éd. Cloître
- Le Goff E. (dir.), 2014, *Bretagne, Finistère, Quimper (29232), l'agglomération gauloise de Kergolvez sous le contournement nord-ouest de Quimper*, volume 2, Rapport d'opération de fouille archéologique, INRAP Grand Ouest, Service Régional de l'Archéologie de Bretagne
- Leroux G. (dir.), 2013, *Bedée (Ille-et-Vilaine), ZAC du Pont aux chèvres, les occupations de l'âge du Bronze et du haut Moyen-Âge*, INRAP Grand Ouest, Service Régional de l'Archéologie de Bretagne
- Leroy B. et Le Faou N. (dir.), 2013, *ZAE de Kergonidec, Landerneau (29)*, rapport final d'opération : fouille préventive, EVEHA, Service Régional de l'Archéologie de Bretagne, 3 volumes
- Levan M. (dir.) 2016, *Caudan, Morbihan, ZAC de Lenn Sec'h (lot 1), une succession d'édifices circulaires : un hameau du Bronze final*, Rapport d'opération de fouille archéologique, INRAP Grand Ouest, Service Régional de l'Archéologie de Bretagne
- Mentele S. (dir.), 2006, *Plouedern, Leslouc'h (Finistère), un site d'habitat du Bronze ancien-moyen*, rapport de diagnostic, INRAP Grand Ouest, Service Régional de l'Archéologie de Bretagne, 2 volumes
- Mentele S. (dir.), 2014, *Ploudaniel (Finistère, Bretagne), Route du Kernou, Le Parcou. Diagnostic archéologique 2013*, rapport final d'opération de diagnostic archéologique, INRAP Grand Ouest, Service Régional de l'Archéologie de Bretagne
- Mentele S. (dir.), 2015a, *Ploudaniel (Finistère, Bretagne), Le Rest-Kerolland, Diagnostic archéologique 2015*, rapport final d'opération de diagnostic archéologique, INRAP Grand Ouest, Service Régional de l'Archéologie de Bretagne

Mentele S. (dir.), 2015b, *Plouedern (Finistère, Bretagne), Leslouc'h, Diagnostic archéologique 2015*, rapport final d'opération de diagnostic archéologique, INRAP Grand Ouest, Service Régional de l'Archéologie de Bretagne

Nicolas E. (dir.), 2013, *Châteaulin (Finistère, Bretagne), Penn ar Roz, un site d'activité métallurgique protohistorique et antique*, rapport final d'opération de fouille archéologique, INRAP Grand Ouest, Service Régional de l'Archéologie de Bretagne

Roy E. (dir.) et Nicolas E., 2010, *Le petit cimetière du IV^{ème} siècle après J.-C. de Châteauneuf-du-Faou dans le Finistère, Diagnostic archéologique lié à l'implantation de la future ZAC d'aménagement concerté au lieu-dit Kroaz Lesneven*, INRAP Grand Ouest, Service Régional de l'Archéologie de Bretagne

Sévin-Allouet C. (dir.), 2016, *Ploudaniel (29), Le Parcou, Route de Kerno*, Rapport final d'opération archéologique (fouille préventive), Eveha - Etudes et valorisations archéologiques (Limoges, F), 1 vol., Service Régional de l'Archéologie de Bretagne

Carte de Cassini de 1783 :

Carte générale de la France. 170, [Saint-Pol-de-Léon]. N°168. Flle 156 / Aldring Sculp.[sit] ; [établie sous la direction de César-François Cassini de Thury
<https://gallica.bnf.fr/ark:/12148/btv1b53095250j>

Cadastre napoléonien 1819 :

<http://mnesys-portail.archives-finistere.fr/>

- Secteurs 1 et 2 : 3 P 180/1/6 Section B1 de Trébodennic
- Secteurs 3, 4, 5 et 6 : 3 P 180/1/16 Section F1 de Sainte-Barbe
- Secteurs 7, 8 et 9 : 3 P 180/1/13 Section E1 de Saint-Eloi
- Secteur 10 : 3 P 18/1/15 Section E2 de Saint-Eloi

Troisième section : Inventaires techniques

Liste des figures

Figure 1 : Plan de localisation du diagnostic (A. Kergourlay sur carte IGN)	19
Figure 2 : Situation de l'emprise du diagnostic sur plan cadastral : secteur 1 à 5 (DAO A. Kergourlay, sur cadastre 2017)	20
Figure 3 : Situation de l'emprise du diagnostic sur plan cadastral : secteur 6 à 10 (DAO A. Kergourlay, sur cadastre 2017)	21
Figure 4 : Tableau récapitulatif de l'intervention sur le terrain (A. Kergourlay)	32
Figure 5 : Implantation des tranchées positives et négatives du secteur 1, Le Vizoc, avec zone non accessible (B. Grall, DAO A. Kergourlay)	32
Figure 6 : Implantation des tranchées positives et négatives du secteur 2, Kerfelgar Bihan, avec zones non accessibles (B. Grall, DAO A. Kergourlay)	33
Figure 7 : Implantation des tranchées positives et négatives du secteur 3, Pont-Neuf, avec zones non accessibles (B. Grall, DAO A. Kergourlay)	33
Figure 8 : Implantation des tranchées positives et négatives du secteur 4, Vally Goz, avec zones non accessibles (B. Grall, DAO A. Kergourlay)	34
Figure 9 : Implantation des tranchées positives et négatives du secteur 5, Vally Goz- Auberge Neuve (B. Grall, DAO A. Kergourlay)	34
Figure 10 : Implantation des tranchées positives et négatives du secteur 6, Auberge Neuve, avec zones non accessibles (B. Grall, DAO A. Kergourlay)	35
Figure 11 : Implantation des tranchées positives et négatives du secteur 7, Auberge Neuve- Kerafanc, avec zones non accessibles (B. Grall, DAO A. Kergourlay)	35
Figure 12 : Implantation des tranchées positives et négatives du secteur 8, Lestreonec (B. Grall, DAO A. Kergourlay)	36
Figure 13 : Implantation des tranchées positives et négatives du secteur 9, Penprat- Mescoden, avec zones non accessibles (B. Grall, DAO A. Kergourlay)	36
Figure 14 : Implantation des tranchées positives et négatives du secteur 10, Saint-Eloi, avec zones non accessibles (B. Grall, DAO A. Kergourlay)	37
Figure 15 : Implantation du diagnostic sur la carte géologique (A. Kergourlay sur carte BRGM)	38
Figure 16 : Implantation du diagnostic par rapport au réseau hydrographique (source Agrocampus Ouest, INRA, GéoBretagne)	39
Figure 17 : Implantation du diagnostic sur la carte de Cassini de 1783 (DAO A. Kergourlay)	40
Figure 18 : Entités archéologiques proches du secteur diagnostiqué et implantations des diagnostics et fouilles précédentes (A. Kergourlay sur carte GéoBretagne-DRAC)	42
Figure 19 : Entités archéologiques proches du secteur diagnostiqué et implantations des diagnostics et fouilles précédentes, zoom nord (A. Kergourlay sur carte GéoBretagne-DRAC)	43
Figure 20 : Entités archéologiques proches du secteur diagnostiqué et implantations des diagnostics et fouilles précédentes, zoom sud (A. Kergourlay sur carte GéoBretagne-DRAC)	44
Figure 21 : Numérotation des entités archéologiques sur les figures 18 et 19 (A. Kergourlay d'après carte GéoBretagne-DRAC)	45
Figure 22 : Implantation et description des logs du secteur 1 (B. Grall, DAO A. Kergourlay et C. Landart)	46
Figure 23 : Structures apparaissant sur le cadastre napoléonien (B. Grall, DAO A. Kergourlay)	48
Figure 24 : Structure d'époque contemporaine XX ^{ème} siècle (B. Grall, DAO A. Kergourlay)	49
Figure 25 : Ensemble des structures de datation indéterminée (B. Grall, DAO A. Kergourlay)	51
Figure 26 : Coupe ouest nord-ouest des fossés F 56.08, F 56.18, F 56.19 et F 56.13 (DAO C. Landart)	52
Figure 27 : Implantation et description des logs du secteur 2 (B. Grall, DAO A. Kergourlay et C. Landart)	53
Figure 28 : Cadastre napoléonien des parcelles YA 63-65-90 Kerfelgar Bihan (B. Grall, A. Kergourlay)	54
Figure 29 : Tranchées TR 53 à 55, cadastre napoléonien et attribution chronologique (B. Grall, DAO A. Kergourlay) ; Coupes fossés F 54.06 et F 54.07 (C. Landart)	56
Figure 30 : Cadastre napoléonien et attribution chronologique des structures (B. Grall, DAO A. Kergourlay)	57
Figure 31 : F 52.05, fosse ou structure de chauffe (1 : photographie générale ; 2 : détail) (E. Guezennec)	58
Figure 33 : Fragments de terre cuite architecturale de F 52.05 et F 52.06 (A. Kergourlay)	59
Figure 32 : Scorie trouvée à proximité de F 52.05 (A. Kergourlay)	59
Figure 34 : Cadastre napoléonien et attribution aux XIX ^{ème} et XX ^{ème} siècles de plusieurs fossés (B. Grall, DAO A. Kergourlay)	60
Figure 35 : Structures attribuées à la période Antique et probablement Antique (B. Grall, DAO A. Kergourlay)	61
Figure 36 : Fossé F 50.08 coupes des sondages 3 et 4 (B. Grall, A. Kergourlay et C. Landart)	63
Figure 37 : Enclos d'habitat du site du Moustoir et son évolution dans le temps (in Le Bihan J.-P. et Villard J.-F., 2005b, p.434)	64
Figure 38 : Structures d'époques protohistoriques probables et structures de l'âge du Bronze (B. Grall, DAO A. Kergourlay)	65
Figure 39 : Fossés attribués à l'âge du Bronze, et coupes des sondages 1 et 2 du F 50.03 (B. Grall, DAO A. Kergourlay et C. Landart)	67
Figure 40 : Coupe du fossé protohistorique F 50.07 (DAO C. Landart)	67
Figure 41 : Coupes et plan des structures composant F 50.09 (DAO C. Landart)	67
Figure 42 : Structures de datation indéterminée (B. Grall, DAO A. Kergourlay)	68
Figure 43 : Profil des bords de céramiques d'époque médiévale du secteur 2, tranchée 52 (A. Kergourlay)	71
Figure 44 : Cliché bord de céramique avec décor sur le pourtour interne du bord de la structure F 52.08 (A. Kergourlay)	73
Figure 45 : Cliché et dessin du fragment de jatte décoré de F 720, Sd 2381, US 5, fouille de Plouedern Leslouc'h (Blanchet S., 2013)	73
Figure 46 : Céramiques décorées à la molette (forme 1 et 2) du site de Créac'h Gwen à Quimper (Y. Menez in Le Bihan J.-P. et Villard J.-F., 2005a)	74
Figure 47 : Exemplaies de poteries appartenant au type «pot 22» défini par F Labaune-Jean pour le site de Plouedern Leslouc'h (Blanchet S., 2013)	74

Figure 48 : Cliché de la cruche du fossé F 50.08 après recollage (A. Kergourlay)	76
Figure 49 : Profil de la cruche du fossé F 50.08 après recollage (A. Kergourlay)	77
Figure 50 : Fiche de la forme n° 329 du catalogue de formes de céramiques gallo-romaines réalisé pour Quimper (Le Bihan J.-P. et Villard J.-F., 2005b, p.809)	77
Figure 51 : Profil du manchon de cruche du site de la ZAE de Kergonidec à Landerneau (Leroy B. et Le Faou N., 2013)	78
Figure 52 : Cruche du fossé F 50.08, détail de la marque digitée (en haut) et niveau conservé d'un liquide à l'intérieur (en bas) (A. Kergourlay)	78
Figure 53 : Profil du petit bord de céramique de la fosse F 50.29 (A. Kergourlay)	79
Figure 54 : Clichés, après recollage, du fragment de panse avec bouton ajouté, fossé F 50.03 sondage 1 (A. Kergourlay)	80
Figure 55 : Profil du bord avec départ de panse et carène légèrement marquée avec bouton plat, sondage 1 de F 50.08 (A. Kergourlay)	81
Figure 56 : Cliche du bord avec départ de panse et carène légèrement marquée avec bouton plat, sondage 1 de F 50.08 (A. Kergourlay)	81
Figure 57 Exemples de vases à forme haute et col concave du site de Plouedern Leslouc'h (Blanchet S., 2013)	82
Figure 58 : Bord et départ de panse d'une céramique biconique à carène marquée du sondage 2 de F 50.08 (B. Grall,)	83
Figure 59 : Exemples de vases biconiques à carène plus ou moins marquées avec une ou deux anses (Escats Y., 2013 ; Leroux G., 2013)	84
Figure 60 : Carte de cassini de 1783	86
Figure 61 : Extrait du cadastre napoléonien de 1819	87
Figure 62 : Localisation du secteur 3 sur le cadastre napoléonien (B. Grall, DAO A. Kergourlay)	87
Figure 63 : Photographie de la tranchée réalisée dans le secteur 3 juste après son ouverture (A. Kergourlay)	87
Figure 64 : Implantation et description du log du secteur 3 (B. Grall, DAO A. Kergourlay et C. Landart)	88
Figure 65 : Implantation et description des logs du secteur 4 (B. Grall, DAO A. Kergourlay et C. Landart)	89
Figure 66 : Cadastre napoléonien et structures des XIX ^{ème} et XX ^{ème} siècles (B. Grall, DAO A. Kergourlay), coupe du fossé F 14.05 (DAO C. Landart)	91
Figure 67 : Structures attribuées à l'âge du Bronze (B. Grall, DAO A. Kergourlay)	91
Figure 68 : Photographies de la fouille au recollage du vase de stockage de la fosse F 10.07 (E. Guezennec et A. Kergourlay)	93
Figure 69 : Coupes et plan de la fosse F 10.07 (C. Landart) et cliché après fouille (E. Guezennec)	94
Figure 70 : Profil et cliché de la partie haute du vase de stockage de la fosse F 10.07 (B. Grall)	96
Figure 71 : Exemple de céramiques de l'âge du Bronze comparables à l'exemplaire de F 10.07	97
Figure 72 : Structures d'époques indéterminées du secteur 4 (B. Grall, A. Kergourlay)	98
Figure 73 : fragment de bord de la tranchée 10 (Cliché A. Kergourlay)	98
Figure 74 : coupes des fossés F 09.01 et F 09.02 (C. Landart)	99
Figure 75 : Coupe et plan du trou de poteau F 08.05 (C. Landart)	100
Figure 76 : Implantation et description du log du secteur 5 (B. Grall, DAO A. Kergourlay et C. Landart)	101
Figure 77 : Localisation des structures apparaissant sur le cadastre napoléonien et photographies aérienne du milieu du XX ^{ème} siècle (B. Grall, DAO A. Kergourlay)	103
Figure 78 : Coupe et plan de la fosse F 39.15 (DAO A. Kergourlay et C. Landart)	102
Figure 79 : Localisation des structures d'époques indéterminées dans le secteur 5 (B. Grall, DAO A. Kergourlay) et coupe des structures F 39.03 F 39.05 et F 39.13 (C. Landart)	103
Figure 80 : Implantation et description du log du secteur 6 (B. Grall, DAO A. Kergourlay et C. Landart)	105
Figure 81 : Photographies du fragment de tuile du fossé F 07.06 (cliché A. Kergourlay)	106
Figure 82 : Localisation des structures fossoyées apparaissant sur le cadastre napoléonien et les photographies aériennes du milieu du XX ^{ème} siècle. Fosse récente XX ^{ème} ou XIX ^{ème} siècle (B. Grall, DAO A. Kergourlay)	107
Figure 83 : Structure d'époque médiévale, et coupes F 07.06, F 07.07 et F 07.08 (B. Grall, DAO A. Kergourlay et C. Landart)	108
Figure 84 : Photographie après décapage mécanique de la fosse F 02.03, coupe ouest (Cliché A. Kergourlay)	109
Figure 85 : Localisation des structures protohistoriques probables et fosse de l'âge du Fer (B. Grall, DAO A. Kergourlay)	110
Figure 86 : Coupe ouest et plan de l'intersection entre la fosse F 02.03 et le fossé F 02.04 (DAO A. Kergourlay et C. Landart)	111
Figure 87 : Profil et cliché du bord à lèvres à cannelures doubles de la fosse F 02.03 (A. Kergourlay)	112
Figure 88 : Photographies du fragment de granit taillé trouvé dans la fosse F 02.03 (A. Kergourlay)	113
Figure 89 : Structures d'époques indéterminées (B. Grall, DAO A. Kergourlay)	115
Figure 90 : Coupe et plan de la fosse F 07.05 (C. Landart)	116
Figure 91 : Implantation et description des logs du secteur 7 (B. Grall, DAO A. Kergourlay et C. Landart)	117
Figure 92 : Photographie de la tranchée 19, vue des niveaux d'altérations (cliché C. Landart)	118
Figure 93 : Localisation des structures fossoyées apparaissant sur le cadastre napoléonien et les photographies aériennes du milieu du XX ^{ème} siècle (B. Grall, DAO A. Kergourlay)	118
Figure 94 : Structures d'époques indéterminées (B. Grall, DAO A. Kergourlay)	119
Figure 95 : Coupe de la grande fosse F 15.03 (C. Landart)	120
Figure 96 : Coupe des fossés F 22.03 et F 22.04 (C. Landart)	121
Figure 97 : Implantation et description du log du secteur 8 (B. Grall, DAO A. Kergourlay et C. Landart)	122
Figure 98 : Localisation des structures fossoyées apparaissant sur le cadastre napoléonien et les photographies aériennes du milieu du 20 ^{ème} siècle (B. Grall, DAO A. Kergourlay) et coupe fossé F 27.07 (C. Landart)	123
Figure 99 : Localisation des structures d'époques indéterminées (B. Grall et A. Kergourlay), coupe et plan de la charbonnière F 27.02 et coupe du fossé F 27.01 (C. Landart).	124
Figure 100 : Structure de chauffe F 27.02, coupe nord nord-est (A. Kergourlay)	125

Figure 101 : Plan et coupes de charbonnières (INRAP, S. Jean, <i>in</i> Blanchet S., 2013)	126
Figure 102 : Implantation et description des logs du secteur 9 (B. Grall, DAO A. Kergourlay et C. Landart)	128
Figure 103 : Photographie des deux fragments probables de bois oxydé (A. Kergourlay)	129
Figure 104 : Localisation des structures fossoyées apparaissant sur le cadastre napoléonien et les photographies aériennes du milieu du XX ^{ème} siècle (B. Grall, DAO A. Kergourlay)	130
Figure 105 : Localisation des structures d'époques indéterminées (B. Grall et A. Kergourlay), coupes et plan des structures F 42.01, F 42.02, F 44.04 et F 44.05 (C. Landart)	131
Figure 106 : Implantation et description des logs du secteur 10 (B. Grall, DAO A. Kergourlay et C. Landart)	133
Figure 107 : Fossés de parcelles anciens et récents (B. Grall, A. Kergourlay et C. Landart)	135
Figure 108 : Fossés datés de l'Antiquité du diagnostic de Rest-Kerolland (<i>in</i> Mentele S., 2015a)	136
Figure 109 : Anomalie dans le parcellaire et association possible avec des portions de fossés découvertes lors du diagnostic. Un enclos protohistorique ou médiéval ? (B. Grall, A. Kergourlay et C. Landart)	137
Figure 110 : Charbonnière F 34.28	138
Figure 111 : Structures attribuées à une palissade de la tranchée 34 (B. Grall, A. Kergourlay et C. Landart)	139
Figure 112 : bâtiment 1 tranchée 30 (B. Grall, A. Kergourlay et C. Landart)	140
Figure 113 : Bâtiment 2, tranchée 36 (B. Grall, A. Kergourlay et C. Landart)	142
Figure 114 : Trou de poteau 37.04 (B. Grall, A. Kergourlay et C. Landart)	143

Liste des photographies

Arrêté n° 2019_080

INVENTAIRE DES PHOTOGRAPHIES

PLOUDANIEL (29) - RD-770

Support	Format	Dimensions	Auteur	Date	Secteur	TR	Fait / Log	Description	Orientation [vue vers]	Code document	Réf. contenant
Num. couleur	.jpeg	6016x4000	C. Landart	16/09/2019	6	1	log 1			IM_2019_080_01	DVD-1
Num. couleur	.jpeg	6016x4000	E. Guézennec	16/09/2019	6	2	F 02.06	Fossé, interruption ?	nord-ouest	IM_2019_080_02	DVD-1
Num. couleur	.jpeg	6016x4000	E. Guézennec	16/09/2019	6	2	F 02.06	Fossé, interruption ?	nord-ouest	IM_2019_080_03	DVD-1
Num. couleur	.jpeg	6016x4000	E. Guézennec	16/09/2019	6	2	F 02.06	Fossé, interruption ?	nord-ouest	IM_2019_080_04	DVD-1
Num. couleur	.jpeg	6016x4000	E. Guézennec	16/09/2019	6	2	F 02.06	Fossé, interruption ?	nord	IM_2019_080_05	DVD-1
Num. couleur	.jpeg	6016x4000	E. Guézennec	16/09/2019	6	2	F 02.06	Fossé, interruption ?	nord	IM_2019_080_06	DVD-1
Num. couleur	.jpeg	6016x4000	E. Guézennec	16/09/2019	6	2	F 02.06	Fossé, interruption ?		IM_2019_080_07	DVD-1
Num. couleur	.jpeg	6016x4000	E. Guézennec	16/09/2019	6	2	F 02.06	Fossé, interruption ?		IM_2019_080_08	DVD-1
Num. couleur	.jpeg	6016x4000	E. Guézennec	16/09/2019	6	2	F 02.06	Fossé, interruption ?		IM_2019_080_09	DVD-1
Num. couleur	.jpeg	6016x4000	E. Guézennec	16/09/2019	6	2	F 02.06	Fossé, interruption ?		IM_2019_080_10	DVD-1
Num. couleur	.jpeg	6016x4000	E. Guézennec	16/09/2019	6	2	F 02.06	Fossé, interruption ?		IM_2019_080_11	DVD-1
Num. couleur	.jpeg	6016x4000	E. Guézennec	16/09/2019	6	2	F 02.06	Fossé, interruption ?		IM_2019_080_12	DVD-1
Num. couleur	.jpeg	6016x4000	E. Guézennec	16/09/2019	6	2	F 02.06	Fossé, interruption ?		IM_2019_080_13	DVD-1
Num. couleur	.jpeg	6016x4000	E. Guézennec	16/09/2019	6	2	F 02.06	Fossé, interruption ?		IM_2019_080_14	DVD-1
Num. couleur	.jpeg	6016x4000	R. Martinez	16/09/2019	6	4	F 04.03	Fin fouille de la structure : chablie probable	nord	IM_2019_080_15	DVD-1
Num. couleur	.jpeg	6016x4000	R. Martinez	16/09/2019	6	4	F 04.03	Fin fouille de la structure : chablie probable	nord	IM_2019_080_16	DVD-1
Num. couleur	.jpeg	6016x4000	R. Martinez	16/09/2019	6	4	F 04.03	Fin fouille de la structure : chablie probable	nord	IM_2019_080_17	DVD-1
Num. couleur	.jpeg	6016x4000	R. Martinez	16/09/2019	6	4	-	Vue générale	ouest	IM_2019_080_18	DVD-1
Num. couleur	.jpeg	6016x4000	A. Kergourlay	16/09/2019	6	6	-	Vue générale	nord-est	IM_2019_080_19	DVD-1
Num. couleur	.jpeg	6016x4000	A. Kergourlay	16/09/2019	6	6	-	Vue générale	nord-est	IM_2019_080_20	DVD-1
Num. couleur	.jpeg	6016x4000	A. Kergourlay	16/09/2019	6	7	F 07.05	vue avant fouille	ouest nord-ouest	IM_2019_080_21	DVD-1
Num. couleur	.jpeg	6016x4000	A. Kergourlay	16/09/2019	6	7	F 07.05	vue avant fouille	ouest nord-ouest	IM_2019_080_22	DVD-1
Num. couleur	.jpeg	6016x4000	E. Guézennec	16/09/2019	6	7	F 07.06 à F 07.08	Coupe est du sondage mécanique	est	IM_2019_080_23	DVD-1
Num. couleur	.jpeg	6016x4000	E. Guézennec	16/09/2019	6	7	F 07.06 à F 07.08	Coupe est du sondage mécanique	est	IM_2019_080_24	DVD-1
Num. couleur	.jpeg	6016x4000	E. Guézennec	16/09/2019	6	7	F 07.06 à F 07.08	Coupe ouest du sondage mécanique	ouest	IM_2019_080_25	DVD-1
Num. couleur	.jpeg	6016x4000	E. Guézennec	16/09/2019	6	7	F 07.06 à F 07.08	Coupe ouest du sondage mécanique	ouest	IM_2019_080_26	DVD-1
Num. couleur	.jpeg	6016x4000	E. Guézennec	17/09/2019	6	7	F 07.06	Coupe ouest	ouest	IM_2019_080_27	DVD-1
Num. couleur	.jpeg	6016x4000	E. Guézennec	17/09/2019	6	7	F 07.06	Coupe ouest	ouest	IM_2019_080_28	DVD-1
Num. couleur	.jpeg	6016x4000	E. Guézennec	17/09/2019	6	7	F 07.06 à F 07.08	Coupe ouest du sondage mécanique	ouest	IM_2019_080_29	DVD-1

PLOUDANIEL (29) - RD-770

INVENTAIRE DES PHOTOGRAPHIES

Arrêté n° 2019_080

Support	Format	Dimensions	Auteur	Date	Secteur	TR	Fait / Log	Description	Orientation (vue vers)	Code document	Réf. contenant
Num. couleur	.jpeg	6016x4000	E. Guézennec	17/09/2019	6	7	F 07.06 à F 07.08	Coupe ouest du sondage mécanique	ouest	IM_2019_080_30	DVD-1
Num. couleur	.jpeg	6016x4000	E. Guézennec	17/09/2019	6	7	F 07.06 à F 07.08	Coupe ouest du sondage mécanique	ouest	IM_2019_080_31	DVD-1
Num. couleur	.jpeg	6016x4000	E. Guézennec	17/09/2019	6	7	F 07.06 à F 07.08	Coupe ouest du sondage mécanique	ouest	IM_2019_080_32	DVD-1
Num. couleur	.jpeg	6016x4000	E. Guézennec	17/09/2019	6	7	F 07.06 à F 07.08	Coupe ouest du sondage mécanique	ouest	IM_2019_080_33	DVD-1
Num. couleur	.jpeg	6016x4000	E. Guézennec	17/09/2019	6	7	F 07.07	Coupe ouest	ouest	IM_2019_080_34	DVD-1
Num. couleur	.jpeg	6016x4000	E. Guézennec	17/09/2019	6	7	F 07.07	Coupe ouest	ouest	IM_2019_080_35	DVD-1
Num. couleur	.jpeg	6016x4000	E. Guézennec	17/09/2019	6	7	F 07.08	Coupe ouest	ouest	IM_2019_080_36	DVD-1
Num. couleur	.jpeg	6016x4000	E. Guézennec	17/09/2019	6	7	F 07.08	Coupe ouest	ouest	IM_2019_080_37	DVD-1
Num. couleur	.jpeg	6016x4000	E. Guézennec	17/09/2019	6	7	F 07.08	Coupe ouest	ouest	IM_2019_080_38	DVD-1
Num. couleur	.jpeg	6016x4000	C. Landart	17/09/2019	6	2	F 02.03	Coupe sud avec interception du fossé	sud	IM_2019_080_39	DVD-1
Num. couleur	.jpeg	6016x4000	C. Landart	17/09/2019	6	2	F 02.03	Coupe sud avec interception du fossé	sud	IM_2019_080_40	DVD-1
Num. couleur	.jpeg	6016x4000	C. Landart	17/09/2019	6	2	F 02.03	Coupe sud avec interception du fossé	sud	IM_2019_080_41	DVD-1
Num. couleur	.jpeg	6016x4000	C. Landart	17/09/2019	6	-	-	Calvaire croisement des routes		IM_2019_080_42	DVD-1
Num. couleur	.jpeg	6016x4000	C. Landart	17/09/2019	6	-	-	Calvaire croisement des routes		IM_2019_080_43	DVD-1
Num. couleur	.jpeg	6016x4000	C. Landart	17/09/2019	6	2	F 02.03	Coupe sud avec interception du fossé	sud	IM_2019_080_44	DVD-1
Num. couleur	.jpeg	6016x4000	C. Landart	17/09/2019	6	2	F 02.03	Coupe sud avec interception du fossé	sud	IM_2019_080_45	DVD-1
Num. couleur	.jpeg	6016x4000	R. Martinez	17/09/2019	6	3	-	Vue générale	est	IM_2019_080_46	DVD-1
Num. couleur	.jpeg	6016x4000	R. Martinez	17/09/2019	6	3	-	Vue générale	est	IM_2019_080_47	DVD-1
Num. couleur	.jpeg	6016x4000	R. Martinez	17/09/2019	6	3	-	Vue générale	ouest	IM_2019_080_48	DVD-1
Num. couleur	.jpeg	6016x4000	R. Martinez	17/09/2019	6	3	-	Vue générale	ouest	IM_2019_080_49	DVD-1
Num. couleur	.jpeg	6016x4000	R. Martinez	17/09/2019	6	3	-	Vue générale	ouest	IM_2019_080_50	DVD-1
Num. couleur	.jpeg	6016x4000	A. Kergourlay	17/09/2019	6	5	-	Vue générale zone avec 3 probables TP	nord-ouest	IM_2019_080_51	DVD-1
Num. couleur	.jpeg	6016x4000	A. Kergourlay	17/09/2019	6	5	-	Vue générale zone avec 3 probables TP	nord-ouest	IM_2019_080_52	DVD-1
Num. couleur	.jpeg	6016x4000	A. Kergourlay	17/09/2019	6	5	-	Vue générale zone avec 3 probables TP	nord-ouest	IM_2019_080_53	DVD-1
Num. couleur	.jpeg	6016x4000	A. Kergourlay	17/09/2019	6	5	F 05.02	Coupe et plan	nord	IM_2019_080_54	DVD-1
Num. couleur	.jpeg	6016x4000	A. Kergourlay	17/09/2019	6	5	F 05.02	Coupe	nord	IM_2019_080_55	DVD-1
Num. couleur	.jpeg	6016x4000	A. Kergourlay	17/09/2019	6	5	F 05.02	Coupe	nord	IM_2019_080_56	DVD-1
Num. couleur	.jpeg	6016x4000	A. Kergourlay	17/09/2019	6	-	-	Ambiance	-	IM_2019_080_57	DVD-1
Num. couleur	.jpeg	6016x4000	A. Kergourlay	17/09/2019	6	-	-	Ambiance	-	IM_2019_080_58	DVD-1
Num. couleur	.jpeg	6016x4000	A. Kergourlay	17/09/2019	6	-	-	Ambiance	-	IM_2019_080_59	DVD-1
Num. couleur	.jpeg	6016x4000	A. Kergourlay	17/09/2019	6	-	-	Ambiance	-	IM_2019_080_60	DVD-1
Num. couleur	.jpeg	6016x4000	A. Kergourlay	17/09/2019	6	-	-	Ambiance	-	IM_2019_080_61	DVD-1
Num. couleur	.jpeg	6016x4000	A. Kergourlay	17/09/2019	6	4	-	vue générale	nord-est	IM_2019_080_62	DVD-1
Num. couleur	.jpeg	6016x4000	A. Kergourlay	17/09/2019	6	4	-	vue générale	nord-est	IM_2019_080_63	DVD-1

Support	Format	Dimensions	Auteur	Date	Secteur	TR	Fait / Log	Description	Orientation (vue vers)	Code document	Réf. contenant
Num. couleur	.jpeg	6016x4000	A. Kergourlay	17/09/2019	6	4	-	vue générale	nord-est	IM_2019_080_64	DVD-1
Num. couleur	.jpeg	6016x4000	A. Kergourlay	17/09/2019	6	-	-	Ambiance	-	IM_2019_080_65	DVD-1
Num. couleur	.jpeg	6016x4000	A. Kergourlay	17/09/2019	6	4	-	vue générale	sud-ouest	IM_2019_080_66	DVD-1
Num. couleur	.jpeg	6016x4000	A. Kergourlay	17/09/2019	6	4	-	vue générale	sud-ouest	IM_2019_080_67	DVD-1
Num. couleur	.jpeg	6016x4000	A. Kergourlay	17/09/2019	6	2	F 02.07	coupe, chablis ?	nord	IM_2019_080_68	DVD-1
Num. couleur	.jpeg	6016x4000	A. Kergourlay	17/09/2019	6	2	F 02.07	coupe, chablis ?	nord	IM_2019_080_69	DVD-1
Num. couleur	.jpeg	6016x4000	A. Kergourlay	17/09/2019	6	2	F 02.07	coupe, chablis ?	nord nord-est	IM_2019_080_70	DVD-1
Num. couleur	.jpeg	6016x4000	A. Kergourlay	17/09/2019	6	2	F 02.07	coupe, chablis ?	nord nord-est	IM_2019_080_71	DVD-1
Num. couleur	.jpeg	6016x4000	R. Martinez	17/09/2019	6	3	F 03.06	TP coupe nord sud	ouest	IM_2019_080_72	DVD-1
Num. couleur	.jpeg	6016x4000	R. Martinez	17/09/2019	6	3	F 03.06	TP coupe nord sud	ouest	IM_2019_080_73	DVD-1
Num. couleur	.jpeg	6016x4000	R. Martinez	17/09/2019	6	3	F 03.01	fossé vidé à moitié	sud	IM_2019_080_74	DVD-1
Num. couleur	.jpeg	6016x4000	R. Martinez	17/09/2019	6	3	F 03.01	fossé vidé à moitié	sud	IM_2019_080_75	DVD-1
Num. couleur	.jpeg	6016x4000	A. Kergourlay	17/09/2019	6	7	-	vue générale	-	IM_2019_080_76	DVD-1
Num. couleur	.jpeg	6016x4000	A. Kergourlay	17/09/2019	6	7	-	vue générale	-	IM_2019_080_77	DVD-1
Num. couleur	.jpeg	6016x4000	A. Kergourlay	17/09/2019	6	7	-	vue générale	-	IM_2019_080_78	DVD-1
Num. couleur	.jpeg	6016x4000	A. Kergourlay	17/09/2019	6	7	-	vue générale	-	IM_2019_080_79	DVD-1
Num. couleur	.jpeg	6016x4000	A. Kergourlay	17/09/2019	6	7	-	vue générale	-	IM_2019_080_80	DVD-1
Num. couleur	.jpeg	6016x4000	A. Kergourlay	17/09/2019	6	7	-	vue générale	-	IM_2019_080_81	DVD-1
Num. couleur	.jpeg	6016x4000	R. Martinez	17/09/2019	6	3	F 03.01	Portion du fossé vide	ouest	IM_2019_080_82	DVD-1
Num. couleur	.jpeg	6016x4000	R. Martinez	17/09/2019	6	3	F 03.01	Portion du fossé vide	ouest	IM_2019_080_83	DVD-1
Num. couleur	.jpeg	6016x4000	R. Martinez	17/09/2019	6	3	F 03.02	coupe	sud	IM_2019_080_84	DVD-1
Num. couleur	.jpeg	6016x4000	A. Kergourlay	17/09/2019	6	7	F 07.05	coupe de la fosse en fin de fouille	est	IM_2019_080_85	DVD-1
Num. couleur	.jpeg	6016x4000	A. Kergourlay	17/09/2019	6	7	F 07.05	coupe de la fosse en fin de fouille	est	IM_2019_080_86	DVD-1
Num. couleur	.jpeg	6016x4000	A. Kergourlay	17/09/2019	6	7	F 07.05	coupe de la fosse en fin de fouille	est	IM_2019_080_87	DVD-1
Num. couleur	.jpeg	6016x4000	A. Kergourlay	17/09/2019	6	7	F 07.05	coupe de la fosse en fin de fouille	est	IM_2019_080_88	DVD-1
Num. couleur	.jpeg	6016x4000	A. Kergourlay	17/09/2019	6	7	F 07.05	coupe de la fosse en fin de fouille	est	IM_2019_080_89	DVD-1
Num. couleur	.jpeg	6016x4000	A. Kergourlay	17/09/2019	6	7	F 07.05	coupe de la fosse en fin de fouille	est	IM_2019_080_90	DVD-1
Num. couleur	.jpeg	6016x4000	A. Kergourlay	17/09/2019	6	7	F 07.05	coupe de la fosse en fin de fouille	est	IM_2019_080_91	DVD-1
Num. couleur	.jpeg	6016x4000	R. Martinez	17/09/2019	6	3	F 03.01	fossé	ouest	IM_2019_080_92	DVD-1
Num. couleur	.jpeg	6016x4000	E. Guézennec	17/09/2019	6	7	F 07.10 F 07.11	Intersection des deux structures	-	IM_2019_080_93	DVD-1
Num. couleur	.jpeg	6016x4000	E. Guézennec	17/09/2019	6	7	F 07.10 F 07.11	Intersection des deux structures	-	IM_2019_080_94	DVD-1
Num. couleur	.jpeg	6016x4000	E. Guézennec	17/09/2019	6	7	F 07.10 F 07.11	Intersection des deux structures	sud-ouest	IM_2019_080_95	DVD-1

PLOUDANIEL (29) - RD-770

INVENTAIRE DES PHOTOGRAPHIES

Arrêté n° 2019_080

Support	Format	Dimensions	Auteur	Date	Secteur	TR	Fait / Log	Description	Orientation (vue vers)	Code document	Réf. conteneur
Num. couleur	.jpeg	6016x4000	E. Guézennec	17/09/2019	6	7	F 07.10 F 07.11	Intersection des deux structures	ouest	IM_2019_080_96	DVD-1
Num. couleur	.jpeg	6016x4000	E. Guézennec	17/09/2019	6	7	F 07.10 F 07.11	Intersection des deux structures	nord	IM_2019_080_97	DVD-1
Num. couleur	.jpeg	6016x4000	E. Guézennec	17/09/2019	6	7	F 07.10	coupe du fossé	nord	IM_2019_080_98	DVD-1
Num. couleur	.jpeg	6016x4000	E. Guézennec	17/09/2019	6	7	F 07.10	coupe du fossé	nord	IM_2019_080_99	DVD-1
Num. couleur	.jpeg	6016x4000	E. Guézennec	17/09/2019	6	7	F 07.11	coupe du fossé	nord	IM_2019_080_100	DVD-1
Num. couleur	.jpeg	6016x4000	E. Guézennec	17/09/2019	6	7	F 07.11	coupe du fossé	sud	IM_2019_080_101	DVD-1
Num. couleur	.jpeg	6016x4000	E. Guézennec	17/09/2019	6	7	F 07.11	coupe du fossé	sud	IM_2019_080_102	DVD-1
Num. couleur	.jpeg	6016x4000	A. Kergourlay	17/09/2019	6	-	-	Ambiance	-	IM_2019_080_103	DVD-1
Num. couleur	.jpeg	6016x4000	A. Kergourlay	17/09/2019	6	2	F 02.03	vue générale	-	IM_2019_080_104	DVD-1
Num. couleur	.jpeg	6016x4000	A. Kergourlay	17/09/2019	6	2	F 02.03	vue générale	-	IM_2019_080_105	DVD-1
Num. couleur	.jpeg	6016x4000	C. Landart	17/09/2019	6	2	F 02.03	coupe ouest avant sondage mécanique	ouest	IM_2019_080_106	DVD-1
Num. couleur	.jpeg	6016x4000	C. Landart	17/09/2019	6	2	F 02.03	coupe ouest avant sondage mécanique	ouest	IM_2019_080_107	DVD-1
Num. couleur	.jpeg	6016x4000	C. Landart	17/09/2019	6	2	F 02.03	coupe ouest avant sondage mécanique	ouest	IM_2019_080_108	DVD-1
Num. couleur	.jpeg	6016x4000	A. Kergourlay	17/09/2019	6	2	F 02.03	coupe après le sondage mécanique	ouest	IM_2019_080_109	DVD-1
Num. couleur	.jpeg	6016x4000	A. Kergourlay	17/09/2019	6	2	F 02.03	coupe après le sondage mécanique	ouest	IM_2019_080_110	DVD-1
Num. couleur	.jpeg	6016x4000	A. Kergourlay	17/09/2019	6	2	F 02.03	coupe après le sondage mécanique	ouest	IM_2019_080_111	DVD-1
Num. couleur	.jpeg	6016x4000	A. Kergourlay	17/09/2019	6	2	F 02.03	coupe après le sondage mécanique	ouest	IM_2019_080_112	DVD-1
Num. couleur	.jpeg	6016x4000	A. Kergourlay	17/09/2019	6	2	F 02.03	coupe après le sondage mécanique	ouest	IM_2019_080_113	DVD-1
Num. couleur	.jpeg	6016x4000	A. Kergourlay	17/09/2019	6	2	F 02.03	coupe après le sondage mécanique	ouest	IM_2019_080_114	DVD-1
Num. couleur	.jpeg	3264x2448	E. Guézennec	16/09/2019	6	-	-	Ambiance	-	IM_2019_080_115	DVD-1
Num. couleur	.jpeg	3264x2448	E. Guézennec	17/09/2019	6	2	F 02.03	Ambiance + ouverture méca F.02.03	-	IM_2019_080_116	DVD-1
Num. couleur	.jpeg	3264x2448	E. Guézennec	17/09/2019	6	2	F 02.03	Ambiance + ouverture méca F.02.03	-	IM_2019_080_117	DVD-1
Num. couleur	.jpeg	3264x2448	E. Guézennec	17/09/2019	6	2	F 02.03	Ambiance + ouverture méca F.02.03	-	IM_2019_080_118	DVD-1
Num. couleur	.jpeg	3264x2448	E. Guézennec	17/09/2019	6	2	F 02.03	Ambiance + ouverture méca F.02.03	-	IM_2019_080_119	DVD-1
Num. couleur	.jpeg	2448x3264	E. Guézennec	20/09/2019	6	2	F 02.03	ambiance pelle méca	-	IM_2019_080_120	DVD-1
Num. couleur	.jpeg	6016x4000	C. Landart	18/09/2019	4	8	Log 2	Log 2	Sud	IM_2019_080_121	DVD-1
Num. couleur	.jpeg	6016x4000	C. Landart	18/09/2019	4	8	F 08.05	Trou de Poteau	Sud	IM_2019_080_122	DVD-1
Num. couleur	.jpeg	6016x4000	C. Landart	18/09/2019	4	9	F 09.02	fossé, coupe Nord	Nord	IM_2019_080_123	DVD-1
Num. couleur	.jpeg	6016x4000	C. Landart	18/09/2019	4	9	F 09.02	fossé, coupe Nord	Nord	IM_2019_080_124	DVD-1
Num. couleur	.jpeg	6016x4000	C. Landart	18/09/2019	4	9	F 09.02	fossé, coupe Nord	Nord	IM_2019_080_125	DVD-1
Num. couleur	.jpeg	6016x4000	C. Landart	18/09/2019	4	9	F 09.02	fossé, coupe Nord	Nord	IM_2019_080_126	DVD-1
Num. couleur	.jpeg	6016x4000	C. Landart	18/09/2019	4	9	F 09.02	fossé, coupe Nord	Nord	IM_2019_080_127	DVD-1
Num. couleur	.jpeg	6016x4000	C. Landart	18/09/2019	4	9	F 09.02	fossé, coupe Nord	Nord	IM_2019_080_128	DVD-1
Num. couleur	.jpeg	6016x4000	C. Landart	18/09/2019	4	9	F 09.02	fossé, coupe Nord	Nord	IM_2019_080_129	DVD-1
Num. couleur	.jpeg	6016x4000	C. Landart	18/09/2019	4	9	F 09.01	Fossé coupe Nord	Nord	IM_2019_080_130	DVD-1
Num. couleur	.jpeg	6016x4000	C. Landart	18/09/2019	4	9	F 09.01	Fossé coupe Nord	Nord	IM_2019_080_131	DVD-1

Support	Format	Dimensions	Auteur	Date	Secteur	TR	Fait / Log	Description	Orientation (vue vers)	Code document	Réf. contenant
Num. couleur	.jpeg	6016x4000	C. Landart	18/09/2019	4	9	F.09.01 et F.09.02	Vue générale	Nord	IM_2019_080_132	DVD-1
Num. couleur	.jpeg	6016x4000	C. Landart	18/09/2019	4	9	F.09.01 et F.09.02	Vue générale	Nord	IM_2019_080_133	DVD-1
Num. couleur	.jpeg	6016x4000	C. Landart	18/09/2019	4	9	F.09.01 et F.09.02	Vue générale	Nord	IM_2019_080_134	DVD-1
Num. couleur	.jpeg	6016x4000	C. Landart	18/09/2019	4	9	F.09.01 et F.09.02	Vue générale	Nord	IM_2019_080_135	DVD-1
Num. couleur	.jpeg	6016x4000	C. Landart	18/09/2019	4	9	-	Vue générale	Est	IM_2019_080_136	DVD-1
Num. couleur	.jpeg	6016x4000	C. Landart	18/09/2019	4	9	-	Vue générale	Est	IM_2019_080_137	DVD-1
Num. couleur	.jpeg	6016x4000	C. Landart	18/09/2019	4	9	-	Vue générale	Est	IM_2019_080_138	DVD-1
Num. couleur	.jpeg	6016x4000	C. Landart	18/09/2019	4	9	-	Vue générale	Est	IM_2019_080_139	DVD-1
Num. couleur	.jpeg	6016x4000	C. Landart	18/09/2019	4	10	F.10.04	F.10.04	Nord-Est	IM_2019_080_140	DVD-1
Num. couleur	.jpeg	6016x4000	C. Landart	18/09/2019	4	10	F.10.04	F.10.04	Nord-Est	IM_2019_080_141	DVD-1
Num. couleur	.jpeg	6016x4000	C. Landart	18/09/2019	4	10	F.10.04	F.10.04	Nord-Est	IM_2019_080_142	DVD-1
Num. couleur	.jpeg	6016x4000	E. Guézennec	18/09/2019	4	10	F.10.07	Céramique Age du Bronze	nord-Est	IM_2019_080_143	DVD-1
Num. couleur	.jpeg	6016x4000	E. Guézennec	18/09/2019	4	10	F.10.07	Céramique Age du Bronze	Nord-Est	IM_2019_080_144	DVD-1
Num. couleur	.jpeg	6016x4000	E. Guézennec	18/09/2019	4	10	F.10.07	Céramique Age du Bronze	Nord-Est	IM_2019_080_145	DVD-1
Num. couleur	.jpeg	6016x4000	E. Guézennec	18/09/2019	4	10	F.10.07	Céramique Age du Bronze	Nord-Est	IM_2019_080_146	DVD-1
Num. couleur	.jpeg	6016x4000	E. Guézennec	18/09/2019	4	10	F.10.07	Céramique Age du Bronze	Nord-Est	IM_2019_080_147	DVD-1
Num. couleur	.jpeg	6016x4000	E. Guézennec	18/09/2019	4	10	F.10.07	Céramique Age du Bronze	Nord-Est	IM_2019_080_148	DVD-1
Num. couleur	.jpeg	6016x4000	E. Guézennec	18/09/2019	4	10	F.10.07	Céramique Age du Bronze	Nord-Est	IM_2019_080_149	DVD-1
Num. couleur	.jpeg	6016x4000	E. Guézennec	18/09/2019	4	10	F.10.07	Céramique Age du Bronze	nord-Est	IM_2019_080_150	DVD-1
Num. couleur	.jpeg	6016x4000	E. Guézennec	18/09/2019	4	10	F.10.07	Céramique Age du Bronze	Nord-Est	IM_2019_080_151	DVD-1
Num. couleur	.jpeg	6016x4000	E. Guézennec	18/09/2019	4	10	F.10.07	Céramique Age du Bronze	Nord-Est	IM_2019_080_152	DVD-1
Num. couleur	.jpeg	6016x4000	E. Guézennec	18/09/2019	4	10	F.10.07	Céramique Age du Bronze	Nord-Est	IM_2019_080_153	DVD-1
Num. couleur	.jpeg	6016x4000	E. Guézennec	18/09/2019	4	10	F.10.07	Céramique Age du Bronze	Nord-Est	IM_2019_080_154	DVD-1
Num. couleur	.jpeg	6016x4000	E. Guézennec	18/09/2019	4	10	F.10.07	Céramique Age du Bronze	Nord-Est	IM_2019_080_155	DVD-1
Num. couleur	.jpeg	6016x4000	E. Guézennec	18/09/2019	4	10	F.10.07	Céramique Age du Bronze	Nord-Est	IM_2019_080_156	DVD-1
Num. couleur	.jpeg	6016x4000	E. Guézennec	18/09/2019	4	10	F.10.07	Céramique Age du Bronze	Nord-Est	IM_2019_080_157	DVD-1
Num. couleur	.jpeg	6016x4000	E. Guézennec	18/09/2019	4	10	F.10.07	Céramique Age du Bronze	Nord-Est	IM_2019_080_158	DVD-1
Num. couleur	.jpeg	6016x4000	R. Martinez	18/09/2019	4	13	Log 4	Log 4	Ouest	IM_2019_080_159	DVD-1
Num. couleur	.jpeg	6016x4000	E. Guézennec	18/09/2019	4	10	F.10.07	Céramique Age du Bronze	-	IM_2019_080_160	DVD-1
Num. couleur	.jpeg	6016x4000	E. Guézennec	18/09/2019	4	10	F.10.07	Céramique Age du Bronze	-	IM_2019_080_161	DVD-1

PLOUDANIEL (29) - RD-770

INVENTAIRE DES PHOTOGRAPHIES

Arrêté n° 2019_080

Support	Format	Dimensions	Auteur	Date	Scieur	Tr	Fait / Log	Description	Orientation (vue vers)	Code document	Réf. contenant
Num. couleur	.jpeg	6016x4000	E. Guézennec	18/09/2019	4	10	F.10.07	Céramique Age du Bronze	-	IM_2019_080_162	DVD-1
Num. couleur	.jpeg	6016x4000	E. Guézennec	18/09/2019	4	10	F.10.07	Céramique Age du Bronze	-	IM_2019_080_163	DVD-1
Num. couleur	.jpeg	6016x4000	E. Guézennec	18/09/2019	4	10	F.10.07	Céramique Age du Bronze	-	IM_2019_080_164	DVD-1
Num. couleur	.jpeg	6016x4000	E. Guézennec	18/09/2019	4	10	F.10.07	Céramique Age du Bronze	-	IM_2019_080_165	DVD-1
Num. couleur	.jpeg	6016x4000	E. Guézennec	18/09/2019	4	10	F.10.07	Céramique Age du Bronze	-	IM_2019_080_166	DVD-1
Num. couleur	.jpeg	6016x4000	E. Guézennec	18/09/2019	4	10	F.10.07	Céramique Age du Bronze	-	IM_2019_080_167	DVD-1
Num. couleur	.jpeg	6016x4000	C. Landart	18/09/2019	4	12	Log 3	Log 3	Ouest	IM_2019_080_168	DVD-1
Num. couleur	.jpeg	6016x4000	R. Martinez	18/09/2019	4	13	F.13.03	Sillon de charrue? Non vidé	Sud	IM_2019_080_169	DVD-1
Num. couleur	.jpeg	6016x4000	R. Martinez	18/09/2019	4	13	F.13.03	Sillon de charrue? Non vidé	Sud	IM_2019_080_170	DVD-1
Num. couleur	.jpeg	6016x4000	C. Landart	18/09/2019	4	10	F.10.06	Fossé	Sud	IM_2019_080_171	DVD-1
Num. couleur	.jpeg	6016x4000	C. Landart	18/09/2019	4	10	F.10.06	Fossé	Sud	IM_2019_080_172	DVD-1
Num. couleur	.jpeg	6016x4000	E. Guézennec	18/09/2019	4	10	F.10.07	Céramique Age du Bronze	-	IM_2019_080_173	DVD-1
Num. couleur	.jpeg	6016x4000	E. Guézennec	18/09/2019	4	10	F.10.07	Céramique Age du Bronze	-	IM_2019_080_174	DVD-1
Num. couleur	.jpeg	6016x4000	E. Guézennec	18/09/2019	4	10	F.10.07	Céramique Age du Bronze	-	IM_2019_080_175	DVD-1
Num. couleur	.jpeg	6016x4000	E. Guézennec	18/09/2019	4	10	F.10.07	Céramique Age du Bronze	-	IM_2019_080_176	DVD-1
Num. couleur	.jpeg	6016x4000	E. Guézennec	18/09/2019	4	10	F.10.07	Céramique Age du Bronze	-	IM_2019_080_177	DVD-1
Num. couleur	.jpeg	6016x4000	E. Guézennec	18/09/2019	4	10	F.10.07	Céramique Age du Bronze	-	IM_2019_080_178	DVD-1
Num. couleur	.jpeg	6016x4000	E. Guézennec	18/09/2019	4	10	F.10.07	Céramique Age du Bronze	-	IM_2019_080_179	DVD-1
Num. couleur	.jpeg	6016x4000	E. Guézennec	18/09/2019	4	10	F.10.07	Céramique Age du Bronze	-	IM_2019_080_180	DVD-1
Num. couleur	.jpeg	6016x4000	E. Guézennec	18/09/2019	4	10	F.10.07	Céramique Age du Bronze	-	IM_2019_080_181	DVD-1
Num. couleur	.jpeg	6016x4000	E. Guézennec	18/09/2019	4	10	F.10.07	Céramique Age du Bronze	-	IM_2019_080_182	DVD-1
Num. couleur	.jpeg	6016x4000	E. Guézennec	18/09/2019	4	10	F.10.07	Céramique Age du Bronze	-	IM_2019_080_183	DVD-1
Num. couleur	.jpeg	6016x4000	E. Guézennec	18/09/2019	4	10	F.10.07	Céramique Age du Bronze	-	IM_2019_080_184	DVD-1
Num. couleur	.jpeg	6016x4000	E. Guézennec	18/09/2019	4	10	F.10.07	Céramique Age du Bronze	-	IM_2019_080_185	DVD-1
Num. couleur	.jpeg	6016x4000	E. Guézennec	18/09/2019	4	10	F.10.07	Céramique Age du Bronze	-	IM_2019_080_186	DVD-1
Num. couleur	.jpeg	6016x4000	E. Guézennec	18/09/2019	4	10	F.10.07	Céramique Age du Bronze	-	IM_2019_080_187	DVD-1
Num. couleur	.jpeg	6016x4000	E. Guézennec	18/09/2019	4	10	F.10.07	Céramique Age du Bronze	-	IM_2019_080_188	DVD-1
Num. couleur	.jpeg	6016x4000	E. Guézennec	18/09/2019	4	10	F.10.07	Céramique Age du Bronze	-	IM_2019_080_189	DVD-1
Num. couleur	.jpeg	6016x4000	R. Martinez	19/09/2019	4	8	F.08.06	Fossé coupe Ouest sondage méca	Ouest	IM_2019_080_190	DVD-1
Num. couleur	.jpeg	6016x4000	R. Martinez	19/09/2019	4	8	F.08.06	Fossé coupe Ouest sondage méca	Ouest	IM_2019_080_191	DVD-1
Num. couleur	.jpeg	6016x4000	E. Guézennec	19/09/2019	4	10	F.10.07	Céramique Age du Bronze	-	IM_2019_080_192	DVD-1
Num. couleur	.jpeg	6016x4000	E. Guézennec	19/09/2019	4	10	F.10.07	Céramique Age du Bronze	-	IM_2019_080_193	DVD-1
Num. couleur	.jpeg	6016x4000	E. Guézennec	19/09/2019	4	10	F.10.07	Céramique Age du Bronze	-	IM_2019_080_194	DVD-1
Num. couleur	.jpeg	6016x4000	R. Martinez	19/09/2019	4	13	F.13.03	Sillon de charrue?	-	IM_2019_080_195	DVD-1
Num. couleur	.jpeg	6016x4000	R. Martinez	19/09/2019	4	13	F.13.03	Sillon de charrue?	-	IM_2019_080_196	DVD-1
Num. couleur	.jpeg	6016x4000	C. Landart	19/09/2019	4	10	F.10.05	plan et coupe sud	Sud	IM_2019_080_197	DVD-1
Num. couleur	.jpeg	6016x4000	C. Landart	19/09/2019	4	10	F.10.05	plan et coupe sud	Sud	IM_2019_080_198	DVD-1
Num. couleur	.jpeg	6016x4000	C. Landart	19/09/2019	4	10	F.10.05	plan et coupe sud	Sud	IM_2019_080_199	DVD-1

Support	Format	Dimensions	Auteur	Date	Secteur	Tr	Fait / Log	Description	Orientation (vue vers)	Code document	Réf. Contenant
Num. couleur	.jpeg	6016x4000	C. Landart	19/09/2019	4	10	F.10.05	plan et coupe sud	Sud	IM_2019_080_200	DVD-1
Num. couleur	.jpeg	6016x4000	C. Landart	19/09/2019	4	10	F.10.05	plan et coupe sud	Sud	IM_2019_080_201	DVD-1
Num. couleur	.jpeg	6016x4000	C. Landart	19/09/2019	4	10	-	extension sud, vue générale	Sud	IM_2019_080_202	DVD-1
Num. couleur	.jpeg	6016x4000	C. Landart	19/09/2019	4	10	-	extension sud, vue générale	Sud	IM_2019_080_203	DVD-1
Num. couleur	.jpeg	6016x4000	C. Landart	19/09/2019	4	10	-	extension sud, vue générale	Sud	IM_2019_080_204	DVD-1
Num. couleur	.jpeg	6016x4000	C. Landart	19/09/2019	4	10	-	extension sud, vue générale	Sud	IM_2019_080_205	DVD-1
Num. couleur	.jpeg	6016x4000	R. Martinez	19/09/2019	4	13	-	vue générale	-	IM_2019_080_206	DVD-1
Num. couleur	.jpeg	6016x4000	R. Martinez	19/09/2019	4	13	-	vue générale	-	IM_2019_080_207	DVD-1
Num. couleur	.jpeg	6016x4000	R. Martinez	19/09/2019	4	13	-	vue générale	-	IM_2019_080_208	DVD-1
Num. couleur	.jpeg	6016x4000	R. Martinez	19/09/2019	4	14	-	vue générale	-	IM_2019_080_209	DVD-1
Num. couleur	.jpeg	6016x4000	R. Martinez	19/09/2019	4	14	-	vue générale	-	IM_2019_080_210	DVD-1
Num. couleur	.jpeg	6016x4000	R. Martinez	19/09/2019	4	13	F.13.02	sondage méca coupe fossé	-	IM_2019_080_211	DVD-1
Num. couleur	.jpeg	6016x4000	R. Martinez	19/09/2019	4	13	F.13.02	sondage méca coupe fossé	-	IM_2019_080_212	DVD-1
Num. couleur	.jpeg	6016x4000	C. Landart	19/09/2019	4	14	F.14.05	sondage méca coupe fossé	-	IM_2019_080_213	DVD-1
Num. couleur	.jpeg	6016x4000	C. Landart	19/09/2019	4	14	F.14.05	sondage méca coupe fossé	-	IM_2019_080_214	DVD-1
Num. couleur	.jpeg	6016x4000	C. Landart	19/09/2019	4	14	F.14.05	sondage méca coupe fossé	-	IM_2019_080_215	DVD-1
Num. couleur	.jpeg	6016x4000	C. Landart	19/09/2019	4	14	F.14.05	sondage méca coupe fossé	-	IM_2019_080_216	DVD-1
Num. couleur	.jpeg	6016x4000	C. Landart	19/09/2019	4	14	F.14.05	sondage méca coupe fossé	-	IM_2019_080_217	DVD-1
Num. couleur	.jpeg	6016x4000	C. Landart	19/09/2019	4	14	-	vue générale	-	IM_2019_080_218	DVD-1
Num. couleur	.jpeg	6016x4000	C. Landart	19/09/2019	4	14	-	vue générale	-	IM_2019_080_219	DVD-1
Num. couleur	.jpeg	6016x4000	C. Landart	19/09/2019	4	14	-	vue générale	-	IM_2019_080_220	DVD-1
Num. couleur	.jpeg	6016x4000	C. Landart	19/09/2019	4	14	-	vue générale	-	IM_2019_080_221	DVD-1
Num. couleur	.jpeg	6016x4000	C. Landart	19/09/2019	4	14	-	vue générale	-	IM_2019_080_222	DVD-1
Num. couleur	.jpeg	6016x4000	C. Landart	19/09/2019	4	14	-	vue générale	-	IM_2019_080_223	DVD-1
Num. couleur	.jpeg	6016x4000	C. Landart	19/09/2019	4	14	-	vue générale	-	IM_2019_080_224	DVD-1
Num. couleur	.jpeg	6016x4000	A. Kergourlay	19/09/2019	4	10	F.10.07	fosses fouillées	-	IM_2019_080_225	DVD-1
Num. couleur	.jpeg	6016x4000	A. Kergourlay	19/09/2019	4	10	F.10.07	fosses fouillées	-	IM_2019_080_226	DVD-1
Num. couleur	.jpeg	6016x4000	A. Kergourlay	19/09/2019	4	10	F.10.07	fosses fouillées	-	IM_2019_080_227	DVD-1
Num. couleur	.jpeg	6016x4000	A. Kergourlay	19/09/2019	4	10	F.10.07	fosses fouillées	-	IM_2019_080_228	DVD-1
Num. couleur	.jpeg	6016x4000	A. Kergourlay	19/09/2019	4	10	F.10.07	fosses fouillées	-	IM_2019_080_229	DVD-1
Num. couleur	.jpeg	6016x4000	A. Kergourlay	19/09/2019	4	10	F.10.07	fosses fouillées	-	IM_2019_080_230	DVD-1
Num. couleur	.jpeg	6016x4000	A. Kergourlay	19/09/2019	4	-	-	ambiance	-	IM_2019_080_231	DVD-1
Num. couleur	.jpeg	3264x1836	A. Kergourlay	19/09/2019	4	10	F.10.07	gros plan céramique ADB	-	IM_2019_080_232	DVD-1
Num. couleur	.jpeg	3264x1836	A. Kergourlay	19/09/2019	4	10	F.10.07	gros plan céramique ADB	-	IM_2019_080_233	DVD-1
Num. couleur	.jpeg	3264x1836	A. Kergourlay	19/09/2019	4	10	F.10.07	gros plan céramique ADB	-	IM_2019_080_234	DVD-1
Num. couleur	.jpeg	3264x1836	A. Kergourlay	19/09/2019	4	10	F.10.07	gros plan céramique ADB	-	IM_2019_080_235	DVD-1
Num. couleur	.jpeg	3264x1836	A. Kergourlay	19/09/2019	4	10	F.10.07	gros plan céramique ADB	-	IM_2019_080_236	DVD-1
Num. couleur	.jpeg	3264x1836	A. Kergourlay	19/09/2019	4	10	F.10.07	gros plan céramique ADB	-	IM_2019_080_237	DVD-1

PLOUDANIEL (29) - RD-770

INVENTAIRE DES PHOTOGRAPHIES

Arrêté n° 2019_080

Support	Format	Dimensions	Auteur	Date	Scieur	TR	Fait / Log	Description	Orientation (vue vers)	Code document	Réf. Contenant
Num. couleur	.jpeg	3264x1836	A. Kergourlay	19/09/2019	4	10	F.10.07	gros plan céramique ADB	-	IM_2019_080_238	DVD-1
Num. couleur	.jpeg	3264x1836	A. Kergourlay	19/09/2019	4	10	F.10.07	gros plan céramique ADB	-	IM_2019_080_239	DVD-1
Num. couleur	.jpeg	3264x1836	A. Kergourlay	19/09/2019	4	10	F.10.07	gros plan céramique ADB	-	IM_2019_080_240	DVD-1
Num. couleur	.jpeg	3264x1836	A. Kergourlay	19/09/2019	4	10	F.10.07	gros plan céramique ADB	-	IM_2019_080_241	DVD-1
Num. couleur	.jpeg	3264x1836	A. Kergourlay	19/09/2019	4	10	F.10.07	gros plan céramique ADB	-	IM_2019_080_242	DVD-1
Num. couleur	.jpeg	3264x1836	A. Kergourlay	19/09/2019	4	10	F.10.07	gros plan céramique ADB	-	IM_2019_080_243	DVD-1
Num. couleur	.jpeg	3264x2448	E. Guézennec	18/09/2019	4	-	-	traces de structures	-	IM_2019_080_244	DVD-1
Num. couleur	.jpeg	3264x2448	E. Guézennec	19/09/2019	4	10	F.10.07	Céramique ADB	-	IM_2019_080_245	DVD-1
Num. couleur	.jpeg	3264x2448	E. Guézennec	19/09/2019	4	10	F.10.07	Céramique ADB	-	IM_2019_080_246	DVD-1
Num. couleur	.jpeg	3264x2448	E. Guézennec	20/09/2019	4	10	F.10.07	Céramique ADB	-	IM_2019_080_247	DVD-1
Num. couleur	.jpeg	3264x2448	E. Guézennec	20/09/2019	4	10	F.10.07	Céramique ADB	-	IM_2019_080_248	DVD-1
Num. couleur	.jpeg	3264x2448	E. Guézennec	20/09/2019	4	10	F.10.07	Céramique ADB	-	IM_2019_080_249	DVD-1
Num. couleur	.jpeg	3264x2448	E. Guézennec	20/09/2019	4	10	F.10.07	Céramique ADB	-	IM_2019_080_250	DVD-1
Num. couleur	.jpeg	3264x2448	E. Guézennec	20/09/2019	4	10	F.10.07	Céramique ADB	-	IM_2019_080_251	DVD-1
Num. couleur	.jpeg	3264x2448	E. Guézennec	20/09/2019	4	10	F.10.07	Céramique ADB	-	IM_2019_080_252	DVD-1
Num. couleur	.jpeg	3264x2448	E. Guézennec	20/09/2019	4	10	F.10.07	Céramique ADB	-	IM_2019_080_253	DVD-1
Num. couleur	.jpeg	2448x3264	E. Guézennec	20/09/2019	4	10	F.10.07	Céramique ADB	-	IM_2019_080_254	DVD-1
Num. couleur	.jpeg	6016x4000	E. Guézennec	19/09/2019	7	15	Log 5	Log 5	Sud-Ouest	IM_2019_080_256	DVD-1
Num. couleur	.jpeg	6016x4000	E. Guézennec	19/09/2019	7	15	-	vue générale	Nord	IM_2019_080_257	DVD-1
Num. couleur	.jpeg	6016x4000	E. Guézennec	19/09/2019	7	15	-	vue générale	Nord	IM_2019_080_258	DVD-1
Num. couleur	.jpeg	6016x4000	C. Landart	20/09/2019	7	15	F.15.03	vue générale	-	IM_2019_080_259	DVD-1
Num. couleur	.jpeg	6016x4000	C. Landart	20/09/2019	7	15	F.15.03	vue générale	-	IM_2019_080_260	DVD-1
Num. couleur	.jpeg	6016x4000	C. Landart	20/09/2019	7	15	F.15.03	vue générale	-	IM_2019_080_261	DVD-1
Num. couleur	.jpeg	6016x4000	C. Landart	20/09/2019	7	15	F.15.03	vue générale	-	IM_2019_080_262	DVD-1
Num. couleur	.jpeg	6016x4000	C. Landart	20/09/2019	7	15	F.15.03	vue générale	-	IM_2019_080_263	DVD-1
Num. couleur	.jpeg	6016x4000	C. Landart	20/09/2019	7	15	F.15.03	vue générale	-	IM_2019_080_264	DVD-1
Num. couleur	.jpeg	6016x4000	C. Landart	20/09/2019	7	15	F.15.03	vue générale	-	IM_2019_080_265	DVD-1
Num. couleur	.jpeg	6016x4000	C. Landart	20/09/2019	7	15	F.15.03	vue générale	-	IM_2019_080_266	DVD-1
Num. couleur	.jpeg	6016x4000	C. Landart	20/09/2019	7	15	F.15.03	vue générale	-	IM_2019_080_267	DVD-1
Num. couleur	.jpeg	6016x4000	C. Landart	20/09/2019	7	15	F.15.03	vue générale	-	IM_2019_080_268	DVD-1
Num. couleur	.jpeg	6016x4000	C. Landart	20/09/2019	7	15	F.15.03	Coupe Nord-Est du fossé	Nord-Est	IM_2019_080_269	DVD-1
Num. couleur	.jpeg	6016x4000	C. Landart	20/09/2019	7	15	F.15.03	Coupe Nord-Est du fossé	Nord-Est	IM_2019_080_270	DVD-1
Num. couleur	.jpeg	6016x4000	C. Landart	20/09/2019	7	15	F.15.03	Coupe Nord-Est du fossé	Nord-Est	IM_2019_080_271	DVD-1
Num. couleur	.jpeg	6016x4000	C. Landart	20/09/2019	7	15	F.15.03	Coupe Sud-Est du fossé	Sud-Est	IM_2019_080_272	DVD-1
Num. couleur	.jpeg	6016x4000	C. Landart	20/09/2019	7	15	F.15.03	Coupe Sud-Est du fossé	Sud-Est	IM_2019_080_273	DVD-1
Num. couleur	.jpeg	6016x4000	C. Landart	20/09/2019	7	15	F.15.03	Coupe Sud-Est du fossé	Sud-Est	IM_2019_080_274	DVD-1
Num. couleur	.jpeg	6016x4000	C. Landart	20/09/2019	7	15	F.15.03	Coupe Sud-Est du fossé	Sud-Est	IM_2019_080_275	DVD-1

Support	Format	Dimensions	Auteur	Date	Secteur	TR	Fait / Log	Description	Oriantation (vue vers)	Code document	Réf. contenant
Num. couleur	.jpeg	6016x4000	E. Guézennec	20/09/2019	7	15	F.15.03	photos détails	-	IM_2019_080_276	DVD-1
Num. couleur	.jpeg	6016x4000	E. Guézennec	20/09/2019	7	15	F.15.03	photos détails	-	IM_2019_080_277	DVD-1
Num. couleur	.jpeg	6016x4000	E. Guézennec	20/09/2019	7	15	F.15.03	photos détails	-	IM_2019_080_278	DVD-1
Num. couleur	.jpeg	6016x4000	E. Guézennec	20/09/2019	7	15	F.15.03	photos détails	-	IM_2019_080_279	DVD-1
Num. couleur	.jpeg	6016x4000	E. Guézennec	20/09/2019	7	15	F.15.03	photos détails	-	IM_2019_080_280	DVD-1
Num. couleur	.jpeg	6016x4000	E. Guézennec	20/09/2019	7	15	F.15.03	photos détails	-	IM_2019_080_281	DVD-1
Num. couleur	.jpeg	6016x4000	E. Guézennec	20/09/2019	7	15	F.15.03	photos détails	-	IM_2019_080_282	DVD-1
Num. couleur	.jpeg	6016x4000	C. Landart	20/09/2019	7	15	Log 6	Log 6	Nord-Est	IM_2019_080_283	DVD-1
Num. couleur	.jpeg	6016x4000	C. Landart	20/09/2019	7	15	Log 6	Log 6	Nord-Est	IM_2019_080_284	DVD-1
Num. couleur	.jpeg	6016x4000	C. Landart	20/09/2019	7	15	Log 6	Log 6	Nord-Est	IM_2019_080_285	DVD-1
Num. couleur	.jpeg	6016x4000	C. Landart	20/09/2019	7	18	Log 7	Log 7	Sud-Est	IM_2019_080_286	DVD-1
Num. couleur	.jpeg	6016x4000	C. Landart	20/09/2019	7	18	Log 7	Log 7	Sud-Est	IM_2019_080_287	DVD-1
Num. couleur	.jpeg	6016x4000	C. Landart	20/09/2019	7	18	Log 7	Log 7	Sud-Est	IM_2019_080_288	DVD-1
Num. couleur	.jpeg	6016x4000	C. Landart	20/09/2019	7	18	Log 7	Log 7	Sud-Est	IM_2019_080_289	DVD-1
Num. couleur	.jpeg	6016x4000	R. Martinez	20/09/2019	7	15	F.15.03	Coupe ES	Sud-Est	IM_2019_080_290	DVD-1
Num. couleur	.jpeg	6016x4000	R. Martinez	20/09/2019	7	15	F.15.03	Coupe ES	Sud-Est	IM_2019_080_291	DVD-1
Num. couleur	.jpeg	6016x4000	C. Landart	20/09/2019	7	22	F.22.03 et F.22.04	Coupe F.22.03 et F.22.04	Sud-Ouest	IM_2019_080_292	DVD-1
Num. couleur	.jpeg	6016x4000	C. Landart	20/09/2019	7	22	F.22.03 et F.22.04	Coupe F.22.03 et F.22.04	Sud-Ouest	IM_2019_080_293	DVD-1
Num. couleur	.jpeg	6016x4000	C. Landart	20/09/2019	7	22	F.22.03 et F.22.04	Coupe F.22.03 et F.22.04	Sud-Ouest	IM_2019_080_294	DVD-1
Num. couleur	.jpeg	6016x4000	C. Landart	20/09/2019	7	22	F.22.03 et F.22.04	Coupe F.22.03 et F.22.04	Sud-Ouest	IM_2019_080_295	DVD-1
Num. couleur	.jpeg	6016x4000	C. Landart	20/09/2019	7	22	F.22.04	Plan F.22.04	Nord-Ouest	IM_2019_080_296	DVD-1
Num. couleur	.jpeg	6016x4000	C. Landart	20/09/2019	7	22	F.22.04	Plan F.22.04	Nord-Ouest	IM_2019_080_297	DVD-1
Num. couleur	.jpeg	6016x4000	C. Landart	20/09/2019	7	22	F.22.04	Plan F.22.04	Nord-Ouest	IM_2019_080_298	DVD-1
Num. couleur	.jpeg	6016x4000	C. Landart	20/09/2019	7	22	F.22.04	Plan F.22.04	Nord-Ouest	IM_2019_080_299	DVD-1
Num. couleur	.jpeg	6016x4000	C. Landart	23/09/2019	7	17	-	Vue générale	Nord-Ouest	IM_2019_080_300	DVD-1
Num. couleur	.jpeg	6016x4000	C. Landart	23/09/2019	7	17	-	Vue générale	Nord-Ouest	IM_2019_080_301	DVD-1
Num. couleur	.jpeg	6016x4000	C. Landart	23/09/2019	7	18	-	Vue générale	Nord-Ouest	IM_2019_080_302	DVD-1
Num. couleur	.jpeg	6016x4000	C. Landart	23/09/2019	7	18	-	Vue générale	Nord-Ouest	IM_2019_080_303	DVD-1
Num. couleur	.jpeg	6016x4000	C. Landart	23/09/2019	7	19	-	Vue générale	Nord-Ouest	IM_2019_080_304	DVD-1
Num. couleur	.jpeg	6016x4000	C. Landart	23/09/2019	7	19	-	Vue générale	Nord-Ouest	IM_2019_080_305	DVD-1

PLOUDANIEL (29) - RD-770

INVENTAIRE DES PHOTOGRAPHIES

Arrêté n° 2019_080

Support	Format	Dimensions	Auteur	Date	Secteur	TR	Fait / Log	Description	Oriantation (vue vers)	Code document	Ref. contenant
Num. couleur	.jpeg	6016x4000	C. Landart	23/09/2019	7	20	-	Vue générale	Nord-Ouest	IM_2019_080_306	DVD-1
Num. couleur	.jpeg	6016x4000	C. Landart	23/09/2019	7	20	-	Vue générale	Nord-Ouest	IM_2019_080_307	DVD-1
Num. couleur	.jpeg	6016x4000	C. Landart	23/09/2019	7	20	-	Vue générale	Sud-Est	IM_2019_080_308	DVD-1
Num. couleur	.jpeg	6016x4000	C. Landart	23/09/2019	7	20	-	Vue générale	Sud-Est	IM_2019_080_309	DVD-1
Num. couleur	.jpeg	6016x4000	C. Landart	23/09/2019	7	21	-	Vue générale	Sud-Est	IM_2019_080_310	DVD-1
Num. couleur	.jpeg	6016x4000	C. Landart	23/09/2019	7	21	-	Vue générale	Sud-Est	IM_2019_080_311	DVD-1
Num. couleur	.jpeg	6016x4000	C. Landart	23/09/2019	7	22	-	Vue générale	Est	IM_2019_080_312	DVD-1
Num. couleur	.jpeg	6016x4000	C. Landart	23/09/2019	7	22	-	Vue générale	Est	IM_2019_080_313	DVD-1
Num. couleur	.jpeg	6016x4000	C. Landart	23/09/2019	7	23	-	vue générale	Est	IM_2019_080_314	DVD-1
Num. couleur	.jpeg	6016x4000	C. Landart	23/09/2019	7	23	-	vue générale	Est	IM_2019_080_315	DVD-1
Num. couleur	.jpeg	6016x4000	C. Landart	23/09/2019	7	24	-	vue générale	Est	IM_2019_080_316	DVD-1
Num. couleur	.jpeg	6016x4000	C. Landart	23/09/2019	7	24	-	vue générale	Est	IM_2019_080_317	DVD-1
Num. couleur	.jpeg	6016x4000	C. Landart	23/09/2019	7	25	-	vue générale	Sud-Est	IM_2019_080_318	DVD-1
Num. couleur	.jpeg	6016x4000	C. Landart	23/09/2019	7	25	-	vue générale	Sud-Est	IM_2019_080_319	DVD-1
Num. couleur	.jpeg	6016x4000	C. Landart	23/09/2019	7	26	-	vue générale	Sud-Est	IM_2019_080_320	DVD-1
Num. couleur	.jpeg	6016x4000	C. Landart	23/09/2019	7	26	-	vue générale	Sud-Est	IM_2019_080_321	DVD-1
Num. couleur	.jpeg	6016x4000	C. Landart	23/09/2019	7	20	Log 8	Log 8 TR 20	Sud-Ouest	IM_2019_080_322	DVD-1
Num. couleur	.jpeg	6016x4000	C. Landart	23/09/2019	7	20	Log 8	Log 8 TR 21	Sud-Ouest	IM_2019_080_323	DVD-1
Num. couleur	.jpeg	6016x4000	C. Landart	23/09/2019	7	15	F.15.03	Coupe Nord/Sud F.15.03	Est	IM_2019_080_324	DVD-1
Num. couleur	.jpeg	6016x4000	C. Landart	23/09/2019	7	15	F.15.03	Coupe Nord/Sud F.15.03	Est	IM_2019_080_325	DVD-1
Num. couleur	.jpeg	6016x4000	C. Landart	23/09/2019	7	15	F.15.03	Coupe Nord/Sud F.15.03	Est	IM_2019_080_326	DVD-1
Num. couleur	.jpeg	6016x4000	R. Martinez	24/09/2019	7	17	F.17.04	Fossé	Sud	IM_2019_080_327	DVD-1
Num. couleur	.jpeg	3264x2448	E. Guézennec	16/09/2019	7	7	-	sondage méca	-	IM_2019_080_328	DVD-1
Num. couleur	.jpeg	3264x2448	E. Guézennec	20/09/2019	7	20	-	ambiance	-	IM_2019_080_329	DVD-1
Num. couleur	.jpeg	6016x4000	A. Kergourlay	25/09/2019	8	27	F.27.02	Coupe Ouest chablis	-	IM_2019_080_330	DVD-1
Num. couleur	.jpeg	6016x4000	A. Kergourlay	25/09/2019	8	27	F.27.02	Coupe Ouest chablis	-	IM_2019_080_331	DVD-1
Num. couleur	.jpeg	6016x4000	A. Kergourlay	25/09/2019	8	27	F.27.02	Coupe Ouest chablis	-	IM_2019_080_332	DVD-1
Num. couleur	.jpeg	6016x4000	A. Kergourlay	25/09/2019	8	27	F.27.02	Coupe Ouest chablis	-	IM_2019_080_333	DVD-1
Num. couleur	.jpeg	6016x4000	A. Kergourlay	25/09/2019	8	27	F.27.02	Coupe Ouest chablis	-	IM_2019_080_334	DVD-1
Num. couleur	.jpeg	6016x4000	A. Kergourlay	25/09/2019	8	27	F.27.02	Coupe Ouest chablis	-	IM_2019_080_335	DVD-1
Num. couleur	.jpeg	6016x4000	A. Kergourlay	25/09/2019	8	27	F.27.02	Coupe Ouest chablis	-	IM_2019_080_336	DVD-1
Num. couleur	.jpeg	6016x4000	A. Kergourlay	25/09/2019	8	27	F.27.02	Coupe Ouest chablis	-	IM_2019_080_337	DVD-1
Num. couleur	.jpeg	6016x4000	R. Martinez	25/09/2019	8	27	F.27.07	Coupe Est du sondage mécanique	Est	IM_2019_080_338	DVD-1
Num. couleur	.jpeg	6016x4000	R. Martinez	25/09/2019	8	27	F.27.07	Coupe Est du sondage mécanique	Est	IM_2019_080_339	DVD-1
Num. couleur	.jpeg	6016x4000	M. Lainé	25/09/2019	8	27	F.27.01		Divers	IM_2019_080_340	DVD-1
Num. couleur	.jpeg	6016x4000	M. Lainé	25/09/2019	8	27	F.27.01		Divers	IM_2019_080_341	DVD-1
Num. couleur	.jpeg	6016x4000	M. Lainé	25/09/2019	8	27	F.27.01		Divers	IM_2019_080_342	DVD-1
Num. couleur	.jpeg	6016x4000	M. Lainé	25/09/2019	8	27	F.27.01		Divers	IM_2019_080_343	DVD-1

Support	Format	Dimensions	Auteur	Date	Secteur	TR	Fait / Log	Description	Oriantation (vue vers)	Code document	Ref. contenant
Num. couleur	.jpeg	6016x4000	M. Lainé	25/09/2019	8	27	F.27.01		Divers	IM_2019_080_344	DVD-1
Num. couleur	.jpeg	6016x4000	M. Lainé	25/09/2019	8	27	F.27.01		Divers	IM_2019_080_345	DVD-1
Num. couleur	.jpeg	6016x4000	M. Lainé	25/09/2019	8	27	F.27.01		Divers	IM_2019_080_346	DVD-1
Num. couleur	.jpeg	6016x4000	M. Lainé	25/09/2019	8	27	F.27.01		Divers	IM_2019_080_347	DVD-1
Num. couleur	.jpeg	6016x4000	M. Lainé	25/09/2019	8	27	Log 10	Log 10	Divers	IM_2019_080_348	DVD-1
Num. couleur	.jpeg	6016x4000	M. Lainé	25/09/2019	8	27	Log 10	Log 10	Divers	IM_2019_080_349	DVD-1
Num. couleur	.jpeg	6016x4000	M. Lainé	25/09/2019	8	27	Log 10	Log 10	Divers	IM_2019_080_350	DVD-1
Num. couleur	.jpeg	6016x4000	M. Lainé	25/09/2019	8	27	Log 10	Log 10	Divers	IM_2019_080_351	DVD-1
Num. couleur	.jpeg	6016x4000	M. Lainé	25/09/2019	8	27	-	vue générale	Divers	IM_2019_080_352	DVD-1
Num. couleur	.jpeg	6016x4000	M. Lainé	25/09/2019	8	27	-	vue générale	Divers	IM_2019_080_353	DVD-1
Num. couleur	.jpeg	6016x4000	M. Lainé	25/09/2019	8	27	-	vue générale	Divers	IM_2019_080_354	DVD-1
Num. couleur	.jpeg	6016x4000	M. Lainé	25/09/2019	8	27	-	vue générale	Divers	IM_2019_080_355	DVD-1
Num. couleur	.jpeg	6016x4000	M. Lainé	25/09/2019	8	27	-	vue générale	Divers	IM_2019_080_356	DVD-1
Num. couleur	.jpeg	6016x4000	M. Lainé	25/09/2019	8	27	-	vue générale	Divers	IM_2019_080_357	DVD-1
Num. couleur	.jpeg	6016x4000	M. Lainé	25/09/2019	8	27	-	vue générale	Divers	IM_2019_080_358	DVD-1
Num. couleur	.jpeg	6016x4000	M. Lainé	25/09/2019	8	27	-	vue générale	Divers	IM_2019_080_359	DVD-1
Num. couleur	.jpeg	6016x4000	M. Lainé	25/09/2019	8	27	-	vue générale	Divers	IM_2019_080_360	DVD-1
Num. couleur	.jpeg	6016x4000	M. Lainé	25/09/2019	8	27	-	vue générale	Divers	IM_2019_080_361	DVD-1
Num. couleur	.jpeg	6016x4000	M. Lainé	25/09/2019	8	27	-	vue générale	Divers	IM_2019_080_362	DVD-1
Num. couleur	.jpeg	6016x4000	M. Lainé	25/09/2019	8	27	-	vue générale	Divers	IM_2019_080_363	DVD-1
Num. couleur	.jpeg	6016x4000	M. Lainé	25/09/2019	8	27	-	vue générale	Divers	IM_2019_080_364	DVD-1
Num. couleur	.jpeg	3264x1836	A. Kergourlay	25/09/2019	8	27	-	vue générale et ambiance	-	IM_2019_080_365	DVD-1
Num. couleur	.jpeg	3264x1836	A. Kergourlay	25/09/2019	8	27	-	vue générale et ambiance	-	IM_2019_080_366	DVD-1
Num. couleur	.jpeg	3264x1836	A. Kergourlay	25/09/2019	8	27	-	vue générale et ambiance	-	IM_2019_080_367	DVD-1
Num. couleur	.jpeg	3264x1836	A. Kergourlay	25/09/2019	8	27	-	vue générale et ambiance	-	IM_2019_080_368	DVD-1
Num. couleur	.jpeg	3264x1836	A. Kergourlay	25/09/2019	8	27	-	vue générale et ambiance	-	IM_2019_080_369	DVD-1
Num. couleur	.jpeg	3264x1836	A. Kergourlay	25/09/2019	8	27	-	vue générale et ambiance	-	IM_2019_080_370	DVD-1
Num. couleur	.jpeg	3264x1836	A. Kergourlay	25/09/2019	8	27	-	vue générale et ambiance	-	IM_2019_080_371	DVD-1
Num. couleur	.jpeg	3264x1836	A. Kergourlay	25/09/2019	8	27	-	vue générale et ambiance	-	IM_2019_080_372	DVD-1
Num. couleur	.jpeg	3264x1836	A. Kergourlay	25/09/2019	8	27	-	vue générale et ambiance	-	IM_2019_080_373	DVD-1
Num. couleur	.jpeg	3264x1836	A. Kergourlay	25/09/2019	8	27	-	vue générale et ambiance	-	IM_2019_080_374	DVD-1
Num. couleur	.jpeg	6016x4000	R. Martinez	25/09/2019	10	-	-	photos générales (TR + environnement)	Divers	IM_2019_080_375	DVD-1
Num. couleur	.jpeg	4000x6016	R. Martinez	25/09/2019	10	-	-	photos générales (TR + environnement)	Divers	IM_2019_080_376	DVD-1
Num. couleur	.jpeg	6016x4000	R. Martinez	25/09/2019	10	-	-	photos générales (TR + environnement)	Divers	IM_2019_080_377	DVD-1
Num. couleur	.jpeg	6016x4000	R. Martinez	25/09/2019	10	-	-	photos générales (TR + environnement)	Divers	IM_2019_080_378	DVD-1
Num. couleur	.jpeg	6016x4000	R. Martinez	25/09/2019	10	-	-	photos générales (TR + environnement)	Divers	IM_2019_080_379	DVD-1
Num. couleur	.jpeg	6016x4000	R. Martinez	25/09/2019	10	-	-	photos générales (TR + environnement)	Divers	IM_2019_080_380	DVD-1
Num. couleur	.jpeg	6016x4000	R. Martinez	25/09/2019	10	-	-	photos générales (TR + environnement)	Divers	IM_2019_080_381	DVD-1

PLOUDANIEL (29) - RD-770

INVENTAIRE DES PHOTOGRAPHIES

Arrêté n° 2019_080

Support	Format	Dimensions	Auteur	Date	Secteur	TR	Fait / Log	Description	Oriantation (vue vers)	Code document	Ref. contenant
Num. couleur	.jpeg	6016x4000	R. Martinez	25/09/2019	10	-	-	photos générales (TR + environnement)	Divers	IM_2019_080_382	DVD-1
Num. couleur	.jpeg	6016x4000	R. Martinez	25/09/2019	10	-	-	photos générales (TR + environnement)	Divers	IM_2019_080_383	DVD-1
Num. couleur	.jpeg	6016x4000	R. Martinez	25/09/2019	10	-	-	photos générales (TR + environnement)	Divers	IM_2019_080_384	DVD-1
Num. couleur	.jpeg	6016x4000	R. Martinez	25/09/2019	10	-	-	photos générales (TR + environnement)	Divers	IM_2019_080_385	DVD-1
Num. couleur	.jpeg	6016x4000	R. Martinez	25/09/2019	10	-	-	photos générales (TR + environnement)	Divers	IM_2019_080_386	DVD-1
Num. couleur	.jpeg	6016x4000	R. Martinez	25/09/2019	10	-	-	photos générales (TR + environnement)	Divers	IM_2019_080_387	DVD-1
Num. couleur	.jpeg	6016x4000	R. Martinez	25/09/2019	10	-	-	photos générales (TR + environnement)	Divers	IM_2019_080_388	DVD-1
Num. couleur	.jpeg	6016x4000	R. Martinez	25/09/2019	10	-	-	photos générales (TR + environnement)	Divers	IM_2019_080_389	DVD-1
Num. couleur	.jpeg	6016x4000	R. Martinez	25/09/2019	10	-	-	photos générales (TR + environnement)	Divers	IM_2019_080_390	DVD-1
Num. couleur	.jpeg	6016x4000	R. Martinez	25/09/2019	10	-	-	photos générales (TR + environnement)	Divers	IM_2019_080_391	DVD-1
Num. couleur	.jpeg	6016x4000	R. Martinez	25/09/2019	10	-	-	photos générales (TR + environnement)	Divers	IM_2019_080_392	DVD-1
Num. couleur	.jpeg	6016x4000	R. Martinez	25/09/2019	10	-	-	photos générales (TR + environnement)	Divers	IM_2019_080_393	DVD-1
Num. couleur	.jpeg	6016x4000	A. Kergourlay	26/09/2019	10	29	F.29.01	F.29.01 avant sondage méca	Divers	IM_2019_080_394	DVD-1
Num. couleur	.jpeg	6016x4000	A. Kergourlay	26/09/2019	10	29	F.29.01	F.29.01 avant sondage méca	Divers	IM_2019_080_395	DVD-1
Num. couleur	.jpeg	6016x4000	A. Kergourlay	26/09/2019	10	29	F.29.01	F.29.01 avant sondage méca	Divers	IM_2019_080_396	DVD-1
Num. couleur	.jpeg	6016x4000	A. Kergourlay	26/09/2019	10	29	F.29.01	F.29.01 avant sondage méca	Divers	IM_2019_080_397	DVD-1
Num. couleur	.jpeg	6016x4000	A. Kergourlay	27/09/2019	10	28	Log 11	Log 11	-	IM_2019_080_398	DVD-1
Num. couleur	.jpeg	6016x4000	A. Kergourlay	27/09/2019	10	28	Log 11	Log 11	-	IM_2019_080_399	DVD-1
Num. couleur	.jpeg	6016x4000	A. Kergourlay	27/09/2019	10	29	Log 12	Log 12	-	IM_2019_080_400	DVD-1
Num. couleur	.jpeg	6016x4000	A. Kergourlay	27/09/2019	10	29	Log 12	Log 12	-	IM_2019_080_401	DVD-1
Num. couleur	.jpeg	6016x4000	A. Kergourlay	27/09/2019	10	30	Log 13	Log 13	-	IM_2019_080_402	DVD-1
Num. couleur	.jpeg	6016x4000	A. Kergourlay	27/09/2019	10	30	Log 13	Log 13	-	IM_2019_080_403	DVD-1
Num. couleur	.jpeg	6016x4000	A. Kergourlay	27/09/2019	10	-	-	Ambiance	-	IM_2019_080_404	DVD-1
Num. couleur	.jpeg	6016x4000	A. Kergourlay	27/09/2019	10	-	-	Ambiance	-	IM_2019_080_405	DVD-1
Num. couleur	.jpeg	6016x4000	A. Kergourlay	27/09/2019	10	-	-	Ambiance + coupe F.29.01	-	IM_2019_080_406	DVD-1
Num. couleur	.jpeg	6016x4000	A. Kergourlay	27/09/2019	10	29	F.29.01	Coupe sondage méca	Sud-Sud Est	IM_2019_080_407	DVD-1
Num. couleur	.jpeg	6016x4000	A. Kergourlay	27/09/2019	10	29	F.29.01	Coupe sondage méca	Sud-Sud Est	IM_2019_080_408	DVD-1
Num. couleur	.jpeg	6016x4000	A. Kergourlay	27/09/2019	10	29	F.29.01	Coupe sondage méca	Sud-Sud Est	IM_2019_080_409	DVD-1
Num. couleur	.jpeg	6016x4000	A. Kergourlay	27/09/2019	10	29	F.29.01	Coupe sondage méca	Sud-Sud Est	IM_2019_080_410	DVD-1
Num. couleur	.jpeg	6016x4000	A. Kergourlay	27/09/2019	10	29	F.29.01	Coupe sondage méca	Sud-Sud Est	IM_2019_080_411	DVD-1
Num. couleur	.jpeg	6016x4000	A. Kergourlay	27/09/2019	10	29	F.29.20	Coupe Nord sondage méca	Nord	IM_2019_080_412	DVD-1
Num. couleur	.jpeg	6016x4000	A. Kergourlay	27/09/2019	10	29	F.29.20	Coupe Nord sondage méca	Nord	IM_2019_080_413	DVD-1
Num. couleur	.jpeg	6016x4000	A. Kergourlay	27/09/2019	10	29	F.29.20	Coupe Nord sondage méca	Nord	IM_2019_080_414	DVD-1
Num. couleur	.jpeg	6016x4000	A. Kergourlay	27/09/2019	10	29	F.29.20	Coupe Sud Sondage méca	Sud	IM_2019_080_415	DVD-1
Num. couleur	.jpeg	6016x4000	A. Kergourlay	27/09/2019	10	29	F.29.20	Coupe Sud Sondage méca	Sud	IM_2019_080_416	DVD-1
Num. couleur	.jpeg	6016x4000	A. Kergourlay	27/09/2019	10	29	F.29.20	Coupe Sud Sondage méca	Sud	IM_2019_080_417	DVD-1
Num. couleur	.jpeg	6016x4000	A. Kergourlay	27/09/2019	10	29	F.29.20	Coupe Sud Sondage méca	Sud	IM_2019_080_418	DVD-1
Num. couleur	.jpeg	6016x4000	C. Landart	27/09/2019	10	36	F.36.02	Coupe Est, Sondage méca	Est	IM_2019_080_419	DVD-1

Support	Format	Dimensions	Auteur	Date	Secteur	Tr	Fait / Log	Description	Orientation (vue vers)	Code document	Réf. Contenant
Num. couleur	.jpeg	6016x4000	C. Landart	27/09/2019	10	36	F.36.02	Coupe Est, Sondage méca	Est	IM_2019_080_420	DVD-1
Num. couleur	.jpeg	6016x4000	C. Landart	27/09/2019	10	36	F.36.02	Coupe Est, Sondage méca	Est	IM_2019_080_421	DVD-1
Num. couleur	.jpeg	6016x4000	C. Landart	27/09/2019	10	36	F.36.02	Coupe Est, Sondage méca	Est	IM_2019_080_422	DVD-1
Num. couleur	.jpeg	6016x4000	A. Kergourlay	27/09/2019	10	30	-	vue des structures	-	IM_2019_080_423	DVD-1
Num. couleur	.jpeg	6016x4000	A. Kergourlay	27/09/2019	10	30	-	vue des structures	-	IM_2019_080_424	DVD-1
Num. couleur	.jpeg	6016x4000	A. Kergourlay	27/09/2019	10	30	-	vue des structures	-	IM_2019_080_425	DVD-1
Num. couleur	.jpeg	6016x4000	A. Kergourlay	27/09/2019	10	30	-	vue des structures	-	IM_2019_080_426	DVD-1
Num. couleur	.jpeg	6016x4000	A. Kergourlay	27/09/2019	10	30	-	vue des structures	-	IM_2019_080_427	DVD-1
Num. couleur	.jpeg	6016x4000	A. Kergourlay	27/09/2019	10	30	-	vue des structures	-	IM_2019_080_428	DVD-1
Num. couleur	.jpeg	6016x4000	A. Kergourlay	27/09/2019	10	30	-	vue des structures	-	IM_2019_080_429	DVD-1
Num. couleur	.jpeg	6016x4000	A. Kergourlay	27/09/2019	10	30	-	vue des structures	-	IM_2019_080_430	DVD-1
Num. couleur	.jpeg	6016x4000	A. Kergourlay	27/09/2019	10	30	-	vue des structures	-	IM_2019_080_431	DVD-1
Num. couleur	.jpeg	6016x4000	A. Kergourlay	27/09/2019	10	30	-	vue des structures	-	IM_2019_080_432	DVD-1
Num. couleur	.jpeg	6016x4000	A. Kergourlay	27/09/2019	10	30	-	vue des structures	-	IM_2019_080_433	DVD-1
Num. couleur	.jpeg	6016x4000	A. Kergourlay	27/09/2019	10	30	-	vue des structures	-	IM_2019_080_434	DVD-1
Num. couleur	.jpeg	6016x4000	A. Kergourlay	27/09/2019	10	30	-	vue des structures	-	IM_2019_080_435	DVD-1
Num. couleur	.jpeg	6016x4000	A. Kergourlay	27/09/2019	10	30	-	vue des structures	-	IM_2019_080_436	DVD-1
Num. couleur	.jpeg	6016x4000	A. Kergourlay	27/09/2019	10	30	-	vue des structures	-	IM_2019_080_437	DVD-1
Num. couleur	.jpeg	6016x4000	A. Kergourlay	27/09/2019	10	30	-	vue des structures	-	IM_2019_080_438	DVD-1
Num. couleur	.jpeg	6016x4000	A. Kergourlay	27/09/2019	10	30	-	vue des structures	-	IM_2019_080_439	DVD-1
Num. couleur	.jpeg	6016x4000	A. Kergourlay	27/09/2019	10	30	-	vue des structures	-	IM_2019_080_440	DVD-1
Num. couleur	.jpeg	6016x4000	A. Kergourlay	27/09/2019	10	30	-	vue des structures	-	IM_2019_080_441	DVD-1
Num. couleur	.jpeg	6016x4000	A. Kergourlay	27/09/2019	10	30	-	vue des structures	-	IM_2019_080_442	DVD-1
Num. couleur	.jpeg	6016x4000	A. Kergourlay	27/09/2019	10	30	-	vue des structures	-	IM_2019_080_443	DVD-1
Num. couleur	.jpeg	6016x4000	A. Kergourlay	27/09/2019	10	30	-	vue des structures	-	IM_2019_080_444	DVD-1
Num. couleur	.jpeg	6016x4000	A. Kergourlay	27/09/2019	10	30	-	Topo	-	IM_2019_080_445	DVD-1
Num. couleur	.jpeg	6016x4000	A. Kergourlay	27/09/2019	10	30	-	sondage méca coupe fossé	-	IM_2019_080_446	DVD-1
Num. couleur	.jpeg	6016x4000	A. Kergourlay	27/09/2019	10	30	-	sondage méca coupe fossé	-	IM_2019_080_447	DVD-1
Num. couleur	.jpeg	6016x4000	A. Kergourlay	27/09/2019	10	30	-	sondage méca coupe fossé	-	IM_2019_080_448	DVD-1
Num. couleur	.jpeg	6016x4000	A. Kergourlay	27/09/2019	10	-	-	Ambiance	-	IM_2019_080_449	DVD-1
Num. couleur	.jpeg	6016x4000	A. Kergourlay	27/09/2019	10	-	-	Ambiance	-	IM_2019_080_450	DVD-1
Num. couleur	.jpeg	6016x4000	A. Kergourlay	27/09/2019	10	-	-	Ambiance	-	IM_2019_080_451	DVD-1
Num. couleur	.jpeg	6016x4000	A. Kergourlay	27/09/2019	10	-	-	Ambiance	-	IM_2019_080_452	DVD-1
Num. couleur	.jpeg	6016x4000	A. Kergourlay	27/09/2019	10	-	-	Ambiance	-	IM_2019_080_453	DVD-1
Num. couleur	.jpeg	6016x4000	A. Kergourlay	27/09/2019	10	-	-	Ambiance	-	IM_2019_080_454	DVD-1
Num. couleur	.jpeg	6016x4000	A. Kergourlay	27/09/2019	10	-	-	Ambiance	-	IM_2019_080_455	DVD-1
Num. couleur	.jpeg	6016x4000	A. Kergourlay	27/09/2019	10	30	F.30.06	Coupe Nord sondage méca	Nord	IM_2019_080_456	DVD-1
Num. couleur	.jpeg	6016x4000	A. Kergourlay	27/09/2019	10	30	F.30.06	Coupe Nord sondage méca	Nord	IM_2019_080_457	DVD-1

PLOUDANIEL (29) - RD-770

INVENTAIRE DES PHOTOGRAPHIES

Arrêté n° 2019_080

Support	Format	Dimensions	Auteur	Date	Secteur	TR	Faib / Log	Description	Orientation (vue vers)	Code document	Réf. contenant
Num. couleur	.jpeg	6016x4000	A. Kergourlay	27/09/2019	10	30	F.30.06	Coupe Nord sondage méca	Nord	IM_2019_080_458	DVD-1
Num. couleur	.jpeg	6016x4000	A. Kergourlay	27/09/2019	10	30	F.30.06	Coupe Nord sondage méca	Nord	IM_2019_080_459	DVD-1
Num. couleur	.jpeg	6016x4000	A. Kergourlay	27/09/2019	10	30	F.30.06	Coupe Nord sondage méca	Nord	IM_2019_080_460	DVD-1
Num. couleur	.jpeg	6016x4000	A. Kergourlay	27/09/2019	10	30	F.30.06	Coupe Nord sondage méca	Nord	IM_2019_080_461	DVD-1
Num. couleur	.jpeg	6016x4000	A. Kergourlay	27/09/2019	10	30	F.30.06	Coupe Sud-Est sondage méca	Sud-Ouest	IM_2019_080_462	DVD-1
Num. couleur	.jpeg	6016x4000	A. Kergourlay	27/09/2019	10	30	F.30.06	Coupe Sud-Est sondage méca	Sud-Ouest	IM_2019_080_463	DVD-1
Num. couleur	.jpeg	6016x4000	A. Kergourlay	27/09/2019	10	30	F.30.06	Coupe Sud-Est sondage méca	Sud-Ouest	IM_2019_080_464	DVD-1
Num. couleur	.jpeg	6016x4000	A. Kergourlay	27/09/2019	10	30	F.30.06	Coupe Sud-Est sondage méca	Sud-Ouest	IM_2019_080_465	DVD-1
Num. couleur	.jpeg	6016x4000	A. Kergourlay	27/09/2019	10	30	F.30.06	Coupe Sud-Est sondage méca	Sud-Ouest	IM_2019_080_466	DVD-1
Num. couleur	.jpeg	6016x4000	C. Landart	27/09/2019	10	36	F.36.03	Coupe Est	Est	IM_2019_080_467	DVD-1
Num. couleur	.jpeg	6016x4000	C. Landart	27/09/2019	10	36	F.36.03	Coupe Est	Est	IM_2019_080_468	DVD-1
Num. couleur	.jpeg	6016x4000	C. Landart	27/09/2019	10	36	F.36.03	Coupe Nord	Nord	IM_2019_080_469	DVD-1
Num. couleur	.jpeg	6016x4000	C. Landart	27/09/2019	10	36	F.36.03	Coupe Nord	Nord	IM_2019_080_470	DVD-1
Num. couleur	.jpeg	6016x4000	C. Landart	27/09/2019	10	36	F.36.03	Coupe Nord	Nord	IM_2019_080_471	DVD-1
Num. couleur	.jpeg	6016x4000	C. Landart	27/09/2019	10	36	F.36.03	Coupe Nord	Nord	IM_2019_080_472	DVD-1
Num. couleur	.jpeg	6016x4000	A. Kergourlay	27/09/2019	10	30	F.30.06	Topo	-	IM_2019_080_473	DVD-1
Num. couleur	.jpeg	6016x4000	A. Kergourlay	27/09/2019	10	30	F.30.06	Coupe Ouest	Ouest	IM_2019_080_474	DVD-1
Num. couleur	.jpeg	6016x4000	A. Kergourlay	27/09/2019	10	30	F.30.06	Coupe Ouest	Ouest	IM_2019_080_475	DVD-1
Num. couleur	.jpeg	6016x4000	A. Kergourlay	27/09/2019	10	30	F.30.06	Coupe Ouest	Ouest	IM_2019_080_476	DVD-1
Num. couleur	.jpeg	6016x4000	A. Kergourlay	27/09/2019	10	30	F.30.06	Coupe Ouest	Ouest	IM_2019_080_477	DVD-1
Num. couleur	.jpeg	6016x4000	A. Kergourlay	27/09/2019	10	30	F.30.06	Coupe Ouest	Ouest	IM_2019_080_478	DVD-1
Num. couleur	.jpeg	6016x4000	A. Kergourlay	27/09/2019	10	30	F.30.06	Coupe Ouest	Ouest	IM_2019_080_479	DVD-1
Num. couleur	.jpeg	6016x4000	A. Kergourlay	27/09/2019	10	30	F.30.06	Coupe Ouest	Ouest	IM_2019_080_480	DVD-1
Num. couleur	.jpeg	6016x4000	R. Martinez	30/09/2019	10	31	-	Photo générale	Nord-Ouest	IM_2019_080_481	DVD-1
Num. couleur	.jpeg	6016x4000	R. Martinez	30/09/2019	10	31	-	Photo générale	Sud-Ouest	IM_2019_080_482	DVD-1
Num. couleur	.jpeg	6016x4000	R. Martinez	30/09/2019	10	32	-	Photo générale	Sud-Est	IM_2019_080_483	DVD-1
Num. couleur	.jpeg	6016x4000	R. Martinez	30/09/2019	10	32	-	Photo générale	Nord-Est	IM_2019_080_484	DVD-1
Num. couleur	.jpeg	6016x4000	R. Martinez	30/09/2019	10	33	-	photos générales des structures	Nord-Est	IM_2019_080_485	DVD-1
Num. couleur	.jpeg	6016x4000	R. Martinez	30/09/2019	10	33	F.33.04	détail structure principale	Sud-Est	IM_2019_080_486	DVD-1
Num. couleur	.jpeg	6016x4000	R. Martinez	30/09/2019	10	34	-	vue générale	Nord-Ouest	IM_2019_080_487	DVD-1
Num. couleur	.jpeg	6016x4000	R. Martinez	30/09/2019	10	34	-	vue générale	Sud-Est	IM_2019_080_488	DVD-1
Num. couleur	.jpeg	6016x4000	R. Martinez	30/09/2019	10	34	-	vue générale	Sud-Est	IM_2019_080_489	DVD-1
Num. couleur	.jpeg	6016x4000	R. Martinez	30/09/2019	10	35	-	vue générale	Nord-Ouest	IM_2019_080_490	DVD-1
Num. couleur	.jpeg	6016x4000	R. Martinez	30/09/2019	10	35	-	vue générale	Nord-Ouest	IM_2019_080_491	DVD-1
Num. couleur	.jpeg	6016x4000	R. Martinez	30/09/2019	10	37	-	vue générale	Est	IM_2019_080_492	DVD-1
Num. couleur	.jpeg	6016x4000		30/09/2019	10	36	F.36.03	Coupe Est	Est	IM_2019_080_493	DVD-1
Num. couleur	.jpeg	6016x4000		30/09/2019	10	36	F.36.03	Coupe Est	Est	IM_2019_080_494	DVD-1
Num. couleur	.jpeg	6016x4000		30/09/2019	10	36	F.36.03	Coupe Est	Est	IM_2019_080_495	DVD-1

Support	Format	Dimensions	Auteur	Date	Secteur	TR	Fait / Log	Description	Orientation (vue vers)	Code document	Réf. contenant
Num. couleur	.jpeg	6016x4000		30/09/2019	10	36	F.36.03	Coupe Est	Est	IM_2019_080_496	DVD-1
Num. couleur	.jpeg	6016x4000		30/09/2019	10	36	F.36.03	Coupe Est	Est	IM_2019_080_497	DVD-1
Num. couleur	.jpeg	6016x4000		30/09/2019	10	36	F.36.02	Coupe Nord	Nord	IM_2019_080_498	DVD-1
Num. couleur	.jpeg	6016x4000		30/09/2019	10	36	F.36.02	Coupe Nord	Nord	IM_2019_080_499	DVD-1
Num. couleur	.jpeg	6016x4000		30/09/2019	10	36	F.36.02	Coupe Nord	Nord	IM_2019_080_500	DVD-1
Num. couleur	.jpeg	6016x4000		30/09/2019	10	36	F.36.02 et F.36.03	vue générale	Nord-Ouest	IM_2019_080_501	DVD-1
Num. couleur	.jpeg	6016x4000		30/09/2019	10	36	-	vue générale	Nord-Ouest	IM_2019_080_502	DVD-1
Num. couleur	.jpeg	6016x4000		30/09/2019	10	36	-	vue générale	Nord-Ouest	IM_2019_080_503	DVD-1
Num. couleur	.jpeg	6016x4000		30/09/2019	10	36	-	vue générale	Sud-Est	IM_2019_080_504	DVD-1
Num. couleur	.jpeg	6016x4000		30/09/2019	10	36	-	vue générale	Sud-Est	IM_2019_080_505	DVD-1
Num. couleur	.jpeg	6016x4000		30/09/2019	10	36	-	vue générale	Sud-Est	IM_2019_080_506	DVD-1
Num. couleur	.jpeg	6016x4000		30/09/2019	10	36	-	vue générale	Sud-Est	IM_2019_080_507	DVD-1
Num. couleur	.jpeg	6016x4000	A. Kergourlay	30/09/2019	10	30	F.30.06	Coupe Sud	Sud-Est	IM_2019_080_508	DVD-1
Num. couleur	.jpeg	6016x4000	A. Kergourlay	30/09/2019	10	30	F.30.06	Coupe Sud	Sud-Est	IM_2019_080_509	DVD-1
Num. couleur	.jpeg	6016x4000	A. Kergourlay	30/09/2019	10	30	F.30.06	Coupe Sud	Sud-Est	IM_2019_080_510	DVD-1
Num. couleur	.jpeg	6016x4000	A. Kergourlay	30/09/2019	10	30	F.30.06	Coupe Sud	Nord-Ouest	IM_2019_080_511	DVD-1
Num. couleur	.jpeg	6016x4000	A. Kergourlay	30/09/2019	10	30	F.30.06	Coupe générale	Sud-Est	IM_2019_080_512	DVD-1
Num. couleur	.jpeg	6016x4000	A. Kergourlay	30/09/2019	10	30	F.30.06	Coupe générale	Sud-Est	IM_2019_080_513	DVD-1
Num. couleur	.jpeg	6016x4000	A. Kergourlay	30/09/2019	10	30	F.30.06	Coupe générale	Sud-Est	IM_2019_080_514	DVD-1
Num. couleur	.jpeg	6016x4000	A. Kergourlay	30/09/2019	10	30	F.30.06	Coupe générale	Sud-Est	IM_2019_080_515	DVD-1
Num. couleur	.jpeg	6016x4000	A. Kergourlay	30/09/2019	10	30	F.30.06	Coupe	Sud	IM_2019_080_516	DVD-1
Num. couleur	.jpeg	6016x4000	A. Kergourlay	30/09/2019	10	30	F.30.06	Coupe	Sud-Ouest	IM_2019_080_517	DVD-1
Num. couleur	.jpeg	6016x4000		30/09/2019	10	29	F.29.24	Coupe Nord-Ouest	Nord-Ouest	IM_2019_080_518	DVD-1
Num. couleur	.jpeg	6016x4000	A. Kergourlay	30/09/2019	10	30	F.30.09 et F.30.18	Coupe	Sud	IM_2019_080_519	DVD-1
Num. couleur	.jpeg	6016x4000	A. Kergourlay	30/09/2019	10	30	F.30.09 et F.30.18	coupe	Sud	IM_2019_080_520	DVD-1
Num. couleur	.jpeg	6016x4000	A. Kergourlay	30/09/2019	10	30	F.30.09 et F.30.18	Détail des trous de poteau	Sud	IM_2019_080_521	DVD-1
Num. couleur	.jpeg	6016x4000	A. Kergourlay	30/09/2019	10	30	F.30.09 et F.30.18	Détail des trous de poteau	Sud	IM_2019_080_522	DVD-1

PLOUDANIEL (29) - RD-770

INVENTAIRE DES PHOTOGRAPHIES

Arrêté n° 2019_080

Support	Format	Dimensions	Auteur	Date	Secteur	TR	Fsk / Log	Description	Orientation (vue vers)	Code document	Réf. conteneur
Num. couleur	.jpeg	6016x4000	A. Kergourlay	30/09/2019	10	30	F.30.09 et F.30.18	Détail des trous de poteau	Sud	IM_2019_080_523	DVD-1
Num. couleur	.jpeg	6016x4000	A. Kergourlay	30/09/2019	10	30	F.30.09 et F.30.18	Détail des trous de poteau	Sud	IM_2019_080_524	DVD-1
Num. couleur	.jpeg	6016x4000	A. Kergourlay	30/09/2019	10	30	F.30.09 et F.30.18	vue générale en plan	Sud	IM_2019_080_525	DVD-1
Num. couleur	.jpeg	6016x4000	A. Kergourlay	30/09/2019	10	30	F.30.09	Vue générale	Nord-Est	IM_2019_080_526	DVD-1
Num. couleur	.jpeg	6016x4000	A. Kergourlay	30/09/2019	10	30	F.30.09	Vue générale	Nord-Est	IM_2019_080_527	DVD-1
Num. couleur	.jpeg	6016x4000	A. Kergourlay	30/09/2019	10	30	F.30.09	Vue générale	Nord-Ouest	IM_2019_080_528	DVD-1
Num. couleur	.jpeg	6016x4000	A. Kergourlay	30/09/2019	10	30	F.30.09	Vue générale	Nord-Ouest	IM_2019_080_529	DVD-1
Num. couleur	.jpeg	6016x4000	A. Kergourlay	30/09/2019	10	30	F.30.09	Vue générale	Nord-Ouest	IM_2019_080_530	DVD-1
Num. couleur	.jpeg	6016x4000	A. Kergourlay	30/09/2019	10	30	F.30.09	Vue générale	Nord-est	IM_2019_080_531	DVD-1
Num. couleur	.jpeg	6016x4000	A. Kergourlay	30/09/2019	10	30	F.30.09	Détails	Nord-Ouest	IM_2019_080_532	DVD-1
Num. couleur	.jpeg	6016x4000	A. Kergourlay	30/09/2019	10	30	F.30.09	Détails	Nord-Ouest	IM_2019_080_533	DVD-1
Num. couleur	.jpeg	6016x4000	A. Kergourlay	30/09/2019	10	30	F.30.09	vue générale	Sud-Est	IM_2019_080_534	DVD-1
Num. couleur	.jpeg	6016x4000	A. Kergourlay	30/09/2019	10	30	F.30.09	Détails	Sud-Est	IM_2019_080_535	DVD-1
Num. couleur	.jpeg	6016x4000	C. Landart	30/09/2019	10	29	F.29.16	Coupe Nord	Nord-Ouest	IM_2019_080_536	DVD-1
Num. couleur	.jpeg	6016x4000	C. Landart	30/09/2019	10	29	F.29.16	Coupe Nord	Nord-Ouest	IM_2019_080_537	DVD-1
Num. couleur	.jpeg	6016x4000	C. Landart	30/09/2019	10	29	F.29.16	Coupe Nord	Nord-Ouest	IM_2019_080_538	DVD-1
Num. couleur	.jpeg	6016x4000	C. Landart	30/09/2019	10	29	F.29.16	Coupe Nord	Nord-Ouest	IM_2019_080_539	DVD-1
Num. couleur	.jpeg	6016x4000	C. Landart	30/09/2019	10	29	F.29.16	Coupe Nord	Nord-Ouest	IM_2019_080_540	DVD-1
Num. couleur	.jpeg	6016x4000	C. Landart	30/09/2019	10	29	F.29.12	Coupe Ouest	Ouest	IM_2019_080_541	DVD-1
Num. couleur	.jpeg	6016x4000	C. Landart	30/09/2019	10	29	F.29.12	Coupe Ouest	Ouest	IM_2019_080_542	DVD-1
Num. couleur	.jpeg	6016x4000	C. Landart	30/09/2019	10	29	F.29.12	Coupe Ouest	Ouest	IM_2019_080_543	DVD-1
Num. couleur	.jpeg	6016x4000	C. Landart	30/09/2019	10	29	F.29.12	Coupe Ouest	Ouest	IM_2019_080_544	DVD-1
Num. couleur	.jpeg	6016x4000	C. Landart	30/09/2019	10	29	F.29.12	Coupe Est	Est	IM_2019_080_545	DVD-1
Num. couleur	.jpeg	6016x4000	C. Landart	30/09/2019	10	29	F.29.12	Coupe Est	Est	IM_2019_080_546	DVD-1
Num. couleur	.jpeg	6016x4000	C. Landart	30/09/2019	10	29	F.29.12	Coupe Est	Est	IM_2019_080_547	DVD-1
Num. couleur	.jpeg	6016x4000	C. Landart	30/09/2019	10	29	F.29.12	Coupe Est	Est	IM_2019_080_548	DVD-1
Num. couleur	.jpeg	6016x4000	C. Landart	30/09/2019	10	29	F.29.12	Coupe Est	Est	IM_2019_080_549	DVD-1
Num. couleur	.jpeg	6016x4000	C. Landart	30/09/2019	10	37	F.37.06	Vue générale	Nord-Ouest	IM_2019_080_550	DVD-1
Num. couleur	.jpeg	6016x4000		30/09/2019	10	37	F.37.06	Vue générale	Nord-Ouest	IM_2019_080_551	DVD-1
Num. couleur	.jpeg	6016x4000		30/09/2019	10	37	F.37.06	Vue générale	Nord-Ouest	IM_2019_080_552	DVD-1
Num. couleur	.jpeg	6016x4000		30/09/2019	10	37	F.37.06	Vue générale	Ouest	IM_2019_080_553	DVD-1
Num. couleur	.jpeg	6016x4000		04/10/2019	10	36	F.36.09	Coupe Nord-Est du fossé	Nord-Est	IM_2019_080_554	DVD-1

Support	Format	Dimensions	Auteur	Date	Secteur	TR	Fait / Log	Description	Orientation (vue vers)	Code document	Réf. contenant
Num. couleur	.jpeg	6016x4000		01/10/2019	10	36	F.36.09	Coupe Nord-Est du fossé	Nord-Est	IM_2019_080_555	DVD-1
Num. couleur	.jpeg	6016x4000		01/10/2019	10	36	F.36.09	Coupe Nord-Est du fossé	Nord-Est	IM_2019_080_556	DVD-1
Num. couleur	.jpeg	6016x4000	A. Kergourlay	01/10/2019	10	37	F.37.06	Vue générale	Sud-Ouest	IM_2019_080_557	DVD-1
Num. couleur	.jpeg	6016x4000	A. Kergourlay	01/10/2019	10	37	F.37.06	Vue générale	Sud-Ouest	IM_2019_080_558	DVD-1
Num. couleur	.jpeg	6016x4000	A. Kergourlay	01/10/2019	10	37	F.37.06	Vue générale	Sud-Ouest	IM_2019_080_559	DVD-1
Num. couleur	.jpeg	6016x4000	A. Kergourlay	01/10/2019	10	37	F.37.06	Vue générale	Sud-Ouest	IM_2019_080_560	DVD-1
Num. couleur	.jpeg	6016x4000	A. Kergourlay	01/10/2019	10	37	F.37.06	Vue générale	Sud-Est	IM_2019_080_561	DVD-1
Num. couleur	.jpeg	6016x4000	A. Kergourlay	01/10/2019	10	37	F.37.06	Vue générale	Sud-Est	IM_2019_080_562	DVD-1
Num. couleur	.jpeg	6016x4000	A. Kergourlay	01/10/2019	10	37	F.37.06	Vue générale	Sud	IM_2019_080_563	DVD-1
Num. couleur	.jpeg	6016x4000	A. Kergourlay	01/10/2019	10	37	F.37.06	Coupe Sud	Sud	IM_2019_080_564	DVD-1
Num. couleur	.jpeg	6016x4000	A. Kergourlay	01/10/2019	10	37	F.37.06	Coupe Sud	Sud	IM_2019_080_565	DVD-1
Num. couleur	.jpeg	6016x4000	A. Kergourlay	01/10/2019	10	37	F.37.06	Coupe Nord (Berme)	Nord-Ouest	IM_2019_080_566	DVD-1
Num. couleur	.jpeg	6016x4000	A. Kergourlay	01/10/2019	10	37	F.37.06	Coupe Nord (Berme)	Nord-Ouest	IM_2019_080_567	DVD-1
Num. couleur	.jpeg	6016x4000	A. Kergourlay	01/10/2019	10	37	F.37.06	Coupe Nord (Berme)	Nord-Ouest	IM_2019_080_568	DVD-1
Num. couleur	.jpeg	6016x4000	A. Kergourlay	01/10/2019	10	37	F.37.06	Coupe Nord (Berme) détails	Ouest	IM_2019_080_569	DVD-1
Num. couleur	.jpeg	6016x4000	A. Kergourlay	01/10/2019	10	37	F.37.06	Coupe Nord (Berme) détails	Ouest	IM_2019_080_570	DVD-1
Num. couleur	.jpeg	6016x4000	A. Kergourlay	01/10/2019	10	37	F.37.06	Coupe Nord (Berme) détails	Ouest	IM_2019_080_571	DVD-1
Num. couleur	.jpeg	6016x4000	A. Kergourlay	01/10/2019	10	37	F.37.06	Coupe Nord (Berme) détails	Ouest	IM_2019_080_572	DVD-1
Num. couleur	.jpeg	6016x4000	A. Kergourlay	01/10/2019	10	37	F.37.06	Coupe Nord (Berme) détails	Ouest	IM_2019_080_573	DVD-1
Num. couleur	.jpeg	6016x4000	A. Kergourlay	01/10/2019	10	37	F.37.06	Coupe Nord (Berme) détails	Ouest	IM_2019_080_574	DVD-1
Num. couleur	.jpeg	6016x4000	A. Kergourlay	01/10/2019	10	37	F.37.06	Coupe Nord (Berme) détails	Ouest	IM_2019_080_575	DVD-1
Num. couleur	.jpeg	6016x4000	A. Kergourlay	02/10/2019	10	37	F.37.04	Vue général plan foyer	Nord-est	IM_2019_080_576	DVD-1
Num. couleur	.jpeg	6016x4000	A. Kergourlay	02/10/2019	10	37	F.37.04	Vue générale plan foyer	Nord-est	IM_2019_080_577	DVD-1
Num. couleur	.jpeg	6016x4000	A. Kergourlay	02/10/2019	10	37	F.37.04	Vue générale plan foyer	Nord-est	IM_2019_080_578	DVD-1
Num. couleur	.jpeg	6016x4000	A. Kergourlay	02/10/2019	10	37	F.37.04	Vue générale plan foyer	Nord-Ouest	IM_2019_080_579	DVD-1
Num. couleur	.jpeg	6016x4000	A. Kergourlay	02/10/2019	10	37	F.37.04	Vue générale foyer a demi vidé	Nord-Ouest	IM_2019_080_580	DVD-1
Num. couleur	.jpeg	6016x4000	A. Kergourlay	02/10/2019	10	37	F.37.04	Vue générale foyer a demi vidé	Nord-Ouest	IM_2019_080_581	DVD-1
Num. couleur	.jpeg	6016x4000	A. Kergourlay	02/10/2019	10	37	F.37.04	Vue générale foyer a demi vidé	Ouest	IM_2019_080_582	DVD-1
Num. couleur	.jpeg	6016x4000	A. Kergourlay	02/10/2019	10	37	F.37.04	Vue générale foyer a demi vidé	Ouest	IM_2019_080_583	DVD-1
Num. couleur	.jpeg	6016x4000	A. Kergourlay	02/10/2019	10	37	F.37.04	Vue générale foyer a demi vidé	Sud	IM_2019_080_584	DVD-1
Num. couleur	.jpeg	6016x4000	A. Kergourlay	02/10/2019	10	37	F.37.04	Vue générale foyer a demi vidé	Sud	IM_2019_080_585	DVD-1
Num. couleur	.jpeg	6016x4000	A. Kergourlay	02/10/2019	10	37	F.37.04	Vue générale foyer a demi vidé	Sud	IM_2019_080_586	DVD-1
Num. couleur	.jpeg	6016x4000	A. Kergourlay	02/10/2019	10	37	F.37.04	Vue générale foyer a demi vidé	Sud	IM_2019_080_587	DVD-1
Num. couleur	.jpeg	6016x4000	A. Kergourlay	02/10/2019	10	37	F.37.04	Vue générale foyer a demi vidé	Sud	IM_2019_080_588	DVD-1
Num. couleur	.jpeg	6016x4000	A. Kergourlay	02/10/2019	10	37	F.37.04	Vue générale foyer a demi vidé	Est	IM_2019_080_589	DVD-1
Num. couleur	.jpeg	6016x4000	A. Kergourlay	02/10/2019	10	37	F.37.04	Vue générale foyer a demi vidé	Nord-Ouest	IM_2019_080_590	DVD-1
Num. couleur	.jpeg	6016x4000	A. Kergourlay	02/10/2019	10	37	F.37.04	Coupe en profondeur	Nord-est	IM_2019_080_591	DVD-1
Num. couleur	.jpeg	6016x4000	A. Kergourlay	02/10/2019	10	37	F.37.04	Détails coupe	Nord-Ouest	IM_2019_080_592	DVD-1

PLOUDANIEL (29) - RD-770

INVENTAIRE DES PHOTOGRAPHIES

Arrêté n° 2019_080

Support	Format	Dimensions	Auteur	Date	Secteur	TR	Fait / Log	Description	Orientation (vue vers)	Code document	Réf. contenant
Num. couleur	.jpeg	6016x4000	A. Kergourlay	02/10/2019	10	37	F.37.04	Détails coupe	Nord-Ouest	IM_2019_080_593	DVD-1
Num. couleur	.jpeg	6016x4000		02/10/2019	10	34	F.34.29	Coupe Sud-Est	Sud-Est	IM_2019_080_594	DVD-1
Num. couleur	.jpeg	6016x4000		02/10/2019	10	34	F.34.29	Coupe Sud-Est	Sud-Est	IM_2019_080_595	DVD-1
Num. couleur	.jpeg	6016x4000		02/10/2019	10	34	F.34.29	Coupe Sud-Est détail	Sud-Est	IM_2019_080_596	DVD-1
Num. couleur	.jpeg	6016x4000		02/10/2019	10	34	F.34.29	Coupe Sud-Est détail	Sud-Est	IM_2019_080_597	DVD-1
Num. couleur	.jpeg	6016x4000	R. Martinez	02/10/2019	10	34	F.34.29	Coupe Sud-Est détail	Sud-Est	IM_2019_080_598	DVD-1
Num. couleur	.jpeg	6016x4000	R. Martinez	02/10/2019	10	35	F.35.28	Coupe Sud	Sud	IM_2019_080_599	DVD-1
Num. couleur	.jpeg	6016x4000	R. Martinez	02/10/2019	10	35	F.35.28	Coupe Sud	Sud	IM_2019_080_600	DVD-1
Num. couleur	.jpeg	6016x4000	R. Martinez	02/10/2019	10	35	F.35.24	Vue générale	Nord	IM_2019_080_601	DVD-1
Num. couleur	.jpeg	6016x4000	R. Martinez	02/10/2019	10	35	F.35.24	Vue générale	Nord	IM_2019_080_602	DVD-1
Num. couleur	.jpeg	6016x4000	R. Martinez	02/10/2019	10	35	F.35.22	Coupe Nord-Ouest	Nord-Ouest	IM_2019_080_603	DVD-1
Num. couleur	.jpeg	6016x4000	C. Landart	02/10/2019	10	35	F.35.17	Vue générale	Sud-Est	IM_2019_080_604	DVD-1
Num. couleur	.jpeg	6016x4000	C. Landart	02/10/2019	10	35	F.35.17	Vue générale	Sud-Est	IM_2019_080_605	DVD-1
Num. couleur	.jpeg	6016x4000	C. Landart	02/10/2019	10	35	F.35.17	Vue générale	Sud-Est	IM_2019_080_606	DVD-1
Num. couleur	.jpeg	6016x4000	C. Landart	02/10/2019	10	35	F.35.22	Coupe Nord-Ouest	Nord-Ouest	IM_2019_080_607	DVD-1
Num. couleur	.jpeg	6016x4000	C. Landart	02/10/2019	10	35	F.35.22	Coupe Nord-Ouest	Nord-Ouest	IM_2019_080_608	DVD-1
Num. couleur	.jpeg	6016x4000	C. Landart	02/10/2019	10	35	F.35.11	Coupe Nord	Nord	IM_2019_080_609	DVD-1
Num. couleur	.jpeg	6016x4000	C. Landart	02/10/2019	10	35	F.35.11	Coupe Nord	Nord	IM_2019_080_610	DVD-1
Num. couleur	.jpeg	6016x4000	C. Landart	02/10/2019	10	35	F.35.11	Coupe Nord	Nord	IM_2019_080_611	DVD-1
Num. couleur	.jpeg	6016x4000	C. Landart	02/10/2019	10	35	F.35.11	Coupe Ouest	Ouest	IM_2019_080_612	DVD-1
Num. couleur	.jpeg	6016x4000	C. Landart	02/10/2019	10	35	F.35.11	Coupe Ouest	Ouest	IM_2019_080_613	DVD-1
Num. couleur	.jpeg	6016x4000	C. Landart	02/10/2019	10	35	F.35.09	Coupe Nord	Nord	IM_2019_080_614	DVD-1
Num. couleur	.jpeg	6016x4000	C. Landart	02/10/2019	10	35	F.35.09	Coupe Nord	Nord	IM_2019_080_615	DVD-1
Num. couleur	.jpeg	6016x4000	C. Landart	02/10/2019	10	35	F.35.09	Coupe Nord	Nord	IM_2019_080_616	DVD-1
Num. couleur	.jpeg	6016x4000	A. Kergourlay	02/10/2019	10	34	F.34.32 et F.34.53	Coupe Nord-Est	Nord-Est	IM_2019_080_617	DVD-1
Num. couleur	.jpeg	6016x4000	A. Kergourlay	02/10/2019	10	34	F.34.32 et F.34.53	Coupe Nord-Est	Nord-Est	IM_2019_080_618	DVD-1
Num. couleur	.jpeg	6016x4000	A. Kergourlay	02/10/2019	10	34	F.34.32 et F.34.53	Creusement palissade?	Sud-Est	IM_2019_080_619	DVD-1
Num. couleur	.jpeg	6016x4000	A. Kergourlay	02/10/2019	10	34	F.34.32 et F.34.53	Creusement palissade?	Est	IM_2019_080_620	DVD-1

Support	Format	Dimensions	Auteur	Date	Secteur	TR	Faits / Log	Description	Orientation (vue vers)	Code document	Réf. contenant
Num. couleur	.jpeg	6016x4000	A. Kergourlay	02/10/2019	10	34	F.34.32 et F.34.53	Creusement palissade?	Nord-Est	IM_2019_080_621	DVD-1
Num. couleur	.jpeg	6016x4000	A. Kergourlay	02/10/2019	10	34	F.34.32 et F.34.53	Creusement palissade?	Nord-Ouest	IM_2019_080_622	DVD-1
Num. couleur	.jpeg	6016x4000	A. Kergourlay	02/10/2019	10	34	F.34.32 et F.34.53	Creusement palissade?	Nord-Ouest	IM_2019_080_623	DVD-1
Num. couleur	.jpeg	6016x4000	A. Kergourlay	02/10/2019	10	34	F.34.32 et F.34.53	Creusement palissade?	Nord-Ouest	IM_2019_080_624	DVD-1
Num. couleur	.jpeg	6016x4000	A. Kergourlay	02/10/2019	10	34	F.34.26	Creusement palissade?	Sud-Ouest	IM_2019_080_625	DVD-1
Num. couleur	.jpeg	6016x4000	A. Kergourlay	02/10/2019	10	34	F.34.26	Creusement palissade?	Sud-Ouest	IM_2019_080_626	DVD-1
Num. couleur	.jpeg	6016x4000	A. Kergourlay	02/10/2019	10	34	F.34.26	Creusement palissade?	Sud-Est	IM_2019_080_627	DVD-1
Num. couleur	.jpeg	6016x4000	A. Kergourlay	02/10/2019	10	34	F.34.26	Creusement palissade?	Sud-Est	IM_2019_080_628	DVD-1
Num. couleur	.jpeg	6016x4000	A. Kergourlay	02/10/2019	10	34	F.34.26	Creusement palissade?	Sud-Est	IM_2019_080_629	DVD-1
Num. couleur	.jpeg	6016x4000	A. Kergourlay	02/10/2019	10	34	F.34.26	Creusement palissade?	Sud-Est	IM_2019_080_630	DVD-1
Num. couleur	.jpeg	6016x4000	A. Kergourlay	02/10/2019	10	34	F.34.26	Creusement palissade?	Sud-Est	IM_2019_080_631	DVD-1
Num. couleur	.jpeg	6016x4000	A. Kergourlay	02/10/2019	10	34	F.34.28	Vue générale en plan du foyer	Nord-est	IM_2019_080_632	DVD-1
Num. couleur	.jpeg	6016x4000	A. Kergourlay	02/10/2019	10	34	F.34.28	Vue générale en plan du foyer	Nord-Est	IM_2019_080_633	DVD-1
Num. couleur	.jpeg	6016x4000	A. Kergourlay	02/10/2019	10	34	F.34.28	Vue générale en plan du foyer	Nord-est	IM_2019_080_634	DVD-1
Num. couleur	.jpeg	6016x4000	A. Kergourlay	02/10/2019	10	34	F.34.28	Coupe du foyer	Nord-est	IM_2019_080_635	DVD-1
Num. couleur	.jpeg	6016x4000	A. Kergourlay	02/10/2019	10	34	F.34.28	Coupe du foyer	Nord-est	IM_2019_080_636	DVD-1
Num. couleur	.jpeg	6016x4000	A. Kergourlay	02/10/2019	10	34	F.34.28	Coupe du foyer	Nord-est	IM_2019_080_637	DVD-1
Num. couleur	.jpeg	6016x4000	A. Kergourlay	02/10/2019	10	34	F.34.28	Coupe du foyer	Nord-est	IM_2019_080_638	DVD-1
Num. couleur	.jpeg	6016x4000	A. Kergourlay	02/10/2019	10	34	F.34.28	Coupe du foyer	Nord-est	IM_2019_080_639	DVD-1
Num. couleur	.jpeg	6016x4000	A. Kergourlay	02/10/2019	10	34	F.34.28	Coupe du foyer	Nord-est	IM_2019_080_640	DVD-1
Num. couleur	.jpeg	6016x4000	A. Kergourlay	02/10/2019	10	34	F.34.28	Coupe du foyer	Nord-est	IM_2019_080_641	DVD-1
Num. couleur	.jpeg	6016x4000	A. Kergourlay	02/10/2019	10	34	F.34.28	Coupe du foyer	Nord-est	IM_2019_080_642	DVD-1
Num. couleur	.jpeg	6016x4000	A. Kergourlay	02/10/2019	10	34	F.34.28	Coupe du foyer	Nord-est	IM_2019_080_643	DVD-1
Num. couleur	.jpeg	6016x4000	A. Kergourlay	02/10/2019	10	34	F.34.28	Coupe du foyer	Nord-est	IM_2019_080_644	DVD-1
Num. couleur	.jpeg	6016x4000	A. Kergourlay	02/10/2019	10	34	F.34.28	Coupe du foyer	Nord-est	IM_2019_080_645	DVD-1
Num. couleur	.jpeg	6016x4000	C. Landart	02/10/2019	10	34	F.34.15	Vue générale	Est	IM_2019_080_646	DVD-1
Num. couleur	.jpeg	6016x4000	C. Landart	02/10/2019	10	34	F.34.15	Vue générale	Est	IM_2019_080_647	DVD-1
Num. couleur	.jpeg	6016x4000	C. Landart	02/10/2019	10	34	F.34.15	Coupe	Est	IM_2019_080_648	DVD-1
Num. couleur	.jpeg	6016x4000	C. Landart	02/10/2019	10	34	F.34.15	Coupe	Est	IM_2019_080_649	DVD-1
Num. couleur	.jpeg	6016x4000	R. Martinez	02/10/2019	10	34	F.34.21	Coupe Nord	Nord	IM_2019_080_650	DVD-1

PLOUDANIEL (29) - RD-770

INVENTAIRE DES PHOTOGRAPHIES

Arrêté n° 2019_080

Support	Format	Dimensions	Auteur	Date	Secteur	TR	Fait / Log	Description	Oriantation (vue vers)	Code document	Ref. contenant
Num. couleur	.jpeg	6016x4000	A. Kergourlay	02/10/2019	10	34	F.34.32 et F.34.53	Creusement palissade?	Nord-Est	IM_2019_080_621	DVD-1
Num. couleur	.jpeg	6016x4000	A. Kergourlay	02/10/2019	10	34	F.34.32 et F.34.53	Creusement palissade?	Nord-Ouest	IM_2019_080_622	DVD-1
Num. couleur	.jpeg	6016x4000	A. Kergourlay	02/10/2019	10	34	F.34.32 et F.34.53	Creusement palissade?	Nord-Ouest	IM_2019_080_623	DVD-1
Num. couleur	.jpeg	6016x4000	A. Kergourlay	02/10/2019	10	34	F.34.32 et F.34.53	Creusement palissade?	Nord-Ouest	IM_2019_080_624	DVD-1
Num. couleur	.jpeg	6016x4000	A. Kergourlay	02/10/2019	10	34	F.34.26	Creusement palissade?	Sud-Ouest	IM_2019_080_625	DVD-1
Num. couleur	.jpeg	6016x4000	A. Kergourlay	02/10/2019	10	34	F.34.26	Creusement palissade?	Sud-Ouest	IM_2019_080_626	DVD-1
Num. couleur	.jpeg	6016x4000	A. Kergourlay	02/10/2019	10	34	F.34.26	Creusement palissade?	Sud-Est	IM_2019_080_627	DVD-1
Num. couleur	.jpeg	6016x4000	A. Kergourlay	02/10/2019	10	34	F.34.26	Creusement palissade?	Sud-Est	IM_2019_080_628	DVD-1
Num. couleur	.jpeg	6016x4000	A. Kergourlay	02/10/2019	10	34	F.34.26	Creusement palissade?	Sud-Est	IM_2019_080_629	DVD-1
Num. couleur	.jpeg	6016x4000	A. Kergourlay	02/10/2019	10	34	F.34.26	Creusement palissade?	Sud-Est	IM_2019_080_630	DVD-1
Num. couleur	.jpeg	6016x4000	A. Kergourlay	02/10/2019	10	34	F.34.26	Creusement palissade?	Sud-Est	IM_2019_080_631	DVD-1
Num. couleur	.jpeg	6016x4000	A. Kergourlay	02/10/2019	10	34	F.34.28	Vue générale en plan du foyer	Nord-est	IM_2019_080_632	DVD-1
Num. couleur	.jpeg	6016x4000	A. Kergourlay	02/10/2019	10	34	F.34.28	Vue générale en plan du foyer	Nord-Est	IM_2019_080_633	DVD-1
Num. couleur	.jpeg	6016x4000	A. Kergourlay	02/10/2019	10	34	F.34.28	Vue générale en plan du foyer	Nord-est	IM_2019_080_634	DVD-1
Num. couleur	.jpeg	6016x4000	A. Kergourlay	02/10/2019	10	34	F.34.28	Coupe du foyer	Nord-est	IM_2019_080_635	DVD-1
Num. couleur	.jpeg	6016x4000	A. Kergourlay	02/10/2019	10	34	F.34.28	Coupe du foyer	Nord-est	IM_2019_080_636	DVD-1
Num. couleur	.jpeg	6016x4000	A. Kergourlay	02/10/2019	10	34	F.34.28	Coupe du foyer	Nord-est	IM_2019_080_637	DVD-1
Num. couleur	.jpeg	6016x4000	A. Kergourlay	02/10/2019	10	34	F.34.28	Coupe du foyer	Nord-est	IM_2019_080_638	DVD-1
Num. couleur	.jpeg	6016x4000	A. Kergourlay	02/10/2019	10	34	F.34.28	Coupe du foyer	Nord-est	IM_2019_080_639	DVD-1
Num. couleur	.jpeg	6016x4000	A. Kergourlay	02/10/2019	10	34	F.34.28	Coupe du foyer	Nord-est	IM_2019_080_640	DVD-1
Num. couleur	.jpeg	6016x4000	A. Kergourlay	02/10/2019	10	34	F.34.28	Coupe du foyer	Nord-est	IM_2019_080_641	DVD-1
Num. couleur	.jpeg	6016x4000	A. Kergourlay	02/10/2019	10	34	F.34.28	Coupe du foyer	Nord-est	IM_2019_080_642	DVD-1
Num. couleur	.jpeg	6016x4000	A. Kergourlay	02/10/2019	10	34	F.34.28	Coupe du foyer	Nord-est	IM_2019_080_643	DVD-1
Num. couleur	.jpeg	6016x4000	A. Kergourlay	02/10/2019	10	34	F.34.28	Coupe du foyer	Nord-est	IM_2019_080_644	DVD-1
Num. couleur	.jpeg	6016x4000	A. Kergourlay	02/10/2019	10	34	F.34.28	Coupe du foyer	Nord-est	IM_2019_080_645	DVD-1
Num. couleur	.jpeg	6016x4000	C. Landart	02/10/2019	10	34	F.34.15	Vue générale	Est	IM_2019_080_646	DVD-1
Num. couleur	.jpeg	6016x4000	C. Landart	02/10/2019	10	34	F.34.15	Vue générale	Est	IM_2019_080_647	DVD-1
Num. couleur	.jpeg	6016x4000	C. Landart	02/10/2019	10	34	F.34.15	Coupe	Est	IM_2019_080_648	DVD-1
Num. couleur	.jpeg	6016x4000	C. Landart	02/10/2019	10	34	F.34.15	Coupe	Est	IM_2019_080_649	DVD-1
Num. couleur	.jpeg	6016x4000	R. Martinez	02/10/2019	10	34	F.34.21	Coupe Nord	Nord	IM_2019_080_650	DVD-1

Support	Format	Dimensions	Auteur	Date	Secteur	TR	Fait / Log	Description	Orientaton (vue vers)	Code document	Ref. contenant
Num. couleur	.jpeg	6016x4000	A. Kergourlay	03/10/2019	Dépôt-CDA			tessons et assemblage céramique ADB (F.10.07)		IM_2019_080_666	DVD-1
Num. couleur	.jpeg	6016x4000	A. Kergourlay	03/10/2019	Dépôt-CDA			tessons et assemblage céramique ADB (F.10.07)		IM_2019_080_667	DVD-1
Num. couleur	.jpeg	6016x4000	A. Kergourlay	03/10/2019	Dépôt-CDA			tessons et assemblage céramique ADB (F.10.07)		IM_2019_080_668	DVD-1
Num. couleur	.jpeg	6016x4000	A. Kergourlay	03/10/2019	Dépôt-CDA			tessons et assemblage céramique ADB (F.10.07)		IM_2019_080_669	DVD-1
Num. couleur	.jpeg	6016x4000	A. Kergourlay	03/10/2019	Dépôt-CDA			tessons et assemblage céramique ADB (F.10.07)		IM_2019_080_670	DVD-1
Num. couleur	.jpeg	6016x4000	A. Kergourlay	03/10/2019	Dépôt-CDA			tessons et assemblage céramique ADB (F.10.07)		IM_2019_080_671	DVD-1
Num. couleur	.jpeg	6016x4000	A. Kergourlay	04/10/2019	Dépôt-CDA			tessons et assemblage céramique ADB (F.10.07)		IM_2019_080_672	DVD-1
Num. couleur	.jpeg	6016x4000	A. Kergourlay	04/10/2019	Dépôt-CDA			tessons et assemblage céramique ADB (F.10.07)		IM_2019_080_673	DVD-1
Num. couleur	.jpeg	6016x4000	A. Kergourlay	04/10/2019	Dépôt-CDA			tessons et assemblage céramique ADB (F.10.07)		IM_2019_080_674	DVD-1
Num. couleur	.jpeg	6016x4000	A. Kergourlay	10/10/2019	Dépôt-CDA			tessons et assemblage céramique ADB (F.10.07)		IM_2019_080_675	DVD-1
Num. couleur	.jpeg	6016x4000	A. Kergourlay	10/10/2019	Dépôt-CDA			tessons et assemblage céramique ADB (F.10.07)		IM_2019_080_676	DVD-1
Num. couleur	.jpeg	6016x4000	A. Kergourlay	10/10/2019	Dépôt-CDA			tessons et assemblage céramique ADB (F.10.07)		IM_2019_080_677	DVD-1
Num. couleur	.jpeg	6016x4000	A. Kergourlay	10/10/2019	Dépôt-CDA			tessons et assemblage céramique ADB (F.10.07)		IM_2019_080_678	DVD-1
Num. couleur	.jpeg	6016x4000	C. Landart	16/10/2019	5	38	log 15	log 15	Ouest	IM_2019_080_679	DVD-1
Num. couleur	.jpeg	6016x4000	C. Landart	16/10/2019	5	38	log 15	log 15	Ouest	IM_2019_080_680	DVD-1
Num. couleur	.jpeg	6016x4000	C. Landart	16/10/2019	5	38	log 15	log 15	Ouest	IM_2019_080_681	DVD-1
Num. couleur	.jpeg	6016x4000	R. Martinez	16/10/2019	5	38	-	Vue générale	Sud	IM_2019_080_682	DVD-1
Num. couleur	.jpeg	6016x4000	R. Martinez	16/10/2019	5	40	-	Vue générale	Sud-Est	IM_2019_080_683	DVD-1
Num. couleur	.jpeg	6016x4000	R. Martinez	16/10/2019	5	39	-	Vue générale	N	IM_2019_080_684	DVD-1
Num. couleur	.jpeg	6016x4000	A. Kergourlay	16/10/2019	3	41	-	Vue générale	Sud	IM_2019_080_685	DVD-1
Num. couleur	.jpeg	6016x4000	A. Kergourlay	16/10/2019	3	41	-	Vue générale	Sud	IM_2019_080_686	DVD-1
Num. couleur	.jpeg	6016x4000	A. Kergourlay	16/10/2019	3	41	-	Vue générale	Sud	IM_2019_080_687	DVD-1
Num. couleur	.jpeg	6016x4000	A. Kergourlay	16/10/2019	3	41	-	Vue générale	Sud	IM_2019_080_688	DVD-1
Num. couleur	.jpeg	6016x4000	A. Kergourlay	16/10/2019	3	41	log 16	log 16	Ouest	IM_2019_080_689	DVD-1
Num. couleur	.jpeg	6016x4000	A. Kergourlay	16/10/2019	3	41	log 16	log 16	Ouest	IM_2019_080_690	DVD-1

PLOUDANIEL (29) - RD-770

INVENTAIRE DES PHOTOGRAPHIES

Arrêté n° 2019_080

Support	Format	Dimensions	Auteur	Date	Secteur	TR	Faits / Log	Description	Orientation (vue vers)	Code document	Réf. contenant
Num. couleur	.jpeg	6016x4000	A. Kergourlay	16/10/2019	3	41	log 16	log 16	Ouest	IM_2019_080_691	DVD-1
Num. couleur	.jpeg	6016x4000	A. Kergourlay	16/10/2019	3	41	log 16	log 16	Ouest	IM_2019_080_692	DVD-1
Num. couleur	.jpeg	6016x4000	A. Kergourlay	16/10/2019	5	39	F.39.15	F. 39.15 avant fouille	Ouest	IM_2019_080_693	DVD-1
Num. couleur	.jpeg	6016x4000	A. Kergourlay	16/10/2019	5	39	F.39.15	F. 39.15 avant fouille	Ouest	IM_2019_080_694	DVD-1
Num. couleur	.jpeg	6016x4000	A. Kergourlay	16/10/2019	5	39	F.39.15	F. 39.15 avant fouille	Ouest	IM_2019_080_695	DVD-1
Num. couleur	.jpeg	6016x4000	A. Kergourlay	16/10/2019	5	39	F.39.15	F. 39.15 avant fouille	Ouest	IM_2019_080_696	DVD-1
Num. couleur	.jpeg	6016x4000	A. Kergourlay	16/10/2019	5	39	F.39.15	F. 39.15 avant fouille	Ouest	IM_2019_080_697	DVD-1
Num. couleur	.jpeg	6016x4000	C. Landart	16/10/2019	5	39	F.39.17	Sondage méca coupe Ouest du fossé	Ouest	IM_2019_080_698	DVD-1
Num. couleur	.jpeg	6016x4000	C. Landart	16/10/2019	5	39	F.39.17	Sondage méca coupe Ouest du fossé	Ouest	IM_2019_080_699	DVD-1
Num. couleur	.jpeg	6016x4000	C. Landart	16/10/2019	5	39	F.39.17	Sondage méca coupe Ouest du fossé	Ouest	IM_2019_080_700	DVD-1
Num. couleur	.jpeg	6016x4000	C. Landart	16/10/2019	5	39	F.39.17	Sondage méca coupe Ouest du fossé	Ouest	IM_2019_080_701	DVD-1
Num. couleur	.jpeg	6016x4000	R. Martinez	16/10/2019	5	39	F.39.03	Sondage méca coupe Ouest du fossé	Ouest	IM_2019_080_702	DVD-1
Num. couleur	.jpeg	6016x4000	R. Martinez	16/10/2019	5	39	F.39.03	Sondage méca coupe Ouest du fossé	Ouest	IM_2019_080_703	DVD-1
Num. couleur	.jpeg	6016x4000	A. Kergourlay	16/10/2019	5	39	F.39.15	F.39.15 après sondage coupe Sud-Sud-Est/Nord-Nord-Ouest	Ouest	IM_2019_080_704	DVD-1
Num. couleur	.jpeg	6016x4000	A. Kergourlay	16/10/2019	5	39	F.39.15	F.39.15 après sondage coupe Sud-Sud-Est/Nord-Nord-Ouest	Ouest	IM_2019_080_705	DVD-1
Num. couleur	.jpeg	6016x4000	A. Kergourlay	16/10/2019	5	39	F.39.15	F.39.15 après sondage coupe Sud-Sud-Est/Nord-Nord-Ouest	Ouest	IM_2019_080_706	DVD-1
Num. couleur	.jpeg	6016x4000	A. Kergourlay	16/10/2019	5	39	F.39.15	F.39.15 après sondage coupe Sud-Sud-Est/Nord-Nord-Ouest	Ouest	IM_2019_080_707	DVD-1
Num. couleur	.jpeg	6016x4000	A. Kergourlay	16/10/2019	5	39	F.39.15	F.39.15 après sondage coupe Sud-Sud-Est/Nord-Nord-Ouest	Ouest	IM_2019_080_708	DVD-1
Num. couleur	.jpeg	6016x4000	A. Kergourlay	16/10/2019	5	39	F.39.15	F.39.15 après sondage coupe Sud-Sud-Est/Nord-Nord-Ouest	Ouest	IM_2019_080_709	DVD-1
Num. couleur	.jpeg	6016x4000	R. Martinez	16/10/2019	5	39	F.39.05	Coupe E	Est	IM_2019_080_710	DVD-1
Num. couleur	.jpeg	6016x4000	R. Martinez	16/10/2019	5	39	F.39.05	Coupe E	Est	IM_2019_080_711	DVD-1
Num. couleur	.jpeg	6016x4000	A. Kergourlay	16/10/2019	5	40	-	Vue générale et photos de détails thérière en alu	Nord-Nord-Ouest	IM_2019_080_712	DVD-1
Num. couleur	.jpeg	6016x4000	A. Kergourlay	16/10/2019	5	40	-	Vue générale et photos de détails thérière en alu	Nord-Nord-Ouest	IM_2019_080_713	DVD-1
Num. couleur	.jpeg	6016x4000	A. Kergourlay	16/10/2019	5	40	-	Vue générale et photos de détails thérière en alu	Nord-Nord-Ouest	IM_2019_080_714	DVD-1
Num. couleur	.jpeg	6016x4000	A. Kergourlay	16/10/2019	5	40	-	Vue générale et photos de détails thérière en alu	Nord-Nord-Ouest	IM_2019_080_715	DVD-1
Num. couleur	.jpeg	6016x4000	A. Kergourlay	16/10/2019	5	40	-	Vue générale et photos de détails thérière en alu	Nord-Nord-Ouest	IM_2019_080_716	DVD-1

Support	Format	Dimensions	Auteur	Date	Secteur	TR	Fait / Log	Description	Orientation (vue vers)	Code document	Réf. contenant
Num. couleur	.jpeg	6016x4000	A. Kergourlay	16/10/2019	5	40	-	Vue générale et photos de détails théière en alu	Nord-Nord-Ouest	IM_2019_080_717	DVD-1
Num. couleur	.jpeg	6016x4000	A. Kergourlay	16/10/2019	5	40	-	Vue générale et photos de détails théière en alu	Nord-Nord-Ouest	IM_2019_080_718	DVD-1
Num. couleur	.jpeg	6016x4000	A. Kergourlay	16/10/2019	5	40	-	Vue générale et photos de détails théière en alu	Nord-Nord-Ouest	IM_2019_080_719	DVD-1
Num. couleur	.jpeg	6016x4000	A. Kergourlay	16/10/2019	5	40	-	Vue générale et photos de détails théière en alu	Nord-Nord-Ouest	IM_2019_080_720	DVD-1
Num. couleur	.jpeg	6016x4000	C. Landart	16/10/2019	5	39	F.39.13	plan de F.39.13	Ouest	IM_2019_080_721	DVD-1
Num. couleur	.jpeg	6016x4000	C. Landart	16/10/2019	5	39	F.39.13	plan de F.39.14	Ouest	IM_2019_080_722	DVD-1
Num. couleur	.jpeg	6016x4000	C. Landart	16/10/2019	5	39	F.39.13	Coupe Ouest TP F.39.13	Ouest	IM_2019_080_723	DVD-1
Num. couleur	.jpeg	6016x4000	C. Landart	16/10/2019	5	39	F.39.13	Coupe Ouest TP F.39.13	Ouest	IM_2019_080_724	DVD-1
Num. couleur	.jpeg	6016x4000	C. Landart	16/10/2019	5	39	F.39.13	Coupe Ouest TP F.39.13	Ouest	IM_2019_080_725	DVD-1
Num. couleur	.jpeg	6016x4000	C. Landart	16/10/2019	5	39	F.39.13	Coupe Ouest TP F.39.13	Ouest	IM_2019_080_726	DVD-1
Num. couleur	.jpeg	6016x4000	C. Landart	17/10/2019	9	42	log 17	log 17	Ouest	IM_2019_080_727	DVD-1
Num. couleur	.jpeg	6016x4000	C. Landart	17/10/2019	9	42	log 17	log 17	Ouest	IM_2019_080_728	DVD-1
Num. couleur	.jpeg	6016x4000	C. Landart	17/10/2019	9	42	log 17	log 17	Ouest	IM_2019_080_729	DVD-1
Num. couleur	.jpeg	6016x4000	C. Landart	17/10/2019	9	42	log 17	log 17	Ouest	IM_2019_080_730	DVD-1
Num. couleur	.jpeg	6016x4000	C. Landart	17/10/2019	9	42	log 17	log 17	Ouest	IM_2019_080_731	DVD-1
Num. couleur	.jpeg	6016x4000	C. Landart	17/10/2019	9	42	log 18	log 18	Est	IM_2019_080_732	DVD-1
Num. couleur	.jpeg	6016x4000	C. Landart	17/10/2019	9	42	log 18	log 18	Est	IM_2019_080_733	DVD-1
Num. couleur	.jpeg	6016x4000	C. Landart	17/10/2019	9	42	log 18	log 18	Est	IM_2019_080_734	DVD-1
Num. couleur	.jpeg	6016x4000	C. Landart	17/10/2019	9	42	log 18	log 18	Est	IM_2019_080_735	DVD-1
Num. couleur	.jpeg	6016x4000	C. Landart	17/10/2019	9	42	log 18	log 18	Est	IM_2019_080_736	DVD-1
Num. couleur	.jpeg	6016x4000	C. Landart	17/10/2019	9	42	F.42.02	Plan et coupe TP F.42.02	Est	IM_2019_080_737	DVD-1
Num. couleur	.jpeg	6016x4000	C. Landart	17/10/2019	9	42	F.42.02	Plan et coupe TP F.42.02	Est	IM_2019_080_738	DVD-1
Num. couleur	.jpeg	6016x4000	C. Landart	17/10/2019	9	42	F.42.02	Plan et coupe TP F.42.02	Est	IM_2019_080_739	DVD-1
Num. couleur	.jpeg	6016x4000	C. Landart	17/10/2019	9	42	F.42.02	Plan et coupe TP F.42.02	Est	IM_2019_080_740	DVD-1
Num. couleur	.jpeg	6016x4000	C. Landart	17/10/2019	9	42	F.42.02	Plan et coupe TP F.42.02	Est	IM_2019_080_741	DVD-1
Num. couleur	.jpeg	6016x4000	R. Martinez	17/10/2019	9	42	F.42.01	Fossé plan et coupe Est	Nord	IM_2019_080_742	DVD-1
Num. couleur	.jpeg	6016x4000	R. Martinez	17/10/2019	9	42	F.42.01	Fossé plan et coupe Est	Nord	IM_2019_080_743	DVD-1
Num. couleur	.jpeg	6016x4000	R. Martinez	17/10/2019	9	42	F.42.02	Fossé plan et coupe Est	Est	IM_2019_080_744	DVD-1
Num. couleur	.jpeg	6016x4000	R. Martinez	17/10/2019	9	42	F.42.02	Fossé plan et coupe Est	Est	IM_2019_080_745	DVD-1
Num. couleur	.jpeg	6016x4000	C. Landart	17/10/2019	9	42	-	Vue générale	Sud	IM_2019_080_746	DVD-1
Num. couleur	.jpeg	6016x4000	C. Landart	17/10/2019	9	42	-	Vue générale	Sud	IM_2019_080_747	DVD-1
Num. couleur	.jpeg	6016x4000	C. Landart	17/10/2019	9	42	-	Vue générale	Sud	IM_2019_080_748	DVD-1

PLOUDANIEL (29) - RD-770

INVENTAIRE DES PHOTOGRAPHIES

Arrêté n° 2019_080

Support	Format	Dimensions	Auteur	Date	Secteur	TR	Fait / Log	Description	Orienteion (vue vers)	Code document	Réf. contenant
Num. couleur	.jpeg	6016x4000	C. Landart	17/10/2019	9	42	F.42.06 et F.42.07	Coupe sondage méca	Nord-Est	IM_2019_080_749	DVD-1
Num. couleur	.jpeg	6016x4000	C. Landart	17/10/2019	9	42	F.42.06 et F.42.07	Coupe sondage méca	Nord-Est	IM_2019_080_750	DVD-1
Num. couleur	.jpeg	6016x4000	C. Landart	17/10/2019	9	42	F.42.06 et F.42.07	Coupe sondage méca	Nord-Est	IM_2019_080_751	DVD-1
Num. couleur	.jpeg	6016x4000	C. Landart	17/10/2019	9	42	F.42.06 et F.42.07	Coupe sondage méca	Nord-Est	IM_2019_080_752	DVD-1
Num. couleur	.jpeg	6016x4000	R. Martinez	17/10/2019	9	42	-	Vue générale	Nord	IM_2019_080_753	DVD-1
Num. couleur	.jpeg	6016x4000	R. Martinez	17/10/2019	9	42	-	Vue générale	Nord	IM_2019_080_754	DVD-1
Num. couleur	.jpeg	6016x4000	R. Martinez	17/10/2019	9	43	-	Vue générale	Sud	IM_2019_080_755	DVD-1
Num. couleur	.jpeg	6016x4000	R. Martinez	17/10/2019	9	-	-	Ambiance	-	IM_2019_080_756	DVD-1
Num. couleur	.jpeg	6016x4000	R. Martinez	17/10/2019	9	42	log 19	log 19	Ouest	IM_2019_080_757	DVD-1
Num. couleur	.jpeg	6016x4000	R. Martinez	17/10/2019	9	42	log 19	log 19	Ouest	IM_2019_080_758	DVD-1
Num. couleur	.jpeg	6016x4000	R. Martinez	17/10/2019	9	44	-	Vue générale	Sud	IM_2019_080_759	DVD-1
Num. couleur	.jpeg	6016x4000	R. Martinez	17/10/2019	9	44	-	Vue générale	Sud	IM_2019_080_760	DVD-1
Num. couleur	.jpeg	6016x4000	R. Martinez	17/10/2019	9	44	-	Vue générale	Nord	IM_2019_080_761	DVD-1
Num. couleur	.jpeg	6016x4000	R. Martinez	17/10/2019	9	44	F.44.02	Ambiance : sondage méca	est	IM_2019_080_762	DVD-1
Num. couleur	.jpeg	6016x4000	R. Martinez	17/10/2019	9	44	F.44.02	Ambiance : sondage méca	Est	IM_2019_080_763	DVD-1
Num. couleur	.jpeg	6016x4000	C. Landart	17/10/2019	9	44	F.44.02	Coupe Sud-Ouest sondage méca	Sud-Ouest	IM_2019_080_764	DVD-1
Num. couleur	.jpeg	6016x4000	C. Landart	17/10/2019	9	44	F.44.02	Coupe Sud-Ouest sondage méca	Sud-Ouest	IM_2019_080_765	DVD-1
Num. couleur	.jpeg	6016x4000	C. Landart	17/10/2019	9	44	F.44.02	Coupe Sud-Ouest sondage méca	Sud-Ouest	IM_2019_080_766	DVD-1
Num. couleur	.jpeg	6016x4000	C. Landart	17/10/2019	9	44	F.44.02	Coupe Sud-Ouest sondage méca	Sud-Ouest	IM_2019_080_767	DVD-1
Num. couleur	.jpeg	6016x4000	C. Landart	17/10/2019	9	44	F.44.02	Coupe Sud-Ouest sondage méca	Sud-Ouest	IM_2019_080_768	DVD-1
Num. couleur	.jpeg	6016x4000	C. Landart	17/10/2019	9	44	F.44.02	Coupe Nord-Ouest sondage méca	Nord-Ouest	IM_2019_080_769	DVD-1
Num. couleur	.jpeg	6016x4000	C. Landart	17/10/2019	9	44	F.44.02	Coupe Nord-Ouest sondage méca	Nord-Ouest	IM_2019_080_770	DVD-1
Num. couleur	.jpeg	6016x4000	C. Landart	17/10/2019	9	44	F.44.02	Coupe Nord-Ouest sondage méca	Nord-Ouest	IM_2019_080_771	DVD-1
Num. couleur	.jpeg	6016x4000	C. Landart	17/10/2019	9	44	F.44.02	Coupes Nord-Ouest et Sud-Ouest, vue générale	Ouest	IM_2019_080_772	DVD-1
Num. couleur	.jpeg	6016x4000	C. Landart	17/10/2019	9	44	F.44.02	Coupes Nord-Ouest et Sud-Ouest, vue générale	Ouest	IM_2019_080_773	DVD-1
Num. couleur	.jpeg	6016x4000	C. Landart	17/10/2019	9	44	F.44.02	Coupes Nord-Ouest et Sud-Ouest, vue générale	Ouest	IM_2019_080_774	DVD-1

Support	Format	Dimensions	Auteur	Date	Secteur	TR	Fait/ Log	Description	Orientation (vue vers)	Code document	Ref. contenant
Num. couleur	.jpeg	6016x4000	C. Landart	17/10/2019	9	44	F.44.02	Coupes Nord-Ouest et Sud-Ouest, vue générale F.44.02	Ouest	IM_2019_080_775	DVD-1
Num. couleur	.jpeg	6016x4000	A. Kergourlay	17/10/2019	9	43	log 20	log 20	Est	IM_2019_080_776	DVD-1
Num. couleur	.jpeg	6016x4000	A. Kergourlay	17/10/2019	9	43	log 20	log 20	Est	IM_2019_080_777	DVD-1
Num. couleur	.jpeg	6016x4000	A. Kergourlay	17/10/2019	9	43	log 20	log 20	Est	IM_2019_080_778	DVD-1
Num. couleur	.jpeg	6016x4000	A. Kergourlay	17/10/2019	9	43	log 21	log 21	Est	IM_2019_080_779	DVD-1
Num. couleur	.jpeg	6016x4000	A. Kergourlay	17/10/2019	9	43	log 21	log 21	Est	IM_2019_080_780	DVD-1
Num. couleur	.jpeg	6016x4000	A. Kergourlay	17/10/2019	9	43	log 21	log 21	Est	IM_2019_080_781	DVD-1
Num. couleur	.jpeg	6016x4000	A. Kergourlay	17/10/2019	9	43	log 22	log 22	Est	IM_2019_080_782	DVD-1
Num. couleur	.jpeg	6016x4000	A. Kergourlay	17/10/2019	9	43	log 22	log 22	Est	IM_2019_080_783	DVD-1
Num. couleur	.jpeg	6016x4000	A. Kergourlay	17/10/2019	9	43	log 22	log 22	Est	IM_2019_080_784	DVD-1
Num. couleur	.jpeg	6016x4000	A. Kergourlay	17/10/2019	9	43	log 23	log 23	Est	IM_2019_080_785	DVD-1
Num. couleur	.jpeg	6016x4000	A. Kergourlay	17/10/2019	9	43	log 23	log 23	Est	IM_2019_080_786	DVD-1
Num. couleur	.jpeg	6016x4000	A. Kergourlay	17/10/2019	9	45	log 24	log 24	Est	IM_2019_080_787	DVD-1
Num. couleur	.jpeg	6016x4000	A. Kergourlay	17/10/2019	9	45	log 24	log 24	Est	IM_2019_080_788	DVD-1
Num. couleur	.jpeg	6016x4000	A. Kergourlay	17/10/2019	9	46	log 25	log 25 (plaque fausse)	Est	IM_2019_080_789	DVD-1
Num. couleur	.jpeg	6016x4000	A. Kergourlay	17/10/2019	9	46	log 26	log 26	Est	IM_2019_080_790	DVD-1
Num. couleur	.jpeg	6016x4000	A. Kergourlay	17/10/2019	9	46	log 26	log 26	Est	IM_2019_080_791	DVD-1
Num. couleur	.jpeg	6016x4000	A. Kergourlay	17/10/2019	9	46	log 27	log 27	Ouest	IM_2019_080_792	DVD-1
Num. couleur	.jpeg	6016x4000	A. Kergourlay	17/10/2019	9	46	log 27	log 27	Ouest	IM_2019_080_793	DVD-1
Num. couleur	.jpeg	6016x4000	R. Martinez	18/10/2019	9	44	-	Vue générale	Nord	IM_2019_080_794	DVD-1
Num. couleur	.jpeg	6016x4000	C. Landart	18/10/2019	9	44	F.44.05	Plan	Est	IM_2019_080_795	DVD-1
Num. couleur	.jpeg	6016x4000	C. Landart	18/10/2019	9	44	F.44.05	Plan	Est	IM_2019_080_796	DVD-1
Num. couleur	.jpeg	6016x4000	C. Landart	18/10/2019	9	44	F.44.05	Plan	Est	IM_2019_080_797	DVD-1
Num. couleur	.jpeg	6016x4000	C. Landart	18/10/2019	9	44	F.44.05	Coupe	Est	IM_2019_080_798	DVD-1
Num. couleur	.jpeg	6016x4000	C. Landart	18/10/2019	9	44	F.44.05	Coupe	Est	IM_2019_080_799	DVD-1
Num. couleur	.jpeg	6016x4000	C. Landart	18/10/2019	9	44	F.44.05	Coupe	Est	IM_2019_080_800	DVD-1
Num. couleur	.jpeg	6016x4000	R. Martinez	18/10/2019	9	44	F.44.04	Plan	Sud	IM_2019_080_801	DVD-1
Num. couleur	.jpeg	6016x4000	R. Martinez	18/10/2019	9	44	F.44.04	Plan	Sud	IM_2019_080_802	DVD-1
Num. couleur	.jpeg	6016x4000	C. Landart	18/10/2019	2	47	log 28	log 28	Est	IM_2019_080_803	DVD-1
Num. couleur	.jpeg	6016x4000	C. Landart	18/10/2019	2	47	log 28	log 28	Est	IM_2019_080_804	DVD-1
Num. couleur	.jpeg	6016x4000	C. Landart	18/10/2019	2	47	log 28	log 28	Est	IM_2019_080_805	DVD-1
Num. couleur	.jpeg	6016x4000	C. Landart	18/10/2019	2	47	-	Vue générale	Nord	IM_2019_080_806	DVD-1
Num. couleur	.jpeg	6016x4000	C. Landart	18/10/2019	2	47	-	Vue générale	Nord	IM_2019_080_807	DVD-1
Num. couleur	.jpeg	6016x4000	C. Landart	18/10/2019	2	47	-	Vue générale	Nord	IM_2019_080_808	DVD-1
Num. couleur	.jpeg	6016x4000	R. Martinez	18/10/2019	2	48	log 29	log 29 (plaque fausse)	Est	IM_2019_080_809	DVD-1
Num. couleur	.jpeg	6016x4000	R. Martinez	18/10/2019	2	48	log 29	log 29 (plaque fausse)	Est	IM_2019_080_810	DVD-1
Num. couleur	.jpeg	6016x4000	C. Landart	18/10/2019	2	48	-	Vue générale	Nord	IM_2019_080_811	DVD-1

PLOUDANIEL (29) - RD-770

INVENTAIRE DES PHOTOGRAPHIES

Arrêté n° 2019_080

Support	Format	Dimensions	Auteur	Date	Secteur	TR	Faîs / Log	Description	Orientaton (vue vers)	Code document	Réf. contenant
Num. couleur	.jpeg	6016x4000	C. Landart	18/10/2019	2	48	-	Vue générale	Nord	IM_2019_080_812	DVD-1
Num. couleur	.jpeg	6016x4000	C. Landart	18/10/2019	2	48	-	Vue générale	Nord	IM_2019_080_813	DVD-1
Num. couleur	.jpeg	6016x4000	C. Landart	18/10/2019	2	49	log 30	log 30	Est	IM_2019_080_814	DVD-1
Num. couleur	.jpeg	6016x4000	C. Landart	18/10/2019	2	49	log 30	log 30	Est	IM_2019_080_815	DVD-1
Num. couleur	.jpeg	6016x4000	C. Landart	18/10/2019	2	49	log 30	log 30	Est	IM_2019_080_816	DVD-1
Num. couleur	.jpeg	6016x4000	C. Landart	18/10/2019	2	49	log 30	log 30	Est	IM_2019_080_817	DVD-1
Num. couleur	.jpeg	6016x4000	R. Martinez	18/10/2019	2	49	log 31	log 31	Est	IM_2019_080_818	DVD-1
Num. couleur	.jpeg	6016x4000	R. Martinez	18/10/2019	2	49	log 31	log 31	Est	IM_2019_080_819	DVD-1
Num. couleur	.jpeg	6016x4000	C. Landart	18/10/2019	2	49	-	Vue générale	Nord	IM_2019_080_820	DVD-1
Num. couleur	.jpeg	6016x4000	C. Landart	18/10/2019	2	49	-	Vue générale	Nord	IM_2019_080_821	DVD-1
Num. couleur	.jpeg	6016x4000	C. Landart	18/10/2019	2	49	-	Vue générale	Nord	IM_2019_080_822	DVD-1
Num. couleur	.jpeg	6016x4000	C. Landart	18/10/2019	2	49	-	Vue générale	Sud	IM_2019_080_823	DVD-1
Num. couleur	.jpeg	6016x4000	C. Landart	18/10/2019	2	49	-	Vue générale	Sud	IM_2019_080_824	DVD-1
Num. couleur	.jpeg	6016x4000	C. Landart	18/10/2019	2	50	F.50.08	Céramique en place	Nord-Ouest	IM_2019_080_825	DVD-1
Num. couleur	.jpeg	6016x4000	C. Landart	18/10/2019	2	50	F.50.08	Céramique en place	Nord-Ouest	IM_2019_080_826	DVD-1
Num. couleur	.jpeg	6016x4000	C. Landart	18/10/2019	2	50	F.50.08	Céramique en place	Nord-Ouest	IM_2019_080_827	DVD-1
Num. couleur	.jpeg	6016x4000	C. Landart	18/10/2019	2	50	F.50.08	Céramique en place	Nord-Ouest	IM_2019_080_828	DVD-1
Num. couleur	.jpeg	6016x4000	C. Landart	18/10/2019	2	50	F.50.08	Photos de détails céramique	divers	IM_2019_080_829	DVD-1
Num. couleur	.jpeg	6016x4000	C. Landart	18/10/2019	2	50	F.50.08	Photos de détails céramique	divers	IM_2019_080_830	DVD-1
Num. couleur	.jpeg	6016x4000	C. Landart	18/10/2019	2	50	F.50.08	Photos de détails céramique	divers	IM_2019_080_831	DVD-1
Num. couleur	.jpeg	6016x4000	C. Landart	18/10/2019	2	50	F.50.08	Photos de détails céramique	divers	IM_2019_080_832	DVD-1
Num. couleur	.jpeg	6016x4000	C. Landart	18/10/2019	2	50	F.50.08	Photos de détails céramique	divers	IM_2019_080_833	DVD-1
Num. couleur	.jpeg	6016x4000	C. Landart	18/10/2019	2	50	F.50.08	Photos de détails céramique	divers	IM_2019_080_834	DVD-1
Num. couleur	.jpeg	6016x4000	C. Landart	18/10/2019	2	50	F.50.08	Photos de détails céramique	divers	IM_2019_080_835	DVD-1
Num. couleur	.jpeg	6016x4000	C. Landart	21/10/2019	2	50	F.50.03	photo générale de F.50.03	Ouest	IM_2019_080_836	DVD-1
Num. couleur	.jpeg	6016x4000	C. Landart	21/10/2019	2	50	F.50.03	photo générale de F.50.03	Ouest	IM_2019_080_837	DVD-1
Num. couleur	.jpeg	6016x4000	C. Landart	21/10/2019	2	50	F.50.03	photo générale de F.50.03	Ouest	IM_2019_080_838	DVD-1
Num. couleur	.jpeg	6016x4000	C. Landart	21/10/2019	2	50	F.50.03	zone nettoyée : F.50.01, F.50.02, F50.03 et F50.04	Sud-Ouest	IM_2019_080_839	DVD-1
Num. couleur	.jpeg	6016x4000	C. Landart	21/10/2019	2	50	F.50.03	Céramique en place	Ouest	IM_2019_080_840	DVD-1
Num. couleur	.jpeg	6016x4000	C. Landart	21/10/2019	2	50	F.50.03	détails céramique	Ouest	IM_2019_080_841	DVD-1
Num. couleur	.jpeg	6016x4000	C. Landart	21/10/2019	2	50	F.50.03	détails céramique	Ouest	IM_2019_080_842	DVD-1
Num. couleur	.jpeg	6016x4000	C. Landart	21/10/2019	2	50	F.50.03	détails céramique	Ouest	IM_2019_080_843	DVD-1
Num. couleur	.jpeg	6016x4000	R. Martinez	21/10/2019	2	50	F.50.12 et F.50.13	sondage manu vidé	Nord	IM_2019_080_844	DVD-1

Support	Format	Dimensions	Auteur	Date	Secteur	TR	Fait / Log	Description	Orientation (vue vers)	Code document	Réf. contenant
Num. couleur	.jpeg	6016x4000	R. Martinez	21/10/2019	2	50	F.50.12 et F.50.13	sondage manu vidé	Nord	IM_2019_080_845	DVD-1
Num. couleur	.jpeg	6016x4000	R. Martinez	21/10/2019	2	50	F.50.12 et F.50.13	sondage manu vidé	Sud	IM_2019_080_846	DVD-1
Num. couleur	.jpeg	6016x4000	R. Martinez	21/10/2019	2	50	F.50.12 et F.50.13	sondage manu vidé	Sud	IM_2019_080_847	DVD-1
Num. couleur	.jpeg	6016x4000	C. Landart	21/10/2019	2	50	F.50.03	sondage avec céramique dans la coupe	Ouest	IM_2019_080_848	DVD-1
Num. couleur	.jpeg	6016x4000	C. Landart	21/10/2019	2	50	F.50.03	sondage avec céramique dans la coupe	Ouest	IM_2019_080_849	DVD-1
Num. couleur	.jpeg	6016x4000	C. Landart	21/10/2019	2	50	F.50.03	sondage avec céramique dans la coupe	Ouest	IM_2019_080_850	DVD-1
Num. couleur	.jpeg	6016x4000	C. Landart	21/10/2019	2	50	F.50.03	sondage avec céramique dans la coupe	Ouest	IM_2019_080_851	DVD-1
Num. couleur	.jpeg	6016x4000	C. Landart	21/10/2019	2	50	F.50.03	sondage avec céramique dans la coupe	Ouest	IM_2019_080_852	DVD-1
Num. couleur	.jpeg	6016x4000	C. Landart	21/10/2019	2	50	F.50.03	sondage avec céramique dans la coupe	Ouest	IM_2019_080_853	DVD-1
Num. couleur	.jpeg	6016x4000	C. Landart	21/10/2019	2	50	F.50.03	sondage avec céramique dans la coupe	Ouest	IM_2019_080_854	DVD-1
Num. couleur	.jpeg	6016x4000	R. Martinez	21/10/2019	2	50	F.50.12 et F.50.13	sondage manu vidé	Sud	IM_2019_080_855	DVD-1
Num. couleur	.jpeg	6016x4000	R. Martinez	21/10/2019	2	50	F.50.12 et F.50.13	sondage manu vidé	Sud	IM_2019_080_856	DVD-1
Num. couleur	.jpeg	6016x4000	C. Landart	21/10/2019	2	50	F.50.03	Sondage après fouille	Ouest	IM_2019_080_857	DVD-1
Num. couleur	.jpeg	6016x4000	C. Landart	21/10/2019	2	50	F.50.03	Sondage après fouille	Ouest	IM_2019_080_858	DVD-1
Num. couleur	.jpeg	6016x4000	C. Landart	21/10/2019	2	50	F.50.03	Sondage après fouille	Ouest	IM_2019_080_859	DVD-1
Num. couleur	.jpeg	6016x4000	C. Landart	21/10/2019	2	50	F.50.03	Sondage après fouille	Ouest	IM_2019_080_860	DVD-1
Num. couleur	.jpeg	6016x4000	C. Landart	21/10/2019	2	50	F.50.03	Sondage après fouille	Ouest	IM_2019_080_861	DVD-1
Num. couleur	.jpeg	6016x4000	C. Landart	21/10/2019	2	50	F.50.03	Sondage après fouille	Ouest	IM_2019_080_862	DVD-1
Num. couleur	.jpeg	6016x4000	C. Landart	21/10/2019	2	50	F.50.03	Sondage après fouille	Ouest	IM_2019_080_863	DVD-1
Num. couleur	.jpeg	6016x4000	C. Landart	21/10/2019	2	50	F.50.03	Sondage après fouille	Ouest	IM_2019_080_864	DVD-1
Num. couleur	.jpeg	6016x4000	C. Landart	21/10/2019	2	50	F.50.03	Coupe Sud du sondage	Sud	IM_2019_080_865	DVD-1
Num. couleur	.jpeg	6016x4000	C. Landart	21/10/2019	2	50	F.50.03	Coupe Sud du sondage	Sud	IM_2019_080_866	DVD-1
Num. couleur	.jpeg	6016x4000	C. Landart	21/10/2019	2	50	F.50.03	Coupe Sud du sondage	Sud	IM_2019_080_867	DVD-1
Num. couleur	.jpeg	6016x4000	C. Landart	21/10/2019	2	50	F.50.03	Coupe Sud du sondage	Sud	IM_2019_080_868	DVD-1
Num. couleur	.jpeg	6016x4000	C. Landart	21/10/2019	2	50	F.50.03	Coupe Sud du sondage	Sud	IM_2019_080_869	DVD-1
Num. couleur	.jpeg	6016x4000	C. Landart	21/10/2019	2	50	F.50.03	Coupe Sud du sondage	Sud	IM_2019_080_870	DVD-1
Num. couleur	.jpeg	6016x4000	C. Landart	21/10/2019	2	50	F.50.03	Coupe Nord du sondage	Nord	IM_2019_080_871	DVD-1
Num. couleur	.jpeg	6016x4000	C. Landart	21/10/2019	2	50	F.50.03	Coupe Nord du sondage	Nord	IM_2019_080_872	DVD-1

PLOUDANIEL (29) - RD-770

INVENTAIRE DES PHOTOGRAPHIES

Arrêté n° 2019_080

Support	Format	Dimensions	Auteur	Date	Secteur	TR	Fait / Log	Description	Orientation (vue vers)	Code document	Réf. contenant
Num. couleur	.jpeg	6016x4000	C. Landart	21/10/2019	2	50	F.50.03	Coupe Nord du sondage	Nord	IM_2019_080_873	DVD-1
Num. couleur	.jpeg	6016x4000	C. Landart	21/10/2019	2	50	F.50.03	Coupe Nord du sondage	Nord	IM_2019_080_874	DVD-1
Num. couleur	.jpeg	6016x4000	C. Landart	21/10/2019	2	50	F.50.03	Coupe Nord du sondage	Nord	IM_2019_080_875	DVD-1
Num. couleur	.jpeg	6016x4000	C. Landart	21/10/2019	2	50	F.50.03	Plan	Nord	IM_2019_080_876	DVD-1
Num. couleur	.jpeg	6016x4000	C. Landart	21/10/2019	2	50	F.50.03	Plan	Nord	IM_2019_080_877	DVD-1
Num. couleur	.jpeg	6016x4000	C. Landart	21/10/2019	2	50	F.50.03	Plan	Nord	IM_2019_080_878	DVD-1
Num. couleur	.jpeg	6016x4000	C. Landart	21/10/2019	2	50	F.50.03	détails céramique	Nord	IM_2019_080_879	DVD-1
Num. couleur	.jpeg	6016x4000	C. Landart	21/10/2019	2	50	F.50.03	détails céramique	Nord	IM_2019_080_880	DVD-1
Num. couleur	.jpeg	6016x4000	C. Landart	22/10/2019	2	50	-	F.50.06, F.50.07, F.50.08 et F.50.09 : vue générale	Nord-Est	IM_2019_080_881	DVD-1
Num. couleur	.jpeg	6016x4000	C. Landart	22/10/2019	2	50	-	F.50.06, F.50.07, F.50.08 et F.50.09 : vue générale	Nord-Est	IM_2019_080_882	DVD-1
Num. couleur	.jpeg	6016x4000	C. Landart	22/10/2019	2	50	-	F.50.06, F.50.07, F.50.08 et F.50.09 : vue générale	Nord-Est	IM_2019_080_883	DVD-1
Num. couleur	.jpeg	6016x4000	R. Martinez	22/10/2019	2	50	F.50.16	Coupe Ouest du TP	Ouest	IM_2019_080_884	DVD-1
Num. couleur	.jpeg	6016x4000	R. Martinez	22/10/2019	2	50	F.50.16	Coupe Ouest du TP	Ouest	IM_2019_080_885	DVD-1
Num. couleur	.jpeg	6016x4000	R. Martinez	22/10/2019	2	50	F.50.16	Coupe Ouest du TP	Ouest	IM_2019_080_886	DVD-1
Num. couleur	.jpeg	6016x4000	C. Landart	22/10/2019	2	50	F.50.08	Sondage méca coupe Sud-Sud-Est	Sud-Est	IM_2019_080_887	DVD-1
Num. couleur	.jpeg	6016x4000	C. Landart	22/10/2019	2	50	F.50.08	Sondage méca coupe Sud-Sud-Est	Sud-Est	IM_2019_080_888	DVD-1
Num. couleur	.jpeg	6016x4000	C. Landart	22/10/2019	2	50	F.50.08	Sondage méca coupe Sud-Sud-Est	Sud-Est	IM_2019_080_889	DVD-1
Num. couleur	.jpeg	6016x4000	C. Landart	22/10/2019	2	50	F.50.08	Sondage méca coupe Nord-Nord-Ouest	Nord	IM_2019_080_890	DVD-1
Num. couleur	.jpeg	6016x4000	C. Landart	22/10/2019	2	50	F.50.08	Sondage méca coupe Nord-Nord-Ouest	Nord	IM_2019_080_891	DVD-1
Num. couleur	.jpeg	6016x4000	C. Landart	22/10/2019	2	50	F.50.08	Sondage méca coupe Nord-Nord-Ouest	Nord	IM_2019_080_892	DVD-1
Num. couleur	.jpeg	6016x4000	C. Landart	22/10/2019	2	50	F.50.08	Sondage méca coupe Nord-Nord-Ouest	Nord	IM_2019_080_893	DVD-1
Num. couleur	.jpeg	6016x4000	C. Landart	22/10/2019	2	50	F.50.08	Sondage méca coupe Nord-Nord-Ouest	Nord	IM_2019_080_894	DVD-1
Num. couleur	.jpeg	6016x4000	C. Landart	22/10/2019	2	50	F.50.08	Sondage méca coupe Nord-Nord-Ouest	Nord	IM_2019_080_895	DVD-1
Num. couleur	.jpeg	6016x4000	C. Landart	22/10/2019	2	50	F.50.08	Sondage méca coupe Nord-Nord-Ouest	Nord	IM_2019_080_896	DVD-1
Num. couleur	.jpeg	6016x4000	C. Landart	22/10/2019	2	50	F.50.08	Sondage méca coupe Nord-Nord-Ouest	Nord	IM_2019_080_897	DVD-1
Num. couleur	.jpeg	6016x4000	C. Landart	22/10/2019	2	50	F.50.08	Sondage méca coupe Nord-Nord-Ouest	Nord	IM_2019_080_898	DVD-1
Num. couleur	.jpeg	6016x4000	C. Landart	22/10/2019	2	50	F.50.08	Sondage méca coupe Nord-Nord-Ouest	Nord	IM_2019_080_899	DVD-1
Num. couleur	.jpeg	6016x4000	C. Landart	22/10/2019	2	50	F.50.08	Sondage méca coupe Sud-Sud-Est	Sud	IM_2019_080_900	DVD-1
Num. couleur	.jpeg	6016x4000	C. Landart	22/10/2019	2	50	F.50.08	Sondage méca coupe Sud-Sud-Est	Sud	IM_2019_080_901	DVD-1
Num. couleur	.jpeg	6016x4000	C. Landart	22/10/2019	2	50	F.50.08	Sondage méca coupe Sud-Sud-Est	Sud	IM_2019_080_902	DVD-1
Num. couleur	.jpeg	6016x4000	C. Landart	22/10/2019	2	50	F.50.08	Sondage méca coupe Sud-Sud-Est	Sud	IM_2019_080_903	DVD-1
Num. couleur	.jpeg	6016x4000	E. Guézennec	22/10/2019	2	50	F.50.06	Sondage manuel	Ouest	IM_2019_080_904	DVD-1
Num. couleur	.jpeg	6016x4000	E. Guézennec	22/10/2019	2	50	F.50.06	Sondage manuel	Ouest	IM_2019_080_905	DVD-1
Num. couleur	.jpeg	6016x4000	E. Guézennec	22/10/2019	2	50	F.50.06	Sondage manuel	Nord-Ouest	IM_2019_080_906	DVD-1
Num. couleur	.jpeg	6016x4000	E. Guézennec	22/10/2019	2	50	F.50.06	Coupe du sondage manuel	Ouest	IM_2019_080_907	DVD-1

Support	Format	Dimensions	Auteur	Date	Secteur	TR	Fait / Log	Description	Orientaton (vue vers)	Code document	Réf. contenant
Num. couleur	.jpeg	6016x4000	E. Guézennec	22/10/2019	2	50	F.50.06	Coupe du sondage manuel	Est	IM_2019_080_908	DVD-1
Num. couleur	.jpeg	6016x4000	E. Guézennec	22/10/2019	2	50	F.50.06	Coupe du sondage manuel	Est	IM_2019_080_909	DVD-1
Num. couleur	.jpeg	6016x4000	E. Guézennec	22/10/2019	2	50	F.50.06	Sondage manuel	Sud	IM_2019_080_910	DVD-1
Num. couleur	.jpeg	6016x4000	E. Guézennec	22/10/2019	2	50	F.50.06	Sondage manuel	Sud	IM_2019_080_911	DVD-1
Num. couleur	.jpeg	6016x4000	E. Guézennec	22/10/2019	2	50	F.50.07	sondage	Sud-Est	IM_2019_080_912	DVD-1
Num. couleur	.jpeg	6016x4000	E. Guézennec	22/10/2019	2	50	F.50.07	sondage	Sud	IM_2019_080_913	DVD-1
Num. couleur	.jpeg	6016x4000	E. Guézennec	22/10/2019	2	50	F.50.07	sondage coupe Ouest	Ouest	IM_2019_080_914	DVD-1
Num. couleur	.jpeg	6016x4000	J. Coulin	22/10/2019	2	50	F.50.18	Sondage	Sud	IM_2019_080_915	DVD-1
Num. couleur	.jpeg	6016x4000	J. Coulin	22/10/2019	2	50	F.50.18	Sondage	Sud	IM_2019_080_916	DVD-1
Num. couleur	.jpeg	6016x4000	J. Coulin	22/10/2019	2	50	F.50.18	Sondage	Nord	IM_2019_080_917	DVD-1
Num. couleur	.jpeg	6016x4000	J. Coulin	22/10/2019	2	50	F.50.18	Sondage	Nord	IM_2019_080_918	DVD-1
Num. couleur	.jpeg	6016x4000	R. Martinez	22/10/2019	2	50	F.50.01, F.50.02 et F.50.03	Coupe Est du sondage	Est	IM_2019_080_919	DVD-1
Num. couleur	.jpeg	6016x4000	R. Martinez	22/10/2019	2	50	F.50.01, F.50.02 et F.50.03	Coupe Est du sondage	Est	IM_2019_080_920	DVD-1
Num. couleur	.jpeg	6016x4000	R. Martinez	22/10/2019	2	50	F.50.01, F.50.02 et F.50.03	Coupe Ouest du sondage	Ouest	IM_2019_080_921	DVD-1
Num. couleur	.jpeg	6016x4000	R. Martinez	22/10/2019	2	50	F.50.01, F.50.02 et F.50.03	Coupe Ouest du sondage	Ouest	IM_2019_080_922	DVD-1
Num. couleur	.jpeg	6016x4000	R. Martinez	22/10/2019	2	50	F.50.01, F.50.02 et F.50.03	Vue générale des trois fossés	Sud	IM_2019_080_923	DVD-1
Num. couleur	.jpeg	6016x4000	E. Guézennec	22/10/2019	2	50	F.50.09	Vue générale de la structure	Ouest	IM_2019_080_924	DVD-1
Num. couleur	.jpeg	6016x4000	E. Guézennec	22/10/2019	2	50	F.50.09	Vue générale de la structure	Sud-Ouest	IM_2019_080_925	DVD-1
Num. couleur	.jpeg	6016x4000	E. Guézennec	22/10/2019	2	50	F.50.09	Vue générale de la structure	Est	IM_2019_080_926	DVD-1
Num. couleur	.jpeg	6016x4000	E. Guézennec	22/10/2019	2	50	F.50.09	Vue générale de la structure	Ouest	IM_2019_080_927	DVD-1
Num. couleur	.jpeg	6016x4000	C. Landart	22/10/2019	2	50	F.50.08	Vue sondage et céramique	Nord-Ouest	IM_2019_080_928	DVD-1
Num. couleur	.jpeg	6016x4000	C. Landart	22/10/2019	2	50	F.50.08	Vue sondage et céramique	Nord-Ouest	IM_2019_080_929	DVD-1
Num. couleur	.jpeg	6016x4000	C. Landart	22/10/2019	2	50	F.50.08	Vue sondage et céramique	Nord-Ouest	IM_2019_080_930	DVD-1

PLOUDANIEL (29) - RD-770

INVENTAIRE DES PHOTOGRAPHIES

Arrêté n° 2019_080

Support	Format	Dimensions	Auteur	Date	Secteur	TR	Fait / Log	Description	Orientation (vue vers)	Code document	Réf. contenant
Num. couleur	.jpeg	6016x4000	C. Landart	22/10/2019	2	50	F.50.08	détails céramique	Nord-Ouest	IM_2019_080_931	DVD-1
Num. couleur	.jpeg	6016x4000	C. Landart	22/10/2019	2	50	F.50.08	détails céramique	Nord-Ouest	IM_2019_080_932	DVD-1
Num. couleur	.jpeg	6016x4000	E. Guézennec	22/10/2019	2	50	F.50.07	Sondage et coupe	Est	IM_2019_080_933	DVD-1
Num. couleur	.jpeg	6016x4000	E. Guézennec	22/10/2019	2	50	F.50.07	Sondage et coupe	Est	IM_2019_080_934	DVD-1
Num. couleur	.jpeg	6016x4000	E. Guézennec	22/10/2019	2	50	F.50.07	Sondage et coupe	Est	IM_2019_080_935	DVD-1
Num. couleur	.jpeg	6016x4000	E. Guézennec	22/10/2019	2	50	F.50.07	Sondage et coupe	Est	IM_2019_080_936	DVD-1
Num. couleur	.jpeg	6016x4000	E. Guézennec	22/10/2019	2	50	F.50.07	Sondage et coupe	Est	IM_2019_080_937	DVD-1
Num. couleur	.jpeg	6016x4000	E. Guézennec	22/10/2019	2	50	F.50.07	Sondage et coupe	Est	IM_2019_080_938	DVD-1
Num. couleur	.jpeg	6016x4000	C. Landart	22/10/2019	2	50	F.50.08	Sondage manuel vidé	Nord-Ouest	IM_2019_080_939	DVD-1
Num. couleur	.jpeg	6016x4000	C. Landart	22/10/2019	2	50	F.50.08	Sondage manuel vidé	Nord-Ouest	IM_2019_080_940	DVD-1
Num. couleur	.jpeg	6016x4000	C. Landart	22/10/2019	2	50	F.50.08	Sondage manuel vidé	Nord-Ouest	IM_2019_080_941	DVD-1
Num. couleur	.jpeg	6016x4000	C. Landart	22/10/2019	2	50	F.50.08	Sondage manuel vidé	Nord-Ouest	IM_2019_080_942	DVD-1
Num. couleur	.jpeg	6016x4000	C. Landart	22/10/2019	2	50	F.50.08	Sondage manuel vidé	Nord-Ouest	IM_2019_080_943	DVD-1
Num. couleur	.jpeg	6016x4000	C. Landart	22/10/2019	2	50	F.50.08	Sondage manuel vidé	Nord-Ouest	IM_2019_080_944	DVD-1
Num. couleur	.jpeg	6016x4000	C. Landart	22/10/2019	2	50	F.50.08	Sondage manuel vidé	Nord-Ouest	IM_2019_080_945	DVD-1
Num. couleur	.jpeg	6016x4000	C. Landart	22/10/2019	2	50	F.50.08	Sondage manuel vidé	Nord-Ouest	IM_2019_080_946	DVD-1
Num. couleur	.jpeg	6016x4000	C. Landart	22/10/2019	2	50	F.50.08	Sondage manuel vidé	Nord-Ouest	IM_2019_080_947	DVD-1
Num. couleur	.jpeg	6016x4000	C. Landart	22/10/2019	2	50	F.50.08	Sondage manuel vidé	Nord-Ouest	IM_2019_080_948	DVD-1
Num. couleur	.jpeg	6016x4000	R. Martinez	22/10/2019	2	47	F.47.07	sondage manuel	Nord-Ouest	IM_2019_080_949	DVD-1
Num. couleur	.jpeg	6016x4000	R. Martinez	22/10/2019	2	47	F.47.07	sondage manuel	Nord-Ouest	IM_2019_080_950	DVD-1
Num. couleur	.jpeg	6016x4000	R. Martinez	22/10/2019	2	47	F.47.07	sondage manuel	Nord-Ouest	IM_2019_080_951	DVD-1
Num. couleur	.jpeg	6016x4000	A. Kergourlay	22/10/2019	2	50	F.50.03	Ambiance	Nord-Ouest	IM_2019_080_952	DVD-1
Num. couleur	.jpeg	6016x4000	A. Kergourlay	22/10/2019	2	50	F.50.03	Vue générale/ Ambiance	Nord-Ouest	IM_2019_080_953	DVD-1
Num. couleur	.jpeg	6016x4000	A. Kergourlay	22/10/2019	2	50	F.50.03	Ambiance	Nord	IM_2019_080_954	DVD-1
Num. couleur	.jpeg	6016x4000	A. Kergourlay	22/10/2019	2	50	F.50.03	Vue générale TR 50 avec extension	Nord-Ouest	IM_2019_080_955	DVD-1
Num. couleur	.jpeg	6016x4000	A. Kergourlay	22/10/2019	2	50	F.50.03	Vue générale	Sud	IM_2019_080_956	DVD-1
Num. couleur	.jpeg	6016x4000	A. Kergourlay	22/10/2019	2	50	F.50.03	Ambiance	Sud	IM_2019_080_957	DVD-1
Num. couleur	.jpeg	6016x4000	A. Kergourlay	22/10/2019	2	50	F.50.03	Céramique en place	Sud-Ouest	IM_2019_080_958	DVD-1
Num. couleur	.jpeg	6016x4000	A. Kergourlay	22/10/2019	2	50	F.50.03	Céramique en place	Sud-Ouest	IM_2019_080_959	DVD-1
Num. couleur	.jpeg	6016x4000	A. Kergourlay	22/10/2019	2	50	F.50.03	Céramique en place	Nord-Ouest	IM_2019_080_960	DVD-1
Num. couleur	.jpeg	6016x4000	C. Landart	23/10/2019	1	57	log 37	log 37	Nord-Est	IM_2019_080_961	DVD-1
Num. couleur	.jpeg	6016x4000	C. Landart	23/10/2019	1	57	log 37	log 37	Nord-Est	IM_2019_080_962	DVD-1
Num. couleur	.jpeg	6016x4000	C. Landart	23/10/2019	1	57	log 37	log 37	Nord-Est	IM_2019_080_963	DVD-1
Num. couleur	.jpeg	6016x4000	C. Landart	23/10/2019	1	57	log 37	log 37	Nord-Est	IM_2019_080_964	DVD-1
Num. couleur	.jpeg	6016x4000	C. Landart	23/10/2019	1	56	log 36	log 36	Ouest	IM_2019_080_965	DVD-1
Num. couleur	.jpeg	6016x4000	C. Landart	23/10/2019	1	56	log 36	log 36	Ouest	IM_2019_080_966	DVD-1
Num. couleur	.jpeg	6016x4000	C. Landart	23/10/2019	1	56	log 36	log 36	Ouest	IM_2019_080_967	DVD-1
Num. couleur	.jpeg	6016x4000	C. Landart	23/10/2019	1	56	log 36	log 36	Ouest	IM_2019_080_968	DVD-1

Support	Format	Dimensions	Auteur	Date	Secteur	TR	Fait / Log	Description	Orientation (vue vers)	Code document	Ref. contenant
Num. couleur	.jpeg	6016x4000	C. Landart	23/10/2019	1	56	log 36	log 36	Ouest	IM_2019_080_969	DVD-1
Num. couleur	.jpeg	6016x4000	C. Landart	23/10/2019	1	56	log 35	log 35	Sud-Ouest	IM_2019_080_970	DVD-1
Num. couleur	.jpeg	6016x4000	C. Landart	23/10/2019	1	56	log 35	log 35	Sud-Ouest	IM_2019_080_971	DVD-1
Num. couleur	.jpeg	6016x4000	C. Landart	23/10/2019	1	56	log 35	log 35	Sud-Ouest	IM_2019_080_972	DVD-1
Num. couleur	.jpeg	6016x4000	R. Martinez	23/10/2019	1	56	log 36	log 36	Ouest	IM_2019_080_973	DVD-1
Num. couleur	.jpeg	6016x4000	R. Martinez	23/10/2019	1	56	log 36	log 36	Ouest	IM_2019_080_974	DVD-1
Num. couleur	.jpeg	6016x4000	C. Landart	23/10/2019	2	55	-	Vue générale	Sud	IM_2019_080_975	DVD-1
Num. couleur	.jpeg	6016x4000	C. Landart	23/10/2019	2	55	-	Vue générale	Sud	IM_2019_080_976	DVD-1
Num. couleur	.jpeg	6016x4000	C. Landart	23/10/2019	2	55	-	Vue générale	Sud	IM_2019_080_977	DVD-1
Num. couleur	.jpeg	6016x4000	C. Landart	23/10/2019	2	55	log 34	log 34	Est	IM_2019_080_978	DVD-1
Num. couleur	.jpeg	6016x4000	C. Landart	23/10/2019	2	55	log 34	log 34	Est	IM_2019_080_979	DVD-1
Num. couleur	.jpeg	6016x4000	C. Landart	23/10/2019	2	55	log 34	log 34	Est	IM_2019_080_980	DVD-1
Num. couleur	.jpeg	6016x4000	C. Landart	23/10/2019	2	55	log 34	log 34	Est	IM_2019_080_981	DVD-1
Num. couleur	.jpeg	6016x4000	C. Landart	23/10/2019	2	55	log 34	log 34	Est	IM_2019_080_982	DVD-1
Num. couleur	.jpeg	6016x4000	C. Landart	23/10/2019	2	54	-	Vue générale	Sud	IM_2019_080_983	DVD-1
Num. couleur	.jpeg	6016x4000	C. Landart	23/10/2019	2	54	-	Vue générale	Sud	IM_2019_080_984	DVD-1
Num. couleur	.jpeg	6016x4000	C. Landart	23/10/2019	2	54	-	Vue générale	Sud	IM_2019_080_985	DVD-1
Num. couleur	.jpeg	6016x4000	C. Landart	23/10/2019	2	54	log 33	log 33	Est	IM_2019_080_986	DVD-1
Num. couleur	.jpeg	6016x4000	C. Landart	23/10/2019	2	54	log 33	log 33	Est	IM_2019_080_987	DVD-1
Num. couleur	.jpeg	6016x4000	C. Landart	23/10/2019	2	54	log 33	log 33	Est	IM_2019_080_988	DVD-1
Num. couleur	.jpeg	6016x4000	C. Landart	23/10/2019	2	54	-	Vue générale	Nord	IM_2019_080_989	DVD-1
Num. couleur	.jpeg	6016x4000	C. Landart	23/10/2019	2	54	-	Vue générale	Nord	IM_2019_080_990	DVD-1
Num. couleur	.jpeg	6016x4000	C. Landart	23/10/2019	2	54	-	Vue générale	Nord	IM_2019_080_991	DVD-1
Num. couleur	.jpeg	6016x4000	C. Landart	23/10/2019	2	54	-	Vue générale	Nord	IM_2019_080_992	DVD-1
Num. couleur	.jpeg	6016x4000	R. Martinez	23/10/2019	2	53	-	Vue générale	Est	IM_2019_080_993	DVD-1
Num. couleur	.jpeg	6016x4000	R. Martinez	23/10/2019	2	53	-	Vue générale	Est	IM_2019_080_994	DVD-1
Num. couleur	.jpeg	6016x4000	C. Landart	23/10/2019	2	54	Log 32	Log 32	Est	IM_2019_080_995	DVD-1
Num. couleur	.jpeg	6016x4000	C. Landart	23/10/2019	2	54	log 32	log 32	Est	IM_2019_080_996	DVD-1
Num. couleur	.jpeg	6016x4000	C. Landart	23/10/2019	2	54	log 32	log 32	Est	IM_2019_080_997	DVD-1
Num. couleur	.jpeg	6016x4000	C. Landart	23/10/2019	2	54	log 32	log 32	Est	IM_2019_080_998	DVD-1
Num. couleur	.jpeg	6016x4000	E. Guézennec	23/10/2019	2	50	F.50.03	Plan	Nord-est	IM_2019_080_999	DVD-1
Num. couleur	.jpeg	6016x4000	E. Guézennec	23/10/2019	2	50	F.50.03	Plan	Nord-est	IM_2019_080_1000	DVD-1
Num. couleur	.jpeg	6016x4000	E. Guézennec	23/10/2019	2	50	F.50.03	Plan	Sud-Ouest	IM_2019_080_1001	DVD-1
Num. couleur	.jpeg	6016x4000	E. Guézennec	23/10/2019	2	50	F.50.03	Plan	Sud-Ouest	IM_2019_080_1002	DVD-1
Num. couleur	.jpeg	6016x4000	E. Guézennec	23/10/2019	2	50	F.50.03	Coupe Nord-Ouest	Nord-Ouest	IM_2019_080_1003	DVD-1
Num. couleur	.jpeg	6016x4000	E. Guézennec	23/10/2019	2	50	F.50.03	Coupe Nord-Ouest	Nord-Ouest	IM_2019_080_1004	DVD-1
Num. couleur	.jpeg	6016x4000	E. Guézennec	23/10/2019	2	50	F.50.06	Coupe Nord-Ouest	Nord-Ouest	IM_2019_080_1005	DVD-1
Num. couleur	.jpeg	6016x4000	E. Guézennec	23/10/2019	2	50	F.50.06	Coupe Nord-Ouest	Nord-Ouest	IM_2019_080_1006	DVD-1

PLOUDANIEL (29) - RD-770

INVENTAIRE DES PHOTOGRAPHIES

Arrêté n° 2019_080

Support	Format	Dimensions	Auteur	Date	Secteur	TR	Fait / Log	Description	Orientation (vue vers)	Code document	Réf. contenant
Num. couleur	.jpeg	6016x4000	E. Guézennec	23/10/2019	2	50	F.50.09, F.50.34 et F.50.35	F.50.09, F.50.34 et F.50.35 : vue générale	Nord-Ouest	IM_2019_080_1007	DVD-1
Num. couleur	.jpeg	6016x4000	E. Guézennec	23/10/2019	2	50	F.50.09, F.50.34 et F.50.35	F.50.09, F.50.34 et F.50.35 : vue générale	Nord	IM_2019_080_1008	DVD-1
Num. couleur	.jpeg	6016x4000	E. Guézennec	23/10/2019	2	50	F.50.09, F.50.34 et F.50.35	F.50.09, F.50.34 et F.50.35 : vue générale	Sud-Ouest	IM_2019_080_1009	DVD-1
Num. couleur	.jpeg	6016x4000	E. Guézennec	23/10/2019	2	50	F.50.09, F.50.34 et F.50.35	F.50.09, F.50.34 et F.50.35 : vue générale	Sud	IM_2019_080_1010	DVD-1
Num. couleur	.jpeg	6016x4000	E. Guézennec	23/10/2019	2	50	F.50.09, F.50.34 et F.50.35	F.50.09, F.50.34 et F.50.35 : vue générale	Sud-Est	IM_2019_080_1011	DVD-1
Num. couleur	.jpeg	6016x4000	E. Guézennec	23/10/2019	2	50	F.50.09, F.50.34 et F.50.35	F.50.09, F.50.34 et F.50.35 : vue générale	Sud-Ouest	IM_2019_080_1012	DVD-1
Num. couleur	.jpeg	6016x4000	E. Guézennec	23/10/2019	2	50	-	Vue générale	Nord-Ouest	IM_2019_080_1013	DVD-1
Num. couleur	.jpeg	6016x4000	E. Guézennec	23/10/2019	2	50	-	Vue générale	Nord-Ouest	IM_2019_080_1014	DVD-1
Num. couleur	.jpeg	6016x4000	E. Guézennec	23/10/2019	2	50	-	Vue générale	Sud-Est	IM_2019_080_1015	DVD-1
Num. couleur	.jpeg	6016x4000	E. Guézennec	23/10/2019	2	50	-	Vue générale	Sud-Est	IM_2019_080_1016	DVD-1
Num. couleur	.jpeg	6016x4000	E. Guézennec	23/10/2019	2	50	-	Vue générale (extension)	Sud-Ouest	IM_2019_080_1017	DVD-1
Num. couleur	.jpeg	6016x4000	E. Guézennec	23/10/2019	2	50	-	Vue générale (extension)	Nord-Ouest	IM_2019_080_1018	DVD-1
Num. couleur	.jpeg	6016x4000	E. Guézennec	23/10/2019	2	50	-	Vue générale (extension)	Nord-Ouest	IM_2019_080_1019	DVD-1
Num. couleur	.jpeg	6016x4000	E. Guézennec	23/10/2019	2	50	-	Vue générale (extension)	Nord-Est	IM_2019_080_1020	DVD-1
Num. couleur	.jpeg	6016x4000	E. Guézennec	23/10/2019	2	50	-	Vue générale (extension)	Nord-Est	IM_2019_080_1021	DVD-1
Num. couleur	.jpeg	6016x4000	E. Guézennec	23/10/2019	2	50	-	Vue générale	Sud-Est	IM_2019_080_1022	DVD-1
Num. couleur	.jpeg	6016x4000	E. Guézennec	23/10/2019	2	50	-	Vue générale	Sud-Est	IM_2019_080_1023	DVD-1
Num. couleur	.jpeg	6016x4000	E. Guézennec	23/10/2019	2	50	-	Vue générale	Sud-Est	IM_2019_080_1024	DVD-1
Num. couleur	.jpeg	6016x4000	E. Guézennec	23/10/2019	2	50	-	Vue générale	Sud-Est	IM_2019_080_1025	DVD-1
Num. couleur	.jpeg	6016x4000	E. Guézennec	23/10/2019	2	50	-	Vue générale	Nord-Ouest	IM_2019_080_1026	DVD-1

Support	Format	Dimensions	Auteur	Date	Secteur	TR	Fait/ Log	Description	Orientation (vue vers)	Code document	Ref. contenant
Num. couleur	.jpeg	6016x4000	E. Guézennec	23/10/2019	2	50	-	Vue générale	Nord-Ouest	IM_2019_080_1027	DVD-1
Num. couleur	.jpeg	6016x4000	E. Guézennec	23/10/2019	2	50	F.50.07 et F.50.08	F.50.07 et F.50.08 : détails fossés en plan	Ouest	IM_2019_080_1028	DVD-1
Num. couleur	.jpeg	6016x4000	E. Guézennec	23/10/2019	2	50	F.50.07 et F.50.08	F.50.07 et F.50.08 : détails fossés en plan	Ouest	IM_2019_080_1029	DVD-1
Num. couleur	.jpeg	6016x4000	E. Guézennec	23/10/2019	2	50	-	Vue générale	Ouest	IM_2019_080_1030	DVD-1
Num. couleur	.jpeg	6016x4000	E. Guézennec	23/10/2019	2	50	-	Vue générale	Ouest	IM_2019_080_1031	DVD-1
Num. couleur	.jpeg	6016x4000	E. Guézennec	23/10/2019	2	50	-	Vue générale	Ouest	IM_2019_080_1032	DVD-1
Num. couleur	.jpeg	6016x4000	E. Guézennec	23/10/2019	2	50	F.03	Vue générale	Sud-Ouest	IM_2019_080_1033	DVD-1
Num. couleur	.jpeg	6016x4000	C. Landart	23/10/2019	1	56	F.56.08, F.56.18 et F.56.19	Coupe Ouest sondage méca	Ouest	IM_2019_080_1034	DVD-1
Num. couleur	.jpeg	6016x4000	C. Landart	23/10/2019	1	56	F.56.08, F.56.18 et F.56.19	Coupe Ouest sondage méca	Ouest	IM_2019_080_1035	DVD-1
Num. couleur	.jpeg	6016x4000	C. Landart	23/10/2019	1	56	F.56.08, F.56.18 et F.56.19	Coupe Ouest sondage méca	Ouest	IM_2019_080_1036	DVD-1
Num. couleur	.jpeg	6016x4000	C. Landart	23/10/2019	1	56	F.56.08, F.56.18 et F.56.19	Coupe Ouest sondage méca	Ouest	IM_2019_080_1037	DVD-1
Num. couleur	.jpeg	6016x4000	C. Landart	23/10/2019	1	56	F.56.08, F.56.18 et F.56.19	Coupe Ouest sondage méca	Ouest	IM_2019_080_1038	DVD-1
Num. couleur	.jpeg	6016x4000	C. Landart	23/10/2019	1	56	F.56.08, F.56.18 et F.56.19	Coupe Ouest sondage méca	Ouest	IM_2019_080_1039	DVD-1

PLOUDANIEL (29) - RD-770

INVENTAIRE DES PHOTOGRAPHIES

Arrêté n° 2019_080

Support	Format	Dimensions	Auteur	Date	Secteur	TR	Fait / Log	Description	Orientation (vue vers)	Code document	réf. contenant
Num. couleur	.jpeg	6016x4000	C. Landart	23/10/2019	1	56	F.56.08, F.56.18 et F.56.19	Coupe Ouest sondage méca	Ouest	IM_2019_080_1040	DVD-1
Num. couleur	.jpeg	6016x4000	C. Landart	23/10/2019	1	56	F.56.08, F.56.18 et F.56.19	Coupe Ouest sondage méca	Ouest	IM_2019_080_1041	DVD-1
Num. couleur	.jpeg	6016x4000	C. Landart	23/10/2019	1	56	F.56.08, F.56.18 et F.56.19	Coupe Ouest sondage méca	Ouest	IM_2019_080_1042	DVD-1
Num. couleur	.jpeg	6016x4000	C. Landart	23/10/2019	1	56	F.56.13	Coupe Nord sondage méca	Nord	IM_2019_080_1043	DVD-1
Num. couleur	.jpeg	6016x4000	C. Landart	23/10/2019	1	56	F.56.13	Coupe Nord sondage méca	Nord	IM_2019_080_1044	DVD-1
Num. couleur	.jpeg	6016x4000	C. Landart	23/10/2019	1	57	F.57.04 et F.57.05	Coupe Sud-Ouest sondage méca	Sud-Ouest	IM_2019_080_1045	DVD-1
Num. couleur	.jpeg	6016x4000	C. Landart	23/10/2019	1	57	F.57.04 et F.57.05	Coupe Sud-Ouest sondage méca	Sud-Ouest	IM_2019_080_1046	DVD-1
Num. couleur	.jpeg	6016x4000	C. Landart	23/10/2019	1	57	F.57.04 et F.57.05	Coupe Sud-Ouest sondage méca	Sud-Ouest	IM_2019_080_1047	DVD-1
Num. couleur	.jpeg	6016x4000	C. Landart	23/10/2019	1	57	F.57.04 et F.57.05	Coupe Sud-Ouest sondage méca	Sud-Ouest	IM_2019_080_1048	DVD-1
Num. couleur	.jpeg	6016x4000	C. Landart	23/10/2019	1	57	F.57.04 et F.57.05	Coupe Sud-Ouest sondage méca	Sud-Ouest	IM_2019_080_1049	DVD-1
Num. couleur	.jpeg	6016x4000	C. Landart	23/10/2019	1	57	F.57.04 et F.57.05	Coupe Sud-Ouest sondage méca	Sud-Ouest	IM_2019_080_1050	DVD-1
Num. couleur	.jpeg	6016x4000	C. Landart	23/10/2019	1	57	F.57.04	Coupe Sud sondage méca	Sud	IM_2019_080_1051	DVD-1
Num. couleur	.jpeg	6016x4000	C. Landart	23/10/2019	1	57	F.57.04	Coupe Sud sondage méca	Sud	IM_2019_080_1052	DVD-1
Num. couleur	.jpeg	6016x4000	C. Landart	23/10/2019	1	57	F.57.04	Coupe Sud sondage méca	Sud	IM_2019_080_1053	DVD-1
Num. couleur	.jpeg	6016x4000	C. Landart	23/10/2019	1	57	F.57.04	Coupe Sud sondage méca	Sud	IM_2019_080_1054	DVD-1
Num. couleur	.jpeg	6016x4000	C. Landart	23/10/2019	1	57	F.57.04	Coupe Sud sondage méca	Sud	IM_2019_080_1055	DVD-1
Num. couleur	.jpeg	6016x4000	C. Landart	23/10/2019	1	57	F.57.04	Coupe Sud sondage méca	Sud	IM_2019_080_1056	DVD-1

Support	Format	Dimensions	Auteur	Date	Secteur	TR	Fait / Log	Description	Orientaban (vue vers)	Code document	Réf. contenant
Num. couleur	.jpeg	6016x4000	C. Landart	23/10/2019	1	57	F.57.04	Coupe Sud sondage méca	Sud	IM_2019_080_1057	DVD-1
Num. couleur	.jpeg	6016x4000	E. Guézennec	23/10/2019	2	52	log 38	log 38	Nord	IM_2019_080_1058	DVD-1
Num. couleur	.jpeg	6016x4000	E. Guézennec	23/10/2019	2	52	log 38	log 38	Nord	IM_2019_080_1059	DVD-1
Num. couleur	.jpeg	6016x4000	E. Guézennec	23/10/2019	2	52	log 39	log 39	Sud	IM_2019_080_1060	DVD-1
Num. couleur	.jpeg	6016x4000	E. Guézennec	23/10/2019	2	52	log 39	log 39	Sud	IM_2019_080_1061	DVD-1
Num. couleur	.jpeg	6016x4000	E. Guézennec	23/10/2019	2	52	log 40	log 40	Est	IM_2019_080_1062	DVD-1
Num. couleur	.jpeg	6016x4000	E. Guézennec	23/10/2019	2	52	log 40	log 40	Est	IM_2019_080_1063	DVD-1
Num. couleur	.jpeg	6016x4000	E. Guézennec	23/10/2019	2	52	log 41	log 41	Est	IM_2019_080_1064	DVD-1
Num. couleur	.jpeg	6016x4000	E. Guézennec	23/10/2019	2	52	log 41	log 41	Est	IM_2019_080_1065	DVD-1
Num. couleur	.jpeg	6016x4000	E. Guézennec	23/10/2019	2	52	log 42	log 42	Est	IM_2019_080_1066	DVD-1
Num. couleur	.jpeg	6016x4000	E. Guézennec	23/10/2019	2	52	log 42	log 42	Est	IM_2019_080_1067	DVD-1
Num. couleur	.jpeg	6016x4000	E. Guézennec	23/10/2019	2	51	-	Vue générale	Est	IM_2019_080_1068	DVD-1
Num. couleur	.jpeg	6016x4000	E. Guézennec	23/10/2019	2	51	-	Vue générale	Est	IM_2019_080_1069	DVD-1
Num. couleur	.jpeg	6016x4000	E. Guézennec	23/10/2019	2	51	-	Vue générale	Est	IM_2019_080_1070	DVD-1
Num. couleur	.jpeg	6016x4000	E. Guézennec	23/10/2019	2	52	-	Vue générale	Est	IM_2019_080_1071	DVD-1
Num. couleur	.jpeg	6016x4000	E. Guézennec	23/10/2019	2	52	-	Vue générale	Est	IM_2019_080_1072	DVD-1
Num. couleur	.jpeg	6016x4000	E. Guézennec	23/10/2019	2	52	-	Vue générale	Est	IM_2019_080_1073	DVD-1
Num. couleur	.jpeg	6016x4000	E. Guézennec	23/10/2019	2	52	-	Vue générale	Est	IM_2019_080_1074	DVD-1
Num. couleur	.jpeg	6016x4000	E. Guézennec	23/10/2019	2	52	-	Vue générale	Est	IM_2019_080_1075	DVD-1
Num. couleur	.jpeg	6016x4000	E. Guézennec	23/10/2019	2	52	-	Vue générale	Nord	IM_2019_080_1076	DVD-1
Num. couleur	.jpeg	6016x4000	E. Guézennec	23/10/2019	2	52	-	Vue générale	Nord	IM_2019_080_1077	DVD-1
Num. couleur	.jpeg	6016x4000	E. Guézennec	23/10/2019	2	52	F.52.05	vue générale du fait	Nord	IM_2019_080_1078	DVD-1
Num. couleur	.jpeg	6016x4000	E. Guézennec	23/10/2019	2	52	F.52.05	vue générale du fait	Nord	IM_2019_080_1079	DVD-1
Num. couleur	.jpeg	6016x4000	E. Guézennec	23/10/2019	2	52	F.52.05	vue générale du fait	Nord	IM_2019_080_1080	DVD-1
Num. couleur	.jpeg	6016x4000	E. Guézennec	23/10/2019	2	52	F.52.05	détails foyer	Nord	IM_2019_080_1081	DVD-1
Num. couleur	.jpeg	6016x4000	E. Guézennec	23/10/2019	2	52	F.52.05	détails foyer	Nord	IM_2019_080_1082	DVD-1
Num. couleur	.jpeg	6016x4000	E. Guézennec	23/10/2019	2	53	log 31	log 31	-	IM_2019_080_1083	DVD-1
Num. couleur	.jpeg	6016x4000	E. Guézennec	23/10/2019	2	53	log 31	log 31	-	IM_2019_080_1084	DVD-1
Num. couleur	.jpeg	6016x4000	E. Guézennec	23/10/2019	2	53	log 31	log 31	-	IM_2019_080_1085	DVD-1
Num. couleur	.jpeg	6016x4000	C. Landart	23/10/2019	2	54	F.54.07	détails du fait	Nord-Est	IM_2019_080_1086	DVD-1
Num. couleur	.jpeg	6016x4000	C. Landart	23/10/2019	2	54	F.54.07	détails du fait	Nord-Est	IM_2019_080_1087	DVD-1
Num. couleur	.jpeg	6016x4000	C. Landart	23/10/2019	2	54	F.54.07	détails du fait	Nord-Est	IM_2019_080_1088	DVD-1
Num. couleur	.jpeg	6016x4000	C. Landart	23/10/2019	2	54	F.54.07	détails du fait	Nord-Est	IM_2019_080_1089	DVD-1
Num. couleur	.jpeg	6016x4000	C. Landart	23/10/2019	2	54	F.54.07	détails du fait	Nord-Est	IM_2019_080_1090	DVD-1
Num. couleur	.jpeg	6016x4000	C. Landart	23/10/2019	2	54	F.54.07	détails du fait	Nord-Est	IM_2019_080_1091	DVD-1
Num. couleur	.jpeg	6016x4000	C. Landart	23/10/2019	2	54	F.54.07	détails du fait	Nord-Est	IM_2019_080_1092	DVD-1
Num. couleur	.jpeg	6016x4000	C. Landart	23/10/2019	2	54	F.54.08	détails du fait	Sud	IM_2019_080_1093	DVD-1
Num. couleur	.jpeg	6016x4000	C. Landart	23/10/2019	2	54	F.54.08	détails du fait	Sud	IM_2019_080_1094	DVD-1

PLOUDANIEL (29) - RD-770

INVENTAIRE DES PHOTOGRAPHIES

Arrêté n° 2019_080

Support	Format	Dimensions	Auteur	Date	Secteur	TR	Fait / Log	Description	Orientation (vue vers)	Code document	Ref. contenant
Num. couleur	.jpeg	6016x4000	C. Landart	23/10/2019	2	54	F.54.08	détails du fait	Sud	IM_2019_080_1095	DVD-1
Num. couleur	.jpeg	6016x4000	C. Landart	23/10/2019	2	54	F.54.07 et F.54.08	vue générale des faits	Nord	IM_2019_080_1096	DVD-1
Num. couleur	.jpeg	6016x4000	C. Landart	23/10/2019	2	54	F.54.07 et F.54.08	vue générale des faits	Nord	IM_2019_080_1097	DVD-1
Num. couleur	.jpeg	6016x4000	C. Landart	23/10/2019	2	54	F.54.07 et F.54.08	vue générale des faits	Nord	IM_2019_080_1098	DVD-1
Num. couleur	.jpeg	6016x4000	A. Kergourlay	30/10/2019	-	-	-	Cruche remontée vue générale et détails	-	IM_2019_080_1099	DVD-1
Num. couleur	.jpeg	6016x4000	A. Kergourlay	30/10/2019	-	-	-	Cruche remontée vue générale et détails	-	IM_2019_080_1100	DVD-1
Num. couleur	.jpeg	6016x4000	A. Kergourlay	30/10/2019	-	-	-	Cruche remontée vue générale et détails	-	IM_2019_080_1101	DVD-1
Num. couleur	.jpeg	6016x4000	A. Kergourlay	30/10/2019	-	-	-	Cruche remontée vue générale et détails	-	IM_2019_080_1102	DVD-1
Num. couleur	.jpeg	6016x4000	A. Kergourlay	30/10/2019	-	-	-	Cruche remontée vue générale et détails	-	IM_2019_080_1103	DVD-1
Num. couleur	.jpeg	6016x4000	A. Kergourlay	30/10/2019	-	-	-	Cruche remontée vue générale et détails	-	IM_2019_080_1104	DVD-1
Num. couleur	.jpeg	6016x4000	A. Kergourlay	30/10/2019	-	-	-	Cruche remontée vue générale et détails	-	IM_2019_080_1105	DVD-1
Num. couleur	.jpeg	6016x4000	A. Kergourlay	30/10/2019	-	-	-	Cruche remontée vue générale et détails	-	IM_2019_080_1106	DVD-1
Num. couleur	.jpeg	6016x4000	A. Kergourlay	30/10/2019	-	-	-	Cruche remontée vue générale et détails	-	IM_2019_080_1107	DVD-1
Num. couleur	.jpeg	6016x4000	A. Kergourlay	30/10/2019	-	-	-	Cruche remontée vue générale et détails	-	IM_2019_080_1108	DVD-1
Num. couleur	.jpeg	6016x4000	A. Kergourlay	30/10/2019	-	-	-	Cruche remontée vue générale et détails	-	IM_2019_080_1109	DVD-1
Num. couleur	.jpeg	6016x4000	A. Kergourlay	30/10/2019	-	-	-	Cruche remontée vue générale et détails	-	IM_2019_080_1110	DVD-1
Num. couleur	.jpeg	6016x4000	A. Kergourlay	30/10/2019	-	-	-	Cruche remontée vue générale et détails	-	IM_2019_080_1111	DVD-1
Num. couleur	.jpeg	6016x4000	A. Kergourlay	30/10/2019	-	-	-	Cruche remontée vue générale et détails	-	IM_2019_080_1112	DVD-1
Num. couleur	.jpeg	6016x4000	A. Kergourlay	30/10/2019	-	-	-	Cruche remontée vue générale et détails	-	IM_2019_080_1113	DVD-1
Num. couleur	.jpeg	6016x4000	A. Kergourlay	30/10/2019	-	-	-	Cruche remontée vue générale et détails	-	IM_2019_080_1114	DVD-1
Num. couleur	.jpeg	6016x4000	A. Kergourlay	30/10/2019	-	-	-	Cruche remontée vue générale et détails	-	IM_2019_080_1115	DVD-1
Num. couleur	.jpeg	6016x4000	A. Kergourlay	30/10/2019	-	-	-	Cruche remontée vue générale et détails	-	IM_2019_080_1116	DVD-1
Num. couleur	.jpeg	6016x4000	A. Kergourlay	30/10/2019	-	-	-	Cruche remontée vue générale et détails	-	IM_2019_080_1117	DVD-1
Num. couleur	.jpeg	6016x4000	A. Kergourlay	30/10/2019	-	-	-	Cruche remontée vue générale et détails	-	IM_2019_080_1118	DVD-1
Num. couleur	.jpeg	6016x4000	A. Kergourlay	30/10/2019	-	-	-	Cruche remontée vue générale et détails	-	IM_2019_080_1119	DVD-1
Num. couleur	.jpeg	6016x4000	A. Kergourlay	30/10/2019	-	-	-	Cruche remontée vue générale et détails	-	IM_2019_080_1120	DVD-1
Num. couleur	.jpeg	6016x4000	A. Kergourlay	30/10/2019	-	-	-	Cruche remontée vue générale et détails	-	IM_2019_080_1121	DVD-1
Num. couleur	.jpeg	6016x4000	R. Martinez	06/11/2019	6	2	F.02.03	céramiques et bord sac N°1	-	IM_2019_080_1122	DVD-1
Num. couleur	.jpeg	6016x4000	R. Martinez	06/11/2019	6	2	F.02.03	céramiques et bord sac N°1	-	IM_2019_080_1123	DVD-1
Num. couleur	.jpeg	6016x4000	R. Martinez	06/11/2019	6	2	F.02.03	céramiques et bord sac N°1	-	IM_2019_080_1124	DVD-1
Num. couleur	.jpeg	6016x4000	R. Martinez	06/11/2019	6	2	F.02.03	céramiques et bord sac N°1	-	IM_2019_080_1125	DVD-1
Num. couleur	.jpeg	6016x4000	R. Martinez	06/11/2019	6	2	F.02.04	céramique sac N°2	-	IM_2019_080_1126	DVD-1

Support	Format	Dimensions	Auteur	Date	Secteur	TR	Fait / Log	Description	Orientaban (vue vers)	Code document	Réf. contenant
Num. couleur	.jpeg	6016x4000	R. Martinez	06/11/2019	6	7	F.07.05	céramiques + fond sac N°3	-	IM_2019_080_1127	DVD-1
Num. couleur	.jpeg	6016x4000	R. Martinez	06/11/2019	6	7	F.07.05	céramiques + fond sac N°3	-	IM_2019_080_1128	DVD-1
Num. couleur	.jpeg	6016x4000	R. Martinez	06/11/2019	6	7	F.07.05	céramiques + fond sac N°3	-	IM_2019_080_1129	DVD-1
Num. couleur	.jpeg	6016x4000	R. Martinez	06/11/2019	6	7	F.07.05	céramiques + fond sac N°3	-	IM_2019_080_1130	DVD-1
Num. couleur	.jpeg	6016x4000	R. Martinez	06/11/2019	4	10	F.10.06	céramiques sac N°4	-	IM_2019_080_1131	DVD-1
Num. couleur	.jpeg	6016x4000	R. Martinez	06/11/2019	4	10	F.10.06	céramiques sac N°4	-	IM_2019_080_1132	DVD-1
Num. couleur	.jpeg	6016x4000	R. Martinez	06/11/2019	6	2	F.02.06	céramique sac N°6	-	IM_2019_080_1133	DVD-1
Num. couleur	.jpeg	6016x4000	R. Martinez	06/11/2019	6	2	F.02.06	céramique sac N°6	-	IM_2019_080_1134	DVD-1
Num. couleur	.jpeg	6016x4000	R. Martinez	06/11/2019	6	2	F.02.06	céramique sac N°6	-	IM_2019_080_1135	DVD-1
Num. couleur	.jpeg	6016x4000	R. Martinez	06/11/2019	4	12	-	céramique + départ de anse sac N°7	-	IM_2019_080_1136	DVD-1
Num. couleur	.jpeg	6016x4000	R. Martinez	06/11/2019	4	12	-	céramique + départ de anse sac N°7	-	IM_2019_080_1137	DVD-1
Num. couleur	.jpeg	6016x4000	R. Martinez	06/11/2019	4	12	-	céramique + départ de anse sac N°7	-	IM_2019_080_1138	DVD-1
Num. couleur	.jpeg	6016x4000	R. Martinez	06/11/2019	4	12	-	céramique + départ de anse sac N°7	-	IM_2019_080_1139	DVD-1
Num. couleur	.jpeg	6016x4000	R. Martinez	06/11/2019	4	12	-	céramique + départ de anse sac N°7	-	IM_2019_080_1140	DVD-1
Num. couleur	.jpeg	6016x4000	R. Martinez	06/11/2019	HS	-	-	céramique sac N°8	-	IM_2019_080_1141	DVD-1
Num. couleur	.jpeg	6016x4000	R. Martinez	06/11/2019	4	8	-	céramique sac N°9	-	IM_2019_080_1142	DVD-1
Num. couleur	.jpeg	6016x4000	R. Martinez	06/11/2019	4	8	-	céramique sac N°9	-	IM_2019_080_1143	DVD-1
Num. couleur	.jpeg	6016x4000	R. Martinez	06/11/2019	4	8	-	céramique sac N°9	-	IM_2019_080_1144	DVD-1
Num. couleur	.jpeg	6016x4000	R. Martinez	06/11/2019	6	7	F.07.06	céramique + fond sac N°10	-	IM_2019_080_1145	DVD-1
Num. couleur	.jpeg	6016x4000	R. Martinez	06/11/2019	6	7	F.07.06	céramique + fond sac N°10	-	IM_2019_080_1146	DVD-1
Num. couleur	.jpeg	6016x4000	R. Martinez	06/11/2019	6	7	F.07.06	céramique + fond sac N°10	-	IM_2019_080_1147	DVD-1
Num. couleur	.jpeg	6016x4000	R. Martinez	06/11/2019	4	8	F.08.03	céramique sac N°11	-	IM_2019_080_1148	DVD-1
Num. couleur	.jpeg	6016x4000	R. Martinez	06/11/2019	4	8	F.08.03	céramique sac N°11	-	IM_2019_080_1149	DVD-1
Num. couleur	.jpeg	6016x4000	R. Martinez	06/11/2019	4	8	F.08.03	céramique sac N°11	-	IM_2019_080_1150	DVD-1
Num. couleur	.jpeg	6016x4000	R. Martinez	06/11/2019	4	8	F.08.03	céramique sac N°11	-	IM_2019_080_1151	DVD-1
Num. couleur	.jpeg	6016x4000	R. Martinez	06/11/2019	10	30	F.30.09	céramique sac N°12	-	IM_2019_080_1152	DVD-1
Num. couleur	.jpeg	6016x4000	R. Martinez	06/11/2019	10	30	F.30.09	céramique sac N°12	-	IM_2019_080_1153	DVD-1
Num. couleur	.jpeg	6016x4000	R. Martinez	06/11/2019	7	18	-	céramique sac N°13	-	IM_2019_080_1154	DVD-1
Num. couleur	.jpeg	6016x4000	R. Martinez	06/11/2019	7	18	-	céramique sac N°13	-	IM_2019_080_1155	DVD-1
Num. couleur	.jpeg	6016x4000	R. Martinez	06/11/2019	7	18	-	céramique sac N°13	-	IM_2019_080_1156	DVD-1
Num. couleur	.jpeg	6016x4000	R. Martinez	06/11/2019	7	18	-	céramique sac N°13	-	IM_2019_080_1157	DVD-1
Num. couleur	.jpeg	6016x4000	R. Martinez	06/11/2019	7	20	F.20.04	céramique sac N°14	-	IM_2019_080_1158	DVD-1
Num. couleur	.jpeg	6016x4000	R. Martinez	06/11/2019	7	20	F.20.04	céramique sac N°14	-	IM_2019_080_1159	DVD-1
Num. couleur	.jpeg	6016x4000	R. Martinez	06/11/2019	2	52	F.52.04	céramique + bord sac N°15	-	IM_2019_080_1160	DVD-1
Num. couleur	.jpeg	6016x4000	R. Martinez	06/11/2019	2	52	F.52.04	céramique + bord sac N°15	-	IM_2019_080_1161	DVD-1
Num. couleur	.jpeg	6016x4000	R. Martinez	06/11/2019	2	52	F.52.04	céramique + bord sac N°15	-	IM_2019_080_1162	DVD-1
Num. couleur	.jpeg	6016x4000	R. Martinez	06/11/2019	2	52	F.52.04	céramique + bord sac N°15	-	IM_2019_080_1163	DVD-1
Num. couleur	.jpeg	6016x4000	R. Martinez	06/11/2019	2	52	F.52.08	céramique + bord sac N°16	-	IM_2019_080_1164	DVD-1

PLOUDANIEL (29) - RD-770

INVENTAIRE DES PHOTOGRAPHIES

Arrêté n° 2019_080

Support	Format	Dimensions	Auteur	Date	Secteur	TR	Fait / Log	Description	Oriantation (vue vers)	Code document	Réf. contenant
Num. couleur	.jpeg	6016x4000	R. Martinez	06/11/2019	2	52	F.52.08	céramique + bord sac N°16	-	IM_2019_080_1165	DVD-1
Num. couleur	.jpeg	6016x4000	R. Martinez	06/11/2019	2	52	F.52.08	céramique + bord sac N°16	-	IM_2019_080_1166	DVD-1
Num. couleur	.jpeg	6016x4000	R. Martinez	06/11/2019	2	52	F.52.08	céramique + bord sac N°16	-	IM_2019_080_1167	DVD-1
Num. couleur	.jpeg	6016x4000	R. Martinez	08/11/2019	2	52	F.52.08	céramique + bord sac N°16	-	IM_2019_080_1168	DVD-1
Num. couleur	.jpeg	6016x4000	R. Martinez	08/11/2019	2	52	F.52.08	céramique + bord sac N°16	-	IM_2019_080_1169	DVD-1
Num. couleur	.jpeg	6016x4000	R. Martinez	08/11/2019	2	52	F.52.08	céramique + bord sac N°16	-	IM_2019_080_1170	DVD-1
Num. couleur	.jpeg	6016x4000	R. Martinez	06/11/2019	7	25	-	céramique sac N°18	-	IM_2019_080_1171	DVD-1
Num. couleur	.jpeg	6016x4000	R. Martinez	06/11/2019	7	25	-	céramique sac N°18	-	IM_2019_080_1172	DVD-1
Num. couleur	.jpeg	6016x4000	R. Martinez	06/11/2019	7	15	F.15.04	céramique + fond sac N°19	-	IM_2019_080_1173	DVD-1
Num. couleur	.jpeg	6016x4000	R. Martinez	06/11/2019	7	15	F.15.04	céramique + fond sac N°19	-	IM_2019_080_1174	DVD-1
Num. couleur	.jpeg	6016x4000	R. Martinez	06/11/2019	7	15	F.15.04	céramique + fond sac N°19	-	IM_2019_080_1175	DVD-1
Num. couleur	.jpeg	6016x4000	R. Martinez	06/11/2019	8	27	F.27.01	céramique sac N°20	-	IM_2019_080_1176	DVD-1
Num. couleur	.jpeg	6016x4000	R. Martinez	06/11/2019	8	27	F.27.01	céramique sac N°20	-	IM_2019_080_1177	DVD-1
Num. couleur	.jpeg	6016x4000	R. Martinez	06/11/2019	6	7	F.07.07	céramique sac N°21	-	IM_2019_080_1178	DVD-1
Num. couleur	.jpeg	6016x4000	R. Martinez	06/11/2019	6	7	F.07.07	céramique sac N°21	-	IM_2019_080_1179	DVD-1
Num. couleur	.jpeg	6016x4000	R. Martinez	06/11/2019	6	7	F.07.11	céramique sac N°22	-	IM_2019_080_1180	DVD-1
Num. couleur	.jpeg	6016x4000	R. Martinez	06/11/2019	6	7	F.07.11	céramique sac N°22	-	IM_2019_080_1181	DVD-1
Num. couleur	.jpeg	6016x4000	R. Martinez	06/11/2019	2	52	F.52.13	céramique + bord sac N°26	-	IM_2019_080_1182	DVD-1
Num. couleur	.jpeg	6016x4000	R. Martinez	06/11/2019	2	52	F.52.13	céramique + bord sac N°26	-	IM_2019_080_1183	DVD-1
Num. couleur	.jpeg	6016x4000	R. Martinez	06/11/2019	2	52	F.52.13	céramique + bord sac N°26	-	IM_2019_080_1184	DVD-1
Num. couleur	.jpeg	6016x4000	R. Martinez	06/11/2019	2	52	F.52.13	céramique + bord sac N°26	-	IM_2019_080_1185	DVD-1
Num. couleur	.jpeg	6016x4000	R. Martinez	06/11/2019	2	52	F.52.13	céramique + bord sac N°26	-	IM_2019_080_1186	DVD-1
Num. couleur	.jpeg	6016x4000	R. Martinez	06/11/2019	2	52	F.52.13	céramique + bord sac N°26	-	IM_2019_080_1187	DVD-1
Num. couleur	.jpeg	6016x4000	R. Martinez	06/11/2019	2	52	F.52.13	céramique + bord sac N°26	-	IM_2019_080_1188	DVD-1
Num. couleur	.jpeg	6016x4000	R. Martinez	06/11/2019	2	52	-	céramique + fond sac N°28	-	IM_2019_080_1189	DVD-1
Num. couleur	.jpeg	6016x4000	R. Martinez	06/11/2019	2	52	-	céramique + fond sac N°28	-	IM_2019_080_1190	DVD-1
Num. couleur	.jpeg	6016x4000	R. Martinez	06/11/2019	2	52	-	céramique + fond sac N°28	-	IM_2019_080_1191	DVD-1
Num. couleur	.jpeg	6016x4000	R. Martinez	06/11/2019	2	52	-	céramique + fond sac N°28	-	IM_2019_080_1192	DVD-1
Num. couleur	.jpeg	6016x4000	R. Martinez	06/11/2019	2	52	-	céramique + fond sac N°28	-	IM_2019_080_1193	DVD-1
Num. couleur	.jpeg	6016x4000	R. Martinez	06/11/2019	2	52	-	céramique + fond sac N°28	-	IM_2019_080_1194	DVD-1
Num. couleur	.jpeg	6016x4000	R. Martinez	06/11/2019	2	52	-	céramique + fond sac N°28	-	IM_2019_080_1195	DVD-1
Num. couleur	.jpeg	6016x4000	R. Martinez	06/11/2019	2	52	-	céramique + fond sac N°28	-	IM_2019_080_1196	DVD-1
Num. couleur	.jpeg	6016x4000	R. Martinez	06/11/2019	2	52	-	céramique + fond sac N°28	-	IM_2019_080_1197	DVD-1
Num. couleur	.jpeg	6016x4000	R. Martinez	06/11/2019	2	52	-	céramique + fond sac N°28	-	IM_2019_080_1198	DVD-1
Num. couleur	.jpeg	6016x4000	R. Martinez	06/11/2019	2	52	-	céramique + fond sac N°28	-	IM_2019_080_1199	DVD-1
Num. couleur	.jpeg	6016x4000	R. Martinez	06/11/2019	2	52	-	céramique + fond sac N°28	-	IM_2019_080_1200	DVD-1
Num. couleur	.jpeg	6016x4000	R. Martinez	06/11/2019	2	52	F.52.05	céramique + bord sac N°31	-	IM_2019_080_1201	DVD-1
Num. couleur	.jpeg	6016x4000	R. Martinez	06/11/2019	2	52	F.52.05	céramique + bord sac N°31	-	IM_2019_080_1202	DVD-1

Support	Format	Dimensions	Auteur	Date	Secteur	TR	Fait / Log	Description	Orientation (vue vers)	Code document	Réf. contenant
Num. couleur	.jpeg	6016x4000	R. Martinez	06/11/2019	2	52	F.52.05	céramique + bord sac N°31	-	IM_2019_080_1203	DVD-1
Num. couleur	.jpeg	6016x4000	R. Martinez	06/11/2019	2	52	F.52.05	céramique + bord sac N°31	-	IM_2019_080_1204	DVD-1
Num. couleur	.jpeg	6016x4000	R. Martinez	06/11/2019	2	52	F.52.05	céramique + bord sac N°31	-	IM_2019_080_1205	DVD-1
Num. couleur	.jpeg	6016x4000	R. Martinez	06/11/2019	2	52	F.52.09	céramique sac N°33	-	IM_2019_080_1206	DVD-1
Num. couleur	.jpeg	6016x4000	R. Martinez	06/11/2019	2	52	F.52.09	céramique sac N°33	-	IM_2019_080_1207	DVD-1
Num. couleur	.jpeg	6016x4000	R. Martinez	06/11/2019	2	52	F.52.07	céramique sac N°35	-	IM_2019_080_1208	DVD-1
Num. couleur	.jpeg	6016x4000	R. Martinez	06/11/2019	2	52	F.52.07	céramique sac N°35	-	IM_2019_080_1209	DVD-1
Num. couleur	.jpeg	6016x4000	R. Martinez	06/11/2019	2	52	F.52.12	céramique sac N°36	-	IM_2019_080_1210	DVD-1
Num. couleur	.jpeg	6016x4000	R. Martinez	06/11/2019	2	52	F.52.12	céramique sac N°36	-	IM_2019_080_1211	DVD-1
Num. couleur	.jpeg	6016x4000	R. Martinez	06/11/2019	2	51	F.51.01	céramique sac N°37	-	IM_2019_080_1212	DVD-1
Num. couleur	.jpeg	6016x4000	R. Martinez	06/11/2019	2	51	F.51.01	céramique sac N°37	-	IM_2019_080_1213	DVD-1
Num. couleur	.jpeg	6016x4000	R. Martinez	06/11/2019	2	51	F.51.04	céramique sac N°39	-	IM_2019_080_1214	DVD-1
Num. couleur	.jpeg	6016x4000	R. Martinez	06/11/2019	2	51	F.51.04	céramique sac N°39	-	IM_2019_080_1215	DVD-1
Num. couleur	.jpeg	6016x4000	R. Martinez	06/11/2019	2	51	-	céramique sac N°40	-	IM_2019_080_1216	DVD-1
Num. couleur	.jpeg	6016x4000	R. Martinez	06/11/2019	2	51	-	céramique sac N°40	-	IM_2019_080_1217	DVD-1
Num. couleur	.jpeg	6016x4000	R. Martinez	06/11/2019	2	51	F.51.10	céramique + bord sac N°41	-	IM_2019_080_1218	DVD-1
Num. couleur	.jpeg	6016x4000	R. Martinez	06/11/2019	2	51	F.51.10	céramique + bord sac N°41	-	IM_2019_080_1219	DVD-1
Num. couleur	.jpeg	6016x4000	R. Martinez	06/11/2019	2	51	F.51.10	céramique + bord sac N°41	-	IM_2019_080_1220	DVD-1
Num. couleur	.jpeg	6016x4000	R. Martinez	07/11/2019	2	51	F.51.05	céramique sac N°42	-	IM_2019_080_1221	DVD-1
Num. couleur	.jpeg	6016x4000	R. Martinez	07/11/2019	2	51	F.51.05	céramique sac N°42	-	IM_2019_080_1222	DVD-1
Num. couleur	.jpeg	6016x4000	R. Martinez	07/11/2019	2	51	F.51.12	céramique sac N°43	-	IM_2019_080_1223	DVD-1
Num. couleur	.jpeg	6016x4000	R. Martinez	07/11/2019	2	51	F.51.08	céramique sac N°44	-	IM_2019_080_1224	DVD-1
Num. couleur	.jpeg	6016x4000	R. Martinez	07/11/2019	2	51	F.51.08	céramique sac N°44	-	IM_2019_080_1225	DVD-1
Num. couleur	.jpeg	6016x4000	R. Martinez	07/11/2019	1	57	F.57.01	céramique sac N°45	-	IM_2019_080_1226	DVD-1
Num. couleur	.jpeg	6016x4000	R. Martinez	07/11/2019	1	56	F.56.18	céramique sac N°46	-	IM_2019_080_1227	DVD-1
Num. couleur	.jpeg	6016x4000	R. Martinez	07/11/2019	1	56	F.56.18	céramique sac N°46	-	IM_2019_080_1228	DVD-1
Num. couleur	.jpeg	6016x4000	R. Martinez	07/11/2019	1	56	F.56.01	céramique sac N°47	-	IM_2019_080_1229	DVD-1
Num. couleur	.jpeg	6016x4000	R. Martinez	07/11/2019	1	56	F.56.01	céramique sac N°47	-	IM_2019_080_1230	DVD-1
Num. couleur	.jpeg	6016x4000	R. Martinez	07/11/2019	2	55	F.55.05	céramique sac N°48	-	IM_2019_080_1231	DVD-1
Num. couleur	.jpeg	6016x4000	R. Martinez	07/11/2019	2	55	F.55.05	céramique sac N°48	-	IM_2019_080_1232	DVD-1
Num. couleur	.jpeg	6016x4000	R. Martinez	07/11/2019	2	55	F.55.05	céramique sac N°48	-	IM_2019_080_1233	DVD-1
Num. couleur	.jpeg	6016x4000	R. Martinez	07/11/2019	2	54	-	céramique sac N°49	-	IM_2019_080_1234	DVD-1
Num. couleur	.jpeg	6016x4000	R. Martinez	07/11/2019	2	50	F.50.29	céramique + bord sac N°50	-	IM_2019_080_1235	DVD-1
Num. couleur	.jpeg	6016x4000	R. Martinez	07/11/2019	2	50	F.50.29	céramique + bord sac N°50	-	IM_2019_080_1236	DVD-1
Num. couleur	.jpeg	6016x4000	R. Martinez	07/11/2019	2	50	F.50.29	céramique + bord sac N°50	-	IM_2019_080_1237	DVD-1
Num. couleur	.jpeg	6016x4000	R. Martinez	07/11/2019	6	1	coupe log 1 couche 2	céramique sac N°51	-	IM_2019_080_1238	DVD-1

Liste des tranchées

N° arrêté 2019-080

INVENTAIRE DES TRANCHÉES

PLOUDANIEL (29)- RD 770

n° tranchée	Commune	Secteur	Section cad.	n° parcelle(s)	POSITIVE	NÉGATIVE	Longueur initiale (en m)	Superficie (en m ²)	Profondeur maximale (en m)	Site associé	Divers
1	Ploudaniel	secteur 6	YD	232			13,10	28,14	1,09		log 1
2	Ploudaniel	secteur 6	YD	232			32,80	108,47	0,76		-
3	Ploudaniel	secteur 6	YD	232			17,50	51,79	0,78		-
4	Ploudaniel	secteur 6	YD	232			20,40	42,69	0,73		-
5	Ploudaniel	secteur 6	YD	232			10,70	22,01	0,75		-
6	Ploudaniel	secteur 6	YD	232			11,50	24,62	0,52		-
7	Ploudaniel	secteur 6	YD	230			31,30	123,69	0,56		-
8	Ploudaniel	secteur 4	YB	84			21,80	62,00	0,66		-
9	Ploudaniel	secteur 4	YB	84			37,20	88,78	0,55		log 2
10	Ploudaniel	secteur 4	YB	84			39,40	141,53	0,58		-
11	Ploudaniel	secteur 4	YB	107			20,40	42,35	0,55		-
12	Ploudaniel	secteur 4	YB	81			27,80	54,68	0,78		log 3
13	Ploudaniel	secteur 4	YB	81			48,90	111,63	0,56		log 4
14	Ploudaniel	secteur 4	YB	81			27,14	55,08	0,62		-
15	Ploudaniel	secteur 7	YD	157			29,60	106,58	0,61		log 5, 6
16	Ploudaniel	secteur 7	YD	157			31,60	64,71	0,24		-
17	Ploudaniel	secteur 7	YD	157			31,60	67,51	0,90		-
18	Ploudaniel	secteur 7	YD	157			31,50	66,72	0,80		log 7
19	Ploudaniel	secteur 7	YD	157			31,80	62,52	0,50		-
20	Ploudaniel	secteur 7	YD	157			81,40	162,99	0,48		log 8
21	Ploudaniel	secteur 7	YD	157			28,20	59,33	0,45		-
22	Ploudaniel	secteur 7	YD	157			30,40	66,42	0,45		-
23	Ploudaniel	secteur 7	YD	157			30,40	63,28	0,50		-
24	Ploudaniel	secteur 7	YD	157			28,70	62,80	0,45		log 9
25	Ploudaniel	secteur 7	YD	157			40,80	88,95	0,80		-
26	Ploudaniel	secteur 7	YD	157			42,80	88,61	0,45		-
27	Ploudaniel	secteur 8	YE	45			85,69	194,89	0,65		log 10
28	Ploudaniel	secteur 10	YH	147			29,58	61,79	0,67		log 11
29	Ploudaniel	secteur 10	YH	147			59,00	135,70	0,62		log 12
30	Ploudaniel	secteur 10	YH	147			23,72	103,66	0,48		log 13
31	Ploudaniel	secteur 10	YH	146			33,79	70,09	0,56		-
32	Ploudaniel	secteur 10	YH	146			36,23	76,22	0,25		-
33	Ploudaniel	secteur 10	YH	166			14,80	51,79	0,25		-
34	Ploudaniel	secteur 10	YH	166			63,40	160,92	0,20		-
35	Ploudaniel	secteur 10	YH	166			24,90	83,57	0,34		-
36	Ploudaniel	secteur 10	YH	146			35,60	87,86	0,30		-
37	Ploudaniel	secteur 10	YH	147			24,09	49,63	0,45		-
38	Ploudaniel	secteur 5	YC	24			35,20	73,18	0,45		-
39	Ploudaniel	secteur 5	YC	26			71,40	155,61	0,45		-
40	Ploudaniel	secteur 5	YC	24			13,40	28,56	0,55		-
41	Ploudaniel	secteur 3	YB	71			12,00	24,00	1,23		log 16

PLOUDANIEL (29)- RD 770

INVENTAIRE DES TRANCHÉES

N° arrêté 2019-080

n° tranchée	Commune	Secteur	Section cad.	n° parcelliel(s)	POSITIVE	MÉGA TIVE	Longueur initiale (en m)	Superficie (en m ²)	Profondeur maximale (en m)	Site associé	Divers
42	Ploudaniel	secteur 9	YE	561 et 32			98,00	212,57	0,80		log 17, 18, 19
43	Ploudaniel	secteur 9	YE	31			34,10	78,53	1,10		Log 20 à 23
44	Ploudaniel	secteur 9	YE	30			43,70	142,92	0,40		-
45	Ploudaniel	secteur 9	YE	29			30,70	64,37	0,51		log 24
46	Ploudaniel	secteur 9	YE	559			94,80	200,50	0,78		log 25, 26, 27
47	Ploudaniel	secteur 2	YA	88			42,30	149,14	0,75		log 28
48	Ploudaniel	secteur 2	YA	88			38,40	80,77	0,72		log 29
49	Ploudaniel	secteur 2	YA	88			78,30	90,24	0,70		log 30
50	Ploudaniel	secteur 2	YA	88			45,10	261,40	0,55		-
51	Ploudaniel	secteur 2	YA	33			25,40	124,60	0,45		-
52	Ploudaniel	secteur 2	YA	33			28,70	142,08	0,76		log 38 à 42
53	Ploudaniel	secteur 2	ZR	50 et 51			21,17	44,20	0,66		log 31
54	Ploudaniel	secteur 2	ZR	50			31,70	81,27	0,60		log 32, 33
55	Ploudaniel	secteur 2	ZR	50			29,70	62,50	0,55		log 34
56	Ploudaniel	secteur 1	ZR	25			39,60	113,05	0,55		log 35, 36
57	Ploudaniel	secteur 1	ZR	25			44,10	96,40	0,54		log 37
58	Ploudaniel	secteur 1	ZR	25			23,13	49,51	0,60		-
59	Ploudaniel	secteur 1	ZR	25			33,10	66,90	0,60		-
60	Ploudaniel	secteur 2	ZP	33			28,00	54,00	0,60		-

Liste des faits et unités stratigraphiques

Arrêté n° 2015-080

INVENTAIRE DES FAITS ET UNITÉS STRATIGRAPHIQUES

PLLOUDANIEL (29) - RD 770

N° inventaire	N° fait	Nature du fait	Section, cad.	N° parcelle(s)	Sondé	L (en m)	Profondeur maximale (en m)	Largeur (en m)	Orientation	US	Datation	Mobilier
TR 02	F 02.01	Fosse?	YD	232	N	1,20	0,50	-	-	US	-	-
TR 02	F 02.02	Fosse ou Trou de poteau	YD	232	N	0,56	0,56	-	-	US	-	-
TR 02	F 02.03	Fosse allongée	YD	232	O	3,00	entre 0,4 et 0,7	2,40 environ	-	US	Âge du Fer	céramique, lithique
TR 02	F 02.04	Fossé	YD	232	O	min 4,5	entre 0,5 et 0,9	0,3 environ	-	US	-	céramique
TR 02	F 02.05	Fosse	YD	232	N	4 environ	0,73	-	-	US	-	-
TR 02	F 02.06	Fossé	YD	232	O	1,80	0,5 max	0,07	-	US	Protohistoire	céramique
TR 02	F 02.07	Fosse	YD	232	O	2,10?	0,90	0,35	-	US	-	-
TR 03	F 03.01	Fossé	YD	232	O	3,23	0,7 max	0,18 max, 0,02 min	-	US	-	-
TR 03	F 03.02	Trou de poteau	YD	232	O	0,65	0,35	0,12	-	US	-	-
TR 03	F 03.03	TP?	YD	232	N	0,39	0,39	-	-	US	-	-
TR 03	F 03.04	TP?	YD	232	N	0,45	0,45	-	-	US	-	-
TR 03	F 03.05	TP?	YD	232	N	0,41	0,41	-	-	US	-	-
TR 03	F 03.06	Trou de poteau	YD	232	O	0,47	0,40	0,18	-	US	-	-

n° Tranchée	n° Fact	nature du fait	Section cat.	n° parcelle(s)	Stratig.	Δ (en m)	γ (en m ³)	Profondeur maximale (en m)	0.5	Quarting	Mobilier
TR 03	F 03.07	TP?	YD	232	N	0,45	0,45	-	Limon un peu argileux brun un peu foncé, un peu jaune, homogène. Rare charbons (mm)	-	-
TR 03	F 03.08	Fossé	YD	232	N	4,20	0,48	-	Limon un peu argileux brun moyen à foncé, homogène. Rares charbons (mm) cailloux de 2 à 10 cm visible. Équivalent à F 02.06 et F 02.03?	-	-
TR 03	F 03.09	TP?	YD	232	N	0,66	0,52	-	Limon argileux brun moyen avec poche jaune, hétérogène, meuble. Rares charbons (mm) et cailloux d'environ 3 - 4 cm visible	-	-
TR 03	F 03.10	Fossé	YD	232	N	2,00	0,54	-	Limon argileux brun foncé, semble homogène. Charbons (mm), quelques cailloux d'environ 2 à 5 cm	-	-
TR 04	F 04.01	fosse/TP?	YD	232	N	0,74	0,40	-	limon sableux brun moyen. Cailloux d'environ 5 à 7 cm visible. Pas de charbon.	-	-
TR 04	F 04.02	Fosse/ chablis	YD	232	N	0,29	0,29	-	Limon un peu argileux, brun jaune clair. Pas de charbons visible.	-	-
TR 04	F 04.03	Chablis	YD	232	O	0,95	0,15 max	0,15 max	Limon brun foncé, avec beaucoup de racines bien visible	-	-
TR 04	F 04.04	TP	YD	232	N	0,70	0,40	-	Petite fosse oblongue. Limon un peu argileux brun jaune moyen, homogène. Pas de cailloux ni charbon visible.	-	-
TR 05	F 05.01	TP?	YD	232	N	0,25	0,25	-	Limon argileux brun gris clair. Pas de charbons visible	-	-
TR 05	F 05.02	TP?	YD	232	O	0,35	0,35	0,1 max, 0,03 min	cuvette asymétrique, limon argileux brun gris clair sans charbon mais nombreux cailloux de 2 à 5 cm. Meuble, homogène. Géol perturbé autour, nombreux blocs.	-	-
TR 05	F 05.03	TP?	YD	232	N	0,30	0,30	-	limon argileux brun gris clair sans charbon mais nombreux cailloux de 2 à 5 cm. Meuble, homogène. Géol perturbé autour, nombreux blocs.	-	-
TR 06	F 06.01	fossé	YD	232	N	2,00	0,50	-	Talus récent. Limon un peu argileux brun moyen un peu jaune	-	-
TR 07	F 07.01	Fosse	YD	230-232	N	1,20	1,00	-	Fosse quadrangulaire. Limon brun foncé, hétérogène et clair avec du sable. Présence de fragment de bois. Recoupe F 07.02. Parallèle à F 07.09	-	-
TR 07	F 07.02	fossé	YD	230-232	N	4,00	0,51	-	espace de 45 cm avec F 07.09. Comblement hétérogène, limon argileux brun foncé à jaune. Rares charbon (mm) quelques cailloux d'1 à 2 cm	-	-
TR 07	F 07.03	TP	YD	230-232	N	0,46	0,46	-	Limon brun moyen avec zones plus foncées homogène un peu argileux. Pas de cailloux, rares charbons (mm)	-	-
TR 07	F 07.04	TP?	YD	230-232	N	0,36	0,36	-	zone plus ou moins circulaire. Limon argileux brun jaune moyen. Ni cailloux ni charbon visible.	-	-

n° tranche	n° fait	nature du fait	Section est.	n° parcelle(s)	Sens	L (en m)	P (en m)	Profondeur maximale (en m)	US	Datation	Matériau
TR 07	F 07.05	Fosse/TP	YD	230-232	O	1,16	0,90	0,2 à 0,3	Fosse légèrement ovale surcreusement vers le Sud-Est avec gros blocs : calages, TP? Bords droits, creusement assez symétrique. Un seul comblement assez homogène et meuble de limon brun foncé à moyen avec rares cailloux de 1 à 5 cm. Quelques charbons (mm)	-	céramique
TR 07	F 07.06	Fossé	YD	230-232	O	4,20	1,30	0,58 à l'Ouest, 0,34 à l'Est	2 tronçons de fossé de 1,3 m d'ouverture max, creusés dans une grène sableuse. Il aurait fonctionné ouvert pendant un temps (fine couche orange dans le fond = oxydation). Blocs moyen de granite en surface et quelques charbons	médiéval/moderne	céramique, lithique
TR 07	F 07.07	Fossé	YD	230-232	O	4,20	1,00	0,2 max	2 tronçons d'un fossé aux contours hétérogènes, "vallonnés", dont la profondeur max atteint 20 cm, caractérisé par un sédiment argilo-limoneux brun foncé. Plus visible, plus important à l'Est. (chemin? Parcelle?)	-	céramique
TR 07	F 07.08	Fossé	YD	230-232	O	2,30	0,64	0,14	un tronçon de fossé visible à l'Ouest, caractérisé par un sédiment argilo-limoneux brun clair dont les contours de fossé sont hétérogènes (chemin? Parcelle?)	-	-
TR 07	F 07.09	Fossé	YD	230-232	N	5 environ	0,72 max	-	Parallèle à F 07.02 environ espacé de 45 cm. Comblement hétérogène limon brun foncé à jaune. Pas de cailloux ou de charbons visible. Équivalent à F 07.12?	-	-
TR 07	F 07.10	fossé	YD	230-232	O	5,00	0,80	-	Recoupe ou est recoupé par F 07.11. Limon argileux brun, homogène. Rares charbons (mm) blocs de 15 à 20 cm visible.	-	-
TR 07	F 07.11	fosse?	YD	230-232	O	1,75	1,06	-	Sédiment argilo-limoneux brun jaune foncé, homogène, quelques traces de charbon, nombreux blocs de granit de moyen module 10 à 15 cm	-	céramique
TR 07	F 07.12	fossé	YD	230-232	N	1,00	0,50	-	limon brun foncé un peu argileux, quelques cailloux de 2 à 5 cm. Pas de charbons visible.	-	-
TR 08	F 08.01	annulé	YB	YB	-	-	-	-	-	-	-
TR 08	F 08.02	TP?	YB	84	N	0,31	0,31	-	Limon argileux brun jaune assez clair. Rares charbons (mm)	-	-
TR 08	F 08.03	fosse/TP?	YB	84	N	0,85	0,68	-	de forme plus ou moins ovale. Limon argileux brun moyen avec taches jaune, semble homogène. Chabons (mm) plus rares charbons (cm) de visible rares cailloux de 2 à 4 cm en surface	-	céramique
TR 08	F 08.04	fossé	YB	84	N	2,00	1,31	-	parallèle à F 08.06. Limon argileux assez meuble et homogène. Brun moyen à foncé. Charbons (mm) de visible quelques cailloux inférieur à 5 cm.	-	-
TR 08	F 08.05	TP	YB	84	O	0,43	0,36	0,08 à 0,06	limon un peu argileux brun moyen nombreux charbons (mm) pas de cailloux. Meuble et homogène. situé entre F 08.04 et F 08.06	-	-
TR 08	F 08.06	Fossé	YB	84	O	-	-	-	-	-	-

n° Tranchée	n° Fat	nature du fat	Section lat.	n° parcelle(s)	Sondé	Δ (en m)	Δ (en m)	Profondeur maximale (en m)	0,5	Datation	Mobilier
TR 09	F 09.01	Fossé	YB	84	N	1,20	0,80	0,30	fossé parcellaire (?) orienté Nord/Sud en TR 09 se poursuit en TR 10 (F 10. 03) avec un profil en U. Creusé dans le substrat (limon jaune) et son comblement correspond avec un sédiment limoneux argileux brun moyen, homogène, meuble sans inclusion.	-	-
TR 09	F 09.02	fossé	YB	84	O	-	Nord 0,36, Sud 0,6	Nord 0,18, sud 0,3	Fossé visible lors du décapage méca. Il se dédouble au Sud. Le Fossé au Nord-est a des contours irréguliers, très fin composé d'un sédiment argilo-limoneux brun moyen, compact, homogène. Le fossé au Sud-Ouest a des bords plus net, plus foncés, il est composé d'un sédiment argilo limoneux brun foncé, assez friable, hétérogène (taches orange), rares charbons et blocs de granit de moyen module.	-	-
TR 10	F 10.01	TP	YB	84	N	0,34	0,34	-	Limon un peu argileux brun moyen à foncé, homogène. Rares charbons (mm). Pas de cailloux visible	-	-
TR 10	F 10.02	fosse	YB	84	N	1,25	0,88	-	Limon argileux brun jaune moyen. Rares charbons (mm) homogène. Pas de cailloux visible	-	-
TR 10	F 10.03	fossé	YB	84	N	2,90	0,79	-	Parallèle à F 10.04. Limon argileux brun moyen à foncé. Homogène. Quelques taches jaunes argileuses. Rares charbons (mm). Pas de cailloux mais racines.	-	-
TR 10	F 10.04	Fossé	YB	84	N	2,90	0,71	-	Parallèle à F 10.03. Limon argileux brun moyen. Tache argileuses jaune homogène. Rares charbons (mm) quelques cailloux de 1 à 6 cm + 3 blocs de 10 à 20 cm environ.	-	-
TR 10	F 10.05	Fossé	YB	84	O	-	0,73	-	recoupé par F 10.03 et F 10.04. En surface : limon un peu argileux brun foncé. Charbons (mm + cm) assez fréquent, quelques cailloux de 1 à 2 cm mais aussi blocs de 10 à 20 cm environ. Au fond : argile limoneux brun jaune clair à moyen. Rares charbons (mm) meuble et homogène.	-	céramique
TR 10	F 10.06	Fossé	YB	84	O	2,80	0,80	entre 0,2 et 0,25	fossé creusé dans le substrat (limon jaune) comblement limoneux argileux homogène compact avec des inclusions de charbons (0,5 mm) brun moyen. Il est orienté Nord/Sud, visible dans l'extension latérale de la TR 10 sur 2,8m	-	céramique, métal
TR 10	F 10.07	fosse	YB	84	O	0,80	0,60	0,45	une céramique visible lors de l'ouverture de la tranchée. Puis recherche structure = bords brun plus foncés mais ténu avec blocs lithique. En fouille, perception épaisseur céramique très importante = bord, fond perceptibles: fragments bien conservés et d'autres non. En cours de fouille : 2 céramiques encadrées. Au Nord bord droits d'où sortent essentiellement les céramiques ayant versé, au Sud, quelques tessons éparés mais plus profond. Entre les fragments de céramique on retrouve de la argile jaune et des blocs lithiques. Des traces d'outil agraires semblent passer sur le premier niveau visible de la céramique en place.	-	Âge du Bronze céramique
TR 11	F 11.01	TP	YB	107	N	0,20	0,20	-	Limon argileux brun moyen. Pas de charbon ni de cailloux.	-	-
TR 11	F 11.02	fossé	YB	107	N	2,00	0,4-0,5	-	Limon argileux brun jaune moyen. Charbons (mm) visible et rares cailloux.	-	-

n° tranche	n° fait	nature du fait	Section cat.	n° parcelle(s)	Sonde	L (en m)	J (en m) ²	Profondeur maximale (en m)	US	Datation	Matériau
TR 13	F 13.01	Fossé	YB	81	N	2,10	0,78	-	Parallèle à F 13.02. Limon un peu argileux brun foncé. Homogène, plutôt meuble. Quelques charbons et rares cailloux de 2 à 3 cm.	-	-
TR 13	F 13.02	Fossé/ chemin?	YB	81	O	2,00	2,73	0,47	Large bande de limon argileux brun foncé variant entre 10 et 40 cm d'épaisseur. Assez meuble reposant sur une couche jaune plus argileuse qui disparaît au Nord de la coupe au profit de la couche brune. La couche jaune est hétérogène, avec des poches brunes et peu compacte.	-	-
TR 13	F 13.03	Fosse	YB	81	O	1,70	0,38	0,06 max	fosse comblé par un limon argileux brun foncé, meuble, homogène contenant des inclusions de charbons. Le creusement est asymétrique entre l'Est et l'Ouest de la fosse. Plus profond à l'Est il remonte au niveau du sol à l'Ouest. Le fond est une couche de limon argileux hétérogène jaune orangé contenant des poches brunes un peu compacte. Possible trace de labours.	-	-
TR 13	F 13.04	Fossé	YB	81	N	2,60	0,58	-	Limon très argileux brun foncé, poche jaune-grise avec traces d'oxydations. Creusé dans le niveau grisâtre géologique. Quelques cailloux de visible, rares charbons (mm) de visible	-	-
TR 14	F 14.01	Fossé	YB	81	N	2,30	0,58	-	Limon un peu argileux brun foncé à moyen, homogène. Rares charbons (mm), pas de cailloux.	-	-
TR 14	F 14.02	Fossé	YB	81	N	3,80	0,57	-	plus ou moins parallèle à F 14.05. Limon brun foncé à clair avec poche jaune. Rares charbons (mm) hétérogène. Quelques cailloux de 1 à 3 cm visibles	-	-
TR 14	F 14.03	TP	YB	81	N	0,44	0,56	-	Limon un peu argileux brun clair, un peu jaune homogène, proche substrat. 1 bloc d'environ 15 cm visible. Rares charbons	-	-
TR 14	F 14.04	TP	YB	81	N	0,35	0,35	-	Limon argileux brun moyen, homogène. Rares charbon, pas de cailloux.	-	-
TR 14	F 14.05	Fossé	YB	81	N	5,00	0,50	0,45	Fossé orienté Nord-Ouest/Sud-Est visible dans la TR 14. Profil en U. Comblé par du limon argileux brun moyen homogène meuble avec inclusions de cailloux, pas de charbon. Le comblement inférieur est du limon jaune orangé, hétérogène et compact.	-	-
TR 15	F 15.01	Fossé	YD	157	N	-	-	-	-	-	-
TR 15	F 15.02	Fossé	YD	157	N	-	-	-	-	-	-
TR 15	F 15.03	Fossé	YD	157	O	6,00	5,80	1,00	fosse vu lors de l'ouverture tranchée, puis agrandissement avec 2 fenêtres vers le Sud-Ouest Anomale creusée dans le substrat. Sédiment argilo-limoneux brun assez foncé, quelques cailloux en granite. Forme générale tendrait vers fossé ou fosse dont on ne perçoit pas les contours. Au Sud-Est, fillet de cailloux en granite de moyen module. Retour à angle droit visible à l'Ouest dans la seconde fenêtre. Substrat non atteint dans le sondage méca.	moderne	métal, céramique
TR 15	F 15.04	annulé continuité de F 15.03	YD	157	N	-	-	-	F 15.04 = F15.03	-	-
TR 17	F 17.01	Fosse	YD	157	N	-	-	-	-	-	-
TR 17	F 17.02	Fossé	YD	157	N	-	-	-	Parallèle à F 17.03	-	-
TR 17	F 17.03	Fossé	YD	157	N	-	-	-	Parallèle à F 17.02	-	-
TR 17	F 17.04	Fossé	YD	157	N	-	-	-	-	-	-

n° tranche	n° fait	nature du fait	Section cat.	n° parcelle(s)	Sonde	L (cm)	J (en m ²)	Profondeur maximale (en m)	U.S.	Durabilité	Matériau
TR 17	F 17.05	Fossé	YD	157	N	-	-	-	Parallèle à F 17.06	-	-
TR 17	F 17.06	Fossé	YD	157	N	-	-	-	Parallèle à F 17.07	contemporain	plastique (non ramassé)
TR 17	F 17.07	Fossé	YD	157	N	-	-	-	-	-	-
TR 18	F 18.01	Fossé	YD	157	N	-	-	-	-	-	-
TR 18	F 18.02	Fosse	YD	157	N	-	-	-	-	-	-
TR 18	F 18.03	Fosse	YD	157	N	-	-	-	Accumulation argileuse grisâtre à brune. Trace d'oxydation et bois pourri ou charbon?	-	-
TR 18	F 18.04	Annulé	YD	157	N	-	-	-	Sol Géologique	-	-
TR 19	F 19.01	Fossé	YD	157	N	-	-	-	-	-	-
TR 19	F 19.02	Fossé	YD	157	N	-	-	-	-	-	-
TR 20	F 20.01	Fossé	YD	157	N	-	-	-	-	-	-
TR 20	F 20.02	Annulé	YD	157	N	-	-	-	-	-	-
TR 20	F 20.03	Annulé	YD	157	N	-	-	-	-	-	-
TR 20	F 20.04	Fossé	YD	157	N	-	-	-	-	-	-
TR 20	F 20.05	Annulé	YD	157	N	-	-	-	géol	-	Céramique
TR 21	F 21.01	Fossé	YD	157	N	-	-	-	-	-	-
TR 22	F 22.01	Fossé	YD	157	N	-	-	-	-	-	-
TR 22	F 22.02	Fossé	YD	157	N	-	-	-	Parallèle à F 22.03, F 22.04 et F 22.05	-	-
TR 22	F 22.03	Fossé	YD	157	N	2,30	0,5 à 0,6	0,30	Fossé avec sédiment limoneux argileux très meuble, brun moyen foncé pas d'inclusions de cailloux rares charbon (intérieur à 1mm) creusement avec un profil en U.	-	-
TR 22	F 22.04	Fossé	YD	157	N	2,30	0,60	0,30	Comblé par un sédiment limoneux argileux très meuble, brun moyen foncé, pas de cailloux rares charbon. Profil en U assez "plat" sédiment homogène.	-	-
TR 22	F 22.05	Fossé	YD	157	N	-	-	-	-	-	-
TR 24	F 24.01	TP	YD	157	N	-	-	-	-	-	-
TR 24	F 24.02	Fossé	YD	157	N	-	-	-	Accumulation argileuse grisâtre à brune. Trace d'oxydation et bois pourri ou charbon?	-	-
TR 25	F 25.01	Annulé	YD	157	N	-	-	-	-	-	-
TR 25	F 25.02	Annulé	YD	157	N	-	-	-	-	-	-
TR 25	F 25.03	Annulé	YD	157	N	-	-	-	-	-	-
TR 25	F 25.04	Fossé	YD	157	N	-	-	-	-	-	-
TR 25	F 25.05	Fossé	YD	157	N	-	-	-	-	-	-
TR 25	F 25.06	Fossé	YD	157	N	-	-	-	-	-	-
TR 25	F 25.07	Fossé	YD	157	N	-	-	-	-	-	-
TR 25	F 25.08	Annulé	YD	157	N	-	-	-	-	-	-
TR 25	F 25.09	Annulé	YD	157	N	-	-	-	-	-	-
TR 26	F 26.01	Fossé	YD	157	N	-	-	-	-	-	-
TR 27	F 27.01	Fossé	YE	45	O	-	-	-	Fossé, profil en U, complément limono argileux de 2 types brun orangé et brun plus foncé, installé plus récemment. Creusé dans le sol géologique.	-	céramique
TR 27	F 27.02	Foyer	YE	45	N	1,62	0,95	0,38	Limono argileux brun jaune moyen, meuble et hétérogène. Certaines zones plus argileuses et d'autres avec plus de charbons. Nombreuses racines, charbons autour, souche ayant brûlé sur place?	-	-
TR 27	F 27.03	Fossé/souche?	YE	45	O	1,05	1,05	-	Limono argileux brun jaune moyen. Charbon et rubéfaction	-	-
TR 27	F 27.04	Fossé	YE	45	N	0,63	0,33	-	Limono argileux brun clair/jaune avec poche argileuse blanc gris, hétérogène. Rare charbon	-	-

n° Tranchée	n° Fait	nature du fait	Section cad.	n° parcelle(s)	Sens	4 (m)	1 (en m ²)	Profondeur maximale (en m)	US	Description	Illustrer
TR 27	F 27.05	Fossé	YE	45	N	1,00	0,60	-	US	Limon argileux brun clair jaune avec poche argileuse blanc gris, hétérogène	-
TR 27	F 27.06	Fossé	YE	45	N	0,87	0,74	-		Limon brun jaune moyen à clair avec argille blanche	-
TR 27	F 27.07	Fossé	YE	45	O	0,6 à l'Est 3,4 en complant SD méca	2,10	0,50		Fossé brun foncé, meuble, hétérogène avec inclusion de charbon, quelques cailloux 3 à 5 cm, petites poches d'argile grise, quelques racines. Implanté dans le substrat limono argileux jaune, meuble, hétérogène parsemé de taches brunes foncées. Présence d'un deuxième creusement dans le substrat qui descend plus profond que le fossé. Brun clair, compact, homogène. Contact entre ce creusement et le fossé fait par une poche noire.	-
TR 27	F 27.08	Fossé	YE	45	N	-	0,64	-		Brun assez foncé, légèrement rougeâtre.	-
TR 28	F 28.01	TP	YH	147	N	0,42	0,42	-			-
TR 28	F 28.02	TP	YH	147	N	0,72	0,55	-			-
TR 28	F 28.03	TP	YH	147	N	0,27	0,27	-			-
TR 28	F 28.04	Fossé	YH	147	N	-	1,40	-			-
TR 29	F 29.01	Fosse	YH	147	O	2,99	2,48	-		2 creusements : ils sont comblé par du limon argileux brun foncé avec des argileuses grisâtres et jaune. Meuble, hétérogène. L'un comporte de rares charbons (mm) et quelques cailloux (cm), l'autre des charbons (cm) et des cailloux (cm). Ils sont séparé par une zone très hétérogène limon brun et jaune avec des cailloux.	-
TR 29	F 29.02	TP	YH	147	N	0,44	0,44	-		Limon brun foncé à moyen	-
TR 29	F 29.03	Fossé	YH	147	N	-	0,41	-		Limon brun foncé à moyen	-
TR 29	F 29.04	TP	YH	147	N	0,28	0,28	-		Limon brun moyen	-
TR 29	F 29.05	Fosse	YH	147	N	0,77	0,56	-		Limon brun jaune clair	-
TR 29	F 29.06	TP	YH	147	N	0,60	0,60	-		Limon brun jaune clair	-
TR 29	F 29.07	Annulé	YH	147	N	-	-	-			-
TR 29	F 29.08	Fossé	YH	147	N	Topo	0,94	-		Limon brun moyen	-
TR 29	F 29.09	Fosse	YH	147	N	Topo	0,69	-			-
TR 29	F 29.10	Fossé	YH	147	N	Topo	0,53	-			-
TR 29	F 29.11	Fossé	YH	147	N	Topo	0,44	-			-
TR 29	F 29.12	Fossé	YH	147	O	2,10	1,30	0,4 à 0,5		Fossé orienté Est/Ouest avec comblement limono argileux homogène meuble brun moyen clair avec du charbon de 2 à 5 mm. Cf. minute 15, coupe Est et Ouest avec différentes US	-
TR 29	F 29.13	Fossé	YH	147	N	Topo	0,43	-		Limon brun foncé, charbon visible	-
TR 29	F 29.14	Fosse	YH	147	N	Topo	1,04	-		Limon brun moyen	-
TR 29	F 29.15	Annulé	YH	147	N	-	-	-			-
TR 29	F 29.16	Fosse	YH	147	O	1,78	0,40	0,30		Limon un peu argileux brun foncé, meuble, hétérogène, avec des taches brun moyen et noires. Le fond est composé de substrat limon argileux, jaune dans lequel s'insère un TP à l'Ouest qui descend sur le géol. Le substrat remonte progressivement vers le Sud, les Bords ne sont pas taillé droits.	-
TR 29	F 29.17	Annulé	YH	147	N	Topo	-	-			-
TR 29	F 29.18	Fossé	YH	147	N	Topo	1,90	-			-
TR 29	F 29.19	Test géol	YH	147	O	-	0,69	-		Test manuel réalisé afin de vérifier la présence de géol le long d'une zone plus sombre. Celui-ci a révélé de nombreux élément racinaires. Les charbons se trouvant quasiment que en présence de racine. Accumulation irrégulière et zone sombre limitées s'infiltrant dans le géol.	-
TR 29	F 29.20	Fossé	YH	147	O	-	1,17 + 3,33 vers le Nord	0,44		Fosse légèrement en V. Plusieurs comblement : comblement supérieur : limon argileux brun clair et jaune, hétérogène, meuble très rares charbons (mm). Comblement inférieur : limon un peu argileux brun moyen un peu jaune, homogène et meuble, rares charbons (mm). En partie Sud-Ouest du comblement inférieur un niveau argilo-limoneux brun jaune clair, meuble et homogène	-
TR 29	F 29.21	TP/Fosse	YH	147	N	0,81	0,81	-		Limon brun moyen	-
TR 29	F 29.22	TP	YH	147	N	0,55	0,55	-		Limon brun moyen, 1 bloc visible	-
TR 29	F 29.23	Chablis	YH	147	N	1,26	0,90	-			-

n° tranchée	n° fait	nature du fait	Section cat.	# parcelle(s)	sondés	L (en m)	(per m) ²	profondeur maximale (en m)	US	Dénotation	Matériau
TR 29	F 29_24	Fossé	YH	147	O	1,70	0,65	0,25		Limons argileux brun foncé, meuble, hétérogène avec poche orange. Il s'arrête au Sud, ne va pas jusque dans la berme. Creusement irrégulier, bord droit à l'Ouest, profil en U. Quelques cailloux de 5 à 10 cm. Au fond, limon argileux, peu compact, jaune. Le fossé est comblé par du limon brun foncé avec des poches orange et brunes moyen.	-
TR 30	F 30.01	Traces de charrue	YH	147	N	-	-	-		Trace de charrue	-
TR 30	F 30.02	Traces de charrue	YH	147	N	-	-	-		Trace de charrue	-
TR 30	F 30.03	TP	YH	147	N	0,58	0,58	-		-	-
TR 30	F 30.04	TP	YH	147	N	0,33	0,33	-		-	-
TR 30	F 30.05	Fosse?	YH	147	N	5,00	0,89	-		lié à F 30.06?	-
TR 30	F 30.06	Fosse?	YH	147	O	5,40	1,28	-		lié à F 30.05? 5 comblements différents : au Sud/Ouest limon brun moyen orangé meuble, homogène rares charbons (mm), au Nord-Est limon brun clair un peu jaune, rares charbons (mm) au centre limon brun foncé à noir meuble, homogène. On trouve aussi une de limon brun foncé meuble, homogène au Nord-Est au niveau du creusement. Au fond argile et limon jaune un peu brun.	-
TR 30	F 30.07	Annulé	YH	147	N	-	-	-		géol	-
TR 30	F 30.08	TP	YH	147	N	0,29	0,29	-		-	-
TR 30	F 30.09	Fossé	YH	147	N	4,45	0,74	-		2 comblements. Comblement supérieur : limon argileux brun foncé meuble et homogène. Comblement inférieur : argile très peu limoneuse brun-gris foncé. Rares charbons (cm et mm), pas de cailloux supérieur à 5 cm, compact et hétérogène. Dans le fond oxydations à l'interface avec le substrat.	céramique
TR 30	F 30.10	TP	YH	147	N	0,29	0,29	-		annulé	-
TR 30	F 30.11	Annulé	YH	147	N	-	-	-		annulé	-
TR 30	F 30.12	TP	YH	147	N	0,32	0,32	-		annulé	-
TR 30	F 30.13	Annulé	YH	147	N	-	-	-		annulé	-
TR 30	F 30.14	TP	YH	147	N	0,36	0,36	-		-	-
TR 30	F 30.15	Fosse	YH	147	N	1,10	0,68	-		2 US visibles en surface	-
TR 30	F 30.16	TP	YH	147	N	0,25	0,25	-		-	-
TR 30	F 30.17	TP	YH	147	N	0,41	0,41	-		-	-
TR 30	F 30.18	TP	YH	147	N	0,60	0,60	-		3 comblements. Comblement supérieur : limon argileux brun foncé meuble et homogène. Comblement inférieur : argileux très peu limoneuse brun-gris foncé avec une zone plus noire, hétérogène compacte avec rares charbon et des petits cailloux. Au fond : argile limoneuse brun jaune claire.	-
TR 30	F 30.19	TP	YH	147	N	0,36	0,36	-		-	-
TR 30	F 30.20	TP	YH	147	N	0,40	0,40	-		-	-
TR 30	F 30.21	TP	YH	147	N	0,49	0,49	-		-	-
TR 30	F 30.22	Fosse?	YH	147	N	0,62	0,89	-		-	-
TR 30	F 30.23	TP?	YH	147	N	0,37	0,37	-		-	-
TR 30	F 30.24	Fosse?	YH	147	N	0,86	0,32	-		-	-
TR 31	F 31.01	TP	YH	146	N	0,26	0,26	-		-	-
TR 31	F 31.02	TP	YH	146	N	0,16	0,16	-		-	-
TR 31	F 31.03	Annulé	YH	146	N	-	-	-		-	-
TR 31	F 31.04	TP	YH	146	N	0,40	0,40	-		-	-
TR 31	F 31.05	Annulé	YH	146	N	-	-	-		-	-
TR 31	F 31.06	TP	YH	146	N	0,20	0,20	-		-	-
TR 31	F 31.07	annulé	YH	146	N	-	-	-		-	-
TR 31	F 31.08	TP	YH	146	N	0,38	0,38	-		-	-

INVENTAIRE DES FAITS ET UNITÉS STRATIGRAPHIQUES

PLOUDANIEL (29) - RD 770

Arrêté n° 2019-080

n° tranche	n° fait	nature du fait	Section est.	n° parcelle(s)	Sonde	1 (en m)	J (en m ²)	Profondeur maximale (en m)	US	Durabilité	Meuble
TR 31	F 31.09	TP	YH	146	N	-	-	-	-	-	-
TR 31	F 31.10	TP	YH	146	N	0.18	0.18	-	-	-	-
TR 31	F 31.11	Annulé	YH	146	N	-	-	-	-	-	-
TR 31	F 31.12	Annulé	YH	146	N	-	-	-	-	-	-
TR 31	F 31.13	TP	YH	146	N	0.17	0.17	-	-	-	-
TR 31	F 31.14	TP	YH	146	N	0.33	0.33	-	-	-	-
TR 31	F 31.15	Annulé	YH	146	N	-	-	-	-	-	-
TR 31	F 31.16	Annulé	YH	146	N	-	-	-	-	-	-
TR 31	F 31.17	Annulé	YH	146	N	-	-	-	-	-	-
TR 31	F 31.18	Fossé	YH	146	N	-	0.50	-	-	-	-
TR 31	F 31.19	TP	YH	146	N	0.53	0.53	-	-	-	-
TR 31	F 31.20	Fossé	YH	146	N	-	0.80	-	-	-	-
TR 31	F 31.21	Fossé?	YH	146	N	0.83	0.45	-	-	-	-
TR 31	F 31.22	Annulé	YH	146	N	-	-	-	-	-	-
TR 31	F 31.23	Annulé	YH	146	N	-	-	-	-	-	-
TR 31	F 31.24	TP	YH	146	N	0.63	0.24	-	-	-	-
TR 31	F 31.25	TP	YH	146	N	0.45	0.45	-	-	-	-
TR 31	F 31.26	Annulé	YH	146	N	-	-	-	-	-	-
TR 32	F 32.01	Fosse	YH	146	N	-	0.97	-	-	-	-
TR 32	F 32.02	TP	YH	146	N	0.44	0.44	-	-	-	-
TR 32	F 32.03	TP	YH	146	N	0.46	0.46	-	-	-	-
TR 32	F 32.04	Fosse/fossé?	YH	146	N	-	0.50	-	-	-	-
TR 32	F 32.05	Fosse	YH	146	N	-	0.64	-	-	-	-
TR 32	F 32.06	TP	YH	146	N	0.50	0.50	-	-	-	-
TR 32	F 32.07	Annulé	YH	146	N	-	-	-	-	-	-
TR 32	F 32.08	Fossé	YH	146	N	-	1.72	-	-	-	-
TR 32	F 32.09	Annulé	YH	146	N	-	-	-	-	-	-
TR 32	F 32.10	Fossé	YH	146	N	-	0.40	-	-	-	-
TR 32	F 32.11	Annulé	YH	146	N	-	-	-	-	-	-
TR 32	F 32.12	TP	YH	146	N	0.48	0.48	-	-	-	-
TR 32	F 32.13	TP	YH	146	N	0.40	0.40	-	-	-	-
TR 32	F 32.14	TP	YH	146	N	0.25	0.25	-	-	-	-
TR 32	F 32.15	TP	YH	146	N	0.48	0.48	-	-	-	-
TR 32	F 32.16	TP	YH	146	N	0.15	0.15	-	-	-	-
TR 32	F 32.17	Fossé	YH	146	N	-	0.85	-	-	-	-
TR 33	F 33.01	TP	YH	166	N	0.25	0.12	-	-	-	-
TR 33	F 33.02	TP	YH	166	N	0.32	0.32	-	-	-	-
TR 33	F 33.03	TP	YH	166	N	0.72	0.72	0,1 min	-	-	-
TR 33	F 33.04	Structure	YH	166	N	3.30	0.25	-	-	-	-
TR 33	F 33.05	Structure	YH	166	N	3.10	1.80	-	-	-	-

n° Tranchée	n° Tat	nature du tat	Section cat.	n° parcelle(s)	Sonde	L (en cm)	(en cm)2	Profondeur maximale (en m)	US	Duobury	Matériau
TR 33	F 33.06	TP	YH	166	N	-	-	-	Tp proche de F 33.07 rempli de cailloux entre 5 à 15 cm. Limon sableux brun moyen.	-	-
TR 33	F 33.07	Structure	YH	166	N	3,30	0,75	-	Limon un peu argileux brun foncé, meuble, hétérogène avec la présence de nombreuses poches d'argile orange ou grise. Aucune inclusion	-	-
TR 33	F 33.08	TP	YH	166	N	0,25	0,25	-	-	-	-
TR 33	F 33.09	TP	YH	166	N	0,25	0,25	-	-	-	-
TR 33	F 33.10	TP	YH	166	N	0,25	0,25	-	-	-	-
TR 33	F 33.11	Annulé	YH	166					-	-	-
TR 33	F 33.12	Annulé	YH	166					-	-	-
TR 33	F 33.13	TP	YH	166	N	0,45	0,45	-	Limon argileux brun foncé, meuble, hétérogène. Aucune inclusion.	-	-
TR 33	F 33.14	TP	YH	166	N	0,45	0,45	-	Limon argileux brun foncé, meuble; hétérogène présence de traces jaunes en surface aucune inclusion	-	-
TR 34	F 34.01	TP	YH	166	N	0,10	0,10	-	Limon argileux brun foncé	-	-
TR 34	F 34.02	Annulé	YH	166					-	-	-
TR 34	F 34.03	TP	YH	166	N	0,18	0,18	-	Limon argileux brun foncé	-	-
TR 34	F 34.04	TP	YH	166	N	0,25	0,25	-	Limon argileux brun foncé	-	-
TR 34	F 34.05	TP	YH	166	N	0,20	0,20	-	Limon argileux brun foncé	-	-
TR 34	F 34.06	fossé	YH	166	N	2,00	0,60	-	Limon argileux brun foncé, homogène, meuble	-	-
TR 34	F 34.07	Fossé?	YH	166	N	1,30	1 max, 0,6 min	-	limon argileux brun orangés, hétérogène avec charbon	-	-
TR 34	F 34.08	Fossé	YH	166	N	2,00	2 max, 0,8 min	-	limon argileux brun moyen/clair avec cailloux (5 à 20 cm) hétérogène (gravillon) et charbon	-	-
TR 34	F 34.09	Fossé	YH	166	N	1,00	1,00	-	Limon argileux brun moyen foncé homogène, quelques cailloux (5 cm), charbons (mm)	-	-
TR 34	F 34.10	Annulé	YH	166					-	-	-
TR 34	F 34.11	TP	YH	166	N	0,14	0,14	-	Limon argileux brun moyen foncé homogène	-	-
TR 34	F 34.12	Annulé	YH	166					-	-	-
TR 34	F 34.13	Fossé	YH	166	N	0,58	0,23	-	limon argileux brun foncé/ moyen charbon (cm), homogène	-	-
TR 34	F 34.14	TP	YH	166	N	0,28	0,28	-	Limon argileux brun moyen/foncé. Quelques charbons, homogène	-	-
TR 34	F 34.15	Fossé	YH	166	O	2,50	0,55 max, 0,46 min	0,10	limon argileux brun moyen charbons (2 mm), quelques gravillons (cm) homogène, meuble. Fossé peu profond à fond plat	-	-
TR 34	F 34.16	Fosse	YH	166	O	2,10	1,2 max, 0,45 min	-	limon argileux brun moyen clair homogène	-	-
TR 34	F 34.17	TP	YH	166	O	0,22	0,22	-	limon argileux brun moyen foncé 1 caillou (5 cm) homogène	-	-
TR 34	F 34.18	TP	YH	166	N	0,20	0,20	-	limon argileux brun moyen foncé homogène	-	-
TR 34	F 34.19	TP	YH	166	N	0,25	0,25	-	limon argileux brun moyen foncé (inondé)	-	-
TR 34	F 34.20	TP	YH	166	N	0,12	0,12	-	limon argileux brun moyen foncé	-	-
TR 34	F 34.21	Fosse	YH	166	O	1,15	0,55	-	Limon argileux brun foncé, meuble, hétérogène avec des poches plus sombres, des petits charbons (mm) et quelques cailloux (inférieur à 5 cm)	-	-
TR 34	F 34.22	Fossé	YH	166	N	3,20	0,50	-	limon argileux brun moyen peu compact homogène	-	-
TR 34	F 34.23	TP	YH	166	N	0,20	0,20	-	limon argileux brun moyen foncé	-	-
TR 34	F 34.24	TP	YH	166	N	0,16	0,16	-	limon argileux brun moyen foncé	-	-
TR 34	F 34.25	Fossé	YH	166	N	2,90	0,38	-	limon argileux brun moyen clair homogène meuble, charbons nombreux (cm)	-	-
TR 34	F 34.26	Série de TP/ palissade?	YH	166	O	4,40	0,42	-	limon argileux brun moyen compact, homogène beaucoup de charbons (mm) 1 caillou (10 cm)	-	-
TR 34	F 34.27	Fosse	YH	166	N	0,78	0,42	-	Limon argileux brun moyen peu compact homogène	-	-
TR 34	F 34.28	Foyer	YH	166	O	1,60	0,76	-	limon argileux noir (traces rubéfié orange rouge), beaucoup de charbons, nombreux cailloux (10cm)	-	-
TR 34	F 34.29	Annulé	YH	166	N	0,28	0,28	-	Limon argileux brun moyen foncé, un peu de charbons (2mm)	-	-
TR 34	F 34.30	Annulé	YH	166					-	-	-
TR 34	F 34.31	TP	YH	166	N	0,34	0,34	-	limon argileux brun moyen	-	-

INVENTAIRE DES FAITS ET UNITÉS STRATIGRAPHIQUES

n° tranche	n° lot	nature du lot	sections ext.	n° parcelle(s)	sonde	1 (en m)	1 en m ²	Profondeur maximale (en m)	US	Observation	Meuble(s)
TR 34	F 34.32	Fossé avec série de TP	YH	166	N	10,00	0,40	-	limon argileux brun moyen, homogène compact charbons nombreux (mm), rares cailloux (3 à 10cm)	-	-
TR 34	F 34.33	TP	YH	166	N	0,14	0,14	-	limon brun moyen foncé	-	-
TR 34	F 34.34	Fosse	YH	166	O	0,46	0,25	-	limon argileux brun clair un peu jaune, meuble, homogène. Rares charbons (mm). Creusement régulier légèrement en V avec un récreusement au Sud-Sud-Ouest	-	-
TR 34	F 34.35	TP	YH	166	N	0,25	0,16	-	limon argileux brun moyen clair homogène	-	-
TR 34	F 34.36	TP	YH	166	N	0,30	0,30	-	limon argileux brun moyen	-	-
TR 34	F 34.37	Fossé	YH	166	N	1,55	0,74	-	limon argileux brun moyen	-	-
TR 34	F 34.38	Fosse	YH	166	O	1,00	0,40	-	limon argileux brun moyen à foncé, meuble, homogène. Charbons (mm) légèrement cougèrre meuble et homogène en surface.	-	-
TR 34	F 34.39	TP	YH	166	N	0,50	0,40	-	limon argileux brun moyen foncé	-	-
TR 34	F 34.40	TP	YH	166	N	0,36	0,36	-	limon argileux brun moyen foncé	-	-
TR 34	F 34.41	TP	YH	166	N	0,22	0,22	-	limon argileux brun moyen foncé	-	-
TR 34	F 34.42	TP	YH	166	N	0,16	0,16	-	limon argileux brun moyen foncé meuble	-	-
TR 34	F 34.43	TP	YH	166	N	0,14	0,14	-	limon argileux brun moyen foncé meuble	-	-
TR 34	F 34.44	Fosse	YH	166	N	0,80	1,00	-	limon argileux brun moyen foncé, homogène meuble, rares charbons (3cm)	-	-
TR 34	F 34.45	Fosse	YH	166	N	2,60	0,95	-	limon argileux homogène compact, amas de cailloux de taille variable (10 à 30cm)	-	-
TR 34	F 34.46	TP	YH	166	N	0,30	0,30	-	limon argileux hétérogène meuble	-	-
TR 34	F 34.47	TP	YH	166	N	-	-	-	inondé	-	-
TR 34	F 34.48	TP	YH	166	N	0,24	0,24	-	limon argileux hétérogène brun moyen clair (taches brunes)	-	-
TR 34	F 34.49	Annulé	YH	166	N	-	-	-	-	-	-
TR 34	F 34.50	TP	YH	166	N	0,36	0,36	-	limon argileux brun moyen clair	-	-
TR 34	F 34.51	Annulé	YH	166	N	-	-	-	-	-	-
TR 34	F 34.52	TP	YH	166	N	0,20	0,20	-	limon argileux brun moyen	-	-
TR 34	F 34.53	TP	YH	166	N	0,18	0,18	-	limon argileux brun moyen, meuble, homogène. Rares charbons	-	-
TR 34	F 34.54	TP	YH	166	O	0,20	0,20	-	limon brun moyen	-	-
TR 35	F 35.01	Fosse	YH	166	N	0,90	0,45	-	limon argileux très compact brun moyen foncé, beaucoup de charbon (mm)	-	-
TR 35	F 35.02	TP	YH	166	N	0,45	0,30	-	limon argileux hétérogène (tache brunes) brun moyen 1 caillou (8 cm)	-	-
TR 35	F 35.03	Fosse	YH	166	N	2,56	1,65	-	limon argileux très compact hétérogène présence de charbon, amas de cailloux de taille variable (5 à 15 cm)	-	-
TR 35	F 35.04	TP	YH	166	N	0,30	0,30	-	limon argileux brun moyen hétérogène	-	-
TR 35	F 35.05	TP	YH	166	N	0,16	0,16	-	limon argileux très hétérogène brun moyen foncé avec charbons	-	-
TR 35	F 35.06	Racines?	YH	166	N	0,64	0,36	-	limon argileux brun moyen hétérogène (tache brunes et argile)	-	-
TR 35	F 35.07	Annulé	YH	166	N	-	-	-	-	-	-
TR 35	F 35.08	TP	YH	166	N	-	-	-	inondé	-	-
TR 35	F 35.09	TP	YH	166	O	0,55	0,45	0,20	limon argileux meuble homogène du charbon. Creusement asymétrique, bord droits à l'Ouest	-	-
TR 35	F 35.10	TP	YH	166	N	0,18	0,18	-	limon argileux meuble brun moyen hétérogène	-	-
TR 35	F 35.11	Fosse	YH	166	O	-	-	-	Limons argileux meuble hétérogène brun moyen foncé qui entoure un amas de cailloux compris dans une couche brune claire avec des gravillons et une languette d'argile se situe entre les 2. Gégé dans le fond du fossé calibre moyen (5 à 10 cm)	-	-
TR 35	F 35.12	Fosse	YH	166	N	0,60	0,33	-	limon argileux homogène peu compact	-	-
TR 35	F 35.13	Annulé	YH	166	N	-	-	-	-	-	-
TR 35	F 35.14	TP	YH	166	N	0,14	0,14	-	Limons sableux avec des gravillons brun moyen	-	-
TR 35	F 35.15	TP	YH	166	N	0,37	0,20	-	Limons sableux brun moyen foncé avec des cailloux (20cm) homogène meuble	-	-
TR 35	F 35.16	TP	YH	166	N	0,23	0,23	-	limon argileux hétérogène meuble	-	-
TR 35	F 35.17	TP	YH	166	O	0,26	0,26	0,32	limon argileux hétérogène (tache brunes) brun moyen, cailloux dans le fond et trou de terrier.	-	-
TR 35	F 35.18	TP	YH	166	N	0,14	0,14	-	limon argileux homogène meuble, brun moyen foncé	-	-
TR 35	F 35.19	Annulé	YH	166	N	-	-	-	-	-	-
TR 35	F 35.20	TP	YH	166	N	0,23	0,23	-	limon argileux brun moyen foncé homogène meuble	-	-
TR 35	F 35.21	Annulé	YH	166	N	-	-	-	-	-	-
TR 35	F 35.22	Fosse	YH	166	O	0,57	0,33	0,07	limon argileux homogène meuble brun moyen clair	-	-
TR 35	F 35.23	Annulé	YH	166	N	-	-	-	-	-	-

n° tranche	n° bat	nature du bat	Section est.	n° parcelle(s)	Sens	L (en m)	J (en m ²)	Profondeur maximale (en m)	US	Durabilité	Meuble
TR 35	F 35.24	Fossé	YH	166	O	4,30	0,74	0,12	limon argileux brun moyen foncé avec des charbons; hétérogène recoupé par une structure en arc de cercle de 25 cm de large en parné Nord. Peu profond, rapidement sur le substrat jaune, peu de différence entre le fossé et l'arrondi.	-	-
TR 35	F 35.25	-	YH	166	N	-	-	-	-	-	-
TR 35	F 35.26	-	YH	166	N	-	-	-	-	-	-
TR 35	F 35.27	-	YH	166	N	-	-	-	-	-	-
TR 35	F 35.28	TP	YH	166	O	0,42	0,26	0,28	Limon argileux hétérogène meuble brun moyen foncé avec des charbons. Substrat au fond et une poche dans la coupure	-	-
TR 35	F 35.29	TP	YH	166	N	0,23	0,10	-	limon argileux brun moyen homogène avec charbons	-	-
TR 35	F 35.30	TP	YH	166	N	0,17	0,17	-	limon argileux brun moyen foncé homogène	-	-
TR 36	F 36.01	Fosse	YH	146	N	-	1,36	-	-	-	-
TR 36	F 36.02	Fossé	YH	146	O	4,50	0,7 max, 0,60 min	0,2 max, 0,15 min	Fossé orienté Nord/Sud. Comblement brun moyen/clair homogène, meuble, limon argileux rares charbons (2mm). Semble recoupé par F 36.03, profil à fond plat parois très épaissées.	-	-
TR 36	F 36.03	Fossé	YH	146	O	1,20	0,60	0,20	Fossé orienté Est/Ouest. Comblement limon argileux brun moyen/clair homogène meuble (avec des taches brun moyen/foncé) quelques charbons. Semble coupé F 36.02. Profil en U, fond plat. Equivalant à F 36.04	-	-
TR 36	F 36.04	Fossé	YH	146	N	-	0,65	-	Equivalent à F 36.02	-	-
TR 36	F 36.05	TP	YH	146	N	0,47	0,47	-	-	-	-
TR 36	F 36.06	TP	YH	146	N	0,27	0,27	-	-	-	-
TR 36	F 36.07	Fosse	YH	146	N	2,70	0,72	-	Structure en forme de U	-	-
TR 36	F 36.08	Fosse	YH	146	N	2,70	0,60	-	Structure en forme de U	-	-
TR 36	F 36.09	Fossé	YH	146	O	1,20	1,00	0,25	Fossé orienté Nord-Est/Sud-Ouest. Comblement limon argileux homogène très meuble, brun moyen foncé, rares charbons.	-	-
TR 36	F 36.10	Fossé	YH	146	N	-	0,63	-	-	-	-
TR 36	F 36.11	Fosse	YH	146	N	0,89	0,85	-	-	-	-
TR 36	F 36.12	TP?	YH	146	N	0,52	0,52	-	-	-	-
TR 36	F 36.13	TP	YH	146	N	0,60	0,60	-	-	-	-
TR 36	F 36.14	TP	YH	146	N	0,84	0,84	-	-	-	-
TR 36	F 36.15	Annulé	YH	146	O	0,72	0,72	0,04	Géol	-	-
TR 36	F 36.16	Annulé	YH	146	N	-	-	-	-	-	-
TR 36	F 36.17	Annulé	YH	146	N	-	-	-	-	-	-
TR 36	F 36.18	Annulé	YH	146	O	0,46	0,46	0,07	Racine	-	-
TR 36	F 36.19	Annulé	YH	146	N	-	-	-	-	-	-
TR 37	F 37.01	TP	YH	147	N	-	-	-	-	-	-
TR 37	F 37.02	TP	YH	147	N	0,35	0,35	-	Limon brun moyen avec rares charbons	-	-
TR 37	F 37.03	Fossé	YH	147	N	-	-	-	-	-	-
TR 37	F 37.04	TP	YH	147	O	environ 0,5	environ 0,5	0,68	Creusement du TP en blats avec 3 comblements : en surface : zone charbonneuse noire légèrement rougeâtre très meuble et homogène. En dessous : limon eu peu argileux brun moyen, meuble, homogène avec rares charbon. Comblement inférieur : Limon argileux brun moyen légèrement jaune à orangé meuble, homogène	-	-
TR 37	F 37.05	Fossé	YH	147	O	-	-	-	Est coupé par F 37.12. Cf. Minute	-	-
TR 37	F 37.06	TP	YH	147	O	0,35	0,35	0,70 max	Nombres comblements (cf. minute) : à l'Ouest comblement d'un TP, limon brun moyen meuble et homogène, rares charbon (mm). Comblement du fossé : limon argileux brun moyen meuble, homogène avec rares charbons. En surface : limon argileux brun clair orangé, meuble, homogène. Sous le comblement du fossé on trouve le comblement des TP : limon argileux brun moyen à foncé avec poche limoneuse jaune meuble et hétérogène rares charbon (mm) quelques cailloux inférieur à 10 cm. +2 autres comblements (8 et 9 minute 23) : limon un peu argileux brun clair jaune meuble et homogène, l'autre un argile un peu limoneux un peu brun, gris, blanc, très rares charbons	-	-
TR 37	F 37.07	Fossé	YH	147	N	-	-	-	-	-	-
TR 37	F 37.08	Fossé	YH	147	N	-	-	-	-	-	-
TR 37	F 37.09	annulé	YH	147	N	-	-	-	-	-	-
TR 37	F 37.10	TP	YH	147	N	-	-	-	Limon brun moyen avec rares charbon	-	-

n° tranche	n° lot	nature du lot	Section cat.	n° parcelle(s)	Sonde	1 (cm)	J (en m)	Profondeur maximale (en m)	US	Datation	Matériau
TR 37	F 37.11	TP	YH	147	N	0,40	0,40	-	Limons brun moyen à foncé, rares charbons.	-	-
TR 37	F 37.12	Fossé	YH	147	N	-	-	-	Recoupe F 37.05	-	-
TR 38	F 38.01	fossé	YC	24	N	2,00	0,20	-	Limons argileux brun moyen avec charbons	-	-
TR 38	F 38.02	fossé	YC	24	N	2,00	0,70	-	Limons argileux brun moyen avec charbons	-	-
TR 38	F 38.03	fossé	YC	24	N	2,28	0,53	-	Limons sableux brun clair hétérogène avec poche brunes	-	-
TR 38	F 38.04	fossé	YC	24	N	1,35	0,72 max, 0,45 min	-	Limons sableux orangé	-	-
TR 38	F 38.05	TP	YC	24	N	0,66	0,72	-	Couche brun foncé argilo-limoneux homogène avec charbons	-	-
TR 39	F 39.01	TP	YC	26	N	0,64	0,46	-	brun clair/orangé	-	-
TR 39	F 39.02	TP	YC	26	N	0,43	0,43	-	brun clair/jaune	-	-
TR 39	F 39.03	Fossé	YC	26	O	2,00	1,40	0,50	fossé avec 2 comblements, implantés dans le substrat, se pose sur le géol. Comblement inférieur : argile grise, peu compacte, hétérogène, remplie de petit cailloux (mm) Pas de charbon. Niveau d'oxydation orangé entre la grise et le géol. Comblement supérieur : Limons argileux brun moyen clair, meuble, hétérogène (grosse poche jaune), pas d'inclusion.	-	-
TR 39	F 39.04	TP	YC	26	N	0,23	0,23	-	brun moyen/clair	-	-
TR 39	F 39.05	TP	YC	26	O	0,53	0,53	0,10	TP avec 1 comblement : limons argileux brun moyen, meuble, hétérogène avec beaucoup de charbon (à 7 mm) et quelques cailloux (à 10 cm). Creusement asymétrique bord droit au Nord. Le fond est très irrégulier, remonte en pente douce vers le Sud et vers l'Ouest avec quelques trous plus profonds (racines?)	-	-
TR 39	F 39.06	Fosse	YC	26	N	1,40	0,20	-	brun foncé	-	-
TR 39	F 39.07	Fosse	YC	26	N	0,70	0,20	-	brun foncé	-	-
TR 39	F 39.08	Fossé	YC	26	N	0,97	0,58 max 0,4 min	-	brun moyen/clair hétérogène	-	-
TR 39	F 39.09	Fossé	YC	26	N	2,00	0,66 min 0,66 min	-	brun foncé	-	-
TR 39	F 39.10	Fossé	YC	26	N	2,00	0,73	-	brun foncé	-	-
TR 39	F 39.11	TP	YC	26	N	0,52	0,52	-	brun moyen/clair	-	-
TR 39	F 39.12	fossé	YC	26	N	0,66	0,38	-	brun moyen avec charbons	-	-
TR 39	F 39.13	TP	YC	26	N	0,50	0,50	environ 0,1	TP de forme circulaire peu profond avec un comblement argilo-limoneux brun clair, hétérogène, meuble, très rares charbons (mm).	-	-
TR 39	F 39.14	Fosse	YC	26	N	1,50	0,70	-	brun foncé	-	-
TR 39	F 39.15	Fossé	YC	26	O	1,50	0,70	0,18 au Nord, 0,2 au Sud	Zone de rubéfaction mais pas foyer car absence de charbon et de cailloux. Limon et argile brun rouge en partie supérieur. Limon brun foncé un peu rougeâtre, très rare charbon (mm). Au fond mélange de substrat et de limon brun moyen.	-	céramique
TR 39	F 39.16	TP	YC	26	N	0,45	0,45	-	brun clair	-	-
TR 39	F 39.17	Fossé	YC	26	O	2,00	2,16	0,45	Fossé orienté Ouest-Nord-Ouest / Est-Sud-est. Gros blocs dans le comblement (granit), profil en U, comblement brun moyen / foncé homogène, meuble limon argileux avec quelques charbons.	-	-
TR 39	F 39.18	Fossé	YC	26	N	2,00	0,40	-	brun foncé	-	-
TR 39	F 39.19	Fossé	YC	26	N	2,00	0,63	-	brun foncé	-	-
TR 40	F 40.01	Zone d'épandage	YC	24	N	10,60	2,00	-	Zone dépotatoire 20e siècle lié à l'habitation détruite?	Contemporain	-
TR 42	F 42.01	Fosse	YE	31-32	O	1,68	0,80	0,30	fossé comblé par du limon un peu argileux brun foncé, peu compact, hétérogène (poche jaune et orange) avec quelques charbons (mm) et de rares cailloux (2 à 5 cm). Creusement en U qui plonge rapidement vers le fond. Le fond est du limon argileux jaune (substrat). Il est plus haut au Nord que dans la partie Sud.	-	-
TR 42	F 42.02	TP	YE	31-32	O	0,73	0,73	-	Comblement supérieur argilo charbonneux brun foncé, hétérogène avec quelques charbons (mm). Le comblement inférieur est du limon argileux brun clair/moyen hétérogène avec du charbon (cm). Fond plat; profil en U	-	-
TR 42	F 42.03	Remonté de géol.	YE	31-32	N	2,00	0,86	-	jaune clair, argileux homogène	-	-
TR 42	F 42.04	Fossé	YE	31-32	N	2,00	1,15	-	Brun foncé moyen limon argileux homogène	-	-
TR 42	F 42.05	Foyer	YE	31-32	N	0,76	0,76	-	trace charbonneuse, brun moyen foncé avec traces orange et des cailloux	-	-
TR 42	F 42.06	Fossé	YE	31-32	N	5,25	0,52	-	Brun moyen foncé	-	-
TR 42	F 42.07	Fossé	YE	31-32	N	5,40	0,48	-	Brun moyen foncé	-	-
TR 42	F 42.08	Fosse	YE	31-32	N	1,07	0,34	-	brun moyen	-	-
TR 44	F 44.01	Fosse	YE	30	N	-	1,10	-	-	-	-

INVENTAIRE DES FAITS ET UNITÉS STRATIGRAPHIQUES

PLOUDANIEL (29) - RD 770

Arrêté n° 2019-080

n° tranche	n° fait	nature du fait	Section cat.	n° parcelle(s)	Sens	L (en m)	J (en m ²)	Profondeur maximale (en m)	US	Déclinaison	Meuble
TR 44	F 44.02	TP	YE	30	O	4,00	4,00	-	Creusement pour un poteau électrique? 7 comblement, du haut jusqu'en bas : limon sableux, brun moyen, hétérogène, meuble (taches blanches, brunes et oranges), en dessous limon argileux brun moyen, hétérogène avec des cailloux 5 à 10 cm et quelques charbons (mm), limon arileux jaune, homogène, meuble, rares cailloux (8 cm), limon brun moyen/clair, hétérogène taches jaune et gravillons, limon sableux (jaune avec des gravillons, homogène, très meuble, limon brun clair, homogène, meuble, limon jaune très meuble homogène avec beaucoup de gravillons.	-	-
TR 44	F 44.03	Fosse	YE	30	N	-	1,12	-	-	-	-
TR 44	F 44.04	Fossé	YE	30	O	2,30	0,60	0,08 environ	Limon argileux brun moyen, meuble, homogène avec charbons et cailloux (2 à 20 cm). Creusement asymétrique : bord droit au Sud, fort pendage au Nord fond plat.	-	-
TR 44	F 44.05	TP	YE	30	O	0,64	0,64	0,2 environ	2 comblements : premier comblement : brun moyen, homogène, meuble recréusé par le deuxième comblement : argile gris clair, homogène compacte.	-	-
TR 44	F 44.06	Fossé	YE	30	N	-	0,30	-	Charrus, s'interrompt après F 44.08. Ils sont équivalents mais sédiment rose dedans. Récent?	-	-
TR 44	F 44.07	Fossé	YE	30	N	-	1,16	-	parallèle à F 44.11	-	-
TR 44	F 44.08	annulé	YE	30	N	-	-	-	-	-	-
TR 44	F 44.09	Fossé	YE	30	N	1,40	0,36	-	-	-	-
TR 44	F 44.10	TP	YE	30	N	0,35	0,35	-	-	-	-
TR 44	F 44.11	Fossé	YE	30	N	1,90	1,90	-	Parallèle à F 44.07.	20e	céramique
TR 44	F 44.12	Elément d'un chablis	YE	30	N	1,70	1,25	-	orangé, semi circulaire avec du charbon	-	-
TR 44	F 44.13	Elément d'un chablis	YE	30	N	-	-	-	orangé, semi circulaire avec du charbon	-	-
TR 45	F 45.01	Fosse	YE	559	N	2,00	0,45	-	-	-	-
TR 46	F 46.01	Fossé	YE	559	N	3,50	0,54	-	argile brun clair blanche avec oxydation, recoupe F 46.02	-	-
TR 46	F 46.02	Fossé	YE	559	N	2,00	0,28	-	argile blanche un peu jaunée, est recoupé par F 46.01	-	-
TR 47	F 47.01	Fossé	YA	88	N	2,00	0,77	-	Brun moyen	-	-
TR 47	F 47.02	Fossé	YA	88	N	2,00	0,75	-	Brun moyen	-	-
TR 47	F 47.03	Fossé	YA	88	N	2,00	0,59	-	Brun moyen	-	-
TR 47	F 47.04	Fossé	YA	88	N	2,00	0,60	-	Brun moyen	-	-
TR 47	F 47.05	Fossé	YA	88	N	2,00	0,92	0,45 min	Brun moyen foncé homogène meuble. Appareil en coupe dans la bermes à environ 45 cm du fond de la tranchée à l'est et à l'ouest	-	-
TR 47	F 47.06	Fossé	YA	88	N	2,00	0,47	-	Brun moyen foncé	-	-
TR 47	F 47.07	Fossé	YA	88	O	2,64	0,86 max, 0,2 min	13 max, 9 min	fossé 2 creusements. Celui au Sud a un profil en U plat creusé dans le substrat, se pose sur le géol. Le creusement en Nord est plus profond, il est creusé dans le géol. Il a des bords plus droits et un profil en U. Ils sont comblés par du limon un peu argileux, brun moyen, meuble, hétérogène, quelques cailloux (cm)	-	-
TR 47	F 47.08	Fossé	YA	88	N	2,40	1,28	-	Brun moyen clair	-	-
TR 47	F 47.09	Fosse	YA	88	N	0,82	0,76 max, 0,26 min	-	Brun moyen clair, homogène meuble	-	-
TR 47	F 47.10	Fossé	YA	88	N	2,58	0,30	-	Brun moyen	-	-
TR 48	F 48.01	Fosse	YA	88	N	2,00	0,70	-	couche brun moyen hétérogène avec charbons (cm), limon argileux	-	céramique
TR 48	F 48.02	Fossé	YA	88	N	2,00	0,40	-	brun moyen/foncé	-	-
TR 48	F 48.03	Fossé	YA	88	N	2,00	0,44	-	brun moyen/foncé	-	-
TR 48	F 48.04	Fossé	YA	88	O	2,00	0,33	0,35	brun moyen foncé homogène	-	-
TR 49	F 49.01	Fossé	YA	88	N	2,50	0,46	-	brun moyen	-	-
TR 49	F 49.02	Fossé	YA	88	N	2,43	1,25 max, 0,7 min	-	brun moyen/foncé	-	-
TR 49	F 49.03	Fossé	YA	88	N	2,40	0,42	-	brun moyen/foncé	-	-
TR 49	F 49.04	Fossé	YA	88	N	1,10	0,65	-	brun moyen/clair, légèrement orangé	-	-
TR 49	F 49.05	Fosse	YA	88	N	0,67	0,44	-	brun moyen/clair, légèrement orangé	-	-
TR 50	F 50.01	Fossé	YA	88	O	3,70	0,53	0,15	fossé comblé par du limon un peu argileux brun moyen, meuble, homogène. Pas d'inclusion, il recoupe F 50.03, est parallèle à F 50.02. Creusé dans le géol, avec un profil en U	-	-
TR 50	F 50.02	Fossé	YA	88	O	3,70	76,00	20,00	fossé comblé par du limon un peu argileux brun moyen, meuble, homogène. Il est creusé dans le géol avec un profil en U. Il est parallèle à F 50.01 et recoupe F 50.03.	-	-

n° tranche	n° lot	nature du lot	Section cat.	# points(s)	Supé	L (en m)	(per m) ²	Profondeur maximale (en m)	US	Datation	Matériau	
TR 50	F 50.03	Fossé	YA	88	O	topo	1,25	entre 0,15 et 0,2	Fossé creusé dans le substrat, 1 comblement : limon argileux brun moyen à foncé, meuble, hétérogène avec des traces d'argile cuites par endroits. Rares charbons et rares cailloux (5 à 20 cm). Céramique en place à plusieurs endroits. Il est orienté Nord-Ouest/Sud-Est. Il est recoupé par F 50.01, F 50.02 et F 50.13	Âge du Bronze	Céramiques	
TR 50	F 50.04	Fossé	YA	88	N		0,78		limon brun foncé, parallèle à F 50.05			céramique
TR 50	F 50.05	Fossé	YA	88	N		0,31		limon brun foncé, parallèle à F 50.04			
TR 50	F 50.06	Fossé	YA	88	O	8,00	1,10	0,31	Limon argileux brun foncé, assez meuble, homogène, pas d'inclusion. 2 petits blocs (10 à 15 cm) de grès dans le fond. Creusé dans le sol géol. Profil en U, parallèle à F 50.08			
TR 50	F 50.07	Fossé	YA	88	O	5,00	0,56	0,22	fossé 2 compléments : comblement supérieur : limon brun moyen jaune, hétérogène. Comblement inférieur : limon argileux brun foncé, hétérogène. Creusé dans le géol. profil en U, bord inégaux. Recoupé par F 50.08			
TR 50	F 50.08	Fossé	YA	88	O		0,68		Limon argileux brun moyen, homogène, meuble, parallèle à F 50.06	antiquité		céramique : cruche, métal
TR 50	F 50.09	Fossé	YA	88	O	3,00	entre 0,25 et 0,9	fossé : 0,12, TP : 0,1	ensemble composé de 2 TP et d'un fossé qui semble s'élargir vers l'Est. Possible habitat ADB ou palissade. Comblement brun moyen homogène et meuble. Pour le fossé le comblement est du limon brun moyen/jaune avec de rares charbons (mm)			
TR 50	F 50.10	Grand fossé	YA	88	N		1,74 max, 0,88 min		limon brun orangé, recoupé par F 50.11			
TR 50	F 50.11	Fossé	YA	88	N		42,00		Limon brun moyen avec charbon.			
TR 50	F 50.12	Fossé	YA	88	O	2,00	0,90	0,15	fossé comblé par du limon un peu argileux brun moyen, meuble, homogène recoupé par F 50.13. Il est très peu profond, posé sur le géol. Rares charbons et quelques cailloux peut-être intrusif du géol.			
TR 50	F 50.13	Fosse/ chablis?	YA	88	O	1,30	1,05	0,25 max, 0,08 min	Probable chablis comblé par du limon brun moyen à clair, meuble, homogène? Quelques gros charbons (cm), et des plus petits (mm), 1 blocs (30x30x20). Semble recoupé F 50.12 dans sa partie Sud. Le fond est composé de limon/jaune remplie de gravillons, très compact (géol)			
TR 50	F 50.14	TP	YA	88	N	0,42	0,42		Brun moyen			
TR 50	F 50.15	Fossé	YA	88	N	2,00	0,67		Brun foncé			
TR 50	F 50.16	TP	YA	88	O	0,32	0,32	0,22	TP creusé dans le substrat, 2 compléments. Comblement supérieur : limon un peu argileux brun moyen, meuble, homogène, pas d'inclusion. Comblement inférieur : brun clair un peu argileux, meuble, homogène, pas de charbons mais quelques cailloux. Au fond sur le géol. Creusement symétrique, les bords ne sont pas droit mais présentent un fort pendage.			
TR 50	F 50.17	Fosse	YA	88	N				brun moyen, est recoupé par F 50.04 dans l'extension.			
TR 50	F 50.18	Fosse	YA	88	O				Limon un peu sableux Brun moyen clair, rares cailloux inférieur à 5 cm. Proche F 50.06.			
TR 50	F 50.19	Fossé	YA	88	N		0,43		Limon brun foncé à moyen			
TR 50	F 50.20	Fossé	YA	88	N	2,60	1,03		limon brun clair orangé			
TR 50	F 50.21	Fossé	YA	88	N	2,25	1,12		limon brun foncé à moyen			
TR 50	F 50.22	TP	YA	88	N	0,50	0,50		limon brun clair avec charbon			
TR 50	F 50.23	Fosse	YA	88	N	2,42	1,46		limon brun clair orangé avec charbon			
TR 50	F 50.24	TP	YA	88	N	0,48	0,48		limon brun moyen			
TR 50	F 50.25	Fosse/fossé	YA	88	N	1,14	0,68		limon brun moyen			
TR 50	F 50.26	TP	YA	88	N	0,45	0,45		limon brun clair			
TR 50	F 50.27	Fosse	YA	88	N	0,96	0,50		limon brun foncé			
TR 50	F 50.28	TP	YA	88	N	0,34	0,34		limon brun clair			
TR 50	F 50.29	Fosse circulaire	YA	88	N	1,92	1,92		limon brun moyen à foncé avec charbons, argile cuite et céramique	Âge du Bronze ?		céramique
TR 50	F 50.30	Fossé	YA	88	N		1,28		limon brun moyen avec charbon et céramique	Âge du Bronze ?		céramique
TR 50	F 50.31	TP	YA	88	N	0,37	0,37		limon brun moyen			
TR 50	F 50.32	TP	YA	88	N	0,48	0,48		limon brun moyen			
TR 50	F 50.33	Fosse/fossé	YA	88	N	1,40	1,80		limon brun clair orangé			
TR 50	F 50.34	TP	YA	88	N	0,48	0,48		Limon brun orangé, homogène. Proche F 50.09 et F 50.35			
TR 50	F 50.35	Fossé	YA	88	N	3,50	0,80		fossé contour irrégulier, orienté Nord/Sud. Jouxte F 50.09 au Sud. Comblement limon brun orangé, assez meuble, homogène.			
TR 51	F51.01	Fossé	YA	33	N		1,44		1. Intersection vers le Sud. Plus ou moins parallèle à F 51.06. Limon brun foncé avec charbon			céramique et métal/ferreux
TR 51	F51.02	TP	YA	33	N	0,55	0,55		limon brun foncé			
TR 51	F51.03	TP	YA	33	N	0,43	0,43		limon brun moyen avec quelques charbons			

INVENTAIRE DES FAITS ET UNITÉS STRATIGRAPHIQUES

PLOUDANIEL (29) - RD 770

Arrêté n° 2019-080

n° tranche	n° lit	matériau du lit	Section cat.	Ø (mètres)	hauteur	Surface (m²)	Volume (m³)	Profondeur maximale (m)	US	Durabilité	Matériau
TR 51	F 51.04	Fossé	YA	33	N	0,42	-	-	recoupé par F 51.01. limon brun moyen avec charbons	-	céramiques
TR 51	F 51.05	Fossé	YA	33	N	0,65	-	-	limon brun moyen	-	céramiques
TR 51	F 51.06	Fossé	YA	33	N	0,96	-	-	limon brun moyen avec charbon	-	céramiques
TR 51	F 51.07	Fossé	YA	33	N	0,79	-	-	limon brun moyen avec charbon	-	céramiques
TR 51	F 51.08	TP	YA	33	N	0,63	-	-	limon brun moyen	-	céramique
TR 51	F 51.09	Fosse	YA	33	N	1,44	-	-	limon brun foncé avec charbon (cm) et argile cuite.	-	céramiques?
TR 51	F 51.10	Fossé	YA	33	N	extension : 2	1,03 + extension : 0,8	-	comblement hétérogène, brun foncé à moyen, blocs dont certain brûlés, charbons (cm) TCA, céramiques et probable TP associé au Sud. Départ en son centre vers l'Ouest.	-	TCA, céramique
TR 51	F 51.11	TP	YA	33	N	0,64	0,42	-	comblement hétérogène, brun gris à brun clair/jaune	-	-
TR 51	F 51.12	Fossé	YA	33	N	extension : 1,6	1,39 + extension : 0,82	-	Fossé à comblement hétérogène brun foncé à brun clair, blocs, céramique, charbons et zone d'argile associée	-	céramique
TR 51	F 51.13	indéterminé	YA	33	N	-	-	-	accolé à F 51.01, structure indéterminée avec fragment de TCA orangées	-	-
TR 52	F 52.01	TP	YA	33	N	0,45	0,45	-	Limon brun moyen orangé quelques charbons	-	-
TR 52	F 52.02	TP	YA	33	N	0,42	0,42	-	limon brun foncé quelques charbons, argile cuite sur place	-	-
TR 52	F 52.03	TP	YA	33	N	0,62	0,62	-	limon brun moyen charbon (mm)	-	-
TR 52	F 52.04	Fosse	YA	33	N	1,30	0,82	-	limon brun moyen orange un peu jaune avec charbons de la céramique et de l'argile cuite	médiéval	céramique
TR 52	F 52.05	indéterminé	YA	33	N	-	-	-	Argile très cuite, reste de sole? Avec pierre chauffées	médiéval	Sole, céramique
TR 52	F 52.06	indéterminé	YA	33	N	-	-	-	Niveau avec des blocs supérieurs à 30/40 cm avec briques et pierres chauffées	médiéval	TCA
TR 52	F 52.07	indéterminé	YA	33	N	-	-	-	Niveau d'accumulation : limon + argile + blocs et beaucoup de céramique médiévale. TCA et briques + pierres chauffées	médiéval	céramique
TR 52	F 52.08	Fossé	YA	33	N	1,20	1,20	-	Limon brun moyen orangé, quelques charbons	médiéval	céramique
TR 52	F 52.09	Fosse	YA	33	N	1,68	1,30	-	limon brun foncé avec charbon. Un "micro" tesson de céramique noire	médiéval	céramique
TR 52	F 52.10	TP	YA	33	N	0,31	0,31	-	limon brun clair	-	-
TR 52	F 52.11	Fossé	YA	33	N	0,52	0,52	-	limon brun moyen orangé. Présence d'oxydation en surface. Pas d'inclusion	-	-
TR 52	F 52.12	TP	YA	33	N	0,50	0,34	-	limon brun moyen/jaune avec des charbons un peu d'argile rubéfié et de la céramique	médiéval	céramique
TR 52	F 52.13	indéterminé	YA	33	N	-	-	-	Au Sud de F 52.07 et F 52.05. Possible fossé orienté Nord/Sud	médiéval	céramique
TR 53	F 53.01	TP	ZR	50-51	N	0,56	0,42	-	Limon brun moyen	-	-
TR 53	F 53.02	Fossé	ZR	50-51	N	11,70	0,66 max, 0,5 min	-	Limon brun foncé	-	-
TR 53	F 53.03	Fossé	ZR	50-51	N	7,92	0,32	-	Limon brun foncé	-	-
TR 53	F 53.04	TP	ZR	50-51	N	0,45	0,30	-	Limon brun moyen	-	-
TR 54	F 54.01	TP	ZR	50	N	0,58	0,58	-	Limon brun foncé, parallèle à F 54.02, F 54.03 et F 54.04	-	-
TR 54	F 54.02	Fossé	ZR	50	N	2,00	0,53	-	Limon brun moyen clair, parallèle à F 54.01, F 54.03 et F 54.04	-	-
TR 54	F 54.03	Fossé	ZR	50	N	2,00	0,58	-	Limon brun moyen, parallèle à F 54.02, F 54.01 et F 54.04	-	-
TR 54	F 54.04	Fossé	ZR	50	N	2,00	0,38	-	Limon brun foncé, parallèle à F 54.02, F 54.03 et F 54.01	-	-
TR 54	F 54.05	Fossé	ZR	50	N	2,00	1,25	-	Limon brun foncé, parallèle à F 54.06	-	-
TR 54	F 54.06	Fossé	ZR	50	N	2,00	2,04 max, 1,5 min	-	Limon brun moyen gris, parallèle à F 54.05	-	-
TR 54	F 54.07	Fossé	ZR	50	O	7,80	0,40	0,14 environ	Limon brun moyen, plutôt compact	-	-
TR 54	F 54.08	Fossé	ZR	50	O	2,64	0,36	0,18 environ	Limon brun moyen, plutôt compact	-	-
TR 55	F 55.01	Fosse	ZR	50	N	1,20	0,50	-	Limon brun foncé	-	-
TR 55	F 55.02	Fossé	ZR	50	N	7,30	0,62	-	brun moyen avec gris et poche orange	-	-
TR 55	F 55.03	Fossé	ZR	50	N	2,68	1,6 max, 0,64 min	-	brun foncé gris	-	-
TR 55	F 55.04	Fossé	ZR	50	N	0,93	0,65	-	brun foncé gris	-	-
TR 55	F 55.05	Fossé	ZR	50	N	2,20	1,40	-	brun foncé gris	-	céramique
TR 55	F 55.06	Fossé	ZR	50	N	1,63	0,52	-	brun moyen perpendiculaire à F 55.07	-	-
TR 55	F 55.07	Fossé	ZR	50	N	2,60	1,25	-	Brun moyen, perpendiculaire à F 55.06	-	-
TR 56	F 56.01	Fosse	ZR	25	N	1,00	0,85	-	Brun moyen avec charbon	-	céramique
TR 56	F 56.02	TP	ZR	25	N	0,52	0,52	-	Brun moyen clair	-	-

INVENTAIRE DES FAITS ET UNITÉS STRATIGRAPHIQUES

n° Tranchée	n° Fat	nature du fat	Section est.	n° parcelle(s)	Sonde	1 (cm)	1 (m) (2)	Profondeur maximale (en m)	US	Paration	Matériau
TR 56	F 56.03	TP	ZR	25	N	0,53	0,53	-	Brun moyen clair	-	-
TR 56	F 56.04	Fosse	ZR	25	N	0,90	0,52	-	Brun moyen avec des taches brunes et des poches jaunes	-	-
TR 56	F 56.05	Fossé	ZR	25	N	3,90	0,43	-	Brun moyen clair	-	-
TR 56	F 56.06	Fossé	ZR	25	N	2,00	0,64	-	Brun moyen foncé	-	-
TR 56	F 56.07	Fossé	ZR	25	N	1,80	1,3 max, 0,78 min	-	Brun moyen	-	-
TR 56	F 56.08	Fossé	ZR	25	O	2,00	0,46	0,30	Brun moyen/clair homogène meuble. Profil en U recoupé par F 56.18	-	-
TR 56	F 56.09	Fossé	ZR	25	N	1,80	0,34	-	Brun moyen clair	-	-
TR 56	F 56.10	Fossé	ZR	25	N	4,00	0,72	-	Brun moyen	-	-
TR 56	F 56.11	Fosse	ZR	25	N	2,30	0,80	-	brun foncé	-	-
TR 56	F 56.12	TP	ZR	25	N	0,72	0,72	-	Brun moyen foncé	-	-
TR 56	F 56.13	Fossé	ZR	25	O	4,00	0,97	0,80	Brun moyen foncé, homogène meuble, peu profond avec un profil en U	-	-
TR 56	F 56.14	Fossé	ZR	25	N	4,10	0,62	-	Brun moyen à clair	-	-
TR 56	F 56.15	Fossé	ZR	25	N	2,00	0,60	-	Brun foncé	-	-
TR 56	F 56.16	Fossé	ZR	25	N	2,00	0,75	-	Brun foncé	-	-
TR 56	F 56.17	Fossé	ZR	25	N	2,40	0,40	-	Brun moyen clair	-	-
TR 56	F 56.18	Fossé	ZR	25	O	1,60	0,43	0,18	Brun moyen foncé, homogène, meuble, avec profil en U, creusement peu profond.	-	-
TR 56	F 56.19	Fossé	ZR	25	O	1,50	0,34	0,18	Brun moyen, homogène, meuble. Profil en U peu profond.	-	-
TR 57	F 57.01	Fossé	ZR	25	N	2,60	0,52	-	Brun foncé	-	-
TR 57	F 57.02	Fossé	ZR	25	N	2,00	0,58	-	Brun foncé	-	-
TR 57	F 57.03	TP	ZR	25	N	0,80	0,80	-	Brun foncé	-	-
TR 57	F 57.04	Fossé	ZR	25	O	1,70	0,90	0,45	Fossé avec 2 comblements. Comblement supérieur : limon argileux brun foncé, meuble, hétérogène, pas d'inclusion, quelques racines. Comblement inférieur : argile orange au contact avec le géol et le substrat. Fossé creusé dans le substrat et le pose sur le géol. Creusement en U bords presque verticaux.	-	-
TR 57	F 57.05	Fossé	ZR	25	O	1,50	1,10	0,36	Fossé avec 2 comblements, creusé dans le substrat (limon argileux jaune). Comblement supérieur : limon sableux brun moyen, très meuble, hétérogène avec quelques cailloux. Comblement inférieur : limon argileux orange et brun foncé au contact avec le géol au fond et le substrat sur les cotés. Asez compact et hétérogène. Creusement en U, symétrique.	-	-
TR 57	F 57.06	Fossé	ZR	25	N	1,05	0,50	-	brun foncé	-	-
TR 57	F 57.07	Fossé	ZR	25	N	2,00	1,20	-	brun foncé	-	-
TR 57	F 57.08	Fossé	ZR	25	N	2,00	0,35	-	Brun moyen clair	-	-
TR 57	F 57.09	Fossé	ZR	25	N	2,00	0,30	-	Brun moyen à clair	-	-
TR 57	F 57.10	Fossé	ZR	25	N	2,00	0,96	-	brun foncé	-	-
TR 57	F 57.11	Fossé	ZR	25	N	1,50	0,39	-	Brun moyen à clair	-	-
TR 59	F 59.01	Fosse	ZR	25	N	1,50	0,96	-	Parallèle à F 59.02. Limon argileux brun foncé	-	-
TR 59	F 59.02	Fossé	ZR	25	N	2,00	0,96	-	Parallèle à F 59.01. limon argileux brun foncé	-	-
TR 59	F 59.03	TP	ZR	25	N	0,36	0,36	-	Limon brun clair	-	-

Secteurs	Parcelle cadastrée	Type	Matériau/Catégorie	Ti	F	Description	DIR	MOJ	MOJ (m² E)	Esc	Esc	Lieu de conservation
2	YA 33	CE	céramique	52	F52.08	Un bord avec une pâte brun clair à beige, brun foncé à noir sur les faces avec dépôt de suie noir. Inclusions de mica et de quartz de 1 à 3 mm. Décor à la molette en 4 lignes plus ou moins parallèle sur la face interne du bord	1	1	22,35	16	1/4	CDA
4	YB 84	LT	lithique	9	remblais	galet de granit, nombreux impacts sur la face supérieure. 81x54x18 mm	1	1	119,70	17	1/4	CDA
7	YD 157	CE	céramique	25	nettoyage	Tesson de céramique, forme indéterminée, pâte claire micacée, inclusions de quartz inférieures à 1 mm.	1	1	5,95	18	1/4	CDA
7	YD 157	CE	céramique	15	F.15.04	Tessons de céramique, pâte claire glaçurée jaune, inclusions de mica et de quartz inférieures à 1 mm. 1. fond	2	1	18,10	19	1/4	CDA
8	YE 45	CE	céramique	27	F27.01	Tessons de céramique, pâte de couleur gris à noir sur les faces et orangé à coeur, inclusions de mica inférieures à 1 mm, inclusions de quartz de 1 mm.	3	3	7,03	20	1/4	CDA
6	YD 232	CE	céramique	7	F.07.07	Tessons de céramique, pâte grossière de couleur orange à gris foncé, inclusions de mica inférieures à 1 mm, inclusions de quartz de 3 mm. Engobe noire	2	1	6,20	21	1/4	CDA
6	YD 230	CE	céramique	7	F.07.11	Tessons de céramique, 1 pâte de couleur brun gris à noir et 1 pâte brun gris à orange/rouge. Inclusions de mica inférieures à 1 mm et inclusions de quartz de 2 à 5 mm	2	2	6,25	22	1/4	CDA
6	YD 230	TCA	tuile	7	F.07.06	Fragment de tuile, pâte orange, inclusions de quartz de 3 mm, bord droit	2	1	95,30	23	1/4	CDA
6	YD 230	LT	lithique	7	F.07.06	galet de schiste polie	1	1	45,20	24	1/4	CDA
6	YD 232	LT	lithique	2	F.02.03	granit, surface plane taillé en angle droit et traces de tailles diverse 103x81x70 mm	1	1	843,70	25	1/4	CDA
2	YA 33	CE	céramique	52	F.52.13	Tessons de céramique dont 1 bord, 23 panses et 4 indéterminés avec des inclusions de mica (inférieures à 1 mm) et des inclusions de quartz de 1 à 3 mm). 10 présentent une pâte beige à rose clair et 18 présentent une pâte beige à brun foncé avec des dépôts de suie noire	28	19	261,89	26	1/4	CDA
2	YA 33	TCA	terre cuite	52	nettoyage	Fragment de sole 7 Et briques	12	11	617,37	27	1/4	CDA
2	YA 33	MT	métal ferreux	52	nettoyage	Scorie de fer	1	1	13,54	29	1/4	CDA
2	YA 33	TCA	terre cuite	52	nettoyage	TCA, avec une pâte rouge orangée avec de grosses inclusions de cailloux de 3 à 8 mm	1	1	91,03	30	1/4	CDA
2	YA 33	CE	céramique	52	F.52.05	Tessons de céramique, dont 1 bord. Pâte de couleur blanc à beige avec dépôt de suie noire. Inclusions de quartz de 1 à 2 mm, et paillettes de mica	6	5	24,35	31	1/4	CDA

Sections	Parcelle cadastrée	Type	Matériau / Catégorie	Titre	F	Description	Matériau	Poids (en g)	Surf	Surf (en g)	Surf	Lieu de conservation
2	YA 33	TCA	terre cuite	52	F 52.05	Fragments de sole ou brique. Une surface gris foncé avec une pâte rouge orangé et avec des inclusions de cailloux de 1 mm à 1 cm.		267,43	7	32	1/4	CDA
2	YA 33	CE	céramique	52	F 52.09	Petit tesson à pâte de couleur blanc à gris, avec des inclusions de mica (inférieures à 1 mm) et de quartz (1 mm).		2,46	1	33	1/4	CDA
2	YA 33	TCA	terre cuite	52	F 52.06	Fragment de brique mesurant 154x123x35 mm, avec deux faces plates et un angle droit.		958,90	1	34	1/4	CDA
2	YA 33	CE	céramique	52	F 52.07	Deux tessons, l'un avec une pâte de couleur beige à brun avec dépôt noir sur une face et très micacée, l'autre avec une pâte beige et orange		24,06	2	35	1/4	CDA
2	YA 33	CE	céramique	52	F 52.12	Pâte de couleur gris foncé à noir, micacée avec des inclusions de mica de 1 à 2 mm.		1,69	1	36	1/4	CDA
2	YA 33	CE	céramique	51	F 51.01	Deux panses avec un possible départ de fond, pâte de couleur beige à brun foncé avec traces noires, un gros dégraisant (inclusions de quartz de 1 à 4 mm) et de nombreuses inclusions de mica (jusqu'à 4 mm)		55,47	2	37	1/4	CDA
2	YA 33	MT	métal ferreux	51	F 51.01	Objet métallique mesurant 106 mm de long, 4 mm de diamètre. Tige courbée des deux côtés. Crochet ?		18,09	1	38	1/4	CDA
2	YA 33	CE	céramique	51	F 51.04	tesson mesurant 28 x 14 x 13 mm, avec un gros dégraisant (des inclusions de quartz de 1 à 4 mm), avec une pâte micacée (avec des inclusions inférieures à 1 mm) de couleur beige à brun foncé, un peu orangé, présence dépôt noir		5,55	1	39	1/4	CDA
2	YA 33	CE	céramique	51	nettoyage	Deux présentant une pâte de couleur beige à orange rougeâtre, avec un gros dégraisant (avec des inclusions de quartz de 1 à 4 mm) et avec des inclusions de mica inférieures à 1 mm. Dépôt noir sur une face		11,93	2	40	1/4	CDA
2	YA 33	CE	céramique	51	F 51.10	Cinq tessons, dont quatre qui recollent deux à deux. Un fragment de bord de dimension totale (deux fragments) de 5,4 x 2,5 x 1,4 cm, la lèvre étant épaisse de 1,1 cm. La pâte est de couleur claire et micacée. Une face est de couleur brun avec dépôt de suie, une autre est beige. Le cœur est de couleur blanc à beige. Quelques inclusions de quartz de 0,5 à 2 mm sont visibles. Deux autres tessons qui recollent forment une courbe qui indique qu'ils proviennent d'un rebord de céramique. La pâte est gris beige à l'intérieur avec des traces de suie. Elle est beige orangée sur l'extérieur et orangée pâle à cœur. La pâte est micacée et des inclusions de quartz de 0,5 à 3 mm sont visibles. Le dernier tesson mesure 2,6 x 1,9 x 0,85 cm. Une face est de couleur gris, l'autre est orangée comme au cœur. La pâte est micacée et des inclusions de quartz de 0,5 à 2 mm sont visibles		47,20	5	41	1/4	CDA

Quantité	Forme et/ou description	Type	Matière / Catégorie	TH	F	Description	Datation	HT	Mat	Poids (en g)	Siz	Box	Lieu de provenance
2	YA 33	CE	céramique	51	F 51.05	Deux panses de céramique (avec un tessons de forme circulaire), avec une pâte de couleur beige à brun foncé, cœur orangé et rosé, micacée (avec des inclusions de mica de 1 à 3 mm) et avec un gros dégraisant (avec des inclusions de quartz de 1 à 2 mm). Présence d'un dépôt noir sur la face extérieure.	Médiévale	2	2	46,88	42	1/4	CDA
2	YA 33	CE	céramique	51	F 51.12	Un tessons de céramique, avec une pâte de couleur orangé, avec une face grise et avec des inclusions de quartz inférieures à 1 mm.	Médiévale	1	1	2,85	43	1/4	CDA
2	YA 33	CE	céramique	51	F 51.18	Un tessons de céramique, avec une pâte noire, micacée (avec des inclusions de mica jusqu'à 3 mm). Mesurant 25 x 19 x 5 mm	Protohistoire ? Médiévale ?	1	1	3,84	44	1/4	CDA
1	ZR 25	CE	céramique	57	F 57.01	Un tessons de pâte de couleur orangé à cœur gris, avec un dégraisant (quelques inclusions de cailloux inférieures à 1 mm).	Médiévale/Moderne	1	1	28,18	45	1/4	CDA
1	ZR 25	CE	céramique	56	F 56.18	Une panse de céramique, avec une pâte grise, micacée (avec des inclusions de mica jusqu'à 2 mm). Mesurant 10 x 11 x 6 mm	Médiévale ?	1	1	0,72	46	1/4	CDA
1	ZR 25	CE	céramique	56	F 56.01	Deux tessons avec une pâte de couleur brun orangé à noir, micacée (avec des inclusions de mica jusqu'à 2 mm) et avec des inclusions de quartz.	Médiévale ?	2	1	15,36	47	1/4	CDA
2	ZR 50-51	CE	céramique	55	F 55.05	Un fond de céramique, avec une pâte de couleur beige orangé à brun avec un dépôt noir sur la face intérieure, avec de rares inclusions de mica et de quartz (inférieures à 1 mm). Mesurant 33 x 24 x 7 mm	Médiévale	1	1	29,29	48	1/4	CDA
2	ZR 50-51	CE	céramique	54	nettoyage	Un tessons de céramique, avec une pâte de couleur brun foncé à noir, micacée (avec des inclusions de mica inférieures à 1 mm). Mesurant 29 x 19 x 14 mm	Médiévale ?	1	1	6,99	49	1/4	CDA
2	YA 88	CE	céramique	50	F 50.29	Petit fragment de bord de 2,4 x 2,2 x 0,9 cm. Cet objet est un bord déversé caractérisé par une lèvre aplatie et épaisse. Sa pâte est de couleur noir à gris sur les faces interne et externe, noir à cœur. Des inclusions de quartz de 1 à 4 mm sont visibles ainsi que de fréquentes paillettes de mica. Un dépôt de suie est perceptible sur la face externe du tessons.	Age du Bronze	1	1	5,11	50	1/4	CDA
6	YD 232	CE	céramique	1	F 01.02	Une panse de céramique, avec une pâte claire, beige. Mesurant 42 x 24 x 19.	Moderne ?	1	1	11,63	51	1/4	CDA
2	YA 88	CE	céramique	48	F 48.01	Petit fragment de 3,6 x 2,9 x 0,5 cm à pâte plutôt fine avec inclusion de quartz d'environ 1 mm et paillettes de mica fréquentes. La pâte est de couleur beige orangé sur l'extérieur, gris noir à l'intérieur et gris à cœur. Des traces de lissage sont visibles sur les faces interne et externe	Protohistoire/Antique	1	1	6,77	52	1/4	CDA
2	YA 88	CE	céramique	49	TV	Deux tessons de céramique, dont 1 fond avec un vernis blanc et 1 bord avec une glaçure verte, avec une pâte claire.	Moderne/Contemporain	2	2	34,29	53	1/4	CDA

Sections	Parcelle cadastrale	Type	Nombre/ Catégorie	Ti	F	Description	Datation	NB	NOB	Poids (en kg)	Sac	Baz	Lien de consultation
5	YC 26	LT	lithique	39	F 39.15	fragment distal de lame outrepassée à deux versants dont les bords et la partie proximale sont aménagés. Le bord droit est aménagé par retouches directes abruptes, alors que le gauche montre un aménagement différent. Les retouches sont directes et semi-abruptes, complétées par des retouches inverses rases. La partie proximale est également aménagée par retouches directes abruptes. Il s'agit vraisemblablement d'un petit racloir sur lame dont le front se trouve sur le bord gauche	Pré-protohistorique	1	1	2,21	54	1/4	CDA
2	YA 88	CE	céramique	48	nettoyage	Tessons de céramique, dont 3 panes, 1 fond et 4 indéterminés. 3 présentent une glaçure verte avec une pâte claire. Le fond est à pâte rouge orangé à inclusions et cœur gris brun. Et petits tessons à pâte gris brun micacée	Médiévale/Moderne	8	7	145,24	55	1/4	CDA
5	YC 24	CE	céramique	38	nettoyage	Un tesson à pâte orangée rouge, avec des inclusions de quartz inférieures à 1 mm. Mesurant 37 x 19 x 8 mm.	Protolithique	1	1	5,38	56	1/4	CDA
4	YB 84	CE	céramique	10	nettoyage	bord de 3,4 x 3,1 x 1,2 cm, à bord déversé et lèvres effilées. La pâte est de couleur gris sur l'extérieur, gris-noir au cœur, et gris-beige avec dépôt noir à l'intérieur. La pâte contient des inclusions de 0,5 à 2 mm de quartz et mica.	Age du Bronze	1	1	14,01	57	1/4	CDA
4	YB 84	CE	céramique	10	F 10.05	Un fond de céramique à pâte relativement grossière avec des inclusions principalement composées de quartz de l'ordre de 0,5 à 3 mm. La couleur externe et interne varie du beige orangé au brun foncé, la pâte est beige à brun gris à cœur. La paroi est épaisse, variant de 1,5 à 1,8 cm	Age du Bronze	1	1	37,96	58	1/4	CDA
2	YA 88	CE	céramique	50	décapage	2 fragments qui recollent, pâte rose micacée, fine. Une face avec un léger revêtement rougeâtre et traces de coulures verdâtres	Médiévale	2	1	5,07	59	1/4	CDA
2	YA 88	CE	céramique	50	F 50.30	4 fragments dont un fond	Age du Bronze	4	4	91,68	60	1/4	CDA
2	YA 88	CE	céramique	50	F 50.04	1 fragment indéterminé	Protolithique	1	1	4,80	61	1/4	CDA
2	YA 88	CE	céramique	50	décapage	4 fragments indéterminés. 6 fragments qui recollent départ de panse et bouton plat. 1 grand fragment de bord à lèvres plate et épaisse, carène légère avec bouton plat pincé.	Age du Bronze	11	6	490,00	62	1/4	CDA
2	YA 88	CE	céramique	50	50.03	7 fragments dont 6 qui recollent : bord déversé d'un petit gobelet à lèvres amincies	Age du Bronze	7	2	24,16	63	1/4	CDA
2	YA 88	CE	céramique	50	50.08	59 fragments qui recollent. Criche à pâte claire au profil archéologiquement complet.	Antique	59	1	450,00	1	2/4	CDA
2	YA 88	CE	céramique	50	50.08	24 fragments à pâte claire appartenant peut-être à la cruche trouvée dans le même sondage	Antique	24	24	41,60	2	2/4	CDA
2	YA 88	MIT	Métal	50	50.08	1 fragment de métal ferreux, probable plaque ? Trouvé dans le même sondage que la cruche Antique	Antique	1	1	98,80	3	2/4	CDA
2	YA 88	CE	céramique	50	50.03	4 fragments de bords de vases différents	Age du Bronze	4	4	93,70	1	3/4	CDA
2	YA 88	CE	céramique	50	50.03	70 fragments indéterminés à pâte plus ou moins grossières, probablement poteries protolithiques	Age du Bronze	70	70	850,00	2	3/4	CDA
2	YA 88	CE	céramique	50	50.03	6 fragments d'un fond qui recollent. Pâte grossière et diamètre correspondant à un grand vase de type stockage	Age du Bronze	6	1	400,00	3	3/4	CDA
2	YA 88	CE	céramique	50	50.03	4 fragments qui recollent d'un grand vase à bord légèrement déversé à lèvres amincies et ourlée. Carène marquée entre le col et la panse. Présence d'une anse sur la largeur du col	Age du Bronze	4	1	550,00	4	3/4	CDA

PLOUDANIEL (29) - RD 770

INVENTAIRE MOBILIER

Arrêté n° 2019-080

Secours	Parcelle cadastrale	Type	Matériau/ Catégorie	Ts	F	Description	Datation	NR	Niv	Poids (en g)	Sac	Bac	Lieu de conservation
4	YB 84	CE	céramique	10	10.07	Vase silo en place dans une fosse. 499 fragments, recollage incomplet, possibilité d'avoir deux poteries non écartées. Vase silo d'environ 45 à 50 cm de haut pour un diamètre estimé de 32 cm	Age du Bronze	499	2 ?	9550,00	1 à 5	4/4	CDA